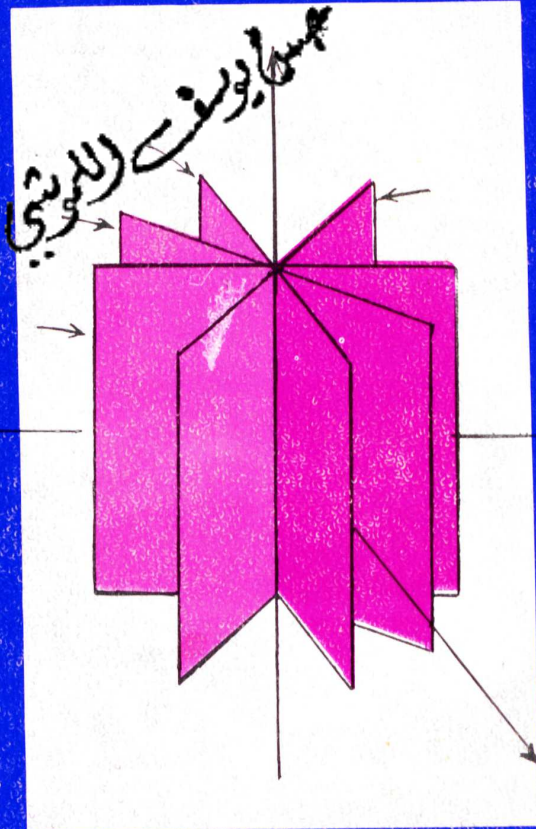


# التطبيقات الكيميائية لنظير المجموعة

النسخة العربية التي بين ايدينا تنقصها الصفحات  
من 321 الى 336 لذلك استعضنا عنها بادخال  
الصفحات المقابلة من الاصل الانجليزي



ترجمة

الدكتور عصام جبريس موني

12-11-1999  
صفحة ١٥٦  
٢٥١ -

مها يوسف اللواتي

التطبيقات الكيميائية

لنظرة المحبوة

Ô@{ 3aeÁ[ ]|3aeÁ }•Á Á[~] Á@[!^

ÁÖÖÇà^!óÔ[ α }

مها يوسف اللواتي

ترجمة

الدكتور عصام جرجيس سلومي

مها يوسف اللواتي

## مقدمة

لقد عنت الثورة بترجمة وتأليف الكثير من الكتب العلمية المحضة . ولعل من الجدير بنا ان نشير ، في هذا الصدد ، الى قدرة اللغة العربية على مواكبة التطور التقني الحديث في القطر العراقي ، بحيث لم تن عن خوض شتى المجالات العلمية في المراحل الجامعية الاولى .

ومن هنا لابد لنا من ان ننهض بترجمة وتأليف الكتب المتقدمة علمياً ، تلك التي تتطلبها الدراسات العليا في الجامعات العراقية والعربية . ولذلك عمدت الى ترجمة هذا الكتاب الذي يحتاج اليه طلبة الدراسات العليا في مادة الكيمياء اللاعضوية .

و قد اشتمل هذا الكتاب على ثلاثة اقسام : اما الاول فقد تضمن المبادئ والاسس والعلاقات الرياضية في نظرية المجموعة . ويعنى القسم الثاني بالتطبيقات العملية لهذه النظرية . واختص القسم الثالث بالملاحق التي انطوت على الايضاحات المفصلة لبعض ما جاء في القسمين الاول والثاني .

واذ أقدم هذا العمل . أجزل شكري لكل من اسهم فيه ، وخاصة الدكتور صبحي خميس علوان والدكتور محمد قاسم مصطفى على ما بذلاه من جهد في تدقيقه وتنقيحه . ومن الله التوفيق .

الدكتور عصام جرجيس سلومي

عصام جرجيس سلومي

النسخة العربية التي بين ايدينا تنقصها الصفحات  
من 321 الى 336 لذلك استعضنا عنها بادخال  
الصفحات المقابلة من الاصل الانجليزي

هنا يوسف اللومني

متاح للتحميل ضمن مجموعة كبيرة من المطبوعات من صفحة

مكتبتي الخاصة

على موقع ارشيف الانترنت

الرابط

[https://archive.org/details/@hassan\\_ibrahem](https://archive.org/details/@hassan_ibrahem)



## محتويات الكتاب

٧...	القسم الاول - الاسس
٩...	الفصل الاول - تمهيد
١٣...	الفصل الثاني - التعاريف والنظريات في نظرية المجموعة
٢٥...	الفصل الثالث - التماثل الجزئي ومجاميع التماثل
٨١...	الفصل الرابع - تمثيلات المجاميع
١١٥...	الفصل الخامس - نظرية المجموعة وميكانيك الكم
١٢٩	الفصل السادس - التماثل المكيف للاتحادات الخطية
١٤٧	الفصل السابع - النواحي التماثلية لنظرية الاوربتال الجزئي
٢٢٥	الفصل الثامن - الاوربتالات المهجنة والاوربتالات الجزئية من نوع $AB_n$
٢٧٩...	الفصل التاسع - نظرية المجال الليكاندي
٣٣٩...	الفصل العاشر - التذبذبات الجزئية
٣٩١...	الملحق I. مجاميع النقطة البلورية . المساقط المجسمة والترقيم العالمي
٣٩٧...	الملحق II. توسع المحددات ومعكوس المصفوفة
٤٠٢	الملحق III-A. جداول الخاصية للمجاميع التماثلية المهمة كيميائياً
٤١٢...	B - جدول العلاقة النسبية لمجموعة $oh$
٤١٣...	الملحق IV تحذير بالنسبة لتكامل الريزونانس
٤١٦...	الملحق V اشكال اوربتالات f
	الملحق VI توضيح شبه اولي لحساب الاوربتال الجزئي $BF_3$ باستعمال
٤١٨...	باستعمال طريقة هوكيل الموسعة
٤٢٤...	الملحق VII جداول الخاصية لبعض المجاميع المزدوجة
٤٢٥...	الملحق VIII عناصر مصفوفة g
٤٢٨...	الملحق IX. المراجع



النسخة العربية التي بين ايدينا تنقصها الصفحات  
من 321 الى 336 لذلك استعرضنا عنها بادخال  
الصفحات المقابلة من الاصل الانجليزي

حسن يوسف الدمشقي

القسم الاول

متاح للتحميل ضمن مجموعة كبيرة من المطبوعات من صفحة  
مكتبتي الخاصة  
على موقع ارشيف الانترنت  
الرابط

[https://archive.org/details/@hassan\\_ibrahem](https://archive.org/details/@hassan_ibrahem)





## الفصل الاول

### تمهيد :

يعنى الكيميائي التجريبي في عمله وتفكيره اليومي بفهم وتفسير ملاحظاته عن طبيعة المركبات الكيميائية قدر المستطاع . وموضوع الكيمياء في الوقت الحاضر واسع جداً . ولاجراء عمل تجريبي منتج وشامل . ينبغي معرفة الكثير عن الكيمياء الوصفية والطرق التجريبية التقنية بحيث لايتوفر الوقت للفهم الكامل للنظرية الكيميائية . يحتاج البحث النظري الاصيل المشتمل على التجديد الى تدريب واسع في الرياضيات والفيزياء اللذين لهما اهمية كبيرة للاختصاصيين . ومع ذلك يستحسن ، لمن يحاول التوسع اكثر من اجراء التجارب فقط : الاطلاع بعض الشيء بالجوانب النظرية . ولوضع التجارب بصورة تخيلية وتفسيرها بدقة . من الضروري فهم الفرضيات التي تهيؤها النظرية لسلوك الجزيئات والاتجاهات الاخرى للذرات .

تتمثل المشكلة لتعليم تلامذة الكيمياء - ولتعليم انفسنا - في تقرير نوع وكمية النظرية المطلوبة . وبمعنى اخر . الى اية درجة يتمكن التجريبي من قضاء الوقت بالدراسات النظرية . وعند اية نقطة يجب ان يقول . انه بعد ذلك ليس لي الوقت او الرغبة في الاستمرار؟ ينبغي . بالطبع . ان يكون جواب هذا السؤال متغيراً بحسب مجال التجربة الخاص وآراء الاشخاص بصورة منفردة . ففي بعض الحالات يكون استعمال النظرية المتقدمة ضرورياً . اما في حالات اخرى فتكون النظرية ذات فائدة قليلة نسبياً . وفي اغلب الحالات . يتضح انه يمكن القول بان ميكانيك الكم الجزيئي ( molecular quantum mechanics ) . اي نظرية التآصر الكيميائي والديناميك الجزيئي ( molecular dynamics ) اهمية عامة .

كما سنلاحظ في الفصل الخامس ، يتم ايجاد عدد وانواع مستويات الطاقة التسييتملكها الذرة او الجزيئة بصورة دقيقة من تماثل symmetry الجزيئة او من محيط الذرة . وعليه . يمكن من اعتبارات التماثل وحدها تعيين المظاهر الوصفية للسألة . وسنعمل بدون اية حسابات كمية عدد حالات الطاقة الموجودة ونوع التداخلات والانتقالات التي قد تحدث بينها . بمعنى آخر ، يمكن ان تعطي اعتبارات التماثل وحدها جواباً كاملاً ودقيقاً للسؤال : « ما الممكن وما المستحيل كلياً » ؟ لايمكن لاعتبارات التماثل وحدها ان

تبين كيفية احتمال حدوث الاشياء الممكنة ، حقيقة . يمكن ان يدل التماثل ، كقاعدة . عن حالتين للنظام ينبغي ان تختلفا بالطاقة ، ولكن بالقياس وحده يمكن ايجاد مدى هذا الاختلاف .

مرة ثانية ، يمكن ان يدلنا التماثل على احتمالية حدوث حزم امتصاص معينة في الطيف الالكتروني او التذبذبي electronic or vibrational spectrum . ولكن لمعرفة موقع وشدة هذه الحزم ، تجرى الحسابات لذلك .

قد يكون توضيح التعاريف التي ذكرناها مساعدا نوعا ما . لنقف عند توضيح واحد من كل من المجالات الاربعة الرئيسة للتطبيق المبينة في القسم الثاني . يشرح الفصل السابع الخواص التماثلية للاوربتالات الجزيئية مع التأكيد على اوربتالات  $\pi$  الجزيئية للهيدروكربونات غير المشبعة ، مع العلم بأن الفصل يشرح انظمة اخرى . أيضاً . ويتبين كيف ان المسائل المشتملة على اعداد كبيرة من الاوربتالات - ولهذا يمكن تعيين معادلات زمنية secular equations عالية الرتبة تعمل دراسات التماثل على تبسيطها بأكثر ما يمكن ، قدر المستطاع . كذلك ، يتضح كيف تسمح دراسات التماثل بتطوير القواعد البسيطة جدا والعامية ( ما يسمى بقواعد Woodward-Hoffman التي تتحكم بتفاعلات معينة . يوضح الفصل الثامن طريقة بناء الاوربتالات الهجينية hybrid orbitals ، ويشرح طريقة الاوربتال الجزيئي للجزيئات من نوع  $AB_n$  ، وقد وضحت العلاقة بين المعالجتين .

وبين الفصل التاسع دراسات التماثل التي توضح تطور الاجزاء الرئيسة من معالجات المجال الليكاندي والبلوري للاوربتالات الداخلية في المعقدات . واخيرا ، بين الفصل العاشر انه باستخدام دراسات التماثل وحدها يمكن افتراض عدد من الاساسات fundamentals التذبذبية ونشاطها من نوع تحت الحمراء ورامان والطريقة التي بواسطتها تسهم بها الاواصر المختلفة والزوايا بين الاواصر لأية جزيئة تمتلك بعض التماثل . تعتمد السعة الحقيقية للترددات frequencies على القوى بين الذرات في الجزيئة ، وهذه لا يمكن تعيينها من الخواص التماثلية . كذلك يقدم بالتفصيل الطريقة التقنية لاستخدام تحديدات التماثل لوضع المعادلات اللازمة للحسابات في معظم اشكالها السهلة [ طريقة مصفوفة FG matrix ] .

ان الغرض الرئيس لهذا الكتاب يكمن في وصف الطرق التي يمكن بواسطتها استخلاص المعلومات الطيفية عن ميكانيك الكم . وفي العديد من تطبيقات طرق التماثل من الجهل

والاصطناع استبعاد جميع الدراسات الكمية . وفي فصل الاوربتالات الجزيئية . من الطبيعي اجراء خطوات اكثر من طريقة ايجاد التماثلات للاوربتالات الجزيئية الممكنة وتوضيح كيفية كتابة الاتحادات الخطية للاوربتالات الذرية اللازمة وكيفية تعيين طاقتها . يتضح ان ادخال بعض الفرضيات الكمية في معالجة نظرية المجال الليكاندي أمر ضروري . أيضا

لقد افترض ان من الضروري للقاري معرفة اشارات notions نظرية الكم quantum theory . ويتوقع ان يعرف بصورة عامة ما المعادلة الموجية واهمية عامل هاميلتونيان Hamiltonian operator والمعنى الفيزيائي للدالة الموجية . وغيرها . ولكن لايفترض ان يعرف معلومات تفصيلية للرياضيات المعقدة . وحتى محتويات كتاب وصفي مثل Coulson's Valence تكون كافية . ومع ذلك . تعد المعلومات الاضافية حول الموضوع شيئاً جيداً .

وفيما يأتي ملاحظات بصدد ترتيب الكتاب لاتخلو من فائدة للقاري :  
ينقسم الكتاب الى قسمين : يغطي القسم الاول الفصول من الاول الى السادس . تلذت التي تشتمل على القواعد الاساسية لجميع التطبيقات . اما التطبيقات فتشرح في القسم الثاني الذي يضم الفصول من السابع الى العاشر . لقد كتبت المواضيع في القسم الاول بحيث تقرأ بالتسلسل . اي ان كل فصل وضع بصورة مقصودة معتمدا على المادة التي طورت في جميع الفصول التي سبقتة . اما في القسم الثاني فان الفصول مستقلة بعضها عن البعض الآخر قدر الامكان بدون الاعداد والتكرار . علماً بان كل فصل يعتمد على المادة المعطاة في القسم الاول . وتعد هذه الخطة مفيدة للقاري الذي يهدف الى دراسة منطقة معينة من التطبيق . لانه يتمكن من الاستمرار اليها مباشرة . وكذلك يسمح للمدرس اختيار التطبيقات التي يمكن اعطاؤها في فترة قصيرة . واذا اتسع الوقت . امكن اخذ جميع التطبيقات في ترتيب يختلف عما هو عليه في هذا الكتاب .

وقد وسعت بعض النقاط المتخصصة نوعاً ما في الملاحق في ترتيب اعتمد الشرح الاساس دون توسع او اطالة . وكذلك اعطيت بعض الجداول على شكل ملاحق . واخيراً ، يهيم الملحق التاسع قائمة بالمصادر لكل من الفصول الاربعة في القسم الثاني . اذ يشير الى مكان وجود الشرح وامثلة على التطبيقات المختلفة والبحوث .





## الفصل الثاني

### التعاريف والنظريات في نظرية المجموعة

#### 2.1 الخواص المحددة للمجموعة :

تمثل المجموعة *group* جمعا من العناصر يعود بعضها الى البعض الاخر بحسب قواعد معينة . ولا نحتاج في شرح المجموعة الى تعيين العناصر المكونة لها او ان نعزي اية اهمية فيزيائية لهذه المكونات . وفي هذا الكتاب سنهتم اهتماما كبيرا بالمجاميع التي تكونها مجموعات من عمليات التماثل *symmetry operations* التي يمكن اجراؤها على الجزئيات . ولكن التعريفات الاساس وفرضيات نظرية المجموعة *group theory* تكون اكثر عموما .

وحتى تكون اي مجموعة من العناصر مجموعة رياضية . ينبغي توافق الشروط او القواعد الآتية :

1- ان ناتج حاصل ضرب اي عنصرين في المجموعة ومربع كل عنصر يجب ان يكون عنصرا في المجموعة . لاعطاء معنى لهذا الشرط ينبغي ان يكون هناك اتفاق على معنى الاصطلاحين يضرب *multiply* وضرب *product* اذ ليس شريطة ان يكون معناه نفسا كما في الجبر والحساب . وربما ان نقول يتحد *combine* بدلا من يضرب « واتحاد » *combination* بدلا من ضرب لتجنب المضمون غير الضروري الذي قد يكون غير صحيح ايضا . ولن نتعجل بالحكم على اي قانون معين للاتحاد ولكن من المستحسن القول انه . اذا كان  $A$  و  $B$  عنصرين في المجموعة فاننا نشير الى اتحادهما وذلك بكتابتها ببساطة على شكل  $AB$  او  $BA$  . والان يظهر التساؤل هل ثم اختلاف ما عند كتابة  $AB$  او  $BA$  ؟ في الحقيقة لا يوجد اختلاف في الجبر الاعتيادي ونقول بان عملية الضرب متبادلة . اي ان  $xy = yx$  او  $3 \times 6 = 6 \times 3$  . ولكن قانون تبادل الحدود *commutative law* لا يصح بصورة عامة في نظرية المجموعة . وهكذا ، قد يعطي  $AB$  الحد  $C$  في حين  $BA$  قد يعطي  $D$  . حيث ان  $C$  و  $D$  يمثلان عنصرين اخرين في المجموعة . وهناك بعض المجاميع يكون فيها الاتحاد متبادلا وتسمى مثل هذه المجاميع بمجاميع هابليان *Abelian groups* . واذا لم تكن عملية الضرب متبادلة عموما ، فمن المناسب احيانا ايجاد وسيلة لتعيين ما اذا كان العنصر  $B$  هو

الذي يضرب بالعنصر  $A$  بمعنى  $AB$  او  $BA$ . يقال في الحالة الاولى ان العنصر  $B$  يضرب من اليسار *left-multiplied* بالعنصر  $A$  وفي الحالة الثانية يضرب العنصر  $B$  من اليمين *right-multiplied* بالعنصر  $A$ .

2- يجب ان يتبادل احد العناصر في المجموعة مع جميع العناصر الاخرى ويتركها بدون تغير. ومن المعتاد الاشارة الى هذا العنصر بالحرف  $E$ . ويسمى عادة عنصر التطابق *identity element*. ويعرف بالرموز بكتابة كالاتي: *associative law*:  

$$EX = XE = X$$

3. يجب أن يصح قانون ترتيب الحدود *associative law of multiplication* المضروبة. ويعبر عن ذلك بالعلاقة الآتية:

$$A(BC) = (AB)C$$

وبصورة واضحة. يمكن توحيد  $B$  مع  $C$  في الترتيب  $BC$  ومن ثم دمج هذا الناتج  $S$  مع  $A$  في الترتيب  $AS$ . او انه يمكن توحيد  $A$  مع  $B$  في الترتيب  $AB$  للحصول على الناتج. مثل  $R$  ومن ثم الاتحاد مع  $C$  في الترتيب  $RC$  ونحصل على الناتج النهائي نفسه في اي من الطريقتين. بصورة عامة. يجب ان تصح خاصية ترتيب الحدود لحاصل الضرب المستمر لاي عدد من العناصر. مثل:

$$(AB)(CD)(EF)(GH) = A(BC)(DE)(FG)H = (AB)C(DE)(FG)H \dots$$

4- يجب ان تكون لكل عنصر قيمة معكوسة *reciprocal* تمثل عنصراً في المجموعة. ايضاً. وبعد العنصر  $R$  الحد المعكوس للعنصر  $S$  اذا كان  $RS = SR = E$  حيث تمثل  $E$  المتطابقة. ومن البديهي. اذا كان  $R$  الحد المعكوس للعنصر  $S$  فان  $S$  الحد المعكوس للعنصر  $R$ . وتكون  $E$  نفسها معكوسة.

عند هذه النقطة يجب ان نبرهن فرضية صغيرة لها صلة بالمعكوسات ستستعمل فيما بعد. والقاعدة هي:

ان معكوس حاصل ضرب عنصرين او اكثر يساوي حاصل ضرب المعكوسات في الترتيب العاكس. وهذا يعني ان:

$$(ABC \dots XY)^{-1} = Y^{-1}X^{-1} \dots C^{-1}B^{-1}A^{-1}$$

البرهان:

للتبسيط سنبرهن هذا الحاصل ضرب ثلاثي العناصر. ولكن سيكون بديهيًا ان ذلك

صحيح بصورة عامة . اذا كان  $C, B, A$  عناصر مجموعة فان حاصل الضرب ، مثل  $C, B, A$  ، يجب ان يكون عنصر مجموعة ايضاً .  $ABC = D$  ، فاذا ضربنا الآن كل جانب لهذه المعادلة من جهة اليمين بالحدود  $C^{-1}B^{-1}A^{-1}$  ، حصلنا على :

$$ABCC^{-1}B^{-1}A^{-1} = DC^{-1}B^{-1}A^{-1}$$

$$ABEB^{-1}A^{-1} = DC^{-1}B^{-1}A^{-1}$$

$$E = DC^{-1}B^{-1}A^{-1}$$

ونظراً لان  $D$  مضروباً بالحدود  $C^{-1}B^{-1}A^{-1}$  يساوي  $E, C^{-1}B^{-1}A^{-1}$  معكوس  $D$  ولان  $D$  يساوي  $ABC$  ، نجد ان  $D^{-1} = (ABC)^{-1} = C^{-1}B^{-1}A^{-1}$  حيث يبرهن القاعدة في اعلاه .

## 2.2 بعض امثلة المجاميع :

قد تكون المجاميع محددة او غير محددة . اي انها قد تحتوي عدد محدود او غير محدود من العناصر . ومجاميع التماثل التي سنغنى بها محددة ، في الغالب ، ولكن اثنين منها . مما يحتمل ان تعود اليهما الجزئيات الخطية . غير محدودين . يسمى عدد العناصر في المجموعة المحددة بالرتبة ( order ) ، ويمثل  $h$  الرمز المتفق عليه للرتبة . ولتوضيح القواعد المبينة . في اعلاه ، نأخذ بنظر الاعتبار مجموعة غير محددة ثم بعض المجاميع المحددة .

وفي المجموعة غير المحددة ، يمكن اخذ جميع القيم الصحيحة الموجبة والسالبة والصفر . فاذا اخذنا قانون الاتحاد حسب عملية الجمع الجبرية الاعتيادية ، تحققت القاعدة الاولى ، ومن الواضح انه يمكن الحصول على اي عدد صحيح من اضافة عددين آخرين . لاحظ ان هناك مجموعة هابليان ( Abelian group ) لان ترتيب الاضافة غير هام ، وتكون متطابقة ( identity ) المجموعة صفراً لان  $0 + n = n + 0 = n$  وكذلك يصبح قانون ترتيب الحدود المتحدة نافذ المفعول لان مثلاً  $[(+3) + (-7)] + (+1043) = (+3) + [(-7) + (+1043)]$

وان معكوس أي عنصر  $n$  هو  $(-n)$  لان  $(+n) + (-n) = 0$

## جدول ضرب المجموعة :

إذا اخذنا قائمة كاملة وغير فائضة ( nonredundant ) من عناصر  $h$  المجموعة محددة مع معرفة جميع نواتجها الممكنة ( هناك  $h^2$  ) ، فإن المجموعة تكون كاملة ومعرفة بصورة فريدة - في الأقل بالمعنى التجريدي . يمكن تقديم المعلومات السابقة بصورة مناسبة أكثر على شكل جدول حاصل ضرب المجموعة ( group multiplication table ) الذي يتكون من خطوط أفقية وعمودية لعناصر  $h$  ، يعنون كل عمود باحد عناصر المجموعة وكذلك كل خط افقي . يمثل العنصر المشترك في الجدول . تحت العمود المعين على طول الخط الأفقي المعين . ناتج العناصر التي تنصدر العمود وذلك الخط الأفقي . ويكون حاصل الضرب غير تبادلي . ينبغي ان يكون ثم اتفاق وقاعدة متماسكة لرتبة حاصل الضرب . وعلى سبيل الاختيار سناخذ العوامل في الترتيب ( عنصر العمود )  $\times$  ( عنصر الخط الأفقي ) . وهكذا . نجد عند تقاطع العمود الذي يرمز له  $X$  والخط الذي يرمز له  $Y$  العنصر الذي يمثل الناتج  $XY$  .

لقد اثبتنا الان نظرية مهمة حول جداول ضرب المجموعة تسمى نظرية اعادة الترتيب *rearrangement theorem* .

يعطي كل خط افقي وكل عمود في جدول ضرب المجموعة عناصر كل مجموعة مرة واحدة فقط ، من ذلك يتضح انه لا يمكن أن يتشابه أي خطان افقيان او عمودان . وهكذا فان كل خط افقي او كل عمود هو قائمة اعيد ترتيبها لعناصر المجموعة .

البرهان : لنأخذ مجموعة تتكون من  $h$  من العناصر  $E, A_2, A_3, \dots, A_n$  . ستكون العناصر في الخط الأفقي المعين ، من الخط النوني  $n$ th كالاتي :

$$EA_n, A_2A_n, \dots, A_nA_n, \dots, A_nA_n$$

ونظراً لاستحالة تساوي عنصرين في المجموعة ، مثل  $A_i A_j$  ، فانه يستحيل تساوي أي ناتجين  $A_i A_n$  و  $A_j A_n$  ، وتكون عناصر  $h$  المشتركة في الخط النوني مختلفة جميعاً ، ولما كان هناك عدد  $h$  من عناصر المجموعة ، فيجب وجود كل منها مرة واحدة لاغيرها ، ونصح المناقشة نفسها بصدد الأعمدة . لنختبر الان بشكل نظامي المجاميع المتألفة الممكنة ذات الرتبة الواطئة باستخدام جداول حاصل ضربها لتعيينها .



وهناك . من الناحية الشكلية . مجموعة من الرتبة الاولى تتكون من عنصر المتطابقة لوحده وهناك مجموعة واحدة ممكنة فقط من الرتبة الثانية تمتلك جدول حاصل الضرب الآتي وستمثل بالرمز  $G_2$  .

$G_2$	$E$	$A$
$E$	$E$	$A$
$A$	$A$	$E$

وللمجموعة من الرتبة الثالثة . يجب ان يكون جزء من جدول حاصل الضرب كالاتي :

	$E$	$A$	$B$
$E$	$E$	$A$	$B$
$A$	$A$		
$B$	$B$		

عندئذ سيكون فقط لاكمال الجدول . اما  $AA = B$  او  $AA = E$  فاذا كان  $AA = E$  ، فان  $BB = E$  اذ يجب توسيع الجدول ول يعطي :

	$E$	$A$	$B$
$E$	$E$	$A$	$B$
$A$	$A$	$E$	
$B$	$B$		$E$

ولكن لايمكن التوسع اكثر لانه يجب ان نقبل بأن  $AB = A$  و  $BA = A$  لاكمال العمود الأخير والخط الافقي الأخير . على التوالي ، وهكذا تعاد  $A$  في كل من العمود الثاني والخط الثاني . ويؤدي الحل الآخر  $AA = B$  الى الجدول الواضح الآتي :

$G_3$	$E$	$A$	$B$
$E$	$E$	$A$	$B$
$A$	$A$	$B$	$E$
$B$	$B$	$E$	$A$

### المجاميع الحلقية Cyclic Groups

يمثل  $G_3$  أبسط الاعضاء ذا الاهمية لمجموعة مهمة من المجاميع ، هي المجاميع

الحلقية. يلاحظ ان  $AA = B$ ، في حين  $AB (=AAA) = E$ . وهكذا ، يمكن أن تعد المجموعة كلها ناتجة من أخذ العنصر  $A$  وقواه  $A^2 (=B)$  و  $A^3 (=E)$ . وبصورة عامة، تعرف المجموعة الحلقية ذات الرتبة  $h$  بالعنصر  $X$  وجميع قوى  $h$  الى القوة  $X^h = E$ . وسنعمل على اختبار عدة مجاميع حلقية اخرى . ومن الخواص المهمة للمجاميع الحلقية كونها من نوع هابليان ، أي أن جميع عمليات الضرب تكون معكوسة ، ويجب أن يكون ذلك صحيحاً ، لأن جميع العناصر المختلفة في المجموعة تأخذ الشكل  $X^n, X^m$  ، ومن الواضح أن  $X^n X^m = X^m X^n$  لجميع قيم  $m$  و  $n$  .

ولأجل الاستمرار ، نتساءل عن عدد المجاميع من الرتبة الرابعة التي قد توجد وما جداول ضربها . من الواضح أن هناك مجموعة حلقية من الرتبة الرابعة ، لنستعمل العلاقات الآتية :

$$\begin{array}{ll} X = A & X^3 = C \\ X^2 = B & X^4 = E \end{array}$$

عندئذ ينتج عن ذلك بأن جدول الضرب ، بالشكل الاعتيادي ، كالآتي :

$G_4^{(1)}$	$E$	$A$	$B$	$C$
$E$	$E$	$A$	$B$	$C$
$A$	$A$	$B$	$C$	$E$
$B$	$B$	$C$	$E$	$A$
$C$	$C$	$E$	$A$	$B$

من الواضح أن هناك نوعاً ثانياً من مجموعة  $G_4^{(2)}$ ، ويوجد لمجموعة  $G_4^{(1)}$  عنصر واحد معكوس نفسه، هو  $B$ . لنفترض ، عوضاً عن ذلك ، أن كلا من العنصرين  $A$  و  $B$  يمثل معكوسه ، فلا يبقى اختياراً ما غير جعل العنصر  $C$  معكوس نفسه ذلك لأن كل واحد من عناصر  $E$  الاربعة في الجدول يجب أن يقع في خط افقي وعمودي مختلف . وهكذا نحصل على :

	$E$	$A$	$B$	$C$
$E$	$E$	$A$	$B$	$C$
$A$	$A$	$E$		
$B$	$B$		$E$	
$C$	$C$			$E$

تفصح النظرة السريعة عن طريقة واحدة فقط لاكمال هذا الجدول :

$G_4^{(2)}$	E	A	B	C
E	E	A	B	C
A	A	E	C	B
B	B	C	E	A
C	C	B	A	E

من الواضح ايضاً ان ليس ثمة احتمالات اخرى \* . وهكذا . هناك مجموعتان من الرتبة الرابعة . هما  $G_4^{(1)}$  و  $G_4^{(2)}$  حيث يمكن ان تحدداً حسب جداول ضربهم ——— .

يبقى بعد ذلك . على سبيل الاختبار بيان وجود مجموعة واحدة من الرتبة الخامسة . وبصورة متشابهة . يترك . على سبيل الاختبار ايضاً . الفحص النظامي لامكانيات المجاميع من الرتبة السادسة . ولاعطاء مادة توضيحية للمواضيع العديدة التي سنأخذها لاحقاً . نبين جدول الضرب لاحد مجاميع الرتبة السادسة .

$G_6^{(1)}$	E	A	B	C	D	F
E	E	A	B	C	D	F
A	A	E	D	F	B	C
B	B	F	E	D	C	A
C	C	D	F	E	A	B
D	D	C	A	B	F	E
F	F	B	C	A	E	D

### 2.3 المجاميع الثانوية : Subgroups

يبين البحث في جدول الضرب للمجموعة  $G_6^{(1)}$  عن ان في هذه المجموعة ذات الرتبة السادسة مجاميع أصغر . تمثل المتطابقة E نفسها مجموعة من الرتبة الاولى ، وهذا بالطبع سيكون صحيح و عادي في اية مجموعة . لكن المجاميع من الرتبة الثانية تعد ذات طبيعة غير اعتيادية ، مثل ،  $E, A; E, B; E, C$  : والمجموعة من الرتبة

اذا حضرنا جدولاً يحتوي على عنصر واحد فقط ( غير E ) معكوس نفسه ولنجعل هذا العنصر A او C بدلاً من B المبين في جدول  $G_4^{(1)}$  . لن نستحدث  $G_4$  مختلفة وانما نستبدل فقط الرموز الاختيارية لعناصر المجموعة .

الثالثة . مثل ،  $E, D, F$  . ينبغي ان يميز الاخير ايضاً بشكل المجموعة الحلقية  $G_3$  . لان  $D^2 = F, D^3 = DF = FD = E$  . ولكز للرجوع الى النقطة الاساس . تسمى هذه المجاميع الأصغر التي قد توجد في المجموعة الأكبر بالمجاميع الثانوية . وهناك بالطبع مجاميع لا تحتوي على مجاميع ثانوية غير مجاميع  $E$  نفسها ذاتية . لنأخذ الآن بنظر الاعتبار ما اذا كانت هناك تحديدات لطبيعة المجاميع الثانوية ، وهذه التحديدات هي نتائج معقولة للتعريف العام للمجموعة وليس لاية مميزات اضافية أو خاصية في المجموعة المعنية . ومما يلاحظ ايضاً ان رتب المجموعة  $C_6^{(1)}$  ومجاميعها الثانوية هي 6 و 3 و 2 و 1 وباختصار ، تكون رتب المجاميع الثانوية جميعها عوامل لرتبة المجموعة الاساس . والآن سنعمل على اثبات النظرية الآتية :

يجب ان تقبل رتبة اية مجموعة ثانوية  $g$  للمجموعة ذات الرتبة  $h$  ان تنقسم عليها  $h$  . بمعنى اخر  $h/g = k$  وهو عدد صحيح .

البرهان : لنفترض ان لعناصر  $A_1, A_2, A_3, \dots, A_g$  تكون مجموعة ثانوية . لنأخذ الان عنصراً اخر  $B$  في المجموعة لا يمثل عضواً في المجموعة الثانوية ويكون جميع نواتج  $BA_1, BA_2, \dots, BA_g : g$  لا يمكن ان يكون اي من هذه النواتج في المجموعة الثانوية . فاذا كان ، مثلاً ،  
 $BA_2 = A_4$

ثم ، اذا اخذنا معكوس  $A_2$  ، من المحتمل ان يكون  $A_5$  ، وضربنا المعادلة السابقة من جهة اليمين ، حصلنا على :

$$BA_2 A_5 = A_4 A_5$$

$$BE = A_4 A_5$$

$$B = A_4 A_5$$

ولكن ذلك يتعارض مع الفرضية في كون  $B$  لا يمثل عضواً في المجموعة الثانوية . لان  $A_1, A_2, \dots, A_g$  يمكن ان يكون احد  $A_i$  فقط . فاذا كانت جميع النواتج  $BA_i$  في المجموعة الكبيرة اضافة الى  $A_i$  ، وجب ، في الاقل ، وجود عدد  $2g$  من الاعضاء في المجموعة . واذا كان  $h$  اكبر من  $2g$  ، امكن اختيار عنصر اخر في المجموعة ، مثل  $C$  ، لا يمثل احداً من  $A_i$  او من  $BA_i$  ، وعند ضرب  $A_i$  بالعنصر  $C$  نحصل على عدد  $g$  اضافي من العناصر ، وهي جميعاً اعضاء في المجموعة الرئيسة ولكنها لا تكون اعضاءاً من  $A_i$  او  $BA_i$  . وهكذا ، اصبح



معلوماً الآن ان  $h$  يجب ان تساوي . في الاقل  $3g$  . ولكن يجب ان نصل الى النقطة التي لا يوجد عندها عناصر اخرى يمكن ضربها بالعناصر  $A_i$  والتي لا تكون من ضمن  $A_i, BA_i, CA_i$  وغيرها التي تم الحصول عليها . لنفترض انه بعد ايجاد  $k$  وصلنا الى النقطة التي لا يوجد بعدها اي عنصر آخر . اذن  $h = kg$  . حيث ان  $k$  تمثل عدداً صحيحاً . ولهذا  $h/g = k$  وهو الشيء الذي حاولنا اثباته .

مع انه بينا ان رتبة اية مجموعة ثانوية .  $g$  . يجب ان تنقسم عليها  $h$  . لكننا لم نثبت العكس . وخاصة وجود مجاميع ثانوية لجميع الرتب تنقسم عليها  $h$  . وفي الحقيقة . لا يعد ذلك صحيحاً بصورة عامة . والابعد من ذلك . كما اثبتت المجموعة التوضيحية . يمكن ان يوجد اكثر من مجموعة ثانوية واحدة للرتبة المعينة .

## 2.4 الانصاف Classes

لاحظنا انه في المجموعة المعينة يمكن اختيار تجمعات مختلفة اصغر من العناصر . تكون كل منها وضمناها  $E$  . مجاميع . هناك طريقة اخرى يمكن بواسطتها فصل عناصر المجموعة الى تجمعات اصغر تسمى اصنافا . قبل تعريف الصنف . يجب ان نأخذ بنظر الاعتبار عملية تعرف بالتحويل المتشابه ( similarity transformation ) .

اذا كان  $A$  و  $X$  عنصرين في مجموعة فان  $X^{-1}AX$  يساوي عنصراً في المجموعة مثل  $B$  . ونحصل على :

$$B = X^{-1}AX$$

يعبر عن هذه العلاقة بالقول : ان  $B$  هو الشكل المتحول المتشابه للعنصر  $A$  مضروباً بالعنصر  $X$  . ويقال ايضاً : ان  $A$  و  $B$  متقاربان . تعد الخواص الاتية للعناصر المتقارنة . مهمة :

1. يكون كل عنصر متقارناً ( conjugate ) مع نفسه . وهذا يعني انه عند اختياري عنصرين  $X$  . يجب ان يكون ممكناً وجود عنصر واحد في الاقل  $X$  . بشكل

$$A = X^{-1}AX$$

فاذا ضربنا هذه العلاقة من جهة اليسار بالعنصر  $A^{-1}$  حصلنا على :

$$A^{-1}A = E = A^{-1}X^{-1}AX = (XA)^{-1}(AX)$$

اذ تصح فقط اذا كان  $A$  و  $X$  تبادليين ( commute ) . وهكذا . قد يكون العنصر دائماً  $E$  . ومن المحتمل اي عنصر آخر يتبادل مع العنصر المختار  $A$  .

2. إذا كان  $A$  متقارناً مع  $B$  . فإن  $B$  متقارن مع  $A$  .

$$A = X^{-1}BX$$

وهذا يعني أنه إذا كان

وجب وجود عنصر ما  $Y$  في المجموعة بالشكل

$$B = Y^{-1}AY$$

ويتم اثبات ذلك بسهولة بأجراء عمليات الضرب المناسبة :

$$XAX^{-1} = XX^{-1}BXX^{-1} = B$$

وهكذا . إذا كان  $Y = X^{-1}$  (وايضاً إذا كان  $Y^{-1} = X$ ) نحصل على :

$$B = Y^{-1}AY$$

وهذا يجب أن يكون ممكناً . لأن أي عنصر مثل  $X$  يجب أن يكون له معكوس مثل  $Y$

3. إذا كان  $A$  متقارناً مع  $B$  و  $C$  فإن  $B$  و  $C$  يكونان متقارنين الواحد مع الآخر . ان

اثبات ذلك سهل ويمكن اجراؤه بصورة مشابهة للشرح السابق . ولهذا يترك كتمرين .

والان يمكن تعريف الصنف من العناصر :

يسمى التجمع الكامل من العناصر التي تكون متقارنة بعضها مع البعض الآخر صنفاً في المجموعة . لايجاد الاصناف في أية مجموعة معينة . يمكن البدء بعنصر واحد وايجاد جميع متحولاته باستخدام جميع العناصر في المجموعة من ضمنها العنصر نفسه ثم يؤخذ عنصران من غير العناصر التي وجدت متقارنة مع العنصر الاول وتوجد جميع متحولاته . وهكذا حتى يتم وضع جميع العناصر في صنف واحد او آخر .

لنوضح هذه الطريقة بالنسبة الى  $G_6^{(1)}$  . يمكن تحقيق جميع النتائج المبينة في

ادناه باستخدام جدول حاصل الضرب . ولنبدأ بالعنصر  $E$

$$E^{-1}EE = EEE = E$$

$$A^{-1}EA = A^{-1}AE = E$$

$$B^{-1}EB = B^{-1}BE = E$$

...

وهكذا . يجب أن يكون  $E$  بنفسه صنفاً من الرتبة الاولى لأنه غير متقارن مع أي عنصر

آخر . وبصح ذلك لاية مجموعة . وللاستمرار

$$E^{-1}AE = A$$

$$A^{-1}AA = A$$

$$B^{-1}AB = C$$

$$C^{-1}AC = B$$

$$D^{-1}AD = B$$

$$F^{-1}AF = C$$

وهكذا . تكون العناصر  $A, B, C$  جميعاً متقارنة ولهذا فهي اعضاء في الصنف نفسه  
 وترك للقارئ أن يبين ان جميع التحولات للعنصرين  $B$  و  $C$  هي  $A, B$  او  $C$ ، ولهذا  
 فان  $A, B, C$  هي في الحقيقة الاعضاء الوحيدة في الصنف .

وبالاستمرار نحصل على

$$E^{-1}DE = D$$

$$A^{-1}DA = F$$

$$B^{-1}DB = F$$

$$C^{-1}DC = F$$

$$D^{-1}DD = D$$

$$F^{-1}DF = D$$

وقد وجد ايضا ان كل شكل متحول من  $F$  يكون  $D$  او  $F$  . ولهذا فان  $D$  و  $F$  يكونان  
 صنفا من الرتبة الثانية

يلاحظ ان الاصناف ذي الرتب 1 . 2 و 3 جميعها تمثل عوامل لرتبة المجموعة  
 السادسة . بطريقة مشابهة لما هو مستعمل بالنسبة لرتب المجاميع الثانوية . يمكن اثبات  
 صحة النظرية الاتية :

يجب ان تكون رتب جميع الاصناف عوامل صحيحة  
*integral factors* لرتبه المجموعة .

سنلاحظ فيما بعد ان للاصناف في المجموعة التماثلية اهمية هندسية  
 ( geo metrical ) مفيدة .

تمارين :

- 2.1- بين ان هناك مجموعة واحدة فقط من الرتبة الخامسة واعطي جدول ضربها .
- 2.2- عمم نتيجة السؤال الاول لاثبات ان جميع المجاميع ذات الرتبة الاولى التي  
 التي تحدد بصورة منفردة بشكل حلقي . مجاميع هابليان .
- 2.3- اشتق جداول ضرب المجاميع الاخرى من السادسة .
- 2.4- عين المجاميع الثانوية في المجموعتين  $G_4^{(1)}, G_4^{(2)}$  والمجموعة الحلقية من  
 الرتبة السادسة التي يبين السؤال 2.3 جدول حاصل ضربها .
- 2.5- رتب عناصر المجاميع  $G_3, G_4^{(1)}, G_4^{(2)}, G_5$  والمجموعة الحلقية من الرتبة  
 السادسة الى اصنافها .

- 2.6- اثبت النظرية التي تنص على ان في اية مجموعة هابليان يكون في صنف بنفسه .
- 2.7- استحدث مجموعة غير حلقية من الرتبة الثامنة .
- 2.8- عين جميع المجاميع الثانوية والاصناف للمجموعة المستحدثة في السؤال السابق .
- 2.9- بين ان لاية مجموعة حلقية  $X, X^2, X^3, \dots, X^n = E$  مجموعة ثانوية واحدة تتطابق مع كل عنصر صحيح تنقسم عليه الرتبة  $n$
- 2.10- افترض ان العنصر  $C$  اضيف الى عناصر المجموعة  $G_3$  . فاذا كان  $C$  يتبادل مع  $A$  و  $B$  . ما المجموعة الجديدة الناتجة ؟
- 2.11- اثبت او انقض النظرية الآتية : من المستحيل في المجموعة  $E, A, B, C$  ، وجود  $A^2 = B^2 \neq E$  ،

هنا يوسف اللوشي

متاح للتحميل ضمن مجموعة كبيرة من المطبوعات من صفحة

مكتبتي الخاصة

على موقع ارشيف الانترنت

الرابط

[https://archive.org/details/@hassan\\_ibrahem](https://archive.org/details/@hassan_ibrahem)

## الفصل الثالث

### التماثل الجزئي ومجاميع التماثل

#### 3.1 ملاحظات عامة :

قد يكون من المناسب ان يبدأ هذا الفصل بتعيين المواضيع التي ستشرح هنا . وواضح على وجه التأكيد ماذا نعني عند القول : ان بعض الجزئيات أكثر تماثلاً من جزئيات أخرى . او : ان بعض الجزئيات تمتلك تماثلاً عالياً في حين ان لجزئيات أخرى تماثلاً واطناً او انها عديمة التماثل . ولكن . لجعل فكرة التماثل الجزئي مفيدة قدر الامكان ينبغي تطوير خاصية رياضية ثابتة . نوعاً ما . للتماثل . ولعمل ذلك . يجب اولاً ان تؤخذ بنظر الاعتبار انواع عناصر التماثل التي قد تمتلكها الجزئية وعمليات التماثل الناتجة منها . وسنبين . بعد ذلك . ان التجمع الكامل غير الفائض nonredundant من عمليات التماثل ( غير العناصر ) يكون المجموعة الرياضية . وأخيراً . نستعمل الخواص العامة للمجاميع . تلك التي طورت في الفصل الثاني . لتساعد بصورة نظامية وصحيحة على ايجاد عمليات التماثل لاية جزئية قد نهتم بدراستها . كذلك . نشرح هنا . ايضاً . نظام الترقيم notation system المستعمل اعتيادياً من قبل الكيميائيين لمجاميع التماثل المختلفة . يبين الملحق 1 نظاماً آخر يستعمل في علم التبلور ، عادة .

#### 3.2 عناصر وعمليات التماثل :

استخدام النماذج في الابعاد الثلاثة three-dimensional مساعد جداً في التعلم لتشخيص وتخيل عناصر التماثل . وفي الحقيقة . ليس ثم احتمال ان يفشل الشخص ذو المواهب الاستثنائية في هذا المجال . في الحصول على فائدة مهمة من اختبار النماذج . وفي الوقت نفسه . يمكن القول ان لاي شخص الذكاء الذي يؤهله للتحكم في نواح أخرى من المعلومات الكيميائية الحديثة . ومن المؤكد نجاحه في الحصول على معلومات جيدة للتماثل الجزئي . باستخدام النماذج .

ترتبط كل عملية من عمليات وعناصر التماثل بروابط وطيدة بحيث تفضي بيسر الى

ارباك المتديء بهذا الموضوع . على انهما شيان يختلفان بالنوع . ومن المهم ادراك وفهم الاختلاف بينهما .

### تعريف عملية التماثل :

عملية التماثل هي حركة الجسم حتى اذا توقف الجسم عن الحركة تتطابق كل نقطة فيه مع نقطة مكافئة ( من المحتمل ان تكون النقطة نفسها ) في الجسم في حالة اتجابهه الاصلي . بمعنى آخر . اذا لاحظنا

موقع واتجاه الجسم قبل وبعد حدوث الحركة . وجدنا أن الحركة هي عملية تماثلية اذا استحال تمييز هذين الموقعين والعليتين . وهذا يعني انه اذا اردنا النظر الى الجسم . نلتفت الى الورا مدة كافية حتى تتم عملية التماثل . فاذا نظرنا الى الجسم مرة ثانية . اتضح انه يستحيل معرفة فيما اذا حدثت العملية او لم تحدث . وذلك لانه في كلتا الحالتين لا يمكن تمييز الموقع والاتجاه عن الاصل . وثمة طريقة اخيرة نستطيع بها تعريف عملية التماثل هي بالقول :

ان تأثيرها هو اخذ الجسم الى ترتيب مكافيء - اي الترتيب الذي لا يمكن تمييزه عن الاصل وليس من الضروري ان يكون متطابقاً معه .

### تعريف عنصر التماثل :

يمثل عنصر التماثل عينة هندسية . مثل الخط والمستوي أو النقطة . بالنسبة لواحدة او اكثر من عمليات التماثل التي يمكن اجراؤها .

وترتبط عمليات وعناصر التماثل بقوة لانه يمكن تحديد العملية فقط بالنسبة الى العنصر . وفي الوقت نفسه يوضح وجود عنصر التماثل باظهار عمليات التماثل المناسبة التي يمكن اجراؤها . فقط . ونظراً لان وجود عنصر التماثل يتعلق بوجود عمليات التماثل . والعكس بالعكس . لذلك سنشرح الانواع المتعلقة من العناصر وعمليات التماثل سوية . أيضاً .

في التعامل مع التماثل الجزئي . هناك اربعة انواع من عناصر وعمليات التماثل تؤخذ بنظر الاعتبار . وهذه مبينة في الجدول 3.1 بحسب ترتيب شرحها القادم .

جدول 3.1 الانواع الاربعة من عناصر وعمليات التماثل اللازمة في تعيين التماثل الجزيئي .

عنصر التماثل	عملية التماثل
١ - مستوي .	انعكاس في المستوي .
٢ - مركز التماثل او مركز الانقلاب .	انقلاب جميع الذرات خلال المركز .
٣ - المحور المناسب .	دوران واحد او اكثر حول المحور .
٤ - المحور غير المناسب	اعادة واحدة او اكثر للتسلسل : دوران يتبع بانعكاس في المستوي العمودي على محور الدوران .

### 3.3 مستويات وانعكاسات التماثل :

#### Symmetry Planes and Reflections

ينبغي ان يمر مستوي التماثل symmetry plane خلال الجسم ، اي ان المستوي لا يمكن ان يكون كلياً خارج الجسم . ويمكن تحديد الشروط التي يجب ان تحقق ليكون المستوي المعين مستوياً تماثلياً كالآتي : لنستعمل نظام الاحداثي الديكارتي Cartesian coordinate على الجزيئة بحيث يشتمل المستوي على اثنين من المحاور ( مثل  $x$  و  $y$  ) عمودين على الثالث ( مثل  $z$  ) ، ويمكن تعيين كل ذرة في الجزيئة ايضا بحسب النظام

الاحداثي هذا نفسه . لنفترض الآن بقاء الاحداثيان  $x$  و  $y$  لكل ذرة ثابتين وتغير إشارة الاحداثي  $z$  : وهكذا ، تتحرك الذرة ذات التسلسل  $i$  ، الموجودة اصلاً عند  $(x_i, y_i, z_i)$  الى النقطة  $(x_i, y_i, -z_i)$  . والطريقة الثانية للتعبير عن العملية السابقة هي بالقول :

« لنسقط عموداً من كل ذرة الى المستوي ولیمد هذا الخط الى مسافة مساوية في الاتجاه المعاكس للمستوي ثم لنحرك الذرة الى نهاية الخط الآخر » فاذا نتج عند اجراء هذه العملية على كل ذرة في الجزيئة ترتيب مكافيء فان المستوي المستعمل هو مستوي تماثلي .

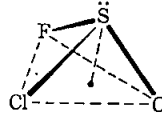
ومن الواضح ان الذرات الواقعة في المستوي تكون حالات خاصة لكون عملية الانعكاس خلال المستوي لاتعمل على تحريك هذه الذرات على الاطلاق . ونتيجة لذلك ، ترتبط اية جزيئة مستوية لتأخذ في الاقل مستويًا تماثليًا واحدًا ، هو المستوي الجزيئي *molecular plane* . ومن النتائج المهمة الاخرى للتعريف هو تحديد عدد الانواع المختلفة من الذرات في الجزيئة التي تمتلك مستويًا تماثليًا . ويجب ان توجد جميع الذرات للينة المعنية التي لاتقع في المستوي بأعداد زوجية لانه يجب ان يكون لكل واحدة منها توأما في الجهة الثانية من المستوي ، وبالطبع ، قد يكون اي عدد من الذرات للنوعية المعنية في المستوي ، والإبعد من ذلك اذا وجدت ذرة واحدة فقط للينة المعنية في الجزيئة وجب ان تكون في كل مستوي تماثلي قد تمتلكه تلك الجزيئة . وهذا يعني انه يجب ان تقع على خط التقاطع بين اثنين او اكثر من المستويات او عند نقطة تقاطع ثلاثة مستويات او اكثر ( اذا وجدت مثل هذه النقطة ) لان هذه الذرة يجب ان تقع في جميع المستويات التماثلية في الوقت نفسه .

تمثل  $\sigma$  الرمز القياسي لمستوي التماثل ، ويستعمل هذا الرمز لعملية الانعكاس .  
reflectin خلال المستوي .

ويجب ان يلاحظ بوضوح ان وجود مستوي تماثل واحد يعطي ( او يحتاج . كما يقال عادة ) عملية تماثلية واحدة . يمكن ان يلاحظ هنا ايضا ( للاستعمال في المستقبل ) ان تأثير تطبيق عملية الانعكاس نفسها مرتين افضى الى جلب جميع الذرات الى مواقعها الاصلية . وفي حين تعطي العملية  $\sigma$  ترتيباً مكافئاً للأصل ، يعطي تطبيق  $\sigma$  نفسها مرتين ترتيباً مساوياً للأصل . والآن ، يمكن الاشارة بصورة مناسبة الى التطبيق المتعاقب للعملية عدد  $n \cdot \sigma$  مرة بكتابة  $\sigma^n$  ، ويمكن ايضا ان تكتب  $\sigma^2 = E$  ، حيث يستعمل الرمز  $E$  ليمثل اي اتحاد للعمليات التي تأخذ الجزيئة الى ترتيب مكافئ للترتيب الاصيل . تسمى  $E$  ، او اي اتحاد للعمليات مساو  $E$  ، العملية المتطابقة *identity operation* ينبغي ان يكون واضحاً ان  $\sigma^n = E$  حين يكون  $n$  زوجياً و  $\sigma^n = \sigma$  حين يكون  $n$  فردياً .

لنأخذ الآن بنظر الاعتبار بعض الامثلة التوضيحية لمستويات التماثل في الجزيئات . في احدى النهايتين تقع الجزيئات التي لاتمتلك مستويات تماثلية على الاطلاق . مثل هذا الصنف العام يتكون من جزيئات غير مستوية تمتلك عدداً فردياً من جميع الذرات . من امثلة ذلك FCISO المين أد ناه





في النهاية الثانية تقع الجزيئات التي تمتلك عدداً لانهائياً من المستويات التماثلية . أي الجزيئات الخطية . لهذا فان أي مستويحتوي على المحور الجزيئي يكون مستوياً تماثلياً . ومن الواضح ان هناك عدداً لانهائياً من هذه المستويات . تقع معظم الجزيئات الصغيرة بين هاتين النهايتين . أي أن لها واحداً او عدداً قليلاً من المستويات التماثلية . فاذا اخذنا عوضاً عن  $FCISO$  جزيئة  $Cl_2SO$  أو  $F_2SO$  فان هذه الجزيئات لها مستوي تماثلي واحد يمر خلال ذرة الاوكسجين والكبريت عمودياً على مستوي ذرات الكلور والاوكسجين او مستوي ذرات الفلور والاوكسجين . تمتلك جزيئة الماء مستويين تماثليين : احدهما متساو في الامتداد مع المستوي الجزيئي . ويشمل الثاني على ذرة الاوكسجين ( يجب أن يكون هكذا لوجود ذرة واحدة من هذا النوع ) ويكون عمودياً على المستوي الجزيئي . يعمل تأثير الانعكاس خلال هذا المستوي الثاني على ترك ذرة الاوكسجين ثابتة وتبادل ذرات الهيدروجين . في حين يعمل الانعكاس خلال المستوي الاول على ترك جميع الذرات بدون ازاخة . تمتلك الجزيئة رباعية السطوح من نوع  $AB_2C_2$  (مثل  $CH_2Cl_2$ ) . مستويين تماثليين متعامدين ايضاً . يحوي الاول  $AB_2$  ويترك الانعكاس من خلاله هذه الذرات الثلاث بدون ازاخة . في حين يعمل على تبادل ذرات الكربون . ويحوي المستوي الثاني  $AC_2$  ويعمل الانعكاس من خلاله على تبادل ذرات  $B$  فقط .

تمثل الجزيئتان  $NH_3$  و  $CHCl_3$  النوع الذي يحتوي على ثلاثة مستويات تماثلية . في حالة الامونيا . ينبغي ان يشتمل أي مستوي تماثلي على ذرة النتروجين وذرة واحدة او جميع ذرات الهيدروجين .

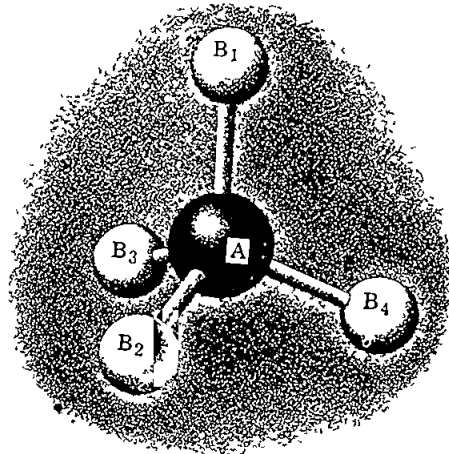
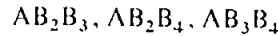
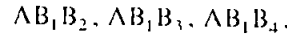
ولما كانت جزيئة الامونيا غير مستوية ، فلا يوجد مستوي تماثلي يشتمل على ذرة النتروجين وجميع ذرات الهيدروجين الثلاث ، لذلك نبحت عن مستويات تشتمل على ذرة النتروجين وذرة هيدروجين واحدة وبشطر الخط بين ذرتي الهيدروجين الباقيتين . ومن الواضح وجود ثلاثة من هذه المستويات . تتشابه الوضعية في حالة  $CHCl_3$  باستثناء ان ذرة الهيدروجين يجب ان تقع في المستويات التماثلية ، ايضاً .

تمثل جزيئة الامونيا مثلاً واحداً للصنف العام من الجزيئات الهرمية  $AB_3$  . لنلاحظ ماذا يحدث بعد تسطیح مثل هذه الجزيئة بدفع ذرة  $A$  الى الاسفل باتجاه مستوي

ذرات B الثلاث يعني ان يلاحظ بسهولة ان ذلك لا يشوه المستويات التماثلية الثلاثة حتى في حدود امتداد المستوي ولا يدخل اية مستويات تماثلية جديدة باستثناء حدود امتداد المستوي وحالما تصبح  $AB_3$  مستوية يظهر مستوي تماثلي رابع هو المستوي الجزئي تمتلك الجزئيات والايونات من نوع  $AB_3$  المستوية اربعة مستويات تماثلية : ثلاثة منها عمودية على المستوي الجزئي ، ومثل هذه الجزئيات عديدة ومهمة ، ومن الامثلة على ذلك هاليدات البورون وايون الكربونات وايون النترات وثلاثي اوكسيد الكبريت

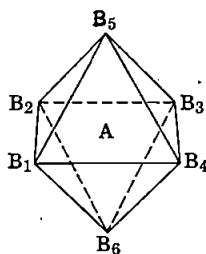
تمتلك النوعيات المستوية من نوع  $[PtCl_4]^{2-}$  او  $[AuCl_4]^-$  خمسة مستويات تماثلية . احدها هو المستوي الجزئي وهناك ايضاً مستويان عموديان على المستوي الجزئي وعلى احدهما الآخر ويمرر خلال ثلاث ذرات واخيراً . يوجد مستويان اصافيان عموديان ايضاً على المستوي الجزئي وعلى احدهما الآخر حيث يصفان روياء  $Cl-Pt-Cl$  او  $Cl-Au-Cl$

تمتلك حريثة رباعي السطوح tetrahedral المنتظمة ستة مستويات تماثلية وباستخدام النظام العددي المبين في الشكل ادناه . يمكن تعيين هذه المستويات بتعيين الذرات التي تحتويها تكون مستويات التماثل الحاوية على الذرات هي .



يمثل ثماني السطوح octahedron المنتظم تسعة مستويات تماثلية مبيّنة حسب النظام العددي في الشكل ادناه . توجد الثلاثة الاولى من النوع نفسه مثل المستويات التي تشتمل على التجمعات الآتية من الذرات :

$AB_1B_3B_5B_6$  ,  $AB_1B_2B_3B_4$  ,  $AB_2B_4B_5B_6$  ,  
الثاني يشتمل احدهما على  $AB_5B_6$  وينصف الخطوط  $B_1-B_2$  و  $B_3-B_4$  ،  
ويشتمل على مستوا آخر  $AB_1B_3$  وينصف الخطوط  $B_2-B_5$  و  $B_4-B_6$  ،  
وهكذا .



### The Inversion Center

### مركز الانقلاب

3.4

إذا امكن جلب الجزيئة الى ترتيب مكافئ بتغيير احداثيات  $(x, y, z)$  كل ذرة ، حيث يقع اصل الاحداثيات عند نقطة خلال الجزيئة ، الى  $(-x, -y, -z)$  فان النقطة التي يقع عندها لاصل تسمى مركز التماثل او مركز الانقلاب . يمثل مركز الانقلاب وعملية الانقلاب بالرمز الايطالي  $i$  . مثل المستوي ، يمثل المركز عنصراً تنتج عنه عملية واحدة فقط .

قد يلاحظ أنه حين يوجد مركز الانقلاب توضع تحديدات لعدد الذرات جميعها ، اوجميعها باستثناء ذرة واحدة ، في الجزيئة . ولما كان المركز نقطة ، قد تكون ذرة واحدة عند المرمز . واذا وجدت ذرة في المركز ، فان هذه الذرة تكون فريدة لانها الوحيدة في الجزيئة التي لاتزاح عند حدوث الانقلاب . يجب أن توجد جميع الذرات الاخرى بشكل ازواج لان كلاً منها لها توأم تتبادل معه عند حدوث الانقلاب . يتضح من ذلك عدم الحاجة للبحث عن مركز التماثل في الجزيئات التي تحتوي على عدد فردي من اكثر من نوعية واحدة من الذرات .

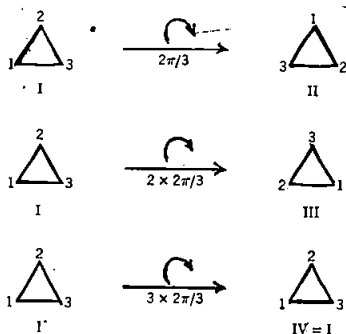
يمكن التعبير عن تأثير اجراء عملية الانقلاب لعدد  $n$  من المرات بشكل  $i^n$  ، اذ انه يلاحظ بسهولة ان  $i^n = E$  حين يكون زوجيا  $n$  و  $i^n = i$  حين يكون  $n$  فرديا .

ومن امثلة الجزيئات التي تمتلك مراكز انقلاب هي جزيئات  $AB_6$  ثمانية السطوح و  $AB_4$  المستوية وتوازن  $trans AB_2C_2$  المستوية و  $ABA$  الخطية والاثلين والبنزين . وهناك مثالان للجزيئات المتماثلة التي لا تمتلك مراكز انقلاب ، هما  $C_5H_5^-$  ( مستوي مخمسي ) و  $AB_4$  رباعي السطوح ( حتى لو كانت  $A$  من المركز و  $B$  باعداد زوجية .

### 3.5 المحاور الحقيقية والدورانات الحقيقية :

قبل شرح المحاور المناسبة proper axes والدوران بطريقة عامة ، لنأخذ حالة خاصة . يرسم خط عمودي على مستو مثلث متساوي الاضلاع يتقاطع في المركز الهندسي له ويمثل محور الدوران المناسب لذلك المثلث . وعند تدوير المثلث بمقدار  $120^\circ$  درجة  $(2\pi/3)$  حول هذا المحور ينتقل الى ترتيب مكافئ ، وقد يلاحظ ان الدوران بمقدار  $240^\circ$  درجة  $(2 \times 2\pi/3)$  يعطي الترتيب المكافئ ، ايضا .

ويمثل  $C_n$  الرمز العام لمحور الدوران المناسب ، اذ يشير الحرف السفلي  $n$  الى رتبة المحور ، حسب ماتعني الرتبة ، تمثل  $n$  اعلى قيمة بحيث يعطي الدوران خلال  $2\pi/n$  الترتيب المكافئ ، وفي المثال السابق يكون المحور  $C_3$  . وطريقة اخرى لتحديد معنى رتبة  $n$  للمحور بالقول : انها تمثل عدد المرات التي يتمكن بها اقل دوران يعطي الترتيب المكافئ والذي يجب ان يعاد ليعطي ترتيبا ليس من الضروري ان يكون مكافئا للاصل لكنه متشابه معه . يمكن توسيع معنى كلمة متشابه اذا اعطينا رقما معينا لكل قمة في المثلث ، وهكذا ، يمكن ملاحظة ان تأثير الدوران بمقدار  $2\pi/3, 2 \times 2\pi/3$  و  $3 \times 2\pi/3$  كالآتي :



يلاحظ ان الترتيبين : الثاني والثالث مكافئان. للأول لخلوه من التقييم ( ليس حقيقياً وانما وضع لتوضيح فكرتنا للبناء ) لا يمكن تمييزهما عن الترتيب الاول . علماً بأنه بوجود الارقام يمكن التمييز بينهما . ولا يمكن تمييز الترتيب الرابع عن الاول ليس فقط بدون الارقام ولكن بوجودها ايضاً . ولذلك فهو ليس مكافئاً ولكنه مشابه .

يسمى المحور  $C_3$  محوراً ثلاثي المرة threefold ايضاً . وعلاوة على ذلك يستخدم الرمز  $C_3$  ليمثل عملية الدوران بمقدار  $2\pi/3$  حول المحور  $C_3$  . ويستعمل للدوران بمقدار  $2\pi/3 \times 2$  الرمز  $C_3^2$  . وللدوران  $3 \times 2\pi/3$  الرمز  $C_3^3$  . رمزياً . يمكن كتابة  $C_3^4 = C_3$  ولهذا فان العمليات  $C_3$  و  $C_3^2$  و  $C_3^3$  هي عمليات منفصلة وتمييزة . ولما كان  $C_3^3$  يعطي ترتيباً متشابهاً . يمكن كتابة ان  $C_3^3 = E$  .

بعد اخذ المثال . في اعلاه . بنظر الاعتبار يصبح من السهل قبول بعض التعاريف الاكثر تعميماً عن المحاور المناسبة والدورات المناسبة . وبصورة عامة . يشار للمحور  $n$  مرة بالرمز  $C_n$  والدوران  $2\pi/n$  يمثل ايضاً بالرمز  $C_n$  . ويمثل الدوران بمقدار  $2\pi/n$  الذي يعاد بالتعاقب عدد  $m$  من المرات بالرمز  $C_n^m$  . كذلك ، على أية حال  $C_n^n = E$  . وهكذا .  $C_n^{n+1} = C_n$  ,  $C_n^{n+2} = C_n^2$  .

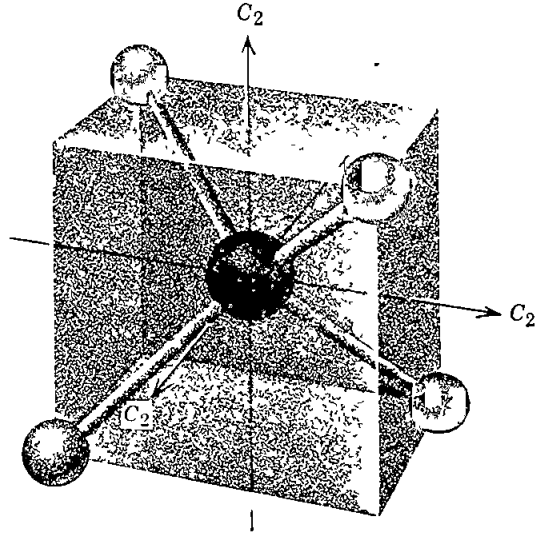
في شرح مستويات التماثل ومراكز الانقلاب . ركزنا الاهتمام على حقيقة ان عملية واحدة فقط هي الانعكاس تنتج عن مستوي التماثل . وعملية واحدة فقط هي الانقلاب تنتج عن مركز الانقلاب . ويعطي المحور المناسب ذو الرتبة  $n$  عدد  $n$  من العمليات . مثل  $C_n, C_n^2, C_n^3, \dots, C_n^{n-1}, C_n^n (= E)$

تُعنى النتيجة العامة الاخيرة لوجود محور  $C_n$  بضرورة وجود اعداد معينة من كل نوعية ذرية في الجزيئة تحتوي على هذا المحور . ومن الطبيعي أن أية ذرة تقع على المحور المناسب التماثلي لاتزاح بأي نوع من الدوران حول هذا المحور . وهكذا ، قد يكون أي عدد . زوجي او فردي ، من كل نوعية ذرية يقع على المحور ( ما لم تعمل عناصر تماثلية اخرى على ادخال التحديدات ) . فاذا وقعت ذرة واحدة لنوعية معينة بعيداً عن المحور  $C_n$  . وجب ان يكون اوتوماتيكياً  $n-1$  اكثر او  $n$  من هذه الذرات لانه عند تطبيق  $C_n$  بالتعاقب لعدد  $n$  من المرات تنتقل الذرة الاولى الى عدد كلي  $n$  من النقاط المختلفة . ولما كانت الذرات غير متشابهة على الاطلاق ، وجب البدء بعدد  $n-1$  من النقاط ، وتكون الترتيبات الجديدة غير متكافئة ، اذ يعني ذلك ان المحور ليس محور  $C_n$  التماثلي ، على عكس الفرضية الاصلية .

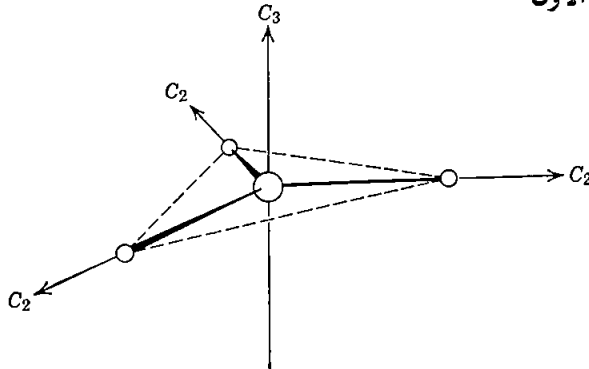
ويمثل الرمز  $C_n^m$  الدوران بمقدار  $m \times 2\pi n$  . لناخذ بنظر الاعتبار العملية  $C_4^2$  التي هي إحدى العمليات الناتجة من المحور  $C_4$  . وتمثل هذه العملية بالدوران  $2 \times 2\pi \cdot 4 = 2\pi \cdot 2$  وعليه يمكن ان تكتب بشكل  $C_2$  . بصورة مشابهة . من بين العمليات الناتجة عن المحور  $C_6$  نجد  $C_6^2, C_6^3, C_6^4$  التي يمكن ان تكتب بشكل  $C_3, C_2, C_3^2$  . على التوالي . في الغالب . تكتب العملية  $C_n^m$  باخذ الاجزاء  $(m, n)$  في  $(m', n)2\pi$  بنظر الاعتبار التي تسمى اوطأ الحدود . ينبغي ان يكون القاريء على علم بهذه الطريقة ، فمثلا يتشابه الترتيب  $C_6, C_3, C_2$  بالمعنى مع  $C_3^2, C_6^5, E$

ولناخذ الان بعض الامثلة التوضيحية المختارة من انواع الجزيئات التي تصادف ، بصورة شائعة . مرة ثانية ، يمكن ان نبدا باعتبار حالتين قصوين . هناك عدد من الجزيئات لا تمتلك محاور دورانية مناسبة ، فمثلا لا يمتلك FCISO ذلك . ( في الحقيقة ، يعد FCISO مثالا اختياريا ، لانه - كما لاحظنا سابقا - لا يمتلك على الاطلاق اي نوع من عناصر التماثل ) وكذلك لا يمتلك كل من  $Cl_2SO$  او  $F_2SO$  محور الدوران المناسب . وفي الحالة الثانية ، الجزيئات الخطية التي تمتلك محور الدوران المناسب  $\infty$  - مرة على استقامة واحدة مع المحاور الجزيئية ، ونظرا لوقوع جميع الذرات في الجزيئة الخطية على هذا المحور . فان الدوران في اية زاوية كانت ( ولهذا بجميع الزوايا ، عدد لانهاثي ) يعطي ترتيباً غير مميز عن الاصل . مرة ثانية ، كما في حالة المستويات التماثلية ، تمتلك معظم الجزيئات الصغيرة محورا واحدا او محاور قليلة ذات رتب واطئة ، بصورة عامة .

يعد كل من  $CH_2Cl_2, H_2O$  من بين الامثلة للجزيئات التي تمتلك محورا احادياً من الرتبة الثانية . وليس هناك جزيئات تمتلك محورين ثنائيين المرة . وسنبين - فيما بعد - ان ذلك من المستحيل رياضياً . هناك عدة امثلة للجزيئات التي تمتلك ثلاثة محاور ثنائية المرة ، مثال : الاثلين ، اذ يكون  $C_2$  واحداً على استقامه واحدة مع محور  $C-C$  والثاني عمودياً على مستوي الجزيئة وينصف خط  $C-C$  ، والثالث عمودياً على المحورين الاولين ويتقاطع معهما عند منتصف المسافة على خط  $C-C$  . كذلك ، تمتلك الجزيئة ذات بنية ثماني السطوح المنتظم ثلاثة محاور ثنائية المرة ، كما هو مبين في الشكل في ادناه .



وتعد المحاور ثلاثية المرة سائعة تماماً ، اذ تمتلك جزيئات  $AB_3$  الهرمية والمستوية محاور مناسبة ثلاثية المرة تمر خلال الذرة A وعمودية على مستوي ذرات B الثلاث . وتمتلك الجزيئة  $AB_4$  رباعية السطوح اربعة محاور ثلاثية المرة يمر كل منها خلال الذرة A واحدى ذرات B وتمتلك جزيئة  $AB_6$  ثمانية السطوح اربعة محاور ثلاثية المرة ايضاً يمر كل منها خلال مراكز اثنين من الواجه المثلثية المتعاكسة والذرة A تمتلك جزيئة  $AB_3$  المستوية ثلاثة محاور ثنائية المرة عمودية على المحور ثلاثي المرة ، كما هو مبين في الشكل ويدل وجود محور  $C_3$  ومحور واحد من  $C_2$  عمودي عليه على ان محوري  $C_2$  الاخرين يجب ان يوجد عند الزاويتين  $2\pi/3$  و  $4\pi/3$  وينتج محور  $C_2$  الثاني عن الاول عند اجراء دوران  $C_3$  ، وعند اجراء دوران  $C_3^2$  ينتج محور  $C_2$  الثالث عن الاول



من المفضل عند هذه النقطة اعطاء شرح كامل لتأثير العمليات  $C_n, C_n^2, \dots, C_n^{n-1}$  في حرف عناصر التماثل الاخرى . وتعدّ المستويات والمحاور عناصر التماثل الاخرى ذات الاهمية . ويكون الشرح كافياً ايضاً اذا حدد بالنسبة للمحاور العمودية على محور الدورانات المكررة replication والمستويات الحاوية على محور الدورانات المكررة . ويعدّ المستوي العمودي على محور الدورانات المكررة غير مكرر لان جميع الدورانات تحدث من خلال نفسها . ومع انه يمكن اعطاء شرح كامل . لكن الأكثر فائدة أخذ كل واحد من المحاور المتكررة التي يمكن مصادفتها عملياً  $(C_n, 1 < n \leq 8)$  بصورة منفصلة .

يتحول المحور العمودي على المحور  $C_2$  أو على المستوى الذي يحوي  $C_2$  ليعطي نفسه عند اجراء عملية  $C_2$  . لذلك ليس هناك حاجة الى وجود محاور او مستويات اكثر من النوع نفسه في هذه الحالة . لاحظنا انه ينتج محوران متشابهان من محور واحد عمودي على محور  $C$  . وبصح ذلك ايضاً بالنسبة لمستوي التماثل الحاوي على محور  $C_3$  . من الممكن ايضاً التعامل مع  $C_5$  أو  $C_7$  ( وفي الحقيقة . اي  $C_n$  حين يكون  $n$  عدداً فردياً ) لانها جميعاً تسلك بالطريقة نفسها . يمكن جعل محور عمودي على محور  $C_5$  أو  $C_7$  او على المستوى الحاوي  $C_5$  أو  $C_7$  يعطي اربعة او ستة محاور ومستويات منفصلة ومتميزة بواسطة العمليات التي يهيؤها محور  $C_5$  أو  $C_7$  .

للحالات التي يكون فيها  $n$  في  $C_n$  زوجياً تصبح النتائج أقل دقة . لنفترض ان هناك محوراً واحداً  $C_2(1)$  عمودياً على المحور  $C_4$  فعند اجراء دوران  $C_4$  يدور  $C_2(1)$  بمقدار  $2\pi/4$  ، وهكذا ، ينتج محور  $C_2$  آخر ،  $C_2(2)$  . وعند اجراء دوران  $C_4^2 (= C_2)$  حول محور  $C_4$  يتحول  $C_2(1)$  ليعطي نفسه وكذلك  $C_2$  (2) . تحول عملية  $C_4^3$  الى  $C_2(1)$  الى  $C_2(2)$  و  $C_2(2)$  الى  $C_2(1)$  . ونظراً لان  $C_4^2$  يمثل حقيقة  $C_2$  و  $C_4^3$  عبارة عن  $C_4$  فقط يتبع بالمحور  $C_2$  ، فان المحور  $C_4$  يحتاج الى ان يصاحب المحور  $C_2(1)$  بمحور مثله وليس بثلاثة محاور اخرى .

تصح ايضاً المناقشة المشابهة بالنسبة للمستويات . في حالة  $C_6$  ، باستحداث المناقشة المناقشة نفسها ، يلاحظ انه اذا وجد محور واحد عمودي على  $C_6$  او مستوي واحد يحوي  $C_6$  ، وجب ان يصاحب باثنين اضافيين من النوع نفسه . بصورة متشابهة يعمل المحور  $C_8$  على تكرار محور  $C_2$  العمودي عليه بطريقة ليعطي اربعة من محاور  $C_2$  .

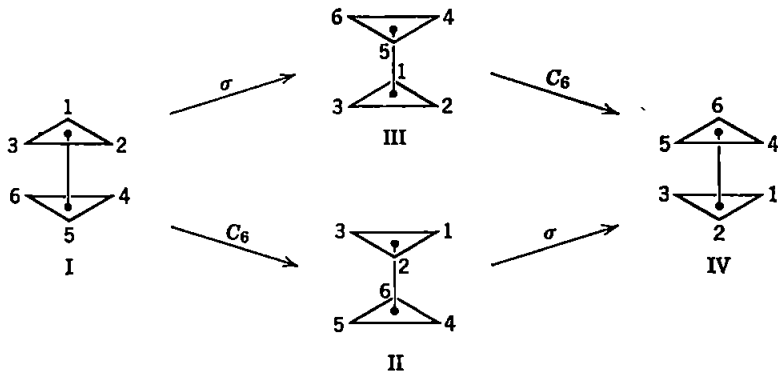


وللمضي في اعطاء الامثلة عن المحاور المناسبة في الجزئيات النمذجية . يمكن اخذ ايون  $\text{PtCl}_4^{2-}$  المستوي الذي يمتلك المحور  $C_4$  عمودياً على مستوي الايون واربعة محاور من  $C_2$  واقعة في مستوي الايون . ويمتلك ايون سايكلوبنتا داينيل ( $\text{cyclopentadienyl}^-$ ) السالب  $\text{C}_5\text{H}_5^-$  . المحور  $C_5$  عمودياً على المستوي الجزئي وخمسة من محاور  $C_2$  واقعة في هذا المستوي . ويمتلك البنزين المحور  $C_6$  ومجموعتين من ثلاثة محاور من  $C_2$  . ومن المحتمل ان الجزئية الوحيدة المعروفة التي تحتوي على المحور  $C_7$  هي ايون  $[\text{C}_7\text{H}_7]^+$  المستوي . ايون tropylium . ومن الامثلة عن الجزئية التي تمتلك المحور  $C_8$  هو  $(\text{C}_8\text{H}_8)_2\text{U}$  (يورانوسين . uranocene).

### 3.6 المحاور غير الحقيقية والدورانات غير المناسبة

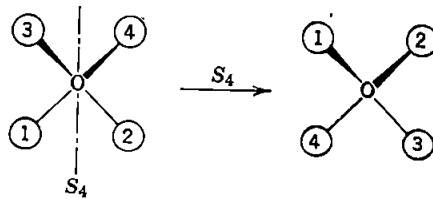
يمكن النظر الى الدوران غير المناسب في انه يحدث في خطوتين : يحدث في اولهما دوران مناسب ثم انعكاس خلال المستوي العمودي على محور الدوران . يسمى المحور الذي يحدث ذلك حوله بمحور الدوران غير الحقيقي . او بصورة اكثر اختصاراً المحور غير المناسب . ويشار اليه بالرمز  $S_n$  . اذ تمثل  $n$  الرتبة . كذلك يشار الى عملية الدوران غير المناسب بمقدار  $2\pi/n$  بالرمز  $S_n$  . من الواضح ان  $S_n$  يوجد اذا وجد محور  $C_n$  ومستوي . عمودياً بصورة مستقلة . والأهم من ذلك امكانية وجود  $S_n$  حين لا يوجد  $C_n$  ولا مستوي  $\sigma$  عمودياً بصورة منفصلة .

من المحتمل انه يمكن التأكيد على ذلك بصورة جيدة بأخذ المثال الاتي : لنأخذ بنظر الاعتبار الايثان في ترتيب متعاقب ( $\text{staggered}$ ) وليحدد خط  $\text{C}-\text{C}$  محور  $C_3$  . لكن بالتأكيد ليس المحور  $C_6$  . كذلك لا يوجد مستوي تماثلي عمودي على المحور  $C_3$  . مع ان  $S_6$  موجود . كما هو مبين في الشكل . لاحظ ان  $\text{III} \sim \text{II}$  مكافئين لاحدهما الآخر ولكنهما ليس مكافئين الى  $I$  . اي ان لا  $\sigma$  ولا  $C_6$  يمثلان عملية تماثلية . لكن اتحادهما في اي من الرتبتين . يسمى  $S_6$  . هو عملية تماثلية لانه يعطي  $\text{IV}$  الذي يكون مكافئاً الى  $I$  .



سنبين فيما بعد ان عمليات الدوران والانعكاس في المستوي العمودي على محور الدوران تعطي دائما النتيجة نفسها بغض النظر عن الرتبة التي تحدث فيها. وهكذا ، لا يحتاج تعريف الدوران غير المناسب الى تعيين الرتبة .

من الامثلة الاخرى المهمة لوجود المحاور والدورانات غير المناسبة ، جزيئة رباعي السطوح المنتظم ، لقد لاحظنا بالفعل في الفقرة 3.5 ان ربا السطوح يمتلك ثلاثة محاور من نوع  $C_2$  ، يمثل الان كل واحد من هذه المحاور في ان واحد محور  $S_4$  ، كما هو مبين في الشكل الاتي :



تنتج عن العنصر  $S_n$  بصورة عامة مجموعة من العمليات  $S_n, S_n^2, S_n^3, \dots$  من ناحية اخرى ، ينبغي ملاحظة بعض المظاهر المهمة لهذه العمليات. هناك اختلافات في المجموعات الناتجة لقيم  $n$  الزوجية والفردية ، ولهذا ستؤخذ هاتان الحالتان بصورة منفصلة . لنفترض ان محور  $S_n$  على استقامة واحدة مع المحور  $z$  للنظام الاحداثي ، ويشار الى المستوي الذي يكون فيه الانعكاس جزءا من العملية  $S_n$  بالمستوي  $xy$  .

تنتج عن المحور غير الحقيقي  $S_n$  ، ذو الرتبة الزوجية مجموعة من العمليات  $S_n, S_n^2, S_n^3, \dots, S_n^n$  . لنبين اولاً ان ( حين يكون  $n$  زوجيا )  $S_n^n = E$  . يشير  $S_n^n$  الى اجراء العمليات  $C_n, \sigma, C_n, \sigma, \dots$  حتى يصبح عدد مرات

اجراء  $C_n$  و  $\sigma$  مساوي  $n$  . ولما كان  $n$  عددا زوجياً . مثلت اعادة  $\sigma$  عدد  $n$  من المرات  
يمثل عملية متطابقة . ولهذا  $S_n^n = C_n^n$  . لكن  $C_n^n$  هي  $E$  ايضا؛ لذلك فان  $S_n^n = E$  .  
 $S_n^{n+1} = S_n$  ;  $S_n^{n+2} = S_n^2$  . وهكذا . والان وعلى ضوء ماتقدم يجب ان يكون  $S_n^m$   
مساوي  $C_n^m$  حين يكون  $m$  زوجياً . وهكذا . ففي اية مجموعة من العمليات الناتجة من  
 $S_n$  ذي الرتبة الزوجية . فان بعضا من  $S_n^m$  يمكن كتابتها بطرق اخرى . لنأخذ مثلاً  
المجموعة  $S_6$  :  $S_6^2, S_6^3, S_6^4, S_6^5, S_6^6$  . لايمكن كتابته بطريقة  
اخرى .  $S_6^2 = C_6^2 = C_3$  .  $S_6^3 = S_2 = i$  .  $S_6^4 = C_3^2$  .

لايمكن كتابته باية طريقة اخرى .  $S_6^6 = E$  . لهذا فان المجموعة الكاملة من العمليات  
الناتجة عن العنصر  $S_6$  يمكن كتابتها :  $S_6, C_3, i, C_3^2, S_6^5, E$  .  
وبعد كتابة المجموعة بهذه الطريقة . يمكن بسهولة عمل ملاحظة مفيدة اخرى . تحتوي  
هذه المجموعة على  $E, C_3, C_3^2$  . وهي العمليات الناتجة عن المحور  $C_3$  . و هكذا  
فان وجود المحور  $S_6$  يحتاج اوتوماتيكيا الى وجود المحور  $C_3$  . وعلى العموم . من السهولة  
بمكان ملاحظة ان وجود المحور  $S_n$  ذي الرتبة الزوجية يحتاج دائما الى وجود المحور  $C_{n/2}$

لنتقل الان الى المحاور غير المناسبة ذات الرتب الفردية . من اهم خواص هذه المحاور  
هو ان  $S_n$  ذا الرتبة الفردية يحتاج الى وجود  $C_n$  و  $\sigma$  العموديين عليه بصورة مستقلة ،  
اذ يمكن اثبات ذلك بسهولة . ينتج عن العنصر  $S_n$  العمليات  $S_n, S_n^2, S_n^3, S_n^4, \dots$  .  
لنختبر العملية  $S_n^n$  حين يكون  $n$  فرديا اذ يجب ان يكون لها التأثير نفسه كما في حالة  
تطبيق  $C_n^n$  المتبعة بواسطة  $\sigma^n = \sigma$  ، ولكن لما كان  $C_n^n = E$  ، نلاحظ ان  $S_n^n = \sigma$  .  
بمعنى اخر : ان العنصر  $S_n$  يعطي العملية التماثلية  $\sigma$  . اما اذا وجدت العملية التماثلية  $\sigma$   
فيجب ان يكون المستوي الذي يشير اليها عنصراً تماثلها . والان تحتاج العملية  $S_n$  لجعل  
الانعكاس في المستوي  $\sigma$  . وهكذا : يحول الترتيب I الى ترتيب اخر ، II ، ومن

ثم الدوران بمقدار  $2\pi/n$  . وهكذا يحول II الى III . ولكون  $S_n$  عملية  
تماثلية . وجب ان يكون I و III ترتيبين متكافئين . وحين يكون  $n$  فردياً . فان  $\sigma$   
نفسها عملية تماثلية . ولهذا يكون II مكافئاً ايضاً الى I . ويتبع ان II مكافئ  
الى III . وبلاحظ ان الدوران بمقدار  $2\pi/n$  قد نقل II الى ترتيب مكافئ . III .  
وهكذا . فان عملية  $C_n$  هي ايضاً عملية تماثلية بمضمونها .

للحصول على معلومات اوسع عن المحاور غير المناسبة فردية الرتبة . نأخذ بنظر  
الاعتبار عدد العمليات المميزة الناتجة بواسطة بعض المحاور . مثل  $S_5$  . يبدأ التسلسل  
.....  $S_5^4, S_5^3, S_5^2, S_5$  باستخدام العلاقات والاصطلاحات التي طورت سابقا .

ويمكن كتابة بعض من هذه العمليات المعينة بطرق متعاقبة . كالآتي :

$$\begin{aligned}
 S_5 &= C_5 \quad \sigma \quad \sigma \quad \text{ثم} \quad C_5 \\
 S_5^2 &= C_5^2 \\
 S_5^3 &= C_5^3 \quad \sigma \quad \text{ثم} \\
 S_5^4 &= C_5^4 \\
 S_5^5 &= \sigma \\
 S_5^6 &= C_5 \\
 S_5^7 &= C_5^2 \quad \sigma \quad \text{ثم} \\
 S_5^8 &= C_5^3 \\
 S_5^9 &= C_5^4 \quad \text{then } \sigma \\
 S_5^{10} &= E \\
 S_5^{11} &= C_5 \quad \text{then } \sigma
 \end{aligned}$$

يلاحظ ان لكل من  $S_5$  الى  $S_5^{11}$  ( بصورة عامة .  $S_n$  الى  $S_n^{2n}$  ) تكون العمليات جميعها مختلفة . لكنها تبدأ عند  $S_n^{2n+1}$  باعادة بدء التسلسل . ومن بين العمليات العشر . يمكن التعبير عن اربع زائد  $E$  فقط بشكل عملية احادية باستخدام الرموز " $S_5$ " ، في حين ان العمليات الخمس الاخرى يمكن ان تكتب بشكل " $C_5$ " او بشكل  $\sigma$  . وهكذا . توجد عمليات ( مع العلم انها يمكن ان تكمل باستعمال " $C_5$ " و  $\sigma$  على التعاقب ) لا يمكن تمثيلها بشكل عمليات احادية بأية طريقة اخرى غير " $S_5$ " . كذلك يلاحظ بصورة عامة . ان العنصر  $S_n$  حين يكون  $n$  فرديا ينتج عدد  $2n$  من العمليات .

### 3.7 نوانج ضرب عمليات التماثل

#### Products of Symmetry Operations

في الفقرات 3.3 الى 3.6 شرحنا في الغالب التساؤل عن كيفية تمثيل محصلة تأثير تطبيق عملية تماثلية واحدة بعد الاخرى على الجزئية ، لكن بطريقة محدودة فقط نشرح في هذه الفقرة هذا التساؤل بالنسبة لمدى اوسع من الامكانيات .

نستحدث اولاً اصطلاحات مختصرة للقول بان « العملية  $X$  تجري اولاً ومن ثم العملية  $Y$  . لتعطي محصلة التأثير نفسه كما في حالة اجراء عملية واحدة  $Z$  . ويمثل ذلك بالرموز ، كالآتي :

$$YX = Z$$

لاحظ ان الترتيب الذي تجرى فيه العمليات هو الترتيب الذي تكتب به من اليمين الى اليسار. اي ان  $YX$  يعني  $X$  اولاً ومن ثم  $Y$ . وبصورة عامة . تنتج عن الترتيب اختلافات بالرغم من ان هناك بعض الحالات لاتحدث فيها هذه الاختلافات . وعندما تكون نتيجة التسلسل  $XY$  هي نفسها مثل نتيجة التسلسل  $YX$  . يقال : ان العمليتين  $X$  و  $Y$  متبادلتان . كذلك من المعتاد التكلم عن العملية التي تعطي النتيجة نفسها كما يفعل التطبيق المتعاقب لعمليتين اخريين او اكثر بشكل ناتج العمليات الاخرى .

تمثل احدى الطرق للتقرب من مسألة ايجاد عملية واحدة تنتج من عمليتين اخريين على اساس نقطة عامة لها الاحداثيات  $[x_1, y_1, z_1]$  . وعند تطبيق عملية معينة ، تراح هذه النقطة الى موقع جديد ذي الاحداثيات  $[x_2, y_2, z_2]$  . واذا طبقت عملية اخرى ، تراح النقطة ثانية بحيث تصبح الاحداثيات الان  $[x_3, y_3, z_3]$  . ان محصلة تأثير تطبيق عمليتين متعاقبتين هي ازاحة النقطة من  $[x_1, y_1, z_1]$  الى  $[x_3, y_3, z_3]$  والان نبحث عن طريقة لاكمال ذلك بخطوة واحدة ، وتكون العملية التي تفعل ذلك ناتج العمليتين الاوليين .

لنوضح هذه الطريقة باثبات التعريف المبين سابقاً وهو ، اذا وجد محوران ثانياً المرة بزوايا قائمة بينهما ، فمن الضروري وجود محور ثالث بزوايا قائمة عليهما . لنفترض ان المحورين المعينين يتطابقان مع المحورين  $x$  و  $y$  ، ويمكن الاشارة اليهما بشكل  $C_2(x)$  و  $C_2(y)$  . وتطبيق  $C_2(x)$  اولاً ومن ثم  $C_2(y)$  على النقطة العامة ، تحدث التحولات الاتية لا حدائياتها :

$$[x_1, y_1, z_1] \xrightarrow{C_2(x)} [x_1, -y_1, -z_1] \xrightarrow{C_2(y)} [-x_1, -y_1, z_1]$$

اي ان قيمة  $x_3$  هي  $x_1$  وقيمة  $y_3$  هي  $-y_1$  وقيمة  $z_3$  هي  $z_1$  . واذا طبقنا الان عملية  $C_2(z)$  على النقطة العامة ، فانها تراح الى  $[-x_1, -y_1, z_1]$  وهكذا ، يمكن ان نكتب .

$$C_2(y)C_2(x) = C_2(z)$$

ومن هنا ، كلما وجد  $C_2(x)$  و  $C_2(y)$  وجب ان يوجد  $C_2(z)$  ايضا لانه يمثل ناتجهما .

وهذا مثال ثان على ان وجود عنصرين تماثلين قد يحتاج اوتوماتيكيا الى وجود عنصر ثالث ، نأخذ بنظر الاعتبار الحالة التي تمتلك محور  $C_4$  ومستوي واحداً يحتوي عليه . لاحظنا سابقاً انه ينتج عن عملية  $C_4$  مستوي ثاني من المستوي الاول بزوايا

قائمة عليه ويصح ايضا ، على قلة وضوحه ، انه عند وجود المحور  $C_4$  وأحد هذه المستويات ، يجب أن يوجد أيضاً مستويان يحتوي على  $C_4$  بزاوية مقدارها  $45^\circ$  درجة مع المستوي الاول . ويمكن اثبات ذلك بالطريقة التي اتبعت عادة . ويعطى تأثير انعكاس النقطة العامة  $[x_1, y_1, z_1]$  خلال المستوي  $xz$  كالآتي :

$$\sigma(xz)[x_1, y_1, z_1] \rightarrow [x_1, -y_1, z_1]$$

في حين يعطى تأثير دوران  $C_4$  باتجاه عقرب الساعة حول المحور  $z$  على هذه النقطة كالآتي :

$$C_4(z)[x_1, y_1, z_1] \rightarrow [y_1, -x_1, z_1]$$

من هذه العلاقات يمكن ابتعاد تأثير التطبيق المتعاقب لكل من  $\sigma(xz)$  ومن ثم  $C_4(z)$  . كالآتي :

$$C_4(z)\sigma(xz)[x_1, y_1, z_1] \rightarrow C_4(z)[x_1, -y_1, z_1] \rightarrow [-y_1, -x_1, z_1]$$

لنأخذ الآن تأثير انعكاس النقطة خلال المستوي  $\sigma_d$  الذي يحتوي ايضا على المحور  $z$  وينصف الزوايا بين المحورين  $-x$  و  $+y$  والمحورين  $+x$  و  $-y$  . ويكون هذا التحول كالآتي :

$$\sigma_d[x_1, y_1, z_1] \rightarrow [-y_1, -x_1, z_1]$$

وبلاحظ أن :

$$C_4(z)\sigma(xz) = \sigma_d$$

اذ يعني ذلك أن وجود  $C_4(z)$  و  $\sigma(xz)$  يحتاج اوتوماتيكياً الى وجود  $\sigma_d$  . وينتج من دوران  $C_4$  من  $\sigma_d$  مستوا آخر  $\sigma'_d$  يمر من خلال الربعين : الاول والثالث . والنتيجة الاخيرة هي انه اذا وجد مستوي واحد يحتوي على المحور  $C_4$  . فان هناك اوتوماتيكياً مجموعة من أربعة مستويات .

ومن الممكن أن نبين بطريقة مشابهة جداً انه اذا وجد المحوران  $C_4(z)$  و  $C_2(y)$  وجب وجود محور  $C_2$  الذي يقع في الربعين : الاول والثالث من المستوي  $xy$  عند زاوية  $45^\circ$  درجة على  $C_2(y)$  . فترك ذلك تمريناً للحل .

ويمكن أيضاً تطبيق اختبار ازاحة النقطة العامة لتبيين العلاقة المتبادلة ، فمثلاً ، يكون  $\sigma(xy)$  و  $C_2(z)$  متبادلين . وهكذا ، يمكن كتابة . باستعمال اشارات تستخدم  $\bar{x}$  بدلاً من  $-x$  ،  $\bar{y}$  بدلاً من  $-y$  و  $\bar{z}$  بدلاً من  $-z$  :

$$\begin{aligned}
C_2(z)[x, y, z] &\rightarrow [\bar{x}, \bar{y}, z] \\
\sigma(xy)[x, y, z] &\rightarrow [x, y, \bar{z}] \\
C_2\sigma[x, y, z] &\rightarrow C_2[x, y, \bar{z}] \rightarrow [\bar{x}, \bar{y}, \bar{z}]
\end{aligned}$$

و

$$\sigma C_2[x, y, z] \rightarrow \sigma[\bar{x}, \bar{y}, z] \rightarrow [\bar{x}, \bar{y}, \bar{z}]$$

يلاحظ ايضاً ان الناتج في كل حالة يكون مكافئاً الى  $i$ .

في الامثلة المبينة في أعلاه حيث تلاحظ فقط دورانات  $C_2$  و  $C_4$  وبعض انواع المستويات المعينة ذات الاهمية يكون تحول الاحداثيات  $[x, y, z]$  الى  $[x, \bar{y}, \bar{z}]$  بواسطة دوران ثنائي المرة حول المحور  $x$ ، مثلاً ، واضحاً بدرجة كافية. كذلك يكون واضحاً ان الدوران رباعي المرة حول المحور  $x$  يعمل على تحول الاحداثيات الى  $[x, \bar{z}, y]$ . كذلك من السهل ، بالبحث ، ملاحظة تأثير عملية الانقلاب ، وهو الدوران غير المناسب بمقدار  $2\pi/2$  او  $2\pi/4$  وانعكاس في المستوي  $xy, xz$  او  $yz$  او المستوي الذي يدور بمقدار  $45$  درجة عن هذه المستويات وعلى اية حال ، ليس من السهل التعامل مع تأثير التحولات بعمليات تماثلية اكثر عموماً ، مثل الدوران بمقدار  $m2\pi/n$  او  $2\pi/n$  والانعكاسات في المستويات غير المستويات التي تم ذكرها ، بواسطة الطرق البسيطة والترقيم المستعمل في اعلاه. ولهذا فان الشرح الابعد لهذا الموضوع يستعمل بعض الطرق الهندسية وطرقاً اكثر قوة للمصفوفات الجبرية التي ندخلها في الفصل الرابع .

### 3.8 عناصر التماثل المتكافئة والذرات المتكافئة :

اذا حول عنصر تماثل  $A$  الى العنصر  $B$  بعملية ناتجة عن عنصر ثالث  $X$  ، فمن الممكن تحويل  $B$  الى  $A$  بتطبيق  $X^{-1}$  ، ويقال للعنصرين  $A$  و  $B$  بأنهما متكافئان . واذا امكن تحويل  $A$  الى عنصر ثالث  $C$  ، فستكون هناك طريقة لتحويل  $B$  الى  $C$  ايضاً ، وتكون العناصر الثلاثة  $A$  و  $B$  و  $C$  مجموعة متكافئة . على العموم ، يقال لاية مجموعة من عناصر التماثل المختارة ، التي يمكن تحويل أي منها الى اي وكل واحد آخر من اعضاء هذه المجموعة بتطبيق بعض من عمليات التماثل : انها مجموعة من عناصر تماثلية متكافئة .

وعلى سبيل المثال ، في مستوي الجزيئة المثلثية مثل  $BF_3$  ، يمكن تحويل كل واحد من محاور التماثل ثنائية المرة الواقعة في المستوي الى التوافق مع كل من المحاور الاخرى

بالدورانات  $2\pi \times 2'$  او  $2\pi \times 3$  . التي تمثل عمليات تماثلية . وهكذا . يقال لجميع المحاور الثلاثة ثنائية المرة بأنها متكافئة الواحد مع الآخر .

ويوجد في جزيئة  $AB_4$  ذات بنية المربع المستوي اربعة محاور ثنائية المرة في المستوي الجزيئي . يقع اثنان منها  $C_2$  و  $C_2'$  على طول المحاور BAB وينصف الاثنان الآخران  $C_2''$  و  $C_2'''$  زوايا BAB . وتحتوي مثل هذه الجزيئة على اربعة (مستويات تماثلية ايضاً كل واحد منها عمودي على المستوي الجزيئي ويتقاطع معه على طول احد المحاور ثنائي المرة . والآن من السهل ملاحظة امكانية تحويل  $C_2$  الى  $C_2'$  والعكس هو الصحيح . وتحويل  $C_2''$  الى  $C_2'''$  والعكس هو الصحيح . بالدوران حول محور رباعي المرة وبالانعكاس في المستويات التماثلية المذكورة . ولكن ليست هناك طريقة لتحويل  $C_2$  او  $C_2'$  الى  $C_2''$  او  $C_2'''$  او بالعكس . وهكذا . يكون  $C_2$  و  $C_2'$  مجموعة محاور واحدة متكافئة . ويكون  $C_2''$  و  $C_2'''$  مجموعة اخرى بصورة مشابهة . ويكون اثنان من المستويات متكافئين ولكن ليس لاي من المحاورين الآخرين اللذين يكونان متكافئين ايضاً .

ومن التوضيحات الاخرى لعناصر التماثل المتكافئة وغير المتكافئة . قد يلاحظ ان جميع مستويات التماثل الثلاثة لجزيئة  $BF_3$  العمودية على المستوي الجزيئي متكافئة . كما في حالة المستويات الثلاثة في الامونيا . في حين يكون المستويان في جزيئة الماء غير متكافئين . ويمكن تقسيم المحاور الستة ثنائية المرة الواقعة في مستوي جزيئة البنزين الى مجموعتين من المحاور المتكافئة . وتحتوي احدى المجموعتين على ذرات الكاربون المتقابلة وتحتوي المجموعة الثانية على الذرات التي تنصف الحافات المتقابلة للشكل المسدسي .

الذرات المتكافئة في الجزيئة هي الذرات التي يمكن ان تتبادل بعضها مع البعض الآخر بواسطة عمليات التماثل . طبعياً . يجب ان تكون الذرات المتكافئة من النوعية الكيميائية نفسها . وتشتمل امثلة الذرات المتكافئة جميع ذرات الهيدروجين في الميثان والايثان والبنزين او البروبان الحلقي . جميع ذرات الفلور في سداسي فلوريد الكبريت وجميع ذرات الكاربون والاكسجين في  $Cr(CO)_6$  . ومن امثلة الذرات المتشابهة كيميائياً والتي لا تكون متكافئة في المحيط الجزيئي هي ذرات الفلور الواقعة في القمم والذرات الاستوائية في جزيئة  $PF_5$  . وليست هناك عملية تماثلية ممكنة لهذه الجزيئة حيث لا يمكن تبادل ذرات الفلور هذه . وتكون ذرات الكاربون والهيدروجين  $\alpha$  و  $\beta$  للنفثالين غير متكافئة . وتكون جميع ذرات الكاربون الست للهكسان الحلقي

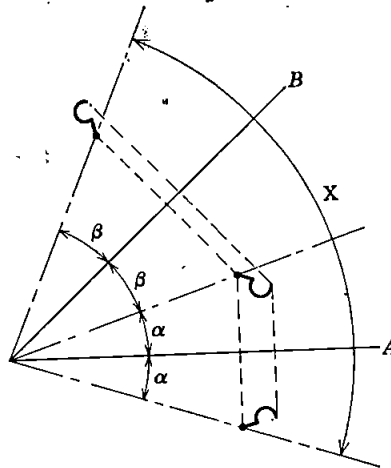


متكافئة في ترتيب الكرسي chair configuration ولكن هناك اربع  
مختلفات عن الاثنتين الاخرين في ترتيب القارب boat configuration

### 3.9 العلاقات العامة بين عناصر التماثل والعمليات :

نقدم هنا بعض القواعد المفيدة والعامة جداً حول كيفية ارتباط عناصر التماثل والعمليات . ويتعامل ذلك مع الطريقة التي يتطلب فيها وجود عنصري تماثل الى وجود عناصر اخرى مع العلاقات التبادلية . وقد قدمت بعض التعاريف هنا بدون اثبات ، اذ ينبغي على القارئ ان يبذل جهداً كبيراً لاثباتها .  
النواتج :

- 1- يجب ان يكون ناتج دورانين مناسبين دوراناً مناسباً . واذا امكن استحداث الدورانات من دمج الانعكاسات ( انظر : القاعدة الثانية ) ، فان العكس مستحيل . وقد تم اختيار الحالة الخاصة  $C_2(x)C_2(y) = C_2(z)$  ( في الفقرة 3.7 ) .
- 2- يكون ناتج انعكاسين ، في المستويين  $A$  و  $B$  ، متقاطعين عند زاوية  $\phi_{AB}$  دوراناً بمقدار  $2\phi_{AB}$  حول المحور المحدد بخط التقاطع . وبعد الاثبات الهندسي ابسط الاثباتات لذلك ، كما هو مبين في الشكل 3.1 ، ومن الواضح ان لهذه القاعدة بعض النتائج بعيدة المثال . فاذا كان المستويان منفصلين بزاوية  $\phi_{AB}$  ، فمن الضروري وجود المحور  $C_n$  ،  $n = 2\pi/2\phi_{AB}$  . ويجب ان تكون  $n$  هنا عدداً صحيحاً ويؤكد المحور  $C_n$  وجود عدد  $n$  من مثل هذه المستويات ، وهكذا ، يتضمن المستويان المجموعة الكلية من العمليات التي تعين وجود مجموعة  $C_{nv}$  ( انظر تحت ) .



الشكل 3.1 الاثبات الهندسي يكمن في احتياج مستويي الانعكاس  $A$  و  $B$  الى وجود المحور  $C_n$  على طول خط تقاطعهما مع  $\phi_{AB} = \alpha + \beta$  ،  $X = \alpha + \alpha + \beta + \beta = 2(\alpha + \beta)$  ،  $\therefore X = 2\phi_{AB}$  ،  $n = 2\pi/2\phi_{AB}$  .

3- عند وجود محور دوراني  $C_n$  . ومستويحتويه . يجب وجود عدد  $2n$  . يتبع ذلك من القاعدة الثانية .

4. يعد ناتج دورانين من  $C_2$  حول محور يتقاطع بزواوية مقدارها  $\theta$  دوراناً بمقدار  $2\theta$  حول محور عمودي على مستوي محاور  $C_2$  . ويمكن اثبات ذلك هندسياً بشكل

مشابه للشكل 3.1 . كذلك يتضمن حاجة محور  $C_n$  وأحد محاور  $C_2$  العمودية الى وجود مجموعة  $n$  من محاور  $C_2$  وبذلك يتولد ماسنعره قريباً في شكل مجموعة  $D_n$  من العمليات .

يولد محور الدوران المناسب ذو الرتبة الزوجية ومستوي الانعكاس العمودي مركزاً انقلايياً . اي ان  $C_{2n}^n \sigma = \sigma C_{2n}^n = C_2 \sigma = \sigma C_2 = i$  . وبصورة مشابهة  $C_{2n}^n i = i C_{2n}^n = C_2 i = i C_2 = \sigma$

### التبادل Commutation

تكون الأزواج الاتية من العمليات تبادلية دائماً .

- 1 . دورانين حول المحور نفسه .
- 2 . انعكاسات خلال مستويات عمودية بعضها على البعض الآخر .
- 3 . الانقلاب واي انعكاس او دوران .
- 4 . دورانين من نوع  $C_2$  حول المحاور المتعامدة .
- 5 . دوراناً وانعكاساً في مستوي عمودي على محور الدوران .

### 3.10 عناصر التماثل والايسومرية الضوئية :

مع انه قد اتبعنا طريقة تقليدية - وللأغراض العامة سنستمر في عمل ذلك - في تعيين اربعة انواع من عناصر التماثل والعمليات  $C_n, i, \sigma, S_n$  . ينبغي ان يلاحظ امكانية اختزال هذه العناصر الى اثنين فقط  $C_n$  و  $S_n$  . ويمكن ان تعد عملية الانعكاس بأنها عملية  $S_1$  . اي الدوران ( العديم الاهمية ) بمقدار  $2\pi/1$  سوية مع الانعكاس . تمتلك العملية  $S_2$  التأثير الاتي على النقطة العامة  $x, y, z$  . اذ يفترض تطابق المحور مع محور  $z$  لنظام الاحداثيات الديكارتي . وأخذ مكون الانعكاس محله من خلال المستوي  $xy$  :

$$S_2(x, y, z) \equiv \sigma C_2(x, y, z) \rightarrow \sigma(\bar{x}, \bar{y}, z) \rightarrow (\bar{x}, \bar{y}, \bar{z})$$

ولكن يصح ايضاً . حسب التعريف . ان :

$$i(x, y, z) \rightarrow (\bar{x}, \bar{y}, \bar{z})$$

وهكذا يكون  $S_2$  و  $i$  رمزين للشيء نفسه .

يمكن ان تعد جميع عمليات التماثل التي نرغب في أخذها بنظر الاعتبار بأنها دورانات مناسبة او غير مناسبة .

يمكن ان يرمز للجزيئات التي لا تنطبق على صورتها المرآتية *superimposable on their mirror images* بأنها ممانعة التماثل *dissymmetric* حيث يستعمل هذا الرمز بدلاً من عديم التماثل *asymmetric* لان الرمز الاخير يعني . حرفياً ، انعدام وجود التماثل . ويمكن ان تمتلك الجزيئات ممانعة التماثل بعضاً من التماثل ، ومن الممكن اعطاء قاعدة بسيطة جداً ومركزة تعبر عن العلاقة بين التماثل الجزيئي وخاصة منع التماثل :

« تعد الجزيئة التي لا تمتلك محوراً دورانياً غير مناسب بأنها ممانعة التماثل » .

ولما كانت محاور الدوران غير المناسب تشتمل على  $S_1 \equiv \sigma$  و  $S_2 \equiv i$  . فان التعريف الاكثر شيوعاً ( لكنه غير كامل ) حول وجود الايسوميرية الضوئية *optical isomerism* في الجزيئات التي تفتقد لمستوي او مركز التماثل يعمم في هذه الحالة الاكثر عموماً . ومن هذه الناحية ، ينبغي اختبار الجزيئة رباعي مثيل ثماني ترايين الحلقي *tetramethylcyclooctatetraene* بصورة اكثر دقة . اذ لا تمتلك هذه الجزيئة مركزاً او مستوي تماثل . لكن لها محور  $S_4$  . ويبين البحث بأنها تنطبق على صورتها المرآتية .

وبأخذ اثبات القاعدة في اعلاه الشكل الاتي :

1 . للجزيئة صورة مرآتية واحدة فقط . ولا يحدث اي اختلاف في كيفية وضع اتجاه وتنظيم المستوي المرآتي ، فقد يوضع وينظم حيثما يكون مناسباً . ولهذا يمكن السماح له بالمرور خلال الجزيئة .

2 . اذا امتلكت الجزيئة محور  $S_n$  ، امكن وضع المستوي حيث يتطابق مع المستوي الذي يحدث من خلاله الجزء الانعكاسي من عملية  $S_n$  . فاذا كان محور  $S_n$  ذا رتبة فردية ، فان عملية الانعكاس النقية ( $S_n$  او  $S_1$ ) توجد حقيقة بشكل عملية تماثلية ، وعليه يتضح ان الجزيئة تتطابق مع صورتها المرآتية .

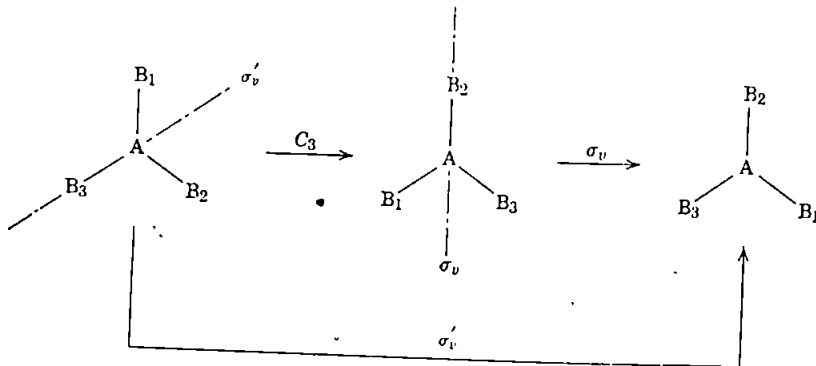
3. اذا كان المحور غير المناسب ذا رتبة زوجية ولا يوجد  $\sigma_h$  بصورة مستقلة . يعطي الانعكاس شكلاً لا يتطابق مع الاصل لكنه يحتاج فقط الى ان يدور بمقدار  $2\pi/n$  لجعله في وضع متطابق . لا يغير دوران الجزئية الكلية هذا من بنيتها . وهكذا تكون الجزئية وصورتها المرآتية متطابقة .

يتبع من ذلك . كنتيجة بديهية . ان الجزئيات مانعة التماثل هي الجزئيات التي لا تمتلك تماثلاً وان لها محاور دورانية مناسبة فقط .

### 3.11 مجاميع النقطة التماثلية The Symmetry Point Groups

لنفترض انه . بالبحث . رتبنا قائمة لجميع عناصر التماثل التي تمتلكها الجزئية المعنية . نستطيع من بعد اعطاء قائمة بجميع عمليات التماثل الناتجة عن كل عنصر من عناصر التماثل . ان الغرض الاول في هذه الفقرة يكمن في توضيح ان مثل هذه القائمة الكاملة من عمليات التماثل تفي بتحقيق الخصائص الاربع لمجموعة رياضية . ستكون لنا الحرية في استعمال نظريات تعنى بسلوك المجاميع لتساعد في التعامل مع مسائل التماثل الجزئي .

لنعين اولاً ما المقصود بالتجمع الكامل من عمليات التماثل للجزئية المعنية . التجمع الكامل هو الذي يمثل فيه كل ناتج ممكن لعمليتين في المجموعة هو ايضاً عملية في المجموعة . لناخذ بنظر الاعتبار مثلاً لمجموعة عمليات يمكن اجراؤها على جزئية  $AB_3$  المستوية . وهي  $E, C_3, C_3^2, C_2, C_2', C_2'', \sigma_v, \sigma_v', \sigma_v'', \sigma_h, S_6$  . و  $S_6^2$  . ينبغي ان يكون واضحاً انه لا توجد عمليات تماثلية اخرى ممكنة . اذا رقت ذرات B . كما هو مبين . يصبح بالامكان العمل بصورة منتظمة خلال جميع النواتج الثنائية . فمثلاً :



نظراً لأن  $\sigma_v C_3 = \sigma_v'$  . باتباع هذه الطريقة . يمكن تدقيق جميع الاتحادات ونجد ان التجمع المعطى هو بالفعل كامل . ويقترح ان يكون ذلك تمريناً مفيداً .

بسبب كون التجمع من العمليات كاملاً بحسب ماهو محدد في اعلاه . يمكن ان نلاحظ الان . تحقق الحاجة الاولى للمجاميع الرياضية . اذ اخذنا التطبيق المتعاقب لهذه العمليات بشكل قانون الاتحاد لعمليتين تماثليتين .

ويتضح ان الحاجة الثانية - هي ضرورة وجود عنصر مجموعة  $E$  كما هي الحال لكل عنصر اخر في المجموعة . مثل  $X$  .  $EX = XE = X$  . يتحقق ايضاً . والعمليّة التي لاتحدث أبة عملية على الاطلاق او التي تنتج من سلسلة من العمليات تؤدي بالجزئية الى ترتيب متطابق مع الترتيب الاصلي ( مثل  $\sigma^2 \cdot C_n^n$  ) هي المتطابقة  $E$  التي اطلق عليها هذا الاسم في الشرح السابق .

من الواضح ان قانون ترتيب الحدود يصح لنواتج عمليات التماثل . كذلك تحقق الحاجة الاخيرة في ان لكل عنصر في المجموعة مقلوباً . وللمجموعة المكونة من عمليات التماثل . يمكن تعريف مقلوب عملية معينة بأن العملية الثانية لاتفعل تماماً العمل الذي فعلته العملية المعينة . وباصطلاحات اكثر تطوراً . يجب ان يكون المعكوس reciprocal  $S$  للعملية  $R$  بحيث ان  $RS = SR = E$  . لنأخذ بنظر الاعتبار كل نوع من عملية التماثل . ولانعكاس  $\sigma$  . في المستوي . يكون واضحاً ان المقلوب هو  $\sigma$  نفسه :  $\sigma \times \sigma = E$  . ويكون المقلوب للدوران الحقيقي .  $C_n^m$  ، هو  $C_n^{n-m}$  . للحدود  $C_n^m \times C_n^{n-m} = C_n^n = E$  . ويعتمد المعكوس للدوران غير الحقيقي  $S_n^m$  . على كون  $m$  و  $n$  زوجية او فردية . لكن المعكوس موجود في كل من الحالات الاربع الممكنة . حين تكون زوجية فان المعكوس  $S_n^m$  هو  $S_n^{n-m}$  فيما اذا كانت  $m$  زوجية او فردية . وحين تكون  $n$  فردية فان  $m$  تكون زوجية .  $S_n^m = C_n^m$  . ويكون المعكوس هو  $C_n^{n-m}$  . وحين توجد  $S_n^m$  مع كون  $n$  و  $m$  فرديين .

يمكن ان نكتب  $S_n^m = C_n^m \sigma$  . ويكون المعكوس ناتج  $C_n^{n-m} \sigma$  الذي يساوي  $C_n^{2n-m} \sigma$  والذي يمكن ان يكتب بدوره في شكل عملية فردية  $S_n^{2n-m}$  .

لقد بينا ان التجمعات الكاملة من عمليات التماثل تكون المجاميع . والآن سنأخذ بنظر الاعتبار الانواع من المجاميع التي يتم الحصول عليها من التجمعات الممكنة

والمختلفة لعمليات التماثل . وفي الحالة البسيطة التي لا توجد فيها عمليات تماثلية غير  $E$  . هناك مجموعة من الرتبة 1 تسمى  $C_1$  \*

لنأخذ الان الجزئيات التي يمثل المستوي عنصر تماثلها الكلي . اذ يعطي هذا العنصر عمليتين فقط ،  $\sigma$  و  $\sigma^2 = E$  . لذلك فان للمجموعة الرتبة 2 . ويمثل  $C_2$  رمز هذه المجموعة . ويمكن ايضاً اخذ جزئية يمثل مركز الانقلاب عنصر تماثلها الكلي . وتكون العمليات التي تنتج عن مركز الانقلاب هي  $i$  و  $i^2 = E$  فقط . ومرة ثانية . يمثل ذلك مجموعة من الرتبة 2 التي يرمز لها  $C_i$  .

لنأخذ الحالات التي تمتلك عنصر تماثل وحيد هو المحور المناسب .  $C_n$  . ينتج عن ذلك مجموعة من العمليات  $C_n, C_n^2, C_n^3, \dots, C_n^n = E$  . ونظراً لأن الجزئية ذات  $C_n$  كما لعنصر تماثلها الوحيد تعود الى المجموعة من الرتبة  $n$  . اذ يرمز  $C_n$  . ومما يلاحظ ان مجموعة  $C_n$  هي مجموعة حلقية ( انظر الفقرة 2.2 ) ولذلك فانها هابليان ايضاً .

وعند وجود محور غير مناسب . يجب ان نأخذ بنظر الاعتبار ما اذا كان زوجيا او فردياً . وحين يكون المحور ،  $S_n$  ، ذا رتبة زوجية ، تسمى مجموعة العمليات التي يعطيها  $S_n$  وتتكون من عدد  $n$  من العناصر ،  $E, S_n, C_{n/2}, S_n^3, \dots, S_n^{n-1}$  ، وتمثل المجموعة  $S_2$  حالة خاصة لان عنصر التماثل  $S_2$  يكافئ  $i$  ، كما بينا سابقا ، وهكذا ، فان المجموعة التي قد تسمى  $S_2$  ، في الحقيقة يطلق عليها  $C_i$  .

لقد بينا ان مجموعة العمليات التي تنتج عن المحور  $S_n$  حين تكون  $n$  فردية تتكون من عدد  $2n$  من العناصر، بضمنها  $\sigma_n$  والعمليات الناتجة عن  $C_n$  . ويشار لمثل هذه المجاميع بالرمز  $C_{nh}$  . اذ يؤكد هذا الرمز وجود محور  $C_n$  ومستواقي ؛ ويتضمن هذا الاتحاد من عناصر التماثل  $S_n$  تماماً كما يتضمن  $S_n$  . ( $n$  فردية ) وجود  $C_n$  و  $\sigma_n$  . وستشرح مجاميع  $C_{nh}$  بالتفصيل لاحقاً .

يسمى هذا الرمز والرموز الاخرى للمجاميع التماثلية . مثل  $C_n, D_n, C_{nh}, C_{nv}, D_{nh}, D_{nd}, \dots$  ، برومز Schoenflies على اسم مبتدعها . كذلك تسمى المجاميع التماثلية في الغالب مجاميع النقطة . لان جميع العناصر التماثلية في الجزئية تتقاطع في نقطة مشتركة لاتزاح بأية عملية من عمليات التماثل . كذلك توجد مجاميع تماثلية تسمى المجاميع الفراغية حيث تحتوي على عمليات تشمل حركات انتقالية . ولن يؤخذ الاخير بنظر الاعتبار في هذا الكتاب .

نعود الآن الى المجاميع التي تنتج عند وجود اثنين او اكثر من عناصر التماثل ، ولتوضيح ذلك . يقسم الشرح الى قسمين : نتعامل اولاً مع الحالات التي لا تحتوي على أكثر من محور واحد ذي رتبة اعلى من 2 . ومن ثم ، في الفقرة التالية ، سناخذ بنظر الاعتبار المجاميع التي تنتج عند وجود عدة محاور عالية الرتبة (  $n$  اكبر من 2 ) . وفي كل من القسمين سنتبع طريقة نظامية يجب ان تفترض بقوة شمولها لجميع الامكانيات . اذا لم تبرهن بدقة .

وقد لاحظنا سابقاً انه اذا امتلكت الجزئية محوراً مناسباً ،  $C_n$  ، ومحوراً ثنائي المرة عمودياً عليه . وجبت ضرورة وجود عدد  $n$  من هذه المحاور ثنائية المرة . ويكون العدد  $n$  من العمليات  $E, C_n, C_n^2, \dots, C_n^{n-1}$  زائداً عدد  $n$  من الدورانات ثنائية المرة المكونة تجمعاً كاملاً من عمليات التماثل . التي يمكن ان تحقق باجرائها خلال جميع النواتج الثنائية . وهكذا ، تتكون مثل هذه المجموعة من عدد كلي من عناصر  $2n$  . ويمثل  $D_n$  رمز المجموعة من هذا النوع .

لقد وصلنا الآن الى نقطة فاصلة في العملية باضافة عدد آخر عن عناصر التماثل الى المحور  $C_n$  . سناخذ بنظر الاعتبار

(1) اضافة انواع مختلفة من مستويات التماثل الى المحور  $C_n$  فقط ،

(2) اضافة مستويات التماثل الى تجمع من العناصر يتكون من المحور  $C_n$  والعدد  $n$  من محاور  $C_2$  العمودية عليه .

وفي خلال هذا التطور ، من المفيد وضع بعض الرموز للانواع العديدة من مستويات التماثل . وفي تحديد هذه الرموز سناخذ بنظر الاعتبار اتجاه المحور  $C_n$  - الذي يسمى المحور الاساس principal axis او المحور المرجع reference axis - عمودياً . ولذلك فإن مستوي التماثل العمودي على المحور يسمى المستوي الافقي horizontal plane ويرمز له  $\sigma_h$  . ويطلق على المستويات المشتملة على المحور  $C_n$  بالمستويات العمودية ، على ان هناك في الحقيقة نوعين مختلفين . وفي بعض الجزئيات تكون جميع المستويات العمودية متكافئة ويرمز لها  $\sigma_v$  . وقد يوجد في حالات اخرى تجمعان مختلفان من المستويات العمودية ( كما في  $\text{PtCl}_4^{2-}$  ) ، في اية حالة . وتسمى مستويات التجمع الاول  $\sigma_v$  ومستويات التجمع الآخر ،  $\sigma_d$  ، اذ تشير  $d$  الى ثنائي السطوح dihedral . ومن المناسب شرح هذه الاختلافات بتوضيح اكثر عند مصادفتها .

إذا اضيف الى المحور  $C_n$  مستواقي . توسعت المجموعة الأصلية ذات العدد  $n$  من العمليات .  $C_n, C_n^2, \dots, E, \sigma_h C_n$  . لتشتمل على جميع النواتج  $\sigma_h C_n$  . وتجعل في جميعها  $2n$  من العمليات .  $\sigma_h C_n^2, \sigma_h C_n^3, \dots, \sigma_h E = \sigma_h$  . والآن العملية  $\sigma_h C_n^m = C_n^m \sigma_h$  لان  $\sigma_h$  تؤثر فقط في الاحداثي  $z$  للنقطة على حين تؤثر  $C_n^m$  على الاحداثيين  $x$  و  $y$  . ولهذا فان الترتيب الذي يجري فيه  $\sigma$  و  $C_n^m$  غير مهم . والابعد من ذلك . يمكن التعبير عن جميع العمليات من النوع  $\sigma C_n^m$  بشكل عمليات فردية . كما في الدورانات غير المناسبة . ويمكن ان نبين بسهولة ان التجمع الجديد من عمليات  $2n$  هو تجمع كامل ولهذا فهو يكون مجموعة . ولمثل هذه المجموعة الرمز العام  $C_{nh}$  .

لننظر بعد ذلك الى نتائج اضافة المستوي العمودي الى المحور  $C_n$  . نذكر اولاً ( الفقرة 3.5 ) بأن العمليات الناتجة عن  $C_n$  حين يكون  $n$  فردياً تحتاج الى وجود تجمع كلي لعدد  $n$  من المستويات العمودية . ومن المحتمل ان تسمى جميع هذه المستويات بالمستويات العمودية ويرمز لها  $\sigma_v$  . وحين يكون  $n$  زوجياً . لاحظنا ( الفقرة 3.5 ) ان هناك عدد  $n/2$  لمستويات النوع نفسه كنتيجة مباشرة عن المحور  $C_n$  . لقد بينا ايضا ( الفقرة 3.7 ) وجوب وجود تجمع آخر لعدد  $n/2$  من المستويات العمودية بشكل النواتج المختلفة  $C_n^m \sigma_v$  . اذ تسمى هذه المستويات في التجمع الثاني بالمستويات ثنائية السطوح لانها تنصف زوايا ثنائي السطوح بين اعضاء التجمع  $\sigma_v$  ويشار اليها  $\sigma_d$  . من الواضح ان اعتبار التجمع عمودياً او ثنائي السطوح هوشيء اختياري كلياً . وفي اية حالة . اذا كان  $n$  زوجياً او فردياً . يكون التجمع من العمليات الناتج عن  $C_n$  وعن جميع  $\sigma$  تجمعاً كاملاً وتسمى مثل هذه المجموعة  $C_{nv}$  .

يمكن ان نتساءل الآن : ماذا يحدث عند اضافة مستوى افقي وتجمع لعدد  $n$  من المستويات العمودية الى  $C_n$  ؟ يعطي ذلك مجموعة تسمى  $D_{nh}$  . سنطورها بطريقة مختلفة .

نأخذ بنظر الاعتبار الان نتائج اضافة  $\sigma_h$  الى المجموعة  $D_n$  . اذ يشار الى المجموعة الناتجة بالرمز  $D_{nh}$  . لننظر اولاً الى جميع نواتج  $\sigma_h$  مع العمليات الناتجة عن محاور  $C_2$  وعن المحور  $C_n$  . ولنفترض اختيار نظام الاحداثي بحيث يتطابق المحور  $C_n$  مع المحور  $z$  وأحد محاور  $C_2$  ،  $C_2(x)$  مع المحور  $x$  . ويمكن تعيين تأثير الدوران حول المحور  $C_2(x)$  المتبع بالعملية  $\sigma_h$  في النقطة العامة  $[x, y, z]$  ، وهكذا :

$$[x, y, z] \xrightarrow{C_2(x)} [x, \bar{y}, \bar{z}] \xrightarrow{\sigma_h} [x, \bar{y}, z]$$



ويكون تأثير الانعكاس في المستوي  $xz$  على النقطة نفسها كالآتي :

$$[x, y, z] \xrightarrow{\sigma(xz)} [x, \bar{y}, z]$$

وهكذا . يمكن ان نكتب

$$\sigma_h C_2(x) = \sigma(xz) = C_2(x) \sigma_h$$

اذ تشير المعادلة الثانية ببساطة الى كون الدوران و  $\sigma_h$  تبادليين . وقد بينا سابقاً ان ذلك صحيح بصورة عامة .

وبالطبع . يتبع الآن انه اذا كان أحد محاور  $C_2$  واقعاً في مستوي التماثل العمودي . وجب ان يكون الامر كذلك لجميع المحاور الاخرى . ولذلك ينبغي وجود تجمع من  $n$  لعمليات  $\sigma_v$  . ويمكن الآن ضرب المعادلة في أعلاه من جهة اليسار في الحد  $\sigma_h$  .  
لنعطي :

$$\sigma_h \sigma_h C_2 = \sigma_h \sigma_v = C_2$$

اذ يلاحظ ان جميع النواتج من  $\sigma_h$  و  $\sigma_v$  هي  $C_2$  . وهكذا . يمكن ان نأخذ ايضاً التواجد الآتي لكل من  $C_n$  .  $\sigma_h$  و  $\sigma_v$  كخاصية لوجود مجموعة  $D_{nh}$  . ولسبب تقليدي فقط وليس رياضياً نأخذ عوضاً عن ذلك الوجود الآتي لكل من  $C_n$  .  $C_2$  و  $\sigma_h$  ليمثلان الخاصية .

بينا ان العمليات في مجموعة  $D_{nh}$  تشتمل على دورانات  $E$  .  $(n-1)$  المناسبة حول انعكاسات  $C_n$  .  $n$  في المستويات العمودية .  $\sigma_h$  . وعدد  $n$  من الدورانات حول محاور  $C_2$  . وعلى اية حال . ماتزال عمليات  $3n+1$  لا تكون تجمعاً كاملاً . وقد يلاحظ خلال النواتج  $C_n^m \sigma_h = \sigma_h C_n^m$  وجود  $n-1$  من العمليات الاضافية . تمثل جميعها دورانات غير مناسبة . وللحالة العامة حين يكون  $n$  زوجياً . نحصل على العمليات الجديدة :  $S_n$  .  $S_{n/2}$  .  $\dots$  .  $i$  ( $= C_n^{n/2} \sigma_h$ ) .  $\dots$  .  $S_{n/2}^{(n-2)/2}$  .  $S_n^{n-1}$  .

فمثلاً . في المجموعة  $D_{6h}$  يوجد  $S_3$  .  $i$  .  $S_3^2$  .

$S_6^5$  و  $S_6$  . وحين يكون  $n$  فردياً نحصل . للحالة العامة . على  $n-1$  من الدورانات غير المناسبة :  $S_n$  .  $S_n^3$  .  $S_n^5$  .  $\dots$  .  $S_n^{2n-3}$  .  $S_n^{2n-1}$  باستثناء

$S_n^n (= \sigma_h)$  . اذ يكون  $m$  زوجياً . وبالطبع . يكون  $E$  او أحد الدورانات المناسبة الذي بيناه سابقاً . وهكذا . يوجد الآن عدد كلي  $4n$  من الدورانات في المجموعة  $D_{nh}$  . وبين الاختيار النظامي ان التجمع كامل .

اما الاختبار الآتي والاخير فهو اخذ نتائج الاضافة الى  $C_n$  و  $C_2$  تجمع من المستويات ثنائية السطوح  $\sigma_d$  . وهي تمثل مستويات عمودية تنصف الزوايا بين الأزواج المتجاورة

من محاور  $C_2$  ، ويشار الى المجاميع الناتجة عن هذا الاتحاد لعناصر التماثل بالرمز  $D_{nd}$ . وتعد نواتج  $\sigma_d$  مع عمليات  $C_n^m$  المختلفة بان جميعها عمليات  $\sigma_d$  الاخرى. وعلى اية حال ، من بين النواتج المختلفة من نوع  $\sigma_d C_2$  هناك تجمع  $n$  الجديد من العمليات الناتجة عن المحور  $S_{2n}$  الواقع على استقامة واحدة مع  $C_n$ . تكون عمليات  $4n$  الآن المجموعة الكاملة  $D_{nd}$ .

### الجزيئات الخطية Linear Molecules

تكون هذه الجزيئات حالة خاصة ، مع ان مجاميع النقطة الممكنة تقارب من النسق الذي تم تطويره في اعلاه. فاية جزيئة خطية تمتلك محوراً تماثلياً يتطابق مع جميع النوى ، وتكون رتبة هذا المحور  $\infty$ ، اي دورانات بأي وبجميع الزوايا حول المحور المكون لعمليات التماثل ، كذلك يمثل اي مستو ، يحتوي على الجزيئة مستوياً تماثلياً . وهناك عدد لانتهائي من هذه المستويات تتقاطع جميعها على طول المحور الجزيئي . وبالتالي ذلك . يتضح وجود امكانيتين : (1) الجزيئة من النوع  $OCO, NCCN$  ، وغيرها ، بحيث تتكون من نصفين متكافئين . او (2) من النوع  $NNO, HCN$  . وغيرها ، ولاتتكون من نصفين متكافئين .

في الحالة الاولى . يقصد بمكافئ النصفين ان اي خط يمثل منصفاً عمودياً للمحور الجزيئي هو محور التماثل  $C_2$  ، وهناك عدد لانتهائي من محاور  $C_2$  هذه . يعني ايضاً تكافئ النصفين من الجزيئة وجود مستو تماثلي عمودي على المحور الجزيئي . ونظراً لوجود عدد لانتهائي من الدورانات حول المحور العمودي الفريد  $C_\infty$  . فان هناك انياً عدداً لانتهائياً من محاور  $C_2$  عمودية على  $C_\infty$  . وهناك مستو تماثلي افقي . وهكذا ، تمثل المجموعة بصورة معقولة بشكل  $D_{\infty h}$  .

للجزيئات الخطية التي لاتتكون من نصفين متكافئين تتمثل فيها عمليات التماثل فقط بالدورانات حول  $C_\infty$  والانعكاسات في المستويات العمودية . وتسمى المجموعة  $C_{\infty v}$

### 3.12 التماثلات في المحاور المضاعفة عالية الرتبة :

لقد اخذنا بنظر الاعتبار كيفية البناء المنسق لمجاميع من العمليات التماثلية بالبدء بمحور دوراني مناسب واحد ( المحور المرجع ) والعمليات التي تنتج عنه والاضافة الى هذه المجموعة ( مجموعة دورانية نقية ،  $C_n$  ) العمليات الناتجة عن عناصر التماثل الاضافية ، وهي محددة الى المستويات او المحاور ثنائية المرة . لم نبحث بعد حول امكانية اضافة

العمليات الناتجة عن محور واحد عالي الرتبة  $n$  (أكبر من 2) ومحاور اضافية عالية الرتبة . هذا هو الموضوع الذي سنعمل على اختباره الان .

يتضح انه لا يوجد حقيقة امكانيات عديدة ( سبع فقط متوقعة ) ، بعضها من اهم مجاميع النقطة التي تصادف في الطبيعة ، ولهذا فانها تستحق الدراسة بعناية . ومن الطرق

- المفيدة والنظامية للتقرب من الموضوع معرفة ان المجاميع المشتملة على عدة محاور متكافئة ومتقاطعة عالية الرتبة ستمثل بمتعدد السطوح polyhedra ذي الالوجه العمودية على هذه المحاور . فمثلاً ، يجب ان يمتلك رباعي السطوح ذو الالوجه المثلثية متساوية الاضلاع الاربعة اربع مكافئات تقاطع محاور  $C_3$  . لذلك ، يجب اولاً اعطاء قائمة توضيحية كاملة لجميع الاشكال متعددة السطوح ومن ثم اخذ مجاميع تماثلها بصورة منسقة وكل المجاميع الثانوية التي تحتوي عليها بحيث تبقى المحاور المضاعفة ، وقد نتوقع الحصول على قائمة كاملة من مجاميع التماثل مع المحاور المضاعفة عالية الرتبة .

### الجوامد المثلالية الخمسة *The Five Platonic Solids*

لاكمال الطريقة المبينة في اعلاه نأخذ اشكالا متعددة السطوح المنتظمة . التي تسمى احيانا الجوامد المثلالية ، اذ يوجد منها خمسة . ويعني متعدد سطوح منتظم شكلاً متعدد السطوح بالصفات الاتية :

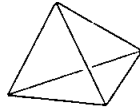
(1) تمثل جميع الالوجه مضلعاً منتظماً ( مثلثاً متساوي الاضلاع . مربعاً . مخمساً منتظم . سدساً . وغير ذلك ) مكافئة لبعضها البعض .

(2) تكون جميع اعمدته متكافئة .

(3) تكون حافته جميعها متكافئة .

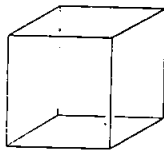
ويعني بمكافيء ( equivalent ) قابلية التبادل بعمليات التماثل . لقد وضعنا متعددة السطوح المنتظمة الخمسة وبين الجدول 3.2 مميزاتها الاساسية .

### جدول 3.2 متعددة السطوح المنتظمة او الجوامد المجردة الخمسة .



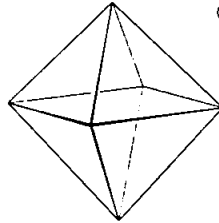
Tetrahedron

Faces: 4 equilateral triangles  
Vertices: 4  
Edges: 6



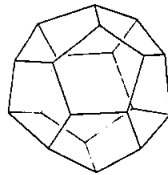
Cube

Faces: 6 squares  
Vertices: 8  
Edges: 12



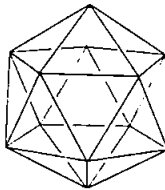
Octahedron

Faces: 8 equilateral triangles  
Vertices: 6  
Edges: 12



Dodecahedron

Faces: 12 regular pentagons  
Vertices: 20  
Edges: 30



Icosahedron

Faces: 20 equilateral triangles  
Vertices: 12  
Edges: 30

تبين الدراسة الاولى ان الجوامد المثالية الخمسة تمثل . في الحقيقة . جميع الاحتمالات . اذ يمكن اجراء ذلك بسهولة ..

ولبناء متعدد السطوح . يجب ان تتقابل ثلاثة او اكثر من الواجه المطلوبة في نقطة بحيث تنتج ترتيباً هرمياً ( غير مسطح ) مغلقاً . وباستعمال المثلثات متساوية الاضلاع تتضح الامكانيات الآتية :

- 1 . ثلاثة مثلثات بقمة مشتركة .
- 2 . اربعة مثلثات بقمة مشتركة .
- 3 . خمسة مثلثات بقمة مشتركة .

اذا اشتركت ستة مثلثات متساوية الاضلاع بقمة مشتركة فان مجموع الزوايا حول القمة هو  $360 = 6 \times 60$  درجة . ويكون الترتيب مسطحاً ولا يمكن ان يمثل جزءاً من متعدد السطوح المنتظم .

ومن الواضح ان الاحتمالات الثلاثة المبينة تعطي رباعي السطوح وثمانى السطوح وعشرينى السطوح ( icosahedron ) . كما هو مبين في الجدول 3.2

وللمضلع المنتظم التالي الاعلى . المربع . توجد امكانية واحدة فقط . ثلاثة مربعات بقمة مشتركة . اذ يعطي ذلك المكعب . اربع مربعات بقمة مشتركة تقطع جميعها في مستو واحد .

وفي حالة المخمس المنتظم ( الزاوية الداخلية . 108 ) . هناك امكانية واحدة فقط وهي ثلاثة مخمسات تجمع في قمة مشتركة (  $324 = 3 \times 108$  ) ولما كانت اربعة او اكثر منها لا يمكن وضعها سوية (  $432 = 4 \times 108$  ) . فان هذا الارتباط الاحادي للمخمسات يمكن تكراره ليعطي ثاني عشر السطوح ( dodecahedron ) .

في حالة المسدسات ( hexagons ) ليس هناك وسيلة لبناء متعدد السطوح منتظم لانه حتى المسدسات الثلاثة المشتركة بقمة واحدة تقع في المستوي نفسه . وفي حالة جميع متعددات السطوح العليا لا يمكن حتى وضع ثلاثة سوية عند قمة مشتركة .

اذ لك . فان من الواضح ان الجوامد المجردة الخمسة هي متعددات السطوح المنتظمة الممكنة فقط . ولنعمل الان على اختبارها لمعرفة عمليات التماثل التي يمكن اجراؤها على كل منها .

يظهر البحث عن رباعي السطوح عناصر التماثل والعمليات الآتية

(أ) ثلاثة محاور  $S_4$  تتطابق مع المحاور  $x, y, z$ ، كل منها ينتج العمليات  $S_4$ ،

$$S_4^3 \text{ و } S_4^2 = C_2$$

(ب) ثلاثة محاور  $C_2$  تتطابق مع المحاور  $x, y, z$ ، وينتج كل منها العملية  $C_2$

لقد نتجت هذه العمليات سابقاً بواسطة عمليات  $S_4$ 's

(ج) أربعة محاور  $C_3$  يمر كل منها خلال قمة ومركز الوجه المقابل، وينتج عن كل

منها عمليات  $C_3$  و  $C_3^2$ ، أي ثماني عمليات.

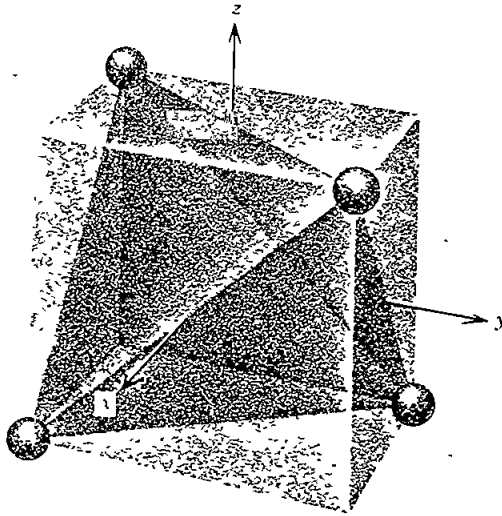
(د) ستة مستويات تماثلية ينتج كل منها عملية تماثلية

وهكذا، يتكون التجمع الكلي من العمليات الأربع والعشرين الآتية، المبيّنة

بحسب الاصناف (كما ستوضح في الفقرة 3 15)

$$E, 8C_3, 3C_2, 6S_4, 6\sigma_d$$

تسمى هذه المجموعة  $T_d$



يمتلك ثماني السطوح عناصر التماثل والعمليات الآتية

(أ) ثلاثة محاور  $S_4$  يمر كل منها خلال زوج متقابل من القمم وتنتج عن كل واحد

$$S_4, C_2, S_4^3$$

(ب) ثلاثة محاور  $C_2$  على استقامة واحدة مع  $S_4$ ، وقد بينا في (أ) عمليات

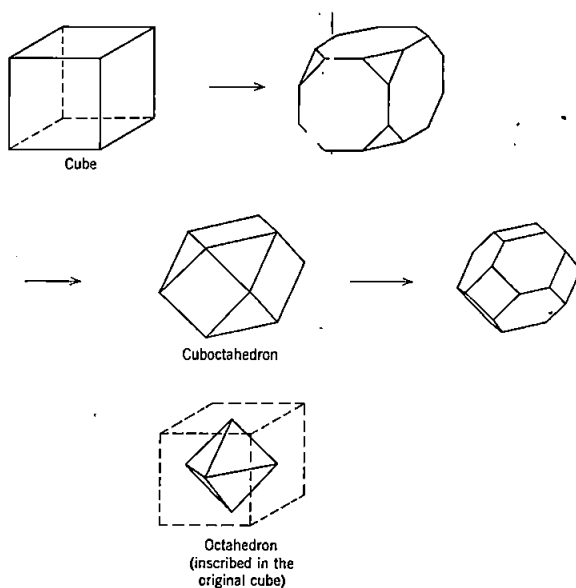
الناتجة عن هذه المحاور.

- (ج) ثلاثة محاور  $C_2$  على استقامة واحدة مع  $S_4$  و  $C_2$  . ينتج عن كل منها تجمع من العمليات  $C_2, C_4, C_4^3$  لكن  $C_4$  و  $C_4^3$  فقط جديداً .
- (د) ستة محاور  $C_2$  تنصف الحافات المتقابلة ينتج عن كل منها عملية  $C_2$  .
- (هـ) أربعة محاور  $S_6$  يمر كل منها خلال مراكز زوج من الأوجه المثلثية المتقابلة . وينتج كل واحد تجمعاً من عمليات  $S_6, C_3, i, C_3^2, S_6^5$  .
- (و) أربعة محاور  $C_3$  على استقامة واحدة مع  $S_6$  تنتج عن كل منها العمليتان  $C_3$  و  $C_3^2$  اللتان تنتجان أيضاً عن  $S_6$  الواقع على استقامة واحدة .
- (ز) مركز انقلاب ينتج العملية  $i$  . التي تنتج أيضاً عن كل من محاور  $S_6$  .
- (ح) ثلاثة مستويات تماثلية تمر خلال أربع من القمم الست وكل منها ينتج العملية  $\sigma_d$  .
- (ط) ستة مستويات تماثلية تمر خلال قمتين وتنصف حافتين متقابلتين . وكل منها تنتج العملية  $\sigma_h$  .

وهكذا ، تتكون عن التجمع الكلي العمليات الثماني والاربعون الاتية التي تتجمع حسب الاصناف ( كما ستوضح في الفقرة 3.15 ) :

$$E, 8C_3, 6C_4, 6C_2, 3C_2(=C_4^2), i, 6S_4, 8S_6, 3\sigma_h, 6\sigma_d$$

وتسمى هذه المجموعة  $O_h$



الشكل 3.2 تحول المكعب الى ثماني السطوح من خلال مكعب ثماني سطوح .

وبين البحث أن للمكعب عمليات التماثل نفسها بالضبط كما لثمانى السطوح . وهو أيضاً يعود الى مجموعة النقطة  $O_h$  . ومن المفيد ملاحظة الارتباط الكبير بين المكعب وثمانى السطوح . ويتم الحصول على كل منهم من الاخر بازالة الزوايا . كما هو مبين في الشكل 3.2 لتحول المكعب الى ثمانى السطوح . في المكعب تخترق محاور الأوجه . ومحاور  $C_3$  القمم . اما في ثمانى السطوح فان القمم تقع على محاور  $C_4$  وتخترق محاور  $C_3$  الأوجه . ينتج متعدد السطوح غير المنتظم بشكل وسطي عند اجتماع الأوجه المثلثية ويسمى مكعباً ثمانى السطوح cuboctahedron . وهو أيضاً يمتلك التماثل  $O_h$  . كما يفعل كل متعدد سطوح في حالة انتقالية . بالمعنى المبين في الشكل 3.2 بين المكعب وثمانى السطوح . يوجد مكعب ثمانى السطوح في الطبيعة على شكل اقفاص  $B_{12}$  cages في بعض البوريدات borides . وهناك علاقة مفيدة بينه وبين عشرينى السطوح ( انظر التمرين 3.6 ) . وأخيراً . نعود الى ثاني عشر السطوح الخمسي وعشرينى السطوح . اذ يمتلك الاثنان التماثل نفسه . ويرتبطان مع بعضهما مثل ارتباط المكعب وثمانى السطوح . وتكون عناصر التماثل والعمليات كالآتي :

(أ) لكل متعدد سطوح تجمع من ستة محاور  $S_{10}$  . في ثاني عشر السطوح تمر هذه المحاور خلال ازواج متقابلة من الأوجه الخماسية . اما في عشرينى السطوح فانها تمر خلال القمم المتقابلة . تنتج عن كل محور  $S_{10}$  العمليات

$$S_{10}^0, S_{10}^2 = C_5, S_{10}^3, S_{10}^4 = C_5^2, S_{10}^5 = i, S_{10}^6 = C_5^3, S_{10}^7, S_{10}^8 = C_5^4, S_{10}^9, E.$$

(ب) يمتلك كل متعدد سطوح عشرة محاور  $S_6$  . تمر في ثاني عشر السطوح خلال الازواج المتقابلة من القمم . اما في عشرينى السطوح فانها تمر خلال ازواج من الأوجه المتقابلة . وتنتج عن كل واحد العمليات :  $S_6, S_6^2 = C_3$  . من هذه العمليات  $S_6^3 = S_2 = i, S_6^4 = C_3^2, S_6^5, E$  . لاحظنا  $i$  و  $E$  .

(ج) توجد ستة محاور  $C_5$  على استقامة واحدة مع محاور  $S_{10}$  . تنتج عنها العمليات  $C_5, C_5^2, C_5^3, C_5^4$  حيث تم حسابهما تحت  $S_{10}$  .

(د) توجد عشرة محاور  $C_3$  على استقامة واحدة مع محاور  $S_6$  . ينتج عنها العمليتان  $C_3$  و  $C_3^2$  اللتان لوحظتا تحت  $S_6$  .

(هـ) توجد خمسة عشر من محاور  $C_2$  تنصف في كل حالة الحافات المتقابلة وتنتج عنها خمس عشرة عملية من  $C_2$



(9) يوجد خمسة عشر مستويًا مرآتيًا يحتوي كل واحد على اثنين من محاور  $C_2$  واثنين من محاور  $C_5$ . وتنتج عنها خمسة عشر عملية انعكاسية. وتمثل جميعها 120 عملية تكون الاصناف الآتية :

$$E, 12C_5, 12C_5^2, 20C_3, 15C_2, i, 12S_{10}, 12S_{10}^3, 20S_6, 15\sigma$$

وتسمى المجموعة التي تكونها هذه الاصناف مجموعة  $I_h$

بالبحث المباشر لمتعددات السطوح المنتظمة الخمسة . تم اكتشاف ثلاثة مجاميع نقطة  $T_d, O_h, I_h$ . لكن . هناك عدد اكبر سنحصل عليه الآن بصورة مباشرة من هذه المجاميع . كما لاحظنا سابقاً . تكون نواتج الدورانات دورانات فقط . وهكذا . توجد مجاميع دورانية نقية . اذا ازلنا من أية مجموعة الانعكاسات التي تحتويها المجموعة وجميع نواتجها مع الدورانات المناسبة . تبقى مجموعة ثانوية تتكون كلياً من دورانات مناسبة .

وهكذا . للمجموعة  $T_d$  مجموعة ثانوية دورانية نقية  $T$  ذات رتبة 12 تتكون من الاصناف الآتية :

$$E, 4C_3, 4C_3^2, 3C_2$$

وللمجموعة  $O_h$  مجموعة ثانوية دورانية نقية  $O$  ذات رتبة 24 تتكون من الاصناف الآتية :

$$E, 6C_4, 3C_2(=C_4^2), 8C_3, 6C_2$$

وللمجموعة  $I_h$  مجموعة ثانوية دورانية نقية .  $I$  . تتكون من العمليات الستين الآتية :

$$E, 12C_5, 12C_5^2, 20C_3, 15C_2$$

واخيراً . هناك مجموعة اخرى تسمى  $T_h$  . يمكن اشتقاقها باضافة تجمع من مستويات  $\sigma_h$  الى  $T$  التي تحتوي على الأزواج من محاور  $C_2$  ( اذ يقابل ذلك مستويات  $\sigma_d$  التي تحتوي على محور  $C_2$  واحد وينصف الزوج الاخر ليعطي  $T_d$  ) . وعند احصاء جميع النواتج المميزة لهذه المستويات مع عمليات  $T$  ووضعها في اصناف . نحصل على

$$E, 4C_3, 4C_3^2, 3C_2, i, 4S_6, 4S_6^5, 3\sigma_h$$

والان اصبحت لدينا المجاميع السبعة الآتية التي تحتوي على محاور مضاعفة عالية

$T$	$O$	$I$	الرتبة :
$T_h$	$O_h$	$I_h$	
$T_d$			

ينبغي ان يكون واضحاً . من الطريقة التنظيمية التي استعملت للحصول على هذه المجاميع ان هذه القائمة كاملة .

### 3.13 طريقة نظامية لتصنيف التماثل في الجزئيات :

بينا في الفقرة 3.11 ان التجمع الكامل غير الفاضل من عمليات التماثل لأية جزئية تكون مجموعة رياضية . وتم وصف المجاميع المختلفة او انواع المجاميع  $(C_n, D_n, S_n, C_{nv}, C_{nh}, D_{nd}, T_d, \dots)$  التي يمكن توقع مصادفتها خلال الجزئيات الحقيقية. سنصف في هذه الفقرة طريقة نظامية لتعيين مجموعة النقطة التي تعود اليها أية جزئية . سيتم اجراء ذلك بطريقة عملية « كيف يجرى ذلك » لكن العلاقة القوية لهذه الطريقة مع المناقشة المستعملة لاشتقاق المجاميع المختلفة يجب اثباتها . تؤدي الخطوات النظامية المتسلسلة الآتية الى التصنيف الصحيح :

نجد ما اذا كانت الجزئية تعود الى احد المجاميع الخاصة . أي  $D_{\infty h}, C_{\infty v}$  او احد المحاور المضاعفة عالية الرتبة . تعود الجزئيات الخطية فقط الى  $C_{\infty v}$  او  $D_{\infty h}$  ، ولهذا فان الجزئيات لا يمكن ان تشتمل على أي شيء غير محقق . ويكون التماثل العالي الخاص للحالات الاخرى واضحاً . وتحتاج جميع المجاميع المكعبة  $T, T_h, T_d, O$  و  $O_h$  . اربعة محاور  $C_3$  في حين يحتاج  $I_h$  و  $I$  عشرة محاور  $C_3$  وستة  $C_5$  .

تمثل المضاعفات  $C_3$  و  $C_5$  مفتاح الاشياء التي يجب دراستها . وعملياً . تكون فقط الجزئيات التي تبنى على مركز رباعي السطوح أو ثماني السطوح او مكعب ثماني السطوح او المكعب مؤهلة . وتعد هذه الاشكال واضحة جداً .

2- اذا كانت الجزئية لا تعود الى المجاميع الخاصة . نبحث عن محاور الدوران الحقيقي وغير الحقيقي . واذا لم توجد محاور من هذين النوعين نبحث عن مستوا مركز التماثل . اذا وجد مستو فقط فان المجموعة هي  $C_s$  . اما اذا وجد المركز فقط ( وهذا نادراً جداً ) فان المجموعة هي  $C_i$  . واذا لم يوجد أي عنصر تماثلي على الاطلاق فان المجموعة تكون غير مهمة وتحتوي فقط على العملية المتطابقة ويرمز لها  $C_1$

3- اذا وجد محور غير حقيقي زوجي الرتبة ( عملياً تكون فقط  $S_6, S_4, S_8$  شائعة ) لكن ليست مستويات تماثلية أو أي محور حقيقي باستثناء واحد ( او اكثر ) على استقامة واحدة الذي يحتاج وجوده بصورة اوتوماتيكية المحور غير الحقيقي . فان المجموعة هي  $S_4, S_6, S_8$  . يحتاج المحور  $S_4$  الى المحور  $C_2$  ويحتاج المحور  $S_6$  الى المحور  $C_3$  . ويحتاج المحور  $S_8$  و الى المحورين  $C_4, C_2$

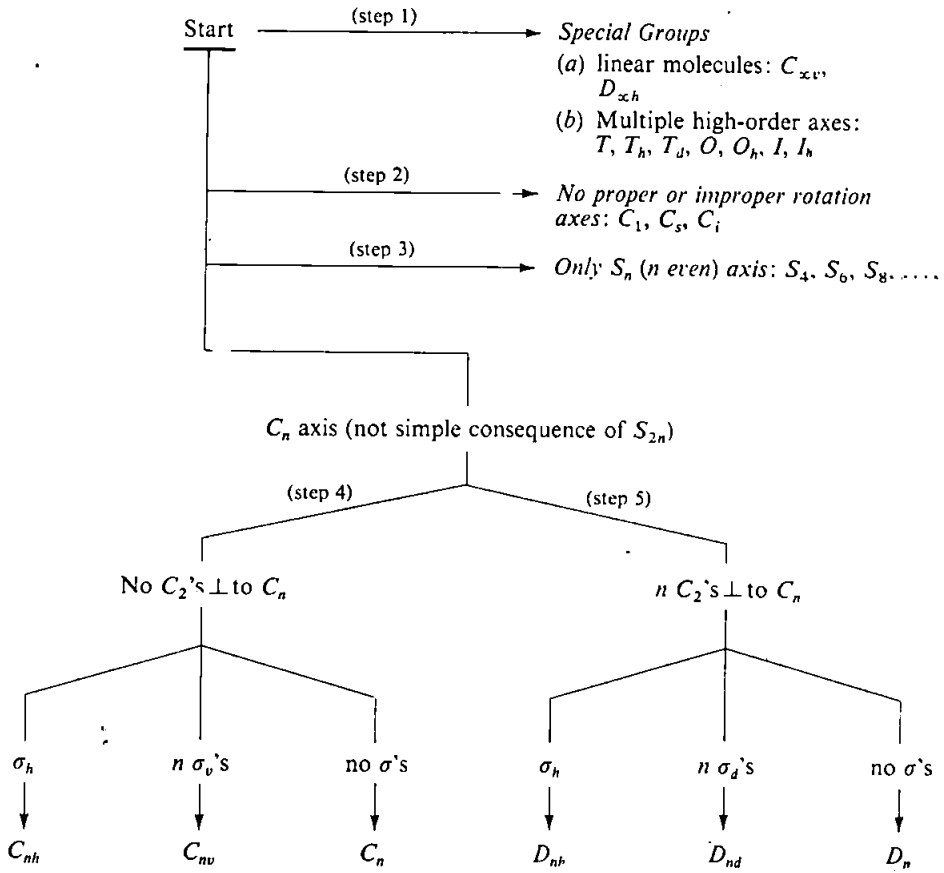
ان النقطة المهمة هنا هي ان مجاميع  $S_n$  (  $n$  زوجي ) تتكون كلياً من العمليات الناتجة عن المحور  $S_n$  فاذا كانت هناك امكانية لأية عملية اضافية . يعني ذلك اننا نتعامل مع مجموعة من النوع  $D_n$  او  $D_{nd}$  او  $D_{nh}$  . اذ تعد الجزئيات التي تعود الى هذه المجاميع نادرة نسبياً ، كما ان الاستنتاج الذي يقرر كون الجزئية تعود الى احد هذه المجاميع يجب ان يدقق بصورة جيدة قبل قبوله .

4- حالماً يتضح ان الجزئية لا تعود الى أي من المجاميع السابقة . نبدأ بالبحث عن محور مناسب عالي الرتبة . ويمكن أن توجد ثلاثة محاور  $C_2$  بدلاً من محور واحد فريد عالي الرتبة ، وفي مثل هذه الحالة نبحث ما اذا كان احد هذه المحاور الثلاثة فريداً هندسياً بطريقة ما ، مثل كونه على استقامة واحدة مع المحور الجزئي الفريد . يحدث ذلك مع الجزئية الين ( allene ) التي ستؤخذ بنظر الاعتبار فيما بعد . فاذا ظهرت جميع المحاور متشابهة بعضها مع البعض الآخر ، امكن اختبار أي منها . بصورة عشوائية . على كونه المحور الذي يعتمد عليه للاشارة الى خاصية المستويات العمودية او الافقية . لنفترض ان  $C_n$  هو المرجع او المحور الاساس . اما السؤال العصيب الان فهو ما اذا وجد تجمع من محاور

$C_2$   $n$  عمودي على المحور  $C_n$  . فاذا كان ذلك صحيحاً نستمر الى الخطوة الخامسة . اما اذا كان غير صحيح فان الجزئية تعود الى احد المجاميع  $C_{nv}$  ،  $C_n$  و  $C_{nh}$  . واذا لم توجد عناصر تماثل غير المحور  $C_n$  فان المجموعة هي  $C_n$  واذا وجد  $n$  من المستويات العمودية فان المجموعة هي  $C_{nv}$  واذا وجد مستواقي فان المجموعة هي  $C_{nh}$

5- اذا وجدت اضافة الى المحور الاساس  $C_n$  عدد  $C_2$   $n$  من المحاور الواقعة في المستوي العمودي على المحور  $C_n$  فان الجزئية تعود الى احد المجاميع  $D_{nh}$  ،  $D_n$  و  $D_{nd}$  . واذا لم توجد عناصر تماثل بجانب  $C_n$  والمحاور  $C_2$   $n$  فان المجموعة هي  $D_n$  واذا وجد ايضاً مستوي تماثل افقي فان المجموعة هي  $D_{nh}$  من الضروري ان تحتوي مجموعة  $D_{nh}$  عدد  $n$  من المستويات الافقية ، اذ تحتوي هذه المستويات على محاور  $C_2$  . واذا لم يوجد  $\sigma_h$  وانما هناك تجمع  $n$  من المستويات العمودية التي تمرين محاور  $C_2$  فان المجموعة هي  $D_{nd}$

وتلخص الطريقة ذات الخطوات الخمس التي وضحت في اعلاه ، كما هو مبين في الشكل 3.3



الفصل 3 3 الطريقة ذات الخطوات الخمس لتصنيف التماثل في الجزيئات .

### 3.14 امثلة توضيحية :

سنوضح الان المخطط المبين في اعلاه وضع الجزيئات بالنسبة لمجاميع نقطتها .  
 وستعامل مع الجزيئات التي لا تعود الى اي من المجاميع الخاصة . وسنسمح ايضاً  
 للجزيئات التي تعود الى  $C_1$ ,  $C_s$  و  $C_i$  . وهكذا سيبدأ كل توضيح بالخطوة  
 الثالثة . التي تبحث عن المحور  $S_n$  ذي الرتبة الزوجية .

المثال الاول .  $H_2O$  :

3- لا يمتلك  $H_2O$  محوراً غير حقيقي .

4 يمثل  $C_2$  المحور المناسب ذا اعلى رتبة الذي يمر خلال ذرة الاوكسجين وينصف

الخطبين درتي الهيدروجين ، ولا يوجد اية محاور اخرى من  $C_2$  لهذا يجب ان تعود جزيئة  $H_2O$  الى  $C_2, C_{2v}$  أو  $C_{2h}$  لانها تمتلك مستويين عموديين ، احدهما . المستوي الجزيئي الذي يعود الى مجموعة  $C_{2v}$

المثال الثاني ،  $NH_3$

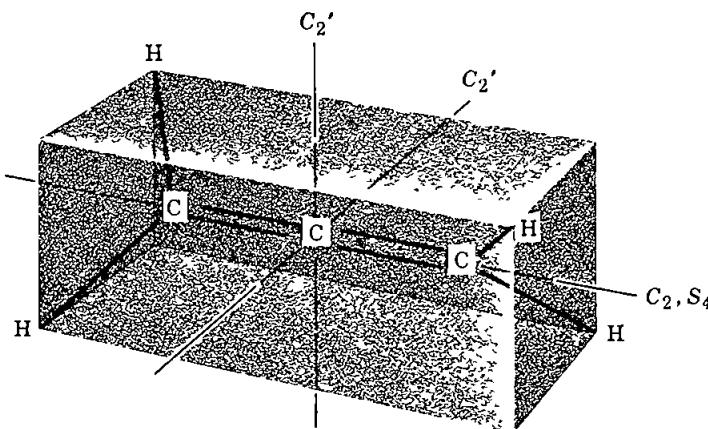
3- لا يوجد محور غير مناسب

4- يمثل  $C_3$  المحور المناسب الوحيد ، ولا توجد محاور  $C_2$  على الاطلاق ، ولهذا يجب ان تكون مجموعة النقطة  $C_3, C_{3v}$  أو  $C_{3h}$  وهناك ثلاثة مستويات عمودية يمر احد هما خلال كل ذرة هيدروجين ، وهكذا فان المجموعة هي  $C_{3v}$

المثال الثالث ، الالين ( *Allene* )

3- هناك المحور  $S_4$  يتطابق مع المحور الجزيئي الرئيس (  $C=C=C$  ) وتوجد ايضا عناصر تماثل اخرى اضافة الى كون المحور  $C_2$  نتيجة ضرورية للمحور  $S_4$  ومن الواضح جداً احتمالية كون مستويات التماثل تمر خلال التجمعات الذرية  $H_2C=C=C$  و  $C=C=CH_2$  . وهكذا ، بالرغم من وجود المحور  $S_4$  فان قواعد التماثل الاضافية تستبعد مجموعة النقطة  $S_4$  .

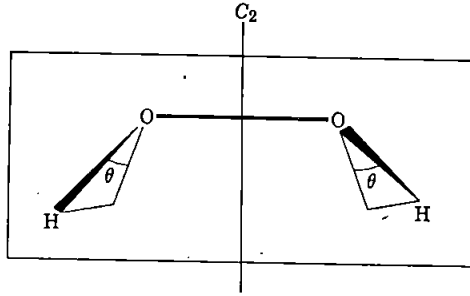
4- كما لاحظنا ، هناك المحور  $C_2$  يمتد على طول المحور  $C=C=C$  ، وليس هناك محور مناسب عالي الرتبة . ويوجد محوران من  $C_2$  عموديان على هذا المحور ، كما هو مبين في الشكل ادناه . وهكذا ، يجب ان تكون المجموعة من نوع  $D$  ، ونستمر الى الخطوة الخامسة .



5- بأخذ المحور  $C_2$  الواقع على طول المحور  $C=C=C$  للجزيئة ليكن المحور المرجع ، نبحث عن  $\sigma_h$  التي يتضح عدم وجود اي منها ، وهكذا ، تستبعد المجموعة  $D_{2h}$  . وعلى اية حال ، يوجد مستويان عموديان ( يقعان بين محوري  $C_2$  ) ، وعليه تكون المجموعة  $D_{2d}$  .

المثال الرابع ،  $H_2O_2$  :

أ- ترتيب الاتزان غير المستوي . *The nonplanar equilibrium configuration*



3- لا يوجد محور غير حقيقي .

4- كما هو مبين في الشكل اعلاه ، هناك محور  $C_2$  ولا يوجد محور مناسب آخر وليس هناك مستويات تماثلية ، لهذا فان المجموعة هي  $C_2$  . لاحظ ان تماثل  $C_2$  لا يرتبط بأية طريقة مع قيمة الزاوية  $\theta$  باستثناء الحالتين حين تكون  $\theta$  صفراً او  $90^\circ$  درجة حيث يكون التماثل أعلى . سنعمل بعد ذلك على اختيار هذين الترتيبين غير المتزنين في الجزيئة .

ب- ترتيب سر *cis* المستوي (  $\theta = 0^\circ$  ) .

3- مرة ثانية ، لا يوجد محور  $S_n$  زوجي الرتبة .

4 يبقى المحور  $C_2$  ، ولا توجد محاور مناسبة اخرى . تقع الجزيئة الان في المستوي الذي هو مستو تماثلي ، وهناك مستوي تماثل آخر يتقاطع مع المستوي الجزيئي على طول المحور  $C_2$  ، ولهذا فان المجموعة هي  $C_{2v}$  .

ج- ترتيب ترانز المستوي (  $\theta = 90^\circ$  ) .

3- مرة اخرى ، لا يوجد محور  $S_n$  زوجي الرتبة ( ماعدا  $S_2 \equiv i$  ) .

4- ما يزال المحور  $C_2$  موجوداً ، وليس هناك محاور مناسبة اخرى . يوجد الآن  $\sigma_h$

الذي يمثل المستوي الجزيئي ، ومن هنا ، فان المجموعة هي  $C_{2h}$

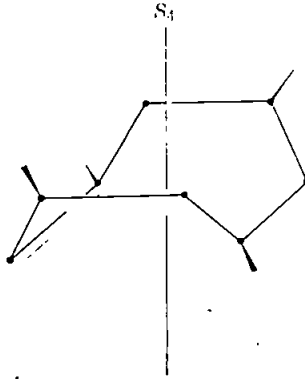
المثال الخامس ، 7 5.3.1 - رباعي مثيل ثماني ترايين الحلقي

*1,3,5,7-Tetramethylcyclooctatetraene*

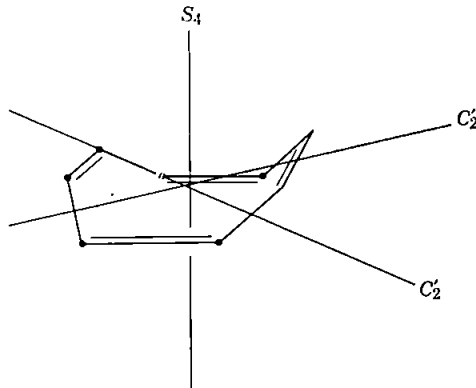
3. يوجد المحور  $S_4$  ، وليس هناك عناصر تماثل اضافية مستقلة ، ويعمل التجمع من مجاميع المثل على تحطيم جميع المستويات العمودية ومحاور  $C_2$  الافقية الموجودة في  $C_8H_8$  نفسه ، لهذا فان المجموعة هي  $S_4$  .

يمكن ان يلاحظ ان هذه الجزيئة لا تحتوي على مركز تماثل او اي مستو تماثلي ومع ذلك لا تكون معدومة التماثل . وهكذا ، فهي تهيء توضيحاً جيداً للقاعدة التي طورت

في الفقرة 3.10



المثال السادس ، ثماني ترايين الحلقي ( *Cyclooctatetraene* ) :



3- يوجد محور  $S_4$  على اية حال ، هناك العديد من عناصر التماثل الاخرى التي لا تعتمد على المحور  $S_4$  وهكذا ، نستمر الى الخطوة الرابعة

4- هناك المحور  $C_2$  يتطابق ( بالضرورة ) مع المحور  $S_4$  ، ولا يوجد محور دورانية اعلى ، لكن ، هناك محوران متكافئان من  $C_2'$  في المستوي العمودي على المحور  $S_4-C_2$  وهكذا ، فاننا نتعامل مع مجموعة من نوع  $D_2$

5- ليس هناك  $\sigma_h$  ، ولهذا يستبعد  $D_{2h}$  وعلى اية حال ، توجد مستويات تماثلية عمودية تنصف الاواصر الثنائية المتقابلة وتمريرين محاور  $C_2'$  ، وعليه تكون مجموعة النقطة هي  $D_{2d}$

المثال السابع ، النزين

3- يوجد محور  $S_6$  عمودياً على مستوي الحلقة ، لكن هناك عناصر تماثل اخرى مستقلة عن المحور  $S_6$

4- يوجد المحور  $C_6$  عمودياً على مستوي الحلقة وستة محاور من  $C_2$  واقعة في مستوي الحلقة ، لذلك فان المجموعة هي من نوع  $D_6$  .

5- نظراً لوجود  $\sigma_h$  فان المجموعة هي  $D_{6h}$  لاحظ ان هناك مستويات تماثل عمودية ، لكنها تحتوي على محاور  $C_2$  .

المثال الثامن ،  $PF_5$  ( ثنائي الهرم المثلثي ) .

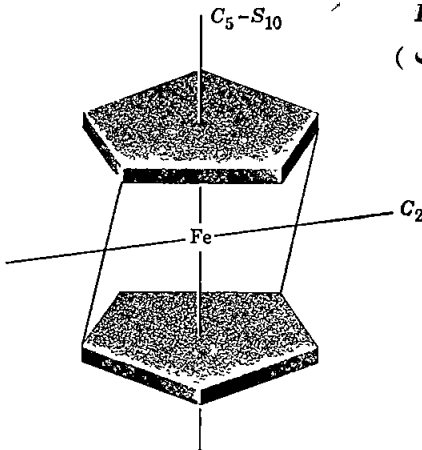
3- لا يوجد المحور  $S_n$  زوجي الرتبة

4- هناك المحور  $C_3$  الفريد وثلاثة محاور من  $C_2$  عمودية عليه .

5- يوجد  $\sigma_h$  ، لهذا فان المجموعة هي  $D_{3h}$

المثال التاسع ، الفيروسين *Ferrocene*

أ - ترتيب *staggered* ( التعاقبي الترتيب )





3. يوجد محور غير مناسب زوجي الرتبة  $S_{10}$  ، كما مبين الشكل . لكن هناك عناصر تماثل أخرى ليس لها علاقة ، لهذا فان المجموعة هي ليست  $S_{10}$  .

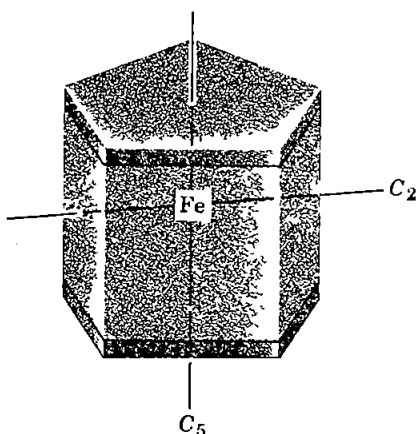
4. يمثل  $C_5$  المحور المناسب الفريد عالي الرتبة . كما هو مبين

وهناك خمسة من محاور  $C_2$  عمودية عليه

5. بسبب علاقة الحلقات بشكل staggered لا يوجد  $\sigma_h$  لكن هناك خمسة مستويات تماثل عمودية تمر بين محاور  $C_2$  وهكذا ، فان المجموعة هي

$D_{5d}$

ب - ترتيب *eclpsed* ( الترتيب المتوافق )



3. لا يوجد المحور  $S_n$  زوجي الرتبة

4. هناك المحور  $C_5$  ، كما هو مبين وتوجد خمسة محاور من  $C_2$  عمودية على المحور

$C_5$

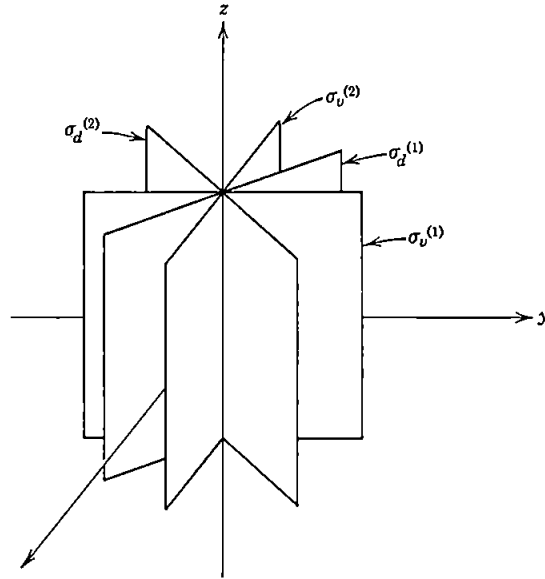
5. يوجد  $\sigma_h$  ، ولهذا فان المجموعة هي

### 3.15 أصناف عمليات التماثل

ادخلنا في الفقرة 24 مفهوم اصناف التماثل في المجموعة الذي يستفاد منه في التعامل مع المجاميع التماثلية . كما سنلاحظ في الفصل الرابع ، ان من المناسب والمعتمد في كتابة ما يسمى بجدول الخاصية character table للمجموعة أخذ جميع عناصر التماثل للصنف المعين سوية لان جميعها تسلك سلوكاً متشابهاً فـي

الخواص التي يعطيها جدول الخاصية . ان غرض هذه الفقرة توضيح طريقة ترتيب عمليات التماثل في اصناف وشرح الاهمية الهندسية لهذه الاصناف .

وبالطبع : ينطبق التعريف العام للصف وطريقة ترتيب العناصر في المجموعة الى اصناف . المعطى في الفقرة 2.4 . بصورة تامة على المجموعة التماثلية . لنأخذ بنظر الاعتبار ، مثلاً ، المجموعة  $C_{4v}$  . تنتج هذه المجموعة من العمليات عند وجود عناصر التماثل الآتية :  $C_4$  و  $\sigma_v$  . هناك ثماني عمليات في التجمع الكامل الناتج عن عناصر التماثل هذه ، مثل  $E, C_4, C_4^2 = C_2, C_4^3, 2\sigma_v, 2\sigma_d$  ، تمثل  $\sigma_v$  مستويات عمودية الواحد على الآخر تتقاطع على طول المحور  $C_4$  ، وكذلك تكون  $\sigma_d$  . وتنتج عن  $\sigma_d$  زوايا بمقدار 45 درجة . ويمكن الحصول على جدول حاصل الضرب Multiplication table لهذه المجموعة بالطريقة التي وضحت سابقاً وشرحت لايجاد عمليات التماثل .



وباستعمال ذلك لاجراء جميع التحولات المتشابهة الممكنة ، نجد ان هناك الاصناف الآتية :

$E$  و  $C_2, C_4, C_4^3$  و  $\sigma_v^{(1)}, \sigma_v^{(2)}, \sigma_d^{(1)}, \sigma_d^{(2)}$  ويمكن ان يلاحظ ان هذه النتيجة تهىء مثلاً جيداً ، فبالرغم من ان رتب جميع الاصناف يجب ان تكون

مقسومات صحيحة لرتبة المجموعة . ليس من الضروري لجميع المقسومات الصحيحة  $\text{integral divisors}$  ان تمثل خلال رتب الاصناف . لاحظ انه ، حين يكون 4 مقسوماً صحيحاً للعدد 8 ، لا يوجد صنف من الرتبة الرابعة في هذه المجموعة

وفي حالة المجاميع التماثلية . تمتلك الاصناف اهمية هندسية يمكن تعيينها كالاتي : تعود العمليتان الى الصنف نفسه حين يمكن تبديل الواحدة بالآخرى في النظام الاحداثي الجديد الذي يتم الحصول عليه بعملية تماثلية . تعد الجملة الاخيرة في هذا الوصف مهمة جداً . لنأخذ بنظر الاعتبار المجموعة  $C_{40}$  ومجموعتها الثانوية  $C_4$  لمعرفة معنى ذلك . تعمل عملية  $C_4^3$  على ازاحة كل نقطة في الجزئية بمقدار  $3 \times 2\pi/4$  الى الداخل . لنقل ، باتجاه عقرب الساعة . وهذا ، بالضبط ، يعطي النتيجة نفسها اذا ازاحت كل نقطة بمقدار  $2\pi/4$  بعكس اتجاه عقرب الساعة . لنفكر بعد ذلك قليلاً بالعملية  $C_4$  مثل الدوران بمقدار  $2\pi/4$  باتجاه عقرب الساعة و  $C_4' = C_4^3$  بشكل دوران بمقدار  $2\pi/4$  عكس اتجاه عقرب الساعة . لنفرض الان ان النظام الاحداثي الذي عملنا عليه هو (a) بحيث يعمل الدوران باتجاه عقرب الساعة بمقدار  $2\pi/4$  على تحويل النقطة  $[x, y]$  الى  $[y, -x]$  ، في حين يعمل الدوران عكس اتجاه عقرب الساعة بمقدار  $2\pi/4$  على تحويل  $[x, y]$  الى  $[-y, x]$  ويمثل ذلك بالرموز :

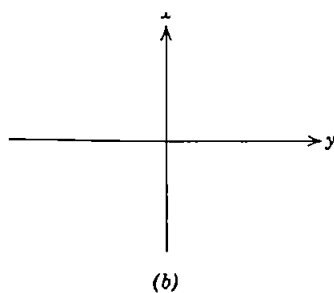
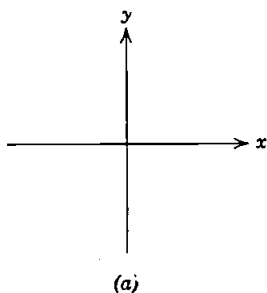
$$C_4(z)[x, y] \rightarrow [y, -x]$$

$$C_4'(z)[x, y] \rightarrow [-y, x]$$

في النظام الاحداثي (b) ، تكون تأثيرات  $C_4$  ( اتجاه عقرب الساعة ) و  $C_4'$  ( عكس اتجاه عقرب الساعة ) كالاتي :

$$C_4(z)[x, y] \rightarrow [-y, x]$$

$$C_4'(z)[x, y] \rightarrow [y, -x]$$



باختصار ، فان دور  $C_4$  و  $C_4'$  متغير في النظام الاحداثي (b) مما تكون عليه فسي النظام الاحداثي (a) . والآن ( هذه هي النقطة المهمة ) هناك عملية تماثل في مجموعة  $C_{4v}$  تحول النظام الاحداثي (a) الى النظام الاحداثي (b) ، وخاصة  $\sigma_d^{(2)}$  . وهكذا ، في المجموعة يقع  $C_4$  ،  $C_{4v}$  و  $C_4' = C_4^3$  في الصنف نفسه . وعلى اية حال ، في

$C_4$  ( التي تحتوي فقط على العمليات  $E, C_4, C_2, C_4^3$  )

لا تقع في الصنف نفسه وذلك لانه ليس لاي من هذه العمليات تأثير في تحويل نظام الاحداثي (a) الى النظام (b) . ولما كانت اية مجموعة  $C_n$  حلقية تتكون من نوع هابليان ، فن الممكن ملاحظة ان جميع العمليات يجب ان تكون في اصناف مختلفة لان كل عملية تكون مقارنة مع نفسها فقط في مجموعة هابليان .

نعود ، مرة اخرى ، الى المجموعة  $C_{4v}$  ، اذ يلاحظ ان  $C_2$  يمثل صنفاً بحد ذاته . وهذا صحيح حسب الاساس الهندسي ، لان من الواضح ان ليس هناك طريقة لازاحة النظام الاحداثي بحيث يمكن ان ينتج تأثير الدوران بمقدار  $180^\circ$  بواسطة دوران بمقدار  $90^\circ$  ، او بالانعكاس من اي نوع . كذلك يكون كل من  $\sigma_d$  و  $\sigma_v$  اصنافاً منفصلة يتمكن الدوران بمقدار  $2\pi/8$  فقط من تغيير اتجاه النظام الاحداثي الى آخر جديد بحيث يعمل  $\sigma_d$  على اكمال عمل  $\sigma_v$  في النظام القديم ، ولا يعد الدوران بمقدار  $2\pi/8$  عملية تماثلية تحدث في المجموعة .

قد يكون هناك بعض الشك في وجود علاقة قوية بين اصناف العمليات

والتجمعات المختلفة من العمليات المتكافئة في المجموعة ، وفي الحقيقة ، تتطابق الاصناف بصورة مباشرة مع التجمعات المتكافئة للعمليات ، ومن السهل ملاحظة سبب ذلك . ان الخاصية الهندسية لوضع عمليتين ،  $A$  و  $B$  ، في الصنف نفسه تكمن في وجود عملية ثالثة ،  $C$  ، يمكن تطبيقها على النظام الاحداثي بحيث تكون العملية  $B$  في النظام الاحداثي المتحول مشابهة للعملية  $A$  في النظام الاحداثي الاصلي . وفي الوقت نفسه ، نقول ان العمليتين  $A$  و  $B$  متكافئتان اذا تحولت الواحدة الى الاخرى ( في النظام الاحداثي نفسه ) بتطبيق عملية  $C$  على العمليتين  $A$  و  $B$  . والآن ، يعد القول : ان العملية  $C$  تعمل على تبادل العمليتين  $A$  و  $B$  عند تطبيقها عليهما ، وترك النظام الاحداثي ثابتاً ، مكافئاً تماماً للقول ان العملية  $C$  تعمل على تبادل دوال  $A$  و  $B$  عند تطبيقها على النظام الاحداثي ، وترك العمليات ثابتة في الفراغ . لهذا فان ابط طريقة لترتيب عمليات المجموعة التماثلية في اصناف هي ترتيبها في تجمعات من العمليات المتكافئة . وتمثل هذه التجمعات الاصناف .

من النتائج العملية لتجميع كل العمليات في الصنف نفسه عند كتابة التجمع الكامل .  
على سبيل المثال ، عند رأس جدول الخاصية ، هو أن الأرقام المستعملة تختلف قليلاً عن  
الأرقام التي استعملناها في شرحنا ، لحد الآن . سنوضح الآن هذا الترقيم الجديد ،  
والأخير ، وسيشرح للأنواع الأربعة من عمليات التماثل .

1. الانقلاب inversion . عملية انقلاب واحدة فقط ممكنة في الجزئية ،  
فاذا وجدت واحدة يرمز لها فانها تكون دائماً صنفاً بحد ذاتها .

2. الانعكاسات Reflections . يشار الى الانعكاس في المستوي الأفقي بالرمز  $\sigma_h$  ، وتكون هذه العملية دائماً في صنف بحد ذاتها . وعند وجود تجمع لعدد  $n$   
من المستويات العمودية ، جميعها في الصنف نفسه ، تكتب ببساطة بشكل  $n\sigma_v$  .  
وللتجمع من  $\sigma_d$  ، تكتب بشكل  $n\sigma_d$  . وعند وجود بعض من المستويات العمودية  
في احد الاصناف والبعض الآخر في صنف آخر ، فان قسماً منها قد يسمى  $\sigma_v$   
ويشار الى التجمع بالرمز  $n\sigma_v$  ، في حين قد يشار للتجمع الثاني بالرمز  $n\sigma_v'$  او  
 $n\sigma_d$  (يكون استعمال الرمز  $\sigma_v'$  او  $\sigma_d$  للتجمع الثاني اختيارياً) .

الدورانات المناسبة Proper rotations . في المجاميع الحلقية ، تكون  
كل من العمليات  $C_n, C_n^2, C_n^3, \dots, C_n^{n-1}$  صنفاً بحد ذاتها ونستمر في  
استعمال هذا الترقيم . لكن ، في جميع المجاميع الاخرى ذات التماثل الاعلى  
التي يكثر عدد اصنافها ، تختزل في هذه العمليات بالطريقة الآتية : يقع  $C_n^m$  في  
الصنف نفسه مع  $C_n^{n-m}$  ، لاحظنا مثل هذا المثال في مجموعة  $C_4$  حيث  
يقع  $C_4$  و  $C_4^3$  في الصنف نفسه . يستعمل في هذه الحالات الترقيم الموضح في  
ادناه للعمليات المختلفة الناتجة عن المحورين  $C_6$  و  $C_7$

الترقيم القديم	الترقيم الجديد
$C_7^{m,s} \begin{cases} C_7, C_7^6 \\ C_7^2, C_7^5 \\ C_7^3, C_7^4 \end{cases}$	$2C_7$ $2C_7^2$ $2C_7^3$
$C_6^{m,s} \begin{cases} C_6, C_6^5 \\ C_6^2 = C_3, C_6^4 = C_3^2, \\ C_6^3 = C_2 \end{cases}$	$2C_6$ $2C_3$ $C_2$

وباختصار ، عندما تقع عمليتان مثل  $C_7$  و  $C_7^6$  في الصنف نفسه ، الواحدة تكون  
مثل الاخرى لكنها في الاتجاه المعاكس ، ولهذا يسمى كل من  $C_7$  و  $C_7^6$   
ببساطة  $C_7$  ، وهكذا .

4. الدورانات غير المناسبة *Improper rotations* . وكما في حالة الدورانات المناسبة . حين يقع اثنان من الدورانات غير المناسبة في الصنف نفسه فان الواحدة تكون تماماً مثل الاخرى باستثناء كون الدوران في الاتجاه المعاكس . وهكذا . يعد  $S_6^5$  و  $S_6$  بأنهما  $S_6$ 's . ويكتبان بهذه الطريقة

## تمارين

3.1 ما هي اعلى رتبة في الدوران النقي في المجاميع الثنائية من  $C_{8h}$ ,  $D_{2d}$ ,  $C_{5v}$

3.2 ما المجموعة التي يتم الحصول عليها من الاضافة الى أو التعامل مع . من كل من المجاميع الآتية . عملية التماثل المشار إليها ؟

$C_3$ زائداً $i$	$C_3$ زائداً $S_6$
$C_{3v}$ زائداً $i$	$D_{3d}$ ناقصاً $S_6$
$C_{5v}$ زائداً $\sigma_h$	$S_4$ زائداً $i$
$S_6$ ناقصاً $i$	$C_{3h}$ ناقصاً $S_6^5$
$T_d$ زائداً $i$	

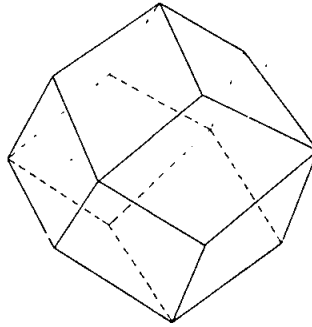
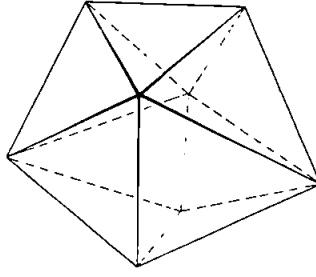
3.3 ما شكل متعدد السطوح الذي يتم الحصول عليه من المكعب اذا حذفت حافته الى أن تختفي اوجه المكعب الاصلية ؟

3.4 ما الرمز التقليدي للمجموعة من العمليات الناتجة عن المحور  $S_n$  حين يكون  $n$  فردياً ؟

3.5 اكتب جميع العمليات الناتجة عن المحورين  $S_5$  و  $S_8$  وعبر عن كل منها بالترقيم التقليدي .

3.6 بين كيف يمكن تحول مكعب ثماني السطوح الى عشريني السطوح بتحويل كل وجه مربع الى زوج من الالوجه المثلثية ذا الحافة المشتركة .

3.7 توجد ثلاثة انواع شائعة نسبياً من ثاني عشر السطوح . اضافة الى ثاني عشر السطوح الخمسي (مجموعة النقطة  $I_h$ ) هناك ثاني عشر السطوح المثلثي وثاني عشر السطوح المعيني ، المبين في ادناه . الى اية مجموعة نقطة يعود كل من هذين الشكلين ؟

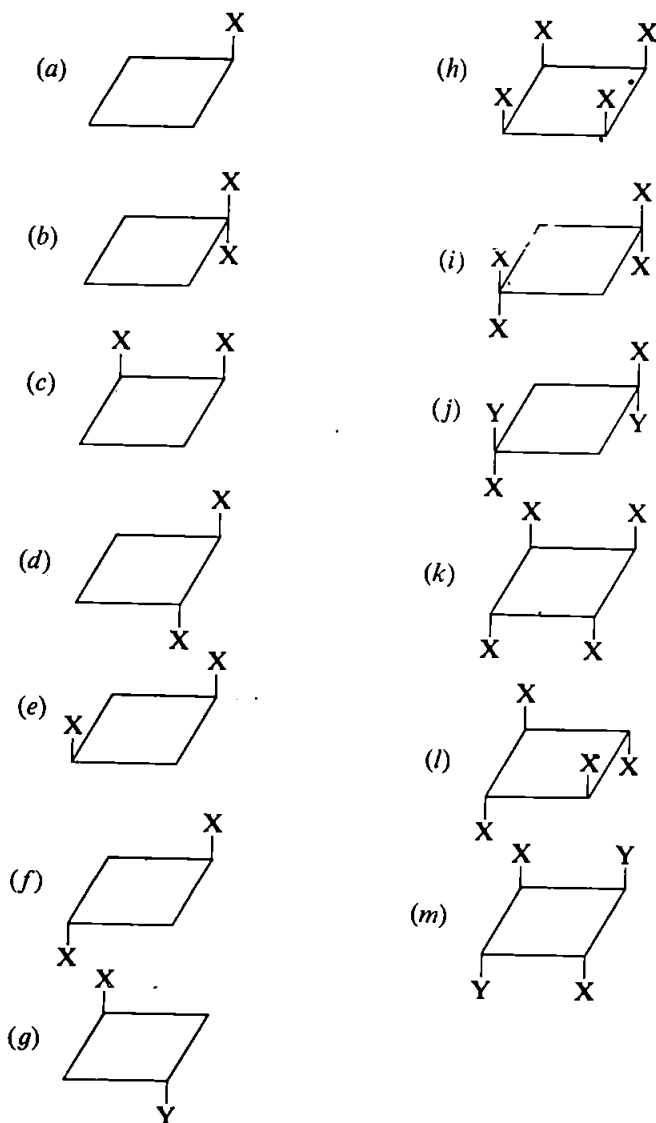


3.8 ما مجاميع النقطة المختلفة التي قد تعود اليها جزيئة ثنائي الفينيل (biphenyl) المركزية ؟ خذ بنظر الاعتبار السؤال نفسه للجزيئة  $m,m$  - ثنائي كلورو ثنائي فينيل .

3.9 ما مجموعة النقطة لكل من البيوتانات الحلقية المعوضة . الاتية ؟ بافتراض امتلاك البيوتان الحلقى نفسه تماثل  $D_{4h}$  وان تعويض H بكل من X او Y لا يغير قياسات بنائية اخرى

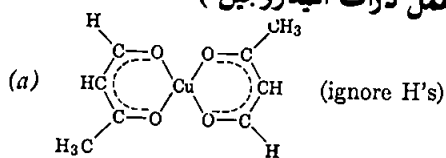
3.10 ما تماثل النقطة لكل من الايسومرات الهندسية (geometric isomers) - الاربعة لجزيئة staggered شبيهة بالايثان XYZC-CXYZ . ؟ اي منها عديم التماثل ؟

3.11 ارسم الصيغ البنائية لجميع الايسومرات الهندسية لمعقدات ثماني السطوح من النوع  $MA_2B_2C_2$  . عين مجموعة النقطة لكل منها وشخص الايسومرات عديمة التماثل .

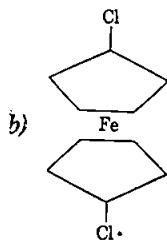


3.12 استخرج مجموعة النقطة لكل من الجزيئات والاشكال الآتية :

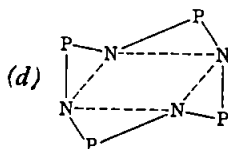
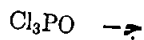
( اعمل ذرات الهيدروجين )





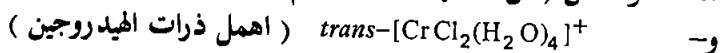


ب -

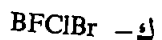
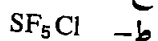
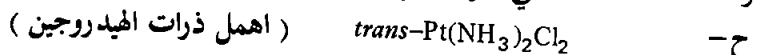


د -

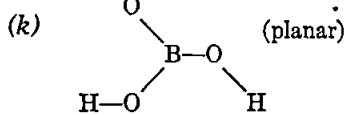
هـ - كرة تنس ( من ضمنها خط الالتحام ) .



ز - 1,3,5 - ثلاثي كلوروبنزين .

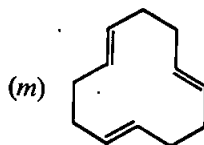


ل - ( مستوي )

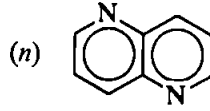


م - سيبروبنتان spiropentane

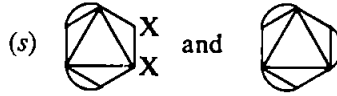
س -



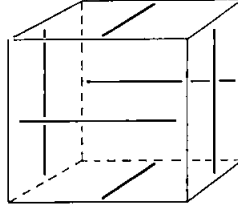
ع-



- ف- كاس من النوع ذي الساق الاعتيادي .  
 ص- ثنائي بنزين كروم في كل من اشكاله الثلاثة rotomeric  
 ق- شكلي الكرسي والقارب للهكسان الحلقي .  
 ر- 1,3 - ثنائي كلوروألين .  $\text{HClC}=\text{C}=\text{CHCl}$   
 ش-



- اذ تمثل الخطوط المنحنية ليكاندات ثنائية السن متماثلة .  
 3.13 الى اي تماثل يختزل رباعي السطوح بجميع حافته السود اذا لم تقاطع حافتان بلون احمر ؟  
 3.14 اذا بدأت بثمانى السطوح له ثمانية اوجه سود وطلبت اربعة منها بلون ابيض . بحيث لم يبق اثنان منها بحافة مشتركة . الى اية مجموعة تماثلية يعود ثمانى السطوح الناتج ؟  
 3.15 اذا كان النيوبنتان neopentane,  $\text{C}(\text{CH}_3)_4$  ، في ترتيب دوراني ، بحيث ان كل مجموعة اواصر C-H في المثل تكون في حالة eclipsed مع مجموعة اواصر C-C ، يمتلك تماثل  $T_d$  . افترض ان كل مجموعة مثل تدور حول محور C-C بمقدار عشر درجات باتجاه عقرب الساعة عند النظر اليها من الخارج . ما التماثل الآن ؟  
 3.16 ما تماثل المكعب عند رسم خط عبر كل من وجوهه بالطريقة المبينة في ادناه .



3.17 افترض ان الخط على كل وجه في المكعب المبين في التمرين السابق يدور بمقدار  $0 < \theta < 45^\circ$  ، باتجاه عقرب الساعة كما يلاحظ من الخارج .  
ما مجموعة النقطة الآن ؟ اذا كانت زاوية الدوران تساوي  $45^\circ$  درجة ،  
ما تكون مجموعة النقطة ؟

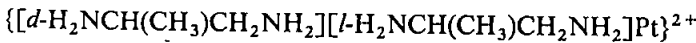
3.18 اذا طليت الاعمدة المتعاقبة ( في التمرين 3.16 ) بلون اسود ، ماذا يكون التماثل ؟

3.19 افترض انه بدأنا بثماني السطوح ورسم على كل وجه منه مثلث متساوي الاضلاع أصغر مرتب بحيث ان كل قمة من المثلث الصغير تتجه مباشرة نحو قمة المثلث الاكبر ، لتركب المثلثات الصغيرة تماثل  $O_h$  . اذا التوى كل مثلث صغير باتجاه عقرب الساعة بزاوية مقدارها  $0 < \theta < 60^\circ$  ،  
فما التماثل الذي يمتلكه الشكل ؟

3.20 استخرج اعلى مجموعة نقطة ممكنة يعود اليها كل مما يأتي :

أ -  $W_2Cl_9^{3-}$  (شكلا ثماني السطوح مشتركان بوجه واحد) .

ب - كل من الايسومرين



( تقع ذرة البلاتين وذرات النتروجين الاربعة في مستو واحد ) .

ج - جزيئة  $AB_4$  رباعية السطوح ضغطت على طول احد محاور  $S_4$  ( ولكن ليس بدرجة كافية لتصبح مستوية كلياً ) .

د - ثماني ترايين الحلقي في ترتيب التاج .

هـ -  $\phi_4As^+$



## الفصل الرابع

### Representations of Groups

### تمثيلات المجموعات

#### 4.1. بعض خواص المصفوفات والموجهات

بسبب كون تمثيلات المجموعات معمولة ، بصورة عامة ، من مصفوفات matrices, ولكون الخواص المعنية للتمثيلات يمكن وضع صيغها بالاستفادة من استعمال الخواص المعنية للموجهات vectors, يبدأ هذا الفصل بتفسير بعض نواحي المصفوفة والموجه الجبري الضرورية لفهم الشرح الآتي لنظرية التمثيل representation theory.

تعريف المصفوفة :

بالمعنى العام ، تعد المصفوفة ترتيباً مستطيل الشكل لبعض الأعداد او رموز الأعداد ويمكن ان تتحد مع ترتيبات اخرى بحسب بعض القواعد المعنية . وعند كتابة المصفوفة بصورة كاملة يكون لها مظهر نموذجي كالآتي :

$$\begin{bmatrix} 4 & -7 & 6 & 0 \\ 2 & 9 & -1 & -8 \\ 2 & 0 & 5 & 4 \\ -8 & 7 & 0 & -3 \\ 6 & 3 & -4 & 7 \end{bmatrix}$$

لاحظ استعمال الاقواس المربعة لضم الترتيب ؛ وهذه هي طريقة تقليدية للإشارة الى اعتبار الترتيب بكونه مصفوفة ( عوضاً عن احتمال اعتباره بشكل محددة determinant )

ولشرح المصفوفات بطريقة عامة ، يستعمل بعض الرموز العامة بصورة شائعة . وهكذا يمكن كتابة الرمز لمصفوفة كاملة على شكل حرف مطبعي ، فمثلاً ، يمثل الرمز  $m$  المصفوفة الآتية :

$$\begin{bmatrix} a_{11} & a_{12} & a_{13} & \cdots & a_{1n} \\ a_{21} & a_{22} & a_{23} & \cdots & a_{2n} \\ a_{31} & a_{32} & a_{33} & \cdots & a_{3n} \\ \vdots & \vdots & \vdots & \ddots & \vdots \\ a_{m1} & a_{m2} & a_{m3} & \cdots & a_{mn} \end{bmatrix}$$

يمكن ايضا ان تمثل المصفوفة في اعلاه بالرمز  $[a_{ij}]$  . وتسمى التجمعات العمودية بالاعمدة ( column ) والتجمعات الافقية بالمصفوف ( rows ) . يمثل الرمز  $a_{ij}$  العنصر في المصفوفة  $M$  الذي يظهر للتسلسل  $i$  في الصف وتسلسل  $j$  في العمود . ويعطي كل من  $m$  و  $n$  رتبة المصفوفة ؛ تعطي  $m$  عدد الصفوف و  $n$  عدد الاعمدة . وتسمى المصفوفة التي يكون فيها  $m = n$  بالمصفوفة المربعة وستكون ذات اهمية خاصة لنا . وتسمى العناصر في التجمع  $a_{ij}$  في حالة  $i = j$  ، اي ان  $a_{11}, a_{22}, \dots, a_{nn}$  الخ للمصفوفة المربعة بالعناصر القطرية ( diagonal elements ) لانها تقع كلياً على الخط الواصل قطرياً من اعلى اليسار الى الزاوية اليمنى الاطراف .

وتسمى المصفوفة المربعة التي تكون فيها جميع العناصر القطرية مساوية الى واحد وجميع العناصر الاخرى مساوية الى صفر بمصفوفة الوحدة  $unit\ matrix$  وتمثل عادة بالرمز  $I$  .

هناك نوع مهم من المصفوفات هو المصفوفة ذات العمود الواحد ، ولكتابة مثل هذه المصفوفة بصورة مناسبة جميعها على خط واحد ، تكتب احياناً بصورة افقية لكنها توضع بين اقواس [ ] وذلك لتمييزها عن المصفوفة ذات الصف الواحد التي تكتب عادة بخط واحد في اقواس مربعة . ان الاهمية الرئيسة للمصفوفة العمودية ، في الاقل للغرض المستعملة من اجله هنا ، تبدو في تهيأتها الطريقة لتمثيل الموجه ، وفي الحقيقة ، تسمى احياناً بالموجه .

لنأخذ بنظر الاعتبار موجه vector في فراغ اعتيادي ثلاثي الابعاد three-dimensional ، اذ يمكن تعيين طول واتجاه هذا الموجه بالطريقة الاتية : نجعل الترتيب بحيث تقع احدى نهايات الموجه عند مركز النظام الاحداثي ، وتكون النهاية الثانية عند نقطة يمكن تعيينها بواسطة الاحداثيات الثلاثة  $x, y, z$  . وتعمل هذه الاحداثيات الثلاثة على التحديد الكامل للموجه نفسه بشرط ان يكون مفهوماً ان احدى نهايتي الموجه تكون في مركز النظام الاحداثي . يمكن بعد ذلك كتابة هذه الاحداثيات الثلاثة بشكل مصفوفة عمودية ، تحتوي في هذه الحالة على ثلاثة صفوف ،  $[x \ y \ z]$  ، ونقول بأن المصفوفة تمثل الموجه الذي تساءلنا عنه .

من الواضح ان هذه الاشارة يمكن بسهولة ان تصبح عامة للموجهات في فراغات مجردة بأي بعد . ففي الابعاد الفراغية  $p$ -dimensional ، يمكن تحديد الموجه بموجه عمودي من الرتبة  $(p \times 1)$  . وتكون الاهمية الهندسية لعناصر

مصفوفة الموجه هذه هي نفسها كما للفراغ الحقيقي : اذ تعطي الاحداثيات العمودية ( بصورة عامة الاحداثيات الديكارتية ) لاحدى نهايتي الموجه اذا كانت النهاية الاخرى عند مركز النظام الاحداثي .

ومما ينبغي ملاحظته ان كل احداثي في النهاية الخارجية للموجه يساوي عددياً لطول مسقط هذا الموجه على المحور ذي العلاقة . وهكذا ، يمكن الاعتقاد بأن التجمع من الاعداد التي تعرف الموجه بالطريقة المبينة ، في اعلاه ، تعرفه ايضاً بتعيين مساقطه على التجمع من محاور  $p$  العمودية في الابعاد الفراغية  $p \sim$  التي يتواجد فيها .

### اتحاد المصفوفات Combination of Matrices

هناك قواعد معينة لتجمع و طرح وقسمة المصفوفات ، وهذه هي قواعد المصفوفة الجبرية . ينبغي ان يلاحظ اولاً ان المصفوفتين تتساويان فقط اذا كانتا متشابهتين . فاذا كان  $\mathcal{A} = \mathcal{B}$  ، فان  $a_{ij} = b_{ij}$  لجميع قيم  $i$  و  $j$  .

لتجمع او طرح مصفوفتين ، مثل  $\mathcal{A}$  و  $\mathcal{B}$  لاعطاء المجموع او الفرق  $\mathcal{C}$  ، يجب ان تكون المصفوفات الثلاثة بالابعاد نفسها . تعطى عناصر  $\mathcal{C}$  بالعلاقة الآتية :

$$c_{pq} = a_{pq} \pm b_{pq}$$

يمكن ضرب المصفوفة باعداد رمزية او بمصفوفة اخرى . ولضرب المصفوفة  $[c_{ij}]$  بالرمز  $\alpha$  ، نحصل على :

$$\alpha[c_{ij}] = [\alpha c_{ij}] = [c_{ij}\alpha] = [c_{ij}]\alpha$$

يعد ضرب المصفوفة بمصفوفة اخرى نوعاً ما اكثر تعقيداً . بصورة رئيسة ، يمكن عمل ذلك فقط اذا كانت المصفوفتان متماثلتين يعني ذلك انه اذا اردنا أخذ ناتج  $\mathcal{A}\mathcal{B} = \mathcal{C}$  . يجب ان يكون عدد الاعمدة في  $\mathcal{A}$  مساوياً لعدد الصفوف في  $\mathcal{B}$  . فاذا تحقق هذا الطلب ، بحيث ان رتبة  $\mathcal{A}$  تكون  $(n \times h)$  في حين تكون رتبة  $\mathcal{B}$   $(h \times m)$  ، تكون رتبة  $\mathcal{C}$   $(n \times m)$  . ويعطى كل عنصر في حاصل ضرب المصفوفة بالعلاقة الآتية :

$$c_{il} = \sum_k a_{ik} b_{kl} \quad (4.1-1)$$

يمكن كتابة هذا المجموع بصورة اكثر توضيحاً ، كالآتي :

$$c_{il} = a_{i1}b_{1l} + a_{i2}b_{2l} + a_{i3}b_{3l} + a_{i4}b_{4l} + \dots + a_{ih}b_{hl}$$

اذ يمثل  $a_{ih}$  العنصر الأخير لصف التسلسل  $i$  من  $\mathcal{A}$  ، و  $b_{hl}$  هو العنصر الأخير في عمود التسلسل  $l$  من  $\mathcal{B}$  ومن المحتمل ان يكون ذلك اكثر وضوحاً اذا كتبنا عملية الضرب بوضوح . مصفوفة  $2 \times 3$  الى مصفوفة  $2 \times 4$  .

$$\begin{bmatrix} a_{11} & a_{12} \\ a_{21} & a_{22} \\ a_{31} & a_{32} \end{bmatrix} \begin{bmatrix} b_{11} & b_{12} & b_{13} & b_{14} \\ b_{21} & b_{22} & b_{23} & b_{24} \end{bmatrix} = \begin{bmatrix} c_{11} & c_{12} & c_{13} & c_{14} \\ c_{21} & c_{22} & c_{23} & c_{24} \\ c_{31} & c_{32} & c_{33} & c_{34} \end{bmatrix}$$

$$\begin{aligned} c_{11} &= a_{11}b_{11} + a_{12}b_{21} & c_{21} &= a_{21}b_{11} + a_{22}b_{21} \\ c_{12} &= a_{11}b_{12} + a_{12}b_{22} & c_{22} &= a_{21}b_{12} + a_{22}b_{22} \\ c_{13} &= a_{11}b_{13} + a_{12}b_{23} & c_{23} &= a_{21}b_{13} + a_{22}b_{23} \\ c_{14} &= a_{11}b_{14} + a_{12}b_{24} & c_{24} &= a_{21}b_{14} + a_{22}b_{24} \end{aligned}$$

$$\begin{aligned} c_{31} &= a_{31}b_{11} + a_{32}b_{21} \\ c_{32} &= a_{31}b_{12} + a_{32}b_{22} \\ c_{33} &= a_{31}b_{13} + a_{32}b_{23} \\ c_{34} &= a_{31}b_{14} + a_{32}b_{24} \end{aligned}$$

والطريقة المساعدة لتلخيص العملية ، هي القول اننا نحصل على عنصر التسلسل  $i, j$  للنتائج بأخذ صف التسلسل  $i$  للمصفوفة الاولى مع عمود التسلسل  $j$  للثانية مع التأكيد على ناحية « صف الى عمود » . من هذا الشرح لعملية الضرب ، تتضح متطلبات التوافق بسهولة . واذا اردنا ضرب صف المصفوفة  $\mathcal{A}$  بعمود المصفوفة  $\mathcal{B}$  ، فمن الواضح ان عدد العناصر في الصف ، الذي يساوي عدد الأعمدة في المصفوفة  $\mathcal{A}$  ، يجب ان يساوي عدد العناصر في عمود المصفوفة  $\mathcal{B}$  ، الذي يمثل عدد الصفوف في المصفوفة  $\mathcal{B}$  . ينبغي ان يلاحظ بصورة خاصة ان ضرب المصفوفة ليس تبادلياً ، على وجه العموم . واذا كانت المصفوفتان  $\mathcal{A}$  و  $\mathcal{B}$  متوافقتين من ناحية  $\mathcal{A}\mathcal{B}$  ، فليس من الضروري ان تكونا متوافقتين من ناحية  $\mathcal{B}\mathcal{A}$  . في الحقيقة ، يمكن ان تكونا متوافقتين بكلتا الطريقتين اذا كانتا مربعيتين ولهما الرتبة نفسها . وحتى عند تحقيق متطلبات التوافق ، فان التبادل لا يكون ممكناً بصورة عامة ، فمثلاً ، لناخذ بنظر الاعتبار الناتجين الاتيين :

$$\begin{bmatrix} 1 & 3 \\ 2 & 2 \end{bmatrix} \begin{bmatrix} 2 & 0 \\ 1 & 1 \end{bmatrix} = \begin{bmatrix} 5 & 3 \\ 6 & 2 \end{bmatrix}$$

$$\begin{bmatrix} 2 & 0 \\ 1 & 1 \end{bmatrix} \begin{bmatrix} 1 & 3 \\ 2 & 2 \end{bmatrix} = \begin{bmatrix} 2 & 6 \\ 3 & 5 \end{bmatrix}$$

لكن ضرب المصفوفة يتبع دائماً قانون جمع الحدود ، اذ يمكن اثبات ذلك بسهولة بتوسيع معادلة ( 4.1-1 ) ، وبعد اكمال هذا الالابات بمثابة تمرين للطالب .

يمكن ان يعدّ حاصل القسمة  $\mathcal{A}/\mathcal{B}$  بصورة متساوية بشكل الناتج  $\mathcal{A}\mathcal{B}^{-1}$  ، اي ان  $\mathcal{A}$  ضربت بمقلوب  $\mathcal{B}$  . وهكذا ، يختزل التساؤل عن كيفية اجراء التقسيم الى



التساؤل عن كيفية ايجاد المقلوب ، ولايجاد مقلوب المصفوفة ، ينبغي استعمال خواص معينة للمحددة المطابقة . وبين الملحق II تفصيلاً واضحاً للقارئ المهتم بهذا الموضوع ؛ ونبين هنا الاستنتاجات الرئيسة ببساطة . تحتوي العلاقة لقلب المصفوفة على المحددة المطابقة في المقام ، ونظراً لعدم تحديد التقسيم على صفر ، يمكن فقط للمصفوفات التي لاتساوي محدداًتها صفراً أن يكون لها مقلوب ، ولما كانت المحددات المربعة فقط لاتساوي صفراً ، فان القاعدة هي امتلاك المصفوفات المربعة فقط للمقلوب . بالطبع ، حتى بعض المصفوفات المربعة لها محدداًت تساوي صفراً ولهذا لم يحدد مقلوبها . تسمى المصفوفة  $\mathcal{A}$  التي محدداًتها  $|A|$  تساوي صفراً بالمصفوفة الفردية (*singular*) . سنهتم فقط بالمصفوفات التي لها مقلوب ، اي المصفوفات المسماة غير فردية (*nonsingular*) . ويكون ضرب المصفوفة ومقلوبها تبادلياً ومساوياً لمصفوفة الوحدة :

$$\mathcal{A}\mathcal{A}^{-1} = \mathcal{A}^{-1}\mathcal{A} = \mathcal{E}$$

حالة خاصة لضرب المصفوفة :

نحدث الحالة الخاصة لضرب المصفوفة عند التعامل مع المصفوفات التي تمتلك عناصر لاتساوي صفراً موضوعة في مربع على طول الخط القطري ، كما هو مبين في المصفوفتين الاتيتين .

$$\left[ \begin{array}{ccc|ccc} 1 & 0 & 0 & 0 & 0 & 0 \\ 1 & 2 & 0 & 0 & 0 & 0 \\ 0 & 0 & 3 & 0 & 0 & 0 \\ 0 & 0 & 0 & 1 & 3 & 2 \\ 0 & 0 & 0 & 1 & 2 & 2 \\ 0 & 0 & 0 & 4 & 0 & 1 \end{array} \right] \left[ \begin{array}{ccc|ccc} 4 & 1 & 0 & 0 & 0 & 0 \\ 2 & 3 & 0 & 0 & 0 & 0 \\ 0 & 0 & 1 & 0 & 0 & 0 \\ 0 & 0 & 0 & 0 & 1 & 2 \\ 0 & 0 & 0 & 3 & 0 & 2 \\ 0 & 0 & 0 & 2 & 1 & 1 \end{array} \right]$$

يكون ناتج هاتين المصفوفتين للرتبة المبينة في اعلاه ، كالآتي :

The product of these two matrices taken in the above order is:

$$\left[ \begin{array}{ccc|ccc} 4 & 1 & 0 & 0 & 0 & 0 \\ 8 & 7 & 0 & 0 & 0 & 0 \\ 0 & 0 & 3 & 0 & 0 & 0 \\ 0 & 0 & 0 & 13 & 3 & 10 \\ 0 & 0 & 0 & 10 & 3 & 8 \\ 0 & 0 & 0 & 2 & 5 & 9 \end{array} \right]$$

ان المظهر الاكثر وضوحا للمصفوفة الناتجة هذه كونها مجمعة ( blocked ) بالطريقة نفسها لمعاملاتها ، وليس من الصعب ملاحظة وجوب الحصول على هذا النوع من النتائج دائما . والابعد من ذلك ، ينبغي ان يلاحظ . بسهولة ايضاً . ان العناصر المجمعة في المربع للمصفوفة الناتجة تستنتج فقط من العناصر المطابقة للمجموعة فـ في المصفوفات الاصلية . وهكذا حين تضرب مصفوفتان مجموعتان بالطريقة نفسها فـ ان العناصر المجمعة في كل منها قد تؤخذ بشكل مستقل عن العناصر الاخرى . وخاصة للحالة في اعلاه :

$$\begin{bmatrix} 1 & 0 \\ 1 & 2 \end{bmatrix} \begin{bmatrix} 4 & 1 \\ 2 & 3 \end{bmatrix} = \begin{bmatrix} 4 & 1 \\ 8 & 7 \end{bmatrix}$$

$$[3] \times [1] = [3]$$

$$\begin{bmatrix} 1 & 3 & 2 \\ 1 & 2 & 2 \\ 4 & 0 & 1 \end{bmatrix} \begin{bmatrix} 0 & 1 & 2 \\ 3 & 0 & 2 \\ 2 & 1 & 1 \end{bmatrix} = \begin{bmatrix} 13 & 3 & 10 \\ 10 & 3 & 8 \\ 2 & 5 & 9 \end{bmatrix}$$

يطلق على التجمع من المصفوفات المجمعة جميعها على طول الخط القطري بالطريقة نفسها بمعامل المجمع ( block-factored ) . تعد هذه الخاصية ذات اهمية كبيرة في الوقت الحاضر .

### · خاصيات المصفوفات المقارنة

تعد الخاصية ( character ) من النقاط المهمة للمصفوفة المربعة ، وهي ببساطة مجموع عناصر الخط القطري ، وتعطى عادة الرمز  $\chi$  (Greek chi)

وهكذا ،

$$\chi_{\mathcal{A}} = \sum_j a_{jj}$$

سنثبت الان النظريات المهمة التي تأخذ بنظر الاعتبار سلوك الخاصيات . اذا كان  $\mathcal{C} = \mathcal{A}\mathcal{B}$  و  $\mathcal{D} = \mathcal{B}\mathcal{A}$  ، فان خاصيات  $\mathcal{C}$  و  $\mathcal{D}$  تكون متساوية .

### الاثبات

$$\chi_{\mathcal{C}} = \sum_j c_{jj} = \sum_j \sum_k a_{jk} b_{kj}$$

$$\chi_{\mathcal{D}} = \sum_k d_{kk} = \sum_k \sum_j b_{kj} a_{jk}$$

$$= \sum_j \sum_k b_{kj} a_{jk} = \sum_j \sum_k a_{jk} b_{kj} = \chi_{\mathcal{C}}$$

تمتلك المصفوفات المقارنة ( *Conjugate matrices* ) خاصيات متشابهة وترتبط المصفوفات المقارنة بتشابه التحول بالطريقة نفسها مثل العناصر المقارنة فسي المجموعة. وهكذا ، اذا كانت المصفوفتان  $\mathcal{P}$  و  $\mathcal{R}$  متقارنتين ، فان هناك مصفوفة اخرى ،  $\mathcal{Q}$  ، مثل :

$$\mathcal{R} = \mathcal{Q}^{-1} \mathcal{P} \mathcal{Q}$$

ونظراً لان قانون جمع الحدود يصح لضرب المصفوفة ، فان النظرية تبرهن بالطريقة الاتية :

الاثبات

$$\begin{aligned} \chi \text{ of } \mathcal{R} &= \chi \text{ of } \mathcal{Q}^{-1} \mathcal{P} \mathcal{Q} = \chi \text{ of } (\mathcal{Q}^{-1} \mathcal{P}) \mathcal{Q} \\ &= \chi \text{ of } \mathcal{Q} (\mathcal{Q}^{-1} \mathcal{P}) = \chi \text{ of } (\mathcal{Q} \mathcal{Q}^{-1}) \mathcal{P} \\ &= \chi \text{ of } \mathcal{P} \end{aligned}$$

ترقيم المصفوفة للتحولات الهندسية :

احد التطبيقات المهمة للمصفوفة الجبرية هو التعبير عن تحولات النقطة - او مجموعة النقاط التي تحدد الجسم في الفراغ . لقد طبقنا سابقاً الانواع الخمسة من العمليات في وصف تماثل الجزئية او اي جسم. اخر :  $E, \sigma, i, C_n, S_n$  . ويمكن وصف كل واحد من هذه الانواع من العمليات بواسطة مصفوفة المتطابقة ( *Identity* ) . عندما تعرض نقطة لها الاحداثيات  $x, y, z$  الى عملية متطابقة ، تكون احداثياتها الجديدة هي نفسها كما للنقطة الاصلية ،  $x, y, z$  ، . يمكن التعبير عن ذلك بمعادلة مصفوفة كالآتي :

$$\begin{bmatrix} 1 & 0 & 0 \\ 0 & 1 & 0 \\ 0 & 0 & 1 \end{bmatrix} \begin{bmatrix} x \\ y \\ z \end{bmatrix} = \begin{bmatrix} x \\ y \\ z \end{bmatrix}$$

وهكذا ، توصف العملية المتطابقة بوحدة المصفوفة .

الانعكاسات *Reflections*. اذا اختير مستو للانعكاس لينطبق مع المستوي الديكارتي الاساس ( اي مستوي  $xy, xz$  , او  $yz$  ) ، فان لانعكاس النقطة العامة تأثيراً في تغيير اشارة الاحداثي المقاس عمودياً على المستوي في حين يترك الاحداثيان اللذان يحدد محوراهما المستوي بدون تغيير. وهكذا ، للانعكاسات في المستويات الثلاثة الاساس ، يمكن كتابة معادلات المصفوفة الاتية .

$$\sigma(xy): \begin{bmatrix} 1 & 0 & 0 \\ 0 & 1 & 0 \\ 0 & 0 & -1 \end{bmatrix} \begin{bmatrix} x \\ y \\ z \end{bmatrix} = \begin{bmatrix} x \\ y \\ \bar{z} \end{bmatrix}$$

$$\sigma(xz): \begin{bmatrix} 1 & 0 & 0 \\ 0 & -1 & 0 \\ 0 & 0 & 1 \end{bmatrix} \begin{bmatrix} x \\ y \\ z \end{bmatrix} = \begin{bmatrix} x \\ \bar{y} \\ z \end{bmatrix}$$

$$\sigma(yz): \begin{bmatrix} -1 & 0 & 0 \\ 0 & 1 & 0 \\ 0 & 0 & 1 \end{bmatrix} \begin{bmatrix} x \\ y \\ z \end{bmatrix} = \begin{bmatrix} \bar{x} \\ y \\ z \end{bmatrix}$$

### الانقلاب *Inversion*

لتغيير اشارات جميع الاحداثيات بدون تبديل اي منها ، من الواضح اننا نحتاج وحدة المصفوفة سالبة ، مثل

$$\begin{bmatrix} -1 & 0 & 0 \\ 0 & -1 & 0 \\ 0 & 0 & -1 \end{bmatrix} \begin{bmatrix} x \\ y \\ z \end{bmatrix} = \begin{bmatrix} \bar{x} \\ \bar{y} \\ \bar{z} \end{bmatrix}$$

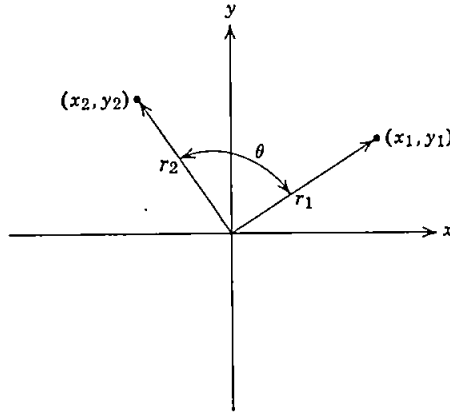
### الدوران الحقيقي *Proper Rotation*

بتحديد محور الدوران بشكل المحور  $z$  ، يلاحظ اولاً ان الاحداثي  $z$  لا يتغير باي دوران حول المحور  $z$  . وهكذا ، فالمصفوفة التي نبحث عنها يجب ان يكون قسم منها ، كالاتي :

$$\begin{bmatrix} & 0 \\ & 0 \\ 0 & 0 & 1 \end{bmatrix}$$

يمكن بعد ذلك حل مسألة ايجاد العناصر الاربعة المفقودة بشكل مسألة ثنائية البعد في مستوي  $xy$  .

لنفترض ان هناك نقطة في المستوي  $xy$  ذي الاحداثيات  $x_1$  و  $y_1$  ، كما هو مبين في الشكل ادناه ،



تحدد هذه النقطة الموجه  $r_1$  . بينها وبين المركز . لنفترض الآن ان هذا الموجه يدور خلال زاوية مقدارها  $\theta$  بحيث ينتج موجه جديد .  $r_2$  . ينتهي عند النقطة  $x_2$  و  $y_2$  . نبحث الآن عن كيفية ارتباط الاحداثيات  $x_2$  و  $y_2$  بالاحداثيات الاصلية  $x_1$  و  $y_1$  والزاوية  $\theta$  . وليس من الصعب الحصول على هذه العلاقة . عندما يدور المكون  $x_1$  ،  $r_1$  بمقدار  $\theta$  سيصبح  $x'$  الذي يمتلك المكون  $x$  من  $x_1 \cos \theta$  والمكون  $y$  من  $x_1 \sin \theta$  . وبالطريقة نفسها . يتحول المكون  $y$  من  $r_1$  ،  $y_1$  عند الدوران بمقدار  $\theta$  الى الموجه الجديد  $y'$  الذي يمتلك المكون  $x$  من  $-y_1 \sin \theta$  والمكون  $y$  من  $y_1 \cos \theta$  . والآن يجب تساوي  $x_2$  و  $y_2$  مكونات  $r_2$  لمجموع مكونات  $x$  و  $y$  من  $x'$  و  $y'$  . بحيث ان :

$$\begin{aligned} x_2 &= x_1 \cos \theta - y_1 \sin \theta \\ y_2 &= x_1 \sin \theta + y_1 \cos \theta \end{aligned} \quad (4.1-2)$$

يمكن كتابة التحول المعبر عنه بالمعادلات 4.1 على شكل مصفوفة ، بالطريقة الآتية :

$$\begin{bmatrix} \cos \theta & -\sin \theta \\ \sin \theta & \cos \theta \end{bmatrix} \begin{bmatrix} x_1 \\ y_1 \end{bmatrix} = \begin{bmatrix} x_2 \\ y_2 \end{bmatrix}$$

تمثل هذه النتيجة الدوران على عكس اتجاه عقرب الساعة . ولكون  $\cos \phi = \cos (-\phi)$  في حين  $\sin \phi = -\sin (-\phi)$  . يجب ان تكون المصفوفة باتجاه عقرب الساعة للدوران خلال الزاوية  $\phi$  ، كالاتي :

$$\begin{bmatrix} \cos \phi & \sin \phi \\ -\sin \phi & \cos \phi \end{bmatrix}$$

واخيراً ، تكون معادلة المصفوفة الكلية للدوران باتجاه عقرب الساعة خلال  $\phi$  حول المحور  $z$  ، كالآتي :

$$\begin{bmatrix} \cos \phi & \sin \phi & 0 \\ -\sin \phi & \cos \phi & 0 \\ 0 & 0 & 1 \end{bmatrix} \begin{bmatrix} x_1 \\ y_1 \\ z_1 \end{bmatrix} = \begin{bmatrix} x_2 \\ y_2 \\ z_2 \end{bmatrix}$$

الدوران غير المناسب *Improper Rotation* . لما كان الدوران غير المناسب خلال الزاوية  $\phi$  حول المحور  $z$  ينتج التحول نفسه للاحداثيين  $x$  و  $y$  كما يفعل الدوران المناسب خلال الزاوية نفسها ، لكن بالإضافة الى ذلك يغير اشارة الاحداثي  $z$  ، بحيث يستنتج مباشرة من المعادلة التي تم اشتقاقها

ان مصفوفة الدوران باتجاه عقرب الساعة هي :

$$\begin{bmatrix} \cos \phi & \sin \phi & 0 \\ -\sin \phi & \cos \phi & 0 \\ 0 & 0 & -1 \end{bmatrix}$$

من الواضح انه يمكن الحصول على هذه المصفوفة بضرب مصفوفات الدوران والانعكاس في المستوي  $xy$  .

وبصورة عامة ، يمكن ضرب المصفوفات التي تصف عمليات التماثل سوية بحيث ان ناتج اي اثنتين هو مصفوفة ( مصفوفة اخرى عادة ) لعملية ما . فمثلاً ، بينا سابقاً نوعاً ما شيئاً مملاً ، ان خط تقاطع مستويين عموديين للتماثل يجب ان يكون محورياً تماثلياً ثنائي المرة . يمكن استعمال المصفوفات لبيان الشيء نفسه بصورة دقيقة جداً وهكذا ، يوجد لكل من  $\sigma_{xz}$  ،  $\sigma_{yz}$  ، و  $C_2(z)$  :

$$\begin{bmatrix} 1 & 0 & 0 \\ 0 & -1 & 0 \\ 0 & 0 & 1 \end{bmatrix} \begin{bmatrix} -1 & 0 & 0 \\ 0 & 1 & 0 \\ 0 & 0 & 1 \end{bmatrix} = \begin{bmatrix} -1 & 0 & 0 \\ 0 & 1 & 0 \\ 0 & 0 & 1 \end{bmatrix} \begin{bmatrix} 1 & 0 & 0 \\ 0 & -1 & 0 \\ 0 & 0 & 1 \end{bmatrix} = \begin{bmatrix} -1 & 0 & 0 \\ 0 & -1 & 0 \\ 0 & 0 & 1 \end{bmatrix}$$

$\sigma_{xz}$                        $\sigma_{yz}$                        $\sigma_{yz}$                        $\sigma_{xz}$                        $C_2(z)$

وبالرموز ، اذا استخدم تجميع من العمليات الهندسية  $A, B, C, D, \dots$  بصورة متعاقبة فانه يعطي محصلة التأثير نفسه مثل العملية الفردية  $X$  ، اي ان :

$$\dots DCBA = X$$

بعد ذلك تضرب نواتج المصفوفات التي تمثل هذه العمليات بالترتيب نفسه

لتعطي المصفوفة المطابقة الى  $X$  . مثل

$$\dots DCBA = X$$

ويعرف المقلوب  $A^{-1}$  للمصفوفة  $A$  بالمعادلة الاتية

$$AA^{-1} = A^{-1}A = E$$

اذ تمثل  $E$  وحدة المصفوفة .

تسمى جميع المصفوفات التي حصلنا عليها في اعلاه اضافة الى جميع المصفوفات الاخرى التي تصف تحولات التجمع من الاحداثيات العمودية بواسطة الدورانات المناسبة وغير المناسبة بالمصفوفات المتعامدة ( *orthogonal matrices* ) وتمتلك خاصية مناسبة في كون ان الحصول على مقلوبها يتم بتبديل الاعمدة والصفوف وهكذا يكون مقلوب المصفوفة

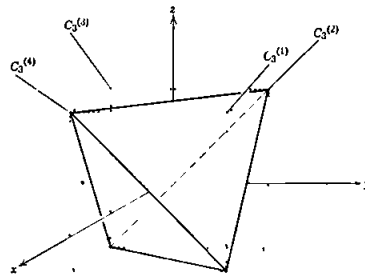
$$\begin{bmatrix} 0 & 1 & 0 \\ 0 & 0 & 1 \\ -1 & 0 & 0 \end{bmatrix} \text{ is } \begin{bmatrix} 0 & 0 & -1 \\ 1 & 0 & 0 \\ 0 & 1 & 0 \end{bmatrix}$$

كما اثبت بواسطة .

$$\begin{bmatrix} 0 & 1 & 0 \\ 0 & 0 & 1 \\ -1 & 0 & 0 \end{bmatrix} \begin{bmatrix} 0 & 0 & -1 \\ 1 & 0 & 0 \\ 0 & 1 & 0 \end{bmatrix} = \begin{bmatrix} 0 & 0 & -1 \\ 1 & 0 & 0 \\ 0 & 1 & 0 \end{bmatrix} \begin{bmatrix} 0 & 1 & 0 \\ 0 & 0 & 1 \\ -1 & 0 & 0 \end{bmatrix} = \begin{bmatrix} 1 & 0 & 0 \\ 0 & 1 & 0 \\ 0 & 0 & 1 \end{bmatrix}$$

ولما كانت الدورانات بمقدار  $\phi$  مع اتجاه عقرب الساعة وعلى عكسه عمليات متعاكسة ، يجب ان تكون مصفوفاتها معكوسة بعضها للبعض الاخر وهكذا ، يمكن استنتاج العلاقة بين مصفوفات هاتين العمليتين بالقول ان احدهما يجب ان تبذل بالاعراض

وللتوضيح الاكثر عموما عن كيفية استعمال المصفوفات للتعبير عن عمليات التماثل نأخذ بنظر الاعتبار عمليات  $C_3$  الثمانية لرباعي السطوح ، كما هو مبين في الشكل الاتي



لنأخذ أولاً التأثير على نقطة عامة لها الاحداثيات  $x, y, z$  وللدوران مع اتجاه عقرب الساعة بمقدار  $2\pi/3$  حول المحور  $C_3^{(1)}$ . يعمل ذلك على تحويل  $y$  الى  $x$  وتحويل  $x$  الى  $z$ . اي ان  $[x, y, z]$  يصبح  $[y, z, x]$ . وبكتابة التجميعين من الاحداثيات بشكل مصفوفات عمودية . يلاحظ امكانية وصف عملية الدوران بمعادلة المصفوفة الاتية :

$$\begin{bmatrix} 0 & 1 & 0 \\ 0 & 0 & 1 \\ 1 & 0 & 0 \end{bmatrix} \begin{bmatrix} x \\ y \\ z \end{bmatrix} = \begin{bmatrix} y \\ z \\ x \end{bmatrix}$$

وبالطريقة نفسها يوصف الدوران على عكس اتجاه عقرب الساعة ( او  $C_3^2$  مع اتجاه عقرب الساعة ) كالآتي :

$$\begin{bmatrix} 0 & 0 & 1 \\ 1 & 0 & 0 \\ 0 & 1 & 0 \end{bmatrix} \begin{bmatrix} x \\ y \\ z \end{bmatrix} = \begin{bmatrix} z \\ x \\ y \end{bmatrix}$$

وتكون المصفوفات لدورانات  $C_3$  و  $C_3^2$  حول محاور  $C_3$  الاخرى . كالآتي :

$$C_3^{(2)} \quad C_3 = \begin{bmatrix} 0 & 0 & -1 \\ -1 & 0 & 0 \\ 0 & 1 & 0 \end{bmatrix} \quad C_3^2 = \begin{bmatrix} 0 & -1 & 0 \\ 0 & 0 & 1 \\ -1 & 0 & 0 \end{bmatrix}$$

$$C_3^{(3)} \quad C_3 = \begin{bmatrix} 0 & 1 & 0 \\ 0 & 0 & -1 \\ -1 & 0 & 0 \end{bmatrix} \quad C_3^2 = \begin{bmatrix} 0 & 0 & -1 \\ 1 & 0 & 0 \\ 0 & -1 & 0 \end{bmatrix}$$

$$C_3^{(4)} \quad C_3 = \begin{bmatrix} 0 & 0 & 1 \\ -1 & 0 & 0 \\ 0 & -1 & 0 \end{bmatrix} \quad C_3^2 = \begin{bmatrix} 0 & -1 & 0 \\ 0 & 0 & -1 \\ 1 & 0 & 0 \end{bmatrix}$$

ولما كانت دورانات  $C_3$  و  $C_3^2$  في اي زوج حول محور  $C_3$  المعين متعاكسة لبعضها البعض الآخر ، فان المصفوفات التي تمثلها يجب ان تكون متعاكسة ايضاً . والابعد من ذلك ، بما اننا نتعامل مع المصفوفات المتعامدة ، فان كل مصفوفة في كل زوج بديل للآخرى ، وسنلاحظ ان ذلك صحيح .

مع هذا التجمع من المصفوفات يسهل بيان ان ناتج اي دورانين ثلاثي المرة حول محاور مختلفة هو دوران ثنائي المرة حول احد المحاور الديكارتية . على سبيل المثال ، يمكن الحصول على ناتج  $C_3$  حول  $C_3^{(1)}$  و  $C_3^2$  حول  $C_3^{(3)}$  بضرب المصفوفة :



$$\begin{bmatrix} 0 & 1 & 0 \\ 0 & 0 & 1 \\ 1 & 0 & 0 \end{bmatrix} \begin{bmatrix} 0 & 0 & -1 \\ 1 & 0 & 0 \\ 0 & -1 & 0 \end{bmatrix} = \begin{bmatrix} 1 & 0 & 0 \\ 0 & -1 & 0 \\ 0 & 0 & -1 \end{bmatrix}$$

تمثل المصفوفة الناتجة دوران ثنائي المرة حول المحور  $x$  . ويكون ناتج اي مصفوفة لعملية  $C_2$  مع اية مصفوفة لعملية  $C_3$  أو  $C_3^2$  مصفوفة لعملية اخرى  $C_3$  أو  $C_3^2$  . فمثلاً ، تعطي عملية  $C_2$  حول المحور  $x$  مضروبة بعملية  $C_3^2$  حول المحور  $C_3^{(2)}$  ، المصفوفة :

$$\begin{bmatrix} 1 & 0 & 0 \\ 0 & -1 & 0 \\ 0 & 0 & -1 \end{bmatrix} \begin{bmatrix} 0 & -1 & 0 \\ 0 & 0 & 1 \\ -1 & 0 & 0 \end{bmatrix} = \begin{bmatrix} 0 & -1 & 0 \\ 0 & 0 & -1 \\ 1 & 0 & 0 \end{bmatrix}$$

وهي المصفوفة لدوران  $C_3^2$  حول المحور  $C_3^{(4)}$  . ومن الاستمرار في هذه الطريقة ، يمكن ان ينتج التجمع الكلي من العمليات التي يعتمد وجودها على اربعة محاور  $C_2$  مرتبة كما هو مبين . يتكون هذا التجمع الذي يكون مجموعة من عمليات  $C_3$  الثماني وعمليات  $C_2$  الثلاث والمتطابقة . وتعرف المجموعة التي تكونها بشكل مجموعة  $T$  الدورانية النقية .

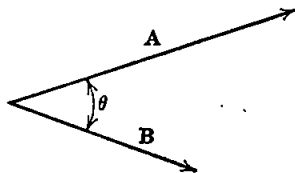
ان ما فعلناه الآن هو استبدال العملية الجبرية لضرب المصفوفات للعملية الهندسية من التطبيق المتعاقب لعمليات التماثل . تضرب المصفوفات سوية بحسب النموذج نفسه كما تفعل عمليات التماثل ، ومن الواضح وجوب ذلك ، لان تكوينها يجعلها تفعله . سيلاحظ في الفقرة القادمة ان لهذا النوع من العلاقة بين تجمع من المصفوفات ومجموعة من العمليات التماثلية اهمية وفائدة كبيرتين .

الموجهات ونواتجها غير الاتجاهية :

نظراً لاعتماد المناقشات الاساسية في الفقرة ( 4.3 ) ، بدرجة كبيرة ، على فرضية الموجهات المتعامدة عموماً ( فراغ ثنائي البعد مضاعف ) ، تشمل هذه الفقرة على ملخص واضح للضروريات اللازمة .

يمكن تعريف الموجه في فراغ ثنائي البعد -  $p$  بأطوال مساقطة على كل تجمع من محاور  $p$  المتعامدة في ذلك الفراغ . وعلى سبيل المثال ، يمتلك الموجه  $A$  ، في فراغ حقيقي ، مع الاحداثيات  $x_1, y_1, z_1$  لنهايتيه الخارجيتين المسقط  $A_x$  ذو الطول  $x_1$  على المحور  $x$  والمسقط  $A_y$  ذو الطول  $y_1$  على المحور  $y$  والمسقط  $A_z$  ذو الطول  $z_1$  على المحور  $z$  .

يسمى احد انواع النواتج لموجهين بالنتائج غير الموجه ( scalar product )  
 لانه يمثل عدداً ، غير اتجاهي . وقد يعرف ذلك بشكل ناتج اطوال موجهين مضروباً  
 في جيب تمام الزاوية بينهما . ويشار الى الناتج غير الاتجاهي بوضع نقطة بين الرموز . نشير  
 الى الموجه بشكل A ، الى طوله A ، ومساقطه على المحاور الاحداثية بواسطة ، مثل ،  
 $A_x, A_y$  .



اذا كان الموجهان C و D متعامدين orthogonal ، فان الناتج غير  
 الموجه او « النقطة » يكون صفراً  
 $C \cdot D = CD \cos 90^\circ = 0$

واذا كانا متوازيين او على استقامة واحدة ، يكون ناتجهما غير الموجه مساوياً لناتج طوليهما  
 لأن  $\cos^\circ = 1$  .

هناك طريقة مكافئة لكنها اكثر فائدة في كتابة الناتج غير الموجه لموجهين . لنفترض  
 ان هناك موجهين A و B يقع كلاهما في المستوي xy ، ولنجعل A يعمل زاوية  
 $\phi$  مع المحور x ويعمل B زاوية اكبر  $\psi$  . لذلك تكون الزاوية  $\theta$  بين A و B .  
 وهكذا ،  $(\psi - \phi)$

$$A \cdot B = AB \cos \theta = AB \cos (\psi - \phi) \quad (4.1-3)$$

والان ، تكون مكونات A ، اي مساقطة على المحورين x و y ، كالآتي :

$$\begin{aligned} A_x &= A \cos \phi \\ A_y &= A \sin \phi \end{aligned} \quad (4.1-4)$$

بصورة مشابهة للموجه B :

$$\begin{aligned} B_x &= B \cos \psi \\ B_y &= B \sin \psi \end{aligned} \quad (4.1-5)$$

وباستعمال متطابقة مثلثية ، يمكن كتابة معادلة 4.1-3 كالآتي :

$$A \cdot B = AB (\cos \phi \cos \psi + \sin \phi \sin \psi)$$

التي يمكن ترتيبها الى :

$$A \cdot B = A \cos \phi B \cos \psi + A \sin \phi B \sin \psi$$

وبتعبير العلاقات 4.1-4 و 4.1-5 ، نحصل على :

$$A \cdot B = A_x B_x + A_y B_y$$

وهكذا ، يتضح ان الناتج غير الموجه للموجهين A و B في فراغ ثنائي البعد يساوي مجموع النواتج لمكوناتها بدون حدود عرضية cross terms ( مثل  $A_x B_y$  ) وتمثل هذه النتيجة حالة خاصة فقط للقاعدة العامة في فراغ ثنائي البعد

$$A \cdot B = \sum_{i=1}^p A_i B_i$$

يمكن الآن اعادة تعريف القاعدة لتعامد موجهين في فراغ ثنائي البعد  $p$  بأنها  
تحتاج الى :  
وقد يكتب مربع طول الموجه بشكل :

$$A^2 = \sum_{i=1}^p A_i^2$$

## 4.2 تمثيلات المجاميع Representations of Groups

يمكن ان يعرف تمثيل المجموعة ، من النوع الذي سنهتم به ، على شكل تجمع من مصفوفات ، تتطابق كل منها مع عملية منفردة في المجموعة ، يتحد بعضها مع البعض الآخر بطريقة موازية للطريقة التي تتحد بها عناصر المجموعة - وهي عمليات

التمثل ، في هذه الحالة . وهكذا ، اذا اتحدت عمليتان تماثلتان ، مثل  $C_2$  و  $\sigma$  لتعطي الناتج  $C_2'$  ، بعد ذلك يجب ان تضرب المصفوفات التي تتطابق مع  $C_2$  و  $\sigma$  سوياً لتعطي المصفوفة المطابقة مع  $C_2'$  . لكننا لاحظنا سابقاً انه اذا تطابقت المصفوفات مع جميع العمليات التي كتبت بصورة صحيحة ، فمن الطبيعي ان يكون لها هذه الخاصية .

لنأخذ ، مثلاً ، اجراء تمثيل مجموعة  $C_{2v}$  . تتكون هذه المجموعة من العمليات  $E, C_2, \sigma_v, \sigma_v'$  ، لنقول ان المحور  $C_2$  يتطابق مع المحور  $z$  للنظام الاحداثي ولنجعل  $\sigma_v$  المستوي  $xz$  و  $\sigma_v'$  المستوي  $yz$  . يمكن بسهولة ملاحظة المصفوفات المؤثرة في تحولات نقطة عامة ، كالآتي :

$$E: \begin{bmatrix} 1 & 0 & 0 \\ 0 & 1 & 0 \\ 0 & 0 & 1 \end{bmatrix} \quad C_2: \begin{bmatrix} -1 & 0 & 0 \\ 0 & -1 & 0 \\ 0 & 0 & 1 \end{bmatrix}$$

$$\sigma_v: \begin{bmatrix} 1 & 0 & 0 \\ 0 & -1 & 0 \\ 0 & 0 & 1 \end{bmatrix} \quad \sigma'_v: \begin{bmatrix} -1 & 0 & 0 \\ 0 & 1 & 0 \\ 0 & 0 & 1 \end{bmatrix}$$

ويكون الآن جدول ضرب المجموعة ، كالآتي :

	E	C <sub>2</sub>	σ <sub>v</sub>	σ' <sub>v</sub>
E	E	C <sub>2</sub>	σ <sub>v</sub>	σ' <sub>v</sub>
C <sub>2</sub>	C <sub>2</sub>	E	σ' <sub>v</sub>	σ <sub>v</sub>
σ <sub>v</sub>	σ <sub>v</sub>	σ' <sub>v</sub>	E	C <sub>2</sub>
σ' <sub>v</sub>	σ' <sub>v</sub>	σ <sub>v</sub>	C <sub>2</sub>	E

ومن السهل بيان امكانية ضرب المصفوفات بالطريقة نفسها ، فمثلاً :

$$\sigma_v C_2 = \sigma'_v$$

$$\begin{bmatrix} 1 & 0 & 0 \\ 0 & -1 & 0 \\ 0 & 0 & 1 \end{bmatrix} \begin{bmatrix} -1 & 0 & 0 \\ 0 & -1 & 0 \\ 0 & 0 & 1 \end{bmatrix} = \begin{bmatrix} -1 & 0 & 0 \\ 0 & 1 & 0 \\ 0 & 0 & 1 \end{bmatrix}$$

مرة أخرى ، يمثل كل عنصر في مجموعة  $C_{2v}$  مقلوب نفسه ، وهكذا ، يجب ان يكون ذلك صحيحاً بالنسبة للمصفوفات . ويمكن بيان صحة ذلك بسهولة ؛ فمثلاً :

$$\begin{bmatrix} 1 & 0 & 0 \\ 0 & -1 & 0 \\ 0 & 0 & 1 \end{bmatrix} \begin{bmatrix} 1 & 0 & 0 \\ 0 & -1 & 0 \\ 0 & 0 & 1 \end{bmatrix} = \begin{bmatrix} 1 & 0 & 0 \\ 0 & 1 & 0 \\ 0 & 0 & 1 \end{bmatrix}$$

وبطريقة واحدة هي اخذ تحولات النقطة العامة بنظر الاعتبار انتجنا تجمعا من المصفوفات التي تكون تمثيل المجموعة  $C_{2v}$  . وقد يتضح أننا فعلنا الشيء نفسه للمجموعة  $T$  ( في فقرة سابقة من هذا الفصل ) .

والسؤال الذي يطرح نفسه عند هذه النقطة هو : كم من التمثيلات يمكن ان نجد لاية مجموعة معينة ، مثل  $C_{2v}$  ، للاستمرار به على سبيل التمثيل ؟ والجواب هو : عدد كبير جداً ، يحدد فقط بذلكاء لتقسيم طرق انتاج هذا العدد . هناك اولاً طريقة بسيطة

يتم الحصول عليها بتعيين 1 او 1- لكل عملية ، مثل :

$E$	$C_2$	$\sigma_v$	$\sigma'_v$
1	1	1	1
1	-1	1	-1
1	-1	-1	1
1	1	-1	-1

بعد ذلك ، هناك تمثيلات عديدة برتبة عالية . وعلى سبيل المثال ، اذا اردنا تعيين ثلاثة موجّهات وحدة صغيرة متجهة على طول المحاور  $x, y, z$  لكل من الذرات في جزيئة الماء وكتابة المصفوفات التي تمثل التغيرات والتبادلات لهذه الموجّهات وتطبيق العمليات ، تجمع من اربعة مصفوفات  $9 \times 9$  مكونة تمثيلاً للمجموعة التي يتم الحصول عليها . وباستعمال  $CH_2Cl_2$  بالطريقة نفسها ، يمكن ان نحصل على تمثيل يتكون من  $15 \times 15$  مصفوفة . على اية حال ، يعد وجود عدد محدود من التمثيلات ، لاية مجموعة . ذا اهمية اساسية ، وسنشرح الآن منشأ وخواص هذه التمثيلات . لنفترض ان هناك تجمعاً من المصفوفات  $\mathcal{E}, \mathcal{A}, \mathcal{B}, \mathcal{C}$  ، — تكون تمثيلاً للمجموعة . اذا أجرينا تحويلاً متشابهاً على كل مصفوفة . حصلنا على تجمع جديد من المصفوفات :

$$\mathcal{E}' = \mathcal{Q}^{-1} \mathcal{E} \mathcal{Q}$$

$$\mathcal{A}' = \mathcal{Q}^{-1} \mathcal{A} \mathcal{Q}$$

$$\mathcal{B}' = \mathcal{Q}^{-1} \mathcal{B} \mathcal{Q}$$

ومن السهل اثبات ان التجمع الجديد من المصفوفات هو تمثيل للمجموعة ايضاً . لنفترض ان :

$$\mathcal{A} \mathcal{B} = \mathcal{D}$$

ومن ثم

$$\begin{aligned} \mathcal{A}' \mathcal{B}' &= (\mathcal{Q}^{-1} \mathcal{A} \mathcal{Q})(\mathcal{Q}^{-1} \mathcal{B} \mathcal{Q}) = \mathcal{Q}^{-1} \mathcal{A} (\mathcal{Q} \mathcal{Q}^{-1}) \mathcal{B} \mathcal{Q} \\ &= \mathcal{Q}^{-1} (\mathcal{A} \mathcal{B}) \mathcal{Q} = \mathcal{Q}^{-1} \mathcal{D} \mathcal{Q} = \mathcal{D}' \end{aligned}$$

ومن الواضح ان جميع النواتج في التجمع من المصفوفات  $\mathcal{E}', \mathcal{A}', \mathcal{B}'$  — يكون متوازياً مع تمثيلات  $\mathcal{E}, \mathcal{A}, \mathcal{B}$  ، — ، لان التجمع الاولي يكون ايضاً تمثيلاً . لنفترض الآن انه حين تتحول المصفوفة  $\mathcal{A}$  الى  $\mathcal{A}'$  باستعمال  $\mathcal{Q}$  او مصفوفة اخرى ، نجد  $\mathcal{A}'$  هي مصفوفة معاملات المجمع ، فمثلاً :

$$\mathcal{A}' = \mathcal{Q}^{-1} \mathcal{A} \mathcal{Q} = \begin{bmatrix} \mathcal{A}'_1 & & & & \\ & \mathcal{A}'_2 & & & \\ & & \mathcal{A}'_3 & & \\ & & & \mathcal{A}'_4 & \\ & & & & \mathcal{A}'_5 \end{bmatrix}$$

فاذا حصرت الآن كل من المصفوفات  $\mathcal{A}', \mathcal{B}', \mathcal{C}$  وغيرها ، بالطريقة نفسها ، ومن ثم كما هو مبين في الفقرة ( 4.1 ) ، امكن ضرب مجموعات كل مصفوفة سوية بصورة منفصلة ، وهكذا ، تكتب مثل هذه المعادلات كالآتي :

$$\mathcal{A}'_1 \mathcal{B}'_1 = \mathcal{D}'_1$$

$$\mathcal{A}'_2 \mathcal{B}'_2 = \mathcal{D}'_2$$

$$\mathcal{A}'_4 \mathcal{B}'_4 = \mathcal{D}'_4$$

...

ولهذا فان التجمعات المختلفة للمصفوفات هي نفسها تمثيلات للمجموعة .

$$\mathcal{E}'_1, \mathcal{A}'_1, \mathcal{B}'_1, \mathcal{C}'_1, \mathcal{D}'_1, \dots$$

$$\mathcal{E}'_2, \mathcal{A}'_2, \mathcal{B}'_2, \mathcal{C}'_2, \mathcal{D}'_2, \dots$$

...

لذلك ، يسمى التجمع من المصفوفات  $\mathcal{E}, \mathcal{A}, \mathcal{B}, \mathcal{C}, \mathcal{D}$  ، بالتمثيل المختزل ( *reducible representation* ) ، لانه من الممكن استعمال بعض المصفوفات ، في هذه الحالة ، لتحوّل كل مصفوفة في التجمع الى مصفوفة جديدة بحيث تتمكن جميع المصفوفات الجديدة من الانفصال بالطريقة نفسها لتعطي اثنين او اكثر من التمثيلات ذات البعد الاصغر . ( يمثل بعد التمثيل رتبة المصفوفات المربعة المكونة له . ) فاذا كان غير ممكن ايجاد تحوّل متشابه يختزل جميع المصفوفات للتمثيل المعين بالطريقة المبينة في أعلاه ، يسمى التمثيل غير مختزل ( *irreducible* ) . وتعد التمثيلات غير المختزلة للمجموعة ذات اهمية اساسية وستشرح خواصها الرئيسة في أدناه .

#### 4.3 « نظرية التعامد العظيمة » ونتائجها :

يمكن اشتقاق جميع خواص تمثيلات المجموعة وخاصياتها التي تعد مهمة في التعامل مع المسائل في نظرية التكافؤ والديناميك الجزيئي من احدى النظريات الاساسية التي تهتم بعناصر المصفوفات المكونة للتمثيلات غير المختزلة في المجموعة .

ولتعريف هذه النظرية ، التي سنبينها بدون اثبات \* ، ينبغي ادخال بعض التقييم .  
 يشار الى رتبة المجموعة ، كالسابق ، بالرمز  $h$  . ويشار الى البعد لتسلسل  $i$  في التمثيل ،  
 التي هي رتبة كل مصفوفة مكونة للمجموعة ، بالرمز  $l_i$  . ويعطى الرمز  $R$  للعمليات  
 المختلفة في المجموعة . ويشار الى تطابق العنصر في التسلسل  $m$  للصف والتسلسل  $n$  في  
 عمود المصفوفة مع عملية  $R$  في التسلسل  $i$  للتمثيل غير المختزل بالرمز  $\Gamma_i(R)_{mn}$  واخيرا  
 من الضروري اخذ المعقد المقارن لمعامل واحد الى جهة اليسار اذا ما كان تخيلياً او مشتملا  
 على اعداد معقدة .

قد تعرف نظرية التعامد العظيمة ( The great orthogonality theorem )  
 بالطريقة الاتية :

$$\sum_R [\Gamma_i(R)_{mn}] [\Gamma_j(R)_{m'n'}]^* = \frac{h}{\sqrt{l_i l_j}} \delta_{ij} \delta_{mm'} \delta_{nn'} \quad (4.3-1)$$

يعني ذلك انه في تجمع من المصفوفات المكونة لاي تمثيل واحد غير مختزل يسلك  
 اي تجمع لعناصر المصفوفة المطابقة ، واحد من كل مصفوفة ، بشكل مكونات ،  
 في الفراغ ثنائي البعد  $h$  بحيث تكون جميع هذه الموجهات متعامدة ، ويعدل  
 ( normalized ) كل منها بحيث يساوي مربع طوله  $h/l_i$  . وقد يكون هذا  
 التفسير لمعادلة 4.3-1 اكثر وضوحا اذا اخذنا هذه المعادلة بشكل ثلاث معادلات اب ط  
 كما كانت عليه ، تحتويه كل منها خلالها . وستهمل الاشارة الموضحة للمعقد المقارن  
 للتبسيط ، ولكن ينبغي التذكير بان يجب استعمالها عند اشتراك اعداد المعقد . تكون  
 المعادلات الثلاث الابطس كالآتي :

$$\sum_R \Gamma_i(R)_{mn} \Gamma_j(R)_{mn} = 0 \quad \text{if } i \neq j \quad (4.3-2)$$

$$\sum_R \Gamma_i(R)_{mn} \Gamma_i(R)_{m'n'} = 0 \quad \text{if } m \neq m' \text{ and/or } n \neq n' \quad (4.3-3)$$

$$\sum_R \Gamma_i(R)_{mn} \Gamma_i(R)_{mn} = h/l_i \quad (4.3-4)$$

وهكذا ، اذا اختلفت الموجهات لكونها مختارة من مصفوفات ذات تمثيلات  
 مختلفة ، فانها تكون متعامدة (4.3-2) . واذا تم اختيارها من التمثيل نفسه او من  
 تجمعات مختلفة من العناصر في مصفوفات لها هذا التمثيل ، فانها تكون متعامدة

• يمكن ملاحظة الالبات ذو الالهية في مكان آخر ، مثلاً :

( 4.3-3 ) . و أخيراً ، تعبر 4.3-4 عن الحقيقة في ان مربع طول اي واحد من هذه الموجهات يساوي  $h/l_i$  .

سنشرح الان خمس قواعد مهمة عن التمثيلات غير المختزلة وخصائصها .

1. يساوي مجموع مربعات ابعاد التمثيلات غير المختزلة للمجموعة وتة المجموعة ، اي ان :

$$\sum l_i^2 = l_1^2 + l_2^2 + l_3^2 + \dots = h \quad (4.3-5)$$

البرهان : يعد الاثبات الكامل طويلا ولن يعطي هنا . لكن من السهل بيان ان  $\sum l_i^2$  تكون اصغر او تساوي  $h$  . يوجد في المصفوفة من الرتبة  $l^2$  من العناصر وهكذا ، يعطي كل تمثيل غير مختزل ،  $\Gamma_i$  ، عدد  $l_i^2$  من الموجهات ثنائية البعد  $h$  تحتاج النظرية الاساس الى كون هذا التجمع ،  $l_1^2 + l_2^2 + l_3^2 + \dots$  ، من الموجهات متعامداً . ونظراً لانعدام وجود اكثر من عدد  $h$  من الموجهات ثنائية البعد  $h$  ، فقد لايزيد المجموع  $l_1^2 + l_2^2 + l_3^2 + \dots$  عن  $h$  . ولما كانت ،  $\chi_i(E)$  ، خاصية تمثيل  $E$  في تسلسل  $i$  للتمثيل غير المختزل مساوية لرتبة التمثيل ، امكن ايضاً كتابة هذه القاعدة بشكل .

$$\sum_i [\chi_i(E)]^2 = h \quad (4.3-5a)$$

2. يساوي مجموع مربعات الخصائص لاي تمثيل غير مختزل  $h$  ، اي ان :

$$\sum_R [\chi_i(R)]^2 = h \quad (4.3-6)$$

الاثبات . من معادلة 4.3-1 يمكن ان نكتب

$$\sum_R \Gamma_i(R)_{mm} \Gamma_i(R)_{m'm'} = \frac{h}{l_i} \delta_{mm'}$$

وبجمع الجهة اليسرى بالنسبة الى  $m$  و  $m'$  ، نحصل على :

$$\begin{aligned} \sum_{m'} \sum_m \sum_R \Gamma_i(R)_{mm} \Gamma_i(R)_{m'm'} &= \sum_R \left[ \sum_m \Gamma_i(R)_{mm} \sum_{m'} \Gamma_i(R)_{m'm'} \right] \\ &= \sum_R \chi_i(R) \chi_i(R) \\ &= \sum_R [\chi_i(R)]^2 \end{aligned}$$

في حين يعطي تجميع الجهة اليمنى بالنسبة الى  $m$  و  $m'$

$$\frac{h}{l_i} \sum_{m'} \sum_m \delta_{mm'} = \frac{h}{l_i} l_i = h$$



وهكذا ، تبرهن معادلة 4.3-6.

3 تكون الموجهات التي مكوناتها خاصيات لاثنين من التمثيلات غير المختزلة المختلفة متعامدة ، اي ان

$$\sum_R \chi_i(R) \chi_j(R) = 0 \quad i \neq j \quad \text{حين} \dots (4.3-7)$$

الاثبات

الاثبات بجعل  $m = n$  في معادلة 4.3-2، نحصل على :

$$\sum_R \Gamma_i(R)_{mm} \Gamma_j(R)_{mm} = 0 \quad \text{if } i \neq j$$

$$\begin{aligned} \sum_R \chi_i(R) \chi_j(R) &= \sum_R \left[ \sum_m \Gamma_i(R)_{mm} \sum_m \Gamma_j(R)_{mm} \right] \\ &= \sum_m \left[ \sum_R \Gamma_i(R)_{mm} \Gamma_j(R)_{mm} \right] = 0 \end{aligned}$$

4. في التمثيل المعين ( مختزل او غير مختزل ) تكون خاصيات جميع المصفوفات التي تعود الى عمليات الصنف نفسه متساوية . الاثبات . لما كانت جميع العناصر في الصنف نفسه مقارنة الواحد للآخر ، وجب ان تكون جميع المصفوفات المطابقة للعناصر في الصنف نفسه لاي تمثيل مقارنة . لكننا بينا في الفقرة 4.1 ان للمصفوفات المتقارنة خاصيات متساوية .

5 يساوي عدد التمثيلات غير المختزلة في المجموعة لعدد الاصناف في المجموعة .

البرهان : كما هو الحال للقاعدة الاولى ، لن يعطى اثبات كامل ، لكنه يمكن ان نثبت ان عدد اصناف التجمعات حد اعلى لعدد التمثيلات غير المختزلة . ويمكن دمج معادلة 4.3-6 و 4.3-7 في معادلة واحدة :

$$\sum_R \chi_i(R) \chi_j(R) = h \delta_{ij} \quad (4.3-8)$$

اذا اشرنا الان الى عدد عناصر الصنف للتسلسل  $m$  بالرمز  $g_m$  وعدد عناصر الصنف للتسلسل  $n$  بالرمز  $g_n$  ، وهكذا ، واذا كان هناك عدد  $k$  من الاصناف ، امكن كتابة معادلة

$$\sum_{p=1}^k \chi_i(R_p) \chi_j(R_p) g_p = h \delta_{ij} \quad \text{كالاتي :} \quad (4.3-9)$$

اذ تشير  $R_p$  الى اي من العمليات في صنف التسلسل  $p$  . تتضمن معادلة 4.3-9 ان كميات  $\chi_i(R_p)$  في كل تمثيل  $\Gamma_i$  نسلك مثل مكونات الوجه ثنائي البعد  $k$  وان هذه الموجهات  $k$  تكون متعامدة . وبما ان موجهات  $k$  ثنائي البعد  $k$  فقط يمكن ان تكون متعامدة ، فانه لا توجد اكثر من  $k$  من التمثيلات غير المختزلة في المجموعة التي تمتلك عدد  $k$  من الاصناف .

لنأخذ الآن التمثيلات غير المختزلة لعدة مجاميع نموذجية للملاحظة كيفية انطباق هذه القواعد . تتكون مجموعة  $C_{2v}$  من أربعة عناصر كل منها في صنف منفصل ، لذلك ( القاعدة الخامسة ) يوجد أربعة تمثيلات غير مختزلة لهذه المجموعة . لكنه ( القاعدة الأولى ) من الضروري أيضا ان يساوي مجموع مربعات ابعاد هذه التمثيلات الى  $h$  ، وهكذا ، فاننا نبحث عن تجمع من أربعة اعداد صحيحة موجبة ،  $l_1, l_2, l_3, l_4$  ، التي تحقق العلاقة :

$$l_1^2 + l_2^2 + l_3^2 + l_4^2 = 4$$

من الواضح ان الحل الوحيد هو

$$l_1 = l_2 = l_3 = l_4 = 1$$

وهكذا ، تمتلك مجموعة  $C_{2v}$  أربعة تمثيلات غير مختزلة احادية البعد .

يمكن ايجاد خاصيات هذه التمثيلات الاربعة غير المختزلة - التي تمثل في هذه الحالة التمثيلات نفسها لان الابعاد هي  $1 - 1$  بالاعتماد على خواص الموجة للتمثيلات والقواعد المشتقة في اعلاه . يتضح ان احد الموجهات المناسبة في الفراغ 4 يمتلك المكون 1 المطابق الى  $E$  هو

	$E$	$C_2$	$\sigma_v$	$\sigma'_v$
$\Gamma_1$	1	1	1	1

للمعادلة

$$\sum_R [\chi_i(R)]^2 = 1^2 + 1^2 + 1^2 + 1^2 = 4$$

وهكذا ، تحققت القاعدة الثانية . والان يجب ان تكون جميع التمثيلات الاخرى

$$\sum_R [\chi_i(R)]^2 = 4$$

مشابهة لما يأتي :

التي يمكن ان تصح فقط اذا كان كل  $\chi_i(R) = \pm 1$  . والابعد من ذلك ، لغرض ان يكون كل واحد من التمثيلات الاخرى متعامداً مع  $\Gamma_1$  ( القاعدة الثالثة والمعادلة 4.3-7 ) ، يجب ان يكون اثنان +1 واثنان -1 ، وهكذا :

$$(1)(-1) + (1)(-1) + (1)(1) + (1)(1) = 0$$

ولهذا ، فان هناك

	$E$	$C_2$	$\sigma_v$	$\sigma'_v$
$\Gamma_1$	1	1	1	1
$\Gamma_2$	1	-1	-1	1
$\Gamma_3$	1	-1	1	-1
$\Gamma_4$	1	1	-1	-1

تكون هذه التمثيلات أيضاً متعامدة أيضاً الواحد على الآخر. ... ، لنأخذ  $\Gamma_2$  و  $\Gamma_4$  يصبح

$$(1)(1) + (-1)(1) + (-1)(-1) + (1)(-1) = 0$$

وهكذا ، وهذه هي التمثيلات الاربعة غير المختزلة لمجموعة  $C_{2v}$ .

ومثال اخر لعمل هذه القواعد ، نأخذ بنظر الاعتبار مجموعه  $C_{3v}$  . تتكون هذه المجموعة من العناصر الاتية المبينة حسب الاصناف :

$$E \quad 2C_3 \quad 3\sigma_v$$

لذلك ، يتضح في الحال ان هناك ثلاثة تمثيلات غير مختزلة ، فاذا اشرنا الى ابعادها بالرموز  $l_1, l_2, l_3$  ، نحصل ( القاعدة الاولى ) .

$$l_1^2 + l_2^2 + l_3^2 = h = 6$$

والقيم الوحيدة من  $l_i$  التي تحقق الاحتياج هي 2 و 1 و 1 . والان ، مرة اخرى ، ودائما في اية مجموعة ، هناك تمثيل احادي البعد تساوي جميع خاصياته الى واحد. وهكذا

	$E$	$2C_3$	$3\sigma_v$
$\Gamma_1$	1	1	1

لاحظ انه ( من المعادلة 4.3-9 ) .

$$1^2 + 2(1)^2 + 3(1)^2 = 6$$

نبحث الآن عن موجه ثان في الفراغ 6- تساوي جميع مكوناته الى  $\pm 1$  ويكون عمودياً على  $\Gamma_1$  يجب ان تتكون مكونات مثل هذا الموجه من ثلاثة +1 وثلاثة -1 ونظراً لان  $\chi(E)$  يجب ان يكون موجباً دائماً ولما كانت جميع عناصر الصنف نفسه تمتلك تمثيلات لها الخاصية نفسها ، فان الاحتمال الوحيد هنا يكون :

	$E$	$2C_3$	$3\sigma_v$
$\Gamma_1$	1	1	1
$\Gamma_2$	1	1	-1

والان يكون التمثيل الثالث ثنائي البعد لان  $\chi_3(E) = 2$  . ولايجاد قيم

$\chi_3(C_3)$  و  $\chi_3(\sigma_v)$  يستفاد من علاقات التعامد ( القاعدة الثالثة ، المعادلة 4.3

: 4-7)

$$\sum_R \chi_1(R)\chi_3(R) = [1][2] + 2[1][\chi_3(C_3)] + 3[1][\chi_3(\sigma_v)] = 0$$

$$\sum_R \chi_2(R)\chi_3(R) = [1][2] + 2[1][\chi_3(C_3)] + 3[-1][\chi_3(\sigma_v)] = 0$$

وبحل هذه المعادلات ، نحصل على :

$$\begin{array}{r} 2\chi_3(C_3) + 3\chi_3(\sigma_v) = -2 \\ -[2\chi_3(C_3) - 3\chi_3(\sigma_v) = -2] \\ \hline 6\chi_3(\sigma_v) = 0 \\ \chi_3(\sigma_v) = 0 \end{array}$$

and

$$\begin{array}{r} 2\chi_3(C_3) + 3(0) = -2 \\ \chi_3(C_3) = -1 \end{array}$$

وهكذا ، يكون التجمع الكامل من الخاصيات للتمثيلات غير المختزلة كالآتي :

	$E$	$2C_3$	$3\sigma_v$
$\Gamma_1$	1	1	1
$\Gamma_2$	1	1	-1
$\Gamma_3$	2	-1	0

قد يلاحظ ان  $\Gamma_3$  مايزال يحتاج الى تدقيق : ينبغي ان يكون مربع طول الموجه الذي يعرفه مساويا الى  $h$  ( القاعدة الثانية ) ، ويتضح ان ذلك صحيح :

$$2^2 + 2(-1)^2 + 3(0)^2 = 6$$

تستنتج هذه الفقرة من اشتقاق العلاقة بين اي تمثيل مختزل للمجموعة والتمثيلات غير المختزلة لتلك المجموعة . وبدلالة التطبيق العملي لنظرية المجموعة على المسائل الجزئية ، تعد هذه العلاقة ذات اهمية رئيسة . عرفنا سابقا ، لاي تمثيل مختزل . يمكن ايجاد بعض التحول المتشابه الذي يختزل كل مصفوفة الى شكل يتكون من مجمعات على طول الخط القطري تعود كل منها الى تمثيل غير مختزل للمجموعة . وعرفنا ايضا ان خاصية المصفوفة لا تتغير بأي تحول متشابه . وهكذا ، يمكن ان نكتب

$$\chi(R) = \sum_j a_j \chi_j(R) \quad (4.3-10)$$

اذ تمثل  $\chi(R)$  خاصية المصفوفة المطابقة للعملية  $R$  في التمثيل المختزل . وتمثل  $a_j$  عدد المرات التي يظهر فيها مجمع التمثيل غير المختزل للتسلسل  $j$  على طول الخط القطري عندما يختزل التمثيل المختزل كليا بالتحول المتشابه الضروري . والان ليس ثم داع للقلق حول السؤال الصعب عن كيفية ايجاد المصفوفات التي تحتاج الى اختزال تمثيلها المختزل كليا لايجاد قيم  $a_j$  . يمكن الحصول على العلاقة اللازمة للاشتغال

4.3-10 بالخاصيات لجميع التمثيلات بالطريقة الآتية : نضرب كل جهة من المعادلة بالحد  $\chi_i(R)$  ومن ثم تجمع كل جهة لجميع العمليات .

$$\begin{aligned}\sum_R \chi(R) \chi_i(R) &= \sum_R \sum_j a_j \chi_j(R) \chi_i(R) \\ &= \sum_j \sum_R a_j \chi_j(R) \chi_i(R)\end{aligned}$$

والان لكل من الحدود في المجموع  $j$  ، نحصل من المعادلة 4.3-8 على :

$$\sum_R a_j \chi_j(R) \chi_i(R) = a_j \sum_R \chi_j(R) \chi_i(R) = a_j h \delta_{ij}$$

ولما كانت التجمعات من الخاصيات  $\chi_i(R)$  و  $\chi_j(R)$  تحدد الموجهات المتعامدة ، تساوت مربعات اطوالها الى  $h$  . وهكذا ، بالجمع لجميع قيم  $j$  ، يمكن ان يبقى المجموع لقيم  $R$  حيث  $i=j$  ، وفي هذه الحالة نحصل على :

$$\sum_R \chi(R) \chi_i(R) = h a_i$$

التي يعاد ترتيبها لتكون

$$a_i = \frac{1}{h} \sum_R \chi(R) \chi_i(R) \quad (4.3-11)$$

وهكذا ، يمكن بسهولة ايجاد عدد مرات حدوث التمثيل غير المختزل للتسلسل  $i$  في التمثيل المختزل عند معرفة خاصيات كل تمثيل .

لنأخذ احد الامثلة ، نبين في ادناه خاصيات التمثيلات غير المختزلة ،  $\Gamma_1, \Gamma_2, \Gamma_3$  لمجموعة  $C_{3v}$  وخاصيات تمثيلين مختزلين ،  $\Gamma_a$  و  $\Gamma_b$  .

$C_{3v}$	$E$	$2C_3$	$3\sigma_v$
$\Gamma_1$	1	1	1
$\Gamma_2$	1	1	-1
$\Gamma_3$	2	-1	0
$\Gamma_a$	5	2	-1
$\Gamma_b$	7	1	-3

وباستخدام المعادلة 4.3-11 ، نجد للتمثيل  $\Gamma_a$  :

$$\begin{aligned}a_1 &= \frac{1}{6} [I(1)(5) + 2(1)(2) + 3(1)(-1)] = 1 \\ a_2 &= \frac{1}{6} [I(1)(5) + 2(1)(2) + 3(-1)(-1)] = 2 \\ a_3 &= \frac{1}{6} [I(2)(5) + 2(-1)(2) + 3(0)(-1)] = 1\end{aligned}$$

وللتمثيل  $\Gamma_b$  :

$$a_1 = \frac{1}{6}[I(1)(7) + 2(1)(1) + 3(1)(-3)] = 0$$

$$a_2 = \frac{1}{6}[I(1)(7) + 2(1)(1) + 3(-1)(-3)] = 3$$

$$a_3 = \frac{1}{6}[I(2)(7) + 2(-1)(1) + 3(0)(-3)] = 2$$

تمثل الاعداد خارج الاقواس اعداد العناصر في كل صنف . تعد النتائج التي تم الحصول عليها في اعلاه محققة لمعادلة 4.3-10 كما يجب ان تكون . وللتمثيل  $\Gamma_a$  ، نحصل على

	E	$2C_3$	$3\sigma_v$
$\Gamma_1$	1	1	1
$\Gamma_2$	1	1	-1
$\Gamma_2$	1	1	-1
$\Gamma_3$	2	-1	0
$\Gamma_a$	5	2	-1

and for  $\Gamma_b$

	E	$2C_3$	$3\sigma_v$
$\Gamma_2$	1	1	-1
$\Gamma_2$	1	1	-1
$\Gamma_2$	1	1	-1
$\Gamma_3$	2	-1	0
$\Gamma_3$	2	-1	0
$\Gamma_b$	7	1	-3

وفي الحالات البسيطة ، قد يختزل غالبا التمثيل المختزل بسرعة كبيرة باستعمال المعادلة 4.3-10 ، اي ، بالبحث عن صفوف الخاصيات التي تضاف الى المجموع الصحيح في كل عمود . وللحالات الاكثر تعقيدا ، يفضل عادة استعمال المعادلة 4.3-11 ، ونهيء المعادلة 4.3-10 تدقيقا جيدا للنتائج .

#### 4.4 جداول الخاصية Character Tables

من خلال جميع التطبيقات الاربعة لنظرية المجموعة والتماثل الجزئي سيستفاد من ترتيبات مستنبطة تسمى جداول الخاصية . ومن المحتمل جدا مصادفة تجمع من هذه الجداول لكل مجاميع التماثل بين الجزئيات الحقيقية المبينة في الملحق IIIA . سنوضح في هذه الفقرة المعنى والاشارة الى مصدر المعلومات المعطاة في هذه الجداول . لهذا

الغرض سنختبر بالتفصيل مثالا لجدول الخاصية ، احد الجداول لمجموعة  $C_{3v}$  ، وهو مبين في ادناه . وقد تم اعطاء الارقام اللاتينية للمناطق الاربعة \* الرئيسة في الجدول كمرجع للشرح الاتي :

$C_{3v}$	$E$	$2C_3$	$3\sigma_v$		
$A_1$	1	1	1	$z$	$x^2+y^2, z^2$
$A_2$	1	1	-1	$R_z$	
$E$	2	-1	0	$(x, y)(R_x, R_y)$	$(x^2-y^2, xy)(xz, yz)$
II	I	III	IV		

توجد في الصف الاعلى هذه المداخل : في الزاوية اعلى اليسار رمز Schoenflies للمجموعة . بعد ذلك ، توجد على طول الصف العلوي من الجسم الرئيسي للجدول عناصر المجموعة ، مجمعة في اصناف ، والترقيم هو النوع الموضح في الفقرة 3.15 . المنطقة I . توجد في المنطقة I من الجدول خاصيات التمثيلات غير المختزلة للمجموعة وقد شرحنا ذلك بصورة كاملة في الفقرات السابقة من هذا الفصل ولا تحتاج الى اية ملاحظات اضافية ، هنا

المنطقة II . لقد اشرنا سابقا الى التمثيل للتسلسل  $i$  او التجمع من الخاصيات بالرمز  $\Gamma_i$  بطريقة اختيارية . ومع ان ذلك ما يزال يلاحظ في بعض المحلات وهوشائع في المراجع الاقدم ، لكن معظم الكتب والبحوث - في الحقيقة ، جميع المؤلفين الناطقين بالانكليزية - تستعمل في الوقت الحاضر الرموز الموجودة في الجدول  $C_{3v}$  في اعلاه وجميع الجداول في الملحق III . لقد افترض R. S. Mulliken هذه التسمية وتسمى الرموز اعتياديا برموز مليكان ، ويعطى معناها كالآتي :

1. يرمز الى جميع التمثيلات احادية البعد بالحرف  $A$  او  $E$  ، والتمثيلات ثنائية البعد  $E$  ، والعينات ثلاثية البعد  $T$  ( او  $F$  في بعض الاحيان ) .

2. يرمز للتمثيلات احادية البعد التي تكون متماثلة بالنسبة للدوران بمقدار  $2\pi/n$  حول المحور الاساس  $C_n$  [ يعني الاصلاح تماثل :  $\chi(C_n) = 1$  ] بالحرف  $A$  في حين يرمز للتمثيلات مضادة التماثل  $[ \chi(C_n) = -1 ]$  بالحرف  $B$  .

3. ترتبط الاعداد السفلية 1 و 2 بالرمزين  $A$  و  $B$  فتشير ، على التوالي ، الى

في بعض الكتب تدمج المنطقة III and IV

التمثيلات المتماثلة ومضادة التماثل بالنسبة الى  $C_2$  العمودي على المحور الاساس او اذا لم يوجد مثل المحور  $C_2$  ، فانها تشير الى مستوي تماثل عمودي .  
4. ترتبط الشوايح primes والشوايح المزدوجة بجميع الحروف ، عند الضرورة ، حيث تشير ، على التوالي ، الى التماثل ومضادة التماثل بالنسبة الى  $\sigma_h$  .

5. في المجاميع ذات مراكز الانقلاب ، يرتبط الرمز السفلي  $g$  ( من الكلمة الالمانية  $gerade$  التي يراد بها زوجي ) برموز التمثيلات التي تكون متماثلة بالنسبة للانقلاب ويستعمل الرمز السفلي  $u$  ( من الكلمة الالمانية  $ungerade$  التي يراد بها غير زوجي ) للتمثيلات التي تكون مضادة التماثل بالنسبة للانقلاب .

كذلك ، تتبع استعمال الرموز السفلية لكل من  $o$  و قواعد معينة ، لكن هذه الرموز لا يمكن تعيينها بدقة بدون بعض التطوير الرياضي . ومن المقنع هنا اعتبارها عناوين اختيارية . المنطقة . نجد دائماً في المنطقة ستة رموز  $x, y, z, R_x, R_y, R_z$  . تمثل الثلاثة الاولى الاحداثيات  $x, y, z$  في حين تشير رموز  $R$  للدورانات حول المحاور المعنية بالرموز السفلية . سنبين الآن بطريقة توضيحية ، لكنها غير كاملة ، لماذا نعين هذه الرموز بالنسبة لبعض التمثيلات في مجموعة  $C_{3v}$  ، ويكون ذلك كافياً ليشير الى الاساس في التعيينات للمجاميع الاخرى .

قد يعمل اي من تجمع الدوال الجبرية او الموجهات بشكل قاعدة لتمثيل المجموعة . ولأجل استعمالها قاعدة ، توخذ بنظر الاعتبار بانها مكونات الوجه ومن ثم تستنتج المصفوفات التي تبين كيفية تحول ذلك الوجه بواسطة كل عملية تماثل ، وطبيعياً : تكون المصفوفات الناتجة تمثيل المجموعة . استعمالنا سابقا الاحداثيات  $x, y, z$  قاعدة لتمثيلات مجاميع  $C_{2v}$  ( فقرة 4.2 ) و  $T$  ( فقرة 4.1 ) ، في هذه الحالة تصبح من السهل ملاحظة ان مصفوفات العملية الواحدة في كل ثلاثة اصناف ، كالآتي :

$$\begin{array}{ccc} E: & C_3: & \sigma_v: \\ \begin{bmatrix} 1 & 0 & 0 \\ 0 & 1 & 0 \\ 0 & 0 & 1 \end{bmatrix} & \begin{bmatrix} \cos 2\pi/3 & -\sin 2\pi/3 & 0 \\ \sin 2\pi/3 & \cos 2\pi/3 & 0 \\ 0 & 0 & 1 \end{bmatrix} & \begin{bmatrix} 1 & 0 & 0 \\ 0 & -1 & 0 \\ 0 & 0 & 1 \end{bmatrix} \end{array}$$

والان ، الشيء الاول الذي يمكن ملاحظته حول هذه المصفوفات هو انه لا يمتزج مطلقاً  $z$  مع  $x$  او  $y$  ، اي ان  $z'$  هو دائماً دالة  $z$  فقط ، ولهذا ، يكون



$z$  بنفسه تمثيلاً مستقلاً للمجموعة . ومن ناحية أخرى ، يمزج  $x$  و  $y$  ليعطي  $x'$  و  $y'$  اللذان يكونان تمثيلاً بصورة متحدة . وهذا يكافئ ملاحظة كون المصفوفات الثلاثة جميعها بشكل معامل متجمع بالطريقة نفسها ، وخاصة ، الى المصفوفات الثانوية الآتية :

$$\begin{array}{ccc} E & C_3 & \sigma_v \\ \Gamma_{x,y} \begin{bmatrix} 1 & 0 \\ 0 & 1 \end{bmatrix} & \begin{bmatrix} \cos 2\pi/3 & -\sin 2\pi/3 \\ \sin 2\pi/3 & \cos 2\pi/3 \end{bmatrix} & \begin{bmatrix} 1 & 0 \\ 0 & -1 \end{bmatrix} \\ \Gamma_z & 1 & 1 \end{array}$$

يلاحظ ان  $\Gamma_z$  هي التمثيل غير المختزل  $A_1$  ، وهذا يعني ان الاحداثي  $z$  يكون القاعدة لتمثيل  $A_1$  ، او كما نقول ايضا ، تتحول  $z$  بشكل ( اوحسب )  $A_1$  . واذا اخترنا خاصيات  $\Gamma_{x,y}$  نجد انها تمثيل  $E$  (  $2 \cos 2\pi/3 = -1$  ) ، بحيث ان الاحداثيين  $x$  و  $y$  يتحولان سوية بشكل اربحسب هذه الناحية لان التمثيل الذي يكونان قاعدته غير مختزل .

تعد المعادلة الكاملة عن كيفية ايجاد خواص تحول الدورانات انحرافا غير ضروري عن هذا الشرح . يمكن ، في الحالات البسيطة ، الحصول على الجواب بطريقة شبه وصفية بجعل سهم منحني حول المحور يمثل الدوران . وهكذا ، يتحول مثل هذا السهم حول المحور  $z$  الى نفسه بواسطة  $E$  ، ويتحول الى نفسه بواسطة  $C_3$  وينعكس اتجاهه بواسطة  $\sigma_v$  . وهكذا ، فان القاعدة للتمثيل ذي الخاصيات  $1, 1, -1$  ولهذا يلاحظ ان  $R_z$  يتحول بشكل  $A_2$  .

المنطقة IV . يبين هذا الجزء من الجدول جميع المربعات والناتج الثنائي للاحداثيات حسب خواصها التحويلية . ومن السهل اجراء هذه النتائج باستعمال الطريقة نفسها كما للاحداثيات  $z$  و  $y$  و  $x$  ، باستثناء الزيادة العامة في العمليات الجبرية ، ولكن ذلك ليس دائما . وعلى سبيل المثال ، يجب ان يمتلك الزوج من الدوال  $xz$  و  $yz$  الخواص التحويلية نفسها كما للزوج  $x, y$  ، لان  $z$  تتحول الى نفسها تحت جميع ، العمليات التماثلية في المجموعة . وبحسب ذلك (  $xz, yz$  ) وجدت معاكسة للتمثيل  $E$  .

#### 4.5 تمثيلات المجاميع الحلقية :

كما لاحظنا سابقا ، تعد المجموعة الحلقية ( cyclic group ) هابليان ، وكل من عناصر  $h$  لها في اصناف منفصلة . لهذا ، يجب ان تمتلك  $h$  تمثيلات غير مختزلة

احادية ، وللحصول عليها هناك نسق عام قد يمكن توضيحه بصورة افضل بمثال توضيحي ، ومن الثابت ان هذا المثال قد يصبح عاماً . لناخذ بنظر الاعتبار مجموعة  $C_5$  المتكونة من العمليات التبادلية الخمس  $C_5, C_5^2, C_5^3, C_5^4, C_5^5 \equiv E$  .  
 نبحث عن تجمع من خمسة تمثيلات احادية البعد  $\Gamma^1, \Gamma^2, \Gamma^3, \Gamma^4, \Gamma^5$  ،  
 التي تكون معدلة المتعامد ( orthonormal ) من ناحية \*

$$\sum_{m=1}^{m=5} [\Gamma^p(C_n^m)][\Gamma^q(C_n^m)]^* = h \delta_{pq} \quad (4.5-1)$$

سنستعمل الدالة الأسية ( exponentials

$$e: p(2\pi ip/5) = \cos 2\pi p/5 + i \sin 2\pi p/5 \quad (4.5-2)$$

بشكل  $\Gamma^p(C_5)$  . وباستعمال  $\varepsilon^p$  كاختصار لهذه الدوال الاسية [ اي ان ،  $\varepsilon = \exp(2\pi i/5)$  ] ، نكتب العمود الاول للجدول الآتي :

	$C_5$	$C_5^2$	$C_5^3$	$C_5^4$	$C_5^5$
$\Gamma^1$	$\varepsilon$	$\varepsilon^2$	$\varepsilon^3$	$\varepsilon^4$	1
$\Gamma^2$	$\varepsilon^2$	$\varepsilon^4$	$\varepsilon$	$\varepsilon^3$	1
$\Gamma^3$	$\varepsilon^3$	$\varepsilon$	$\varepsilon^4$	$\varepsilon^2$	1
$\Gamma^4$	$\varepsilon^4$	$\varepsilon^3$	$\varepsilon^2$	$\varepsilon$	1
$\Gamma^5$	1	1	1	1	1

وتتبع الاعمدة الباقية من نواتج ضرب المجموعة . سنبين الان ان هذه التمثيلات تحقق شرط التعديل المتعامد للمعادلة ( 4.5-1 ) .

لناخذ اي تمثيلين ، مثل  $\Gamma^p$  و  $\Gamma^q$  ، اذ ان  $q - p = r$  تاخذ الجهة اليسرى من المعادلة ( 4.5-1 ) الشكل الآتي :

$$(\varepsilon^p)^* \varepsilon^{p+r} + (\varepsilon^{2p})^* \varepsilon^{2(p+r)} + (\varepsilon^{3p})^* \varepsilon^{3(p+r)} + (\varepsilon^{4p})^* \varepsilon^{4(p+r)} + (\varepsilon^{5p})^* \varepsilon^{5(p+r)} \quad (4.5-3a)$$

ويمكن اعادة كتابة هذه المعادلة بشكل :

$$(\varepsilon^p)^* \varepsilon^p \varepsilon^r + (\varepsilon^{2p})^* \varepsilon^{2p} \varepsilon^{2r} + (\varepsilon^{3p})^* \varepsilon^{3p} \varepsilon^{3r} + (\varepsilon^{4p})^* \varepsilon^{4p} \varepsilon^{4r} + (\varepsilon^{5p})^* \varepsilon^{5p} \varepsilon^{5r} \quad (4.5-3b)$$

ولما كان للدوال الاسية بصورة عامة

$$e^{ix}(e^{ix})^* = e^{ix}e^{-ix} = 1$$

وتختزل المعادلة ( 4.5-3b ) الى المجموع البسيط نسبياً :

$$\varepsilon^r + \varepsilon^{2r} + \varepsilon^{3r} + \varepsilon^{4r} + \varepsilon^{5r} \quad (4.5-3c)$$

orthonormal = orthogonal + normalized.

يتضح بعد ذلك كون التمثيلات قياسية لانه اذا كان  $\Gamma^p = \Gamma^q$   $r=0$  والمعادلة ( 4.5-3c ) هي ببساطة خمس مرات  $e^0 = 1$  ، وبالتحديد ، 5 .

اذا كان  $\Gamma^p$  و  $\Gamma^q$  مختلفين ، فان  $r$  تكون عددا يتراوح من 1 الى 4 .  
وسبب ان  $e^5 = 1$  ( انظر المعادلة 4.5-2 ) يكون مثل هذا التساوي بشكل :  
(4.5-4)  $e^8 = e^5 e^3 = e^3$

لهذا فان اي مجموع من النوع ( 4.5-3c ) يختزل الى

$$e + e^{2\pi i/5} + e^3 + e^4 + e^5 = \sum_{n=1}^{n=5} \exp(2\pi i n/5) \quad (4.5-5)$$

بسبب المتطابقات الآتية ذات المنطقة المثلثية

$$\sum_{n=1}^{n=l} \cos 2\pi n/l = 0$$

$$\sum_{n=1}^{n=l} \sin 2\pi n/l = 0$$

يتبع كون المجموع في المعادلة ( 4.5-5 ) يساوي صفراً ، وهكذا . يبرهن تعامد التمثيلات .

اذا استبدلنا الان جميع  $e^n$  ، مثل  $e^5, e^{10}, e^{15}$  وهي تساوي وحدة واحدة بالعدد 1 ، وتختزل جميع الدوال الاسية الاخرى التي تزيد عن 5 الى قيمها الاوطا كما هو مبين في المعادلة ( 4.5-4 ) . يمكن اعادة كتابة الجدول بالشكل الآتي :

	$C_5$	$C_5^2$	$C_5^3$	$C_5^4$	$C_5^5 \equiv E$
$\Gamma^1$	$e$	$e^2$	$e^3$	$e^4$	$e^5$
$\Gamma^2$	$e^2$	$e^4$	$e^6$	$e^8$	$e^{10}$
$\Gamma^3$	$e^3$	$e^6$	$e^9$	$e^{12}$	$e^{15}$
$\Gamma^4$	$e^4$	$e^8$	$e^{12}$	$e^{16}$	$e^{20}$
$\Gamma^5$	$e^5$	$e^{10}$	$e^{15}$	$e^{20}$	$e^{25}$

يبين البحث في المعادلة ( 4.5-2 ) ان اثنين من  $e^i$  اللذين تضاف دوالهما الاسية الى العدد 5 معقدان متقارنان الواحد للآخر . فمثلاً :

$$\begin{aligned} (e^4)^* &= (\cos 2\pi \frac{4}{5} + i \sin 2\pi \frac{4}{5})^* = \cos 2\pi \frac{4}{5} - i \sin 2\pi \frac{4}{5} \\ &= \cos 2\pi \frac{1}{5} + i \sin 2\pi \frac{1}{5} = e \end{aligned}$$

نعيد الان كتابة الجدول مرة اخرى باستبدال  $\varepsilon^3$  بواسطة  $(\varepsilon^2)$  و  $\varepsilon^4$  بواسطة  $\varepsilon^*$  . وكذلك اعادة ترتيب الصفوف والاعمدة لنحصل على :

NEW DESIGNATION		$E$	$C_5$	$C_5^2$	$C_5^3$	$C_5^4$	OLD DESIGNATION
$A$		1	1	1	1	1	$\Gamma^5$
$E_1$	{	1	$\varepsilon$	$\varepsilon^2$	$\varepsilon^{2*}$	$\varepsilon^*$	$\Gamma^1$
		1	$\varepsilon^*$	$\varepsilon^{2*}$	$\varepsilon^2$	$\varepsilon$	$\Gamma^4$
$E_2$	{	1	$\varepsilon^2$	$\varepsilon^*$	$\varepsilon$	$\varepsilon^{2*}$	$\Gamma^2$
		1	$\varepsilon^{2*}$	$\varepsilon$	$\varepsilon^*$	$\varepsilon^2$	$\Gamma^3$

يعد الترتيب الجديد للاعمدة كما لو وضعنا العمود  $C_5^5 \equiv E$  اولاً . ويعمل الترتيب الجديد للصفوف على وضع التمثيل المتماثل كلياً في الاعلى ، وبشار اليه  $A$  ، ومن ثم ترتبط التمثيلات الباقية بشكل ازواج بحيث تكون عناصر الصف الواحد في كل زوج معقدات متقارنة للآخرى . يجب ان يعد كل عضو في هذه الازواج بشكل تمثيل منفصل لتحقيق الاحتياجات بالنسبة لعدد وابعاد التمثيلات غير المختزلة . وعلى اية حال ، سنفصل اضافتها بالنسبة لبعض التطبيقات على المسائل الفيزيائية ، وهكذا ، نحصل على تجمع من الخصائص للتمثيل ذي البعد 2 . ونظراً لاننا نضيف دائماً معقداً الى معقده المقارن ، فان المجموعات تكون بلا تغيير اعداد حقيقية نقية . وبسبب ميزة الاضافة هذه لتعطي خاصيات مثل خاصيات التمثيل ثنائي البعد ، فان الازواج من التمثيلات يشار اليها بصورة مشتركة برمز ليكان  $E$  .

لناخذ المجموعة  $C_3$  مثالا ، جزء من جدول خاصيتها الصحيح هو :

part,

$C_3$	$E$	$C_3$	$C_3^2$	
$A$	1	1	1	
$E$	$\begin{Bmatrix} 1 & \varepsilon & \varepsilon^* \\ 1 & \varepsilon^* & \varepsilon \end{Bmatrix}$			$\varepsilon = \exp(2\pi i/3)$

وعند دمج الجزئين من التمثيل  $E$  ، نحصل على

$C_3$	$E$	$C_3$	$C_3^2$
$A$	1	1	1
$E$	2	$2 \cos 2\pi/3$	$2 \cos 2\pi/3$

ليان ان الجدول في هذا الشكل يخدم المسائل الفيزيائية . لنجري الخواص التحولية للاحداثيات  $x, y, z$  بالطريقة نفسها كما فعلنا في اعلاه للمجموعة  $C_{3v}$  نحصل هنا على المصفوفات :

$$E \quad C_3 \quad C_3^2$$

$$\begin{bmatrix} 1 & 0 & 0 \\ 0 & 1 & 0 \\ 0 & 0 & 1 \end{bmatrix} \quad \begin{bmatrix} \cos 2\pi/3 & -\sin 2\pi/3 & 0 \\ \sin 2\pi/3 & \cos 2\pi/3 & 0 \\ 0 & 0 & 1 \end{bmatrix} \quad \begin{bmatrix} \cos 4\pi/3 & -\sin 4\pi/3 & 0 \\ \sin 4\pi/3 & \cos 4\pi/3 & 0 \\ 0 & 0 & 1 \end{bmatrix}$$

مرة اخرى . نلاحظ ان هذه المصفوفات تعطي تمثيلاً مختزلاً يمكن اختزاله بالبحث الى تمثيلين لهما الخاصيات الالية :

	$E$	$C_3$	$C_3^2$
$\Gamma_z$	1	1	1
$\Gamma_{x,y}$	2	$2 \cos 2\pi/3$	$2 \cos 2\pi/3$

وهكذا . يتحول  $x$  و  $y$  بحسب  $E$  . وتحول  $z$  بحسب  $A_1$  . وهي النتائج المذكورة بالشكل الكامل للجدول الرياضي الصحيح .

## تمارين

- 4.1- باستخدام طرق المصفوفة ، هن جميع القواعد التي تعنى بالنواتج والتبادلية لعمليات التماثل المبينة في الفقرة ( 3.9 ) .
- 4.2- اشتق المصفوفات الكاملة لجميع التمثيلات في مجموعة  $C_{3v}$  . ملاحظة اكتب واختزل المصفوفات للتعبير عن تحولات النقطة العامة  $(x, y, z)$  .
- 4.3 استخدم ضرب المصفوفة لاجراء التحولات المتشابهة اللازمة لايجاد ترتيب العمليات الاثنتي عشرة في مجموعة  $T$  الى اصنافها .
- 4.4 استخدم للمجموعة  $O$  التجمعات من الدوال  $(x, y, z)$  و  $(yz, xy, xz, 2z^2 - x^2 - y^2, x^2 - y^2)$  لاجراء تمثيلات المصفوفة غير المختزلة  $T_1, T_2$  و  $E$  . على التوالي .
- 4.5- برهن ان جمع التمثيلات غير المختزلة لمجاميع هابليان يجب ان تكون احادية البعد .

4.6-جد جدول الخاصية لمجموعة  $C_4$  ، وقدمه بشكله التقليدي ، باختزال جميع الدوال الاسية الى اشكالها البسيطة .

4.7. خذ مجموعة  $D_3$  واجعل محور  $C_3$  يتطابق مع المحور  $z$  وأحد محاور  $C_2$  يتطابق مع المحور  $x$  . اكتب المصفوفات الكاملة لجميع التمثيلات غير المختزلة في هذه المجموعة ، واشتق منها جدول الخاصية .

4.8-اكتب المصفوفات التي تصف التأثير على النقطة  $(x, y, z)$  للانعكاس في المستويات العمودية التي تقع عند منتصف المسافة بين المستويين  $xz$  و  $yz$  . وبطرق المصفوفة جد اي العمليات تنتج حين تتبع كل من هذه الانعكاسات بانعكاسات في المستوي  $xy$  .

## الفصل الخامس

### نظرية المجموعة وميكانيك الكم

#### Group Theory and Quantum Mechanics

##### 5.1 الدوال الموجية قواعد للتمثيلات غير المختزلة : Wave Functions as Bases for Irreducible Representations

من المناسب ان نعطي اولاً شرحاً مختصراً للمعادلة الموجية wave equation وليس من الضروري ان يلم القاريء بمعلومات واسعة عن الميكانيك الموجي لتتبع التطور في هذا الفصل ، لكن المعلومات المعطاة هنا تعد الاساسية .. وتكون المعادلة الموجية لاي نظام فيزيائي ، كالآتي :

$$\mathcal{H}\Psi = E\Psi \quad (5.1-1)$$

يمثل  $\mathcal{H}$  هنا عامل هاملتونيان Hamiltonian operator اذ يشير الى وجوب اجراء بعض العمليات على الدالة المكتوبة الى جهة اليمين منه . وتنص المعادلة الموجية على أنه : اذا كانت الدالة هي دالة ايجن eigenfunction ، فان نتيجة اجراء العمليات المشار اليها بالرمز  $\mathcal{H}$  تكون الدالة نفسها مضروبة في ثابت يسمى قيمة ايجن eigenvalue يشار الى دوال ايجن ، تقليداً ، بالرمز  $\Psi$  ويشار الى قيمة ايجن ، التي تمثل طاقة النظام ، بالرمز  $E$

نحصل على عامل هاملتونيان بكتابة علاقة الطاقة الكلاسيكية للنظام ، الممثلة لمجموع الطاقات الكامنة والحركية للأنظمة التي تهتمنا ، ومن ثم استبدال حدود العزم بعوامل تفاضلية حسب فرضيات الميكانيك الموجي . ولانحتاج للاهتمام بهذا البناء لعامل هاملتونيان بأي تفصيل . والميزة الوحيدة التي سنستعملها للتوضيح هي تماثله بالنسبة الى تبادل الجسيمات المتشابهة في النظام والشيء الذي يستعمل لأجله . وتمثل الجزيئات في النظام الالكترونات والنوى الذرية . فاذا تبادلت جسيمتان او اكثر باجراء عملية تماثلية على النظام ، وجب الا يتغير هاملتونيان ، وتنقل عملية التماثل النظام الى

ترتيب مكافئ ، بحسب التعريف ، لا يمكن تمييزه عن الترتيب الاصلي ، ومن الواضح

بعد ذلك ان تبقى الطاقة نفسها قبل وبعد اجراء عملية التماثل . وهكذا ، نقول أن أي عاملاً تماثلياً يتبادل مع عامل هاملتونيان ، ويمكن أن نكتب

$$R\mathcal{H} = \mathcal{H}R \quad (5.1-2)$$

كذلك يتبادل عامل هاملتونيان مع أي عامل ثابت ،  $c$  . وهكذا ،

$$\mathcal{H}c\Psi = c\mathcal{H}\Psi = cE\Psi \quad (5.1-3)$$

لقد تضمن الشرح السابق ان لاية قيمة ايجن  $E_i$  دالة ايجن مناسبة واحدة  $\Psi_i$  . وهذا صحيح في الغالب ، لكن هناك ايضاً حالات عديدة حيث تعطي عدة دوال ايجن نفسها . فمثلاً :

$$\begin{aligned} \mathcal{H}\Psi_{i1} &= E_i\Psi_{i1} \\ \mathcal{H}\Psi_{i2} &= E_i\Psi_{i2} \\ &\vdots \\ \mathcal{H}\Psi_{ik} &= E_i\Psi_{ik} \end{aligned} \quad (5.1-4)$$

في مثل هذه الحالات نقول ان قيمة ايجن منحلة *degenerate* ، وفي المثال الخاص المعطى في اعلاه ، يمكن القول ان الطاقة  $E_i$  هي  $k$  مرة منحلة . والان ، في حالة قيمة ايجن المنحلة ، لا يعمل التجمع الاولي وحده من دوال ايجن على تهئية الحلول الصحيحة للدالة الموجية ، لكن أي اتحاد خطي لهذه الدوال حل يعطي قيمة ايجن نفسها ، ويمكن بيان ذلك بسهولة كالآتي :

$$\begin{aligned} \mathcal{H} \sum_j a_{ij} \Psi_{ij} &= \mathcal{H} a_{i1} \Psi_{i1} + \mathcal{H} a_{i2} \Psi_{i2} + \cdots + \mathcal{H} a_{ik} \Psi_{ik} \\ &= E_i a_{i1} \Psi_{i1} + E_i a_{i2} \Psi_{i2} + \cdots + E_i a_{ik} \Psi_{ik} \\ &= E_i \sum_j a_{ij} \Psi_{ij} \end{aligned} \quad (5.1-5)$$

يجب ان نذكر هنا ايضاً ميزة مهمة اخرى لدوال ايجن . تبني دوال ايجن بطريقة معدلة التعامد *orthonormal* ، حيث يعني ذلك ان :

$$\int \Psi_i^* \Psi_j d\tau = \delta_{ij} \quad (5.1-6)$$

ويجب ان يجرى التكامل على جميع الاحداثيات الممثلة في مجموع بالرمز  $\tau$  ، الموجود في  $\Psi$  و  $\Psi_j$  وعند التعبير عن دالة ايجن التي تعود الى قيمة ايجن  $E_i$  بشكل الاتحاد الخطي لتجمع من دوال ايجن ، نحصل من المعادلة 5.1-6 على

$$\int \Psi_i^* \Psi_i d\tau = \int \left( \sum_j a_{ij} \Psi_{ij}^* \right) \left( \sum_j a_{ij} \Psi_{ij} \right) d\tau .$$



والآن ، تختفي جميع النواتج حين  $j \neq j'$  . فثلاً :

$$\int a_{ij} \Psi_{ij}^* a_{ij'} \Psi_{ij'} d\tau = a_{ij} a_{ij'} \int \Psi_{ij}^* \Psi_{ij'} d\tau = 0$$

وبافتراض ان كل  $\Psi_{ij}$  معادلة . يبقى

$$\int \sum_j a_{ij} \Psi_{ij}^* a_{ij} \Psi_{ij} d\tau = \sum_j a_{ij}^2 = 1 \quad (5.1-7)$$

ويمكن ان نبين الآن ان دوال ايجن للجزيئة هي قواعد للتمثيلات غير المختزلة للمجموعة التماثلية التي تعود اليها الجزيئة . لنأخذ اولاً الحالة البسيطة لقيم ايجن غير المنحلة ، فاذا اخذنا المعادلة الموجية للجزيئة واجرينا عملية التماثل  $R$  على كل جهة ، حصلنا من المعادلة 5.1-1 و 5.1-2 على :

$$\mathcal{H} R \Psi_i = E_i R \Psi_i \quad (5.1-8)$$

وهكذا ، يكون  $R \Psi$  نفسه دالة ايجن . ولما كانت  $\Psi$  معادلة . وجب ان نحتاج ، لان يكون  $R \Psi$  معادلاً ايضاً ، الى

$$R \Psi_i = \pm 1 \Psi_i$$

وتطبيق كل من العمليات في المجموعة على دالة ايجن  $\Psi_i$  التي تعود الى قيمة ايجن غير المنحلة ، ينتج تمثيل المجموعة مع كل مصفوفة ،  $\Gamma_i(R)$  ، مساوياً  $\pm 1$  ونظراً لان التمثيلات احادية البعد ، فمن الواضح انها غير مختزلة .

واذا اخذنا المعادلة الموجية للحالة حين تكون  $E_i$   $k$  مرة منحلة . وجب ان نكتب ، بالتشابه مع المعادلة 5.1-8 :

$$\mathcal{H} R \Psi_{ii} = E_i R \Psi_{ii} \quad (5.1-9)$$

لكن  $R \Psi_{ii}$  هنا قد يكون اي اتحاد خطي للدالة  $\Psi_i$  ، اي ان :

$$R \Psi_{ii} = \sum_{j=1}^k r_{ji} \Psi_{ij} \quad (5.1-10)$$

ومن عملية اخرى ،  $S$  ، هناك بصورة متشابهة :

$$S \Psi_{ij} = \sum_{m=1}^k s_{mj} \Psi_{im} \quad (5.1-11)$$

ولكون  $R$  و  $S$  اعضاء في المجموعة التماثلية ، يجب ان يوجد عنصراً  $T = SR$  ويعطى تأثيره في  $\Psi_{ii}$  بالعلاقة :

$$T \Psi_{ii} = \sum_{m=1}^k t_{mi} \Psi_{im} \quad (5.1-12)$$

وعلى أية حال ، بدمج العلاقات السابقة لتأثيرات  $S$  و  $R$  المنفصلة ، نحصل على :

$$SR\psi_{il} = S \sum_{j=1}^k r_{jl} \psi_{ij} = \sum_{j=1}^k \sum_{m=1}^k s_{mj} r_{jl} \psi_{im} \quad (5.1-13)$$

وبمقارنة المعادلة 5.1-12 مع المعادلة 5.1-13 نلاحظ ان :

$$t_{ml} = \sum_{j=1}^k s_{mj} r_{jl}$$

انما هذه هي فقط العلاقة التي تعطي عناصر المصفوفة  $\mathcal{T}$  المثلة حاصل ضرب  $\mathcal{S}$  لمصفوفتين آخرين . وهكذا ، فان المصفوفات التي تصف تحولات تجمع  $k$  من دوال ايجن التي تمثل قيمة ايجن المنحلة  $k$  مرة تمثيل ذو بعد  $k$  للمجموعة . اضافة الى ذلك ، يكون هذا التمثيل غير مختزل ، اما اذا كانت مختزلة فانه يصبح بالامكان تقسيم  $k$  دوال ايجن  $\psi_{i1}, \psi_{i2}, \dots, \psi_{ik}$  ، او الاتحادات الخطية لها ، الى تجمعات ثانوية بحيث ان عمليات التماثل تنقل احد اعضاء التجمع الثانوي subsets الى اتحاد خطي من اعضاء هذا التجمع فقط . ومن بعد يمكن ان تكون قيمة ايجن لاعضاء مجموعة ثانوية واحدة مختلفة عن قيمتها لاعضاء مجموعة ثانوية اخرى ، لكن ذلك يتعارض مع الفرضية الاصلية في وجوب امتلاك جميع  $\psi_{il}$  قيمة ايجن نفسها .

ولتوضيح ذلك بالتفصيل ، نأخذ بنظر الاعتبار اوريثالات  $2p_x$  و  $2p_y$  لذرة التروجين في الامونيا التي تعود الى مجموعة  $C_{3v}$  . وتوصف اوتمثل هذه الاوريثالات بدوال ايجن الآتية :

$$p_x = R \sin \theta \cos \phi$$

$$p_y = R \sin \theta \sin \phi$$

اذ ان  $R$  يمثل ثابتاً بقدر ما يهتم عمليات التماثل ، و  $\theta$  و  $\phi$  هي الزوايا في النظام الاحداثي القطبي \* تمثل  $\theta$  زاوية مقاسة من المحور المرجع ، مثل المحور  $z$  ، الى الاسفل ، ويشير  $\phi$  الى الزاوية المقاسة عكس اتجاه عقرب الساعة من المحور  $x$  في المستوى  $xy$  . لنعمل الآن المصفوفات التي تمثل تحولات هذه الدوال بكل واحدة من عمليات التماثل في المجموعة  $C_{3v}$  . نأخذ بنظر الاعتبار ماذا يحدث للخط الذي يكون اتجاهه ثابتاً مبدئياً

بالزوايا  $\theta_1$  و  $\phi_1$  . يلاحظ أولاً أنه لا تؤثر أية عملية من العمليات في المجموعة على  $\theta$  ، وكذلك  $\theta_2$  ، وهي قيمة  $\theta$  بعد تطبيق عملية التماثل ، التي تساوي دائماً  $\theta_1$  . لذلك :

$$\sin \theta_2 = \sin \theta_1$$

وإذا ادركنا بمقدار  $2\pi/3$  حول المحور  $z$  ، حصلنا على :

$$\phi_2 = \phi_1 + 2\pi/3$$

ولهذا :

$$\begin{aligned} \cos \phi_2 &= \cos (\phi_1 + 2\pi/3) = \cos \phi_1 \cos 2\pi/3 - \sin \phi_1 \sin 2\pi/3 \\ &= -\frac{1}{2} \cos \phi_1 - (\sqrt{3}/2) \sin \phi_1 \end{aligned}$$

$$\begin{aligned} \sin \phi_2 &= \sin (\phi_1 + 2\pi/3) = \sin \phi_1 \cos 2\pi/3 + \cos \phi_1 \sin 2\pi/3 \\ &= -\frac{1}{2} \sin \phi_1 + (\sqrt{3}/2) \cos \phi_1 \end{aligned}$$

وإذا حدث الانعكاس في المستوي  $xz$  ، حصلنا على :

$$\phi_2 = -\phi_1$$

ولذلك

$$\cos \phi_2 = \cos \phi_1$$

$$\sin \phi_2 = -\sin \phi_1$$

والآن يمكن استعمال هذه المعلومات لعمل المصفوفات اللازمة .

$$Ep_x = E(R \sin \theta_1 \cos \phi_1) = R \sin \theta_2 \cos \phi_2 = R \sin \theta_1 \cos \phi_1 = p_x$$

$$Ep_y = E(R \sin \theta_1 \sin \phi_1) = R \sin \theta_2 \sin \phi_2 = R \sin \theta_1 \sin \phi_1 = p_y$$

$C_3$ :

$$\begin{aligned} C_3 p_x &= C_3(R \sin \theta_1 \cos \phi_1) = R \sin \theta_2 \cos \phi_2 \\ &= R (\sin \theta_1) (-\frac{1}{2})(\cos \phi_1 + \sqrt{3} \sin \phi_1) \\ &= -\frac{1}{2} R \sin \theta_1 \cos \phi_1 - (\sqrt{3}/2) R \sin \theta_1 \sin \phi_1 \\ &= -\frac{1}{2} p_x - (\sqrt{3}/2) p_y \end{aligned}$$

$$\begin{aligned} C_3 p_y &= C_3(R \sin \theta_1 \sin \phi_1) = R \sin \theta_2 \sin \phi_2 \\ &= R (\sin \theta_1) (-\frac{1}{2})(\sin \phi_1 - \sqrt{3} \cos \phi_1) \\ &= (\sqrt{3}/2) R \sin \theta_1 \cos \phi_1 - \frac{1}{2} R \sin \theta_1 \sin \phi_1 \\ &= (\sqrt{3}/2) p_x - \frac{1}{2} p_y \end{aligned}$$

$\sigma_v$ :

$$\sigma_v p_x = \sigma_v(R \sin \theta_1 \cos \phi_1) = R \sin \theta_2 \cos \phi_2 = R \sin \theta_1 \cos \phi_1 = p_x$$

$$\sigma_v p_y = \sigma_v(R \sin \theta_1 \sin \phi_1) = R \sin \theta_2 \sin \phi_2 = -R \sin \theta_1 \sin \phi_1 = -p_y$$

وبالتعبير عن هذه النتائج بأرقام المصفوفة . تكتب :

$$\begin{bmatrix} 1 & 0 \\ 0 & 1 \end{bmatrix} \begin{bmatrix} p_x \\ p_y \end{bmatrix} = E \begin{bmatrix} p_x \\ p_y \end{bmatrix} \quad \chi(E) = 2$$

$$\begin{bmatrix} -\frac{1}{2} & -\sqrt{3}/2 \\ \sqrt{3}/2 & -\frac{1}{2} \end{bmatrix} \begin{bmatrix} p_x \\ p_y \end{bmatrix} = C_3 \begin{bmatrix} p_x \\ p_y \end{bmatrix} \quad \chi(C_3) = -1$$

$$\begin{bmatrix} 1 & 0 \\ 0 & -1 \end{bmatrix} \begin{bmatrix} p_x \\ p_y \end{bmatrix} = \sigma_v \begin{bmatrix} p_x \\ p_y \end{bmatrix} \quad \chi(\sigma_v) = 0$$

يلاحظ ان الخاصيات هي تمثيل  $E$  لمجموعة  $C_{3v}$  . وهكذا : نلاحظ ان اوربيتالات  $p_x$  ،  $p_y$  ، بشكل زوج ، تهىء القاعدة للتمثيل  $E$  . ويلاحظ ايضاً ان الاحداثيين  $x$  و  $y$  ميبنان بشكل متحول حسب التمثيل  $E$  في جدول الخاصية لمجموعة  $C_{3v}$  . وهكذا . تتحول الدوال  $\sin \theta \cos \phi$  و  $\sin \theta \sin \phi$  بالطريقة نفسها مثل  $x$  و  $y$  . لهذا السبب يسمى اوربتال  $p$  الذي يمتلك دالة ايجن  $\sin \theta \cos \phi$  باوربتال  $p_x$  . يسمى الآخر الذي يمتلك دالة ايجن  $\sin \theta \sin \phi$  باوربتال  $p_y$  .

## 5.2. الضرب المباشر The Direct Product :

نفترض ان  $R$  هي عملية في مجموعة التماثل في الجزئية وان  $X_1, X_2, \dots, X_m$  و  $Y_1, Y_2, \dots, Y_n$  تجمعان من الدوال ( من المحتمل ان تكون دوال ايجن للمعادلة الموجية للجزئية ) التي تمثل القواعد لتمثيلات المجموعة . كما بينا سابقاً . يمكن ان نكتب :

$$RX_i = \sum_{j=1}^m x_{ji} X_j$$

$$RY_k = \sum_{l=1}^n y_{lk} Y_l$$

كذلك من الصحيح ان

$$RX_i Y_k = \sum_{j=1}^m \sum_{l=1}^n x_{ji} y_{lk} X_j Y_l = \sum_j \sum_l z_{jl,ik} X_j Y_l$$

وهكذا ، يسمى التجمع من الدوال  $X_i Y_k$  الناتج المباشر لكل من  $X_i$  و  $Y_k$  ، ويكون ايضاً القاعدة لتمثيل المجموعة . ويمثل  $z_{jl,ik}$  عناصر المصفوفة  $\mathcal{Z}$  ذات الرتبة  $(mn) \times (mn)$

والآن. هناك نظرية مهمة جداً عن خاصيات مصفوفات،  $\mathcal{L}$  للعمليات المختلفة في المجموعة :

«تكون خاصيات التمثيل للضرب المباشر مساوية الى نواتج خاصيات التمثيلات المعتمدة على التجمعات المنفردة للدوال» الاثبات . يمكن اثبات هذه النظرية بسهولة كالآتي :

$$\chi_{\mathcal{L}}(R) = \sum_{j,l} z_{jl} y_{jl} = \sum_{j=1}^m \sum_{l=1}^n x_{jj} y_{ll} = \chi_{\mathcal{L}}(R) \chi_{\mathcal{L}}(R)$$

وهكذا ، اذا اردنا معرفة خاصيات  $\chi(R)$  للتمثيل الذي يعد ضرباً مباشراً لتمثيلين آخرين مع الخاصيتين  $\chi_1(R)$  و  $\chi_2(R)$  ، ونعطي بالعلاقة الآتية :

$$\chi(R) = \chi_1(R) \chi_2(R) \quad (5.2-1)$$

لكل عملية  $R$  في المجموعة .

على سبيل المثال ، يكون الضرب المباشر لبعض التمثيلات غير المختزلة في مجموعة  $C_{4v}$  كالآتي :

$C_{4v}$	$E$	$C_2$	$2C_4$	$2\sigma_v$	$2\sigma_d$
$A_1$	1	1	1	1	1
$A_2$	1	1	1	-1	-1
$B_1$	1	1	-1	1	-1
$B_2$	1	1	-1	-1	1
$E$	2	-2	0	0	0
$A_1 A_2$	1	1	1	-1	-1
$B_1 E$	2	-2	0	0	0
$A_1 E B_2$	2	-2	0	0	0
$E^2$	4	4	0	0	0

يجب أن يكون واضحاً من ميزة المشاركة لضرب المصفوفة امكانية توسيع ما قيل بالنسبة للنواتج المباشرة لتمثيلين الى نواتج مباشرة لأي عدد من التمثيلات . وبصورة عامة ، يكون الضرب المباشر لتمثيلين مختزلين او اكثر تمثيلاً مختزلاً . فمثلاً ، تختزل تمثيلات الضرب المباشر للمجموعة المبينة في اعلاه بالطريقة الآتية :

$$\begin{aligned} A_1 A_2 &= A_2 & E^2 &= A_1 + A_2 + B_1 + B_2 \\ B_1 E &= E \\ A_1 E B_2 &= E \end{aligned}$$

سنوضح الآن أهمية النواتج المباشرة لحل مسائل الفيزياء الجزئية . حين يوجد تكامل لنواتج دالتين ، مثل ،

$$\int f_A f_B d\tau$$

فإن قيمة هذا التكامل تساوي صفراً ما لم تكن المتكاملات لا تتغير تحت جميع عمليات المجموعة التماثلية التي تعود إليها الجزئية أو ما لم تبقى بعض حدوده ، إذا أمكن التعبير عنه على شكل مجموعة حدود ، بدون تغيير . يعد هذا التعميم للحالة المألوفة التي تكون فيها المتكاملات دالة لمغير واحد فقط . وفي تلك الحالة ، إذا كان  $y = f(x)$  ، فإن التكامل

$$\int_{-\infty}^{\infty} y dx$$

يساوي صفراً إذا كانت  $y$  دالة فردية ، أي أنه ، إذا كان  $f(x) = -f(-x)$  . في هذه الحالة البسيطة نقول إن  $y$  لا تبقى بدون تغيير بالنسبة لعملية انعكاس جميع النقاط في الربعين الثاني والثالث إلى الربعين الأول والرابع ، والعكس صحيح .

والآن ، عندما نقول إن المتكاملات  $f_A f_B$  لا تتغير بالنسبة لجميع العمليات التماثلية ، يعني ذلك أنه يكون القاعدة للتمثيل المتماثل كلياً في المجموعة ، أو إذا كانت بعض الحدود في الشكل الموسع للمتكاملات  $f_A f_B$  لا تتغير ، فإن تلك الحدود تكون القاعدة للتمثيل المتماثل كلياً . ولكن مما ذكرنا في أعلاه ، نعرف كيفية إيجاد التمثيلات غير المختزلة التي تحدث في التمثيل  $\Gamma_{AB}$  الذي يكون له  $f_A f_B$  القاعدة إذا عرفنا التمثيلات غير المختزلة التي يكون لها  $f_A$  و  $f_B$  القواعد بصورة منفصلة . بصورة عامة :

$$\Gamma_{AB} = \text{مجموع التمثيلات غير المختزلة} .$$

إذا وجد أحد التمثيلات غير المختزلة في المجموع الذي هو متماثل كلياً فإن التكامل يأخذ قيمة غير الصفر . هناك نظرية تهتم فيما إذا كان التمثيل المتماثل كلياً موجوداً في هذا المجموع :

« يحتوي تمثيل الضرب المباشر ،  $\Gamma_{AB}$  ، على التمثيل المتماثل كلياً إذا كان  $\Gamma_A$  غير المختزل  $\Gamma_B$  » غير المختزل .

الاثبات . تدل المعادلة 4.3-11 على أن عدد المرات  $a_i$  للتمثيل غير المختزل

في التسلسل  $\Gamma_i$  التي تحدث في التمثيل المختزل ، مثل  $\Gamma_{AB}$  ، تعطى بالعلاقة الآتية :

$$a_i = \frac{1}{h} \sum_R \chi_{AB}(R) \chi_i(R) \quad (5.2-2)$$

إذا كان  $a_1$  و  $\chi_i$  يشيران للتمثيل المتماثل كلياً ، الذي يكون له جميع  $\chi_1(R)$  ، نحصل على :

$$a_1 = \frac{1}{h} \sum_R \chi_{AB}(R)$$

لكن من المعادلة 5.2-1

$$\chi_{AB}(R) = \chi_A(R) \chi_B(R)$$

لذلك

$$a_1 = \frac{1}{h} \sum_R \chi_A(R) \chi_B(R) \quad (5.2-3)$$

وحسب مميزات خاصيات التمثيلات غير المختزلة بشكل مكونات الموجهات ( المعادلة 4.3-8 نحصل على :

$$a_1 = \delta_{AB} \quad \text{Q.E.D.}$$

كذلك يلاحظ أنه إذا وجدت  $\Gamma_i$  فإنها تحدث مرة واحدة . ومن السهل جداً تدقيق هذه النظرية باستخدام جداول الخاصيات في الملحق III ، ومن المحتمل أن يساعد ذلك على تطور الألفة للتعامل اليدوي مع الضرب المباشر .

من الشرح السابق لنواتج التكاملات لدالتين ، من السهل اشتقاق بعض القواعد المهمة بالنسبة للتكاملات integrands التي تمثل نواتج ثلاث أو أربع أو أكثر من الدوال . وتعد حالة الضرب الثلاثي ذات أهمية خاصة . ولغرض أن يكون التكامل

$$\int f_A f_B f_C d\tau$$

لا يساوي صفراً ، يجب أن يكون او يحتوي الضرب المباشر للتمثيلات  $f_A, f_B$  و  $f_C$  على التمثيل المتماثل كلياً . ويمكن أن يحدث ذلك إذا كان او احتوى تمثيل الضرب المباشر لدالتين على التمثيل نفسه كما هو معطى بالدالة الثالثة التي تتبع مباشرة من النظرية في اعلاه . وتنطبق هذه النتيجة بصورة رئيسة عند التعامل مع عناصر المصفوفة من النوع

$$\int \psi_i P \psi_j d\tau \quad (5.2-4)$$

اذ ان  $\psi_i, \psi_j$  دوال موجية و  $P$  عامل ما لميكانيك الكم .

### 5.3. تشخيص عناصر المصفوفة غير المساوية للصفر :

تحدث التكاملات من النوع العام 5.2-4 غالباً في مسائل ميكانيك الكم . ويرمز لها في الغالب بعناصر المصفوفة لأنها توجد بهذا الشكل في المعادلات الزمنية . secular equations التي تهىء أفضل طريقة لصيغة المسألة . ( انظر الفصل

السابع والعاشر لأمثلة المعادلات الزمنية ) . ولإعطاء النتائج التي قدمت في الفقرة 5.2 معنى قوياً . سنشرح هنا مثالين شائعين من نوع عنصر المصفوفة المبين في 5.2-4

#### عناصر الطاقة Energy Elements

إذا أخذنا المعادلة الموجية

$$H\psi_j = E\psi_j \quad (5.3-1)$$

ويضرب جهة اليسار منها بالدالة  $\psi_i$  ويتكامل الجهتين وإعادة الترتيب قليلاً ، نحصل على :

$$\frac{\int \psi_i H\psi_j d\tau}{\int \psi_i \psi_j d\tau} = E \quad (5.3-2)$$

وهكذا ، نحصل على علاقة واضحة للطاقة ، يمكن الاعتقاد بأنها طاقة التداخل بين حالتين تم وصفهما بالدوال الموجية  $\psi_i$  و  $\psi_j$  . وإذا احتاج التكامل الموجود في مقام الجهة اليسرى من المعادلة إلى أخذ قيمة تطابق الصفر ، كانت معرفة ذلك في أقرب مرحلة ممكنة من الحسابات مفيدة بحيث لاتضيق الجهود الحسابية عليه . ويمكن الحصول على هذه المعلومات ، ببساطة ، من معرفتنا إلى التمثيلات المختزلة التي تعود لها الدوال الموجية  $\psi_i$  و  $\psi_j$  .

يلاحظ أولاً وجوب امتلاك عامل هاملتونيائي تماثل الجزئية الكامل : وهو ببساطة العامل الذي يعبر عن طاقة الجزئية ، ومن الواضح ان طاقة الجزئية لايمكن ان تتغير من حيث الإشارة او القيمة نتيجة لعملية التماثل . لذلك يعود عامل هاملتونيائي إلى التمثيل المتماثل كلياً ، ويعتمد تماثل المتكامل  $\int \psi_i H\psi_j d\tau$  كلياً على التمثيلات الموجودة في الضرب المباشر لـ  $\psi_i$  و  $\psi_j$  يمكن ان يوجد التمثيل المتماثل كلياً في تمثيل هذا الضرب المباشر فقط اذا عاد كل من  $\psi_i$  و  $\psi_j$  إلى التمثيل غير المختزل نفسه . وهكذا ، نحصل على النظرية العامة كلياً ذات الفائدة الكبيرة جداً :

« قد لا يكون تكامل الطاقة  $\int \psi_i H\psi_j d\tau$  صفراً اذا عاد كل من  $\psi_i$  و  $\psi_j$  إلى التمثيل غير المختزل نفسه لمجموعة النقطة الجزئية » .



## احتماليات الانتقال الطيفي Spectral Transition Probabilities

لعل الحالة الثانية الشائعة التي يطرح فيها السؤال البسيط نفسه . ما اذا احتاج اولم يحتاج عنصر المصفوفة الى التلاشي نسبة الى اعتبارات التماثل . بالارتباط مع قواعد

الاختيار selection rules للأنواع المختلفة من الانتقالات من احدى الحالات الثابتة stationary state للنظام الى اخرى مع اكتساب او فقدان كم من الطاقة . واذا مثلنا الاختلاف بالطاقة بين الحالات بالرموز  $E_i - E_j$  ، فان الاشعاع ذا التردد  $\nu$  ، frequency سيكزن امتصاصاً او انبعاثاً بسبب الانتقال . اذا كان مسموحاً . وشريطة وجود التردد  $\nu$  لتحقيق المعادلة :

$$h\nu = E_i - E_j$$

بصورة عامة . تعطى الشدة  $I$  للانتقال من الحالة التي تصفها  $\psi_i$  الى حالة اخرى تصفها  $\psi_j$  بالمعادلة من نوع :

$$I \propto \int \psi_i \mu \psi_j d\tau \quad (5.3-3)$$

ويمثل الرمز  $\mu$  عامل عزم الانتقال transition moment operator الذي توجد منه انواع مختلفة . مثل تلك التي تمثل تغيرات المزدوجات القطيية dipoles الكهربائية او المغناطيسية ومتعدد الاقطاب multipoles الكهربائية او المغناطيسية . او الشد الاستقطابي polarizability tensors

ويعد النوع الشائع من الانتقال . الوحيد الذي سيؤخذ بنظر الاعتبار الآن . انتقال المزدوج القطبي الكهربائي المسموح electric dipole-allowed transition

وفي هذا النوع تختلف توزيعات الشحنة في الحالتين بطريقة متماثلة مع المزدوج القطبي الكهربائي . لذلك فان مثل هذا الانتقال يمكن ان يزدوج مع الاشعة الكهرومغناطيسية electromagnetic radiation بالتداخل مع الموجه الكهربائي المتذبذب وبذلك ينقل الطاقة الى او من المجال الكهرومغناطيسي . وتبين التجربة والنظرية ، اعتيادياً ، ان هذه العملية هي التي تعطي اقوى شدة ، والقول ان الانتقال « مسموح » ، بدون اية اشارة أبعد ، يعني بوضوح « المزدوج القطبي الكهربائي المسموح » .

يأخذ عامل المزدوج القطبي الكهربائي الشكل الآتي :

$$\mu = \sum_i e_i x_i + \sum_i e_i y_i + \sum_i e_i z_i \quad (5.3-4)$$

اذ تمثل  $e_i$  شحنة الجسيمة في التسلسل  $i$  و  $x_i, y_i$  هي احداثياتها الديكارتية. وعند ادخال هذه العلاقة في المعادلة 5.3-3 نحصل على النتيجة التي من المفيد التعبير عنها بثلاث معادلات منفصلة بسبب تعامد الاحداثيات الديكارتية :

$$I_x \propto \int \psi_i x \psi_j d\tau$$

$$I_y \propto \int \psi_i y \psi_j d\tau \quad (5.3-5)$$

$$I_z \propto \int \psi_i z \psi_j d\tau$$

في هذه المعادلات حذفت الكميات غير الموجهة مثل  $e_i$  واخذ الجمع لجميع الجسيمات بنظر الاعتبار

وتعني هذه المعادلات ان الانتقال من الحالة في التسلسل  $i$  الى الحالة في التسلسل  $j$  (او العكس) قد يكتسب شدته من واحدة من طرق ثلاث ، وخاصة ، بالتداخل مع الموجه الكهربائي المتذبذب باتجاه  $x$  ،  $y$  او  $z$  . واذا كان التكامل  $\int \psi_i x \psi_j d\tau$  لا يساوي صفراً ، قلنا ان الانتقال مستقطب في اتجاه  $x$  او  $y$  - مستقطب ( polarized ) . وفي الحالات التي تمتلك تماثلاً جزيئياً عالياً بدرجة كافية . لا تكون التكاملات المشتملة على  $x$  و  $y$  مستقلة بعضها عن البعض الاخر . واذا كان كلاهما يساويان صفراً ، يقال ان الانتقال  $xy$  مستقطب . في المسائل التي تمتلك نوعاً من تماثل المكعب او التماثل الاعلى ( مجاميع النقطة  $T, T_h, T_d, O, O_h, I, I_h$  ) حيث تكون الاحداثيات الديكارتية الثلاث معاً القاعدة لبعض من التمثيل ثلاثي البعد ، ولا يوجد تأثير استقطابي . ويعمل الاشعاع بأي موجه كهربائي على تهيج الانتقال ، اذا كان مسموحاً .

وهكذا ، فان مسألة تقرير ما اذا كان الانتقال المعين من نوع مزدوج قطبي مسموح ، ونوع الاستقطاب ، يختزل اذ وجد اي منها ، الى تقرير التكاملات الثلاثة في المعادلة ( 5.3-5 ) لا يساوي صفراً . ويمكن دائماً التأكد الى اي التمثيلات تعود الاحداثيات الديكارتية بالبحث في جدول الخاصية لمجموعة النقطة الجزيئية . وحسب الدراسات في الفقرة ( 5.2 ) نحصل على القاعدة الاتية :

يكون انتقال المزدوج القطبي الكهربائي مسموحاً مع استقطاب  $x, y$ , او  $z$ , اذا كان الناتج المباشر لتمثيلات الحالتين المعينتين هو او يحتوي تمثيلاً غير مختزل يعود اليه  $x, y$ , او  $z$  على التوالي .

## تمارين

5.1 اكتب خاصيات تمثيلات الضرب المباشر الاتية ، واوجد التمثيلات غير

المختزلة التي تضمها الى مجموعة  $D_{6h}$ :  $A_{1g} \times B_{1g}$ ;  $A_{1u} \times A_{1u}$ ;  $B_{2u} \times E_{1g}$ ;  $E_{1g} \times E_{2u}$ ;  $E_{1g} \times B_{2g}$ ;  $A_{2u} \times E_{1u}$

5.2 في ايجاد قواعد الاختيار التذبذبية ( الفقرة 10.6 ) سنحتاج الى ايجاد ما

اذا كانت التكاملات من الانواع  $\int \psi_v^0 f \psi_v^1 d\tau$  لاتساوي صفراً ، اذ

تمثل الدالة  $f$  is  $x, y, z, x^2, y^2, z^2, xy, yz, zx$  او اي اتحادات

او تجمعات تحتوي عليها . كذلك تكون  $\psi_v^0$  متماثلة كلياً وقد تعود  $\psi_v^1$

الى تمثيل ما غير مختزل . شخص التمثيلات غير المختزلة التي قد تعود اليها

$\psi_v^1$  لاعطاء تكاملات لاتساوي صفراً للجزيئات ذات التماثل  $C_{4v}$  و

$D_{3d}$



## الفصل السادس

### التمائل المكيف للاتحادات الخطية ( Symmetry-adapted linear combinations )

#### 6.1 ملاحظات تمهيدية :

تقريباً، في جميع الطرق التي يطبق فيها الكيميائيون تحديدات التماثل لتساعد هم في فهم التآصر الكيميائي والديناميك الجزيئي - مثلاً ، بناء الاوربتالات المهجنة وبناء الاوربتالات الجزيئية وايجاد التجمعات الاوربتالية المناسبة تحت تأثير المجال الليكاندي وتحليل التذبذبات الجزيئية ، لتسمية المواضيع التي ستعطى بصورة مفصلة في الفصول الاخيرة من هذا الكتاب - هناك مسألة شائعة ، هي أخذ واحد او اكثر من تجمعات الدوال معدلة التعامد التي تكون اوربتالات ذرية او احداثيات داخلية في الجزيئة وعمل اتحادات خطية معدلة التعامد منها بطريقة تكون فيها الاتحادات قواعد التمثيلات غير المختزلة للمجموعة في الجزيئة .

ويتضح من محتويات الفصل الخامس سبب تفضيل مثل هذه الاتحادات . اولاً ، مثل هذه الدوال فقط يمكن ، بحد ذاتها ، ان تكون حلولاً مقبولة للمعادلة الموجية او تتحدد مباشرة لتعطي حلولاً مقبولة ، كما هو مبين في الفقرة ( 5.1 ) ثانياً ، حين تحدد الميزات التماثلية للدوال الموجية بصورة واضحة ، في كونها قواعد للتمثيلات غير المختزلة ، يمكن تطبيق نظريات الفقرة ( 5.2 ) لايجاد التكاملات وعناصر المصفوفة في المسألة التي تكون مطابقة للصفر - بدون الحسابات العددية .

وقد يسمى النوع من الدوال اللازمة بالتماثل المكيف للاتحادات الخطية ( SALC's ) . ويهدف هذا الفصل الى توضيح وتفسير طرق بناء هذه الدوال بطريقة عامة . وتكون تفصيلات التكييف للأصناف المعينة من المسائل سهلة التوضيح كلما تطلب ذلك .

#### 6.2 عوامل الاسقاط Projection Operators :

لنفترض ان هناك تجمعاً معدل التعامد من  $I_i$  من الدوال  $\phi_1^i, \phi_2^i$  ، --- ،  $\phi_{i,i}^i$  التي تكون القاعدة للتمثيل غير المختزل في التسلسل  $i$  ( ذي البعد  $I_i$  )

للمجموعة ذات الرتبة  $h$  . ويمكن ان نكتب ، حسب التعريف ، لاي عامل  $\hat{R}$  ، في المجموعة العلاقة الآتية :

$$\hat{R}\phi_i^j = \sum_s \phi_s^i \Gamma(R)_{st}^j \quad (6.2-1)$$

تضرب بعد ذلك هذه المعادلة بالحد  $[\Gamma(R)_{s't'}^j]^*$  وتجمع كل جهة لجميع العمليات في المجموعة لتعطي :

$$\sum_R [\Gamma(R)_{s't'}^j]^* \hat{R}\phi_i^j = \sum_R \sum_s \phi_s^i \Gamma(R)_{st}^j [\Gamma(R)_{s't'}^j]^* \quad (6.2-2)$$

يلاحظ ان  $\phi_s^i$  دوال غير معتمدة على  $R$  ، لذلك قد تعاد كتابة الجهة اليمنى للمعادلة 6.2-2 بالشكل الآتي :

$$\sum_s \phi_s^i \sum_R \Gamma(R)_{st}^j [\Gamma(R)_{s't'}^j]^*$$

وهكذا ، نحصل على سلسلة من حدود  $l_i$  التي يمثل كل منها  $\phi_s^i$  مضروباً بمعامل ، وكل معامل يعبر عنه بشكل مجموع النواتج لجميع عمليات  $\hat{R}$  في المجموعة . وتتحكم في هذه المعاملات نظرية التعامد ( الفقرة 4.3 ) التي تنص على أن :

$$\sum_R \Gamma(R)_{st}^i [\Gamma(R)_{s't'}^j]^* = \frac{h}{\sqrt{l_i l_j}} \delta_{ij} \delta_{ss'} \delta_{tt'}$$

وهكذا ، تمتلك جميع  $\phi_s^i$  ماعدا  $\phi_{s'}^i$  معاملات تساوي صفراً ، وحتى حين  $i = j$  و  $t = t'$  فان الحد  $\phi_{s'}^i$  يبقى . لذلك تبسط المعادلة 6.2-2 الى :

$$\sum_R [\Gamma(R)_{s't'}^j]^* \hat{R}\phi_i^j = \left( \frac{h}{l_j} \right) \phi_{s'}^i \delta_{ij} \delta_{tt'} \quad (6.2-3)$$

والآن ندخل الرمز

$$\hat{P}_{s't'}^j = \frac{l_j}{h} \sum_R [\Gamma(R)_{s't'}^j]^* \hat{R} \quad (6.2-4)$$

وباعادة كتابة المعادلة 6.2-3 بالشكل الآتي :

$$\hat{P}_{s't'}^j \phi_i^j = \phi_{s'}^i \delta_{ij} \delta_{tt'} \quad (6.2-5)$$

يسمى العامل  $\hat{P}_{s't'}^j$  عامل الاسقاط ، وقد يمكن تطبيقه على دالة اختيارية  $\phi_i^j$  ، واذا حدث ان كانت الدالة نفسها اوحد ما فيها تمثل  $\phi_{i'}^j$  ، فان النتيجة تكون غير الصفر . واذا كانت الدالة  $\phi_{i'}^j$  مكوناً للدالة الاختيارية  $\phi_s^j$  « واسقطت » منها فان الباقي يختفي ، ونحصل على :

$$\hat{P}_{s't'}^j \phi_{i'}^j = \phi_{s'}^j$$

في الحالة الخاصة المهمة جداً حيث استعملنا  $\hat{P}_{i'j'}$  ، نحصل على

$$\hat{P}_{i'j'} \phi_i^j = \phi_{i'}^{j'} \delta_{ij} \delta_{ii'} \quad (6.2-6)$$

اذ يعني ان  $\hat{P}_{i'j'}$  اسقط  $\phi_{i'}^{j'}$  خارجاً عن الدالة الاختيارية  $\phi_i^j$  ، وهكذا ، باستعمال عوامل الاسقاط  $I_j$  اعتماداً على عناصر المصفوفة القطرية  $I_j$  ، يمكن أن ينتج من دالة اختيارية ما ،  $\phi_i^j$  ، الدوال التي تكون القاعدة للتمثيل غير المختزل في التسلسل  $j$

ولتوضيح كيفية عمل المعادلة 6.2-6 ، نأخذ بنظر الاعتبار الدالة العامة ،  $z^2 + xz + yz$  ، في المجموعة  $C_{3v}$  ( التي تتشابه مع  $G_6^{(1)}$  ). سنستعمل عوامل الاسقاط للحصول من هذه الدالة الاختيارية على زوج من الدوال التي تكون القاعدة للتمثيل  $E$  ، ويعطي الجدول 6.1 مصفوفات هذا التمثيل ، وبين الجدول 6.2 كيفية تحول الدالة الاختيارية  $xz + yz + z^2$  بكل واحد من عوامل التماثل الستة في المجموعة . سنستعمل أولاً عامل الاسقاط  $\hat{P}_{11}^E$

$$\begin{aligned} \hat{P}_{11}^E (xz + yz + z^2) &= \frac{2}{6} \{ (1)(xz + yz + z^2) \\ &+ (-\frac{1}{2})[-\frac{1}{2}(1 + \sqrt{3})xz + \frac{1}{2}(\sqrt{3} - 1)yz + z^2] \\ &+ (-\frac{1}{2})[\frac{1}{2}(\sqrt{3} - 1)xz - \frac{1}{2}(1 + \sqrt{3})yz + z^2] \\ &+ (1)(xz - yz + z^2) \\ &+ (-\frac{1}{2})[-\frac{1}{2}(1 + \sqrt{3})xz + \frac{1}{2}(1 - \sqrt{3})yz + z^2] \\ &+ (-\frac{1}{2})[\frac{1}{2}(\sqrt{3} - 1)xz + \frac{1}{2}(1 + \sqrt{3})yz + z^2] \} \end{aligned}$$

والآن نجمع الحدود . تكون معاملات الحدود  $xz$  ,  $yz$  , و  $z^2$  كالآتي :

$$\begin{aligned} xz: \quad & \frac{2}{6} [1 + \frac{1}{4}(1 + \sqrt{3}) - \frac{1}{4}(\sqrt{3} - 1) + 1 + \frac{1}{4}(1 + \sqrt{3}) - \frac{1}{4}(\sqrt{3} - 1)] \\ &= \frac{2}{6} [1 + \frac{1}{4} + \frac{1}{4} + 1 + \frac{1}{4} + \frac{1}{4} + \sqrt{3}(\frac{1}{4} - \frac{1}{4} + \frac{1}{4} - \frac{1}{4})] \\ &= \frac{2}{6} (3 + 0) = 1 \end{aligned}$$

$$\begin{aligned} yz: \quad & \frac{2}{6} [1 - \frac{1}{4}(\sqrt{3} - 1) + \frac{1}{4}(1 + \sqrt{3}) - 1 - \frac{1}{4}(1 - \sqrt{3}) - \frac{1}{4}(1 + \sqrt{3})] \\ &= \frac{2}{6} [1 + \frac{1}{4} + \frac{1}{4} - 1 - \frac{1}{4} - \frac{1}{4} + \sqrt{3}(-\frac{1}{4} + \frac{1}{4} + \frac{1}{4} - \frac{1}{4})] \\ &= \frac{2}{6} (0) = 0 \end{aligned}$$

$$z^2: \quad \frac{2}{6} (1 - \frac{1}{2} - \frac{1}{2} + 1 - \frac{1}{2} - \frac{1}{2}) = \frac{2}{6} (0) = 0$$

بعد ذلك نستعمل عامل الاسقاط ،  $\hat{P}_{22}^E$  .

$$\begin{aligned}\hat{P}_{22}^E (xz + yz + z^2) &= \frac{2}{6} \{ (1)(xz + yz + z^2) \\ &+ (-\frac{1}{2})[-\frac{1}{2}(1 + \sqrt{3})xz + \frac{1}{2}(\sqrt{3} - 1)yz + z^2] \\ &+ (-\frac{1}{2})[\frac{1}{2}(\sqrt{3} - 1)xz - \frac{1}{2}(1 + \sqrt{3})yz + z^2] \\ &+ (-1)(xz - yz + z^2) \\ &+ (\frac{1}{2})[-\frac{1}{2}(1 + \sqrt{3})xz + \frac{1}{2}(1 - \sqrt{3})yz + z^2] \\ &+ (\frac{1}{2})[\frac{1}{2}(\sqrt{3} - 1)xz + \frac{1}{2}(1 + \sqrt{3})yz + z^2] \}\end{aligned}$$

مرة اخرى ، نجمع الحدود ونحسب المعاملات ، ونحصل على

$$\begin{aligned}xz: \quad &\frac{2}{6}[1 + \frac{1}{4}(1 + \sqrt{3}) - \frac{1}{4}(\sqrt{3} - 1) - 1 - \frac{1}{4}(1 + \sqrt{3}) + \frac{1}{4}(\sqrt{3} - 1)] \\ &= \frac{2}{6}[1 + \frac{1}{4} + \frac{1}{4} - 1 - \frac{1}{4} - \frac{1}{4} + \sqrt{3}(\frac{1}{4} - \frac{1}{4} - \frac{1}{4} + \frac{1}{4})] \\ &= \frac{2}{6}(0) = 0\end{aligned}$$

$$\begin{aligned}yz: \quad &\frac{2}{6}[1 - \frac{1}{4}(\sqrt{3} - 1) + \frac{1}{4}(1 + \sqrt{3}) + 1 + \frac{1}{4}(1 - \sqrt{3}) + \frac{1}{4}(1 + \sqrt{3})] \\ &= \frac{2}{6}[1 + \frac{1}{4} + \frac{1}{4} + 1 + \frac{1}{4} + \frac{1}{4} + \sqrt{3}(-\frac{1}{4} + \frac{1}{4} - \frac{1}{4} + \frac{1}{4})] \\ &= \frac{2}{6}(3) = 1\end{aligned}$$

$$z^2: \quad \frac{2}{6}(1 - \frac{1}{2} - \frac{1}{2} - 1 + \frac{1}{2} + \frac{1}{2}) = \frac{2}{6}(0) = 0$$

وهكذا ، اسقطنا خارجاً من الدالة  $xz + yz + z^2$  الدالتين  $xz$  و  $yz$  اللتين تكونان القاعدة للتمثيل  $E$  . وقد اختفى المكون  $z^2$  وهو لا يتمكن ، كلياً او جزئياً من ، الاسهام بتجمع القاعدة للتمثيل  $E$  .

يتضح من الشرح السابق انه لغرض استعمال النوع الذي تم تطويره من عامل الاسقاط ، يجب ان نعرف العناصر القطرية المنفردة في المصفوفات . يعد ذلك مناسباً لان المعلومات الوحيدة التي يمكن الحصول عليها بسهولة هي التجمع من الخاصيات - مجموع جميع عناصر المصفوفة القطرية - لكل مصفوفة من التمثيل الذي نبحث عنه . يعد ذلك ، للتمثيلات احادية البعد ، تمييزاً بدون اختلاف ، لكن للحالات ثنائية وثلاثية البعد من المفيد الحصول على عامل اسقاط يستعمل الخاصيات . ليس من الصعب اشتقاق العامل المرغوب ، ابتداءً بالعلاقة الصريحة للحد  $\hat{P}_{i' i}^j$  :

$$\hat{P}_{i' i}^j = \frac{1}{h} \sum_R [\Gamma(R)_{i' i}^j]^* \hat{R} \quad (6.2-7)$$

اذ جمعنا كل جهة لجميع قيم  $i'$  حصلنا على :



$$\begin{aligned}
\hat{P}^j &= \sum_{i'} \hat{P}_{i' i'}^j = \frac{I_j}{h} \sum_{i'} \sum_R [\Gamma(R)_{i' i'}^j]^* \hat{R} \\
&= \frac{I_j}{h} \sum_R \left( \sum_{i'} [\Gamma(R)_{i' i'}^j]^* \right) \hat{R} \\
\hat{P}^j &= \frac{I_j}{h} \sum_R \chi(R)^j \hat{R} \quad (6.2-8)
\end{aligned}$$

في هذا التطوير استعملنا قابلية التبادل لغرض الجمع وتعريف خاصية المصفوفة .

الجدول 6.1 مصفوفات التمثيل للمجموعة  $C_3$ .

OPERATION	MATRIX
$E$	$\begin{bmatrix} 1 & 0 \\ 0 & 1 \end{bmatrix}$
$C_3$	$\begin{bmatrix} -\frac{1}{2} & \frac{\sqrt{3}}{2} \\ -\frac{\sqrt{3}}{2} & -\frac{1}{2} \end{bmatrix}$
$C_3^2$	$\begin{bmatrix} -\frac{1}{2} & -\frac{\sqrt{3}}{2} \\ \frac{\sqrt{3}}{2} & -\frac{1}{2} \end{bmatrix}$
$\sigma_v(xz)$	$\begin{bmatrix} 1 & 0 \\ 0 & -1 \end{bmatrix}$
$\sigma_v'$	$\begin{bmatrix} -\frac{1}{2} & \frac{\sqrt{3}}{2} \\ \frac{\sqrt{3}}{2} & \frac{1}{2} \end{bmatrix}$
$\sigma_v''$	$\begin{bmatrix} -\frac{1}{2} & -\frac{\sqrt{3}}{2} \\ -\frac{\sqrt{3}}{2} & \frac{1}{2} \end{bmatrix}$

محسب يوسف اللبيني

الجدول 6.2 تحويلات بعض الدوال البسيطة من  $z \cdot y \cdot x$

OPERATOR	FUNCTIONS		
	$x$	$y$	$z$
			$xz + yz + z^2$
$E$	$x$	$y$	$z$
$C_3$	$\frac{1}{2}(-x + \sqrt{3}y)$	$\frac{1}{2}(-y - \sqrt{3}x)$	$z$
$C_3^2$	$\frac{1}{2}(-x - \sqrt{3}y)$	$\frac{1}{2}(-y + \sqrt{3}x)$	$z$
$\sigma_v(x)$	$x$	$-y$	$z$
$\sigma_v'$	$\frac{1}{2}(-x - \sqrt{3}y)$	$\frac{1}{2}(y - \sqrt{3}x)$	$z$
$\sigma_v''$	$\frac{1}{2}(-x + \sqrt{3}y)$	$\frac{1}{2}(y + \sqrt{3}x)$	$z$

لنلاحظ الان ما يحدث عند تطبيق  $\hat{P}^E$  على  $xz + yz + z^2$

$$\begin{aligned}
 \hat{P}^E(xz + yz + z^2) &= \frac{2}{6}\{(2)(xz + yz + z^2) \\
 &\quad + (-1)[- \frac{1}{2}(1 + \sqrt{3})xz + \frac{1}{2}(\sqrt{3} - 1)yz + z^2] \\
 &\quad + (-1)[\frac{1}{2}(\sqrt{3} - 1)xz - \frac{1}{2}(1 + \sqrt{3})yz + z^2] \\
 &\quad + 0 + 0 + 0\} \\
 &= \frac{2}{6}\{[2 + \frac{1}{2}(1 + \sqrt{3}) - \frac{1}{2}(\sqrt{3} - 1)]xz \\
 &\quad + [2 - \frac{1}{2}(\sqrt{3} - 1) + \frac{1}{2}(1 + \sqrt{3})]yz \\
 &\quad + (2 - 1 - 1)z^2\} \\
 &= \frac{2}{6}(3xz + 3yz + 0z^2) \\
 &= xz + yz
 \end{aligned}$$

يلاحظ ان هذا العامل قد ابطال الجزء غير المناسب من الدالة واسقط خارجا الاتحاد الخطي

الدالتين المنفصلتين ،  $xz$  و  $yz$  ، اللتين حصلنا عليهما من تطبيق عوامل الاسقاط  $\hat{P}_{11}^E$  و  $\hat{P}_{22}^E$  ، اذ ينبغي ان لا يكون ذلك مدهشا . من الواضح انه لا يمكن الحصول على نتائج منفصلة بعامل واحد ، والابعد من ذلك ، نظرا لان العامل مشتق من اضافة العوامل المفردة ، فان مجموع النتائج المعطاة بالعوامل المفردة هو ما يجب توقعه . وهكذا لا يمكن

لعوامل الاسقاط من النوع  $\hat{P}^j$  ان تكون قوية وواضحة مثل العوامل من النوع  $\hat{P}_{ij}$  . وعلى اية حال ، تكون عادة كافية لحل المسائل العملية كما سنوضح في الفقرة التالية .

### 6.3 بعض التوضيحات :

#### اوربتالات $\pi$ لمجموعة البرونيل الحلقية :

تعد مجموعة البرونيل الحلقية cyclopropenyl  $C_3H_3$  أبسط الهيدروكربونات الحلقية الحاوية على نظام  $\pi$  غير المتمركز delocalized system ويمكن ان يعمل بشكل النموذج الاصلي لهذا الصنف من الجزيئات . لنلاحظ كيف يمكن لاوربتالات  $p\pi$  المنفردة في ذرات الكربون ان تتحد في اتحادات خطية لها المميزات التماثلية الضرورية لتكون اوربتالات  $\pi$  الجزيئية - اوفي الاقل المصادر المباشرة لاوربتالات  $\pi$  الجزيئية الحقيقية . سيشرح موضوع الاوربتالات الجزيئية بالتفصيل في الفصل الثامن ، ويحاول هذا التوضيح بيان استعمال عوامل الاسقاط في عمل SALC's للاوربتالات الذرية على الذرات المختلفة .

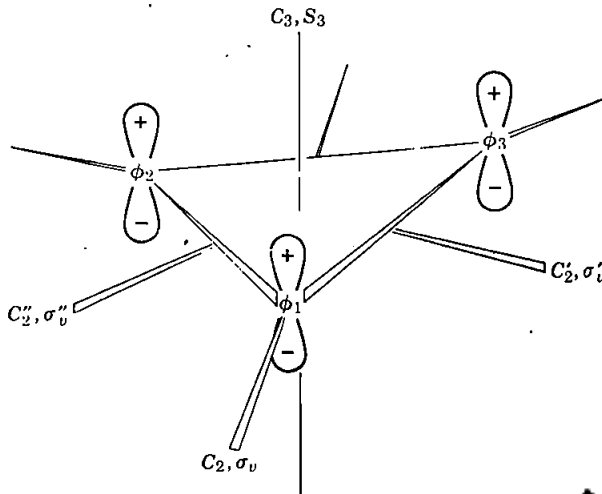
يمكن وضع الخطوات الاولى قبل SALC's ، كالآتي :

1 تشخيص مجموعة النقطة  $D_{3h}$

2 استعمال اوربتالات  $p\pi$  الثلاثة ، المبينة والمشخصة في الشكل ادناه ، قاعدة للتمثيل :

$$\begin{array}{cccccc} E & 2C_3 & 3C_2 & \sigma_h & 2S_3 & 3\sigma_v \\ 3 & 0 & -1 & -3 & 0 & 1 \end{array}$$

3 . اختزال ذلك الى مكوناته غير المختزلة :  $A_2'' + E''$



لنطبق أولاً عامل الإسقاط  $\hat{P}^{A_2''}$  على  $\phi_1$ . وهذا العامل هو ،

$$\hat{P}^{A_2''} = \frac{1}{12} \sum_R \chi(R) A_2'' \hat{R}$$

ولتظهر إشارة معقد مقارن ، لان جميع  $\chi(R)$  هي حقيقية ، وسنهمل ايضاً العامل العددي  $\frac{1}{12}$  ، لان القيم المطلقة مقارنة بالقيم النسبية للمعاملات في SALC يمكن التأكد منها فيما بعد بجعلها قياسية . ونحصل على :

$$\begin{aligned} \hat{P}^{A_2''} \phi_1 \approx & (1)\hat{E}\phi_1 + (1)\hat{C}_3\phi_1 + (1)\hat{C}_3^2\phi_1 + (-1)\hat{C}_2\phi_1 + (-1)\hat{C}_2'\phi_1 \\ & + (-1)\hat{C}_2''\phi_1 + (-1)\hat{\sigma}_h\phi_1 + (-1)\hat{S}_3\phi_1 + (-1)\hat{S}_3^5\phi_1 \\ & + (1)\hat{\sigma}_v\phi_1 + (1)\hat{\sigma}_v'\phi_1 + (1)\hat{\sigma}_v''\phi_1 \end{aligned}$$

اذ تمثل الاعداد بين الاقواس خاصيات التمثيل  $A_2''$  المأخوذة من جدول الخاصية في الملحق III . لاحظ ان كل عملية قد تمت كتابتها .

يجب الآن اجراء كل واحدة من العمليات وتكتب النتيجة . فمثلاً ، لناخذ الدوران باتجاه عقرب الساعة ، اذن نحصل على :

$$\begin{aligned} \hat{C}_3\phi_1 &= \phi_2 \\ \hat{C}_2'\phi_1 &= -\phi_3 \end{aligned}$$

وهكذا . نحصل :

$$\begin{aligned} \hat{P}^{A_2''} \phi_1 \approx & \phi_1 + \phi_2 + \phi_3 + \phi_1 + \phi_3 + \phi_2 + \phi_1 + \phi_2 + \phi_3 + \phi_1 + \phi_3 + \phi_2 \\ & = 4(\phi_1 + \phi_2 + \phi_3) \approx \phi_1 + \phi_2 + \phi_3 \end{aligned}$$

قد يتأكد القارئ ، بتطبيق عمليات المجموعة الاثني عشرة عليها ، من أن هذه الدالة تكون في الحقيقة القاعدة للتمثيل  $A_2''$

في بناء SALC's . من المعتاد تطبيق تجمع اساس معدل التعامد ومن ثم تحتاج الى جعل SALC's معدل . وللبناء الصحيح يجب أن يكون SALC's في حالة تعامد بعضها على البعض الآخر . يعني اعتدال تعامد التجمع الاساس ان الدوال الاساسية تحقق الشرط .

$$f_i f_j = \delta_{ij} \quad (6.3-1)$$

اذا كانت موجهاً ، والشرط المطابق هو

$$\int f_i f_j d\tau = \delta_{ij} \quad (6.3-2)$$

إذا كانت دوال لتجمع من الاحداثيات التي يرمز لها بصورة مشتركة بالرمز  $\tau$ .

وبافتراض ان التجمع  $\phi_1, \phi_2$  و  $\phi_3$  يحقق المعادلة 6.3-2 . يمكن أن نستمر لجعل دالة  $A_2''$  معدلة التي وجدنا شكلها قبل قليل . كما تتمثل . فهي لاعد معدلة لان

$$\begin{aligned} \int (\phi_1 + \phi_2 + \phi_3)(\phi_1 + \phi_2 + \phi_3) d\tau \\ = \int (\phi_1^2 + \phi_1\phi_2 + \phi_1\phi_3 + \phi_2\phi_1 + \phi_2^2 \\ + \phi_2\phi_3 + \phi_3\phi_1 + \phi_3\phi_2 + \phi_3^2) d\tau \\ = \int \phi_1^2 d\tau + \int \phi_1\phi_2 d\tau + \dots , \\ = 1 + 0 + 0 + 0 + 1 + 0 + 0 + 0 + 1 \\ = 3 \end{aligned}$$

ومن الواضح أنه اذا ضربنا  $A_2''$  SALC بالقيمة  $1/\sqrt{3}$  . فانها تصبح معدلة . وهكذا . تكون نتيجة  $A_2$  النهائية هي  $(1/\sqrt{3})(\phi_1 + \phi_2 + \phi_3)$  للتمثيل  $E''$  . تستعمل  $\phi_1$  مرة اخرى ، ونحصل

$$\begin{aligned} \hat{P}^{E''} \phi_1 &\approx (2)\hat{E}\phi_1 + (-1)\hat{C}_3\phi_1 + (-1)\hat{C}_3^2\phi_1 + (0)\hat{C}_2\phi_1 \\ &+ (0)\hat{C}_2'\phi_1 + (0)\hat{C}_2''\phi_1 + (-2)\hat{\sigma}_h\phi_1 + (1)\hat{S}_3\phi_1 \\ &+ (1)\hat{S}_3^5\phi_2 + (0)\hat{\sigma}_v\phi_1 + (0)\hat{\sigma}_v'\phi_1 + (0)\hat{\sigma}_v''\phi_1 \\ &= 2\phi_1 - \phi_2 - \phi_3 + 2\phi_1 - \phi_2 - \phi_3 \approx 2\phi_1 - \phi_2 - \phi_3 \end{aligned}$$

ومن السهل بيان ان الدالة المعدلة هي  $(1/\sqrt{6})(2\phi_1 - \phi_2 - \phi_3)$

هذه هي واحدة من الدالتين ، تكونان سوية القاعدة للتمثيل  $E''$  . كيف يمكن أن نجد الدالة الثانية ، شريكها ؟ هناك عدة طرق ، لكن الطريقة الآتية واضحة وسهلة التطبيق .

إذا اجرينا عملية تماثلية على احدى الدالتين ، فانها ستنتقل  $\pm 1$  مرة مضروبة بنفسها او شريكها او الاتحاد الخطي لها ولشريكها . لنختار العملية التي لاتحولها الى  $\pm 1$  مرة مضروبة بنفسها ، مثل ،  $\hat{C}_3$  :

$$\hat{C}_3 \left[ \frac{1}{\sqrt{6}} (2\phi_1 - \phi_2 - \phi_3) \right] \rightarrow \frac{1}{\sqrt{6}} (2\phi_2 - \phi_3 - \phi_1)$$

يلاحظ بسهولة بيان أن الدالة الثانية ليست  $\pm 1$  مرة الدالة الاولى ولا تكون عمودية عليها ، كما يجب أن تكون شريكها . لذلك يجب أن تكون الدالة الثانية اتحاداً خطياً للاولى ولشريكها ، ويمكن ايجاد العلاقة لشريكها بطرح مضاعف مناسب للدالة الاولى من الثانية . وتترك الشريكة بشكل الباقي .  
ومن اليسير ، بصورة وقتية ، ان يتم عمل ذلك باهمال التعديل ، مع فكرة ربطها به عند النهاية . وهكذا : نستمر كالاتي :

$$\begin{aligned} & (2\phi_2 - \phi_3 - \phi_1) - (-\frac{1}{2})(2\phi_1 - \phi_2 - \phi_3) \\ &= 2\phi_2 - \phi_3 - \phi_1 + \phi_1 - \frac{1}{2}\phi_2 - \frac{1}{2}\phi_3 \\ &= \frac{3}{2}\phi_2 - \frac{3}{2}\phi_3 \approx \phi_2 - \phi_3 \end{aligned}$$

ويمكن جعلها معدلة لتصبح  $(1/\sqrt{2})(\phi_2 - \phi_3)$  وهي عمودية على الدالة الاولى ولهذا تعد شريكة مقبولة :

$$\begin{aligned} & \int \frac{1}{\sqrt{6}}(2\phi_1 - \phi_2 - \phi_3) \frac{1}{\sqrt{2}}(\phi_2 - \phi_3) d\tau \\ &= \frac{1}{\sqrt{12}} \int (2\phi_1\phi_2 - 2\phi_1\phi_3 - \phi_2^2 + \phi_2\phi_3 - \phi_3\phi_2 + \phi_3^2) d\tau \\ &= \frac{1}{\sqrt{12}} \left( 2 \int \phi_1\phi_2 d\tau - 2 \int \phi_1\phi_3 d\tau - \int \phi_2^2 d\tau + \dots \right) \\ &= \frac{1}{\sqrt{12}} [2(0) - 2(0) - 1 + 0 - 0 + 1] = 0 \end{aligned}$$

يمكن أن يعمل القاريء على توضيح الزوج من الدالتين :

$$\frac{1}{\sqrt{6}}(2\phi_1 - \phi_2 - \phi_3), \quad \frac{1}{\sqrt{2}}(\phi_2 - \phi_3)$$

في أنها تكون القاعدة للمصفوفات من التمثيل  $E''$  ، والأبعد من ذلك أن كلاً منها عمودي على SALC ذي التماثل  $A_2''$

تعد الطريقة التي استعملناها ، بالرغم من انها روتينية وموثوق بها ، طويلة وبخاصة للتمثيل ثنائي البعد ، اذ يمكن الحصول على النتائج بعمل اقل بمعرفة أن التماثل الدوراني سلوك SALC's بالدوران حول المحور الاساس - لوحده يثبت شكلها الاساس . ويكون سلوكها تحت تأثير عمليات تماثلية اخرى ناتجاً مباشراً للتماثل الملازم لاوربتال  $p\pi$  المنفرد

تجاه هذه العمليات  $\sigma_h$  أو  $C_2$  المار خلالها، الذي يضاف للمميزات التماثلية تحت تأثير الدورانات النقية حول المحور الاساس . ويمكن ملاحظة ذلك بالبحث في جدول خاصة  $D_{3h}$  . لجميع التمثيلات من نوع  $A$ ،  $A'_1, A'_2, A''_1, A''_2$  تكون الخاصيات نفسها للعمليات  $C_3$  و  $C_3^2$ ، وبصورة متشابهة تكون تمثيلات  $E'$  و  $E''$  متطابقة خلال المجموعة الثانوية  $C_3$  والشيء الذي يقرر أننا نتعامل ، بنوع خاص ، مع  $A''_2$  و SALC's  $E''$  هو الطبيعة الملازمة للدوال الاساس لاوربتال  $p\pi$  .

اعتماداً على قوة الاعتبارات في اعلاه ، قد تستعمل طريقة تركيز الانتباه على التماثل الدوراني النقي حول المحور الاساس لبناء SALC's تستعمل مجموعة  $C_3$  لجزيئة  $C_3H_3$  ، اذ تشابه هذه المجموعة مع جميع المجاميع الدورانية احادية المحور ، من نوع هابليان . هناك ثلاث عمليات تقع في ثلاثة اصناف ، ويجب أن تمتلك ثلاثة تمثيلات ذات بُعد 1 بصورة عامة ، تمتلك مجموعة  $C_n$  عدد  $n$  من التمثيلات احادية البعد ( الفقرة 4.5 ) ، وهكذا ، فان ما سنبينه هنا لمجموعة  $C_3$  ينطبق بصورة عامة على جميع مجاميع  $C_n$  .

في المجموعة الثانوية  $C_3$  تعمل اوربتالات  $p\pi$  لجزيئة  $C_3H_3$  على توسيع تمثيلات  $E$  و  $A$  ، ويظهر الاخير في جدول الخاصية بشكل تمثيلين احادي البعد متصاحبين ،

وقد يكتب عامل الاسقاط لكل واحد من المكونات احادية البعد ، بصورة منفردة . وهكذا نتمكن من الحصول على كل من SALC's التي تعود للتمثيل  $E$  بصورة مباشرة روتينية ، بأستخدام عوامل الاسقاط . وهذه هي الفائدة من استعمال المحور الاساس ذي التماثل الدوراني . ولنعمل الان بواسطة الجبر ونلاحظ مقدار هذه الطريقة في اسراع اختبارنا لبناء

SALC's  
يعطي تطبيق عوامل الاسقاط  $p^{E(2)}, p^A, p^{E(1)}$  ، على  $\phi_1$  ( باهمال العوامل العددية الثابتة ) :

$$\hat{P}^A \phi_1 \approx (1)\hat{E}\phi_1 + (1)\hat{C}_3 \phi_1 + (1)\hat{C}_3^2 \phi_1$$

$$= (1)\phi_1 + (1)\phi_2 + (1)\phi_3$$

$$= \phi_1 + \phi_2 + \phi_3$$

$$\hat{P}^{E(i)} \phi_1 \approx (1)\hat{E}\phi_1 + (\varepsilon)\hat{C}_3 \phi_1 + (\varepsilon^*)\hat{C}_3^2 \phi_1$$

$$= \phi_1 + \varepsilon\phi_2 + \varepsilon^*\phi_3$$

$$\hat{P}^{E(2)} \phi_1 \approx (1)\hat{E}\phi_1 + (\varepsilon^*)\hat{C}_3 \phi_1 + (\varepsilon)\hat{C}_3^2 \phi_1$$

$$= \phi_1 + \varepsilon^*\phi_2 + \varepsilon\phi_3$$

تمتلك  $A$  SALC الشكل نفسه تماما كما حصلنا عليه سابقا في حالة  $A_2'$  SALC، باستعمال تماثل  $D_{3h}$  الكامل. يعد الاثنان من  $E$  SALC's كافيين لكونهما الدوال الاساس المناسبة المتعامدين الواحد على الآخر. وعلى أية حال، يفضل أخذ أشياء حقيقية بدلاً من معاملات معقدة، ويمكن أكمل هذا التغير ببساطة بسبب حقيقة ترتيب التجميعين من المعاملات على شكل أزواج من المعقدات المتقارنة (الفقرة 4.5). وهكذا. إذا أضفناهم حداً بعد حد. من الآخر، يتم الحصول على تجمع من معاملات تخيلية نقية وقد يزال العامل المشترك  $i$  ليترك تجمعا آخر من معاملات حقيقية. تعد طرق الاضافة والطرح هذه حالة لتكوين اتحادات خطية جديدة للتجمع الاولي ذلك هو المناسب والدقيق الذي ينبغي عمله. وهكذا، نضيف الاثنان من SALC اللذين تم الحصول عليهما في اعلاه:

$$\frac{(\phi_1 + \varepsilon\phi_2 + \varepsilon^*\phi_3) + (\phi_1 + \varepsilon^*\phi_2 + \varepsilon\phi_3)}{2\phi_1 + (\varepsilon + \varepsilon^*)\phi_2 + (\varepsilon + \varepsilon^*)\phi_3}$$

$$\varepsilon + \varepsilon^* = (\cos 2\pi/3 + i \sin 2\pi/3) + (\cos 2\pi/3 - i \sin 2\pi/3)$$

$$= 2 \cos 2\pi/3 = 2(-\frac{1}{2}) = -1$$

ويكون SALC الاول الجديد هو

$$2\phi_1 - \phi_2 - \phi_3$$

بعد ذلك نطرح  $E$  SALC's الاصلي ثم نقسم على:

$$\frac{(\phi_1 + \varepsilon\phi_2 + \varepsilon^*\phi_3) - (\phi_1 + \varepsilon^*\phi_2 + \varepsilon\phi_3)}{(\varepsilon - \varepsilon^*)\phi_2 - (\varepsilon - \varepsilon^*)\phi_3}$$

$$\frac{(\varepsilon - \varepsilon^*)}{i} = \frac{(\cos 2\pi/3 + i \sin 2\pi/3) - (\cos 2\pi/3 - i \sin 2\pi/3)}{i}$$

$$= (2i \sin 2\pi/3)/i$$

$$= 2 \sin 2\pi/3 = 2\left(\frac{\sqrt{3}}{2}\right) = \sqrt{3}$$

يكون SALC الثاني الجديد عموديا على الاول ولهذا فهو الشريك المناسب لتكوين القاعدة للتمثيل  $E$ ، وهكذا، يمتلك الشكل

$$\phi_2 - \phi_3$$



من الواضح انه عندما يجعل SALC's الذي حصلنا عليه بالتعديل المناسب يكون متطابقاً مع ذلك الذي حصلنا عليه باستعمال تماثل  $D_{3h}$  الكامل. يمكن تلخيص هذه الطريقة الثانية الابطسط كثيراً ، كالآتي :

1. يمكن ان يكتب التجمع الاول من SALC's بالبحث في جدول الخاصية. وكل واحد بالشكل  $a\phi_1 + b\phi_2 + c\phi_3$  ، مع معاملات هي خاصيات  $C_3$  و  $C_3^2$  و  $E$ .

2. يضاف الزوج من SALC's للتمثيل  $E$  وي طرح ( تقسم النتيجة على  $i$  ) للحصول على اثنين جديدين متعامدين من SALC's تكون جميع معاملاتهما حقيقية .

3. يجعل SALC's معدلاً .

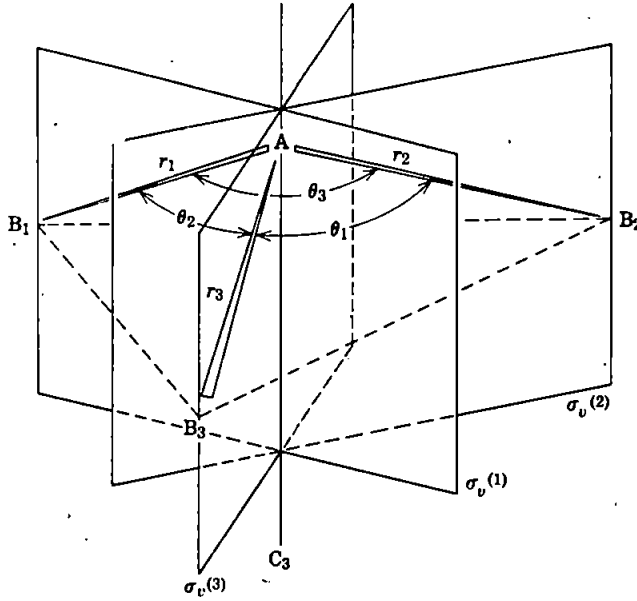
### الاحداثيات التماثلية لجزئية $AB_3$ :

وتوضيحاً آخر لطريقة بناء SALC's ، نأخذ بنظر الاعتبار المسألة التي تنتج من تحليل التذبذبات في الجزئية . وسيعامل موضوع التذبذبات الجزئية بصورة كاملة في الفصل العاشر ، حيث ستصبح النقاط المهمة للطريقة التي سنبينها الان واضحة . ويمكن ان يعد الآن توضيحاً آخر لطريقة عامل الاسقاط العامة التقنية لبناء SALC's

وبين الشكل في ادناه جزئية  $AB_3$  الهرمية التي تعود الى مجموعة النقطة  $C_{3v}$

يشخص هنا تجمعان من الاحداثيات الداخلية - اطوال الآصرة هي  $r_1, r_2, r_3$  والزوايا بين الاواصر هي  $\theta_1, \theta_2, \theta_3$  . يمكن التعبير عن التذبذبات المسموحة في الجزئية على شكل اتحادات خطية لتغيرات الاحداثيات الداخلية في الجزئية . في هذه

الحالة يجب ان يتحدد تجمع التغيرات في اطوال الآصرة ،  $\Delta r_1, \Delta r_2, \Delta r_3$  ، لتعطي SALC's المطابق مع تمثيلات  $A_1$  و  $E$  في  $C_{3v}$  ، والشئ نفسه صحيح لتجمع التغيرات في زوايا الآصرة ،  $\Delta \theta_1, \Delta \theta_2, \Delta \theta_3$  . اما سبب وجوب ان تكون تمثيلات  $A_1$  و  $E$  متناظرة فسيوضح في الفصل العاشر ؛ ونعني الآن بالسؤال عن كيفية اجراء ذلك .



كما تعاملنا في التوضيح السابق مع اوربيتالات  $\pi$  الجزيئية لجزيئة  $C_3H_3$  ،  
 يمكن ان نعمل مباشرة مع مجموعة النقطة الحقيقية للمسألة ،  $C_{3v}$  . على اية حال ،  
 للسبب السابق نفسه ، من المفيد العمل مع المميزات التماثلية الدورانية احادية المحور، اذ  
 يعني ذلك استعمال المجموعة الثانوية  $C_3$  . وتوجد في هذه المجموعة ثلاث عمليات :  
 $E, C_3$  و  $C_3^2$  . تتأثر التغيرات في الاحداثيات الداخلية بكل واحدة من هذه العمليات  
 كالآتي :

$$\begin{aligned} \hat{E}(\Delta r_1) &= \Delta r_1 & \hat{E}(\Delta \theta_1) &= \Delta \theta_1 \\ \hat{C}_3(\Delta r_1) &= \Delta r_2 & \hat{C}_3(\Delta \theta_1) &= \Delta \theta_2 \\ \hat{C}_3^2(\Delta r_1) &= \Delta r_3 & \hat{C}_3^2(\Delta \theta_1) &= \Delta \theta_3 \end{aligned}$$

$$\hat{C}_3^2(\Delta r_2) = \Delta r_1 \quad \hat{C}_3^2(\Delta \theta_2) = \Delta \theta_1$$

ويمكن تطبيق عوامل الاسقاط كالآتي :

$$\begin{aligned}
\hat{P}^A(\Delta r_1) &\approx (1)\hat{E}(\Delta r_1) + (1)\hat{C}_3(\Delta r_1) + (1)\hat{C}_3^2(\Delta r_1) \\
&= (1)\Delta r_1 + (1)\Delta r_2 + (1)\Delta r_3 \\
&= \Delta r_1 + \Delta r_2 + \Delta r_3 \\
\hat{P}^A(\Delta \theta_1) &\approx (1)\hat{E}(\Delta \theta_1) + (1)\hat{C}_3(\Delta \theta_1) + (1)\hat{C}_3^2(\Delta \theta_1) \\
&= (1)\Delta \theta_1 + (1)\Delta \theta_2 + (1)\Delta \theta_3 \\
&= \Delta \theta_1 + \Delta \theta_2 + \Delta \theta_3 \\
\hat{P}^{E(1)}(\Delta r_1) &\approx (1)\hat{E}(\Delta r_1) + \varepsilon\hat{C}_3(\Delta r_1) + \varepsilon^*\hat{C}_3^2(\Delta r_1) \\
&= \Delta r_1 + \varepsilon\Delta r_2 + \varepsilon^*\Delta r_3 \\
\hat{P}^{E(2)}(\Delta r_1) &\approx (1)\hat{E}(\Delta r_1) + (\varepsilon^*)\hat{C}_3(\Delta r_1) + (\varepsilon)\hat{C}_3^2(\Delta r_1) \\
&= \Delta r_1 + \varepsilon^*\Delta r_2 + \varepsilon\Delta r_3 \\
\hat{P}^{E(1)}(\Delta \theta_1) &= \Delta \theta_1 + \varepsilon\Delta \theta_2 + \varepsilon^*\Delta \theta_3 \\
\hat{P}^{E(2)}(\Delta \theta_1) &= \Delta \theta_1 + \varepsilon^*\Delta \theta_2 + \varepsilon\Delta \theta_3
\end{aligned}$$

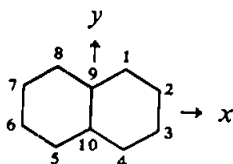
تشابه هذه النتائج مع تلك التي حصلنا عليها لاوربنتالات  $\pi$  في  $C_3H_3$  . وتعد طريقة أخذ المجموع والفرق للازواج من نوع  $E$  SALC's عملية لازالة المعاملات المعقدة او التحليلية وتجري طرق جعلها معدلة كالسابق ، لتعطي النتائج النهائية الآتية :

$$\left. \begin{aligned}
S_1 &= \frac{1}{\sqrt{3}} (\Delta r_1 + \Delta r_2 + \Delta r_3) \\
S_2 &= \frac{1}{\sqrt{3}} (\Delta \theta_1 + \Delta \theta_2 + \Delta \theta_3)
\end{aligned} \right\} A_1$$

$$\left. \begin{aligned}
S_{3a} &= \frac{1}{\sqrt{6}} (2\Delta r_1 - \Delta r_2 - \Delta r_3) \\
S_{3b} &= \frac{1}{\sqrt{2}} (\Delta r_2 - \Delta r_3) \\
S_{4a} &= \frac{1}{\sqrt{6}} (2\Delta \theta_1 - \Delta \theta_2 - \Delta \theta_3) \\
S_{4b} &= \frac{1}{\sqrt{2}} (\Delta \theta_2 - \Delta \theta_3)
\end{aligned} \right\} E$$

يستعمل الرمز  $S$  للإشارة الى هذه الاحداثيات التماثلية ، كما تسمى . ويمكن ان نبين بانها تكون القواعد لتمثيلات  $A_1$  و  $E$  ، كما تشير الرموز الى جهة اليمين ، لمجموعة النقطة  $C_{3v}$  ومع ذلك فقد تم الحصول عليها بتوضيح المجموعة الثانوية الدورانية النقية  $C_3$  .

## تمارين



- 6.1 خذ بنظر الاعتبار جزيئة النفثالين ( مجموعة النقطة  $D_{2h}$  ) .  
تمتلك كل ذرة كاربون اوربتال  $p_z$  الذي يسهم باوربتالات  $\pi$  الجزيئية في الجزيئة .  
خذ اوربتالات  $p_z$ -العشرة على شكل تجمع اساس واجب على الاسئلة الآتية :

- أ - كيف تنقسم الى تجمعات ثانوية من الاوربتالات التماثلية المتكافئة  
ب - ما التمثيلات التي تتوسع بكل واحد من التجمع الثانوي .  
ج - ما SALC's المعدلة العشرة .

- 6.2 خذ بنظر الاعتبار الجزيئة  $(C_5H_5)Fe(CO)_2-Fe(CO)_2(C_5H_5)$   
بترتيبها الدوراني المشابه للحصان الخشي "saw-horse" ( تماثل  $C_{2v}$  )  
اوجد لمسافات CO الاربع العلاقات لجعل الاحداثيات التماثلية معدلة .

متاح للتحميل ضمن مجموعة كبيرة من المطبوعات من صفحة

مكتبتي الخاصة

على موقع ارشيف الانترنت

الرابط

[https://archive.org/details/@hassan\\_ibrahem](https://archive.org/details/@hassan_ibrahem)

هنا يوسف اللبشي

## القسم الثاني

متاح للتحميل ضمن مجموعة كبيرة من المطبوعات من صفحة  
مكتبتي الخاصة  
على موقع ارشيف الانترنت  
الرابط

[https://archive.org/details/@hassan\\_ibrahem](https://archive.org/details/@hassan_ibrahem)



## الفصل السابع

النواحي التماثلية لنظرية الاوربتال الجزيئي :

### Symmetry Aspects of Molecular Orbital Theory

#### 7.1 قواعد عامة :

في نظرية آصرة التكافؤ valence bond theory ، كما طورها Slater. وبولنك Pauling وآخرون ، عدت جميع الاواصر ثنائية المركز ، اي ان الاصرة تتواجد بين ذرتين . ولم يؤخذ التداخل بين مثل هذه الاواصر الا على شكل فكرة طارئة ، اذ لم ترد طريقة من قبل لتقريب الازواج من الذرات تعتبر مرتبطة واي منها غير مرتبطة ، وتجرى عادة الاختبارات التي تساندها المعلومات الكيميائية . بدأت نظرية الاوربتال الجزيئي ، على الاقل في الاساس ، بفكرة كون جميع الاوربتالات في الجزيئة ممتدة على الجزيئة بصورة كاملة ، وهذا يعني ان الالكترونات التي تشغل هذه الاوربتالات قد تكون غير متمركزة على الجزيئة . وتفترض النظرية امكانية امتلاك واحد او اكثر من الاوربتالات الجزيئية ( molecular orbitals MO ) قيما كبيرة نوعا ما للدالة الموجية في اجزاء معينة من الجزيئة . اي ان التآصر المتمركز ( localized bonding ) حالة خاصة تغطيها نظرية الاوربتال الجزيئي بدرجة كافية ، لكن المتمركز لم يبين بشكل فرضية بدائية كما في معالجة اصرة التكافؤ .

ولكون نظرية الاوربتال الجزيئي تعالج الاوربتالات التي تكون ، بصورة عامة ، منتشرة على كل الجزيئة ، اصبحت دراسات التماثل الجزيئي مفيدة للغاية في هذه النظرية ، اذ تجعل من الممكن ايجاد المميزات التماثلية لدوال الاوربتال الجزيئي الموجية . وللدول المعروفة ، يمكن في الغالب الحصول على عدة استنتاجات مفيدة عن التآصر بدون اجراء اية حسابات كم حقيقية ، على الاطلاق ، اوبأجراء بعض الحسابات البسيطة جداً . واذا تطلبت الحالة اجراء حسابات دقيقة ، فان المميزات التماثلية للاوربتال الجزيئي تسهل كثيراً من العمل المشتملة عليه هذه الحسابات وذلك ببيان ان عدة تكاملات يجب تطابقها مع الصفر .

## تقريب LCAO :

بعد الاتحاد الخطي للاوربิทัลات الذرية (LCAO) التقريب الأكثر شيوعاً لاعطاء معلومات صريحة مختصرة عن الاوربิทัล الجزيئي . يكتب كل اوربิทัล جزيئي في شكل اتحاد خطي للاوربิทัลات الذرية على الذرات المختلفة . وبالإشارة الى الاوربิทัล  $i$  نذري في التسلسل بالرمز  $\phi_i$  والاوربิทัล الجزيئي في التسلسل  $k$  بالرمز  $\psi_k$  . يمكن ان نكتب

$$\psi_k = \sum_i c_{ik} \phi_i \quad (7.1-1)$$

تعد  $\phi_i$ 's تجمعا أساساً ، ومن المناسب اختيارها او جعلها معدلة . وتعرف هذه الخاصية المسلم بها بالمعادلة الآتية :

$$\int \phi_i \phi_i d\tau = 1 \quad (7.1-2)$$

وبأستخدام LCAO-MO's . يتم تطوير شكل معين للمعادلة الموجية . التي تسمى بالمعادلة الزمنية secular equation . بالطريقة الآتية . تكتب المعادلة الموجية بالشكل الآتي :

$$\mathcal{H}\psi - E\psi = (\mathcal{H} - E)\psi = 0 \quad (7.1-3)$$

وبأدخال علاقة LCAO للدالة  $\psi$  ، تعطي

$$\sum_i c_i (\mathcal{H} - E)\phi_i = 0 \quad (7.1-4)$$

وللتوضيح ، بدون فقدان التعميم ، من السهل استمرار التطوير الموضح لحالة الحدين LCAO-MO ، وهكذا . تأخذ المعادلة 7.1-4 الشكل الآتي :

$$c_1(\mathcal{H} - E)\phi_1 + c_2(\mathcal{H} - E)\phi_2 = 0 \quad (7.1-5)$$

تضرب الان المعادلة 7.1-5 بالحد  $\phi_1$  وتكامل الجهة اليسرى لكل الاحداثيات الفراغية للدوال الموجية :

$$c_1 \int \phi_1 (\mathcal{H} - E)\phi_1 d\tau + c_2 \int \phi_1 (\mathcal{H} - E)\phi_2 d\tau = 0 \quad (7.1-6)$$

ولتبسيط العلامات ، ندخل التعاريف الآتية :



$$H_{ii} = \int \phi_i \mathcal{H} \phi_i d\tau \quad (7.1-7)$$

$$H_{ij} = \int \phi_i \mathcal{H} \phi_j d\tau \quad (7.1-8)$$

$$S_{ij} = \int \phi_i \phi_j d\tau \quad (7.1-9)$$

يعطي التكامل  $H_{ii}$  طاقة الاوربتال الذري  $\phi_i$  ، وتعطي تكاملات  $H_{ij}$  طاقات التداخل بين ازواج الاوربتالات الذرية . ويسمى  $S_{ij}$  تكاملات التداخل ( overlap integrals ) . ولكون الطاقة  $E$  عددية

$$\int \phi_i E \phi_j d\tau = E \int \phi_i \phi_j d\tau = ES_{ij} \quad (7.1-10)$$

يمكن الآن كتابة المعادلة ( 7.1-6 ) كالآتي :

$$c_1(H_{11} - E) + c_2(H_{12} - ES_{12}) = 0 \quad (7.1-11)$$

ويمكن أيضاً ضرب المعادلة ( 7.1-5 ) بالحد  $\phi_2$  وتكامل ، لتؤدي الى :

$$c_1(H_{21} - ES_{21}) + c_2(H_{22} - E) = 0 \quad (7.1-12)$$

تكون هاتان المعادلتان نظاماً متجانساً لمعادلات خطية في  $c_1$  و  $c_2$  ولها الحلول العادية  $c_1 = c_2 = 0$  . وقد أثبت في نظرية المعادلات الخطية المتجانسة امكان وجود حلول اخرى غير عادية اذا كُوت مصفوفة معاملات  $c_1$  محددة ( determinant ) تساوي صفراً ( نظرية كرامر . Cramer's theorem ) . وهكذا ، نحصل على مايسمى بالمعادلة الزمنية :

$$\begin{vmatrix} H_{11} - E & H_{12} - ES_{12} \\ H_{21} - ES_{21} & H_{22} - E \end{vmatrix} = 0 \quad (7.1-13)$$

يمكن الحصول على القيم العددية لكل من  $H_{ii}$  و  $H_{ij}$  و  $S_{ij}$  بالتخمين أو التعيين او الحساب لمستوى معين من التقريب ، ومن ثم تُحل المعادلة الزمنية لقيم  $E$  . ويتبع من الحسابات الجبرية للمحددات ( انظر الملحق  $\pi$  ) ان محددة  $n \times n$  تعطي معادلة متعددة الحدود بالطاقة لها الرتبة  $n$  . وتعطي المعادلة ( 7.1-13 ) ، مثلاً ، المعادلة الرباعية الآتية :

$$(1 - S_{12}^2)E^2 - (H_{11} + H_{22} - 2H_{12}S_{12})E + H_{11}H_{22} - H_{12}^2 = 0 \quad (7.1-14)$$

حيث وضعت العلاقات  $S_{ij} = S_{ji}$  و  $H_{ij} = H_{ji}$  . يمكن حل هذه

المعادلة لتعطي جذرين  $E_1$  و  $E_2$  ، ويمكن ان نبين ( بواسطة النظرية التذبذبية ) أنهما يمثلان الحدود العليا لطاقات حالة الاستقرار وحالات التهيج الاولى .

واذا أدخلت قيمة  $E_1$  في المعادلتين ( 7.1-11 ) و ( 7.1-12 ) ، فقد تُحل هذه المعادلات للمعاملات  $c_{11}$  و  $c_{12}$  وتعطي دالة الاوربتال الجزيئي  $\psi_1$  التي تمتلك الطاقة  $E_1$  . بصورة متشابهة يمكن تعويض  $E_2$  للحصول على معادلتين للمعاملات  $c_{21}$  و  $c_{22}$  لتعطي دالة الاوربتال الجزيئي  $\psi_2$  التي تمتلك الطاقة  $E_2$  . وباختصار ، فان استعمال قيم التكاملات المختلفة ( التي تسمى غالباً عناصر المصفوفة ) ،  $H_{ii}$  ،  $H_{ij}$  ،  $S_{ij}$  ، يمكن حساب طاقات الاوربتالات الجزيئية حسب تقرب LCAO-MO بدون معرفة الشكل الواضح من LCAO-MO . وبعد معرفة قيم الطاقة ، يصبح بالامكان ايجاد المعاملات ،  $c_{ij}$  ، وهكذا ، يتم الحصول على العلاقات الواضحة من LCAO-MO

### تقريب هوكيل *The Hückel Approximation*

تعد طريقة LCAO-MO نفسها التي شرحت في أعلاه تقريباً ، ومع ذلك ، اذا لم تجر تقريبات أبعد ، فانه يمكن ان يكون حساب التكاملات ( 7.1-7 ) ، ( 7.1-8 ) و ( 7.1-9 ) مستهلكاً للوقت . وتجري ، عادة ، بعض التبسيطات والتقريبات الأبعد ، ويسمى اقوى هذه التقريبات ، على شكل مجموعة ، تقرب هوكيل ولغرضنا هنا ، يعد ذلك تقريباً خاماً كافياً نسبياً وله الفائدة ليسمح لنا باجراء معالجات تطبق فيها مناقشات التماثل خلال جميع المراحل ، وحتى للنتائج العددية ، بدون الوقوع في المسائل الجبرية والحسابات التي تحتاج الى حاسبات الكترونية .

ينبغي التاكيد على نقطتين : اولاهما ، تكون مناقشات التماثل نفسها دقيقة وقد تعمل بصورة متساوية في الحسابات مهما كانت درجة دقة الحاسبة التي يمكن عملها . وثانياً ، يعد تقرب هوكيل تقريباً ناجحاً يعطي نتائج مفيدة لجميع اشكاله غير المنقحة .

يفترض تقرب هوكيل ان تكون جميع قيم  $S_{ij} = 0$  وجميع قيم  $H_{ii} = 0$  مالم تكون الاوربتالات في التسلسل  $i$  و  $j$  على ذرات متجاورة . يعني جميع قيم  $S_{ij} = 0$  انه يتم الحصول على عوامل التعديل للاتحاد الخطي للاوربتالات الذرية بسهولة ، اذا كان

$$\psi_i = N_i \sum_j a_{ij} \phi_j$$

ونحتاج الى :

$$\int \psi_i \psi_i d\tau = 1$$

ونحصل على

$$\begin{aligned} \frac{1}{N_i^2} &= \int \left( \sum_j a_{ij} \phi_j \right)^2 d\tau \\ &= \sum_j a_{ij}^2 \int \phi_j \phi_j d\tau + \sum_{\substack{j,k \\ (j \neq k)}} a_{ij} a_{ik} \int \phi_j \phi_k d\tau \end{aligned}$$

يساوي المجموع الثاني صفراً لكون التداخل مفترضاً بأنه صفر . ويساوي المجموع الاول الى  $\sum_j a_{ij}^2$  لان  $\phi_j$  مفترض بأنها معدلة وهكذا ، ،

$$\frac{1}{N_i^2} = \sum_j a_{ij}^2$$

او

$$N_i = \frac{1}{\sqrt{\sum_j a_{ij}^2}}$$

وللحالة الخاصة ( ليست غير شائعة ) التي تأخذ فيها جميع  $a_{ij}$  القيمة  $N = \pm 1$  ،  $1/\sqrt{n}$  اذ تمثل  $n$  عدد الاوربتالات الذرية في الاتحاد الخطي .

ينطبق تقريب هوكيل ، في الغالب ، على اوربتالات  $\pi$  للهيدروكربونات ، وفي هذه الحالة تستعمل الاصطلاحات المختصرة الآتية :

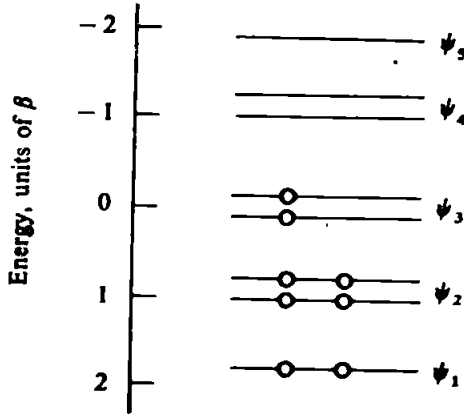
$x = H_{ii}$  . طاقة الالكترين في اوربتال الكاربون  $p\pi$  قبل التداخل مع الاوربتالات الاخرى .

$\beta = H_{ij}$  ، طاقة التداخل بين اوربتالات الذرات المتجاورة .

يمكن اجراء التبسيط الأبعد لمظهر المعادلات الزمنية اذا اخذت  $\alpha$  بشكل طاقة الصفر ( اي ان التجمع يساوي صفراً ) و  $\beta$  بشكل وحدة الطاقة . ومن الممكن بيان الضرورة في ان تكون  $\beta$  كمية سالبة ، وهكذا ، فان الاوربتال الجزئي الذي طاقته موجبة بوحدات  $\beta$  يمتلك طاقة مطلقة سالبة . لهذا يكون الالكترين في مثل هذا الاوربتال اكثر استقراراً من الالكترين في اوربتال  $p\pi$  المنعزل .

## مخططات مستوى الطاقة ( Energy Level Diagrams ) :

من المفيد في حالات عديدة رسم الطاقات المحسوبة للاوربتالات الجزيئية في مخطط ، كما هو مبين في أدناه . ويكون مقياس الطاقة عمودياً ، ويمثل كل اوربتال بشكل خط افقي قصير يوضع عند موقع يطابق طاقة الاوربتال ، ويستعمل للاوربتالات الثنائية المنحلة خطان متقاربان . ويشار الى اشغال الاوربتالات بالالكترونات بوضع دوائر صغيرة على الخطوط .



## قاعدة هوند وقاعدة الاستثناء ( Hund's Rule and the Exclusion Principle ) :

يتبع ترتيب املاء الاوربتالات الجزيئية لحالة استقرار الجزيئة القواعد نفسها كما في حالة املاء الاوربتالات في حالة استقرار الذرة . وهكذا ، يدخل الالكترون في الاوربتال الواطيء غير المملوء ويكون معرضاً للتحديدات الآتية : يشغل الكترونان فقط مستوى واحداً ويكون برمهما متعاكس الاشارة ( قاعدة الاستثناء ) . وعند وضع الالكترونات في زوج من الاوربتالات المنحلة فإنها ( كما هو مبين للدالة  $\psi_3$  في المخطط ) تشغل كل واحد من الاوربتالين المنحليين بصورة منفردة لتعطي برماً كلياً يساوي 1 ( قاعدة هوند ) .

## الخاصية التأصلية للاوربتالات :

من المناسب ، كما لاحظنا بالفعل ، اختيار الصفر لمقياس الطاقة ليكون النظام في الحالة الافتراضية التي لا يحدث عندها تداخل بين الاوربتالات الذرية المنعزلة . في الحالة الحقيقية للجزيئة ، تكون بعض الاوربتالات الجزيئية واطئة الطاقة وبعض منها عالية الطاقة ، وفي حالات معينة يأخذ بعض منها الطاقة نفسها كما ان هذه الحالة التي ستؤخذ

طاقاتها تساوي صفراً. وتمتلك الاوربتالات الجزيئية التي تكون اكثر استقراراً من الاوربتالات الذرية المنعزلة غير المتداخلة طاقات مطلقة اقل من الصفر وتسمى بالاوربتالات التآصيرية ( bonding orbitals ). وتسمى الاوربتالات الجزيئية التي تمتلك طاقات مطلقة اعلى من الصفر بالاوربتالات مضادة التآصر antibonding orbitals وتسمى اية اوربتالات لها طاقات تساوي صفراً تماماً بالاوربتالات غير التآصيرية ( nonbonding orbitals ) وللمثال المبين في اعلاه ، هناك اوربتالات جزيئية تآصيرية قوية ،  $\psi_1$  ، واوربتالات جزيئية ،  $\psi_2$  ، ثنائية منحلة تآصيرية اقل قوة ، واوربتالات جزيئية ،  $\psi_3$  ، ثنائية منحلة غير تآصيرية ، واوربتالات جزيئية  $\psi_4$  ، ثنائية منحلة مضادة التآصر متوسطة القوة ، واوربتالات جزيئية ،  $\psi_5$  ، غير منحلة مضادة الارتباط قوية.

ولمعرفة كيفية تبسيط تقرب هوكيل لمعالجة المسائل ذات التعقيد المتوسط ، نأخذ بنظر الاعتبار اوربتالات  $\pi$  في النفثالين .

ترقم اوربتالات  $p\pi$  العشرة كما هو مبين في الشكل 7.1 ويمكن ان نتحد لتعطي عشرة اوربتالات جزيئية خطية مستقلة من نوع  $\pi$  ، وهكذا ، يمكن كتابة  $10 \times 10$  محدادات زمنية ، كالاتي :

$$\begin{vmatrix} H_{11} - E & H_{12} - ES_{12} & H_{13} - ES_{13} & \cdots & H_{1,10} - ES_{1,10} \\ H_{21} - ES_{21} & H_{22} - E & & & \\ & & H_{33} - E & & \\ & & & \ddots & \\ H_{10,1} - ES_{10,1} & & \cdots & \cdots & H_{10,10} - E \end{vmatrix} = 0 \quad (7.1-15)$$

ندخل الآن تقرب هوكيل ، باستعمال اشارات  $\alpha$  و  $\beta$  ، وهو الاصطلاح في كون طاقة الصفر واستخدام  $\beta$  نفسها بشكل وحدة الطاقة . وللتوضيح ، نحصل على :

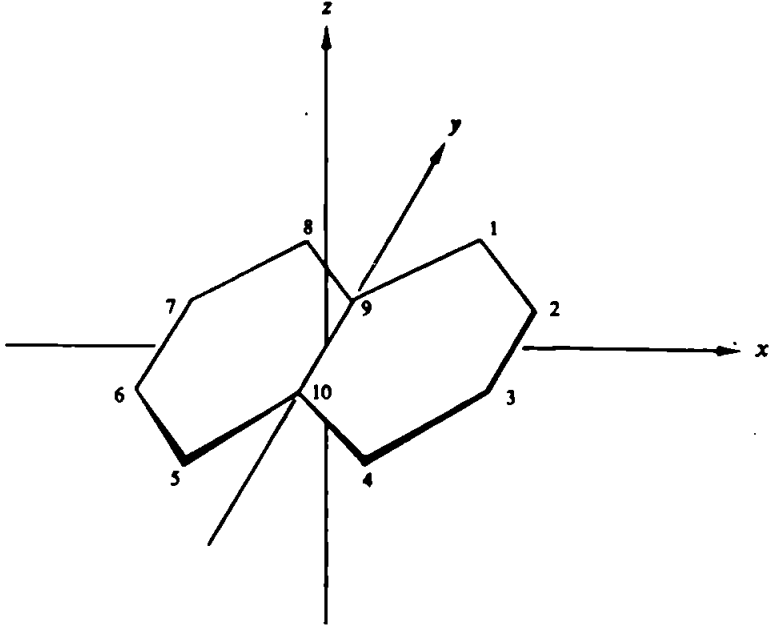
$$H_{11} = H_{22} = H_{33} = \cdots H_{99} = H_{10,10} = \alpha = 0$$

$$S_{ij} = \delta_{ij}$$

بأستثناء  $H_{12}, H_{23}, H_{34}, H_{56}, H_{67}, H_{78}, H_{89}, H_{9,10}$

$H_{5,10}, H_{19}, H_{4,10},$

التي تساوي جميعها  $\beta$  التي تساوي وحدة طاقة واحدة .



الشكل 7-1 الاحداثيات الديكارتية وترقيم الذرات لجزيئة النشالين .

لذلك تكون المعادلة الزمنية كالآتي :

$$\begin{vmatrix} -E & 1 & 0 & 0 & 0 & 0 & 0 & 0 & 1 & 0 \\ 1 & -E & 1 & 0 & 0 & 0 & 0 & 0 & 0 & 0 \\ 0 & 1 & -E & 1 & 0 & 0 & 0 & 0 & 0 & 0 \\ 0 & 0 & 1 & -E & 0 & 0 & 0 & 0 & 0 & 1 \\ 0 & 0 & 0 & 0 & -E & 1 & 0 & 0 & 0 & 1 \\ 0 & 0 & 0 & 0 & 1 & -E & 1 & 0 & 0 & 0 \\ 0 & 0 & 0 & 0 & 0 & 1 & -E & 1 & 0 & 0 \\ 0 & 0 & 0 & 0 & 0 & 0 & 1 & -E & 1 & 0 \\ 1 & 0 & 0 & 0 & 0 & 0 & 0 & 1 & -E & 1 \\ 0 & 0 & 0 & 1 & 1 & 0 & 0 & 0 & 1 & -E \end{vmatrix} = 0 \quad (7.1-16)$$

تعد هذه المعادلة أبسط من المعادلة 7.1-15 وذلك لكون معظم الحدود في المعادلة متعددة الحدود من الرتبة العاشرة التي تنتج بسبب توسيع المحددة تساوي الآن صفراً . ومع ذلك ، فإن الأساس . والحقيقة المربكة ان المعادلة من الرتبة العاشرة لم تحل لحد الان . ولا يمثل ذلك اختباراً سهلاً القبل . وبدون استعمال حاسبة الكترونية رقمية digital computer فإن العمل يكون طويلاً ومملاً . من المناسب في هذه الحالة وجميع الحالات الأخرى التي تمتلك فيها الجزئية تماثلاً . يمكن تجزئة المعادلة الزمنية - أي اختزالها الى مجموعة من المعادلات الأصغر - باستخدام المميزات التماثلية بالطريقة الصحيحة . ستوضح انفسه وتفسر طريقة التجزئة التماثلية .

## 7.2 التجزئة التماثلية للمعادلات الزمنية :

حتى بالتبسيطات الناتجة من التقريب الشديد مثل تقريب هوكيل ، تشتمل المعادلة الزمنية للاوربتالات الجزئية المكونة من  $n$  من الاوربتالات الذرية ، في الاقل ، على محددة غير مجزأة من الرتبة  $n$  ، كما هو مبين في حالة الثفالين . ومن الواضح امكانية وصف تجزئة مثل هذه المحددات وتهىء الاعتبارات التماثلية طريقة نظامية ودقيقة لاجراء ذلك .

تشق المعادلة الزمنية مثل المعادلة 7.1-15 من ترتيب الاوربتالات الذرية المنفردة للتجمع الأساس . وهكذا ، بصورة عامة ، لا تكون جميع  $S_{ij}$  و  $H_{ij}$  صفراً ، وللتقريب ، قد توضع مساوية صفراً كما في المعادلة 7.1-16 ، ولحد الآن لا يوجد سبب اولي معقول لماذا ينبغي على أي من الاصناف الكلية او التجمعات من التكاملات المشتملة على الاوربتالات الذرية المنفردة ان يخفي بصورة منتظمة .

عوضاً عن كتابة المحددة الزمنية من ترتيب الاوربتالات الذرية  $n \times n$  ، يفترض استعمال ترتيب  $n \times n$  لعدد  $n$  لاوربتالات التجمع الأساس للاتحادات الخطية المعتدلة . الأبعد من ذلك - وهذا هو المفتاح - اننا نحتاج الى هذه الاتحادات الخطية للتماثل المكثف للاتحادات الخطية SALC ، أي ان كل واحد يحتاج الى دالة تكون القاعدة للتمثيل غير المختزل لمجموعة النقطة في الجزئية . ومن ثم ، كما هو مبين في الفصل الخامس ، فإن جميع التكاملات من الانواع :

$$\int \psi_i \psi_j d\tau \quad \text{and} \quad \int \psi_i \mathcal{H} \psi_j d\tau$$

تساوي صفراً ما لم يعد كل من  $\psi_i$  و  $\psi_j$  الى التمثيل غير المختزل نفسه .

تؤدي الاعتبارات السابقة الى طريقة ذات ثلاث خطوات لوضع معادلة زمنية مجزأة تماثلياً .

1. يستعمل تجمع من الاوربتالات الذرية قاعدة لتمثيل المجموعة ويختزل هذا التمثيل الى مكوناته غير المختزلة .

2. تدمج الاوربتالات الاساس في اتحادات خطية مطابقة لكل واحد من التمثيلات غير المختزلة . وهذه التماثلات المكيفة للاتحادات الخطية يمكن دائماً بناؤها بصورة نظامية باستعمال طريقة عامل الاسقاط التقنية ، المطورة في الفصل السادس .

3. تكب التماثلات المكيفة للاتحادات الخطية بحيث تحدث جميع التماثلات التي تعود الى التمثيل المعطى سوية في القائمة . تستعمل هذه القائمة لعنونة الصفوف والاعمدة في المحددة الزمنية . يمكن فقط لعناصر المحددة الزمنية التي تقع عند تقاطع الصفوف والاعمدة العائدة للتمثيل غير المختزل نفسه ألا تساوي صفراً ، وتقع هذه العناصر التي لا تساوي صفراً في مجموعات على طول الخط القطري الاساس . ولهذا تكون المحددة الزمنية قد تجزأت .

وللتوضيح المقنع جداً لتأثير التجزأة التماثلية لاختزال العمل الحسابي ، الذي يعد غير عملي كلياً بدون استخدام الحاسبة الالكترونية الرقمية ، الى آخر مباشر باستعمال الورق والقلم ، سنأخذ مرة اخرى جزيئة النفتالين بنظر الاعتبار . لقد بينا في الفقرة 7.1 ان المعادلة الزمنية للاوربتالات الجزيئية من نوع  $\pi$  هي معادلة محددة  $10 \times 10$  7.1-15 اذا استعمل التجمع من اوربتالات  $p\pi$  العشرة مباشرة لبناء LCAO-MO's

تعود جزيئة النفتالين الى مجموعة النقطة  $D_{2h}$  . وقد يستعمل تجمع اوربتالات  $p\pi$  العشرة اساساً للتمثيل  $\Gamma_\pi$  . في هذه المجموعة ويمكن تجزئة هذا التمثيل القابل للاختزال الى تمثيلات غير مختزلة ، كالآتي :

$$\Gamma_\pi = 2A_u + 3B_{1u} + 2B_{2g} + 3B_{3g}$$

عندما تتحد اوربتالات  $p\pi$  العشرة لتعطي SALC's  $\psi_1$   $\psi_{10}$  ، التي تكب بعد ذلك حسب ترتيب انواع تماثلها ، مثل .

$$\underbrace{\psi_1, \psi_2}_{A_u}, \underbrace{\psi_3, \psi_4, \psi_5}_{B_{1u}}, \underbrace{\psi_6, \psi_7}_{B_{2g}}, \underbrace{\psi_8, \psi_9, \psi_{10}}_{B_{3g}}$$



تستعمل هذه التماثلات المكيفة للاتحادات الخطية لبناء المحددة الزمنية التي تأخذ الشكل المبين في الصفحة 132 . اذ يجب ان تحتوي جميع الفراغات ، غير المحلات القطرية ، على أصفار ، لاسباب تماثلية دقيقة .

يتبع من مميزات المحددات انه اذا وجب ان تأخذ المحددة الكلية قيمة الصفر يجب على كل عامل متجمع بصورة مستقلة ان يساوي صفراً . وهكذا . اختزلت المعادلة المحددة  $10 \times 10$  الى اثنتين  $2 \times 2$  واثنتين  $3 \times 3$  من المعادلات الزمنية . فمثلا . تعطى طاقات الاوربتالين الجزئيين ذوي تماثل  $A_u$  بالمعادلة الزمنية البسيطة الاتية :

$$\begin{vmatrix} H_{11} - E & H_{12} \\ H_{12} & H_{22} - E \end{vmatrix} = 0$$

نعود فيما بعد ( الفقرة 7.5 ) الى المعادلة الزمنية المجزئة تماثليا لاوربتالات  $\pi$  الجزئية في النفثالين وحلها بالنسبة للطاقات ، معاملات LCAO-MO ، ونتائج اخرى مفيدة .

	$A_u$		$B_{1u}$			$B_{2u}$		$B_{3u}$		
	$\psi_1$	$\psi_2$	$\psi_3$	$\psi_4$	$\psi_5$	$\psi_6$	$\psi_7$	$\psi_8$	$\psi_9$	$\psi_{10}$
$A_u \begin{pmatrix} \psi_1 \\ \psi_2 \end{pmatrix}$	$H_{11}$	$E$	$H_{12}$							
	$H_{21}$		$H_{22}$	$E$						
$B_{1u} \begin{pmatrix} \psi_3 \\ \psi_4 \\ \psi_5 \end{pmatrix}$			$H_{33} - E$	$H_{34}$	$H_{35}$					
			$H_{43}$	$H_{44}$	$E$	$H_{45}$				
			$H_{53}$	$H_{54}$		$H_{55} - E$				
$B_{2u} \begin{pmatrix} \psi_6 \\ \psi_7 \end{pmatrix}$						$H_{66}$	$E$	$H_{67}$		
						$H_{76}$		$H_{77}$	$E$	
$B_{3u} \begin{pmatrix} \psi_8 \\ \psi_9 \\ \psi_{10} \end{pmatrix}$								$H_{88}$	$E$	$H_{8,10}$
								$H_{98}$	$H_{99} - E$	$H_{9,10}$
								$H_{10,8}$	$H_{10,9}$	$H_{10,10} - E$

### 7.3. الانظمة الحلقية الكربونية Carbocyclic Systems

نبدأ بأخذ اشهر واهم هذه الانظمة . البنزين . تعود هذه الجزيئة الى مجموعة النقطة  $D_{6h}$  . وعند اخذ التجمع من اوربتالات  $p\pi$  الستة . واحد على كل ذرة كاربون بشكل الاساس لتمثيل مجموعة  $D_{6h}$  . نحصل على النتائج الاتية :

$D_{6h}$	E	$2C_6$	$2C_3$	$C_2$	$3C'_2$	$3C''_2$	i	$2S_3$	$2S_6$	$\sigma_h$	$3\sigma_d$	$3\sigma_v$
$\Gamma_\pi$	6	0	0	0	-2	0	0	0	0	-6	2	0

لقد عرفنا محاور  $C'_2$  .  $\sigma_d$  بانها تلك التي تمر خلال ذرات كاربون متقابلة ومحاور  $C''_2$  و  $\sigma_v$  بانها تلك التي تنصف الحافات المتقابلة في الشكل السداسي . ويمكن الحصول على الخصائص المينة في اعلاه في الحال اذا عرفنا ان المصفوفة تنصف تأثير العملية المعنية على التجمع من الاوربتالات الستة لتحصل على اسهام بالنسبة لخطها القطري من كل اوربتال اساس حسب التوضيح الاتي :

صفر اذا ازيح الاوربتال الى موقع مختلف، +1 اذا تحول الاوربتال الى نفسه، -1 اذا تحول الاوربتال بشكل سالب الى نفسه . وهذا يعني ببساطة . انه انقلب رأسا على عقب .

يختزل هذا التمثيل ( الفقرة 4.3 ) كالآتي :

$$\Gamma_\pi = A_{2u} + B_{1g} + E_{1g} + E_{2u}$$

وهكذا . نحتاج الى تكوين اتحادات خطية للاوربتالات الذرية من الانواع المشار اليها . ويمكن اجراء ذلك باستعمال عوامل الاسقاط لهذه التمثيلات من  $D_{6h}$  . وعلى اية حال . من المفيد التقرب الى هذا الاختيار من وجهة نظراقل مباشرة لاجل التوصل كليا بطريقة اسهل واكثر عموما الى النوع من المسائل الذي تمثله .

وكما اشرنا في الفقرة 6.3 . للحالة  $(Cl)_3$ ، نستنتج جميع المميزات التماثلية للاتحادات الخطية للاوربتالات الذرية التي نبحث عنها بواسطة عمليات المجموعة الثانوية الدورانية احادية المحور  $C_6$  .

وعند استعمال التجمع من اوربتالات P الستة بشكل اساس تمثيل المجموعة  $C_6$  ، يتم الحصول على النتائج الاتية :

$C_6$	$E$	$C_6$	$C_3$	$C_2'$	$C_3^2$	$C_6^5$
$A$	1	1	1	1	1	1
$B$	1	-1	1	-1	1	-1
$E_1$	$\begin{Bmatrix} 1 & \varepsilon & -\varepsilon^* & -1 & -\varepsilon & \varepsilon^* \\ 1 & \varepsilon^* & -\varepsilon & -1 & -\varepsilon^* & \varepsilon \end{Bmatrix}$					
$E_2$	$\begin{Bmatrix} 1 & -\varepsilon^* & -\varepsilon & 1 & -\varepsilon^* & -\varepsilon \\ 1 & -\varepsilon & -\varepsilon^* & 1 & -\varepsilon & -\varepsilon^* \end{Bmatrix}$					
$\Gamma_\phi$	6	0	0	0	0	0

$$\Gamma_\phi = A + B + E_1 + E_2$$

لاحظ أولاً ان  $\chi(E) = 6$ . في حين تساوي الخاصيات الاخرى صفراً. والسبب هو ان العملية  $E$  تحول كل  $\phi_i$  الى نفسها. في حين من الضروري لكل عملية دورانية ان تزيح كل  $\phi_i$  الى موقع مختلف. ومن الواضح ان هذا النوع من النتائج يتم الحصول عليه لاية حلقة ذات عدد  $n$  من الاعضاء في المجموعة الدورانية النقية  $C_n$ . وثانياً. لاحظ ان الطريقة الوحيدة لجمع خاصيات التمثيلات غير المختزلة بحيث يتم الحصول على  $\chi = 0$  لكل من  $E$  و  $\chi = 6$  لكل  $E$  بعملية غير  $E$  بجمع كل عمود في جدول الخاصية. ومن المميزات الاساس للتمثيلات غير المختزلة للمجاميع الدورانية النقية احادية المحور ( انظر: الفقرة 4.5 ). تكون هذه الطريقة ميزة عامة لكل مجاميع  $C_n$ . وهكذا. توضح النتائج التي حصلنا عليها لجزئته البنزين القاعدة العامة الاتية:

« في الجزئته الحلقية  $(CH)_n$  ذات التماثل الدوراني  $C_n$ . يوجد دائماً عدد  $n$  من اوربتالات  $\pi$  الجزئية. يعود أحدها الى كل تمثيل غير مختزل في مجموعة  $C_n$ . »  
وبهذه نظام  $(CH)_3$  الذي شرح في الفقرة 6.3 توضيحاً آخر لهذه القاعدة.

تتوسع تمثيلات  $A$ .  $B$ .  $E_1$  و  $E_2$  في المجموعة الدورانية النقية  $C_6$  لتصبح  $A_{2u}$ .  $B_{1g}$ .  $E_{1g}$  و  $E_{2u}$  في مجموعة  $D_{6h}$  عند اخذ التماثل الكلي لجزئته البنزين والتماثل اللازم لاوربتالات  $p\pi$  المنفردة بنظر الاعتبار. تتضح الفائدة الكبيرة عند العمل مع المجموعة الدورانية النقية. التي وضحت سابقاً لحالة  $(CH)_3$  البسيطة جداً. لايجاد علاقات الاتحاد الخطي للاوربتالات الذرية لتكوين الاوربتالات الجزئية ونظراً لان كل واحد من الاتحادات الخطية اللازمة يعود بصورة فريدة الى تمثيل احادي البعد منفرد، تكون طريقة عامل الاسقاط بسيطة الاستعمال للغاية - بسيطة بحيث يمكن كتابة النتائج بالسرعة التي تمكن الشخص من الكتابة، وبسيطة عند البحث عنها في جدول الخاصية.

نأخذ الحالات الآتية لتأثير استعمال عامل الاسقاط لاي تمثيل من  $C_6$  الى  $\phi_1$  .  
اوربتال  $p\pi$  على ذرة الكربون 1 :

$$\begin{aligned}\hat{P}\phi_1 &= \chi(E)\hat{E}\phi_1 + \chi(C_6)\hat{C}_6\phi_1 + \chi(C_6^2)\hat{C}_6^2\phi_1 + \chi(C_6^3)\hat{C}_6^3\phi_1 \\ &\quad + \chi(C_6^4)\hat{C}_6^4\phi_1 + \chi(C_6^5)\hat{C}_6^5\phi_1 \\ &= \chi(E)\phi_1 + \chi(C_6)\phi_2 + \chi(C_6^2)\phi_3 + \chi(C_6^3)\phi_4 \\ &\quad + \chi(C_6^4)\phi_5 + \chi(C_6^5)\phi_6\end{aligned}$$

يمثل التعبير الجبري الثاني قائمة لسته من  $\phi_i$  . في ترتيب عددي . مضروب كل منها بخاصية احدى العمليات الستة . حسب الترتيب التقليدي  $E$  ،  $C_6$  ،  $C_6^2$  ،  $C_6^3$  ،  $C_6^4$  ،  $C_6^5$  ، وينبغي ان يكون ذلك صحيحاً لكل منها ولكل تمثيل . لذلك تكون تجمعات خاصيات المجموعة معاملات للاوربتالات الجزئية الناتجة عن الاتحادات الخطية للاوربتالات الذرية . ومن الواضح ان هذه المناقشة شيء عام ينطبق على جميع انظمة  $(CH)_n$  الحلقيّة التي تعود الى مجاميع النقطة  $D_{nh}$  . كل منها يمتلك مجموعة ثانوية دورانية نقية احادية المحور .  $C_n$  .

ولاجل القوة ، نستمر في استعمال البنزين على سبيل المثال ونكتب معادلات

$$\begin{aligned}A: \quad \psi_1 &= \phi_1 + \phi_2 + \phi_3 + \phi_4 + \phi_5 + \phi_6 \\ B: \quad \psi_2 &= \phi_1 - \phi_2 + \phi_3 - \phi_4 + \phi_5 - \phi_6 \\ E_1: \quad \begin{cases} \psi_3 = \phi_1 + \varepsilon\phi_2 - \varepsilon^*\phi_3 - \phi_4 - \varepsilon\phi_5 + \varepsilon^*\phi_6 \\ \psi_4 = \phi_1 + \varepsilon^*\phi_2 - \varepsilon\phi_3 - \phi_4 - \varepsilon^*\phi_5 + \varepsilon\phi_6 \end{cases} \\ E_2: \quad \begin{cases} \psi_5 = \phi_1 - \varepsilon^*\phi_2 - \varepsilon\phi_3 + \phi_4 - \varepsilon^*\phi_5 - \varepsilon\phi_6 \\ \psi_6 = \phi_1 - \varepsilon\phi_2 - \varepsilon^*\phi_3 + \phi_4 - \varepsilon\phi_5 - \varepsilon^*\phi_6 \end{cases}\end{aligned}$$

من وجهة النظر العملية يوجد ضرران في هذه الاوربتالات الجزئية الناتجة من الاتحادات الخطية للاوربتالات الجزئية ، اولهما ، احتواؤها على معاملات تخيلية ، والثاني ، جعلها معدلة الى وحدة واحدة .

وكما هو موضح في الفقرة 6.3 ، يسهل تحويل ازواج SALC's التي تعود الى كل زوج من تمثيلات نوع  $E$  الى اتحادات خطية جديدة بأعداد حقيقية كمعاملات بواسطة :

(1) اضافتها ، (2) طرحها وتقسيمها على  $i$  . وهكذا باضافة  $\psi_3$  و  $\psi_4$  نحصل على :

$$\psi(E_1a) = 2\phi_1 + (\varepsilon + \varepsilon^*)\phi_2 - (\varepsilon^* + \varepsilon)\phi_3 - 2\phi_4 - (\varepsilon + \varepsilon^*)\phi_5 + (\varepsilon^* + \varepsilon)\phi_6$$

التي تختزل الى :

$$\psi(E_1 b) = 2\phi_1 + \phi_2 - \phi_3 - 2\phi_4 - \phi_5 + \phi_6$$

يوضح الاتحاد الخطي الثاني  $(\psi_3 - \psi_4)/i$  كالاتي :

$$\begin{aligned}\psi(E_1 b) &= [(\varepsilon - \varepsilon^*)\phi_2 - (\varepsilon^* - \varepsilon)\phi_3 - (\varepsilon - \varepsilon^*)\phi_5 + (\varepsilon^* - \varepsilon)\phi_6]/i \\ &= -\sqrt{3}\phi_2 - \sqrt{3}\phi_3 + \sqrt{3}\phi_5 + \sqrt{3}\phi_6\end{aligned}$$

بطريقة مشابهة . وقد تتحد  $\psi_5$  و  $\psi_6$  لتعطيا :

$$\begin{aligned}\psi(E_2 a) &= \psi_5 + \psi_6 = 2\phi_1 - \phi_2 - \phi_3 + 2\phi_4 - \phi_5 - \phi_6 \\ \psi(E_2 b) &= (\psi_5 - \psi_6)/i = -\sqrt{3}\phi_2 + \sqrt{3}\phi_3 - \sqrt{3}\phi_5 + \sqrt{3}\phi_6\end{aligned}$$

نعمل الآن على جعل هذه الدوال الموجية للاوربتال الجزيئي معدلة كما هو مبين في الفقرة 7.1 ، باهمال التداخل . والحصول على العلاقات النهائية الآتية :

$$\psi(A) = \frac{1}{\sqrt{6}}(\phi_1 + \phi_2 + \phi_3 + \phi_4 + \phi_5 + \phi_6)$$

$$\psi(B) = \frac{1}{\sqrt{6}}(\phi_1 - \phi_2 + \phi_3 - \phi_4 + \phi_5 - \phi_6)$$

$$\psi(E_1 a) = \frac{1}{\sqrt{12}}(2\phi_1 + \phi_2 - \phi_3 - 2\phi_4 - \phi_5 + \phi_6)$$

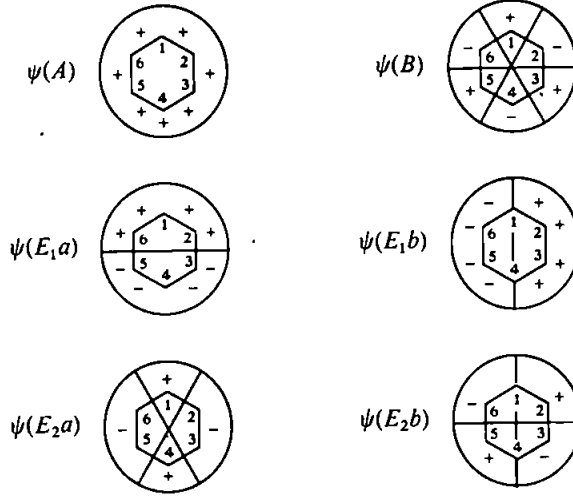
$$\psi(E_1 b) = \frac{1}{2}(\phi_2 + \phi_3 - \phi_5 - \phi_6)$$

$$\psi(E_2 a) = \frac{1}{\sqrt{12}}(2\phi_1 - \phi_2 - \phi_3 + 2\phi_4 - \phi_5 - \phi_6)$$

$$\psi(E_2 b) = \frac{1}{2}(\phi_2 - \phi_3 + \phi_5 - \phi_6)$$

وبالاضافة الى جعلها معدلة ، ينبغي ان تكون الاوربتالات الجزيئية متعامدة فيما بينها . هذا صحيح بالنسبة لتلك المعطاة في اعلاه اذ انه من السهل تحقيقها علماً بأنه يتبع من الطريقة المستعملة في بنائها وجوب كونها بهذا الشكل .

ومن المفيد اختبار بعض المخططات التي تبين كيفية تغير الدوال  $\psi$  حول الحلقة . وفي حالة البنزين ، باستخدام الاوربتالات التي تم بناؤها في اعلاه ، يمكن عمل الرسوم الآتية :



لاحظ ان الاوربتالات  $E_1$  تمتلك مستويًا عقدياً nodal plane واحداً وتمتلك اوربتالات  $E_2$  اثنين من هذه المستويات .

يمكن الآن حساب طاقات هذه الاوربتالات الجزيئية ، وباستعمال تقريب هوكيل ، كما شرحناه في الفقرة 7.1 للدالة  $\psi(A)$  ، نحصل على :

$$E_A = \frac{1}{6}(6\alpha + 12\beta) = \alpha + 2\beta$$

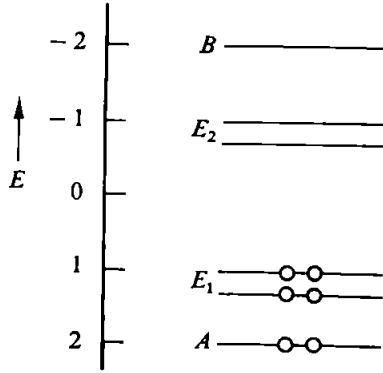
ولدى الاستمرار بالطريقة نفسها ، نجد ان الطاقات الاخرى للاوربتالات الجزيئية الناتجة من الاتحادات الخطية للاوربتالات الذرية في البنزين هي :

$$E_B = \alpha - 2\beta$$

$$E_{E1a} = E_{E1b} = \alpha + \beta$$

$$E_{E2a} = E_{E2b} = \alpha - \beta$$

وبأخذ  $\alpha$  بكونها طاقة مقدارها صفرو  $\beta$  وحدة الطاقة ، يمكن التعبير عن هذه النتائج بشكل مخطط مستوى الطاقة الاتي :



### الطاقة غير المتمركزة ( الريزونانس ) Delocalization (Resonance) Energy

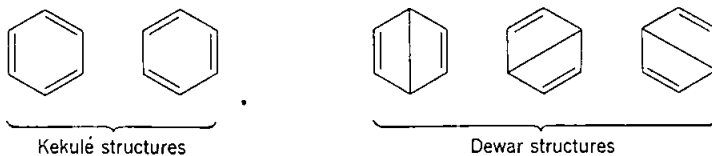
إذا شغل كل من الكثرونات  $\pi$  الستة في البنزين اورتبالاً ذرياً واحداً قن نوع  $\pi$  ولم يحدث تداخل ، فان كلا منها يمتلك طاقة مقدارها . لذلك تكون الطاقة الكلية  $6\alpha$  ، وهي صفراً إذا افترضنا ، كما في اعلاه ، ان  $\alpha$  هي حد الصفري في مقياس الطاقة . وعلى اية حال ، عند تداخل الاورتبالات الذرية لتعطي الاورتبالات الجزيئية ، تشغل الالكترونات الستة هذه الاورتبالات الجزيئية حسب قاعدة هوند وقاعدة الاستثناء لباولي . ويدخل اول الكثرنين في اورتبال  $A$  وتشغل الالكترونات الاربعة الباقية اورتبالات  $E_1$  . وتكون الطاقة الكلية للنظام ، كالآتي :

$$E_T = 2(2\beta) + 4(\beta) = 8\beta$$

وإذا عرفنا ان  $\beta$  سالبة ، وجدنا ان تآصر  $\pi$  يعمل على استقرار الجزيئة بمقدار  $8\beta$  . وبعد التعبير عن الطاقات بوحدات  $\beta$  غير مفيد جداً ما لم نتمكن من تعيين قيمة  $\beta$  . نعود بعد ذلك الى حساب الطاقة غير المتمركزة للبنزين بوحدات  $\beta$  . ولما كانت هناك امكانية لتعيين الطاقة غير المتمركزة تجريبياً ، سنكون قادرين على حساب  $\beta$  . وليس عملياً اجراء ذلك بواسطة الحسابات .

وبالتحديد ، تعود فرضية الطاقة غير المتمركزة او طاقة الريزونانس الى نظرية آصرة التكافؤ . وقد عرفت سابقاً بشكل الفرق بين طاقة اكرتربية مستقرة من المتشاكالات canonical ، وهو احدى بنيات كيكيولا Kekulé ، والطاقة الحقيقية . ونفترض امكانية حساب الطاقة الحقيقية ، حسب نظرية آصرة التكافؤ ، بأخذ الريزونانس بنظر الاعتبارين جميع البنيات الممكنة للمتشاكالات . ومن بينها ، خمس فقط اعتبرت

واطئة الطاقة بدرجة كافية لتكون ذات اهمية . وهاتان بنيةان متكافئتان لكيكيولا  
وثلاث بنيات لديوار Dewar



على اية حال ، قد يفترض ان الاختلاف بين طاقة احدى بنيات كيكيولا والطاقة الحقيقية المحسوبة من نظرية الاوربتال الجزيئي تكون ايضاً طاقة الريزونانس باستثناء انه ، مع الاحتفاظ بالفرضية الاساسية لنظرية الاوربتال الجزيئي . تسمى الطاقة غير المتمركزة .

لقد بينا سابقاً ان طاقة النظام ذي الالكترونات الستة في البنزين تساوي  $8\beta$  ومن هنا يجب حساب : بوحدات  $\beta$  . طاقة بنية كيكيولا ، اي طاقة الجزيئة الافتراضية سداسي ترايين الحلقي ( cyclohexatriene ) التي توجد فيها ثلاث اواصر متمركزة ( localized ) من نوع  $\pi$  . وعند تداخل اوربتالين ذريين من نوع  $\pi$  . مثل  $\phi_1$  و  $\phi_2$  ، لتكوين اصرتين مركبتين . يتكون اوربتالان جزيئان  $\psi_1$  و  $\psi_2$  ولاجل ان تكون هذه الاوربتالات حقيقية . معدلة ومتعامدة . يجب ان تأخذ :

$$\psi_1 = \frac{1}{\sqrt{2}} (\phi_1 + \phi_2)$$

$$\psi_2 = \frac{1}{\sqrt{2}} (\phi_1 - \phi_2)$$

وبلاحظ بسهولة ان طاقاتها هي :

$$E_1 = \int \psi_1 \mathcal{H} \psi_1 d\tau = \frac{1}{2} \left( \int \phi_1 \mathcal{H} \phi_1 d\tau + \int \phi_1 \mathcal{H} \phi_2 d\tau + \int \phi_2 \mathcal{H} \phi_1 d\tau + \int \phi_2 \mathcal{H} \phi_2 d\tau \right)$$

$$= \frac{1}{2}(2\alpha + 2\beta) = \beta$$

$$E_2 = -\beta$$

ولما كان  $\psi_1$  اوربتالا جزيئياً مستقراً ، فان الكتروني  $\pi$  يشغلانه وتساوي طاقتهما المتحدة  $2\beta$  . وهكذا ، يسهم كل زوج من الكترونات  $\pi$  المتمركزة في بنية كيكيولا



بطاقة الجزيئة . وجعل طاقة الكترون  $\pi$  الكلية المتمركزة لبنية سداسي ترايين الحلقي  $6\beta$  .  
 لكن الطاقة الحقيقية هي  $8\beta$  . لذلك تكون الطاقة غير المتمركزة أو طاقة الريزونانس  $2\beta$  .

تعيين الطاقة غير المتمركزة في البنزين . عملياً . بالطريقة الانية .  
 يمكن ايجاد انثالي التكوين ( enthalpy of formation ) الحقيقية للبنزين  
 حسب قياسات كيموحرارية thermochemical . ويمكن حساب طاقة  
 الجزيئة الافتراضية سداسي ترايين الحلقي بأستخدام طاقات الاصرة  $C-H, C-C, C=C$   
 التي وجدت في جزيئات اخرى مثل الايثان والاثلين . ويكون الفرق بين هذه الطاقات  
 هو القيمة التجريبية للطاقة غير المتمركزة . ومن ثم نحسب  $|\beta|$  ، لان  $2|\beta|$  « تجريبياً »  
 الطاقة غير المتمركزة .

تعتمد قيمة  $|\beta|$  التي تم الحصول عليها للبنزين 18-20 كيلوسعرة لكل مول على  
 اختيار طاقات الاصرة \* . وعملياً . يتم الحصول على القيمة نفسها عند معاملة جزيئات  
 اروماتية اخرى . مثل النفثالين والانثراسين . بالطريقة نفسها . وهي حقيقة تساند الاعتقاد  
 في كون طريقة الاتحاد الخطي للاوربتالات الذرية تصح ، في الاقل ، بصورة اولية .

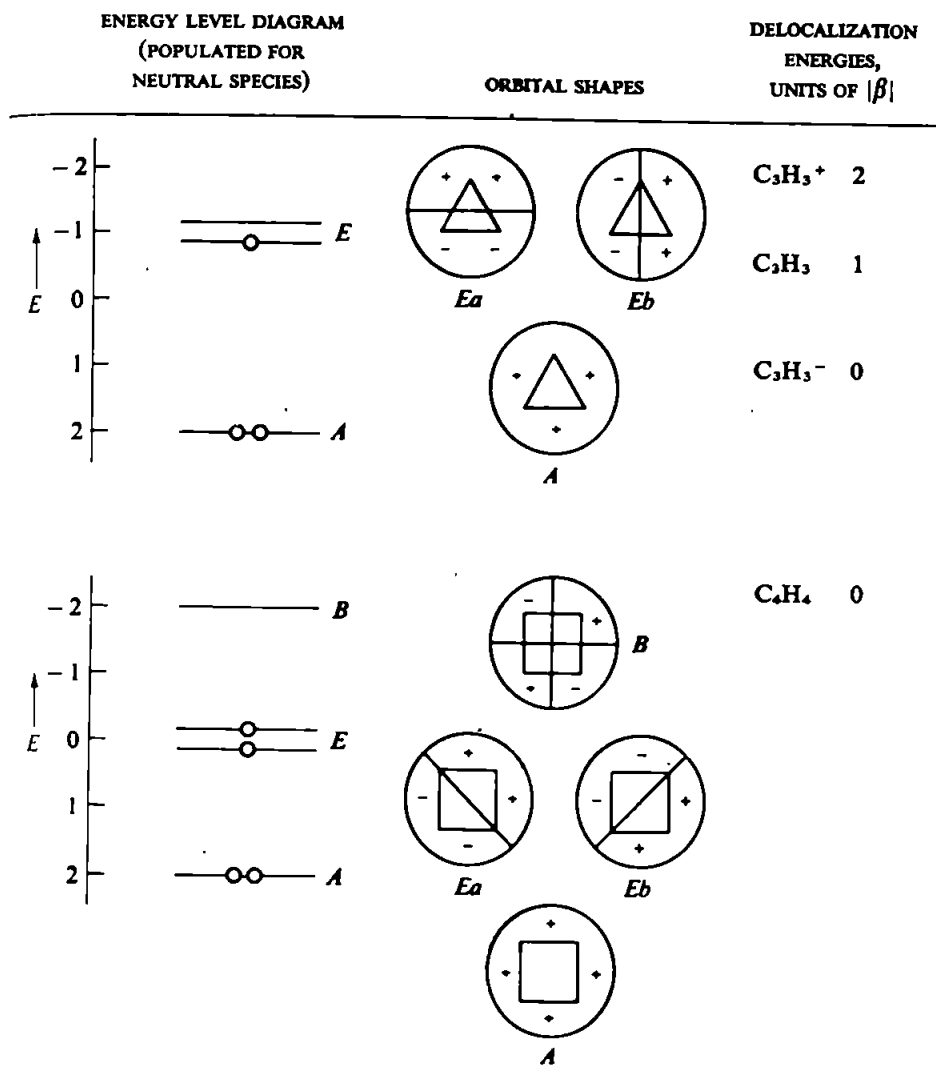
ومن انظمة الكاربونات الحلقية الاخرى من النوع  $(CH)_n$  التي تعود الى مجاميع  
 النقطة  $D_{nh}$  . التي تعد مفيدة هي تلك التي تساوي فيها  $n$  الى 3, 4, 5, 7, 8 . وفي  
 بعض الحالات ليس من الضروري ان تكون الانظمة الحقيقية ذات تماثل  $D_{nh}$  . لكن  
 هناك عادة غرض ما في معاملتها كما لو كانت تعود الى هذا التماثل . اذا كان ذلك بشكل  
 نقطة بداية فقط . وتنطبق المعالجة التي طورت للبنزين *mutatis mutandis*

على جميعها والنتائج ملخصة في الجدول 7.1. ويمكن للتلميذ ان يتدرب على تطبيق  
 المعالجة بالتحقق من هذه النتائج .

\* انظر : الملحق IV لبعض الطرق المهمة التي تأخذ بنظر الاعتبار حساب  $\beta$

جدول 7.1 ملخص هوكيل لحسابات الاوربتال الجزيئي لأنظمة  $(CH)_n$

SYSTEM (SYMMETRY)	LCAO-MO EXPRESSIONS	ENERGIES
$C_3H_3$ ( $D_{3h}$ ) (Note 1)	$\psi(A) = \frac{1}{\sqrt{3}} (\phi_1 + \phi_2 + \phi_3)$	$\alpha + 2\beta$
	$\psi(Ea) = \frac{1}{\sqrt{6}} (2\phi_1 - \phi_2 - \phi_3)$	
	$\psi(Eb) = \frac{1}{\sqrt{2}} (\phi_2 - \phi_3)$	$\alpha - \beta$
$C_4H_4$ ( $D_{4h}$ ) (Note 2)	$\psi(A) = \frac{1}{2}(\phi_1 + \phi_2 + \phi_3 + \phi_4)$	$\alpha + 2\beta$
	$\psi(Ea) = \frac{1}{\sqrt{2}} (\phi_1 - \phi_3)$	
	$\psi(Ea) = \frac{1}{\sqrt{2}} (\phi_2 - \phi_4)$	$\alpha$
	$\psi(B) = \frac{1}{2}(\phi_1 - \phi_2 + \phi_3 - \phi_4)$	$\alpha - 2\beta$

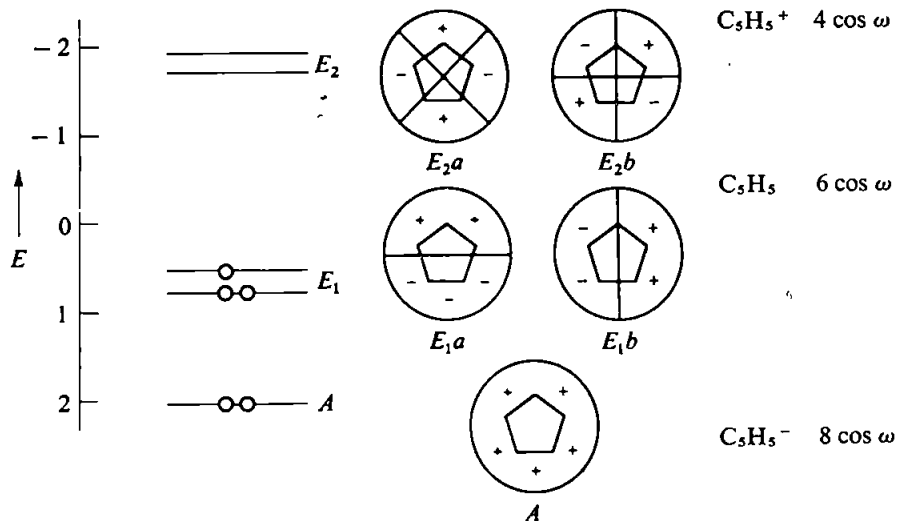




ENERGY LEVEL DIAGRAM  
(POPULATED FOR  
NEUTRAL SPECIES)

ORBITAL SHAPES

DELOCALIZATION  
ENERGIES,  
UNITS OF  $|\beta|$

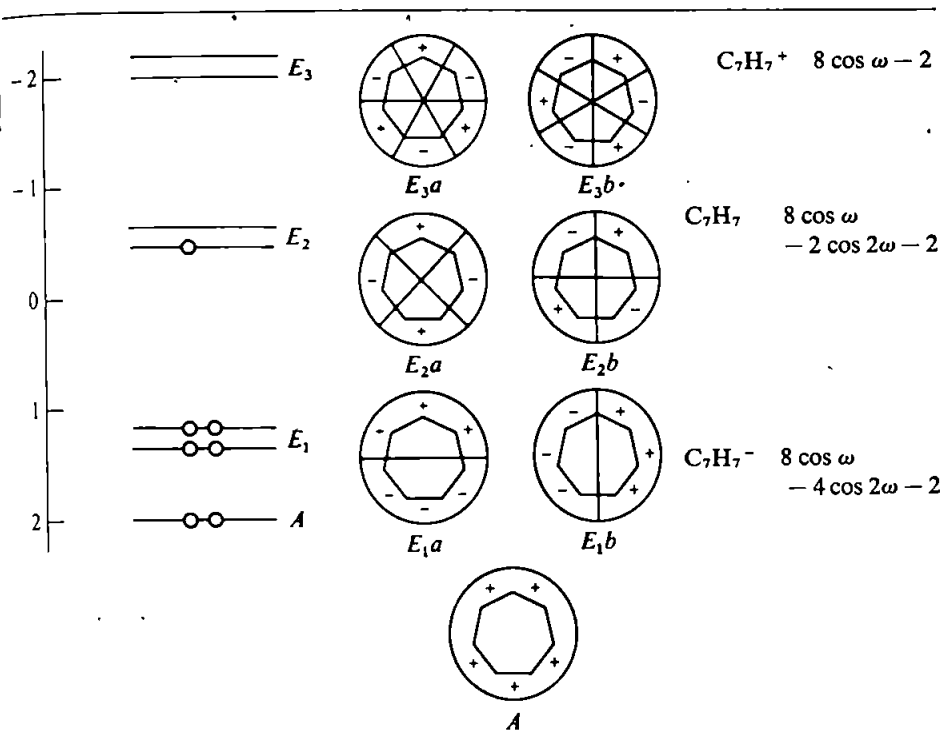


SYSTEM (SYMMETRY)	LCAO-MO EXPRESSIONS	ENERGIES
$C_7H_7$ ( $D_{7h}$ ) $\omega = 2\pi/7$ (Note 3)	$\psi(A) = \frac{1}{\sqrt{7}} (\phi_1 + \phi_2 + \phi_3 + \phi_4 + \phi_5 + \phi_6 + \phi_7)$	$\alpha + 2\beta$
	$\psi(E_1 a) = \sqrt{\frac{2}{7}} (\phi_1 + \phi_2 \cos \omega + \phi_3 \cos 2\omega + \phi_4 \cos 3\omega + \phi_5 \cos 3\omega + \phi_6 \cos 2\omega + \phi_7 \cos \omega)$ $\psi(E_1 b) = \sqrt{\frac{2}{7}} (\phi_2 \sin \omega + \phi_3 \sin 2\omega + \phi_4 \sin 3\omega - \phi_5 \sin 3\omega - \phi_6 \sin 2\omega - \phi_7 \sin \omega)$	$\alpha + 2\beta \cos \omega$
	$\psi(E_2 a) = \sqrt{\frac{2}{7}} (\phi_1 + \phi_2 \cos 2\omega + \phi_3 \cos 3\omega + \phi_4 \cos \omega + \phi_5 \cos \omega + \phi_6 \cos 3\omega + \phi_7 \cos 2\omega)$ $\psi(E_2 b) = \sqrt{\frac{2}{7}} (\phi_2 \sin 2\omega - \phi_3 \sin 3\omega - \phi_4 \sin \omega + \phi_5 \sin \omega + \phi_6 \sin 3\omega - \phi_7 \sin 2\omega)$	$\alpha + 2\beta \cos 2\omega$
	$\psi(E_3 a) = \sqrt{\frac{2}{7}} (\phi_1 + \phi_2 \cos 3\omega + \phi_3 \cos \omega + \phi_4 \cos 2\omega + \phi_5 \cos 2\omega + \phi_6 \cos \omega + \phi_7 \cos 3\omega)$ $\psi(E_3 b) = \sqrt{\frac{2}{7}} (\phi_2 \sin 3\omega - \phi_3 \sin \omega + \phi_4 \sin 2\omega - \phi_5 \sin 2\omega + \phi_6 \sin \omega - \phi_7 \sin 3\omega)$	$\alpha + 2\beta \cos 3\omega$

ENERGY LEVEL DIAGRAM  
(POPULATED FOR  
NEUTRAL SPECIES)

ORBITAL SHAPES

DELOCALIZATION  
ENERGIES,  
UNITS OF  $|\beta|$



$C_8H_8$   
( $D_{8h}$ )  
(Note 4)

$$\psi(A) = \frac{1}{\sqrt{8}} (\phi_1 + \phi_2 + \phi_3 + \phi_4 + \phi_5 + \phi_6 + \phi_7 + \phi_8) \quad \alpha + 2\beta$$

$$\psi(B) = \frac{1}{\sqrt{8}} (\phi_1 - \phi_2 + \phi_3 - \phi_4 + \phi_5 - \phi_6 + \phi_7 - \phi_8) \quad \alpha - 2\beta$$

$$\left. \begin{aligned} \psi(E_1a) &= \frac{1}{\sqrt{8}} (\sqrt{2}\phi_1 + \phi_2 - \phi_4 - \sqrt{2}\phi_5 - \phi_6 + \phi_8) \\ \psi(E_1b) &= \frac{1}{\sqrt{8}} (\phi_2 + \sqrt{2}\phi_3 + \phi_4 - \phi_6 - \sqrt{2}\phi_7 - \phi_8) \end{aligned} \right\} \quad \alpha + \sqrt{2}\beta$$

$$\left. \begin{aligned} \psi(E_2a) &= \frac{1}{2} (\phi_1 - \phi_3 + \phi_5 - \phi_7) \\ \psi(E_2b) &= \frac{1}{2} (\phi_2 - \phi_4 + \phi_6 - \phi_8) \end{aligned} \right\} \quad \alpha$$

$$\left. \begin{aligned} \psi(E_3a) &= \frac{1}{\sqrt{8}} (\sqrt{2}\phi_1 - \phi_2 + \phi_4 - \sqrt{2}\phi_5 + \phi_6 - \phi_8) \\ \psi(E_3b) &= \frac{1}{\sqrt{8}} (\phi_2 - \sqrt{2}\phi_3 + \phi_4 - \phi_6 + \sqrt{2}\phi_7 - \phi_8) \end{aligned} \right\} \quad \alpha - \sqrt{2}\beta$$

قاعدة  $4n + 2$  :

من النتائج التي حصلنا عليها للأنظمة  $C_8H_8$  و  $C_4H_4$ ،  $C_6H_6$  ، يمكن استنتاج قاعدة ، اكتشفها أولاً هوكيل والآن هي معروفة بصورة شائعة ، تهتم باروماتية الانظمة المستوية والكاربونية الحلقية من نوع  $(CH)_n$  .

وبحسب نظرية آصرة التكافؤ ، يتوقع لأي نظام يكون فيه عدد ذرات الكربون زوجياً ان يمتلك استقراراً ريزونانسياً بسبب وجود متشاكلات من النوع الموضح في أدناه للأعضاء الثلاثة الاولى من السلسلة المتشابهة :



Plus several less stable forms

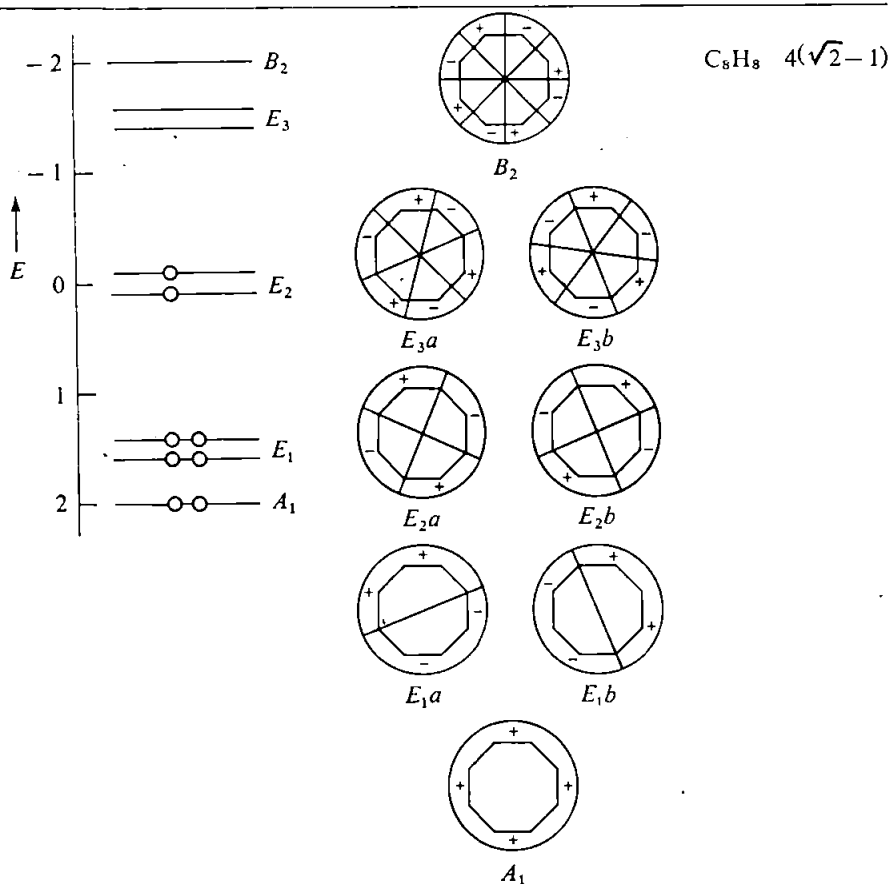


Plus less stable forms such as the Dewar structures



Plus many less stable forms





1. لشرح انظمة  $C_3H_3$  انظر المصدر

R. Breslow, *Angew. Chem., Intern. Ed. (Engl)* 7, 565 (1968).

2. يعد نظام  $C_4H_4$  شبه مستقرواً وطاً طاقة في شكل المستطيل ( $D_{2h}$ ). انظر المصدر

P. Reeves, T. Devon, and R. Pettit, *J. Am. Chem. Soc.*, 91, 5890 (1969).

3. في الحصول على النتائج من النظامين  $C_5H_5$  و  $C_7H_7$  استعملت العلاقة الآتية

$$\sum_{k=0}^{n-1} \cos^2 \frac{k2\pi}{n} = \sum_{k=1}^{n-1} n^2 \frac{k2\pi}{n} = \frac{n}{2}$$

مع علاقات اخرى . المتطابقات المثلثية الاكتر شيوعاً . ومع انه يمكن الحصول على طاقات الاوربتالات الثنائية المنحلة باستخدام العلاقات المعطاة في اعلاه لهذه الاوربتالات والطريقة التي شرحت للبنزين ، تصادف المعادلات الجبرية المربكة . وهناك طريقة ابسط تشتمل على بعض من نظرية الكم ( لم تعالج في هذا الكتاب ) .  
انظر المصدر

H. Eyring, J. walter and G. E. Kimball, Quantum Chemistry, John Wiley, 1944, pp. 254 – 255.

يُعرف ثماني ترايين الحلقي .  $C_8H_8$  . بأنه غير مستو وغير اروماتي . ويوصف بصورة مناسبة بشكل رباعي اوليفين متقارن لكنه غير اروماتي . وتعد معالجة الاوربتال الجزيئي للمستوي الافتراضي  $((CH)_8)$  ذات اهمية ، لكن . بالنسبة للأسئلة عن انعدام استقرار هذا الترتيب للجزيئة الحرة . اضافة الى امكانية استقراره بتكوين الايونين السالين  $C_8H_8^-$  و  $C_8H_8^{2-}$  . وهناك اثبات يؤكد ان الايون الثنائي السالب يأخذ البنية المستوية مع ترتيب الغلاف المغلق . انظر المصدر :

M. J. S. Dewar, A. Harget and E. Haselbach, J. Am. Chem. Soc., 91, 7521 ( 1969 )

والمصادر الموجودة هناك .

ولما كان حساب طاقة الريزونانس للبنزين حسب طريقة آصرة التكافؤتين ان الجزء الاكبر منها يعود الى الريزونانس بين بنيتي كيكيولا المبيتين . لذلك يفترض ان مشابهها يمتلك طاقات استقرار ريزونانسية ذات اهمية . وتكون مثل هذه الاستنتاجات في تغاير مع الحقيقة التجريبية . على اية حال . مادام ثماني ترايين الحلقي يظهر غير مستقر جداً ليكون له اي وجود دائمي . لذلك فانه يوجد بشكل رباعي الاولفين غير المستوي وغير القادر على امتلاك استقرار ريزونانسي من النوع الذي أخذ بنظر الاعتبار .

تهىء نظرية الاوربتال الجزيئي للاتحاد الخطي للاوربتالات ، الذرية البسيطة توضيحاً مباشراً وطبيعياً للحقائق . وقد يلاحظ ان مخططات مستوى الطاقة للجزيئات  $C_4H_4$  و  $C_6H_6$  و  $C_8H_8$  لها الترتيب العام نفسه للمستويات ، وبخاصة ، التوزيع التماثلي للتأصر القوي ، مستوى A غير المنحل ومضاد التماثل القوي ، مستوى B غير المنحل مع تجمع من مستويات E بينهما . ويمكن بيان امكانية تطوير مثل هذا النموذج دائماً في أنظمة  $C_nH_n$  زوجية الاعضاء . والآن ، لأجل الوصول الى الترتيب المغلق ( الترتيب الذي تكون جميع الكتروناته مزدوجة ) من النوع العام  $(\psi_{E_x})^4 | (\psi_A)^2 (\psi_E)^4$  من الضروري ملئ مستوى A غير المنحل الواطيء ومن ثم الاملاء الكلي للزوج الاول x

من المستويات المنحلة الواقعة فوقه ، وبحسب ذلك الى عدد  $4x + 2$  من الالكترونات لذلك اذا حصل فقط للانظمة التي تكون فيها  $n$  ، التي تمثل كل من الالكترونات  $\pi$  وحجم حلقة  $C_n H_n$  عدد يمكن التعبير عنه بشكل  $4x + 2$  ( $x = 1, 2, 3, \dots$ ) يمكن الحصول على الترتيب المغلق . واعداد  $n$  التي تهىء هذه المتطلبات هي 6, 10, 14, .... وللاعداد الصحيحة الزوجية الاخرى ، خاصة 4, 8, 12, ... يتواجد دائماً ترتيب الكتروني من النوع  $(\psi_A)^2(\psi_{E_1})^4 \dots (\psi_{E_x})^2$

وتكون الانظمة ذات الالكترونات  $4n$  ( مثل  $C_4H_4$  and  $C_8H_8$  ) التي تأخذ تماثل  $D_{nh}$  مثل الانظمة المستوية ثنائية الجذر diradicals ، اكثر استقراراً مع ترتيب متعاقب من الأواصر الاحادية والثنائية . وهكذا ، يتضح ان  $C_4H_4$  جزيئة مستطيلة فعالة مع أصرتين قصيرتين ( ثنائية ) وأصرتين طويلتين ( احادية ) ، في حين من المؤكد ان  $C_8H_8$  يحتوي على أربع آواصر احادية واربع مزدوجة . بسبب توتر الزاوية وتناثرات  $H \cdots H$  يكون الشكل المستوي لجزيئة  $C_8H_8$  حوالي 17 كيلو سرعة لكل مول اقل استقراراً من شكل القارب \* . وحتى  $C_{16}H_{16}$  تبين انه متعدد الاوليفين بدلاً من نظام اروماتي ، في حين يظهر  $C_{18}H_{18}$  وبعض انظمة  $C_n H_n$  ذات الحلقات الكبيرة اثباتات فيزيائية للخاصية الاروماتية \*

#### 7.4 الحالات الاكثر عموماً لتأصر $\pi$ الناتج من LCAO-MO

##### رباعي مثلين بيوتان الحلقي Tetramethylenecyclobutane

تعطي هذه الجزيئة توضيحاً مفيداً وحقيقياً للقوة الافتراضية في نظرية الاوربتال الجزيئي البسيطة لهوكيل ، كذلك تعمل مثلاً اولياً جيداً عن كيفية تطبيق طرق التماثل في الحالات الاكثر عموماً . لقد افترض \* في سنة 1952 ان الجزيئة تمتلك 30 كيلو سرعة لكل مول من الطاقة غير المتمركزة ، وفي سنة 1962 حضرت واتضح انها مستقرة \* \* وقد يفترض ان الجزيئة مستوية وستبنى نسق الترقيم الميمن في أدناه .

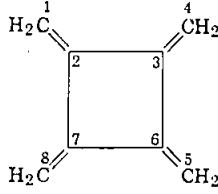
• انظر المصدر الآتي للاطلاع الاوسع

\* M. J. S. Dewar, A. Høget, and E. Haselbach, *J. Am. Chem. Soc.*, **91**, 7521 (1969).

\* For an extensive review of annulenes, see F. Sondheimer, *Proc. Roy. Soc. (London)*, **297A**, 173 (1967).

J. D. Roberts, A. Streitwieser, Jr., and C. M. Regan, *J. Am. Chem. Soc.*, **74**, 4579 (1952)

\* G. W. Griffin and L. I. Peterson, *J. Am. Chem. Soc.*, **84**, 3398 (1962).



تعود الجزيئة الى مجموعة النقطة  $D_{4h}$  . وباستعمال التجمع من اوربิทัลات  $p\pi$  الثمانية للكربون بشكل اساس . ويمكن ان نحصل على التمثيل المختزل الذي يحتوي على التمثيلات غير المختزلة التي يجب ان تعود اليها اوربิทัลات  $\pi$  الجزيئية .

$D_{4h}$	$E$	$2C_4$	$C_2$	$2C'_2$	$2C''_2$	$i$	$2S_4$	$\sigma_h$	$2\sigma_v$	$2\sigma_d$
$\Gamma_\pi$	8	0	0	0	-4	0	0	-8	0	4

$$\Gamma_\pi = 2A_{2u} + 2B_{1u} + 2E_g$$

هناك مظهر مهم جداً لهذه الوضعية يمكن الاستفادة منه . يلاحظ ان ترتيب ذرات الكربون . المرقمة 1 و4 و5 و8 . لمجاميع المثلثين الاربعة تمتلك تماثل  $D_{4h}$  بحد ذاتها ، والترتيب من ذرات الكربون الاربعة في الحلقة ، 2 و6 و7 . تكون بحد ذاتها أيضاً تجمعاً يمتلك تماثل  $D_{4h}$  . والأبعد من ذلك . لاتكون الذرات في التجمع الواحد متكافئة تماثلياً لاي من الذرات الاخرى . ولاتبادل اي من الذرات الخارجية مع اي من الذرات الداخلية بأية عملية تماثلية . وهكذا . يمكن استعمال كل واحد من هذه التجمعات بصورة منفصلة قاعدة لتمثيل المجموعة . واذا أُجري ذلك حصلنا من كل تجمع على التمثيل ،  $\Gamma'_\pi$  . الذي يختزل كالاتي :

$$\Gamma'_\pi = A_{2u} + B_{1u} + E_g$$

يعني ذلك انه اذا كتبنا العلاقة للاوربิทัล الجزيئي  $A_{2u}$  بشكل اتحاد للاوربิทัลات الثمانية جميعها . كالاتي :

$$\psi_{A_{2u}} = N(a_1\phi_1 + a_2\phi_2 + a_3\phi_3 + a_4\phi_4 + a_5\phi_5 + a_6\phi_6 + a_7\phi_7 + a_8\phi_8)$$

يمكن فصلها الى مكونين . يتكون الاول من اوربิทัลات التجمع الداخلي ويتكون الآخر من اوربิทัลات التجمع الخارجي فقط :

$$\psi_{A_{2u}} = N(a_2\phi_2 + a_3\phi_3 + a_6\phi_6 + a_7\phi_7) + N(a_1\phi_1 + a_4\phi_4 + a_5\phi_5 + a_8\phi_8)$$

التجمع الداخلي                      التجمع الخارجي

ولما كانت عمليات التماثل لا تتمكّن من استبدال اوريبتالات التجميعين ، وجب ان تمتلك كل من التجمعات الثانوية في علاقة الاوريبتال الجزيئي  $A_{2u}$  تماثل  $A_{2u}$  ايضاً . وهكذا ، لبناء اوريبتال ذي تماثل  $A_{2u}$  للجزيئة الكلية ، يمكن اولاً بناء اوريبتالات جزيئية من الاوريبتالات الذرية في كل من التجمعات الثانوية ومن ثم دمجها في اوريبتال جزيئي كامل . وينطبق الشرح المشابه على الاوريبتالات الجزيئية لاي تماثل .

والمشكلة التي تظهر في الحال تكمن في دمج الاوريبتالات الاربعة الخارجية في اتحادات خطية تمتلك تماثل  $A_{2u}$  ،  $B_{1u}$  ، و  $E_g$  وكذلك دمج الاوريبتالات الداخلية الاربعة في اتحادات خطية تمتلك هذه التماثلات نفسها . وكما في حالة حلقات الكاربونات الحلقية ، يمكن تبسيط هذه العملية باستعمال مجموعة  $C_4$  الدورانية

عوضاً عن  $D_{4h}$  لان الاول يمكن ان يميز بين الاوريبتالات . اي انه ، اذا تم بناء اوريبتال ذي تماثل  $A$  في مجموعة  $C_4$  ، فانه يأخذ اوتوماتيكياً تماثل  $A_{2u}$  في مجموعة  $D_{4h}$  بسبب التماثل الضروري لاوريبتالات  $p\pi$  نفسها ، وبالتحديد ، الخاصية مضادة التماثل بالنسبة للانعكاس في المستوي الجزيئي . ومن هذه الاعتبارات ، تحدث عملية البناء الصحيح للاتحادات الخطية في التجمعات الثانوية تماماً كما في حالة انظمة الكاربونات الحلقية . وتعدّ خاصيات التمثيلات ، ببساطة ، المعاملات الصحيحة للاوريبتالات الذرية . وتحصل لاوريبتالات  $E$  بعض المعاملات التخيلية ، لكنه يمكن حذفها بأخذ الاتحادات الخطية المناسبة ، وهكذا ، يمكن ان نكتب بالبحث المباشر في جدول الخاصية لمجموعة  $C_4$  ، المعادلات الآتية :

$$\psi_{A^i} = \frac{1}{2}(\phi_2 + \phi_3 + \phi_6 + \phi_7)$$

$$\psi_{A^o} = \frac{1}{2}(\phi_1 + \phi_4 + \phi_5 + \phi_8)$$

$$\psi_{B^i} = \frac{1}{2}(\phi_2 - \phi_3 + \phi_6 - \phi_7)$$

$$\psi_{B^o} = \frac{1}{2}(\phi_1 - \phi_4 + \phi_5 - \phi_8)$$

$$\psi_{Ea^i} = \frac{1}{\sqrt{2}}(\phi_2 - \phi_6)$$

$$\psi_{Eb^i} = \frac{1}{\sqrt{2}}(\phi_3 - \phi_7)$$

$$\psi_{Ea^o} = \frac{1}{\sqrt{2}}(\phi_1 - \phi_5)$$

$$\psi_{Eb^o} = \frac{1}{\sqrt{2}}(\phi_4 - \phi_8)$$

حيث استعملت الارقام العلوية  $i$  و  $o$  لتشير الى ان الاتحاد قد تكوّن من الاوربيتالات الداخلية او الخارجية .

نتمكن الان من حل المعادلة الزمنية باستخدام هذه الاوربيتالات الجزيئية ذات التماثل الصحيح والحصول على طاقات الاوربيتال الجزيئي . وهكذا ، توجد لاوربيتالات  $A$  المعادلة الآتية :

$$\begin{vmatrix} H_{A^i A^i} - E & H_{A^i A^o} \\ H_{A^o A^i} & H_{A^o A^o} - E \end{vmatrix} = 0$$

ومن السهل تقويم عناصر هذه المحددة باستخدام تقريب هوكيل :

مجموعة معادلات - ب

$$H_{A^i A^i} = \int \psi_{A^i} \mathcal{H} \psi_{A^i} d\tau = \frac{1}{4} \int (\phi_2 + \phi_3 + \phi_6 + \phi_7) \mathcal{H} (\phi_2 + \phi_3 + \phi_6 + \phi_7) d\tau$$

$$= \frac{1}{4} \left( \int \phi_2 \mathcal{H} \phi_2 d\tau + \int \phi_2 \mathcal{H} \phi_3 d\tau \right. \\ \left. + \int \phi_2 \mathcal{H} \phi_6 d\tau + \dots + \int \phi_7 \mathcal{H} \phi_7 d\tau \right)$$

$$= \frac{1}{4}(\alpha + \beta + 0 + \dots + \alpha)$$

$$= \frac{1}{4}(4\alpha + 8\beta) = \alpha + 2\beta$$

$$H_{A^o A^o} = \int \psi_{A^o} \mathcal{H} \psi_{A^o} d\tau = \frac{1}{4} \int (\phi_1 + \phi_4 + \phi_5 + \phi_8) \mathcal{H} (\phi_1 + \phi_4 + \phi_5 + \phi_8) d\tau$$

$$= \frac{1}{4}(4\alpha) = \alpha$$

$${}^o H_{A^i A^o} = H_{A^o A^i} = \int \psi_{A^o} \mathcal{H} \psi_{A^i} d\tau$$

$$= \frac{1}{4} \int (\phi_1 + \phi_4 + \phi_5 + \phi_8) \mathcal{H} (\phi_2 + \phi_3 + \phi_6 + \phi_7) d\tau$$

$$= \frac{1}{4}(4\beta) = \beta$$

وكالسابق ، من المناسب اختيار  $\alpha$  بشكل طاقة الصفر واعتبار  $\beta$  بانها وحدة الطاقة .  
لذلك ، تأخذ المعادلة الزمنية لاوربيتالات  $A$  الشكل الآتي :

$$\begin{vmatrix} 2 - E & 1 \\ 1 & -E \end{vmatrix} = 0$$

التي توسع الى معادلة رباعية وتحل :

$$E^2 - 2E - 1 = 0, \quad E_A = (1 + \sqrt{2}), (1 - \sqrt{2})$$

وباتباع طريقة مشابهة للاوربيتالات ذات تماثل B . نحصل على :

$$\begin{vmatrix} H_{B^i B^i} - E & H_{B^i B^o} \\ H_{B^o B^i} & H_{B^o B^o} - E \end{vmatrix} = \begin{vmatrix} -2 - E & 1 \\ 1 & -E \end{vmatrix} = 0$$

والحلول هي

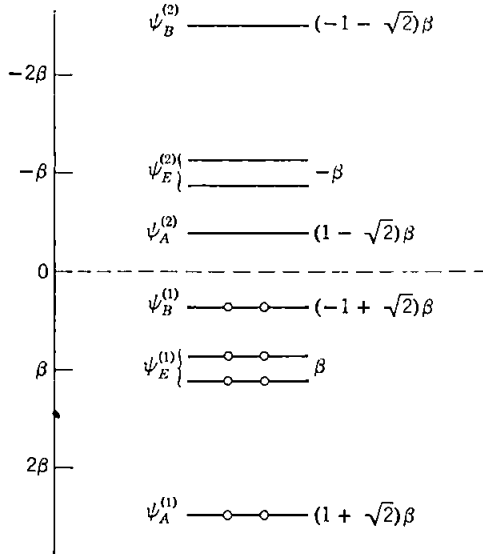
$$E_B = (\sqrt{2} - 1) \text{ and } (-\sqrt{2} - 1)$$

نحصل لاوربيتالات E على محددتين ثنائيتي البعد . تشتمل اولاهما على اوربيتالات Ea وتشتمل الثانية على اوربيتالات Eb . ومن الضروري حل واحدة منهما فقط . وبأختيار المحددة Ea . نحصل على

$$\begin{vmatrix} H_{E^i E^i} - E & H_{E^i E^o} \\ H_{E^o E^i} & H_{E^o E^o} - E \end{vmatrix} = \begin{vmatrix} -E & 1 \\ 1 & -E \end{vmatrix} = 0$$

التي لها الجذور  $E_E = \pm 1$

واذا ادركنا ان  $\beta$  الحقيقية سالبة . امكن استعمال هذه النتائج لبناء مخطط مستوى الطاقة الآتي . حيث أضيفت الالكترونات الثمانية الى الاوربيتالات الاربعة الواطئة :



يمكن ان يلاحظ ان المستويات مرتبة بحيث تكون جميع المستويات التآصلية ( المستويات ذات الطاقات اقل من صفر) مملوءة ، ويجب على جميع الالكترونات ان يكون برمها مزدوجاً .

ويمكن حساب الطاقة غير المتمركزة بسهولة . ويكون الترتيب الاكثر استقراراً للمزدوجات الالكترونية الاربعة في الاواصر الثنائية المتمركزة ، بدون شك ، هو الترتيب المعنون (a) في ادناه ، وتحتوي جميع الترتيبات الاخرى ، مثل (b) او (c) على اقل من اربع اواصر قصيرة ثنائية قوية . ويمكن بسهولة ملاحظة ان طاقة هذا الترتيب  $= \alpha$

صفر ، هي  $8\beta$  ، من استخدام المناقشة في الفقرة 7.3 للبتزين في بنية كيكولا تكون الطاقة الكلية للالكترونات الثمانية التي تشغل الاوربيتالات الجزيئية ، كما هو مبين في مخطط مستوى الطاقة ، كالآتي :

$$[2(1 + \sqrt{2}) + 4(1) + 2(\sqrt{2} - 1)]\beta = 9.656\beta$$

لذلك تكون الطاقة غير المتمركزة او طاقة الرزونانس  $1.66\beta$  ، وهي تساوي تقريباً 33 كيلوسعة لكل مول ، بأخذ  $|\beta| = 20$  كيلوسعة لكل مول .

نعود اخيراً ، الى مهمة ايجاد العلاقات الحقيقية للاوربيتالات الجزيئية المشغولة لغرض امكان حساب مميزات توزيع حالة الاستقرار الالكترونية بشكل رتب آصرة  $\pi$  . فثلاً ، لا تكون  $\psi_A^{(1)}$  ، التي تمتلك الطاقة  $(1 + \sqrt{2})\beta$  ،  $\psi_{A'}$  ، التي تمتلك الطاقة  $2\beta$  ، ولا تكون  $\psi_{A''}$  ، التي تمتلك طاقة مقدداها صفر ، لكنها اتحاد خطي من كليهما ، وتنحصر المسألة في ايجاد معاملات المزج المناسبة . وكما هو مبين سابقاً ، نجري ذلك بالعودة الى المعادلات الآتية التي تنتج منها المعادلات الزمنية . ونحصل للاوربيتالات ذات تماثل A على :

$$c_i(H_{A'A'} - E) + c_o H_{A'A''} = 0 = c_i(2 - E) + c_o$$

and

$$c_i H_{A'A''} + c_o(H_{A''A''} - E) = 0 = c_i - c_o E$$

قد تستعمل اي من هاتين المعادلتين للتعبير عن نسبة  $c_i$  الى  $c_o$  ، مثل

$$c_i/c_o = -1/(2 - E)$$

or

$$c_i/c_o = E$$

للقيم الصحيحة من E ، يجب ان تعطي هاتين المعادلتين النسبة نفسها . اذا ادخلنا طاقة  $\psi_A^{(1)}, (1 + \sqrt{2})\beta$  ، حصلنا على



$$c_i/c_o = -1/(2 - 1 - \sqrt{2}) = -1/(1 - \sqrt{2}) = 1/0.414 = 2.414$$

$$c_i/c_o = 1 + \sqrt{2} = 2.414$$

وهما في الحقيقة متساويتان كما يجب ان تكونا . وعند دمج هذه العلاقة مع شرط المعدلة

$$c_i^2 + c_o^2 = 1 \quad \text{الآتي :}$$

يمكن الحصول على القيم الحقيقية لكل من  $c_o$  و  $c_i$  :

$$c_o = 0.382, \text{ and } c_i = 0.924$$

لذلك تكون العلاقة النهائية لدالة الاوربيتال الجزيئي  $\psi_A^{(1)}$  ، كالآتي :

$$\begin{aligned}\psi_A^{(1)} &= c_i \psi_{A^i} + c_o \psi_{A^o} \\ &= (0.924)\left(\frac{1}{2}\right)(\phi_2 + \phi_3 + \phi_6 + \phi_7) \\ &\quad + (0.382)\left(\frac{1}{2}\right)(\phi_1 + \phi_4 + \phi_5 + \phi_8) \\ &= 0.191(\phi_1 + \phi_4 + \phi_5 + \phi_8) + 0.462(\phi_2 + \phi_3 + \phi_6 + \phi_7)\end{aligned}$$

وبالاستمرار بالطريقة نفسها ، نحصل على العلاقات الآتية للاوربيتالات الجزيئية المشغولة الأخرى :

$$\begin{aligned}\psi_B^{(1)} &= 0.462(\phi_1 - \phi_4 + \phi_5 - \phi_8) \\ &\quad + 0.191(\phi_2 - \phi_3 + \phi_6 - \phi_7) \\ \psi_{Ea}^{(1)} &= 0.500(\phi_1 + \phi_2 - \phi_5 - \phi_6) \\ \psi_{Eb}^{(1)} &= 0.500(\phi_3 + \phi_4 - \phi_7 - \phi_8)\end{aligned}$$

من امثلة استعمالات الاوربيتالات الجزيئية الناتجة من الاتحادات الخطية

للاوربيتالات الذرية ، لنحسب رتب الاصرة في جزيئة رباعي مثليين بيوتان الحلقي ( tetramethylenecyclobutane ) تعرف رتبة الاصرة بين ذرتين بانها مجموع

نواتج معاملات الاوربيتالات الذرية للذرتين في كل من الاوربيتالات الجزيئية المشغولة ، اذ يقيم كل ناتج حسب عدد الالكترونات التي تشغل الاوربتال الجزيئي . وهكذا ، يوجد لاحدى الاواصر المتكافئة في الحلقة ، مثل الاصرة بين  $C_2$  و  $C_3$  :

$$\begin{aligned}\psi_A^{(1)}: \quad 2 \times (0.462)(0.462) &= 0.428 \\ \psi_B^{(1)}: \quad 2 \times (0.191)(-0.191) &= -0.074 \\ \psi_{Ea}^{(1)}: \quad 2 \times (0.500)(0) &= 0.000 \\ \psi_{Eb}^{(1)}: \quad 2 \times (0.500)(0) &= 0.000 \\ \hline &0.354\end{aligned}$$

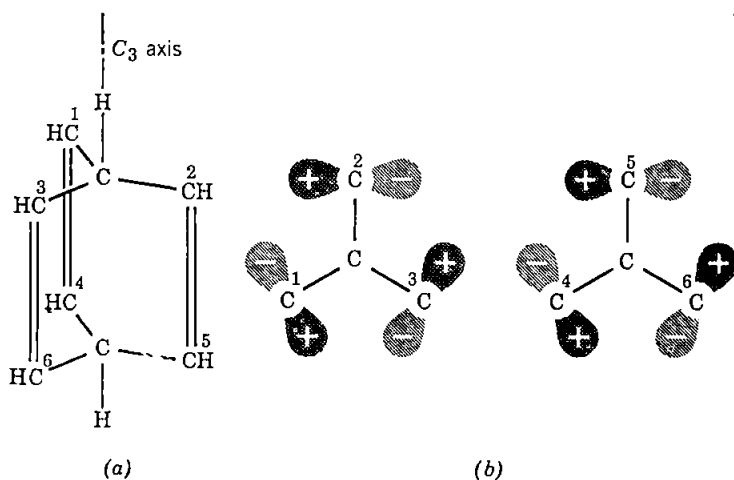
ولاحدى اواصر ايكسو ( exo ) . مثل الآصرة بين  $C_1$  و  $C_2$  :

$$\begin{aligned}\psi_A^{(1)}: & 2 \times (0.191)(0.462) = 0.176 \\ \psi_B^{(1)}: & 2 \times (0.462)(0.191) = 0.176 \\ \psi_{Ea}^{(1)}: & 2 \times (0.500)(0.500) = 0.500 \\ \psi_{Eb}^{(1)}: & 2 \times (0)(0) = 0.000 \\ & \hline & 0.852\end{aligned}$$

يمكن من هذه الاعداد ملاحظة ان الكترونات  $\pi$  متمركزة بقوة اكثر في اواصر ايكسو مما في اواصر الحلقة .

### ثمانى ترايين ثنائى الحلقة *Bicyclooctatriene*

لقد ذكرت البنية المفترضة لهذا المركب ، اولاً ، في سنة 1960\* وهي مبينة في الشكل ( 7.2a ) . يعود هذا المركب الى مجموعة النقطة  $D_{3h}$  وقد وصفت معالجة LCAO-MO له ، لكن ليس بالتفصيل الذي سيبين هنا .



الشكل 7.2 (a) البنية الجزيئية وعدد ذرات الكربون للمركب ثمانى ترايين ثنائى الحلقة (b) مخطط يبين ترتيب اوربتالات  $p\pi$  ( $\phi_i$ 's) المستعملة في معالجة الاوربتال الجزيئى ص ٢٤٤

\* H. E. Zimmerman and R. M. Paufler, *J. Am. Chem. Soc.*, **82**, 1514 (1960).  
C. F. Wilcox, Jr., S. Winstein, and W. G. McMillan, *J. Am. Chem. Soc.*, **82**, 5450 (1960).

يبين الشكل ( 7.2b ) تجمعاً مرقماً لاوربتالات  $p\pi$  الذرية الستة التي ستستخدم لبناء اوربتالات  $\pi$  الجزيئية . وباستخدام هذه الاوربتالات الذرية قاعدة لتمثيل مجموعة  $D_{3h}$  ، نحصل على النتائج الآتية :

$D_{3h}$	$E$	$2C_3$	$3C_2$	$\sigma_h$	$2S_3$	$3\sigma_v$
$\Gamma_\pi$	6	0	0	0	0	-2

$$\Gamma_\pi = A'_2 + A'_1 + E' + E''$$

ينبغي ان يلاحظ ان اوربتالات  $p\pi$  جميعها في هذه الجزيئة تكون اعضاء لتجمع واحد متكافئ ؛ وهناك عملية تماثلية تستبدل اي اثنان منها . وهكذا ، يجب ان نأخذ بنظر الاعتبار جميع الاوربتالات الستة لعمل الاوربتالات الجزيئية ذات التماثلات المناسبة ، وفي الحقيقة ، من المستحيل عمل اوربتالات ذات تماثل صحيح باستخدام اقل من الاوربتالات الذرية الستة كلياً . نبين الان كيف يمكن عمل ذلك بسهولة .

نلاحظ أولاً ان لجميع انواع اوربتالات  $A$  ( في  $D_{3h}$  ) المميزات التماثلية نفسها بالنسبة للدورانات المكونة للمجموعة الثانوية  $C_3$  ؛ كذلك ، للاوربتالين  $E'$  و  $E''$  المميزات نفسها بالنسبة لهذه الدورانات . وهكذا ، يمكن استعمال مجموعة  $C_3$  لوضع بعض الاتحادات الخطية التي تكون صحيحة الى هذا المدى . ولما كانت هذه الدورانات حول محور  $C_3$  لا تستبدل أياً من الاوربتالات  $\phi_1, \phi_2, \phi_3$  مع اوربتالات التجمع  $\phi_4, \phi_5, \phi_6$  يمكن ، مؤقتاً ، معالجة التجمعين بصورة منفصلة . لذلك ، نكتب أولاً الاتحادات الخطية المطابقة لتمثيلات  $A$  و  $E$  في مجموعة  $C_3$  . وكما هو مبين في الفقرة ( 7.3 ) لمثل هذه الانظمة الحلقية ، تعد الخاصيات معاملات صحيحة ، وهكذا ، يمكن ان نكتب ، بالبحث في جدول الخاصية لمجموعة  $C_3$  ، المعادلات الآتية :

$$A: \phi_1 + \phi_2 + \phi_3 \quad \text{and} \quad \phi_4 + \phi_5 + \phi_6$$

$$E: \begin{Bmatrix} \phi_1 + \varepsilon\phi_2 + \varepsilon^*\phi_3 \\ \phi_1 + \varepsilon^*\phi_2 + \varepsilon\phi_3 \end{Bmatrix} \quad \text{and} \quad \begin{Bmatrix} \phi_4 + \varepsilon\phi_5 + \varepsilon^*\phi_6 \\ \phi_4 + \varepsilon^*\phi_5 + \varepsilon\phi_6 \end{Bmatrix}$$

مرة اخرى ، باستعمال الطريقة الموضحة في الفقرة ( 7.3 ) ، نأخذ الاتحادات الخطية للعلاقات في اعلاه لاوربتالات  $E$  بحيث تهى معاملات حقيقية ، ونحصل على

$$E: \begin{Bmatrix} 2\phi_1 - \phi_2 - \phi_3 \\ \phi_2 - \phi_3 \end{Bmatrix} \quad \text{and} \quad \begin{Bmatrix} 2\phi_4 - \phi_5 - \phi_6 \\ \phi_5 - \phi_6 \end{Bmatrix}$$

ولأنهم يجعل هذه العلاقات معدلة لأنها لا تمثل بعد دوال موجية حقيقية .

نعود الآن الى جدول الخاصية لمجموعة  $D_{3h}$  ونلاحظ وجوب تحول اوربتال  $A'_2$  الى نفسه بالانعكاس خلال مستو تماثلي افقي . ويكون تأثير عملية التماثل هذه فـ في الاوربتالات الذرية المنفردة ، كالآتي :

$$\begin{array}{ll} \sigma_h(\phi_1) \rightarrow \phi_4 & \sigma_h(\phi_4) \rightarrow \phi_1 \\ \sigma_h(\phi_2) \rightarrow \phi_5 & \sigma_h(\phi_5) \rightarrow \phi_2 \\ \sigma_h(\phi_3) \rightarrow \phi_6 & \sigma_h(\phi_6) \rightarrow \phi_3 \end{array}$$

وهكذا يجب دمج المجموعتين اللذين يمتلكهما تماثل  $A$  بالنسبة للدورانات ثنائية المرة الى واحد يتحول الى نفسه بالانعكاس خلال  $\sigma_h$  ، بالاستفادة من استعمال المميزات التحولية ، في اعلاه ، للاوربتالات الذرية المنفردة . ومن الواضح ان النتيجة الصحيحة يجب ان تكون كالآتي :

$$\psi_{A'} = \phi_1 + \phi_2 + \phi_3 + \phi_4 + \phi_5 + \phi_6$$

يمكن ان يلاحظ من جدول الخاصية ان الاوربتال  $A'_1$  قد يأخذ ايضا المميزات التماثلية نفسها مثل الاوربتالات التي بنيت لحد الان في هذا الاتحاد الخطي للاوربتالات الذرية وعلى اية حال ، تختلف اوربتالات  $A'_1$  و  $A'_2$  في سلوكها عند الدوران حول المحور ثنائي المرة او عند الانعكاس في  $\sigma_v$  . وبعد التماثل الملازم لاوربتالات  $P$  هو المسؤول عن حقيقة ان نوع الاوربتال اللازم هو  $A'_2$  وليس  $A'_1$  بدون اعطاء الاهتمام الصريح لذلك ويمكن بسهولة اثبات احتياج اوربتال  $A'_2$  . اذا حدث الانعكاس خلال  $\sigma_v$  الذي يمر خلال ذرات الكربون 1 و 4 ، تتحول الاوربتالات الذرية كالآتي :

$$\begin{array}{ll} \sigma_v(\phi_1) \rightarrow -\phi_1 & \sigma_v(\phi_4) \rightarrow -\phi_4 \\ \sigma_v(\phi_2) \rightarrow -\phi_3 & \sigma_v(\phi_5) \rightarrow -\phi_6 \\ \sigma_v(\phi_3) \rightarrow -\phi_2 & \sigma_v(\phi_6) \rightarrow -\phi_5 \end{array}$$

ولهذا

$$\begin{aligned} \sigma_v(\psi_{A'}) &= \sigma_v(\phi_1 + \phi_2 + \phi_3 + \phi_4 + \phi_5 + \phi_6) \\ &= (-\phi_1 - \phi_3 - \phi_2 - \phi_4 - \phi_6 - \phi_5) \\ &= -(\phi_1 + \phi_2 + \phi_3 + \phi_4 + \phi_5 + \phi_6) \\ &= -\psi_{A'} \end{aligned}$$

وهكذا كما ذكرنا ، يمثل هذا الاوربتال  $A'_2$  . ويكون ثابت التعديل الصحيح في تقريب هوكيل  $1/\sqrt{6}$  .

ومن الواضح ان اوربیتال  $A_1''$  ، الذي يجب ان يغير الإشارة بالانعكاس خلال  $\sigma_h$  وخلال  $\sigma_v$  ايضا ، يمتلك الشكل الآتي :

$$\psi_{A_1''} = \frac{1}{\sqrt{6}} (\phi_1 + \phi_2 + \phi_3 - \phi_4 - \phi_5 - \phi_6)$$

بصورة مشابهة تكون خاصيات التمثيلات  $E'$  و  $E''$  تحت  $\sigma_h$  هي 2 و -2 ، على التوالي ، يعني ذلك تحول كل عضو من الزوج  $E'$  الى نفسه بالانعكاس خلال  $\sigma_h$  في حين يتحول كل عضو من تجمع  $E''$  الى نفسه لكن بإشارة سالبة عند الانعكاس في  $\sigma_h$  وتحقق هذه الاحتياجات بدمج العلاقات ، المبينة في اعلاه ، التي تمتلك التماثل  $E$  بالنسبة للدورانات ثلاثية المرة ، كالآتي :

$$\psi_{E'a} = 2\phi_1 - \phi_2 - \phi_3 + 2\phi_4 - \phi_5 - \phi_6$$

$$\psi_{E'b} = \phi_2 - \phi_3 + \phi_5 - \phi_6$$

$$\psi_{E''a} = 2\phi_1 - \phi_2 - \phi_3 - 2\phi_4 + \phi_5 + \phi_6$$

$$\psi_{E''b} = \phi_2 - \phi_3 - \phi_5 + \phi_6$$

والان بتجميع كل النتائج المبينة في اعلاه وجعل كل واحدة منها معدلة ، نكتب القائمة النهائية الآتية للاوربิทัลات الجزيئية الناتجة من الاتحادات الخطية للاوربิทัลات الذرية لثمانى ترايين ثنائي الحلقة : ( bicyclooctatriene )

$$\psi_{A_2'} = \frac{1}{\sqrt{6}} (\phi_1 + \phi_2 + \phi_3 + \phi_4 + \phi_5 + \phi_6)$$

$$\psi_{A_1''} = \frac{1}{\sqrt{6}} (\phi_1 + \phi_2 + \phi_3 - \phi_4 - \phi_5 - \phi_6)$$

$$\psi_{E'a} = \frac{1}{\sqrt{12}} (2\phi_1 - \phi_2 - \phi_3 + 2\phi_4 - \phi_5 - \phi_6)$$

$$\psi_{E'b} = \frac{1}{2} (\phi_2 - \phi_3 + \phi_5 - \phi_6)$$

$$\psi_{E''a} = \frac{1}{\sqrt{12}} (2\phi_1 - \phi_2 - \phi_3 - 2\phi_4 + \phi_5 + \phi_6)$$

$$\psi_{E''b} = \frac{1}{2} (\phi_2 - \phi_3 - \phi_5 + \phi_6)$$

نأخذ الان طاقات هذه الاوربิทัลات بنظر الاعتبار . اذا حسبنا هذه الطاقات باستخدام تقريب هوكيل ، نكون بذلك قد وضعنا جميع تكاملات الريزونانس ، غير

النتائج الآتية :  $H_{14} = H_{41}$ ,  $H_{25} = H_{52}$ , and  $H_{36} = H_{63}$  ، مساوية للصفر . ومن ثم نحصل على

الاوربتال	الطاقة	الاوربيتال	الطاقة
$A_1'$	$\alpha - \beta$	$A_2'$	$\alpha + \beta$
$E''$	$\alpha - \beta$	$E'$	$\alpha + \beta$

وفي هذا التقريب ، يكون اوربتال  $A_1''$  منحلاً بالصدفة مع اوربتالات  $E''$  واوربيتال  $A_2'$  منحلاً بالصدفة مع اوربتالات  $E'$  .

ولتطبيق تقريب هوكيل في هذه الحالة ، تكون العملية الكلية لاستخدام معالجة الاوربتال الجزيئي عديمة الفائدة ، لاننا سنحصل على الجواب نفسه الذي نحصل عليه بافترض احتواء الجزيئة على ثلاث اواصر مزدوجة منعزلة . ويمكن ان تعد كل اَصْرَة مزدوجة ناتجة من تكوين اوربتالين جزيئيين ثنائي المركز يمتلك احدهما الطاقة  $\alpha + \beta$  ( تـآصري ) والثاني يمتلك الطاقة  $\alpha - \beta$  ( مضاد الارتباط ) . لذلك ، نجد في تقريب هوكيل ان ثمانين ثنائي الحلقة لا يمتلك طاقة استقرار ريزونانسية .

اما فائدة معالجة الاوربتال الجزيئي فانها تنحصر في سهولة توسيعها لتأخذ بنظر الاعتبار التداخل بين الاواصر المزدوجة ولاجراء ذلك ، من المعروف ان طاقة التداخل بين اوربتالين مثل  $\phi_1$  و  $\phi_2$  ، التكامل  $\int \phi_1 \mathcal{H} \phi_2 d\tau$  ، لاتساوي صفراً تماماً لكنها تأخذ بعض القيمة المحدودة ، مثل  $\beta'$  . كذلك هناك قيمة محدودة للتكاملات مثل  $\int \phi_1 \mathcal{H} \phi_5 d\tau$  ، التي سنسميها  $\beta''$  . واذا اعدنا حساب ، الطاقات بشمول هذه الكميات ، فاننا سنحصل على نتائج مختلفة نوعاً ما . وهكذا ، نحصل للدالة  $\psi_{A_1'}$  على :

$$\begin{aligned}
 E_{A_1'} &= \frac{1}{6} \int (\phi_1 + \phi_2 + \phi_3 - \phi_4 - \phi_5 - \phi_6) \\
 &\quad \times \mathcal{H} (\phi_1 + \phi_2 + \phi_3 - \phi_4 - \phi_5 - \phi_6) d\tau \\
 &= \frac{1}{6} \left( \int \phi_1 \mathcal{H} \phi_1 d\tau + \int \phi_1 \mathcal{H} \phi_2 d\tau + \int \phi_1 \mathcal{H} \phi_3 d\tau - \int \phi_1 \mathcal{H} \phi_4 d\tau \right. \\
 &\quad \left. - \int \phi_1 \mathcal{H} \phi_5 d\tau - \int \phi_1 \mathcal{H} \phi_6 d\tau + \int \phi_2 \mathcal{H} \phi_1 d\tau + \dots \right) \\
 &= \frac{1}{6} (\alpha + \beta' + \beta' - \beta - \beta'' - \beta'' + \beta' + \dots) \\
 &= \alpha - \beta + 2\beta' - 2\beta''
 \end{aligned}$$

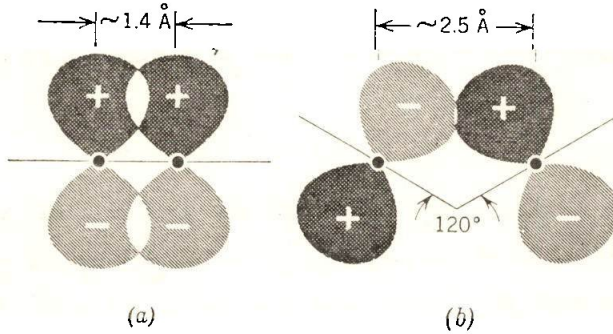
وبصورة متشابهة نحصل للدالة  $\psi_{E''b}$  على :

$$\begin{aligned}
 E_{E''b} &= \frac{1}{4} \int (\phi_2 - \phi_3 - \phi_5 + \phi_6) \mathcal{H} (\phi_2 - \phi_3 - \phi_5 + \phi_6) d\tau \\
 &= \frac{1}{4} \left( \int \phi_2 \mathcal{H} \phi_2 d\tau - \int \phi_2 \mathcal{H} \phi_3 d\tau - \int \phi_2 \mathcal{H} \phi_5 d\tau \right. \\
 &\quad \left. + \int \phi_2 \mathcal{H} \phi_6 d\tau - \int \phi_3 \mathcal{H} \phi_2 d\tau + \dots \right) \\
 &= \frac{1}{4} (\alpha - \beta' - \beta + \beta'' - \beta' + \dots) \\
 &= \alpha - \beta - \beta' + \beta''
 \end{aligned}$$

وهكذا ، عندما يسمح لهذه التداخلات الاضافية . نجد ان الانحلالالات بالصدفة تزال . وبالطريقة نفسها نجد ان طاقات اوربتالات  $A'_2$  و  $E$  . كالآتي :

$$\begin{aligned}
 E_{A'_2} &= \alpha + \beta + 2\beta' + 2\beta'' \\
 E_{E'} &= \alpha + \beta - \beta' - \beta''
 \end{aligned}$$

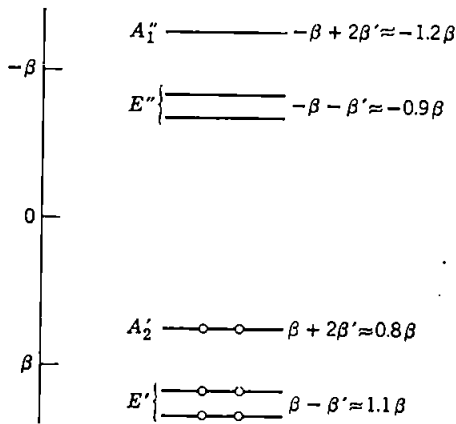
لنلاحظ الآن ما تأثير هذا السماح للتداخل بين الاواصر المزدوجة في طاقة الـريزونانس المحسوبة .



شكل (a) 7.3 الترتيب النسبي لاوربتالات  $p\pi$  على ذرات الكاربون المناصرة المتجاورة في ثنائي ترايين  
ثنائي الحلقة (b) الترتيب النسبي لاوربتالات  $p\pi$  على ذرتي كاربون غير متجاورتين في ثنائي ثنائي الحلقة .

تكون الكمية  $\beta$  سالبة حقيقة لانها تقيس التداخل بين اوربتالات  $p\pi$  المتجاورة المرتبة ( الشكل 7.3a ) بحيث تعطي تداخل التآصر . يقيس التكامل  $\beta'$  التداخل بين اوربتالات  $p$  المرتبة كما هو مبين في الشكل 7.3b ) ، ويمكن أن نبين ان هذا التداخل

مضاد للتأصر بحيث تكون  $\beta'$  موجبة وكذلك يجب أن تكون أصغر ، بالسعة المطلقة ، من  $\beta$  لان الاوربتالات ذات الأهمية منفصلة بدرجة أكبر وتداخلها اقل . ويمكن تعيين النسبة  $-\beta'/\beta$  تقريباً باستخدام تكاملات التداخل : وهي  $\sim 0.1$  تقريباً . كذلك بواسطة تكاملات التداخل ، يمكن بيان ان  $\beta''$  ماتزال أصغر وسنهنها كلياً في الحاضر . بتذكر هذه الاعتبارات ، يمكن رسم مخطط مستوى الطاقة الآتي ، الذي تؤخذ فيه ، كالعادة ،  $\alpha$  بشكل طاقة الصفر .



تعطى طاقة الالكترونات الستة التي تشغل هذه الاوربتالات ، كما هو مبين ، بالعلاقة الآتية :

$$4(\beta - \beta') + 2(\beta + 2\beta') = 6\beta$$

يتم الحصول على الجواب نفسه حتى عند تطبيق علاقات كاملة باستعمال  $\beta''$  . وهكذا ، يكون الاستنتاج كالاتي : مع أن التداخل بين الاواصر المزدوجة بسبب ازاحات معينة لمستويات الطاقة ، لا تنتج عن ذلك زيادة ما في استقرار الجزيئة . وتبقى الطاقة غير المتمركزة مساوية صفراً .

## 7.5 مثال محلول : النفثالين

لتلخيص وتوضيح طرق نظرية الاوربتال الجزيئي كما تم تطويرها لحد الآن ، ينبغي أخذ مثال متقن بدرجة كافية ليكون عاماً ، ومع ذلك فهو يحل في المجال غير المتضمن حسابات عددية ، شيئاً مفيداً . وتكون جزيئة النفثالين مناسبة لهذا الغرض ، ونبين هنا تلخيصاً لحساب الاوربتال الجزيئي حسب تقريب هوكيل . اضافة لذلك تهى جزيئة



النفثالين طريقة جيدة لادخال بعض الافكار الاساسية التي تهم الاطراف الالكترونية للجزئيات العضوية غير المشبعة ، بضمنها فرضية تداخل التوزيع . وستؤخذ هذه المسائل بنظر الاعتبار في الفقرة التالية . وينبغي على القارئ الذي تعلم المادة في الفقرات 7.1 الى 7.4 ان يصعب عليه التحقق من جميع النتائج المعطاة في هذه الفقرة ، وهذا بدوره يهيء الاساس للفقرة 7.6 .

كما ذكرنا سابقاً ، تعود جزئيتا النفثالين الى مجموعة النقطة  $D_{2h}$  . وقد بينا في الشكل 7.1 التجمع من المحاور الاحداثية ونسق ترقيم الذرات . تكون اوربتالات  $p\pi$  ،  $\phi_1$  ،  $\phi_2$  ، ... ،  $\phi_{10}$  ، ثلاثة تجمعات ثنائية ، تكون اعضاء كل منها مكافئة تماثلياً بعضها للبعض الآخر دون اعضاء التجمعات الاخرى . هذه التجمعات والتمثيلات غير المختزلة التي تكون قواعدها ، كالآتي :

$$\begin{aligned} \text{Set 1: } & \phi_1, \phi_4, \phi_5, \phi_8. \quad A_u, B_{1u}, B_{2g}, B_{3g} \\ \text{Set 2: } & \phi_2, \phi_3, \phi_6, \phi_7. \quad A_u, B_{1u}, B_{2g}, B_{3g} \\ \text{Set 3: } & \phi_9, \phi_{10}. \quad B_{1u}, B_{3g} \end{aligned}$$

وهكذا ، يوجد اوربتالان جزئيان من نوع  $A_u$  واثنان من  $B_{2g}$  وثلاثة من  $B_{1u}$  وثلاثة من  $B_{3g}$  . ومن بناء SALC's المطابقة لهذه التمثيلات ، تختزل مسألة حل معادلة المحددة  $10 \times 10$  الميؤوس منها تقريباً ، الى مهمة سهلة العمل لحل معادلتين رباعيتين ومعادلتين مكعبتين . وقد وضعنا ذلك سابقاً في الفقرة 7.2 .

قد تستعمل عوامل الاسقاط للحصول على SALC's ، وتعد الطريقة مباشرة لشمولها على تمثيلات احادية البعد فقط . فمثلاً

$$\begin{aligned} \hat{P}^{B_{2g}} \phi_2 & \approx (1)\hat{E}\phi_2 + (-1)\hat{C}_2^z\phi_2 + (1)\hat{C}_2^y\phi_2 + (-1)\hat{C}_2^x\phi_2 + (1)\hat{i}\phi_2 \\ & + (-1)\hat{\sigma}^{xy}\phi_2 + (1)\hat{\sigma}^{xz}\phi_2 + (-1)\hat{\sigma}^{yz}\phi_2 \\ & = \phi_2 - \phi_6 - \phi_7 + \phi_3 - \phi_6 + \phi_2 + \phi_3 - \phi_7 \\ & \approx \phi_2 + \phi_3 - \phi_6 - \phi_7 \\ & \approx \frac{1}{2}(\phi_2 + \phi_3 - \phi_6 - \phi_7) \end{aligned}$$

ويكون التجمع الكامل من SALC's ( الذي يمثل حل التمرين 6.1 ) كالآتي :

$$A_u: \psi_1 = \frac{1}{2}(\phi_1 - \phi_4 + \phi_5 - \phi_8)$$

$$\psi_2 = \frac{1}{2}(\phi_2 - \phi_3 + \phi_6 - \phi_7)$$

$$B_{1u}: \psi_3 = \frac{1}{2}(\phi_1 + \phi_4 + \phi_5 + \phi_8)$$

$$\psi_4 = \frac{1}{2}(\phi_2 + \phi_3 + \phi_6 + \phi_7)$$

$$\psi_5 = \frac{1}{\sqrt{2}}(\phi_9 + \phi_{10})$$

$$B_{2g}: \psi_6 = \frac{1}{2}(\phi_1 + \phi_4 - \phi_5 - \phi_8)$$

$$\psi_7 = \frac{1}{2}(\phi_2 + \phi_3 - \phi_6 - \phi_7)$$

$$B_{3g}: \psi_8 = \frac{1}{2}(\phi_1 - \phi_4 - \phi_5 + \phi_8)$$

$$\psi_9 = \frac{1}{2}(\phi_2 - \phi_3 - \phi_6 + \phi_7)$$

$$\psi_{10} = \frac{1}{\sqrt{2}}(\phi_9 - \phi_{10})$$

بعد ذلك يمكن وضع المعادلات الزمنية الآتية :

$$A_u: \begin{vmatrix} \alpha - E & \beta \\ \beta & \alpha - \beta - E \end{vmatrix} = 0$$

$$B_{1u}: \begin{vmatrix} \alpha - E & \beta & \sqrt{2}\beta \\ \beta & \alpha + \beta - E & 0 \\ \sqrt{2}\beta & 0 & \alpha + \beta - E \end{vmatrix} = 0$$

$$B_{2g}: \begin{vmatrix} \alpha - E & \beta \\ \beta & \alpha - \beta - E \end{vmatrix} = 0$$

$$B_{3g}: \begin{vmatrix} \alpha - E & \beta & \sqrt{2}\beta \\ \beta & \alpha - \beta - E & 0 \\ \sqrt{2}\beta & 0 & \alpha - \beta - E \end{vmatrix} = 0$$

ويمكن توسيع هذه المحددات الى معادلات متعددة الحدود ( مع قياس الطاقات بوحدات  $\beta$  والاشارة الى  $\alpha$  بشكل طاقة الصفر ) :

$$A_u: E^2 + E - 1 = 0; \quad E = \frac{-1 \pm \sqrt{5}}{2} = -1.618, +0.618$$

$$B_{1u}: (E - 1)(E^2 - E - 3) = 0; \quad E = 1$$

$$E = \frac{1 \pm \sqrt{13}}{2} = 2.303; -1.303$$

$$B_{2g}: E^2 - E - 1 = 0; \quad E = \frac{1 \pm \sqrt{5}}{2} = 1.618, -0.618$$

$$B_{3g}: (E + 1)(E^2 + E - 3) = 0; \quad E = -1$$

$$E = \frac{-1 \pm \sqrt{13}}{2} = -2.303, 1.303$$

تؤدي هذه النتائج الى مخطط مستوى الطاقة المبين في الشكل 7.4. وتعطى الطاقة غير المتمركزة بوحدات  $\beta$  كالآتي :

$$2(2.303 + 1.618 + 1.303 + 1.000 + 0.618) - 10 = 3.684$$

ويمكن بعد ذلك دمج التماثلات المكيفة للاتحادات الخطية  $\psi_1$  SALC's الى  $\psi_{10}$  لتعطي الاوربتالات الجزيئية . وللاوربتالات  $A_u$  الجزيئية ، تكون المعادلات الآتية التي تنتج منها المعادلة الزمنية كالآتي :

$$\begin{aligned} c_1(\alpha - E) + c_2\beta &= 0 \\ c_1\beta + c_2(\alpha - \beta - E) &= 0 \end{aligned}$$

وعند أخذ  $\alpha$  بشكل طاقة الصفرو  $\beta$  وحدة الطاقة ، نحصل على العلاقة الآتية للنسبة  $c_1/c_2$

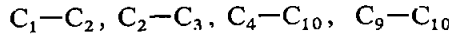
$$c_1/c_2 = 1/E = 1 + E$$

لاوربتال  $A_u$  ذي الطاقة  $\psi_{A_u}^{(1)}$  ، نحصل على  $c_1/c_2 = 1.618$  ، ويحتاج التعديل ان يكون  $c_1^2 + c_2^2 = 1$  ويحل المعادلة بالنسبة لكل من  $c_1$  و  $c_2$  ، نحصل على :  $c_1 = 0.850$  و  $c_2 = 0.526$  ، يمكن كتابة اوربتال  $A_u$  الجزيئي كالآتي :

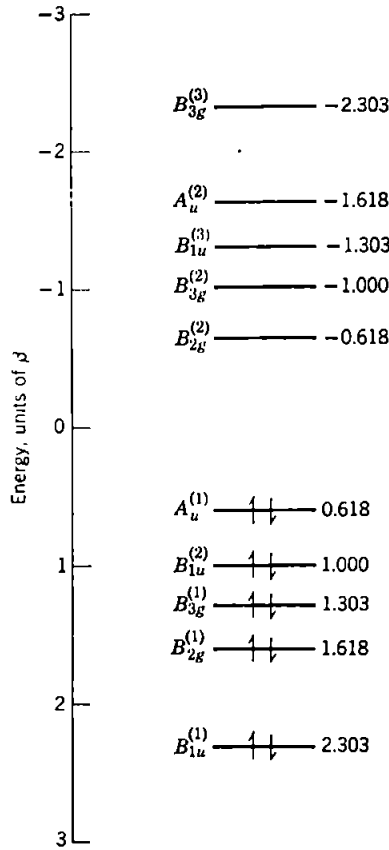
$$\begin{aligned} \psi_{A_u}^{(1)} &= 0.850\psi_1 + 0.526\psi_2 \\ &= 0.425(\phi_1 - \phi_4 + \phi_5 - \phi_8) + 0.263(\phi_2 - \phi_3 + \phi_6 - \phi_7) \end{aligned}$$

وعند الاستمرار بالطريقة نفسها لجميع الاوربتالات الجزيئية في النفثالين ، نحصل على النتائج المبينة في الجدول 7.2. ويستطيع التلميذ أن يختبر فهمه لهذه الطريقة بالتحقق من بعض هذه النتائج .

وتوجد اربعة انواع غير متكافئة من اواصر C-C في النفثالين ، وهي تمثل كالآتي :



وباستخدام علاقات الاوربتال الجزيئي المبينة في الجدول 7.2 يمكن حساب رتبة أصرة  $\pi$  لكل نوع .

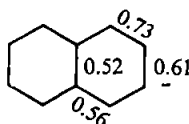


7.4 مخطط مستوى الطاقة لأوربتالات  $\pi$  في النفثالين .

وكما في معادلة رباعي مثليين بيوتان الحلقي ، عرفت رتبة الآصرة ،  $p_{mn}$  ، للآصرة بين الذرتين  $n$  و  $m$  بأنها مجموع الاسهام من كل اوربتال جزئي مشغول ، يعطي كل اسهام بضعف (للالكتروفين ) ناتج معاملات  $\phi_m$  و  $\phi_n$  في ذلك الاوربتال الجزئي . وللرتبة  $p_{12}$  في النفثالين نحصل على :

$$\begin{aligned}
 \psi_{B_{1u}}^{(1)}: 2 \times (0.301 \times 0.231) &= 0.139 \\
 \psi_{B_{2g}}^{(1)}: 2 \times (0.263 \times 0.425) &= 0.225 \\
 \psi_{B_{3g}}^{(1)}: 2 \times (0.400 \times 0.174) &= 0.139 \\
 \psi_{B_{1u}}^{(2)}: 2 \times (0.000 \times 0.408) &= 0.000 \\
 \psi_{A_u}^{(1)}: 2 \times (0.425 \times 0.263) &= 0.225 \\
 &\hline
 &= 0.728
 \end{aligned}$$

ويمكن الحصول على رتب الاواصر الاخرى بصورة مشابهة ، لتعطي النتائج المعبر عنها بالمخطط الآتي :



الجدول 7.2 الاوربتالات الجزيئية في النفثالين

MO	ENERGY, UNITS OF $\beta$ ( $\alpha = 0$ )	LCAO EXPRESSION
$\psi_{B_{1u}}^{(1)}$	2.303	$0.301(\phi_1 + \phi_4 + \phi_5 + \phi_8) + 0.231(\phi_2 + \phi_3 + \phi_6 + \phi_7) + 0.461(\phi_9 + \phi_{10})$
$\psi_{B_{2g}}^{(1)}$	1.618	$0.263(\phi_1 + \phi_4 - \phi_5 - \phi_8) + 0.425(\phi_2 + \phi_3 - \phi_6 - \phi_7)$
$\psi_{B_{3g}}^{(1)}$	1.303	$0.400(\phi_1 - \phi_4 - \phi_5 + \phi_8) + 0.174(\phi_2 - \phi_3 - \phi_6 + \phi_7) + 0.347(\phi_9 - \phi_{10})$
$\psi_{B_{1u}}^{(2)}$	1.000	$0.408(\phi_2 + \phi_3 + \phi_6 + \phi_7) - 0.408(\phi_9 + \phi_{10})$
$\psi_{A_u}^{(1)}$	0.618	$0.425(\phi_1 - \phi_4 + \phi_5 - \phi_8) + 0.263(\phi_2 - \phi_3 + \phi_6 - \phi_7)$
$\psi_{B_{2g}}^{(2)}$	-0.618	$0.425(\phi_1 + \phi_4 - \phi_5 - \phi_8) - 0.263(\phi_2 + \phi_3 - \phi_6 - \phi_7)$
$\psi_{B_{3g}}^{(2)}$	-1.000	$0.408(\phi_2 - \phi_3 - \phi_6 + \phi_7) - 0.408(\phi_9 - \phi_{10})$
$\psi_{B_{1u}}^{(3)}$	-1.303	$0.400(\phi_1 + \phi_4 + \phi_5 + \phi_8) - 0.174(\phi_2 + \phi_3 + \phi_6 + \phi_7) - 0.347(\phi_9 + \phi_{10})$
$\psi_{A_u}^{(2)}$	-1.618	$0.263(\phi_1 - \phi_4 + \phi_5 - \phi_8) - 0.425(\phi_2 - \phi_3 + \phi_6 - \phi_7)$
$\psi_{B_{3g}}^{(3)}$	-2.303	$0.301(\phi_1 - \phi_4 - \phi_5 + \phi_8) - 0.231(\phi_2 - \phi_3 - \phi_6 + \phi_7) - 0.461(\phi_9 - \phi_{10})$

## 7.6 التهيجات الالكترونية في النفثالين : قواعد الاختيار وتداخل الترتيب.

### Electronic Excitations of Naphthalene: Selection Rules and Configuration Interaction

من مخطط مستوى الطاقة ، المبين في الشكل 7.4 يتوقع ان تشمل طاقة الانتقال الواطئة في النفثالين على تهيج الكترون من اوربتال  $A_u^{(1)}$  الى اوربتال  $B_{2g}^{(2)}$  ينبغي أن تكون الطاقة مساوية للفرق بين الاوربتالين وهي

$$0.618 - (-0.618) = 1.236\beta. *$$

عند هذه النقطة ينبغي النظر في الملاحظات عن قيمة  $\beta$  في الملحق IV .

يشتمل الانتقالان التاليان تهيجات  $A_u^{(1)}$  الى  $B_{3g}^{(2)}$   $B_{1u}^{(2)}$  الى  $B_{2g}^{(2)}$  التي يتوقع أن تكون لها طاقات متشابهة  $1.618\beta$  لكن ذلك لا يمثل الحالة . سننظر في هذه الفقرة بدقة أكثر الى التهيجات الالكترونية الثلاثة الواطنة في النفاثلين وسنشرح قواعد الاختيار والاستقطاب وتأثير مايسمى بتداخل الترتيب لاثنين من هذه الانتقالات .

ولفهم الاطيف الالكترونية في الجزئيات ، يجب ان ندرك اولاً ان من المفيد التفكير كلياً بدلالة الترتيبات او التوزيعات الالكترونية ( أي طريقة اشغال الاوربتالات احادية الالكترون ) اذ أن ذلك لا يهييء مباشرة قاعدة مقنعة لوصف الانتقالات الالكترونية . وتعد الاوربتالات احادية الالكترون والترتيبات الالكترونية نفسها تخيلية ، وهي الحالات الناتجة من الترتيبات الالكترونية الحقيقية .

ولكي تكون الدوال الموجية أصيلة يجب ان تصف الحالات دون الاوربتالات المنفردة ( ما لم يوجد الكترون واحد فقط ) أو الترتيبات . وكما في تطبيق مناقشة التماثل على تحليل الانتقالات الالكترونية في النفاثلين أو أية جزيئة اخرى ، فان تماثلات الحالات التي يجب ان تؤخذ بنظر الاعتبار دائماً ليست مباشرة تماثلات الاوربتالات التي تعين فيها الالكترونات المنفردة ، ويمكن على أية حال ، ايجاد تماثلات الحالات من تماثلات الاوربتالات المشغولة . نرغب في هذا الشرح الاولي التأكيد على المميزات التماثلية الفراغية . لذلك سنهمل الاعتبارات التوضيحية للبرم الالكتروني بالتعامل مع حالات التهيج ، المشابهة لحالة الاستقرار ، التي يكون عدد كمها البرمي ( spin quantum number ) صفراً . وعليه ، سيكون رمز الحالة مشيراً الى التوزيع الفراغي أو الاوربتالي للكثافة الالكترونية .

واخيراً ، من المناسب ادخال شكل من الترقيم يسمح لنا بتعيين الترتيبات الالكترونية بصورة بسيطة قدر الامكان . يمثل الالكترون الذي يشغل اوربتال  $B_{1u}$  بالرمز  $b_{1u}$  يشير الحرف السفلي الى كون ذلك تماثل الاوربتال ذي الالكترون الواحد وليس الحالة الحقيقية للدالة الموجية . وعند انشغال الاوربتال نفسه بالكترونين ، نكتب  $b_{1u}^2$  وبهذه الطريقة يكتب الترتيب الالكتروني لجزيئة النفاثلين في حالة الاستقرار ، كالآتي :

$$b_{1u}^2 b_{2g}^2 b_{3g}^2 b_{1u}'^2 a_u^2$$

لاحظ ان الالكترونات قد رتب من اليسار الى اليمين حسب الزيادة في طاقات الاوربتالات التي تشغلها والاختلاف في اوربتالات  $b_{1u}$  يميز باستخدام للشارحة عوضاً عن الاكثار من الاعداد العلوية التي يمكن ان تترك الآن مع الارقام العلوية المشيرة الى وجود الكترونين .

ومن المهم معرفة أن أي ترتيب للالكترونات حيث توجد اوربتالات مملوءة كلياً ، مثل الاوربتالات التي اخذت بنظر الاعتبار ، يعمل على استخدام حالة واحدة فقط تكون متماثلة كلياً . وهكذا ، تمتلك حالة استقرار جزيئة النثالين تماثل  $A_{1g}$  .

### ترتيبات التهيج المنفرد الواطئة :

*Excited Configuration The Lower, Singly*

يشغل في الترتيب المهيج excited configuration الكترون واحد او اكثر اوربتالات غير الاوربتالات الواطئة المتوفرة . وفي الترتيب المهيج المنفرد ينتقل الكترون واحد من الاوربتال الذي يشغله في ترتيب الاستقرار الى اوربتالات ذي طاقة اعلى . ومعظم الانتقالات الالكترونية الملاحظة انما هي من حالة الاستقرار الى الحالة الناتجة من الترتيب المهيج المنفرد . اضافة الى ذلك ، تكون الانتقالات الاكثر احتمالاً في المناطق الطيفية التي يمكن ملاحظتها ( المرئية ، وفوق البنفسجية القريبة ) هي الحالات الناتجة من الترتيبات المهيجة ذات الطاقات الواطئة . قد تحسب هذه الطاقات بصورة تقريبية باخذ طاقات الاوربتالات ، تلك التي يتغير اشغالها بالانتقال من ترتيبات الاستقرار الى ترتيبات التهيج بنظر الاعتبار .

تكون الطاقات الواطئة الثلاثة للنثالين ، ترتيبات التهيج المنفردة وطاقاتها ، نسبة الى طاقة حالة الاستقرار بشكل صفر ، كالآتي :

$$B_{2u}: b_{1u}^2 b_{1g}^2 b_{3g}^2 b_{1u}'^2 a_u b_{2g} \quad E = 0.618 - (-0.618) = 1.236$$

$$B_{3u}: b_{1u}^2 b_{1g}^2 b_{3g}^2 b_{1u}'^2 a_u b_{3g} \quad E = 0.618 - (-1.000) = 1.618$$

$$B_{3u}: b_{1u}^2 b_{1g}^2 b_{3g}^2 b_{1u}'^2 a_u^2 b_{2g} \quad E = 1.000 - (-0.618) = 1.618$$

يعطي كل من هذه الترتيبات حالة ذات تماثل معين على جهة اليسار . تستنتج تماثلات الحالة بالطريقة الآتية : أولاً ، اهمال جميع الالكترونات المتواجدة في اوربتالات منشغلة كلياً ، لأن ذلك الجزء من الترتيب الكلي في كل حالة يكون متماثلاً كلياً . ثانياً ، التأكد من حقيقة ان الالالكترونات الباقية يمكن كتابة الدالة الموجية الناتجة . وهذه الدوال الموجية الناتج هي  $b_{1u} b_{2g}$  ،  $a_u b_{3g}$  ،  $b_{1u} b_{2g}$  للحالات الثلاث في أعلاه . ويوجد تماثل كل منها بتكوين تمثيل الناتج المباشر ، كما هو موضح في الفقرة 5.2

يمكن توضيح ذلك بسهولة باستخدام تمثيلات الناتج المباشر للاوربتالات وحدها حين تشترك اوربتالات غير منحلة فقط . ويصغ الشيء نفسه حين تشترك اوربتالات منحلة ، لكن ذلك يحتاج الى طرق اكثر تطوراً للالجابات .

## قواعد الاختيار والاستقطابات : Selection Rules and Polarizations

قد تكون الانتقالات من حالة الاستقرار الى كل من حالات التهيج المشروحة في اعلاه ، مسموحة او غير مسموحة ، بالمعنى الذي تم شرحه في الفقرة 5.3 . ويمكن ان نطبق المعيار المقدم هناك لايجاد الانتقالات المسموحة وللتأكد من استقطاباتها .

ومعيار criterion الانتقال مزدوج قطبي كهربائي مسموح لأن يكون تمثيل الناتج المباشر لحائتي الاستقرار والتهيج ، او يحتوي ، تمثيل غير مختزل يعود اليه واحد او اكثر من الاحداثيات الديكارتية . ولما كانت حالة الاستقرار تعود الى التمثيل المتماثل كلياً ، كانت تمثيلات الناتج المباشري نفسها في كل حالة مثل التمثيلات التي تعود اليها حالة التهيج ، وهي  $B_{3u}, B_{3u}, B_{2u}$  . وكما يبين جدول خاصية  $D_{2h}$  يعود الاحداثي  $\gamma$  الى تمثيل  $B_{2u}$  ويعود الاحداثي  $x$  الى التمثيل  $B_{3u}$  .

وهكذا ، يكون الانتقال  $A_{1g} \rightarrow B_{2u}$  والانتقالان  $A_{1g} \rightarrow B_{3u}$  مزدوجاً قطبياً كهربائياً مسموحاً electric dipole allowed وفي جميع الحالات ( انظر الشكل 7.1 ) تقع الانتقالات في مستو مستقطب ، يحدث الاول بامتصاص الاشعة مع موجهه الكهربائي المتذبذب على طول المحور  $\gamma$  او محور قصير في الجزئية ، في حين يمتلك الاثنان الآخران استقطاب المحور  $x$  او محوراً طويلاً .

تجريبياً ، تلاحظ ثلاثة انتقالات في المنطقة فوق البنفسجية القريبة ، وتشير قياسات الاستقطاب الى ان احدها « محور قصير » مستقطب ، في حين ان الاثنين الآخرين « محور طويل » مستقطب . وتعطى النتائج في الجدول 7.3

### جدول 7.3 الانتقالات الالكترونية في النفثالين

ENERGY, $\text{CM}^{-1}$	POLARIZATION	ASSIGNMENT
31,800	Long axis	$A_{1g} \rightarrow B_{3u}$
34,700	Short axis	$A_{1g} \rightarrow B_{2u}$
45,200	Long axis	$A_{1g} \rightarrow B_{3u}$



## تداخل الترتيب Configuration Interaction

مع أن النتائج في الجدول 7.3 تظهر ، عموماً ، في توافق جيد مع النظرية ، غير أن هناك تناقضاً واحداً ملحوظاً . حسبنا من طاقات الاوربتال ان للانتقالين  $A_{1g} \rightarrow B_{3u}$  الطاقة نفسها وان هذه الطاقة اعلى من طاقة الانتقال  $A_{1g} \rightarrow B_{2u}$  . وتبين التجربة أن طاقة الانتقال  $A_{1g} \rightarrow B_{2u}$  تقع بين طاقات الانتقالين  $A_{1g} \rightarrow B_{3u}$  . وسبب ذلك يعزى الى الترتيب .

يعد تداخل الترتيب ، ببساطة ، اظهارة للقاعدة ( الفقرة 5.3 ) في كون التكامل بالشكل الآتي :

$$\int \psi_1 \mathcal{H} \psi_2 d\tau$$

قد لا يأخذ قيمة الصفر اذا كان من  $\psi_1$  و  $\psi_2$  يعود الى التمثيل نفسه . لقد اكدنا سابقاً عكس ذلك ، وخاصة ، ان التكامل يجب ان يساوي صفراً حين يعود كل من  $\psi_1$  و  $\psi_2$  الى تمثيلات مختلفة . والآن نهتم بحقيقة ، ان في الحالات الخاصة فقط - بالصدفة ، كما كانت - يكون مثل هذا التكامل مساوياً صفراً اذا امتلكت الدالتان الموجبتان التماثل نفسه . يعني ذلك في هذه الحالة ان للترتيبين المهيجين لتماثل  $B_{3u}$  محصلة تداخل الواحد مع الآخر ، والنتيجة هي أنه يتعذر اشتقاق أي من حالات  $B_{3u}$  الحقيقية بدرجة نقية من أحد ترتيبات  $B_{3u}$  المهيجة ، كما فرضنا ، ضمناً ، لهذا الآن . وعوضاً عن ذلك سيكون هناك مزج وانفصال يوصف بمعادلة زمنية من الدرجة الثانية ،

$$\begin{vmatrix} E^0 - E & H_{12} \\ H_{12} & E^0 - E \end{vmatrix} = 0$$

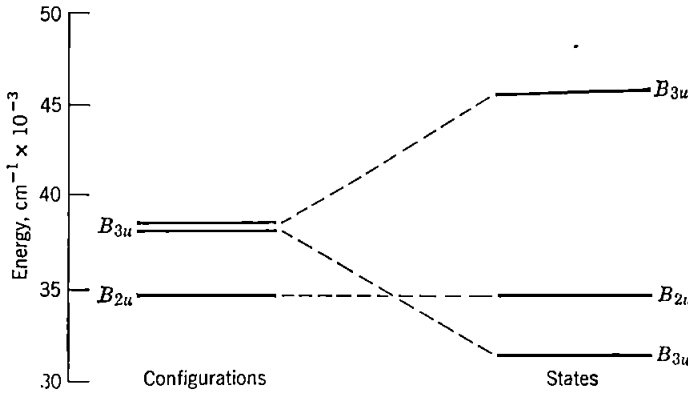
with

$$H_{12} = \int \psi_{B_{3u}} \mathcal{H} \psi'_{B_{3u}} d\tau$$

ومن الواضح ان ذلك يؤدي الى قيمتين مختلفتين للطاقة  $E^0 \pm H_{12}$  ، عوضاً عن القيمة نفسها  $E^0$  لكلتا الحالتين . تعد الوضعية الكلية شكلياً مشابهة لوجود  $2 \times 2$  معادلة محددة لطاقات الاوربتالين المنفردين ذوي التماثل نفسه . وعملياً ، يكون ذلك اختلافاً بسيطاً لعدم وجود طريقة بسيطة لتعيين سعة  $H_{12}$  ، طاقة التداخل . ويعود ذلك الى التنافر الداخلي بين الالكترونات وصعوبة حسابه بدقة .

تسمى الطريقة التي يمتزج فيها الترتيبان المهيجان ويتفصمان ببعد كبير في الطاقة

بتداخل الترتيب . ويتضح ذلك في مخطط مستوى الطاقة للشكل 7.5 في هذه الحالة ..



الشكل 7.5 مخطط مستوى الطاقة الذي يبين كيف يؤدي تداخل الترتيب في تربيّات  $B_{3u}$  المهيجة للنفثالين الى حالتين من  $B_{3u}$  منفصلتين بدرجة واسعة . وقد قيسَت الطاقة من طاقة حالة الاستقرار التي تكون صفراً .

في الحقيقة ، يعدّ مثال تداخل الترتيب الذي تم اختباره حالة خاصة من ناحية أن للترتيبين المتداخلين الطاقة نفسها قبل التداخل . ويشتمل تداخل الترتيب . في أكثر أشكاله العامة ، أي ترتيبيْن لهما التماثل نفسه . وتكون نتيجة التداخل دائماً إعطاء طاقة مختلفة بين الحالتين وهي أكبر من الاختلاف ما بين الترتيبيْن .

وحدوث هذا النوع من التداخل بين الحالات التذبذبية عوضاً عن الحالات 'الالكترونية يطلق عليه ريزونانس فيرمي Fermi resonance ، وسيشرح ذلك فيما بعد ( الفقرة 10.8 ). وفي الحقيقة ، تعدّ الفرضية الوصفية الكلية للاستقراء الريزونانسي - كما استعملتها نظرية آصرة التكافؤ - القاعدة نفسها بمظهر آخر .

## 7.7 التآصر ثلاثي المركز Three-Center Bonding

لقد تحققنا الآن من وجود العديد من الجزئيات التي ينبغي ان يعامل فيها التآصر بوحدات ذرية ثلاثية بشكل أصغر الوحدات التي تؤخذ بنظر الاعتبار . بمعنى آخر ، يجب أن تعدّ الذرات الثلاث بشكل كمية واحدة لا يمكن تقسيمها عوضاً عن اخذها بشكل زوج من الانظمة ثنائية المركز بذرة واحدة مشتركة . وهكذا ، سنفترض أن 'الالكترونات قد تكون غير متمركزة على الهيكل الكلي للذرات الثلاث عوضاً عن تركزها بين اثنتين منها فقط . فاذا كون الهيكل ثلاثي الذرة جزيئة كاملة او ايوناً بحد ذاته ، فان المعالجة

ستكون من نوع معالجة الاوربتال الجزيئي بالمعنى المحدد للكلمة . واذا كانت الكمية ثلاثية الذرة جزءاً من جزيئة كبيرة ، فان التحليل لا يكون من نوع الاوربتال الجزيئي بالمعنى المحدد لاعتبار امكانية عدم تمركز الالكترونات على الجزيئة كلها ، مع أن قواعدهما والنتائج عند تطبيقها على المجموعة المختارة من ثلاث ذرات لا تختلف بأية طريقة اساسية عن تلك التي تم الحصول عليها حين تمثل الذرات الثلاث الجزيئة بأكملها .

ومن امثلة التآصر ثلاثي المركز ، سنأخذ ما يأتي :

1. التآصر ثلاثي المركز المفتوح كما وجد في انظمة  $\pi$  لا يون الاليل allyl ion,

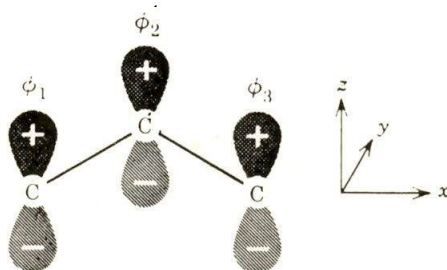
$[H_2CCHCH_2]^-$  ، وفي التآصر الجسري لثنائي البوران .

2. التآصر ثلاثي المركز المغلق كما وجد في أحد الأنواع من تآصر B-B-B الذي يحدث في بعض هيدريدات البورون المعينة .

*Open Three-Center Bonding*

التآصر ثلاثي المركز المفتوح

يبين الشكل في ادناه الهيكل النووي واوربتالات  $p\pi$  الذرية ، وتجمعاً من المحاور المرجع لأيون الأليل :



يعود الايون الى مجموعة النقطة  $C_{2v}$  ويكون التجمع من اوربتالات  $p\pi$  الثلاثة القاعدة للتمثيل الآتي :

$C_{2v}$	$E$	$C_2$	$\sigma_{yz}$	$\sigma_{xy}$
$\Gamma_\pi$	3	-1	1	-3

$$\Gamma_\pi = A_2 + 2B_1$$

يجب أن نكتب الآن التماثلات المكيفة للاتحادات الخطية التي تعود الى هذه

التمثيلات . وبتطبيق عوامل الاسقاط على  $\phi_1$  ومن ثم جعلها معدلة ، نحصل بسهولة على :

$$\psi_{A_2} = \frac{1}{\sqrt{2}} (\phi_1 - \phi_3)$$

$$\psi_{B_1} = \frac{1}{\sqrt{2}} (\phi_1 + \phi_3)$$

ولما كانت  $\phi_2$  فريدة ، يجب أن تكون بحد ذاتها القاعدة لتمثيل  $B_1$  ، ومن السهل اثبات ذلك باختبار سلوكها تحت كل عملية تماثل . وهكذا ، يكون التماثل المكيف للاتحاد الخطي الآخر لتمثيل  $B_1$  ، كالآتي :

$$\psi'_{B_1} = \phi_2$$

لذلك تكون المعادلة الزمنية التي يجب حلها لاوربتالات  $B_1$  كالآتي :

$$\begin{vmatrix} H_{BB} - E & H_{BB'} \\ H_{BB'} & H_{B'B'} - E \end{vmatrix} = 0$$

ونحسب عناصر المحددة كالآتي :

$$H_{BB} = \int \phi_2 \mathcal{H} \phi_2 d\tau = \alpha$$

$$\begin{aligned} H_{BB'} &= \frac{1}{\sqrt{2}} \int (\phi_2) \mathcal{H} (\phi_1 + \phi_3) d\tau \\ &= \frac{1}{\sqrt{2}} \left( \int \phi_2 \mathcal{H} \phi_1 d\tau + \int \phi_2 \mathcal{H} \phi_3 d\tau \right) \\ &= \frac{1}{\sqrt{2}} (\beta + \beta) = \sqrt{2}\beta \end{aligned}$$

$$\begin{aligned} H_{B'B'} &= \frac{1}{2} \int (\phi_1 + \phi_3) \mathcal{H} (\phi_1 + \phi_3) d\tau \\ &= \frac{1}{2} \left( \int \phi_1 \mathcal{H} \phi_1 d\tau + \int \phi_1 \mathcal{H} \phi_3 d\tau \right. \\ &\quad \left. + \int \phi_3 \mathcal{H} \phi_1 d\tau + \int \phi_3 \mathcal{H} \phi_3 d\tau \right) \\ &= \frac{1}{2} (\alpha + 0 + 0 + \alpha) = \alpha \end{aligned}$$

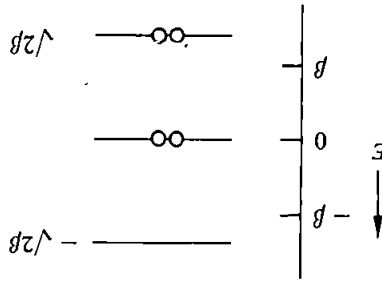
بأخذ  $\alpha = 0$  ، كالعادة ، وبعد ادخالها في المحددة ، نحصل على :

$$\begin{vmatrix} -E & \sqrt{2}\beta \\ \sqrt{2}\beta & -E \end{vmatrix} = 0$$

التي لها الجذران  $\pm\sqrt{2}\beta$ .

يمكن ملاحظة اوربتال  $A_2$  المفرد ، الذي يحتوي على زوج الاوربتالات غير المتجاورة  $\phi_1$  و  $\phi_3$  فقط ، بحثاً للحصول على الطاقة  $\alpha (=0)$  .

من الممكن الان رسم مخطط مستوى الطاقة الاتي لايون الاليل السالب



تكون طاقة ايون الاليل في الشكل المتمركز  $H_2\ddot{C}-CH=CH_2$  مساوية  $+2\beta$  ، مع  $\alpha = 0, 2\beta$  وتكون طاقة الالكترونات الموزعة بالشكل المبين في اعلاه  $2\sqrt{2}\beta$  . لذلك حسب الطاقة غير المتمركزة بانها تساوي  $(2\sqrt{2} - 2)\beta = 0.828\beta \approx 16$  كيلو سرعة لكل مول .

لايجاد الشكل الحقيقي لاوربتال  $B_1$  المشغول ، نكتب اولاً المعادلات الآتية التي نحصل منها على معادلة  $B_1$  الزمنية :

$$c_1(H_{BB} - E) + c_2 H_{BB'} = 0$$

$$c_1 H_{BB'} + c_2 (H_{B'B'} - E) = 0$$

يمكن بعد ذلك ادخال قيمة  $E$  المناسبة ( $\sqrt{2}$ ) بوحدات  $\beta$  ( وقيم  $H'$  في احدى هاتين المعادلتين لتؤدي الى معادلة للنسبة  $c_1/c_2$  . فمثلاً . نحصل من المعادلة الاولى على :

$$c_1(0 - \sqrt{2}) + c_2\sqrt{2} = 0$$

$$-\sqrt{2}c_1 + \sqrt{2}c_2 = 0$$

$$c_1 = c_2$$

يحتاج جعل ذلك معدلاً الى :

$$c_1 = c_2 = \frac{1}{\sqrt{2}}$$

وهكذا ، نحصل على :

$$\begin{aligned}\psi_{B_1}^{(1)} &= \frac{1}{\sqrt{2}} \left[ \frac{1}{\sqrt{2}} (\phi_1 + \phi_3) + \phi_2 \right] \\ &= \frac{1}{2} (\phi_1 + \sqrt{2} \phi_2 + \phi_3)\end{aligned}$$

ويمكن بصورة مشابهة بيان ان اوربتال  $B_1$  مضاد التآصر  $\psi_{B_1}^{(2)}$  ، هو كالآتي :

$$\psi_{B_1}^{(2)} = \frac{1}{2} (\phi_1 - \sqrt{2} \phi_2 + \phi_3)$$

### تعميم النتائج Generalization of the Results

عالجنا لحد الان الحالة الخاصة فقط لتآصر  $\pi$  في النظام ثلاثي المركز ذي الذرات المتشابهة باستخدام اوربتالات  $\pi$  المتشابهة ، ومن السهل عمل تعميم شبه كمي لهذه النتائج وتكفي بعض الامثلة القليلة لبيان كيفية اجراء ذلك .

لنفترض وجود نظام من ثلاث ذرات لكل منها اوربتال  $\pi$  واحد لكن الذرة المركزية تختلف عن الذرات في النهاية ، كما في  $\text{NO}_2$  او  $\text{NO}_2^-$  . مايزال التماثل  $C_{2v}$  ، وما تزال نتوقع ان تعود الاوربتالات الجزيئية الى تمثيلات  $A_2$  و  $A_1$  لتماثل  $C_{2v}$  وما تزال علاقة الاوربتال  $A_2$  كالآتي ، لاسباب تماثلية فقط :

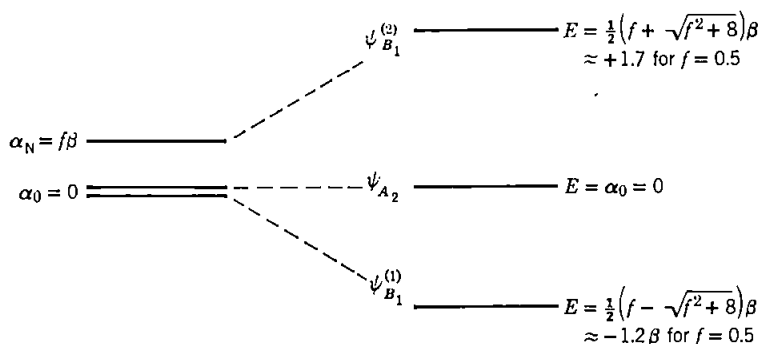
$$\psi_{A_2} = \frac{1}{\sqrt{2}} (\phi_1 - \phi_3)$$

وتكون طاقته  $\alpha_0$  ، اذ يشير الرمز السفلي الى ان هذه الطاقة تعود الى اوربتال  $p$  في الاوكسجين . مرة اخرى ، يمكن وضع الاتحادين الخطيين للاوربتالات ذات تماثل  $B_1$  تأخذ عناصر المحددة الزمنية القيم الاتية :

$$\begin{vmatrix} \alpha_N - E & \sqrt{2}\beta \\ \sqrt{2}\beta & \alpha_O - E \end{vmatrix} = 0$$

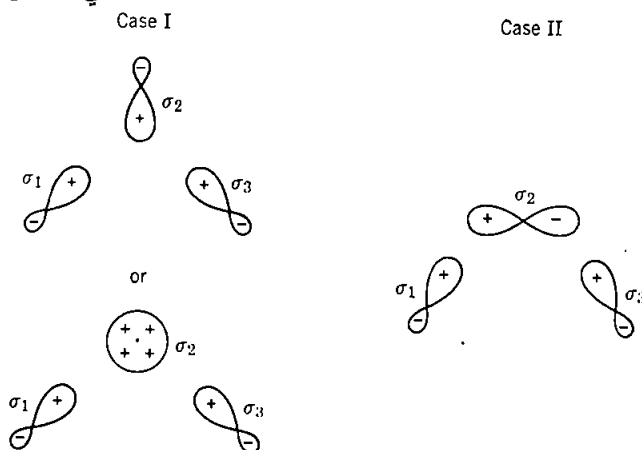
والآن ، بسبب وجود قيمتين مختلفتين من  $\alpha$  ، فان من غير الممكن الحصول على النتيجة البسيطة التي حصلنا عليها سابقا ، لكن ، وصفاً ، تعد النتائج متشابهة جداً كما

هو مبين في الشكل 7.6 لذلك لا يمكن وضع أوربتالي  $B_1$  بصورة متماثلة بالنسبة لاوربتال  $A_2$  ، وتعتمد الدرجة التي يصبح بها المخطط غير متماثل على كمية الاختلاف بين  $\alpha_N$  و  $\alpha_O$  وقد عبر عن هذا الفرق في الشكل 7.6 بوحدات  $\beta$  على شكل  $f\beta$  ، وتبين القيم التجريبية احتمالية وقوع قيمة  $f$  في المدى  $0 < f < 1$  واذا افترض ان  $f = 0.5$  فان الوضع النسبي للمستويات يظهر كما هو مبين في الشكل 7.6



الشكل 7.6 مخطط مستوى الطاقة لتآصر  $\pi$  في  $\text{NO}_2$

لننظر الآن الى بعض الحالات ذات تآصر  $\sigma$  عوضاً عن تآصر  $\pi$  ، نجد طريقة المركز الثلاثي لتآصر  $\sigma$  تستخدم في هيدريدات البورون ، وفي حالات معينة ذات التآصر الهيدروجيني القوي جداً وفي مركبات عديدة لما بعد العناصر الانتقالية الثقيلة مثل  $\text{XeF}_2$  و  $\text{SF}_4$  ، واساساً ، تظهر حالتان ، كما هو مبين في الشكل 7.7 ،



الشكل 7.7 الحالات العامتان للتآصر ثلاثي المركز ، الحالة الاولى : تستعمل الذرة المركزية أوربتالاً تماثلها والثانية : تستخدم الذرة المركزية أوربتالاً مضاد التماثل .

اولاهما تستعمل الذرة المركزية اوربتالاً متماثلاً بالنسبة للانعكاس في المستوى العمودي على الخط  $B \cdots B$  ، وفي الحالة الثانية ، تستعمل الذرة المركزية اوربتالاً مضاد التماثل . وما ينبغي ملاحظته ، بصورة خاصة ، انه ، حتى اذا كان النظام خطياً ، فان النتائج ذات الاهمية هنا لا تتغير . والميزة التماثلية الاوربتالية ذات الاهمية لنا هي السلوك بالنسبة للانعكاس في المستوي المار خلال الذرة المركزية والعمودي على الخط الواصل بين الذرتين النهائيتين ، وليست هناك اهمية فيما اذا كان الخط يمر بالذرة المركزية . وبالنتيجة عندئذ نستخدم مجموعة  $C_s$  ، وهي مجموعة ثابوية لكل من  $D_{\infty h}$  و  $C_{2v}$  ويكون احدهما المجموعة التماثلية الكاملة للنظام . ومع ان تماثل  $C_s$  يسمح فقط بالتمييز بين اوربتالات (A) التماثلية (B) مضادة التماثل ، فان ذلك يمثل المعلومات التماثلية اللازمة . نحصل للحالتين الاولى والثانية على النتائج الآتية ، بافتراض ان للاوربتالات الثلاثة جميعاً  $\alpha$  نفسها التي نضعها مساوية الى صفر :

#### I الحالة الاولى

#### II الحالة الثانية

##### 1. SALC's

$$A: \frac{1}{\sqrt{2}}(\sigma_1 + \sigma_3), \sigma_2$$

$$A: \frac{1}{\sqrt{2}}(\sigma_1 + \sigma_3)$$

$$B: \frac{1}{\sqrt{2}}(\sigma_1 - \sigma_3)$$

$$B: \frac{1}{\sqrt{2}}(\sigma_1 - \sigma_3), \sigma_2$$

##### 2 المعادلات الموجية والطاقات :

$$A: \begin{vmatrix} -E & \sqrt{2}\beta_{12} \\ \sqrt{2}\beta_{12} & \beta_{13} - E \end{vmatrix} = 0$$

$$E = \pm \sqrt{2}\beta_{12} (\beta_{13} = 0)$$

$$A: E = 0 (\beta_{13} = 0)$$

$$B: \begin{vmatrix} -E & \sqrt{2}\beta_{12} \\ \sqrt{2}\beta_{12} & \beta_{13} - E \end{vmatrix} = 0$$

$$B: E = 0 (\beta_{13} = 0)$$

$$E = \pm \sqrt{2}\beta_{12} (\beta_{13} = 0)$$

##### 3 علاقات للاوربتالات :

$$\psi_A^{(1)} = \frac{1}{2}(\sigma_1 + \sqrt{2}\sigma_2 + \sigma_3)$$

$$\psi_A = \frac{1}{\sqrt{2}}(\sigma_1 + \sigma_3)$$

$$\psi_A^{(2)} = \frac{1}{2}(\sigma_1 - \sqrt{2}\sigma_2 + \sigma_3)$$

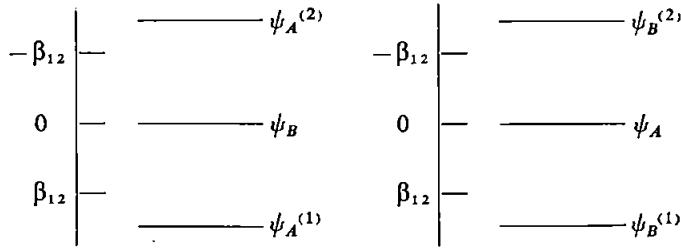
$$\psi_B^{(1)} = \frac{1}{2}(\sigma_1 + \sqrt{2}\sigma_2 - \sigma_3)$$

$$\psi_B = \frac{1}{\sqrt{2}}(\sigma_1 - \sigma_3)$$

$$\psi_B^{(2)} = \frac{1}{2}(\sigma_1 - \sqrt{2}\sigma_2 - \sigma_3)$$

##### 4 مخططات مستوى الطاقة :





عند البحث في النتائج يتضح اختلاف العنوان وهذه في الحالتين اللتين تظهران مختلفتين دون ان تكونا متشابهتين بالنتائج النهائية .

والابعد من ذلك ، اذا ادركنا ان لتأثير تغير  $\alpha$  للذرة المركزية الى قيمة مختلفة عن تلك للذرات النهائية تأثيراً بسيطاً نوعياً في النتائج النهائية ( مالم يكن الاختلاف في  $\alpha$  كبيراً جداً ) ، لاحظنا اننا سنتعامل في جميع وضعيات التآصر ثلاثي المركز المفتوح مع التجمع الضروري نفسه من مستويات الطاقة ، مستوى تأصري واحد ، مستوى غير تأصري واحد ، مستوى مضاد التآصر واحد .

وبلاحظ ان السؤال عن ما يحدث اذا كان اختلاف قيم  $\alpha$  الكبير غير مهم جداً لأن الاختلاف الكبير يؤدي الى تأصر ضعيف وعدم استقرار .

هناك نوعان عامان للتآصر ثلاثي المركز اعتماداً على عدد المزدوجات الالكترونية المشتركة . اذا توفر زوج الكتروني واحد فقط كما في آصرة B-H-B لجزيئة  $B_2H_6$  فان الالكترونات تشغل الاوربتال الجزيئي التآصري ثلاثي المركز . تبين العلاقة للاوربتال الجزيئي التآصري  $\frac{1}{2}(\sigma_1 + \sqrt{2}\sigma_2 + \sigma_3)$  ان توزيع الشحنة الالكترونية يكون زوجياً تقريباً في هذه الحالة . وهكذا ، من الضروري أن يكون هناك نظام غير مستقطب مع الكترونيين تأصريين يعملان على ربط زوجين من الذرات .

في النوع المهم الثاني من التآصر ثنائي المركز ، يجب ان تشغل اربعة الكترونات الاوربتالات الجزيئية ، يدخل احد الازواج في الاوربتال التآصري ، محاولاً اعطاء توزيع زوجي للشحنة واسهام تأصري قوي . اما الزوج الثاني فيدخل في اوربتال جزيئي غير تأصري ، حيث يكون تأثير الالكترونات قليلاً في قوة الآصرة لكن لها تأثيراً ملحوظاً في استقطاب الآصرة . يوصف الاوربتال غير التآصري بالعلاقة :

$$\frac{1}{\sqrt{2}}(\sigma_1 \pm \sigma_3)$$

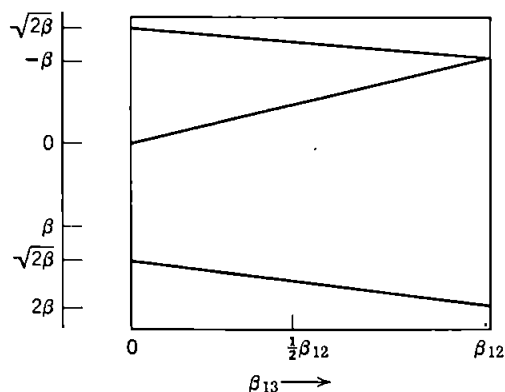
اذ تتركز الكتروناته كلياً على الذرات النهائية . وهكذا . يجعلها سالبة اكثر من الذرة المركزية . يؤدي وجود الالكترونات في الاوربتالات الجزيئية غير التآصرية والاوربتالات الجزيئية التآصرية الى وضعية يمكن التكلم عنها « بالخاصية الايونية » في الآصرة . وللتطبيقات العامة والمفيدة لهذه الفرضيات . قد يستعين القاري بالمقالات المختلفة في مصادر ومراجع البحوث \* .

### التآصر ثلاثي المركز المغلق *Closed Three-Center Bonding*

في الحالات التي عولجت لحد الآن . اهتمنا أي تدخل مباشرين الذرات النهائية . ويمكن تعريف التآصر ثلاثي المركز المفتوح بانه الوضعية التي يتحقق فيها مثل هذا الاهمال . وعندما يصبح تأثير  $\beta_{13}$  في النتائج كبيراً جداً بحيث لا يمكن اهماله . نحصل على التآصر ثلاثي المركز المغلق . لاحظنا ان المعادلات الزمنية التي كتبت سابقاً . للحالتين الاولى والثانية من التآصر ثلاثي المركز المفتوح . اشتملت على  $\beta_{13}$  التي ساوت صفراً عند حل المعادلات بالنسبة للطاقات . لنفترض انه اتجهنا الآن الى النهاية القصوى من الحالة الثانية . واخذت  $\beta_{13} = \beta_{12}$  فان المعادلة الزمنية لاوربتالات  $A$  تاخذ الشكل الآتي :

$$\begin{vmatrix} -E & \sqrt{2}\beta \\ \sqrt{2}\beta & \beta - E \end{vmatrix} = 0$$

التي لها الجذران  $-$  و  $2\beta$  في خلال ذلك تتغير طاقة اوربتال  $\beta$  لتصبح  $-\beta$  عوضاً عن صفر ( لحالة  $\alpha = \text{صفر}$  ) . ونظراً لوجوب حدوث تغير مستمر في طاقات الاوربتالات الجزيئية حين تتغير سعة  $\beta_{13}$  امكن رسم مخطط الارتباط الآتي :



يلاحظ انه عند جعل  $\beta_{13} = \beta_{12}$  وتأخذ جميع الذرات قيمة  $\alpha$  نفسها ، نكون قد افترضنا في الاقل تماثل  $C_3$  للنظام . وبهذا التحديد يمكن الحصول على النتائج مباشرة بمعالجة النظام ذي اوربيتالات  $\sigma$  الثلاثة المتكافئة على الذرات الثلاثة المرتبطة بمحور ثلاثي المرة . وفي مثل هذه الحالة يعد الاوربيتالان ذوي الطاقة نفسها  $(-\beta)$  على شكل مكونات للزوج المنحل الثنائي . وتنتج وضعية متشابهة كلياً لكنها تختلف في تفصيلات غير مهمة ، اذا اعدنا اجراء المعالجة لجذر الألبا ، باشتراك  $\beta_{13} = \beta_{12}$  . وتكون الحالة المحدودة هنا مكافئة لنظام  $\pi$  لجذر البرونيتسل الحلقي .

## 7.8 التماثل المعتمد على قواعد الاختيار لتفاعلات تلوين الحلقة :

### Symmetry-Based "Selection Rules" for Cyclization Reactions

لقد بينا في الفقرة 5.1 ان الدوال الموجية الجزيئية المقبولة يجب ان تكون قواعد التمثيلات غير المختزلة لمجموعة تماثل النقطة التي تعود اليها الجزيئية المعنية . وقد طبقنا في فقرات سابقة من هذا الفصل هذه التحديدات التماثلية الاساسية لايجاد دوال موجية مقبولة لجزيئات مختلفة في حالات استقرارها اوتهيجهها . ويتعامل علم الكيمياء ليس مع ماهية الجزيئات فحسب وانما مع الشيء الذي تفعله ايضاً - اي مع التفاعلات

الكيميائية . كقاعدة ، يجب ان يتوافق النظام المتفاعل في جميع المراحل مع متطلبات نظرية الكم ، بضمنها التحديدات التماثلية ، ولكن بصورة عامة ، يكون التحليل الواضح للنظام المتفاعل معقداً الى درجة بعيدة . هناك حالات معينة مهمة تدخل فيها

اعتبارات التماثل بصورة مباشرة نسبياً ، ويمكن بالتحليل المناسب اكتشاف قواعد عامة وقوية جداً . ومع ان هذه القواعد شرحها باحثون عديدون فقد أجرى R. B. Woodward و R. Hoffmann اكثر الدراسات واوسعها بهذا الصدد ، وتسمى مثل هذه القواعد غالباً بقواعد Woodward-Hoffmann . وقد شرح الباحثان تفسيراً موسعاً لهذا الموضوع \* .

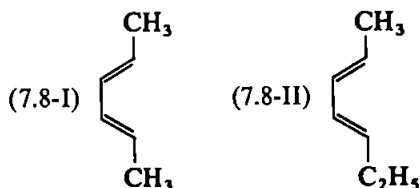
يكون التماثل المعتمد على قواعد الاختيار من نوع Woodward-Hoffmann مناسباً عند تحقق شرطين . (1) ينبغي ان تكون للتفاعل عملية متوافقة *concerted process* مثل خطوة ايجاد سرعته . يقصد بذلك العملية التي تتجمع فيها النوعيات المتفاعلة سوية وتتحول الى النواتج في صدام متعاقب مستمر واحد ، بدون أية نواتج وسطية او اي اعتراض من النوعيات غير المتفاعلة ، مثل المحفزات *catalysts* (2) خلال السياق الكلي للعملية المتوافقة ، يجب ان يبقى واحد او اكثر من عناصر التماثل للنظام المتفاعل الكلي . لذلك يجب على الدوال الموجية للنظام ان تتطابق باستمرار مع المتطلبات التي تفرضها عناصر التماثل الباقية هذه .

وفي مسألة عملية ، ليس من الضروري ان يتحقق الشرط الثاني بدقة . واذا امتلك الهيكل المتفاعل للذرات بحد ذاته عناصر تماثل معينة ، فان القواعد المعتمدة على هذه العناصر يتوقع بقاؤها حتى اذا أدت التعويضات على بعض الذرات الهيكلية الى تحطيم التماثل الهيكلي . ويحدث ذلك حين لا تختلف المجاميع المعوضة كثيراً بعضها عن البعض الآخر من الناحية الالكترونية . فمثلاً ، يمتلك الداين 7.8-I تماثل  $C_{2v}$  ، فاذا استبدل احد مجاميع المثليل بمجموعة اثيل لتعطي 7.8-II ، اختزل التماثل الى اكثر من  $C_s$  . وعلى أية حال ، يعني التشابه الالكتروني بين  $CH_3$  و  $C_2H_5$  ان البنية الالكترونية للهيكل 7.8-II تختلف قليلاً جداً عن 7.8-I . لذلك فان القواعد المعتمدة على التماثل والمربطة بدقة الى البنية 7.8-I تصح عملياً ايضاً للبنية 7.8-II .

من الواضح أنه اذا استبدلت مجموعة مثيل واحدة في 7.8-I بمجموعة تختلف الكترونياً ، الى حد كبير ، من  $CH_3$  ، مثل  $COOH$  او  $F$  ، كانت قابلية تحول القواعد

\* R. B. Woodward and R. Hoffmann, *Angew. Chem., Intern. Ed. (Engl.)*, 8, 781 (1969).

المتعمده على تماثل  $C_{2v}$  الى المركب المعروض مشكوكاً فيها . وينبغي على الكيميائي أن يكون حكيماً وحذراً في التعامل مع التماثل المحطم من قبل المعوضات ، لكن الخبرة الحديثة تفترض قبول الانحراف الكبير عن التماثل النموذجي .



من بين الانواع العديدة للتفاعلات التي تعامل حسب قواعد Woodward-Hoffmann تكوين الحلقات cyclizations التي تتحول فيها الاوليفينات ذات الحلقة المفتوحة ، حرارياً thermally او كيميائياً photochemically ، الى نوعيات حلقيه ، وهي مهمة بصورة خاصة ويمكن ان تعمل على توضيح الاسس المساهمة في هذا النوع من التحليل . لذلك سنشرح تكوين الحلقات ثنائية وحادية الجزيئة ، ونبدأ بتكوين دايمر الاثيلين حتى ننتهي الى التفاعل المهم المشهور بتفاعل Diels-Alder

### تكوين دايمر الاثيلين *Dimerization of Ethylene*

يعد هذا ايسر مثال عملي لتكوين حلقة اوليفين ، ومثل التفاعل تخطيطياً كالاتي :



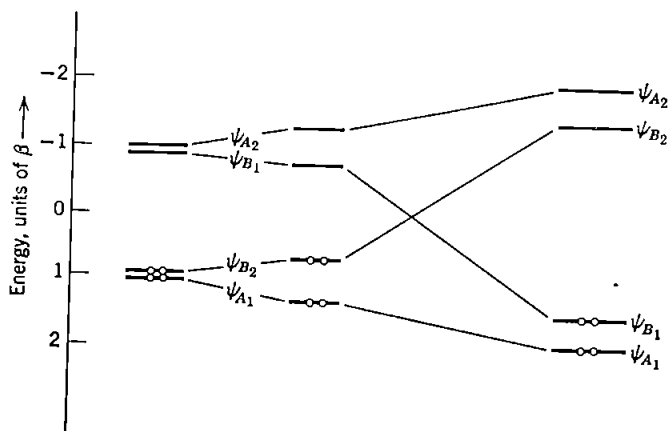
اذا اقتربت الجزيئات المتفاعلة من بعضها مع مستوياتها الجزيئية متوازية ومن ثم تحولت الى الناتج ، البيوتان الحلقي ، مع هيكل  $C_4$  المستوي ، فان هناك عدداً من

عناصر التماثل الباقية . وحتى تصل الجزيئة الناتجة الى تماثل  $D_{2h}$  وللناتج النهائي ذي الحلقة المستوية . يكون التماثل  $D_{4h}$  . ولما كانت  $D_{2h}$  مجموعة ثانوية لمجموعة  $D_{4h}$  ، تبقى عناصر التماثل التي تعطي  $D_{2h}$  بدون تغيير .

يمكن أن تنتج مجموعة  $D_{2h}$  بثلاثة عناصر تماثل ، وهي مستويات التماثل الثلاثة . وينتج عن كل زوج من الانعكاسات في المستويات دوران  $C_2$  حول المحور المتكون من تقاطع المستويات ، وهكذا ، تعمل المميزات التماثلية للدالة الموجية بالنسبة للمستويات

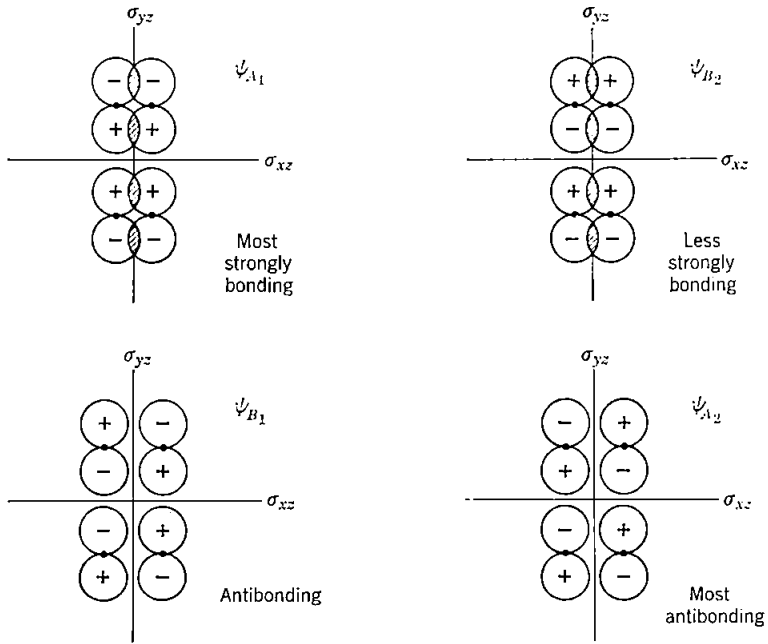
اوتوماتيكياً على ايجاد تماثلها بالنسبة للدورانات ، ولا يحتاج الاخير الى أن يؤخذ توضيحية بنظرو الاعتبار .

يعمل التفاعل الذي ندرسه على تحويل اثنتين من اواصر  $\pi$  الى آصرتين من نوع  $\sigma$  او ، بدقة اكثر . يتحول زوجان الكترونيان من اوربتالات  $\pi$  التآصرية الى اوربتالات  $\sigma$  التآصرية ، في حين تبقى جميع الاواصر الاخرى في الجزئيات دون تغير بحيث يمكن اهمالها . نركز انتباهنا على الالكترونات والاوربتالات التي تتغير بدرجة رئيسة ، وينطبق النسق نفسه على جميع التحليلات المشابهة . والأبعد من ذلك ، مادامت جميع الاوربتالات الذرية التي تؤخذ بنظر الاعتبار واقعة في المستوي الحاوي على ذرات الكربون الاربع ، تكون جميع الاوربتالات الذرية والجزئية  $\pi$  او  $\sigma$  ، المشتركة متماثلة للانعكاس في هذا المستوي ، لذلك فان التماثل بالنسبة لهذا المستوي لا يتغير ويمكن اهماله . وتؤخذ بنظر الاعتبار المميزات التماثلية نسبة الى المستويين الآخرين ، العموديين على مستوي ذرات الكربون . يعني ذلك ان المجموعة التماثلية  $C_{2v}$  ، المجموعة الثانوية لكل من  $D_{2h}$  و  $D_{4h}$  ، تكون كافية ، وتحدد المناقشة التي تتبع ذلك باستخدام مستويين عموديين يعرفان مجموعة  $C_{2v}$  .



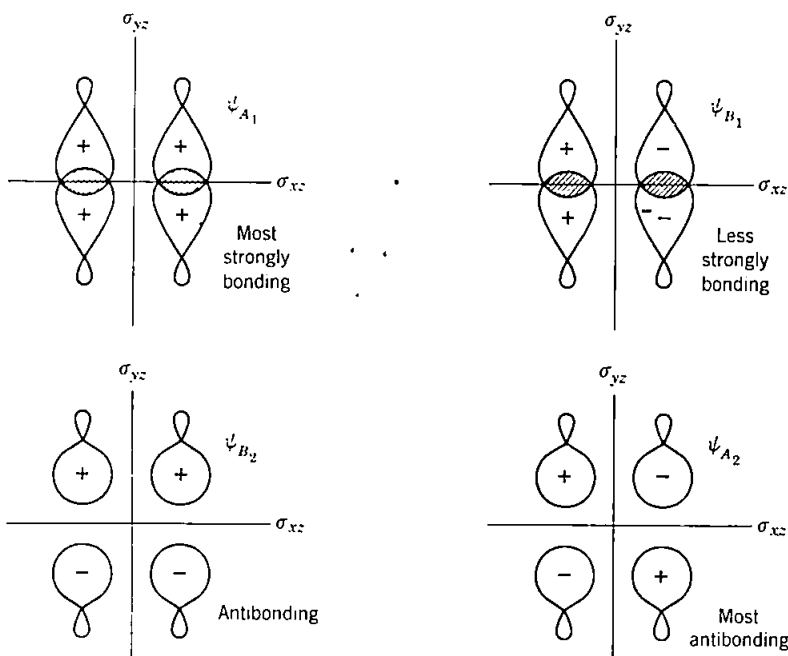
الشكل 7-8 مخطط يربط بين الاوربتالات لتكوين دايمر الاثلين . جهة اليسار : جزئتا اثلين منفصلتان بدرجة بدرجة واسعة . المركز : جزئتا اثلين متقاربتان بدرجة كافية لحدوث التداخلات المهمة . جهة اليمين : البيوتان الحلقي ، الترتيبات الالكترونية المطابقة لحالة استقرار كل مرحلة .

تتكون كل آصرة C-C من نوع  $\pi$  من تداخل اوربتالات  $p\pi$  على ذرات الكربون ويؤدي التداخل الموجب الى اوربتال تاصري ، يستقر بالطاقة  $|\beta|$  ويحتوي على الكترونين ويوجد ايضاً الاوربتال مضاد الارتباط الفارغ الناتج من التداخل السالب ويكون غير مستقر بطاقة مقدارها  $|\beta|$  . حين تكون الجزيئتان من الاثلين بعيدتين عن بعضهما ، ويكون التداخل بينهما مهملاً ، وبعد مخطط مستوى الطاقة المبين في جهة اليسار من الشكل 7.8 مناسباً . تكون اوربتالات  $\pi$  التآصرية ومضادة التآبر منحلة . يتغير المخطط مع اقتراب جزيئات الاثلين ويبدء التداخل بالطريقة المبينة في مركز الشكل 7.8



يمكن بسهولة فهم سبب التغيرات في الطاقة والقاعدة لرموز تماثل الاوربتالات بالاشارة الى الهياكل المصاحبة . ومن الواضح من مقارنة هذه الهياكل مع جدول خاصية  $C_{2v}$  ان للدوال المبينة المميزات التماثلية التي تحتاج اليها التمثيلات التي تم تعيينها اليها . ومع اقتراب جزيئات الاثلين بدرجة كافية لحدوث التداخل الجزيئي الداخلي ، فمن الواضح ان التداخل الموجب المشترك في  $\psi_A$  والتداخل السالب في  $\psi_B$  يسبب انحراف الطاقات ، كما هو مبين في الشكل 7.8

نعود الآن الى اوربتالات  $\sigma$  التي يجب ان تنتج لتكون الناتج الحلقي ، وقد رسمت هذه الاوربتالات تخطيطياً في الهياكل المبينة في ادناه .



تبين الجهة اليمنى من الشكل 7.8 الطاقات النسبية لاوربتالات  $\sigma$  بطريقة شبه كمية ، ويتضح ان طاقات الاوربتالات بالنسبة لبعضها البعض تتبع الدرجات النسبية للتداخل . وقد عدلت طاقاتها نسبة الى طاقات اوربتالات  $\pi$  لتأخذ تفسيراً وصفيّاً لحقيقة كون تداخلات  $\sigma$  اكبر من تداخلات  $\pi$  ، ولهذا تكون اواصر  $\sigma$  اقوى من اواصر  $\pi$

يظهر البحث في الشكل 7.8 ، كما رسم الآن ، تناقصاً كبيراً لاهمية . ويبين الشكل في هذه الصورة الحاضرة كل مرحلة من النظام ذات الترتيب الالكتروني الاوطأ طاقة ، اي في حالة استقراره . ولما كان المستويان التماثلان  $\sigma_{yz}$  و  $\sigma_{xz}$  موجودين باستمرار وموصلين جهة اليسار باليمين في الشكل 7.8 ( او بالعكس ) ، بشكل مهم نسبياً لتغيرات التداخل المختلفة ، وجب ان توجد علاقة نسبية مستمرة لاوربتالات كل نوع تماثلي ، وقد رسمت الخطوط الممثلة لهذه العلاقات النسبية . ويلاحظ ، على أية حال

ان اوربتال  $B_2$  يغير طبيعته من اوربتال تأصري في جهة اليسار الى مضاد التأصر في جهة اليمين . لذلك يستقر الالكترونات اللذان يشغلان اوربتالاً ذا تماثل  $B_2$  ، في النهاية ، في اوربتال مضاد التأصر ، حسب العلاقات النسبية المبينة للاوربتال ، وتتكون جزيئة البيوتان الحلقي في الحالة المهيجة عالية الطاقة بدلاً من تكونها في حالة الاستقرار . ومن



الممكن بعد ذلك أن تفقد طاقة . اشعاعياً او بطريقة أخرى . وتصل الى حالة الاستقرار . لكن الغاية هي أن طاقة كافية للوصول الى حالة التهيج أولاً قد تكون لازمة في عملية التحول المتوافق . ان كمية الطاقة اللازمة كبيرة جداً بحيث لا يمكن توفرها من التهيج الحراري . وهكذا . يجب أن يكون التفاعل « ممنوعاً حرارياً » . وبعد ذلك في توافق مع الحقيقة التجريبية في أن تكوين دايمر الاثلين يعطي البيوتان الحلقي وتفاعلات جزيئية داخلية أخرى مشابهة للاوليفينات الاحادية لا يحدث بسرعة مفيدة تحت التنشيط الحراري النقي . مع أنها مفضلة من ناحية الديناميكا الحرارية .

ومع أن المناقشة السابقة صحيحة بقدر ماتستمر وتؤدي الى مضمون مقنع لمصدر منع

تكوين دايمر الاثلين . من المفضل والممكن اجراء خطوة أبعد والحصول على فهم افضل لهذا النوع من المسائل . وكما اكدنا سابقاً في الفقرة 7.6 . بعد الوصف الاوربتالي المؤدي الى تعيين الترتيبات الالكترونية محدوداً وغير صحيح كلياً بحيث يكون قاعدة لفهم بنيت الجزيئات الالكترونية . وفي الغالب . من الضروري النظربوضوح الى الحالات التي تنتج الترتيبات . وحين لا تشترك الانحلالات . يمكن بسهولة ايجاد تماثل الحالات بتكوين تمثيلات الناتج المباشر للاوربتالات المشغولة المختلفة . لنفعل ذلك الآن لحالات الطاقة الواطئة لكل من المواد المتفاعلة والناتج في تفاعل تكوين دايمر الاثلين .

سنستعمل في هذه العملية التقييم المختصر الذي أدخل سابقاً ( الفقرة 7.6 ) . حيث نقول بعد دخول الالكترون . ان اوربتال  $A_2$  يمثل بالرمز  $a_2$  ويمثل الالكترونات اللذان يشغلان هذا الاوربتال بالرمز  $a_2^2$

يتمثل ترتيب الطاقة الواطئة لالالكترونات  $\pi$  بتداخلين ضعيفين لجزيئات الاثلين وهو . كما هو مبين في الشكل 7.8,  $a_1^2 b_2^2$  . ويلاحظ بسهولة ان تمثيل حاصل الضرب المباشر  $A_1 \times A_1 \times B_2 \times B_2$  هو  $A_1$  .

ويجب ان يكون  $a_1^2 b_2 b_1$  هو الترتيب الاكثر استقراراً التالي . حيث يحدد بصورة فريدة حالة تماثل  $A_2$  . والترتيب الاخر الوحيد ذو الاهمية هنا هو ذلك الذي يرتبط مباشرة مع ترتيب الحالة المستقرة لحاصل الضرب . وخاصة . ترتيب  $a_1^2 b_1^2$  الذي يعطي حالة ذات تماثل  $A_1$  . وبطريقة مشابهة . نجد ترتيبات الناتج الواطئة والترتيبات التالية للواطئة . اضافة الى ترتيب الناتج الذي يرتبط مباشرة بترتيب الاستقرار للمواد المتفاعلة ، وتمثل الحالات التي تعطيها كالآتي :

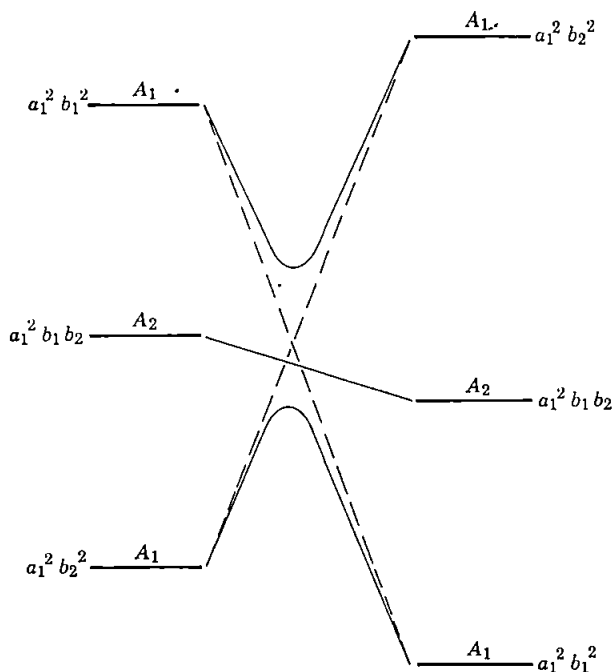
$$a_1^2 b_1^2 \rightarrow A_1$$

$$a_1^2 b_1 b_2 \rightarrow A_2$$

$$a_1^2 b_2^2 \rightarrow A_1$$

من الممكن الآن رسم مخطط ارتباط بين الحالات ، كما هو مبين في الشكل ( 7.9 ) والمظهر المتعارض الذي يلاحظ هنا هو ان ارتباطات  $A_1$  مع  $A_1$  التي تبدو ناتجة من ارتباطات الاوربتال المباشر لا يمكن ولا تحدث حقيقة بسبب ما يسمى قاعدة عدم التقاطع ( *noncrossing rule* ) . ولا يمكن للحالتين ذواتي التماثل نفسه ان تتقاطع ، بطريقة مشار اليها بالخطوط المتقطعة ، بسبب التنافر الالكتروني . وعوضاً عن ذلك ، كلما اقتربتا ابتعدتا بعضهما عن البعض الاخر بحيث ترتبط حالات  $A_1$  الواطئة على كل جهة بعضها مع البعض الآخر ، كما هو مبين بالخطوط الكاملة . ويتشابه تداخل التنافر في جوهره مع ذلك الذي يشتمل عليه تداخل الترتيب في النفثالين ، كما هو مبين في الفقرة ( 7.6 ) . وفي الحقيقة ، لانعد قاعدة عدم التقاطع اكثر من شيء خاص لكنها مثال مباشر لتداخل الترتيب .

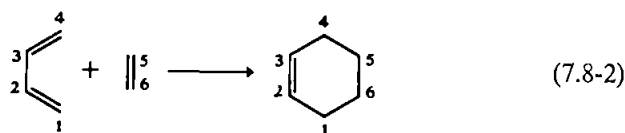
ويتضح من الشكل ( 7.9 ) ان تكوين الدايمر المنشط حرارياً - اي ان عملية حالة الاستقرار الى حالة الاستقرار - يكون ممنوعاً بحاجز اساس للطاقة . نصل بذلك الى الاستنتاج نفسه كالسابق . وخاصة . ان التفاعل الحراري يكون ممنوعاً . لكن الشكل ( 7.9 ) يدلنا على شيء ما اكثر ، يلاحظ انه اذا هيجت احدى الجزئيات المتفاعلة ضوئياً . بحيث ينتج نظام محتو على جزئيتين متفاعلتين في حالة تهيجه الاولى ذات تماثل  $A_2$  . فقد يتقاطع مباشرة . بدون اي تهيج الكتروني ابعد . الى حالة التهيج الاولى للناتج . ذات تماثل  $A_2$  ايضاً . وهكذا . يكون التفاعل مسموحاً كيمو ضوئياً . ومع ان هذا الاستنتاج يمكن الحصول عليه من الشكل ( 7.8 ) ، لكنه مبين بصورة اكثر وضوحاً وبطريقة معينة في الشكل ( 7.9 ) ومن الحقائق التجريبية ان التكوين الداخلي الجزيئي لدايمرات الاوليفين من النوع الذي ندرسه يحدث بسرعة جيدة بواسطة التشيع ( *irradiation* ) .



الشكل 7.9 مخطط الارتباط للحالات الإلكترونية في تفاعل تكوين دايمر الأثلين . اليسار : لالكترونات  $\pi$  في في جزئتي أثلين . اليمين : لالكترونات  $\sigma$  الجديدة في جزيئة البيوتان الحلقي

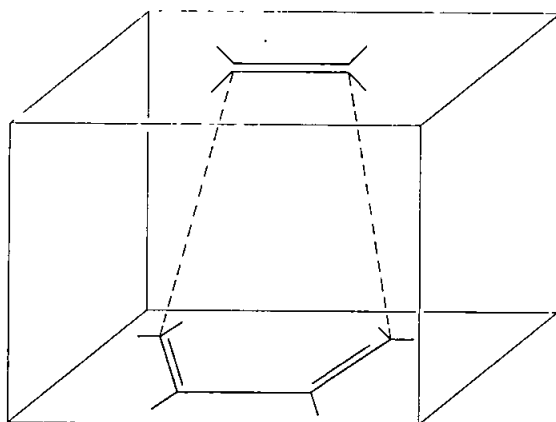
## تفاعل Diels-Alder :

يوضح هذا التفاعل في أبسط أشكاله . كالآتي :



تشير القيم التجريبية الى ان هذا التفاعل يحدث حرارياً تحت ظروف معتدلة ( غالباً عند درجات حرارة اقل من صفر مئوية ) ، ظاهرياً بطريقة توافقية ، وانه لايعجل ، بصورة عامة بالتشعيع بالضوء المرئي او فوق البنفسجي .

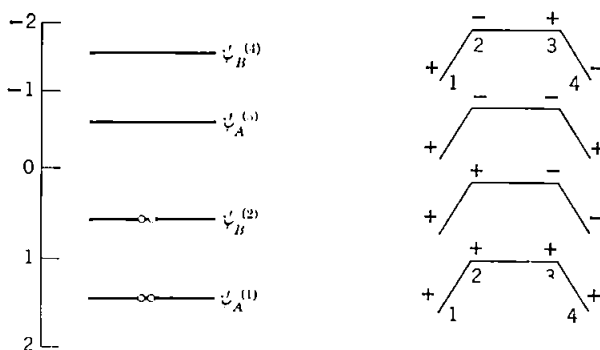
لفرض حدوث التفاعل المتوافق يجب ان يقترب الداين والاوليفين من بعضهما بالطريقة المبينة في الشكل ( 7.10 ) .



الشكل 7.10 الترتيب اللازم لتفاعل Diels-Alder المتوافق .

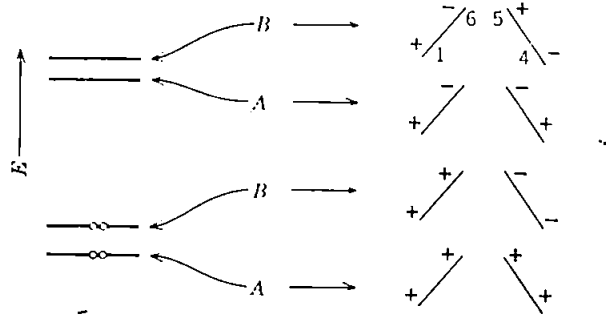
وفي هذا الترتيب يكون عنصر التماثل الوحيد الباقي بدون تغيير هو مستوي التماثل العمودي على الاصرة<sup>2</sup> الاحادية في الدائين وعلى الاواصر الثنائية في الاوليفينات الاحادية المتفاعلة والنتيجة . ويجب الان تصنيف جميع الاوربتالات التي تتغير خلال التفاعل بالنسبة الى عنصر التماثل هذا . ومن الواضح ان التحليل هنا يكون مشابهاً للتحليل المستعمل في تفاعل تكوين دايمر الاثلين ويمكن تقديمه باسلوب اقل منطقياً .

سيسأل التلميذ في التمرين ( 7.2 ) لبيان الاوربتالات الجزيئية من نوع  $\pi$  لليوتاديين التي تاخذ الاشكال والطاقات النسبية المبينة في ادناه . تكون رموز التماثل نسبية للمستوي العمودي . تعني  $A$  متماثلاً و  $B$  مضاد التماثل .

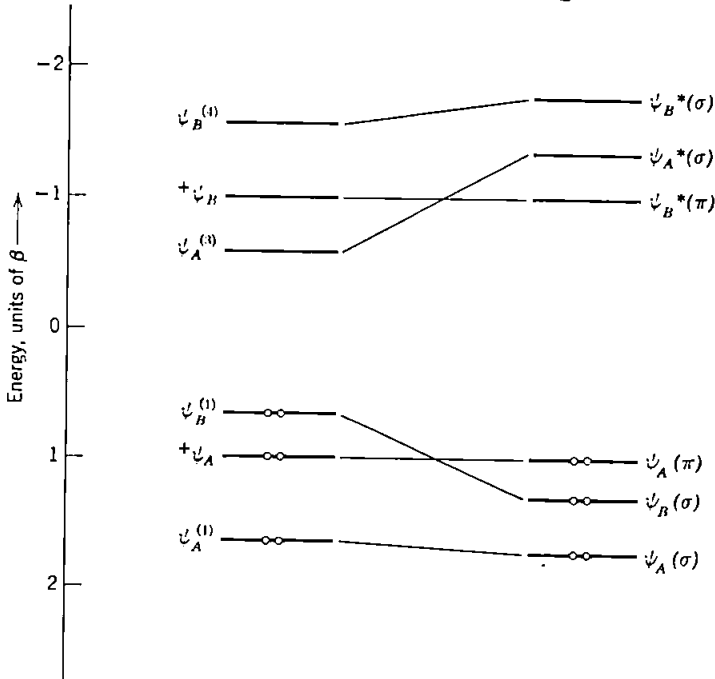


تكون الاوربتالات الناصرية لاواصر  $\pi$  لكل من المواد المتفاعلة والاوليفينات الاحادية الناتجة ذات تماثل  $A$  وتكون الاوربتالات مضادة الارتباط ذات تماثل  $B$

واخيراً ، تكون تماثلات اوربتالات  $\sigma$  الجديدة بين الأزواج الذرية 1, 6 و 4, 5 وطاقاتها النسبية كالآتي :

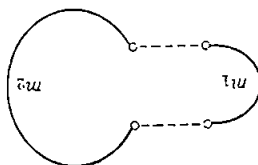


يلخص الشكل 7.11 جميع الشرح السابق للتماثلات الاوربيتالية وطاقاتها النسبية . ويلاحظ من المخطط النسبي الاوربيتالي هذا ان جميع الاوربيتالات التآصلية المملوءة في المواد المتفاعلة ترتبط مع الاوربيتالات التآصلية المملوءة في حالة استقرار الناتج ، وهكذا ، فان توقع كون التفاعل مسموحاً حرارياً . يتوافق مع التجربة



الشكل 7.11 مخطط العلاقة النسبية لتفاعل Diels-Alder تكون اوربتالات  $\psi_A + \psi_B$  على جهة اليسار للاتلين في حين تكون بقية الاوربتالات على الجهة نفسها للبيوتاد بين الاوربتالات على جهة اليمين هي الناتج .

بصورة عامة . يمكن بيانان للاوليفين الكثرونات  $m_1$   $m_2$  و  $\pi$  . يقتربان من بعضهما لتكوين اولفين حلقي له  $\pi (m_1 + m_2 - 4)/2$  من اواصر  $\pi$  : كما هو مبين في ادناه . ويكون التفاعل مسموحاً حرارياً حين  $m_1 + m_2 = 4n + 2$  ( مثل  $4 + 2 = 6$  ) في حالة تفاعل ( Diels-Alder ) . وعلى العكس حين يكون  $m_1 + m_2 = 4n$  ( مثل  $2 + 2 = 4$  لتكوين دايمر الاثلين ) يكون التفاعل ممنوعاً حرارياً لكنه مسموح كيمووضوئياً . وللشرح على وفق هذا التصميم ينبغي الاستعانة بمقالة Woodward و Hoffmann



تكوين الحلقة بالتفاعل ضمن الجزئية : التحول ما بين بيوتاديين -

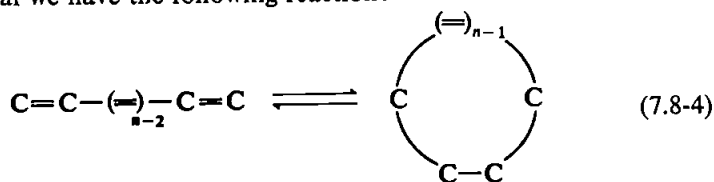
#### ***Intramolecular Cyclization: the Butadiene-Cyclobutene Interconversion***

يهيئ التحول الجزئي الداخلي للسلسلة المفتوحة ، بولين polyene متقارن الى اولفين حلقي اقل بزوج واحد من الكثرونات  $\pi$  ، وهذا مثال آخر للتفاعلات حسب قواعد الاختيار . وابسط هذه الامثلة هو التحول ما بين بيوتاديين - بيوتان الحلقي .

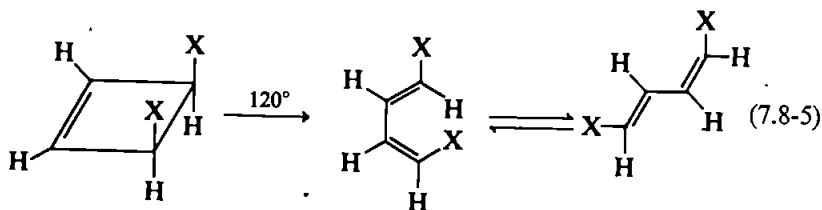


في حين هناك . بصورة عامة . التفاعل الآتي :

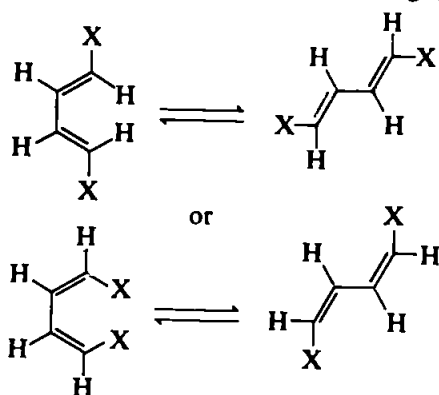
while in general we have the following reaction:



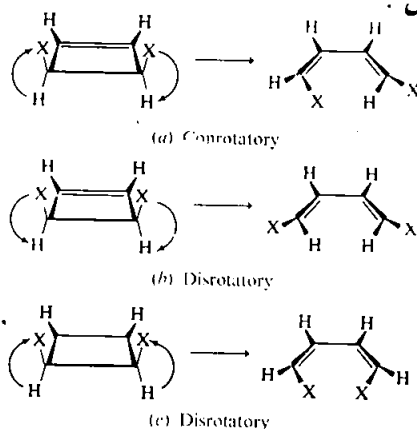
عند اجراء تفاعل مثل 7.8-3 حرارياً مع 1,4-بيوتاديين المعوض . تكون الكيمياء الفراغية محددة جداً . وهكذا ، نحصل على :



حيث ان  $\text{CH}_3$  او  $\text{COOR}$  . لكن ليس



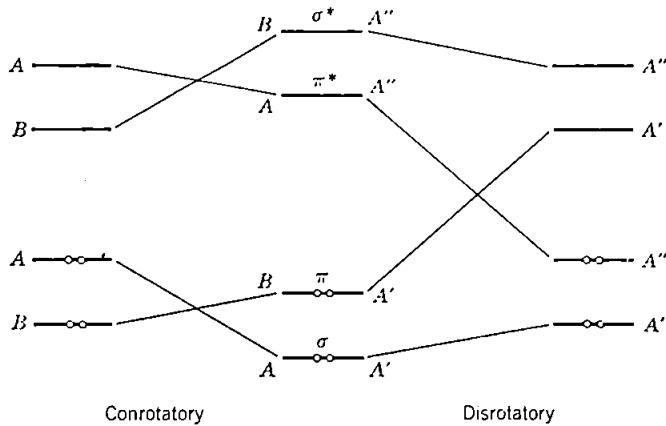
لا تعد الاعاقة توضيحاً كافياً لأن الايسومر الثاني يكون معوقاً فراغياً مثل او أفضل من الايسومر الذي تم الحصول عليه . كذلك للمجموعتين  $\text{CH}_3$  -  $\text{COO}$  مميزات حث inductive مختلفة تماماً بحيث يتضح ان عملية التفاعل تعتمد على الخصائص الملازمة لانظمة الاوليفين .



الشكل 7.12 الدوران المتحد "الدوران الممنوع" لفتح الحلقة .

يتكون الناتج الذي يتم الحصول عليه من تفاعل 7.8-5 عن كسر / إعادة الترتيب الدوراني للآصرة المتوافقة . كما هو مبين في الشكل 7.12a . في هذه العملية يكون الدورانان في الاتجاه نفسه . لهذا تسمى العملية بدوران المتحد *conrotatory* . وتؤدي العمليات المبيّنة في الشكلين 7.12b و 7.12c الى الايسومرات الهندسية الاخرى التي لا تكون أي مجال ذو اهمية في التفاعل الحواري . وتشتمل العمليات الاخيرة دورانات باتجاهات متعاكسة ولهذا تسمى بالدوران الممنوع *disrotatory* . ويمكن جمع النتائج العملية جمعاً متقناً بالقول ان فتح الحلقة مسموح حرارداً لعملية الدوران المتحد وممنوع حرارياً لعملية الدوران الممنوع . والآن نبحث عن تفسير لهذه الملاحظات البسيطة التي تلفت النظر .

في عمليات الدوران الممنوع . يمتلك النظام عنصر تماثل واحد لم يتغير . وهو المستوي العمودي على هيكل ذرات الكربون . وفي عملية الدوران المتحد تمثل المحور  $C_2$  عنصر التماثل الذي لم يتغير وهو المنصف للآصرة الثنائية الاصلية . والمجاميع التماثلية المهمة هي  $C_2$  و  $C_s$  . على التوالي . ويجب ان تكون الدوال الموجية في كل حالة متماثلة  $A'$  او  $A''$  او مضادة التماثل  $B$  او  $A''$  لعملية التماثل المناسبة . وبين الشكل 7.13 ارتباطات التماثل الاورتيالي في الحالتين . وينبغي ان تكون التماثلات والطاقات النسبية للاورتيالات اثباتاً بدون توضيح أبعد . وقد اعطيت الطاقات والتماثلات لاورتيالات  $\pi$  في البيوتاديين في الصفحة 186



الشكل 7.13 مخطط العلاقة النسبية الاورتيالي لانفتاح الحلقة الناتج عن الدوران المتحد والدوران الممنوع في البيوتانات الحلقية .



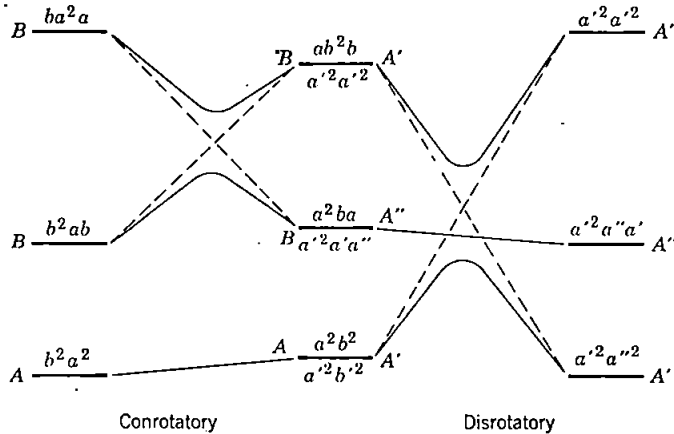
يبين الشكل ؟ ان في انفتاح الحلقة بالدوران المتحد ترتبط الاوربتالات التآصية باوربتالات تآصية فقط . وهكذا . ينبغي ان يكون التفاعل مسموحاً حرارياً . على عكس ذلك . في انفتاح الحلقة الممنوع دورانياً . لا يمكن للنتاج ان يتكون في حالة الاستقرار بسبب ارتباطات الآواصر بالاوربتالات مضادة الارتباط وينبغي ان تكون مثل هذه العملية ممنوعة حرارياً . مرة اخرى يعد ذلك توافقاً مع التجربة .

واخيراً . لننظر الى الحالة المطابقة لمخطط الارتباط . كما هو مبين في الشكل 7.14 وفي بناء ذلك تستخدم قواعد حاصل الضرب المباشر :

$$\left. \begin{array}{l} A \times A = A \\ B \times B = A \\ A \times B = B \end{array} \right\} \text{for } C_2$$

$$\left. \begin{array}{l} A' \times A' = A' \\ A'' \times A'' = A' \\ A' \times A'' = A'' \end{array} \right\} \text{for } C_s$$

يؤكد هذا المخطط الاستنتاج السابق . القاضي بان انفتاح الحلقة المتحد دورانياً مسموح حرارياً وان الانفتاح الممنوع دورانياً ممنوع حرارياً . ويبين ايضاً ان جزيئة البيوتان الحلقي المهيجة يمكن ان يحدث لها انفتاح حلقة مسموح من النوع الدوراني الممنوع لكن من غير المحتمل ان يحدث لها الدوران المتحد .



الشكل 7.14 مخطط العلاقة النبية للحالة لانفتاحات الحلقة من نوع الدوران المتحد والدوران الممنوع في البيوتانات الحلقية .

ومن الممكن توسيع النتائج التي تم الحصول عليها الى الحالة العامة للاوليفين المتقارن الحلقي ذي العدد  $m$  من الكثرونات  $\pi$  ( مثل الهكساديين الحلقي  $m = 4$  ) الذي

ينفتح الى سلسلة مستقيمة من متعدد الاوليفين ذي العدد  $m + 2$  من الكثرونات  $\pi$  (سداسي ترايين) . والذي منها وجدت القواعد الآتية . وللعدد  $(n = 0, 1, 2, \dots)$   
 $m = 4n + 2$  يكون انفتاح الحلقة ( او انغلاقها ) دورانياً متحدّ حرارياً ودورانياً ممنوعاً  
 كيموضوئياً ( كما لاحظنا حين تكون  $n = 0$  ) في حين ان للعدد  $(n = 1, 2, \dots)$   
 $m = 4n$  يكون التفاعل دورانياً ممنوعاً حرارياً وكيموضوئياً دورانياً متحدّاً . وللشرح الابعد  
 انظر الى مقالة Woodward and Hoffmann

## تمارين

7.1 اشتق النتائج المعطاة في الجدول 7.1 لأي من الانظمة غير  $C_6H_6$  و  $C_3H_3$

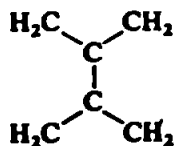
7.2 بين ان الليوتاديين [ الذي قد يعامل بشكل تراز- مستوي  $(C_{2h})$  او سز - مستوي  $(C_{2v})$  ] . اوربتالات جزيئية اربعة تمتلك الطاقات  $1.62\beta, 0.62\beta, -0.62\beta$ , and  $-1.62\beta$ , المتحركة تساوي  $0.48|\beta|$  ورتب آصرة  $\pi$  هي 0.90 and 0.45

7.3 تهبيء الجزيئات الاتية تدريبا اضافياً لاستعمال تقرب هوكيل على الهيدروكاربونات . ويعطى في كل حالة رتب آصرة  $\pi$  والطاقة المتحركة بوحدات  $|\beta|$  ( ودليل  $(T)$  فيما اذا كان للجزيئة حالة استقرار ثلاثية .



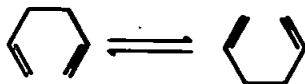
7.4 اكتشف حديثاً رباعي مثيل الايثان [ P. Dowd, J. Am. Chem. Soc. 92, 1067 (1970) ]

ماذا يفترض حساب هوكيل البسيط عن طاقته غير المتمركزة ورتب الآصرة ومضاعف البرم وتوزيع الالكترونات غير المزدوجة ( اذا وجدت ) ؟



7.5 اختبر تحديدات التماثل على تفاعل ايون الاليل السالب مع جزيئة اثلين لتكوين ايون سايكلوبنتااينيل السالب. واذا كان التفاعل غير مسموح حراريا ، اي المواد المتفاعلة - ينبغي ان يكون احادي التهيج للتفاعل الكيمو الضوئي المسموح .

7.6 بعد اعادة ترتيب كوب (Cope) كالآتي



اجر تحليل التماثل المناسب لبيان ان ذلك مسموح حراريا .

## الفصل الثامن

### الاوربิทัลات المهجنة والاوربิทัลات الجزيئية للجزيئات من نوع $AB_n$

#### Hybrid Orbitals and Molecular Orbitals for $AB_n$ -Type Molecules

##### 8.1 مقدمة

وردت في الفصل السابع نظرية الاوربیتال الجزيئي وشرحت بالتأكيد على تطبيقها على الانظمة العضوية حيث تمتد انظمة  $\pi$  على الهياكل المستوية المكونة للجزء الاكبر من المسألة . اذا لم تكن جميعها .

في صنف آخر واسع جداً للانظمة الجزيئية تحاط الذرة المركزية  $A$  . بتجمع  $n$  من الذرات الاخرى .  $B_n, B_b C_{n-b}, B_b C_c D_{n-b-c}$  . الخ .

وجميعها مرتبطة مع الذرة المركزية وليس بعضها مع البعض الآخر . ويشمل هذا الصنف على جميع المعقدات التناسقية احادية المركز ، والمعقدات متعددة المراكز التي تهمل فيها تداخلات فلز مع فلز المباشرة ، وجميع ايونات اوكسو  $oxo$  السالبة مثل  $NO_3^-$  و  $SO_4^{2-}$  وجميع الهاليدات والاكاسيد والكبريتيدات الجزيئية الخ . مثل  $BF_3, PF_5, SF_4, PCl_3, XeF_4, SO_3, OsO_4$  .

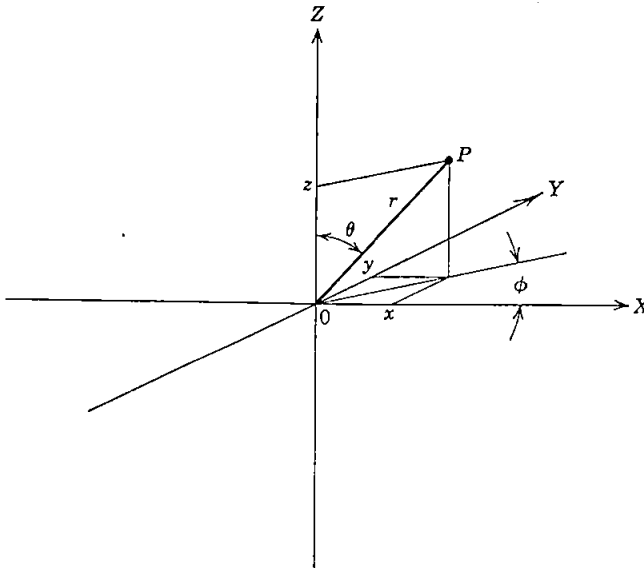
سنشرح في هذا الفصل الدراسات التماثلية المعتمدة على نظرية الاوربیتال الجزيئي كما لو كانت متخصصة لمثل هذه الجزيئات وكذلك فرضيات التماثل لتكوين الاوربیتال المهجن للتأصر في مثل هذه الجزيئات . ومن المناسب ان نبدأ بشرح الاوربیتالات الجزيئية للذرة  $A$  ومن ثم نعود الى تساؤل الاوربیتالات الجزيئية لهذا النوع من الجزيئات .

##### 8.2 الخواص التحولية للاوربیتالات الذرية :

تستنتج مجموعة التماثل التي قد تعود اليها الجزيئة  $A(B, C, \dots)_n$  من ترتيب الذرات المرتبطة . ولما كانت الذرة  $A$  فريدة ، وجب ان تقع على جميع مستويات ومحاور التماثل . لذلك يجب شرح وتصنيف الاوربیتالات ، التي تستعملها ذرة  $A$

لتكوين اواصر  $A(B,C,\dots)$  بدلالة التجمع من عمليات التماثل الناتجة عن هذه المحاور والمستويات - اي ، بدلالة التماثل الكلي للجزيئة . وهكذا ، يكون الغرض الاول من عملنا اختبار الدوال الموجية للاوربيتالات الذرية وأخذ بنظر الاعتبار خواصها ( تماثلها ) التحولية تحت العمليات المختلفة التي تكون مجموعة النقطة للجزيئة  $A(B,C,\dots)_n$

تعرف بالضبط الدوال الموجية لذرة الهيدروجين ، وهي دوال الاحداثيات الفراغية الثلاثية للالكترون وتاخذ ابسط اشكالها عند اختيار هذه الاحداثيات لتكون الاحداثيات القطبية المبينة في الشكل ( 8.1 ) بالارتباط مع الاحداثيات الديكارتية . تكون النقاط عند  $x$  و  $y$  و  $z$  في الاحداثيات الديكارتية مثبتة بمقدار  $r$  والمسافة نصف قطرية  $OP$  من مركز النظام الاحداثي (تعد موجبة دائماً) و  $\theta$  الزاوية بين المحور  $z$  والخط  $OP$  ، و  $\phi$  ، الزاوية بين المحور  $x$  ومسقط  $OP$  على المستوي  $xy$



شكل 8.1 مخطط يبين علاقة الاحداثيات القطبية  $r, \theta, \phi$  مع الاحداثيات الديكارتية للنقطة  $P$

تكون جميع الدوال الموجية للالكترون في ذرة الهيدروجين بشكل نواتج لدالتين : هناك اولاً دالة نصف قطرية ،  $R(n, r)$  تعتمد على عدد الكم الاساس ،  $n$  ، والاحداثي  $r$  . ومن ثم هناك الجزء الزاوي  $A(\theta, \phi)$  الذي يكون غير معتمد

على كل من  $n$  و  $r$  لكنه دالة للزاويتين  $\theta$  و  $\phi$ . وفترض ان كلاً من  $R(n, r)$  و  $A(\theta, \phi)$  تجعلان قياسيتين\* الى وحدة واحدة بصورة مستقلة ، اي ان :

$$\int_0^\infty [R(n, r)]^2 r^2 dr = 1$$

$$\int_0^{2\pi} \int_0^\pi [A(\theta, \phi)]^2 \sin \theta d\theta d\phi = 1$$

ومن ثمّ يجعل حاصل ضربهما ، الدالة الموجية الكاملة للاوربيتال ، معدلاً الى وحدة واحدة .

وبسبب انعدام وجود عملية تماثلية يمكنها ان تغير قيمة  $R(n, r)$  ، لانتاج الى أخذ الدوال الموجية نصف القطرية بنظر الاعتبار أبعد من ذلك . وتعمل عمليات التماثل على تغيير الدوال الموجية الزاوية ، وهكذا ، سنختبرها الآن بتفصيل أكثر . ينبغي ان يلاحظ انه مادامت  $A(\theta, \phi)$  لا تعتمد على  $n$  ، تكون الدوال الموجية الزاوية لجميع الاوربيتالات ، من  $s$  و  $p$  و  $d$  وغيرها ، هي نفسها ، بغض النظر عن عددكم الاساس للغلاف الذي تعود اليه . وبين الجدول 8.1 الدوال الموجية الزاوية للاوربيتالات  $f$  و  $s, p, d$ .

في المثال المبين في نهاية الفقرة 5.2 ، لوحظ ان اوربيتال  $p$  ذا الاعتماد الزاوي على  $\sin \theta \cos \phi$  يسمى  $p_x$  لان للدالة  $\sin \theta \cos \phi$  الخواص التحويلية نفسها كما يفعل الاحداثي الديكارتي  $x$  . عند هذه النقطة سنشرح الخواص التحويلية وكذلك ترقيم الاوربيتالات المختلفة ، شرحاً كاملاً . ولعمل ذلك ، يجب ان نعرف ان احداثيات النقطة  $x$  و  $y$  و  $z$  ( الشكل 8.1 ) تعود الى احداثياتها القطبية بالطريقة الآتية .

$$\begin{aligned} x &= r \sin \theta \cos \phi \\ y &= r \sin \theta \sin \phi \\ z &= r \cos \theta \end{aligned} \quad (8.2-1)$$

تعني هذه العلاقات انه مادام  $x$  يساوي  $\sin \theta \cos \phi$  مضروباً بثابت ، لا يتغير بأي تحول من النوع الذي يحدث في مجموعة النقطة ، وجب ان يتحول  $\sin \theta \cos \phi$

• ينبغي التذكر ان العنصر التفاضلي للحجم في الاحداثيات القطبية هو  $r^2 \sin \theta dr d\theta d\phi$

بالطريقة نفسها كما يفعل  $x$  . وعلى هذا الأساس يكون تعيين الرموز السفلية  $x, y$  و  $z$  لاوريبتالات  $p$  واضحاً .

الجدول 8.1 الدوال الموجية الزاوية  $A(\theta, \phi)$  . لاوريبتالات  $s, p, d$  و  $f$  (قياسية الى وحدة واحدة) .

ORBITAL			$A(\theta, \phi)$	
LETTER TYPE	FULL POLYNOMIAL <sup>a</sup>	SIMPLIFIED POLYNOMIAL	NORMALIZING FACTOR	ANGULAR FUNCTION
$s$			$\frac{1/\sqrt{\pi}}{2}$	
$p$	$z$		$\frac{\sqrt{3/\pi}}{2}$	$\cos \theta$
	$x$		$\frac{\sqrt{3/\pi}}{2}$	$\sin \theta \cos \phi$
	$y$		$\frac{\sqrt{3/\pi}}{2}$	$\sin \theta \sin \phi$
$d$	$2z^2 - x^2 - y^2$	$z^2$	$\frac{\sqrt{5/\pi}}{4}$	$(3 \cos^2 \theta - 1)$
	$xz$		$\frac{\sqrt{15/\pi}}{2}$	$\sin \theta \cos \theta \cos \phi$
	$yz$		$\frac{\sqrt{15/\pi}}{2}$	$\sin \theta \cos \theta \sin \phi$
	$x^2 - y^2$		$\frac{\sqrt{15/\pi}}{4}$	$\sin^2 \theta \cos 2\phi$
	$xy$		$\frac{\sqrt{15/\pi}}{4}$	$\sin^2 \theta \sin 2\phi$
$f^o$	$xyz$		$\frac{\sqrt{105/\pi}}{4}$	$\sin^2 \theta \cos \theta \sin 2\phi$
	$x(z^2 - y^2)$		$\frac{\sqrt{105/\pi}}{4}$	$\sin \theta \cos \phi (\cos^2 \theta - \sin^2 \theta \sin^2 \phi)$
	$y(z^2 - x^2)$		$\frac{\sqrt{105/\pi}}{4}$	$\sin \theta \sin \phi (\cos^2 \theta - \sin^2 \theta \cos^2 \phi)$
	$z(x^2 - y^2)$		$\frac{\sqrt{105/\pi}}{4}$	$\sin^2 \theta \cos \theta \cos 2\phi$
	$x(5x^2 - 3r^2)$	$x^3$	$\frac{\sqrt{7/\pi}}{4}$	$\sin \theta \cos \phi (5 \sin^2 \theta \cos^2 \phi - 3)$
	$y(5y^2 - 3r^2)$	$y^3$	$\frac{\sqrt{7/\pi}}{4}$	$\sin \theta \sin \phi (5 \sin^2 \theta \sin^2 \phi - 3)$
	$z(5z^2 - 3r^2)$	$z^3$	$\frac{\sqrt{7/\pi}}{4}$	$5 \cos^3 \theta - 3 \cos \theta$

محمّد يوسف اللواتي

انظر الملحق v للشرح الاوسع عن اوريبتالات  $f$  .



كذلك قد يستنتج ترقيم اوربیتال  $d$  و  $f$  باستخدام العلاقات 8.2-1  
كما هو مبين في الامثلة الآتية :

$$\begin{aligned} (1) \quad \sin^2 \theta \sin 2\phi &= 2 \sin^2 \theta \sin \phi \cos \phi \\ &= 2(\sin \theta \cos \phi)(\sin \theta \sin \phi) \\ &= 2(x/r)(y/r) = (2/r^2)xy \\ &= \text{constant} \cdot xy \end{aligned}$$

$$\begin{aligned} (2) \quad 3 \cos^2 \theta - 1 &= 3 \cos^2 \theta - \cos^2 \theta - \sin^2 \theta \\ &= 2 \cos^2 \theta - \sin^2 \theta \end{aligned}$$

Now

$$\begin{aligned} (x/r)^2 &= \sin^2 \theta \cos^2 \theta \\ (y/r)^2 &= \sin^2 \theta \sin^2 \phi \end{aligned}$$

hence

$$\begin{aligned} (1/r^2)(x^2 + y^2) &= \sin^2 \theta (\sin^2 \phi + \cos^2 \phi) \\ &= \sin^2 \theta \end{aligned}$$

لهذا يمكن ان نكتب

$$\begin{aligned} 3 \cos^2 \theta - 1 &= 2(z^2/r^2) - (1/r^2)(x^2 + y^2) \\ &= \text{constant} \cdot (2z^2 - x^2 - y^2) \end{aligned}$$

وهكذا . يجب ان يكتب اوربیتال  $d$  الذي تساوي دالته الى ثابت مضروباً بالكمية  $3 \cos^2 \theta - 1$  على شكل  $d_{2z^2 - x^2 - y^2}$  . ونظراً لتحول  $z^2$  و  $x^2 + y^2$  في معظم المجاميع بالطريقة نفسها . فان  $2z^2 - x^2 - y^2$  يتحول بالطريقة نفسها مثل  $z^2$  ويستخدم الترقيم المختصر  $d_{z^2}$  .

$$\begin{aligned} (3) \quad \sin^2 \theta \cos \theta \sin 2\phi &= \sin^2 \theta \cos \theta (2 \sin \phi \cos \phi) \\ &= 2(\sin \theta \cos \phi)(\sin \theta \sin \phi) \cos \theta \\ &= 2 \cdot \cdot \cdot \cdot x \cdot \cdot \cdot y \cdot \cdot \cdot z \end{aligned}$$

لذلك يسمى اوربیتال  $f$  ذو الدوال الموجية المبيتة في اعلاه  $f_{xyz}$  . لكون الرقم السفلي متعدد الحدود لرمز الاوربیتال دالاً على ان الاوربیتال يتحول بالطريقة نفسها مثل الرقم السفلي . يمكن ان نجد في الحال الخواص التحولية لاي اوربیتال في الذرة يقع عند مركز النظام الاحداثي بالبحث عن الرقم السفلي في العمود المناسب على جهة اليمين لجدول الخاصية . اذا كان الاوربیتال من نوع  $p$  او  $d$  . ويتحول اوربیتال  $s$  دائماً بحسب التمثيل المتماثل كلياً . اذ ليس له اعتماد زاوي . ولا اوربیتال  $f$  . لا تعطي

جداول الخاصية الاعتيادية المعلومات المرغوبة مباشرة ، لان اوربิทัลات  $f$  لا تستعمل بدرجة كافية غالباً . وعلى أية حال ، يمكن اجراء تعيين كل  $f$  اوربیتال الى التمثيل المختزل المناسب لاية مجموعة عند الحاجة . لنأخذ ، مثلاً ، اوربیتال  $f_{xyz}$  في المجموعة  $D_{2h}$  ، تحول الدالة  $xyz$  الى  $+1$  مضروبة في نفسها بالعمليات  $E, C_2(z), C_2(y), C_2(x)$  ولكن الى  $-1$  مضروبة في نفسها بالعمليات  $i, \sigma(xy), \sigma(xz)$  و  $\sigma(yz)$  ، وهكذا ، تكون القاعدة لتمثيل  $A_u$  . وفي الفقرات القادمة لن نشرح بالتفصيل اوربیتالات  $f$  ، لكننا نؤكد ان اشتراكها لا يحتاج الى قواعد جديدة .

وهذا مثال على استخدام جداول الخاصية مباشرة لاوربیتالات  $p$  و  $d$  ، نأخذ بنظر الاعتبار ذرة الفسفور في  $PCl_3$  . وبالبحت في جدول الخاصية عن مجموعة  $C_{3v}$  نعلم في الحال ان اوربیتالات الفسفور تعود الى التمثيلات الآتية :

$$\begin{aligned} A_1: & s, p_z, d_{z^2} \\ A_2: & \\ E: & (d_{xy}, d_{x^2-y^2}), (d_{xz}, d_{yz}), (p_x, p_y) \end{aligned} \quad \text{لا يوجد}$$

ينبغي التذكر عند القول أن اوربیتال معين او مجموعة من الاوربیتالات « تعود » الى تمثيل غير مختزل معين ، يعني أنه القاعدة لهذا التمثيل غير المختزل .

اشار الشرح السابق لخواص الاوربیتالات الذرية التماثلية بوضوح الى الاوربیتالات احادية الالكترون في ذرة الهيدروجين . لكن القواعد يمكن تطبيقها في معالجة الذرات متعددة الالكترونات ، وقد تكتب الدوال الموجية لهذه الذرات على شكل حواصل ضرب الدوال الموجية احادية الالكترون . ونكتب لكل الكترون في الذرة متعددة الالكترونات دالة موجية مكونة من دالة زاوية وهي نفسها مثل الدالة الزاوية للالكترون المشابه في ذرة الهيدروجين ، ودالة نصف قطرية تختلف عن الدالة نصف القطرية التي يمتلكها الالكترون في ذرة الهيدروجين بسبب تأثيرات الحجب  $shielding$  والتنافر بين الالكترونات . والنقطة المهمة هي أنه نظراً لكون الخواص الزاوية للالكترون في الذرة

متعددة الالكترونات الخواص نفسها كما لخواص الكترون الهيدروجين المطابقة . فان الخواص التماثلية للدوال الموجية احادية الالكترون المستعملة لبناء الدوال الموجية الكلية للذرات لها الخواص التحولية نفسها للدوال الموجية احادية الالكترون البسيطة والدقيقة التي يتم الحصول عليها بحل المعادلة الموجية لذرة الهيدروجين .

### 8.3 خطط التهجين لاوربتالات $\sigma$ : Hybridization Schemes for $\sigma$ Orbitals:

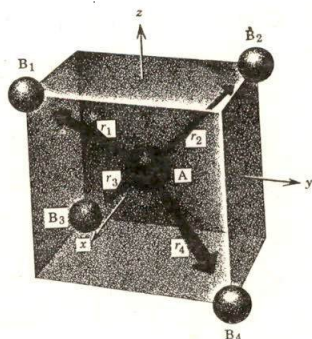
من السهولة توضيح هذا الموضوع مباشرة بمثال نموذجي بسيط نسبياً . هو حالة التهجين رباعي السطوح نود أن نعلم أي الاوربتالات الذرية ، على الذرة A في الجزيئة رباعية السطوح  $AB_4$  ، اللازمة لبناء التجمع من اوربتالات  $\sigma$  الاربعة على الذرة A التي تكون فصوصها موجهة الى الذرات B ، أي باتجاه قمم رباعي السطوح يكون هذا التجمع من الاوربتالات الاربعة القاعدة لتمثيل المجموعة التماثلية للجزيئة ، وتكون المجموعة في هذه الحالة  $T_d$  يمكن تمثيل كل مهجن بموجة يؤشر الى الاتجاه المناسب وترقم هذه الموجات  $r_1, r_2, r_3, r_4$  كما هو مبين في الشكل 8.2 لنعمل الآن على ايجاد خاصيات التمثيل التي تكون قاعدتها هذا التجمع من الموجات وتطبيق العملية المطابقة ، نحصل على

$$\begin{aligned} r_1 &\rightarrow r_1 + 0r_2 + 0r_3 + 0r_4 \\ r_2 &\rightarrow 0r_1 + r_2 + 0r_3 + 0r_4 \\ r_3 &\rightarrow 0r_1 + 0r_2 + r_3 + 0r_4 \\ r_4 &\rightarrow 0r_1 + 0r_2 + 0r_3 + r_4 \end{aligned}$$

تكون مصفوفة المعاملات على جهة اليمين مصفوفة وحدة ذات البعد 4 ولهذا  $\chi(E) = 4$  اذا ادركنا تجمع الموجات بمقدار  $2\pi/3$  ( حول المحور  $C_3$  الذي يتطابق مع  $r_1$  ، نحصل على

$$\begin{aligned} r_1 &\rightarrow r_1 + 0r_2 + 0r_3 + 0r_4 \\ r_2 &\rightarrow 0r_1 + 0r_2 + r_3 + 0r_4 \\ r_3 &\rightarrow 0r_1 + 0r_2 + 0r_3 + r_4 \\ r_4 &\rightarrow 0r_1 + r_2 + 0r_3 + 0r_4 \end{aligned}$$

تساوي حاصية المصفوفة ذات المعاملات  $\chi(C_3)$  الى 1



شكل 8.2 التجمع من الموجات  $r_1, r_2, r_3$  و  $r_4$  المثلثة لاوربتالات  $\sigma$  المهجة الاربعة التي تستعملها الذرة A للارتباط بذررات B الاربع في جزيئة  $AB_4$  رباعية السطوح

وبالاستمرار على الطريقة نفسها مع  $C_2$  و  $S_4$  و  $\sigma_d$  نحصل على التجمع الآتي من الخصائص للتمثيل الناتج :

	$E$	$8C_3$	$3C_2$	$6S_4$	$6\sigma_d$
$\Gamma_{tetra}$	4	1	0	0	2

وبالإشارة الى جدول خاصية  $T_d$  يتضح ان هذا التمثيل ليس من ضمن التمثيلات غير المختزلة لكن يمكن اختزاله بالطريقة الآتية :

$$\Gamma_{tetra} = A_1 + T_2$$

يعنى ذلك ان الاوربتالات الذرية الأربعة التي اتحدت لتكوّن تجمعا من اربعة اوربتالات مهجنة يجب اختيارها لتشتمل على اوربتال واحد ذي تماثل  $A_1$  وتجمع من ثلاثة اوربتالات تعود الى تمثيل  $T_2$ . يدل أيضا جدول الخاصية على وقوع الاوربتالات الذرية للذرة A في هذه الاصناف كالآتي :

اوربتالات $A_1$	اوربتالات $T_2$
$s$	$(p_x, p_y, p_z)$ $(d_{xy}, d_{xz}, d_{yz})$

لذلك قد يكون التجمع من الاوربتالات المهجنة  $sp^3$  او  $sd^3$  اذ يعني  $d^3$  . بالطبع . اوربتالات  $d_{xy}, d_{xz}, d_{yz}$  وليس غيرها . ومن وجهة النظر التماثلية ليس هناك اختلاف بين مهجنات  $sd^3$  و  $sp^3$  .

وسبب امتلاك مهجنات A و  $AB_4$  الخواص التماثلية نفسها بالضبط . فن المستحيل لأية ذرة A في جزيئة  $AB_4$  رباعية السطوح استعمال أحد التجمعين بصورة نقية . وانما نستخدم دائما مزيجا من الاثنين . وفي حالات عديدة ، تؤدي الاسباب الاخرى المعتمدة على معرفة او تعيين طاقات الاوربتالات المختلفة الى الاعتقاد بأن اسهام أحد التجمعين يكون ذا سعة صغرى او مهملا كليا . فمثلا ، يمكن للكربون ان يكون تجمعا من

اوربتالات  $sp^3$  المهجنة باستخدام اوربتالات  $2s$  و  $2p$  . وأكثر اوربتالات  $d$  استقراراً ، أي الأوطأ طاقة ، هي اوربتالات  $3d$  ، وهكذا ، فان أكثر اشكال مهجنات  $sd^3$  استقراراً تتكون من اوربتالات  $2s$  و  $3d_{xy}$  و  $3d_{xz}$  و  $3d_{yz}$  . وعلى أية حال ، تقع اوربتالات  $3d$  في الكربون عند 230 كيلوسعرة لكل مول أعلى من اوربتالات  $2p$  . ولأجل أن تكون الأواصر المتكونة عن تجمع مهجنات  $sd^3$  أكثر استقرارا من التجمع المستخدم لمهجنات  $sp^3$  تكون كل آصرة  $sd^3 \sim 170 \times \frac{2.3.0}{3}$  كيلوسعرة لكل مول أقوى من كل آصرة  $sp^3$  ، ان

ذلك مستحيل تماماً . ويمكن ان نتأكد أن الكاربون لا يستعمل تجمع  $sd^3$  . في الحقيقة . تكون اوربتالات  $3d$  عالية الطاقة نسبة الى اوربتالات  $2p$  ان من غير المحتمل ان يكون حتى الاستخدام الجزئي لهذه الاوربتالات ذا أهمية ، وهكذا ، يمكن القول بصورة صحيحة ان الكاربون ( وأي عنصر آخر في الدورة القصيرة الأولى ، الليثيوم الى الفلور ) يكون تجمعاً من اربع أو اصر رباعية السطوح موجهة باستخدام اوربتالات التهجين  $2s2p^3$  وينبغي التذكر ان ذلك يحدث بسبب الطاقة وليس بسبب التماثل .

وبعكس ذلك ، من المحتمل جداً ان يكون تجمع  $sd^3$  مهماً اذا لم يكن سائداً عندما يكون المنغنيوز أو الكروم أو اصر  $\sigma$  الاربعة في الايونات  $MnO_4^{2-}$  و  $CrO_4^{2-}$  اذا لم تكون هنا اوربتالات  $3d$  هي اوربتالات  $d$  الأوطأ طاقة المستخدمة واوربتالات  $4p$  هي اوربتالات  $p$  الأوطأ طاقة المستخدمة . وتكون اوربتالات  $3d$  أوطأ طاقة بعض الشيء من اوربتالات  $4p$  .

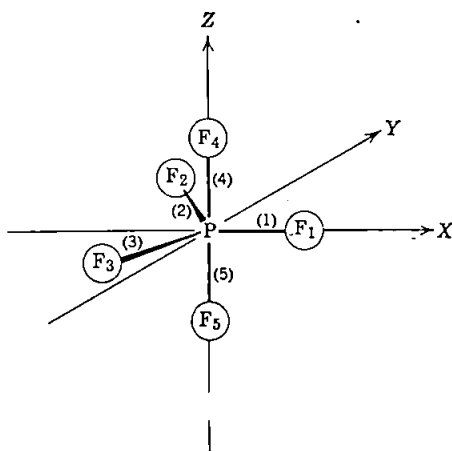
وقبل المضي في أخذ أمثلة توضيحية أخرى سنعمل على تطوير قاعدة تبسط عملية ايجاد خاصيات التمثيل المختزل الذي تكون قاعدته تجمعاً من الاوربتالات المهجنة . واذا بقي موجه معين بدون ازاحة في أثناء اجراء عملية تماثلية على تجمع من الاوربتالات المهجنة او موجهاً تمثل هذه الاوربتالات : بدا في المصفوفة ان العنصر نصف القطري يساوي 1 . واذا كان ذلك الموجه وموجه آخر متبادلين في هذه العملية : فان اثنين من العناصر نصف القطرية المطابقة يساويان صفراً . لذلك : لايجاد خاصية المصفوفة المطابقة لعملية معينة . يمكن استخدام القاعدة البسيطة الآتية : تساوي الخاصية لعدد الموجهاً التي لاتزاح بالعملية .

لنفترض اننا نرغب في ايجاد الاوربتالات الذرية للفسفور التي قد تستعمل لتكوين أو اصر  $\sigma$  مع خمس ذرات فلور في  $PF_5$  بافتراض ان  $PF_5$  يمتلك بنية ثماني الهرم المثلاثي . اذن تكون مجموعة التماثل  $D_{3h}$  . يأخذ التجمع من اوربتالات  $\sigma$  الخمسة للفسفور المكونة قاعدة التمثيل الخاصيات الآتية :

$D_{3h}$	$E$	$2C_3$	$3C_2$	$\sigma_h$	$2S_3$	$3\sigma_v$
$\Gamma_\sigma$	5	2	1	3	0	3

وقد تم الحصول على هذه الاعداد كالاتي : يبين الشكل ( 8.3 ) النظام الاحداثي واراقام الاواصر . لا تزاح جميع الاواصر عند اجراء العملية  $E$  ؛ لذلك  $\chi(E) = 5$  . وتبقى (4) و (5) بدون ازاحة عند اجراء العملية  $C_3$  لذلك  $\chi(C_3) = 2$  . وباجراء

العملية  $C_2$  تبقى اصرة واحدة بدون ازاحة ؛ وإذا كان  $C_2$  هو  $C_2(x)$  تبقى (1) ثابتة ،  
لذلك  $\chi(C_2) = 3$  . وتترك عملية  $\sigma_h(1,2)$  و (3) بدون ازاحة ؛ لذلك  
 $\chi(\sigma_h) = 3$  . ولا تترك عملية  $S_3$  أية آصرة بدون ازاحة ، اذ يعمل الجزء الدوراني منها  
على ازاحة (1) و (2) و (3) ويعمل الجزء الانعكاسي على تبادل (4) و (5) ؛ لذلك  
 $\chi(S_3) = 0$  صفرًا . وتترك العملية  $\sigma_v$  ثلاث آصريات بدون ازاحة ؛ على سبيل المثال  $\sigma(xz)$   
يعمل على تبادل (2) و (3) لكنه لا يزيح (1) أو (4) أو (5) ؛ لذلك  $\chi(\sigma_v) = 3$



الشكل 8.3 المحاور الاحداثية ونظام الارقام في  $PF_5$

والآن من السهل بيان ان :

$$\Gamma_{\sigma} = 2A'_1 + A''_2 + E'$$

والاوربتالات التي تقع في هذه الاصناف التماثلية هي :

$A'_1$	$A''_2$	$E'$
$s$	$p_z$	$(p_x, p_y)$
$d_{z^2}$		$(d_{xy}, d_{x^2-y^2})$

وهكذا ، يمكن استخدام أي من الاتحادات الآتية :

$$(1) \quad ns, (n+1)s, p_z, \begin{cases} p_x, p_y \\ d_{xy}, d_{x^2-y^2} \end{cases} \quad \begin{matrix} (a) \\ (b) \end{matrix}$$

$$(2) \quad nd_{z^2}, (n+1)d_{z^2}, p_z, \begin{cases} p_x, p_y \\ d_{xy}, d_{x^2-y^2} \end{cases} \quad \begin{matrix} (a) \\ (b) \end{matrix}$$

$$(3) \quad s, d_{z^2}, p_z, \begin{cases} p_x, p_y \\ d_{xy}, d_{x^2-y^2} \end{cases} \quad \begin{matrix} (a) \\ (b) \end{matrix}$$

من غير المحتمل للجزيئات التي يعرف اويتوقع ان لها بنية ثنائي الهرم المثلي . ولاسباب الطاقة ، انه يمكن استعمال الاتحاد (1) او (2) في  $PF_5$  . مثلاً . يتضح ان الاتحاد (3a) يحتمل ان يكون وصفا جيدا لتركيب الاوربتالات المهجنة المستعملة . من ناحية اخرى . من المحتمل ان  $MoCl_5$  الغازي يحتاج الى مزيج من الاتحادات (3a) و (3b) لتمثل الوضعية بصورة صحيحة . لأن اوربتالات  $4d$  في الموليبدنيوم تكون متقاربة بالطاقة من اوربتالات  $5p$  . وباستعمال الترقيم المختصر . يمكن كتابة الاتحادين (3a) و (3b) بشكل  $d^3sp^3$  و  $d^3sp^3$  . لكنه ينبغي التذكر انه عندما يكون مناسباً ينبغي تعيين اوربتالات  $d$  أو  $p$  اللازمة .

للتأكيد على ذلك . لنعمل على ايجاد اتحادات الاوربتالات الذرية التي يمكن ان تتهجن لتعطي اوربتالات  $\sigma$  اللازمة في شكل آخر يوجد بصورة شائعة لجزيئة  $AB_5$  . مثل الهرم رباعي الجوانب . تعود مثل هذه الجزيئة الى مجموعة  $C_{4v}$  . وتكون خاصيات التمثيل  $\Gamma_\sigma$  . التي تمثل قاعدتها اوربتالات  $\sigma$  الخمسة كالآتي :

$C_{4v}$	$E$	$2C_4$	$C_2$	$2\sigma_v$	$2\sigma_d$
$\Gamma_\sigma$	5	1	1	3	1

وتختزل  $\Gamma_\sigma$  كالآتي :

$$\Gamma_\sigma = 2A_1 + B_1 + E$$

توجد الاوربتالات الآتية في أصناف التماثل اللازمة :

$A_1$	$B_1$	$E$
$s$	$d_{x^2-y^2}$	$(p_x, p_y)$
$p_z$		$(d_{xz}, d_{yz})$
$d_{z^2}$		

واحدى الطرق للحصول على اثنين من اوربتالات  $A_1$  واوربتال واحد من  $B_1$  وزوج واحد من اوربتالات  $E$  هي اختيار  $s$  .  $p_z$  ،  $d_{x^2-y^2}$  ،  $p_x$  ،  $p_y$  . وهو التجمع الذي يمكن ان يكتب باختصار بشكل  $d^3sp^3$  . في حالة  $C_{4v}$  . يجب فهم ان  $d$  يشير فقط الى

اوربتال  $d_{x^2-y^2}$  حيث ينبغي في تجمع  $d^3sp^3$  الذي شرح في أعلاه لحالة  $D_{3h}$  ان يفهم ان  $d$  يعني بالضبط اوربتال  $d_{z^2}$  فقط . وفي الحالة التي تستعمل فيها الذرة A في  $AB_5$  : لأسباب الطاقة ، مهجنات متكونة من اوربتال  $s$  واحد واوربتال  $d$  واحد وثلاثة اوربتالات من  $p$  ، فان الشكل الهندسي للجزيئة يعتمد على استعمال اوربتال  $d_{x^2-y^2}$  أو اوربتال  $d_{z^2}$  .

بالطبع . لحالة  $C_{4v}$  . هناك تنظيمات تهجينية ممكنة أخرى تكتب بالترقيم المختصر . كالآتي :

$$sd^4, spd^3, sd^2p^2, pd^4, p^3d^4$$

يمثل النوع من التحليل الذي شرح في أعلاه بصورة كاملة لعدة جزيئات مهمة بشكل موجز لبعض الحالات المهمة .

$AB_3$  (مستوي) : تماثل  $D_{3h}$  . امثلة :  $BF_3, AlR_3, NO_3^-, SO_3$

$D_{3h}$	$E$	$2C_3$	$3C_2$	$\sigma_h$	$2S_3$	$3\sigma_v$
$\Gamma_\sigma$	3	0	1	3	0	1

$$\Gamma_\sigma = A'_1 + E'$$

الاتحادات الممكنة :  $(s, d_{xy}, d_{x^2-y^2}), (d_{z^2}, p_x, p_y), (d_{z^2}, d_{xy}, d_{x^2-y^2})$  ,  
 $(s, p_x, p_y)$  . التي تمثل بالترقيم المختصر على شكل  $sd^2, sd^2, dp^2, d^3$

$AB_4$  (مستوي) : تماثل  $D_{4h}$  . امثلة :  $AuCl_4^-, XeF_4, Ni(CN)_4^{2-}$

$D_{4h}$	$E$	$2C_4$	$C_2$	$2C'_2$	$2C''_2$	$i$	$2S_4$	$\sigma_h$	$2\sigma_v$	$2\sigma_d$
$\Gamma_\sigma$	4	0	0	2	0	0	0	4	2	0

$$\Gamma_\sigma = A_{1g} + B_{1g} + E_u$$

الاتحادات الممكنة :  $(s, d_{x^2-y^2}, p_x, p_y), (d_{z^2}, d_{x^2-y^2}, p_x, p_y)$  ,  
 التي تمثل بالترقيم المختصر بشكل  $d^2p^2$  و  $d^2p^2$  .  $AB_6$  (ثمانى السطوح)

: تماثل  $O_h$  . امثلة :  $SF_6, PF_6^-, Fe(CN)_6^{3-}$

$O_h$	$E$	$8C_3$	$6C_2$	$6C_4$	$3C_2$	$i$	$6S_4$	$8S_6$	$3\sigma_h$	$6\sigma_d$
$\Gamma_\sigma$	6	0	0	2	2	0	0	0	4	2

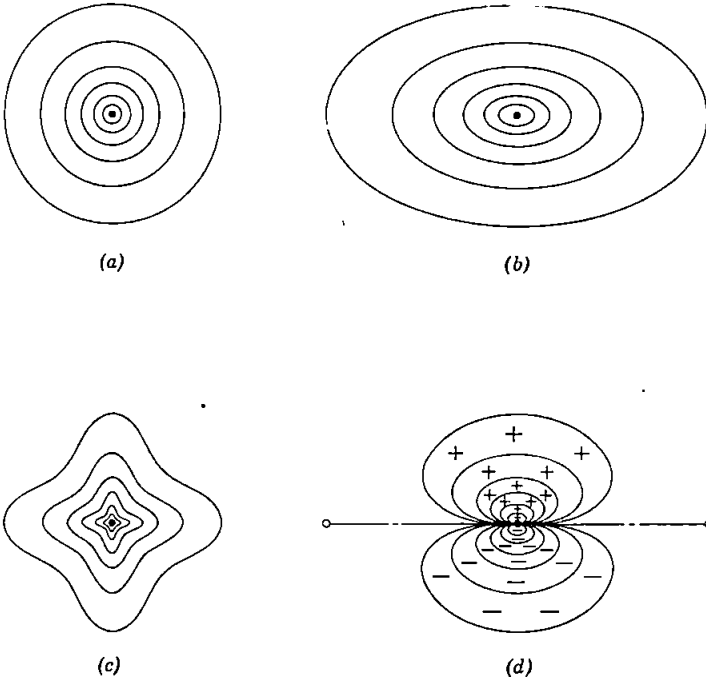
$$\Gamma_\sigma = A_{1g} + E_g + T_{1u}$$

الاتحادات الممكنة :  $s, p_x, p_y, p_z, d_{z^2}, d_{x^2-y^2}$  , فقط . ونمثل بالترقيم المختصر . بشكل  $d^2sp^3$



#### 8.4 خطط التهجين لتأصر $\pi$ :

نبدأ بالشرح التفصيلي لخصائص اوربتالات  $\pi$  مقارنة مع اوربتالات  $\sigma$ . يمكن بيان الاختلاف بدلالة عدد المستويات العقدية التي يمتلكها كل نوع. المستوي - أو السطح - بصورة أكثر عموماً - هو محل جميع النقاط التي تكون عندها سعة الدالة الموجية مساوية صفراً نتيجة لتغيير إشارتها بالمرور من إحدى جهات السطح إلى الأخرى. يعرف اوربتال  $\sigma$  بأنه الاوربتال الذي لا يمتلك سطحاً عقدياً يحتوي محور الآصرة. ويعرف اوربتال  $\pi$  بأنه الاوربتال الذي يمتلك سطحاً أو مستويًا عقدياً واحداً يحتوي على محور الآصرة. ويمتد نظام التصنيف هذا ليشمل - مثلاً - اوربتالات واواصر  $\delta$  التي تمتلك سطحين عقديين يتقاطعان على طول محور الآصرة. ولكننا لن نشرح هنا أكثر من حالة  $\pi$ .

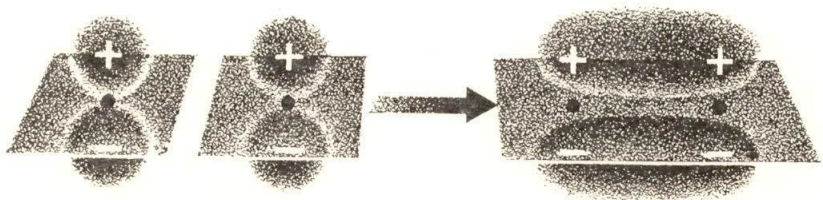


شكل 8.4. مقاطع (a), (b), (c)، خلال واواصر اوربتالات  $\sigma$  عمودية على المحور بين النوى. لاحظ اختفاء المستويات العقدية. مقطع (d) خلال آصرة او اوربتال  $\pi$ . يمثل — — — مخطط للمستوي العقدي. تمثل المنحنيات محلات جميع النقاط ذات القيمة نفسها للدالة الموجية الالكترونية . . . .

لتوضيح هذه التعاريف ، يبين الشكل 84 بعض المقاطع العرضية للاوربتالات  
او الاواصر تمثل المنحنيات المغلقة خطوطاً ذات قيمة ثابتة من الدالة الموجية ، وتمثل

الخطوط قرب المركز ساعات عالية . مع ان ذلك غير ضروري ، لانها قد تكون ايضاً  
سطوحاً عقدية مركزة حول مركز الآصرة . يبين الشكل 8.4a مقطعاً خلال اوربتال  $\sigma$   
المتماثل دائرياً وقد يكون هذا اوربتال  $s$  نقياً او اوربتال  $p_a$  نقباً ينظر له خلال  
المحور  $z$  او الفص الرئيس من اوربتال  $d_{z^2}$  ينظر له من خلال المحور  $z$  وبين الشكل  
8.4b مقطعاً عرضياً لاوربتال  $\sigma$  الذي يمتلك التماثل الاهليجي ، ويمثل 8.4c  
مقطعاً معقداً أكثر في شكله . على اية حال ، لجميعها الميزة المحددة لاوربتال  $\sigma$   
اذ اتبعنا الدائرة المركزة حول محور الآصرة . لا يوجد اي تغير في اشارة الدالة الموجية  
لاحظ ايضاً ان هناك قيمة محددة لاوربتال او آصرة  $\sigma$  على امتداد محور الآصرة

يبين الشكل 8.4d مقطعاً عرضياً خلال اوربتال  $\pi$  . وبسهولة يلاحظ المستوي  
العقدي المار خلال محور الآصرة واذا تكونت مثل هذه الآصرة بتداخل اوربتالين  
ذرين (AO's) واحداً على كل من الدرتين المتأصرتين ، فمن الضروري ان يكون  
لكل اوربتال ذري خاصية  $\pi$  بالنسبة للمحور مابين الواتين ( اي ان لها المستوي العقدي  
حواياً على المحور ) وان هذين المستويين العقديين يتطابقان وتوضح هذه الاعتبارات في  
الشكل 85



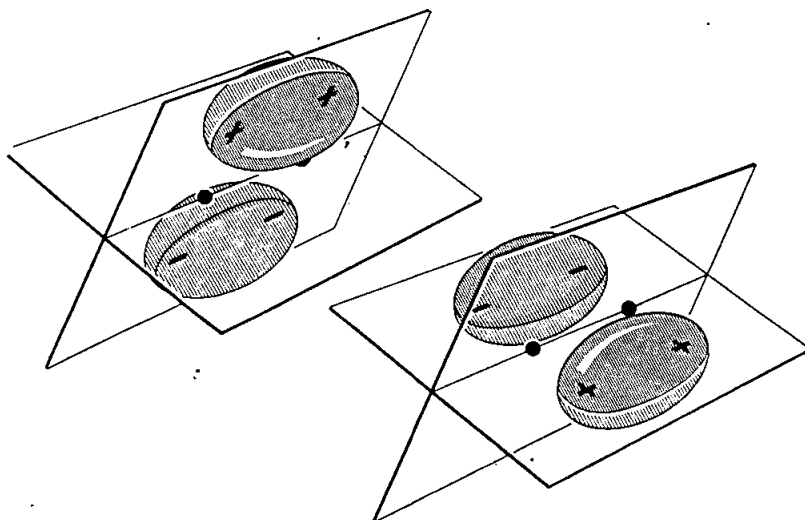
الشكل 85 رسم تحيطي بين تكون آصرة  $\pi$  من اوربتالين درتين اوهجيين مع المستوي العقدي المشترك

واخيراً ، من السهل ايضاً ملاحظة امكانية وجود آصرتين من نوع  $\pi$  متعامدتين  
بين الدرتين نفسيهما وتكون المستويات العقدية لهاتين الاصرتين متعامدة بصورة  
متبادلة ، كما هو مبين في الشكل 86 . ويمكن ملاحظة ان التداخل الموجب للفص  
الموجب لآصرة  $\pi$  الاولى مع الفص الموجب للآصرة الثانية يلغي تماماً بتداخل الفص  
الموجب للآصرة الاولى مع الفص السالب للآصرة الثانية ويحدث الغاء مشابه في  
تداخلات الفص السالب للاوربتال الاول مع فصوص الاوربتال الثاني على اية حال ،

ليس هناك امكانية وجود  $\pi$  ثالث له محصلة تداخل مساوية صفراً مع كل من الاوربتالين الاولين .

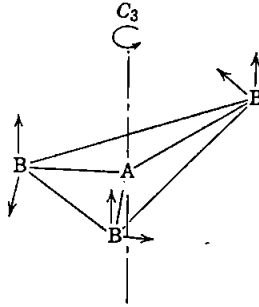
نتيجة لمميزات اواصر  $\pi$  التي شرحت في اعلاه ، يمكن التوصل الى جواب السؤال عن نوع الاوربتالات اللازمة على الذرة المركزية لتكون اواصر  $\pi$  مع كل تجمع من الذرات المحيطة بها ، بالطريقة الآتية : نود ان يكون عدد الاوربتالات المهجنة من نوع  $\pi$

جميعها مساوياً  $2n$  على الذرة A في الجزيئة  $AB_n$  ، واثنان لكل ذرة B . وبغني ان تشمل هذه المهجنات  $2n$  على A اوربتالاً يوافق ( بالمعنى المشروح في اعلاه المبين في الشكل 8.5 ) كل واحد من اوربتالات  $\pi$  على الذرة B . وهكذا ، يكون كل من تجمع المهجنات  $2n$  على A وعدد  $2n$  من اوربتالات  $\pi$  الذرية على الذرات B القواعد للتمثيل نفسه للمجموعة التماثلية في الجزيئة . والأبعد من ذلك ، يمكن أن يمثل كل اوربتال  $\pi$  ذري على احدى ذرات B بموجه عمودي على المستوى العقدي مؤشراً باتجاه القيم الموجبة للدالة الموجية . وقد يوجد اثنان من هذه الموجهات بزوايا قائمة على الذرة B . والآن بدلاً من اعطاء شرح أبعد ، بصورة عامة ، لنأخذ مثلاً نوعياً لذلك .



شكل 8.6 رسم تخطيطي يبين اصرتي  $\pi$  بين الزوج نفسه من الذرات مع المستويات العقدية ، المتعامدة بصورة متبادلة ، للاوربتالين .

يؤخذ بنظر الاعتبار مستو، جزيئة  $AB_3$  المتماثلة، مثل  $BF_3$  أو  $NO_3^-$ ، يعود الى مجموعة  $D_{3h}$ . تتحول اواصر A-B من نوع  $\pi$  التي . ممكنة اساساً، كما لوحظ في اعلاه، بالطريقة نفسها مثل التجمع من الموجهات الستة المرتبطة بذرات B المرتبطة بذرات B. تحتاج الموجهات على ذرة B الى ان يكونا متعامدين الواحد على الآخر في مستو عمودي على محور A-B ويمكن ان يؤخذ ترتيبها في خلال ذلك المستوي، في الاساس، اختيارياً. ولكن في حالات كالحالة الحاضرة حيث يوجد مستو جزيئي، من المفيد عادة، في حل الناتج واستنتاج اهميته، ان نرتب موجهاً واحداً على كل ذرة B عمودياً على المستوي الجزيئي، ثم، من الضروري ان يقع الآخر في المستوي الجزيئي، كما هو مبين في الشكل 8.7.



شكل 8.7 ستة موجهات تمثل اوربتالات  $\pi$  على ذرات B في الجزيئة  $AB_3$  التي تعود الى المجموعة  $D_{3h}$ .

يستعمل الآن هذا التجمع من الموجهات الستة قاعدة لتمثيل،  $\Gamma_\pi$ ، مجموعة  $D_{3h}$  مرة اخرى، يمكن استخدام القاعدة البسيطة في كون ان اية موجهات تزاوج بعملية تماثلية تسهم بمقدار صفر الى الخاصية واية موجهات تترك بدون تغيير تسهم بمقدار  $+1$ . وسنجد هنا ايضاً ان الموجة قد لايزاح الى موقع جديد لكنه يأخذ اتجاهاً متعاكساً، وهكذا، يتحول الى نفسه باشارة سالبة فيسهم بمقدار  $-1$  في الخاصية، وبهذه الطريقة من السهل الحصول على  $\Gamma_\pi$ . على اية حال، عند اجراء عمليات التماثل المختلفة، قد لا نجد اية حالة يتبادل فيها موجه من الموجهات العمودية على المستوي مع تلك الموجهات في المستوي يعني ذلك ان كل تجمع يعطي تمثيلاً مستقلاً عن الآخر.

نشر الى التمثيل المعطى بالموجه العمودي على المستوي بالرمز  $\Gamma_\pi(\perp)$  والتمثيل المعطى بتجمع الموجهات في المستوي بالرمز  $\Gamma_\pi(\parallel)$ . يشتمل الشكل الكلي للنتائج، على اختزال تمثيلات عديدة. كالآتي:

$D_{3h}$	$E$	$2C_3$	$3C_2$	$\sigma_h$	$2S_3$	$3\sigma_v$
$\Gamma_\pi$	6	0	-2	0	0	0
$\Gamma_\pi(\perp)$	3	0	-1	-3	0	1
$\Gamma_\pi(\parallel)$	3	0	-1	3	0	-1

$$\Gamma_\pi = \Gamma_\pi(\perp) + \Gamma_\pi(\parallel)$$

$$\Gamma_\pi(\perp) = A_2'' + E''$$

$$\Gamma_\pi(\parallel) = A_2' + E'$$

وهكذا، لأجل ان تكون الذرة A آصرة  $\pi$  عمودية على المستوي الجزيئي [ آصرة  $\pi(\perp)$  ] مع كل من الذرات B ، يجب ان تستخدم ثلاثة اوربتالات مهجنة مبنية من اوربتال ذري واحد يتحول بشكل  $A_2''$  وزوج واحد منحل من الاوربتالات الذرية التي تتحول بشكل  $E''$  وبالإشارة الى جدول خاصية  $D_{3h}$  يتضح ان اوربتالات  $s$  ،  $p$  او  $d$  التي تتوفر فيها هذه المتطلبات ، هي :

$$A_2'' : p_z$$

$$E'' : (d_{xz}, d_{yz})$$

وهكذا ، يعد التجمع من الاوربتالات المهجنة الثلاثة المتكافئة ، المشتق الوحيد من هذه الاوربتالات ، لتكوين آواصر  $\pi(\perp)$  .

نعود الآن الى آواصر  $\pi(\parallel)$  ، نجد ان الانواع الضرورية من الاوربتالات الذرية هي كالآتي :

$$A_2' : \text{لا يوجد}$$

$$E' : (p_x, p_y) \text{ and } (d_{x^2-y^2}, d_{xy})$$

ونظراً لعدم وجود اوربتالات ذرية ذات تماثل  $A_2'$  ، فمن غير الممكن تكوين تجمع من ثلاث آواصر متكافئة من نوع A-B  $\pi(\parallel)$  وكثيراً ماتنتج هذه الوصفية العامة في عدم وجود تجمع كامل من الاوربتالات الذرية لتكوين تجمع كامل من آواصر  $\pi$  ، كما سنلاحظ في امثلة عديدة اخرى . لهذا يعد الاستنتاج المبين هنا ذا قيمة عامة .

• يعني عدم توفر اوربتالات  $A_2'$  ألا تتكون آواصر من نوع  $\pi(\parallel)$  ولا يعني ان ذرتين من B يمكن ان ترتبط بأواصر  $\pi(\parallel)$  وانما يعني ان هناك امكانية اشتراك آصرتين من نوع  $\pi(\parallel)$  بصورة متساوية بين ذرات B الثلاث . ونهتئى معالجة جزيئة

$AB_6$  ثمانية السطوح ، التي تأتي عليها في الحال ، الفرصة لشرح هذه الفرضية شرحاً كاملاً .

سنأخذ الآن بنظر الاعتبار حالات عديدة مهمة ، تبدأ بجزئية  $AB_6$  ثمانية السطوح لايجاد تمثيل مجموعة  $O_h$  التي تكون قاعدتها اواصر  $A-B \pi$  الاثني عشرة الممكنة ، نصل موجهين الى كل ذرة B كما هو مبين في الشكل 8.8 ، وندرس تأثير مجموعة العمليات عليها . ينبغي ان يلاحظ تبادل كل موجه مع كل واحد من الموجهات الاحد عشر الاخرى بعملية تماثل واحدة واخرى . يعني ذلك ان جميع اواصر  $\pi$  الاثني عشرة ومن ثم تقع جميع الاوربتالات الاثني عشر اللازمة على الذرة A في التجمع نفسه وتكون النتائج كالآتي :

$O_h$	$E$	$8C_3$	$6C_2$	$6C_4$	$3C_2 (= C_4^2)$	$i$	$6S_4$	$8S_6$	$3\sigma_h$	$6\sigma_d$
$\Gamma_\pi$	12	0	0	0	-4	0	0	0	0	0

$$\Gamma_\pi = T_{1g} + T_{2g} + T_{1u} + T_{2u}$$

وبالاشارة ، مرة اخرى ، الى جدول خاصية  $O_h$  ، نجد ان الذرة A تمتلك من بين اوربتالاتها  $s$  ،  $p$  ،  $d$  ، الاعضاء الاتية لكل اصناف التماثل المبينة في اعلاه هي

$T_{1g}$ : none

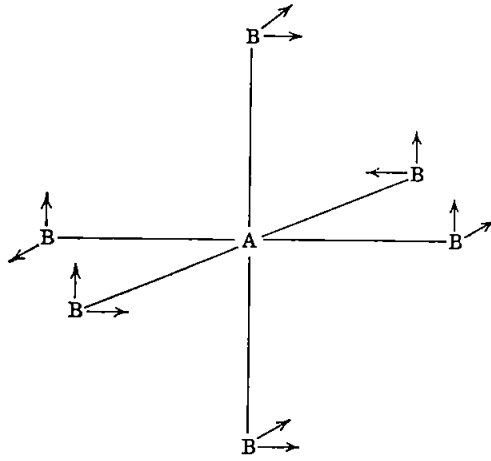
$T_{2g}$ : ( $d_{xy}$ ,  $d_{xz}$ ,  $d_{yz}$ )

$T_{1u}$ : ( $p_x$ ,  $p_y$ ,  $p_z$ )

$T_{2u}$ : none

والاستنتاج الاول الذي يؤخذ من هذه النتائج استحالة وجود التجمع الكلي من اواصر  $A-B \pi$  الاثني عشرة لان الذرة A لا تمتلك جميع الاوربتالات الضرورية . والابعد من ذلك ، تعد الاوربتالات  $p$  هي اوربتالات  $T_{1u}$  الوحيدة . واذا افترضنا تكون تجمع كامل من اواصر  $A-B \sigma$  ، تكون اوربتالات  $p$  هذه قد استعملت بصورة كاملة

لذلك الغرض ولا يمكن استخدامها لتأصر  $\pi$  . وليست صحة هذه الفرضية اكيدة ، لكنها تظهر في معظم الحالات معقولة . وهكذا ، تتوفر ثلاثة اوربتالات على الذرة A ، اوربتالات  $d$   $T_{2g}$  ، لتأصر  $\pi$  ، وكالسابق ، يذهب التفسير الصحيح الى تصور اواصر  $\pi$  الثلاث مشتركة بصورة متساوية بين ازواج  $A-B$  الستة .

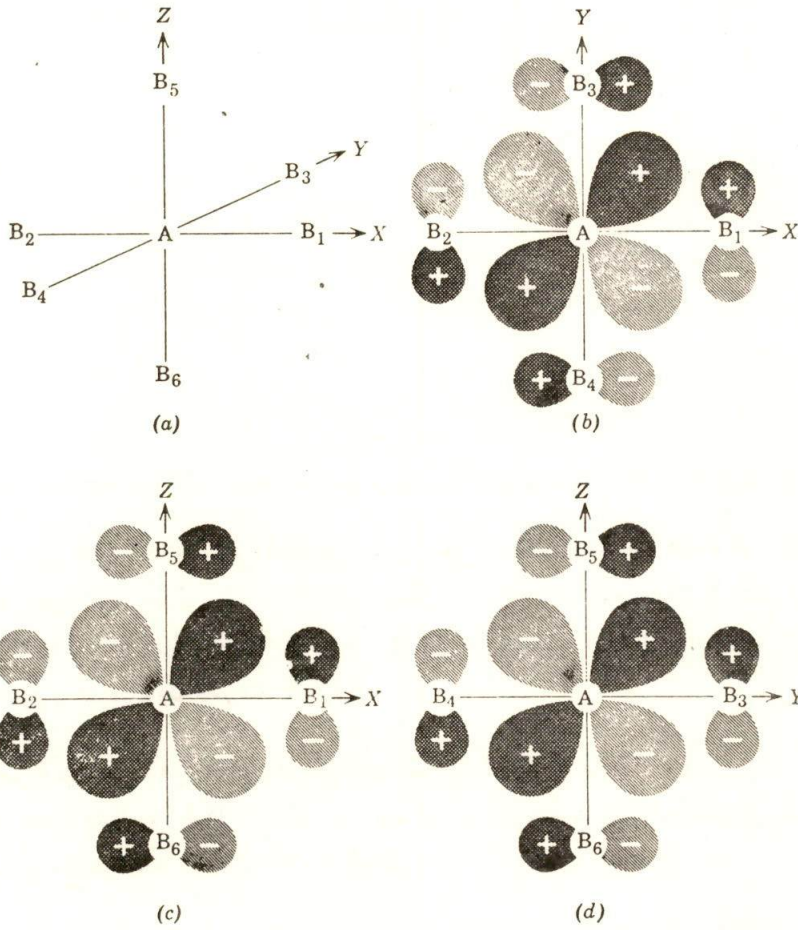


شكل 8.8 جزيئة  $AB_6$  لثمانية السطوح مع تجمع من الموجهات الاثني عشر تمثل اوربتالات  $\pi$  لذرات B

في هذه الحالة لثمانية السطوح ، من السهل ان نلاحظ هندسياً صحة هذا التفسير فاذا نظرنا الى اوربتال  $d_{xy}$  نلاحظ ( شكل 8.9b ) امكانية تكوينه لاواصر  $\pi$  مع ذرات B 1, 2, 3 و 4 بصورة متساوية . وليس هناك سبب ما ليكون آصرة  $\pi$  كلياً مع ذرة واحدة دون الذرات الاخرى .

وبصورة متشابهة ، من الممكن ان يكون اوربتال  $d_{xz}$  اواصر  $\pi$  مع ذرات B 1, 2, 5 و 6 بصورة متساوية ( شكل 8.9c ) ، ويمكن ان يكون اوربتال  $d_{yz}$  اواصر  $\pi$  بصورة متساوية مع ذرات B 3 4 5 6 ( الشكل 8.9d ) :

وبالنظر للوضعية من اتجاه معاكس ، يلاحظ الي لكل ذرة B الصورة نفسها لتكوين اواصر  $\pi$  مع كل واحد من اوربتالي d على الذرة A ، وهكذا . يمكن ان يعدتآصر  $\pi$  اشتراكاً متساوياً خلال جميع اواصر A-B الستة ليعطي ، نتيجة لذلك ، نصف آصرة  $\pi$  لكل زوج من A-B .



شكل 8.9 رسوم تبين علاقة اوربتالات  $\pi$  للذرة A مع ذرات B في جزيئة  $AB_6$  ثمانية السطوح .

سنأخذ بنظر الاعتبار بعد ذلك جزيئة  $AB_4$  ذات بنية المربع المستوي التي تعود الى مجموعة النقطة  $D_{4h}$  .

يمكن ان نقسم هنا ، كما في جزيئة  $AB_3$  المستوية ، اواصر  $\pi$  الثماني الممكنة الى تجمعين ثانويين ، اربع عمودية على المستوي الجزيئي واربع تقع في المستوي . وعند اجراء التمثيلات واختزالها التي يكون هذان التجمعان قواعدها ، يتم الحصول على النتائج الاتية :



$D_{4h}$	$E$	$2C_4$	$C_2$	$2C'_2$	$2C''_2$	$i$	$2S_4$	$\sigma_h$	$2\sigma_v$	$2\sigma_d$
$\Gamma_\pi(\perp)$	4	0	0	-2	0	0	0	-4	2	0
$\Gamma_\pi(\cdot)$	4	0	0	-2	0	0	0	4	-2	0

$$\Gamma_\pi(\perp) = A_{2u} + B_{2u} + E_g$$

$$\Gamma_\pi(\cdot) = A_{2g} + B_{2g} + E_u$$

يدل ايضاً جدول خاصية  $D_{4h}$  على توفر اوربتالات  $s, p, d$  او على الذرة A . لكل من التمثيلات اللازمة .

$$A_{2u}: p_z \quad A_{2g}: \text{لا يوجد}$$

$$B_{2u}: \text{لا يوجد} \quad B_{2g}: d_{xy}$$

$$E_g: (d_{xz}, d_{yz}) \quad E_u: (p_x, p_y)$$

وهكذا . يستحيل ان يكون اي من تجمعات اواصر  $\pi$  كاملاً لان اوربتالات  $B_{2u}$  و  $A_{2g}$  اللازمة على الذرة A ليست موجودة ( من بين اوربتالات  $s, p$  او  $d$  ) . وقد توجد ثلاث اواصر  $\pi$  عمودية تشترك خلال تجمعات A-B الاربعة ، ويتعذر استخدام اوربتالات  $d_{xz}, p_z, d_{yz}$  على الاطلاق في تآصر A-B من نوع سكما ( انظر : الفقرة 8.2 ) . لان هذه الاواصر تحتاج الى استخدام الاوربتالات المهجنة  $d_{x^2-y^2}, s, p_x, p_y$  .

على الذرة A ، مع انه يفترض عادة ان تكون اواصر سكما يأخذ السابقة ، يوجد اوربتال  $d_{xy}$  واحد ليكون اصرة  $\pi$  واحدة في المستوي تشترك بصورة متساوية ( انظر : شكل 8.9b ) خلال جميع ازواج A-B الاربعة .

تستنتج هذه الفقرة بأجراء امكانيات تآصر  $\pi$  في جزيئة  $AB_4$  رباعية السطوح . واتباع الطريقة الاعتيادية ، نعين زوجاً من الموجهات لكل ذرة B مرتبة بطريقة بحيث تتحول بصورة متطابقة مع اواصر A-B من نوع  $\pi$  التي قد تتكون ، ولهذا تتطابق مع الاوربتالات اللازمة على الذرة A . ونحصل على الخاصيات الاتية للتمثيل الذي تكون هذه الموجهات قاعدته :

$T_d$	$E$	$8C_3$	$3C_2$	$6S_4$	$6\sigma_d$
$\Gamma_\pi$	8	-1	0	0	0

التي تختزل الى :

$$\Gamma_\pi = E + T_1 + T_2$$

ينبغي ان يلاحظ ان جميع الموجهات الثمانية تعود الى التجمع نفسه لان اي واحد منها يتبادل مع كل واحد من الموجهات الاخرى بعملية واحدة او اخرى .

مرة اخرى ، بالاشارة الى جدول خاصية  $T_d$  نجد ان الاوربتالات الاتية :  $s$  ،  $d$  ،  $p$  ،  $\Gamma_\pi$  ، تعود الى التمثيلات غير المختزلة التي تكون  $\Gamma_\pi$  :

$$E: (d_{x^2-y^2}, d_{z^2})$$

$$T_1: \text{none}$$

$$T_2: (p_x, p_y, p_z) \text{ and } (d_{xy}, d_{xz}, d_{yz})$$

وهكذا فالاستنتاج الاول هو ان من بين اواصر A-B من نوع  $\pi$  الثماني التي يمكن فهمها ، قد تتكون خمس حين تمتلك الذرة A اوربتالات  $s$  ،  $p$  ،  $d$  تحت تصرفها . وقد يستعمل تجمع واحد من اوربتالات  $T_2$  ، ويحتمل ان يكون هذا التجمع اوربتالات  $p$  الثلاثة النقية او اوربتالات  $d$  الثلاثة النقية او تجمعاً لثلاثة مهيجات من نوع  $p-d$  بنيت من التجمعين المحدودين .

في هذه الحالة هناك مثال مهم للظاهرة التي صودفت سابقاً ، وخاصة ، الحاجة للاوربتالات التي تعود الى التمثيل نفسه لكل من تأصر  $\sigma$  و  $\pi$ . وفي الحالة التي يوجد فيها اوربتال واحد او جمع واحد من اوربتالات النوع اللازم ، يفترض عادة ، كما لوحظ سابقاً ، ان تكوين اواصر  $\sigma$  يأخذ الاسبقية . على اية حال ، تعد الحالة الحاضرة معقدة اكثر . كما هو مبين في الفقرة ( 8.3 ) ، يحتاج التجمع من اوربتالات  $\sigma$  على الذرة A الموجهة بشكل رباعي السطوح لاوربتالات ذرية تعود الى التمثيلات  $A_1$  ،  $T_2$  . وهكذا يحتاج كل من تجمعات  $\sigma$  و  $\pi$  مجموعة من اوربتالات  $T_2$  ونظراً لتوفر تجمعين من اوربتالات  $T_2$  التي قد يسد كل منها الحاجة ، لكن من غير الممكن ، بالاعتماد على التماثل

كلياً ، عمل اي تحديد موضعي لتجمع واحد من الاوربتالات بالنسبة لتأصر  $\sigma$  والتجمع الاخر لتأصر  $\pi$  . ويمكن اخذ ثلاث حالات بنظر الاعتبار واذا استخدم الفلز مهيجات  $sp^3$  النقية لتأصر  $\sigma$  ، امكن استخدام تجمع  $d^5$  البقي لتأصر  $\pi$  . وفي الحالة المحددة الثانية ، تستخدم الذرة A تجمع  $sd^3$  النقي لتأصر  $\sigma$  و من ثم تجمع  $p^3d^2$  لتأصر  $\pi$  ، واخيراً ، يوجد مدى كامل للحالات الوسطية التي تكون فيها اوربتالات  $\sigma$  مزيجاً من الحالتين المحددتين  $sp^3$  و  $sd^3$  ، وتمثل اوربتالات  $\pi$  مزيجاً مكماً للحالتين المحددتين  $d^5$  و  $p^3d^2$  . وتدل دراسات التماثل وحدها على ان هذه هي الامكانيات فقط .

## 8.5 الاوربتالات المهجنة بشكل الاتحادات الخطية للاوربتالات الذرية :

لاحظنا الان كيفية الاجابة على التساؤلات الوصفية مثلاً اما الاوربتالات الذرية التي يجب توفرها على الذرة المركزية A لبناء الاوربتالات المهجنة لتأصر  $\sigma$  و/ او تأصر  $\pi$  مع التجمع من الذرات المحيطة ؟ والسؤال الذي يطرح نفسه طبعاً يعني بكيفية كتابة العلاقات التوضيحية لكل من الاوربتالات المهجنة ، بحيث تذكر الكمية التي يسهم بها كل اوربتال ذري في كل اوربتال مهجن . سنوضح في هذه الفقرة كيفية اشتقاق مثل هذه العلاقات بطريقة منسقة .

وللتفسير الواضح ، سنأخذ بنظر الاعتبار التجمع من اوربتالات  $\sigma$  الثلاثة في جزيئة  $AB_3$  المستوية ( تماثل  $D_{3h}$  ) . لاحظنا سابقاً ان الحاجة الى اوربتالات ذرية من انواع التماثل  $E'$  ،  $A'_1$  وان التجمع  $s, p_x, p_y$  يحقق هذا المطلب اذا افترضنا ان الجزيئة تقع في المستوي  $xy$  ( الشكل 8.10a ) . نبحث الان عن المعاملات  $c_{ij}$  في علاقات الاتحاد الخطي الاوربتالات الذرية للاوربتالات المهجنة  $\Phi_1$  ،  $\Phi_2$  و  $\Phi_3$  الاتية :

$$\Phi_1 = c_{11}s + c_{12}p_x + c_{13}p_y$$

$$\Phi_2 = c_{21}s + c_{22}p_x + c_{23}p_y$$

$$\Phi_3 = c_{31}s + c_{32}p_x + c_{33}p_y$$

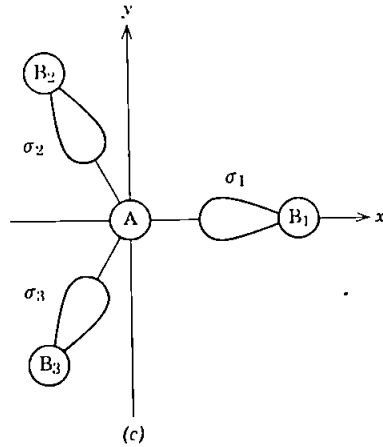
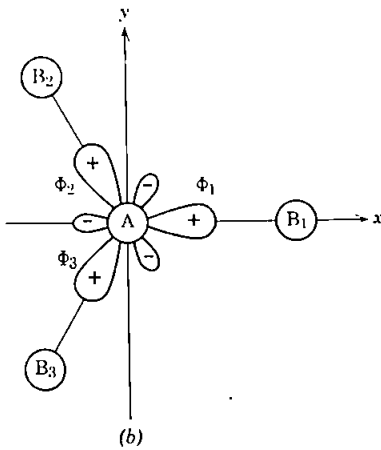
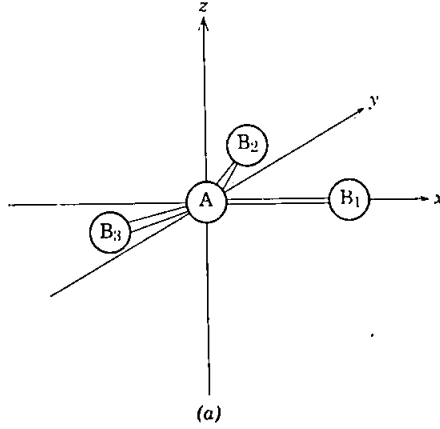
تعتمد الطريقة التي سنقدمها لحساب هذه المعاملات على عدة اعتبارات لا بد ان توضح اولاً . يكون التجمع من المعاملات التي نبحث عنها مصفوفة ، ويمكن كتابة التجمع من المعادلات في اعلاه بشكل المصفوفة :

$$\begin{bmatrix} \Phi_1 \\ \Phi_2 \\ \Phi_3 \end{bmatrix} = \begin{bmatrix} c_{11} & c_{12} & c_{13} \\ c_{21} & c_{22} & c_{23} \\ c_{31} & c_{32} & c_{33} \end{bmatrix} \begin{bmatrix} s \\ p_x \\ p_y \end{bmatrix}$$

تدل هذه المصفوفة على كيفية اخذ التجمع من الدوال الموجبة الذرية التي تعود كل منها الى تمثيل غير مختزل خاص ممين حسب ترتيب معين ، ومن ثم دمجها في ثلاث دوال متكافئة . ومن الممكن اجراء التحول العكسي والتعبير عنه بشكل المصفوفة ، كالآتي :

$$\begin{bmatrix} s \\ p_x \\ p_y \end{bmatrix} = \begin{bmatrix} d_{11} & d_{12} & d_{13} \\ d_{21} & d_{22} & d_{23} \\ d_{31} & d_{32} & d_{33} \end{bmatrix} \begin{bmatrix} \Phi_1 \\ \Phi_2 \\ \Phi_3 \end{bmatrix}$$

حيث ان المصفوفة  $\mathcal{D}$  هي معكوسة المصفوفة  $\mathcal{E}$  . وهكذا ، تكون احدى طرق ايجاد عناصر المصفوفة  $\mathcal{E}$  بأخذ معكوسة المصفوفة  $\mathcal{D}$  . وبعد اخذ المعكوسة ، بحد ذاته عملية بسيطة جداً لأن  $\mathcal{E}$  مصفوفتان متعامدتان ، وهكذا ، فان المعكوس ببساطة المتحول .



شكل 8.10 (a) ترتيب الجزئية  $AB_3$  في النظام الاحدائي الديكوتي .  
(b) تجمع من الاوربتالات المهجنة المتكافئة ،  $\Phi_1, \Phi_2, \Phi_3$  . (c) تجمع من اوربتالات  $\sigma$  المتكافئة ،  $\sigma_1, \sigma_2, \sigma_3$  ، على الذرات المحيطة .

والآن ، تشير النقطة في الشرح السابق الى اننا نمتلك طريقة لكتابة المصفوفة  $\mathcal{D}$  الممثلة لتحوّل تجمع من ثلاث دوال اساسية متكافئة الى تجمع من اتحادات خطية لها

تمائل الاوربتالات الذرية التي تمتلك بدورها التماثل المطابق لتمثيلات غير مختزلة معينة لمجموعة التماثل الجزئية . وكما هو معروف ، تنتج عوامل الاسقاط مثل هذا التماثل المكيف للاتحادات الخطية ، التي تكون معاملاتها عناصر المصفوفة المطلوبة . وهكذا ، اذا استخدمت طريقة عامل الاسقاط لتحويل التجمع من اوربتالات  $\sigma$  المتكافئة - اما الاوربتالات المهجنة على الذرة المركزية أو اوربتالات  $\sigma$  على الذرات المحيطة - الى التماثلات المكيفة للاتحادات الخطية ( SALC's ) حصلنا على التجمع من المعاملات المكونة للمصفوفة  $\Phi$  . ويمكن الآن ان نذكر ونوضح ثلاث خطوات بطريقة منسقة لتكوين الاوربتالات المهجنة .

1. شكل SALC's من تجمع الاوربتالات المتكافئة على الذرات المحيطة .  
ومما لاحظناه في اعلاه واكدنا عليه في الشكل ( 8.10 ) ، يمكن استعمال الاوربتالات المهجنة على الذرة A او اوربتالات  $\sigma$  على ذرات B لان الخواص التماثلية لهما هي نفسها . يتم اختيار الاوربتالات على الذرات المحيطة لسببين : اولهما ، تطبيق عوامل الاسقاط عليها تماماً كما هو موضح في الفصل السادس ، والثاني : العمل على استخدام ابعاد للتماثلات المكيفة للاتحادات الخطية في هذا الفصل . والنتائج التي يتم الحصول عليها هي :

$$\psi_1(A'_1) = \frac{1}{\sqrt{3}} (\sigma_1 + \sigma_2 + \sigma_3)$$

$$\psi_2(E'_a) = \frac{1}{\sqrt{6}} (2\sigma_1 - \sigma_2 - \sigma_3)$$

$$\psi_3(E'_b) = \frac{1}{\sqrt{2}} (\sigma_2 - \sigma_3)$$

2. تكتب مصفوفة المعاملات ويؤخذ معكوسها . والمصفوفة هي :

$$\begin{bmatrix} 1/\sqrt{3} & 1/\sqrt{3} & 1/\sqrt{3} \\ 2/\sqrt{6} & -1/\sqrt{6} & -1/\sqrt{6} \\ 0 & 1/\sqrt{2} & -1/\sqrt{2} \end{bmatrix}$$

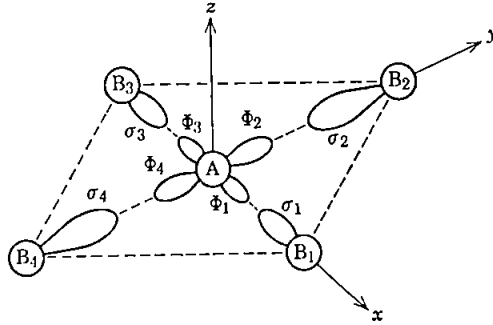
ومعكوس هذه المصفوفة ( الشكل المتحول اليه ) هو :

$$\begin{bmatrix} 1/\sqrt{3} & 2/\sqrt{6} & 0 \\ 1/\sqrt{3} & -1/\sqrt{6} & 1/\sqrt{2} \\ 1/\sqrt{3} & -1/\sqrt{6} & -1/\sqrt{2} \end{bmatrix}$$

3. تطبق المصفوفة التي يتم الحصول عليها هكذا على موجه العمود  
( column vector ) للاوربتالات الذرية ( بالترتيب الصحيح للتمثيلات التي تعود  
اليها ) لتنتج المهجنات . ولهذا نكتب :

$$\begin{bmatrix} 1/\sqrt{3} & 2/\sqrt{6} & 0 \\ 1/\sqrt{3} & -1/\sqrt{6} & 1/\sqrt{2} \\ 1/\sqrt{3} & -1/\sqrt{6} & -1/\sqrt{2} \end{bmatrix} \begin{bmatrix} s \\ p_x \\ p_y \end{bmatrix} = \begin{bmatrix} (1/\sqrt{3}) s + (2/\sqrt{6}) p_x \\ (1/\sqrt{3}) s - (1/\sqrt{6}) p_x + (1/\sqrt{2}) p_y \\ (1/\sqrt{3}) s - (1/\sqrt{6}) p_x - (1/\sqrt{2}) p_y \end{bmatrix} = \begin{bmatrix} \Phi_1 \\ \Phi_2 \\ \Phi_3 \end{bmatrix}$$

ومثال آخر بشكل مختصر ، نأخذ اواصر A-B من نوع  $\sigma$  لجزيئة  $AB_4$   
المستوية ذات تماثل  $D_{4h}$  . يبين الشكل في أدناه المحاور الاحداثية والترقيم العددي .



لقد وجدنا سابقاً ان الاوربتالات المهجنة تعطي التمثيل  $\Gamma_\sigma = A_{1g} + B_{1g} + E_u$   
ويكون التجمع المناسب من الاوربتالات الذرية على الذرة A كالآتي :

$$A_{1g}: s$$

$$B_{1g}: d_{x^2-y^2}$$

$$E_u: p_x, p_y$$

ويتم بناء الاتحادات الخطية الصحيحة لهذه الاوربتالات بطريقة الخطوات الثلاث :  
1. تكون SALC's . يعد تماثل  $C_4$  الدوراني النقي كافياً . وباستخدام

ذلك نحصل على :

$$\psi_A = \frac{1}{2}(\sigma_1 + \sigma_2 + \sigma_3 + \sigma_4)$$

$$\psi_B = \frac{1}{2}(\sigma_1 - \sigma_2 + \sigma_3 - \sigma_4)$$

$$\psi_{E_a} = \frac{1}{\sqrt{2}}(\sigma_1 - \sigma_3)$$

$$\psi_{E_b} = \frac{1}{\sqrt{2}}(\sigma_2 - \sigma_4)$$

2. تكوين وعكس مصفوفة المعاملات

$$\begin{bmatrix} \frac{1}{2} & \frac{1}{2} & \frac{1}{2} & \frac{1}{2} \\ \frac{1}{2} & -\frac{1}{2} & \frac{1}{2} & -\frac{1}{2} \\ 1/\sqrt{2} & 0 & -1/\sqrt{2} & 0 \\ 0 & 1/\sqrt{2} & 0 & -1/\sqrt{2} \end{bmatrix}^{-1} = \begin{bmatrix} \frac{1}{2} & \frac{1}{2} & 1/\sqrt{2} & 0 \\ \frac{1}{2} & -\frac{1}{2} & 0 & 1/\sqrt{2} \\ \frac{1}{2} & \frac{1}{2} & -1/\sqrt{2} & 0 \\ \frac{1}{2} & -\frac{1}{2} & 0 & -1/\sqrt{2} \end{bmatrix}$$

3. تطبيق المصفوفة المعكوسة على موجة العمود للأوربتالات الذرية .

$$\begin{bmatrix} \frac{1}{2} & \frac{1}{2} & 1/\sqrt{2} & 0 \\ \frac{1}{2} & -\frac{1}{2} & 0 & 1/\sqrt{2} \\ \frac{1}{2} & \frac{1}{2} & -1/\sqrt{2} & 0 \\ \frac{1}{2} & -\frac{1}{2} & 0 & -1/\sqrt{2} \end{bmatrix} \begin{bmatrix} s \\ d_{x^2-y^2} \\ p_x \\ p_y \end{bmatrix} =$$

$$\frac{1}{2}(s + d_{x^2-y^2} + \sqrt{2} p_x) = \Phi_1$$

$$\frac{1}{2}(s - d_{x^2-y^2} + \sqrt{2} p_y) = \Phi_2$$

$$\frac{1}{2}(s + d_{x^2-y^2} - \sqrt{2} p_x) = \Phi_3$$

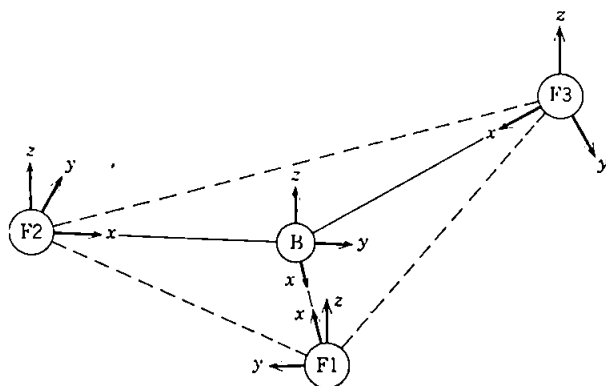
$$\frac{1}{2}(s - d_{x^2-y^2} - \sqrt{2} p_y) = \Phi_4$$

8.6 نظرية الاوربتال الجزيئي للجزيئات من نوع  $AB_n$  :

وكما يحدث في اية معالجة من نوع LCAO-MO . نبدأ بتجمع اساس من الاوربتالات الذرية ويؤخذ هذا التجمع لأية جزيئة من نوع  $AB_n$  ، عادة ، ليشتمل على جميع اوربتالات الغلاف التكافؤي على كل واحدة من الذرات ، لان تأثير الاوربتالات المملوءة - الاوربتالات الداخلية الواطئة ، او الفارغة ، الاوربتالات الخارجية العالية - يكون قليلاً نسبياً . فمثلاً ، لمعالجة  $BF_3$  نأخذ ، اعتيادياً ، بنظر الاعتبار اوربتالات  $2s$  و  $2p$  فقط لكل من الذرات الاربع حيث نحصل على تجمع اساس من ستة عشر اوربتالاً .

ويجب ان تشمل المعادلة الزمنية لمسألة  $BF_3$  المحددة من الرتبة 16 . لذلك نحتاج الى تجزئة تماثلية لجعل معالجة المسألة ممكنة . وكذلك السماح بفهم واضح للتأصر . وللحصول على اعلى تجزئة تماثلية . يجب اتباع طريقة ذات خمس خطوات . اولاً . يفصل التجمع الاساس الى قسمين : احدهما تجمع اوربتالات الغلاف التكافؤي على الذرة المركزية المفردة A . ويتكون القسم الثاني من الاوربتالات على الذرات المحيطة . ثانياً . تتجمع اوربتالات الذرات المحيطة في تجمعين من الاوربتالات المتكافئة . اي الاوربتالات التي تتبادل بعضها مع البعض الآخر بعمليات التماثل . ثالثاً . يستعمل كل تجمع وجد في الخطوة الثانية بشكل قاعدة للتمثيل . ويحلل هذا التمثيل الى مكونات التمثيلات غير المختزلة . رابعاً . تتحد اوربتالات التجمع الاساس في SALC's المطابقة للتمثيلات غير المختزلة التي وجدت في الخطوة الثالثة . خامساً تصنيف اوربتالات الغلاف التكافؤي للذرة المركزية حسب التمثيلات غير المختزلة التي تكون قاعدتها . بعد ذلك تحوّل المحددة الزمنية الى عوامل متجمعة يعود كل منها الى التمثيل غير المختزل . والآن توضح هذه الطريقة لوضع المحددة الزمنية بالنسبة لجزيئة  $BF_3$

الخطوة الاولى : يوجد لذرة البورون المركزية اربعة اوربتالات اساس  $p_x^B, p_y^B, p_z^B, s^B$  . ويوجد لكل ذرة فلور ايضاً اربعة اوربتالات :  $p_x^{F1}, p_y^{F1}, p_z^{F1}, s^{F1}$  ,  $p_x^{F2}, p_y^{F2}, p_z^{F2}, s^{F2}$  ,  $p_x^{F3}, p_y^{F3}, p_z^{F3}, s^{F3}$  . ويتضح تعيين هذه الاوربتالات الاساس بالمحاور الاحداثية في الشكل الانسي :



الخطوة الثانية : لجزيئة  $BF_3$  تماثل  $D_{3h}$  . يبين البحث ان العمليات في هذه المجموعة تتبادل الاوربتالات الاساس فقط خلال التجمعات الاربعة الآتية ولاتبادل اوربتالات التجمعات المختلفة مطلقاً .



- |                                |                                    |
|--------------------------------|------------------------------------|
| ( $s\sigma$ اوربتالات )        | (1) $s^{F1}, s^{F2}, s^{F3}$       |
| ( $p\sigma$ اوربتالات )        | (2) $p_x^{F1}, p_x^{F2}, p_x^{F3}$ |
| ( $\parallel p\pi$ اوربتالات ) | (3) $p_y^{F1}, p_y^{F2}, p_y^{F3}$ |
| ( $\perp p\pi$ اوربتالات )     | (4) $p_z^{F1}, p_z^{F2}, p_z^{F3}$ |

الخطوة الثالثة : يعطي كل من التجمعات في اعلاه تمثيلاً يمكن اختزاله والذي يختزل كالآتي :

$$\begin{aligned}\Gamma_{s\sigma} &= A'_1 + E' \\ \Gamma_{p\sigma} &= A'_1 + E' \\ \Gamma_{\parallel p\pi} &= A'_2 + E' \\ \Gamma_{\perp p\pi} &= A''_2 + E''\end{aligned}$$

الخطوة الرابعة : من المناسب في تطبيق عوامل الاسقاط لتكوين SALC's استعمال المجموعة الثانوية الدورانية النقية احادية المحور  $C_3$  : كما هو موضح في الفقرة ( 6.3 ) ، حيث تم بناء SALC's لتتجمع من الاوربتالات المتطابقة مع اوربتالات  $\perp p\pi$  الثلاثة (  $p_z$ 's ) المساهمة هنا ، ويمكن بناء SALC's لتجمعات الاوربتالات الاخرى بالطريقة نفسها . وفي الحقيقة ، يبين التفكير البسيط وجوب امتلاكها الشكل نفسه في كل الحالات . وهكذا ، نحصل على :

$$\begin{aligned}\psi_A &= \frac{1}{\sqrt{3}}(\phi_1 + \phi_2 + \phi_3) \\ \psi_{Ea} &= \frac{1}{\sqrt{6}}(2\phi_1 - \phi_2 - \phi_3) \\ \psi_{Eb} &= \frac{1}{\sqrt{2}}(\phi_2 - \phi_3)\end{aligned}$$

حيث تمثل A تجمعات  $A'_1, A'_2$  أو  $A''_2$  وتمثل E تجمعات  $E'$  أو  $E''$  وتمثل  $\phi_1, \phi_2, \phi_3$  و  $\phi_3$  التجمع المناسب من الاوربتالات الدرية على ذرات الفلور . الخطوة الخامسة : من فحص جدول خاصية  $D_{3h}$  نجد ان اوربتالات الغلاف التكافزي لذرة البورون المركزية تتحول كالآتي :

$$\begin{aligned}A'_1 &: s^B \\ A''_2 &: p_z^B \\ E' &: p_x^B, p_y^B\end{aligned}$$

يمكن الآن ملاحظة امكانية تجزئة المعادلة الزمنية الى المتجمعات الاتية :

$$A'_1 \text{ block } (3 \times 3): \psi_A^{s\sigma}, \psi_A^{p\sigma}, s^B$$

$$A'_2 \text{ block } (1 \times 1): \psi_A^{\parallel p\pi}$$

$$\text{two } E' \text{ blocks } (4 \times 4): \psi_{Ea}^{s\sigma}, \psi_{Ea}^{p\sigma}, \psi_{Ea}^{\parallel p\pi}, p_x^B \\ \psi_{Eb}^{s\sigma}, \psi_{Eb}^{p\sigma}, \psi_{Eb}^{\parallel p\pi}, p_y^B$$

$$A''_2 \text{ block } (2 \times 2): \psi_A^{\perp p\pi}, p_z^B$$

$$\text{two } E'' \text{ blocks } (1 \times 1): \psi_{Ea}^{\perp p\pi} \\ \psi_{Eb}^{\perp p\pi}$$

وهذا هو أبعد ما يمكن ان تأخذ بنا الاعتبار التماثلية وحدها . وفيما يأتي التجمع من المعادلات الزمنية التي ينبغي حلها بالنسبة لطاقات الاوربتالات الجزئية :

$$A'_1: \begin{vmatrix} H_{s^B, s^B} - E & H_{s^B, s\sigma} & H_{s^B, p\sigma} \\ H_{s^B, s\sigma} & H_{s\sigma, s\sigma} - E & H_{s\sigma, p\sigma} \\ H_{s^B, p\sigma} & H_{s\sigma, p\sigma} & H_{p\sigma, p\sigma} - E \end{vmatrix} = 0$$

$$A'_2: E = H_{\parallel p\pi, \parallel p\pi}$$

$$E': \begin{vmatrix} H_{p_x^B, p_x^B} - E & H_{p_x^B, s\sigma} & H_{p_x^B, p\sigma} & H_{p_x^B, \parallel p\pi} \\ H_{p_x^B, s\sigma} & H_{s\sigma, s\sigma} - E & H_{s\sigma, p\sigma} & H_{s\sigma, \parallel p\pi} \\ H_{p_x^B, p\sigma} & H_{s\sigma, p\sigma} & H_{p\sigma, p\sigma} - E & H_{p\sigma, \parallel p\pi} \\ H_{p_x^B, \parallel p\pi} & H_{s\sigma, \parallel p\pi} & H_{p\sigma, \parallel p\pi} & H_{\parallel p\pi, \parallel p\pi} - E \end{vmatrix} = 0$$

$$A''_2: \begin{vmatrix} H_{p_z^B, p_z^B} - E & H_{p_z^B, \perp p\pi} \\ H_{p_z^B, \perp p\pi} & H_{\perp p\pi, \perp p\pi} - E \end{vmatrix} = 0$$

$$E'': E = H_{\perp p\pi, \perp p\pi}$$

يوجد مجموع كلي من 21 عنصراً متميزاً في المصفوفة ينبغي حسابها عوضاً عن  $(16^2 + 16)/2 = 136$  اذا لم تكن هناك تجزئة تماثلية . ومن الواضح أن ذلك يعمل على توفير وقت وجهد اكثر ، لكن حساب 21 عنصراً في المصفوفة يمكن ان يكون متعباً جداً اعتماداً على الدقة المطلوبة .

تستخدم طرق تقريبية مختلفة لحساب عناصر المصفوفة . في احدى هذه الطرق ، يعد تدخل الاوربتالات على الذرات غير المتآصرة مساوياً صفرأ . وفي هذه الحالة ، يلغي ذلك اربعة من العناصر المتميزة للمصفوفة سوية ، مثل :

$$A'_1 \text{ block: } \int \psi_A^{s\sigma} \mathcal{H} \psi_A^{p\sigma} d\tau$$

$$E' \text{ block: } \int \psi_E^{s\sigma} \mathcal{H} \psi_E^{p\sigma} d\tau$$

$$\int \psi_E^{s\sigma} \mathcal{H} \psi_E^{\parallel p\pi} d\tau$$

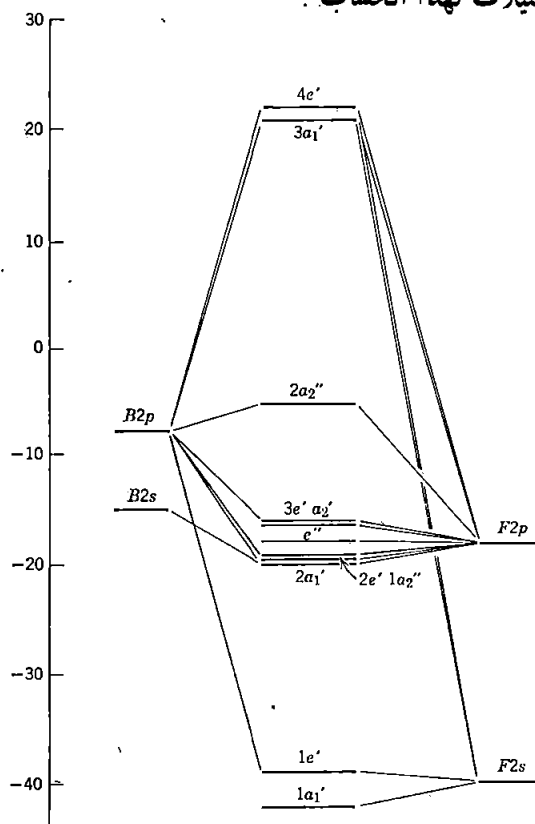
$$\int \psi_E^{p\sigma} \mathcal{H} \psi_E^{\parallel p\pi} d\tau$$

وحتى عند عدم جعل اي من عناصر المصفوفة مساوياً صفراً ، تستخدم قواعد شبه اولية لحسابها . ومن هذه القواعد الشائعة التي يجب التحقق منها بطرق قصيرة ، او تعرض لتطويرات مختلفة بسيطة :

1. يعود كل عنصر مصفوفة قطري بصورة مباشرة ، وكذلك علاقات SALC ، بأخذ التداخل أو عدم اخذه بنظر الاعتبار ، الى الطاقات الطيفية للاوربتالات الذرية المكونة SALC تحت الدرس .

2. تجعل العناصر اللاقطرية متناسبة مع التداخل بطريقة واضحة .

وبين الشكل ( 8.11 ) مخطط مستوى الطاقة الاوربتالي لجزيئة  $BF_3$  اعتماداً على الحساب الذي يستخدم القاعدتين الاوليتين اللتين ذكرنا في اعلاه . ويعطي الملحق VI بعض التفصيلات لهذا الحساب .



شكل 8.11 مخطط مستوى الطاقة الاوربتالي لجزيئة  $BF_3$  اعتماداً على حساب هوكيل الموسع البسيط ، المبين في الملحق VI . تعمل الالكترونات 24 الموجودة ( باهمال الكترونات  $1s$  ) على مل الاوربتالات الجزيئية حتى اوربتال  $3e'$  .

ينبغي ان نذكر هنا كلمة اخيرة للتحذير . يتعامل النوع من الحسابات المعطى هنا مع اوربتالات الالكترون الواحد . ولا يبين اي تفسير ايضا حي للتبادل الالكتروني او التناثرات بين الالكترونات اذ يسهم كلاهما بدرجة رئيسة في الطاقة الحقيقية الكلية للترتيب الالكتروني . ويعطى ، حسب الطرق الاولى ، سماح ضمنى لهذه التأثيرات ، خصوصا ، بالطريقة التي يتم فيها اختيار القيم العددية لعناصر المصفوفة القطرية الملعاة . تعد هذه الطريقة بالتأكيد تقريبية نوعاً ما ولهذا لا يمكن اخذ النتائج بشكل تفصيلي دقيق .

## 8.7 العلاقة بين معالجات الاوربتال الجزئي والتهجين :

بدون شك يتبين للتلميذ الذي يتذكر الفقرات السابقة من هذا الفصل ان معالجات التهجين والاوربتال الجزئي تكون مرتبطة بصورة مألوفة اعتمادها المشترك على تماثل الجزيرة . والغرض من هذه الفقرة التعليق المباشر على العلاقة بينهما . تهىء جزيرة  $BF_3$  توضيحاً مناسباً لذلك .

لنأخذ بنظر الاعتبار اواصر  $\sigma$  ، أولاً . تؤكد طريقة التهجين على تكافؤ اواصر B-F الثلاث وتعطي تعريفاً واضحاً بأنها تحتوي على خاصية اوربتالات  $s$  و  $p$  للذرة المركزية ، ولكنها لا تهىء اية طريقة مباشرة لحساب طاقة هذه الاواصر . تصف معالجة الاوربتال الجزئي ضمناً تداخلات B—F من نوع  $\sigma$  الثلاثة بكونها متكافئة وتعين اشتراك اوربتالات  $s$  و  $p$  للذرة المركزية بنسبها الصحيحة ، وهي ، على اية حال ، تهىء طريقة مباشرة لحساب طاقة التداخل .

نفكر في طريقة التهجين بثلاثة ازواج الكترونية مكونة التجمع المتكافيء ، لاواصر  $\sigma$  المتمركزة . ومع انه لم يذكر بعد ، هناك ايضاً ثلاثة ازواج الكترونية اخرى تشغل اوربتالات  $\sigma$  على ذرات الفلور حيث وجهت بعيداً عن ذرة البورون المركزية . ومن الطرق الواضحة والشائعة لتعيين كيفية توزيع هذه الازواج الالكترونية الستة ، بصورة

اكثر دقة ، افترض ان كل ذرة فلور تكون اوربتالات  $sp$  المهجنة ، احدها موجه باتجاه ذرة البورون والثاني بعيد عنها . يتداخل كل من المهجنات الاولى مع واحد من اوربتالات  $sp^2$  المهجنة لذرة البورون ، ومن ثم يتمركز زوج من الالكترونات في منطقة التداخل لتكوين آصرة  $\sigma$  . ويحتوي كل من مهجنات  $sp$  الموجهة بعيداً عن ذرة البورون على « زوج منفرد » lone pair من الالكترونات .

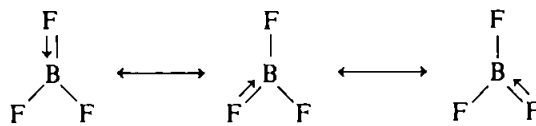
وكما يبين الشكل 8.11 . تعطي الاوربتالات  $s^{F3}$ ,  $p_x^{F1}$ ,  $p_x^{F2}$ , and  $p_x^{F3}$  ( اي التجمع نفسه من الاوربتالات المشروح في  $s^B$ ,  $p_x^B$ ,  $p_y^B$ ,  $s^{F1}$ ,  $s^{F2}$  . اعلاه المسؤول عن اواصر  $\sigma$  المتمركزة والازواج المنفردة  $\sigma$  المتمركزة ) الاوربتالات الجزيئية  $A'_1$  و  $E'$  يتضح ان واحداً من الاوربتالات الجزيئية  $A'_1$  و  $E'$  يتأصر بقوة وتشغله الازواج الالكترونية الثلاثة . اذ يتطابق ذلك مع الازواج الثلاثة من الالكترونات  $\sigma$  التأصرية المتمركزة حسب صورة التهجين . توجد بعد ذلك ثلاثة ازواج اكثر أو اقل من الالكترونات غير التأصرية تشغل اوربتالات  $A'_1$  و  $E'$  التالية ، اذ تتطابق هذه مع الازواج المنفردة حسب صورة التهجين .

يبين التطابق الذي ذكر في اعلاه ان معالجات التهجين والاوربتال الجزيئي . على الرغم من اختلاف نقاط البدء فيها والطرق المتناقضة لتصوالتا . تنتهي عادة بقول الشيء نفسه عن التأصر : ذلك تنقل المعلومات بطرق مختلفة . وقد تكون لكل منها فائدة في اغراض معينة . تعد طريقة التهجين بسيطة وتؤكد بصورة مباشرة على تكافؤ الاواصر . اما معالجة الاوربتال الجزيئي فانها اكثر مرونة وتهدى ميكانيكية لاجراء الحسابات .

نعود الآن الى تأصر  $\pi$  في  $BF_3$  . يلاحظ بشأن طريقة الاوربتال الجزيئي ان تأصر  $\pi$  في المستوي مستحيلة عملياً . يكون التجمع من اوربتالات  $\pi$  في المستوي على ذرات الفلور . اوربتالات  $p_y^{F1}$  و  $p_y^{F2}$  و  $p_y^{F3}$  و SALC's التي تعود الى تمثيلات  $A'_2$  و  $E'$  . لا تمتلك ذرة البورون اوربتال الغلاف التكافؤ ذي تماثل  $A'_2$  . وتستطيع اوربتالات  $p_x$  و  $p_y$  . التي تمتلك تماثل  $E'$  . التداخل مع اوربتالات  $s$  و  $p_x$  في الفلور بصورة افضل من تداخلها مع اوربتالات  $p_y$  . ويساند نوع الحسابات الذي يؤدي الى الشكل 8.11 هذا الاستنتاج . تؤدي معالجة التهجين . بالطبع الى النتيجة نفسها . بافتراض ان اوربتالات  $s^B$ ,  $p_x^B$  و  $p_y^B$  تستخدم بصورة كاملة في تكوين مهجنات  $\sigma$  . ولا يترك اي اوربتال في المستوي لتكوين اواصر  $\pi$  . ينبغي ان نؤكد انه ليس من الضروري لأي من التقريبين استثناء تداخل  $\pi$  في المستوي كلياً ، وبالأحرى . في كل حالة . يفترض ان يعين تأصر  $\sigma$  قبل بلوغه الذروة .

واخيراً . نأتي الى تأصر  $\pi \perp$  او خارج المستوي out-of-plane . افترض في طريقة آصرة التكافؤ لتهجين  $sp^2$  ، كخطوة اولى ، بقاء اوربتال واحد .  $p_z^B$  ، على الذرة المركزية . يمتلك هذا الاوربتال امكانية متساوية للتداخل مع اي واحد من اوربتالات  $p_z^F$  . وينبغي تفسير صورة مهجن الريزونانس . يؤدي الريزونانس من بين

البنيات المتكافئة الثلاث . كما هو مبين في ادناه . الى معدل يساوي ثلث آصرة  $\pi$  لكل زوج  $B \cdots F$  :



توصل طريقة الاوربتال الجزيئي الى الاستنتاج نفسه بموجب الحقيقة في ان التجمع من اوربتال  $\pi$  و  $p_z^{F1}, p_z^{F2}, p_z^{F3}$  تكون SALC's ذات تماثلات  $A_2''$  و  $E''$  . ونظراً لانعدام وجود اوربتالات بالتماثل الاخير على ذرة البورون . فان  $E''$  في SALC's بحد ذاتها . زوج منحل غير تاصري من الاوربتالات الجزيئية . يتداخل SALC  $A_2''$  مع اوربتال  $p_z^B$  . ذي تماثل  $A_2''$  . لتكوين اوربتال جزيئي ارتباطي واحد من نوع  $\pi$  و اخر مضاد الارتباط . حيث تسهم فيها بصورة متساوية اوربتالات  $p_z$  الثلاثة للفلور .

وفي الختام . ينبغي ان نذكر نقطة مقارنة اخرى . يعد وصف الاوربتال الجزيئي لبنية حالة الاستقرار الالكترونية في الجزيئة مكافئاً اساساً للوصف الذي تهئته معالجة التكافؤ وتطبيق فرضية التهجين . وهو ليس افضل وصفاً . وحين يكون الاهتمام بالاطياف او ظواهر اخرى تشتمل على حالات التهيج . فان هناك . بصورة عامة . فائدة وصفية مميزة لطريقة الاوربتال الجزيئي لان نظرية آصرة التكافؤ لاتأخذ بوضوح اية اوربتالات فارغة . وهكذا . تستبعد جميع الحالات مضادة التأصر وبعض الحالات غير التأصرية في الغالب . من ناحية اخرى . تتعامل نظرية الاوربتال الجزيئي بوضوح مع الاوربتالات جميعها التي يمكن عملها من التجمع الاساس . فيما اذا كانت . تأصرية او غير تأصرية او مضادة الناصر . مملوءة او فارغة .

### 8.8 الاوربتالات الجزيئية لجزيئات ثماني ورباعي السطوح المنتظمين :

لجزيئات او الايونات المعقدة ذات بنية ثماني السطوح .  $AB_6$  . او رباعي السطوح .  $AB_4$  . اهمية خاصة لانها تحدث في الغالب . خاصة في كيمياء الفلزات الانتقالية . والأبعد من ذلك لانها نماذج يمكن ان يرجع لها العديد من الجزيئات والمعقدات ذات التماثل الواطيء . نقدم هنا بشكل ملخص التحليل التماثلي المؤدي الى حساب الاوربتال الجزيئي لكل من هذه الحالات . والخطوات المتبعة هي الخمس نفسها المبينة في الفقرة 8.6 والموضحة هناك لجزيئة  $BF_3$  . يمثل التحقق من النتائج في كل مرحلة تمرينا مفيداً جداً للتلميذ .

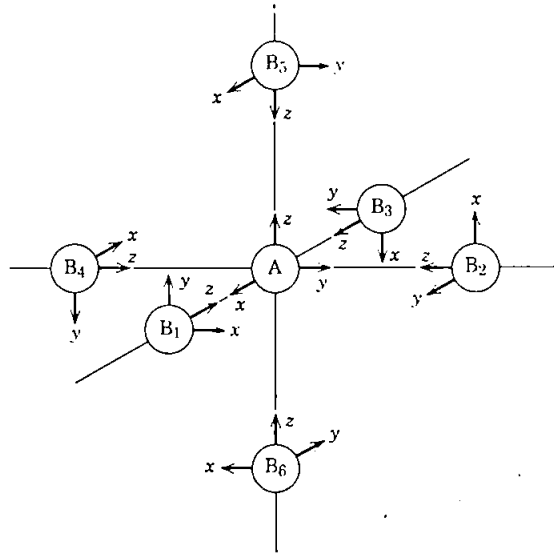
$AB_6$  ثماني السطوح :

الخطوة الاولى : نفترض ان للذرة المركزية A اوربتالات  $s, p$  و  $d$  في الغلاف التكافؤي وان لكل ذرة B اوربتالات  $s, p$  في غلافها التكافؤي . وعليه . يوجد 33 اوربتالاً في التجمع الاساس : تسعة للذرة المركزية و 24 للتجمع من ذرات B الست المتكافئة .

الخطوة الثانية : التماثل هو  $O_h$  . تؤدي عمليات هذه المجموعة الى تقسيم اوربتالات ذرة الليكاند الى ثلاثة تجمعات . ونستعمل الشكل 8.12 . ليجدد أرقام الذرات والاحداثيات المحلية .

التجمع الاول : اوربتالات  $s$  الستة .

التجمع الثالث : اوربتالات  $p_x$  و  $p_y$  الاثنا عشر .



شكل 8.12 النظام الاحداثي للجزيئة او الايون المعقد  $AB_6$  ثماني السطوح.

الخطوة الثالثة : يعطي كل من التجمعات في اعلاه تمثيلاً يمكن اختزاله كالاتي

التجمع الاول :  $1: \Gamma_{s\sigma} = A_{1g} + E_g + T_{1u}$

التجمع الثاني :  $2: \Gamma_{p\sigma} = A_{1g} + E_g + T_{1u}$

التجمع الثالث :  $3: \Gamma_{p\pi} = T_{1g} + T_{2g} + T_{1u} + T_{2u}$

الخطوة الرابعة : لا يعد اشتقاق التجمع الكامل من SALC's طفيفاً في هذه الحالة بسبب الانحلالالات وبسبب حقيقة انعدام وجود اي من المجاميع الثانوية الدورانية النقية يعمل على تحويل جميع هذه الانحلالالات الى تجمعات متميزة من المعقد ، تمثيلات احادية البعد . على اية حال . تبين الدراسة البسيطة ان من الحماقة الانغماس في الاستنتاج الصعب باستعمال الكثير من الورق والاقلام وبالصبر لتكوين جميع SALC's الممكنة . اولاً ، ننظر مقدماً الى الخطوة الخامسة ونلاحظ اي التمثيلات توسعها اوربتالات الغلاف التكافوي ، لكون تداخلات A-B ممكنة في هذه التمثيلات ولذلك فانها الوحيدة التي نحتاج الى معرفتها في معظم الاغراض .

الخطوة الخامسة : يظهر البحث في جدول خاصة  $O_h$  بصورة مباشرة ان اوربتالات  $s, p, d$  توسع التمثيلات كالاتي

$$\begin{aligned} s: A_{1g} \\ d_{x^2-y^2}, d_{z^2}: E_g \\ p_x, p_y, p_z: T_{1u} \\ d_{xy}, d_{xz}, d_{yz}: T_{2g} \end{aligned}$$

الخطوة الرابعة المنقحة : والآن نكون SALC's المفيدة فقط يمكن ان تكون SALC's  $A_{1g}$  بصورة منسقة بواسطة عوامل الاسقاط وهي

$$\psi_{A_{1g}} = \frac{1}{\sqrt{6}} (\phi_1 + \phi_2 + \phi_3 + \phi_4 + \phi_5 + \phi_6) \quad \phi_i = s^i \text{ or } p_z^i$$

وتتم الطريقة البسيطة الآن بدمج الاوربتالات الاساسية للكاند ، وذلك بأخذ اوربتالات كل تجمع بصورة منفصلة ، الى اوربتالات  $T_{2g}, E_g, T_{1u}$  اللازمة ، وبالبحث . لجعلها متوافقة ، عن اساس واحد الى واحد ، لاوربتالات الذرة المركزية

التي تداخل معها . فمثلاً ، يجب ان تكون تجمعات  $s\sigma$  و  $p\sigma$  و  $T_{1u}$  من  $\phi_1 - \phi_3$  ،  $\phi_2 - \phi_4$  و  $\phi_5 - \phi_6$  لتوافق مع اوربتالات  $p_x, p_y, p_z$  ، على التوالي ، للذرة المركزية . وبالاتمرار في هذه الطريقة وجعل SALC's معدلة ، نحصل على :



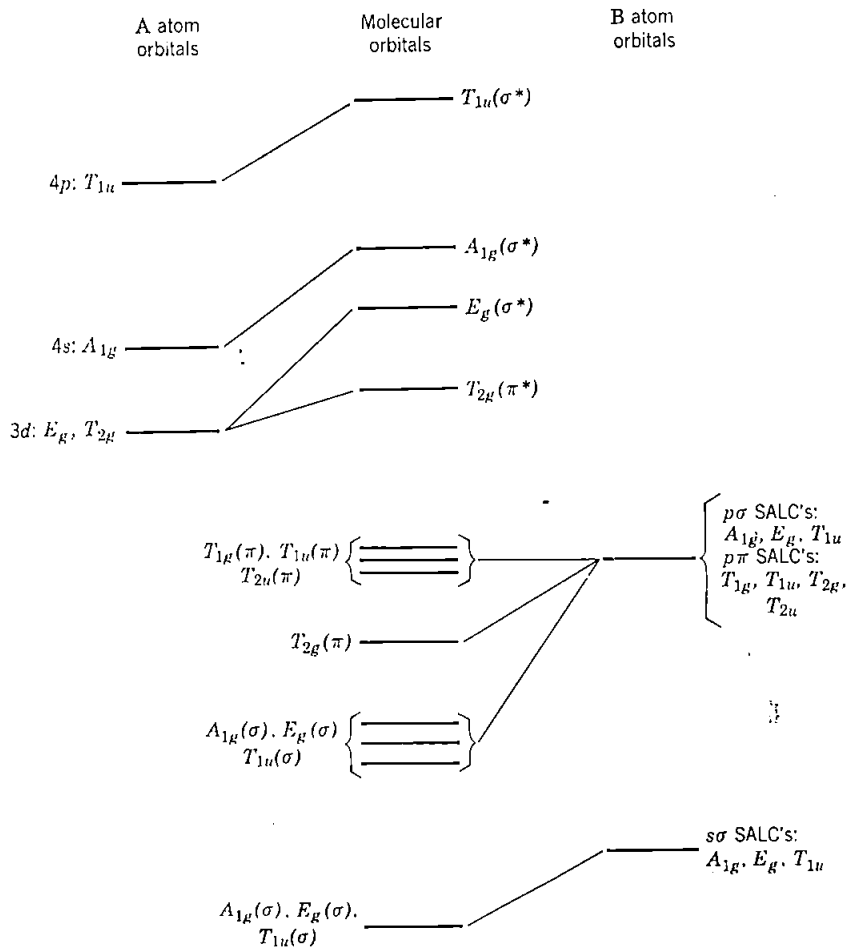
$$\psi_{E_g} = \left\{ \begin{array}{l} \frac{1}{\sqrt{12}} (2\phi_5 + 2\phi_6 - \phi_1 - \phi_2 - \phi_3 - \phi_4) \\ \frac{1}{2} (\phi_1 - \phi_2 + \phi_3 - \phi_4) \end{array} \right\} \text{matching} \left\{ \begin{array}{l} d_{z^2} \\ d_{x^2-y^2} \end{array} \right\}$$

$$\psi_{T_{1u}} = \left\{ \begin{array}{l} \frac{1}{\sqrt{2}} (\phi_1 - \phi_3) \\ \frac{1}{\sqrt{2}} (\phi_2 - \phi_4) \\ \frac{1}{\sqrt{2}} (\phi_5 - \phi_6) \end{array} \right\} \text{matching} \left\{ \begin{array}{l} p_x \\ p_y \\ p_z \end{array} \right\}$$

$$\psi_{T_{2g}} = \left\{ \begin{array}{l} \frac{1}{2} (p_y^1 + p_x^5 + p_x^3 + p_y^6) \\ \frac{1}{2} (p_x^2 + p_y^5 + p_y^4 + p_x^6) \\ \frac{1}{2} (p_x^1 + p_y^2 + p_y^3 + p_x^4) \end{array} \right\} \text{matching} \left\{ \begin{array}{l} d_{xz} \\ d_{yz} \\ d_{xy} \end{array} \right\}$$

لقد أهمل  $T_{1u}$  SALC's الذي يتكون من اوربتالات  $\pi$  لان الحسابات تبين بصورة عامة ان اوربتالات  $p$  للذرة المركزية تتداخل معها بدرجة ضعيفة مقارنة بتداخلها مع  $T_{1u}$  SALC's المتكون من اوربتالات الليكاند من نوع  $\sigma$ .

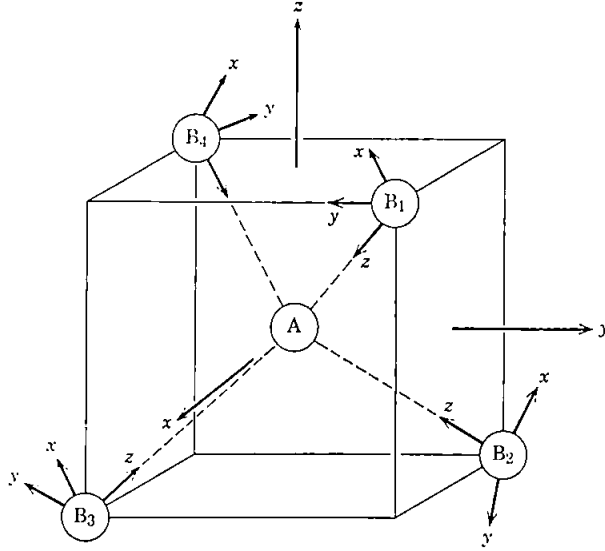
يبين الشكل 8.13 مخطط الاوربتال الجزيئي التقريبي من النوع الاعتيادي . من الواضح ان التفاصيل تعتمد على الطاقات النسبية للاوربتالات الذرية المختلفة ؛ يفترض المخطط المبين علاقات نموذجية للذرة المركزية في السلسلة الانتقالية الاولى في حالة الاكسدة الاعتيادية ( اي +2 أو +3 ) وذرات الليكاند الخفيفة مثل الفلور أو الاوكسجين .



شكل 8.13 مخطط الاوربتال الجزيئي التقريبي لجزيئة أو الايون  $AB_6$  ثماني السطوح ، اذ تمثل A ايوناً ثنائياً او ثلاثياً موجباً من السلسلة الانتقالية الاولى وتمثل B ذرات الفلوراواوالوكسجين والكلور.

#### $AB_4$ رباعية السطوح :

الخطوة الاولى : مرة اخرى . تستعمل الذرة الفلزية اوربتالات  $s$  ,  $p$  و  $d$  ،  
وستستعمل لذرات B اوربتالات  $s$  و  $p$  من نوع  $\sigma$  واوربتالين من  $p\pi$  على كل  
منها ، لتعطي تجمعاً أساساً من 225 اوربتالاً . وتحدد هذه الاوربتالات كما هو مبين  
في الشكل 8.14



شكل 8.14 النظام الاحداثي للجزيئة او الايون المعقد  $AB_4$  رباعي السطوح . يقع الوجه  $x$  على كل ذرة  $B$  في مستوى يحتوي ايضاً على المحور  $z$  للذرة  $A$  .

الخطوة الثانية : تصنف عمليات المجموعة  $T_d$  اوربتالات ذرة الليكاند الى التجمعات الآتية :

- التجمع الأول : اوربتالات  $s\sigma$  الأربعة .
- التجمع الثاني : اوربتالات  $p\sigma$  الأربعة .
- التجمع الثالث : اوربتالات  $\pi$  الثمانية .

الخطوة الثالثة : تكون التمثيلات المعطاة حسب كل من هذه التجمعات كالاتي :

$$\Gamma_{\sigma} = A_1 + T_2 \quad \text{التجمع الأول والثاني}$$

$$\Gamma_{\pi} = E + T_1 + T_2 \quad \text{التجمع الثالث}$$

الخطوة الرابعة : تكون SALC's كالاتي :

$$\psi_{A_1} = \frac{1}{2}(\phi_1 + \phi_2 + \phi_3 + \phi_4) \quad \text{matching } s^4, \text{ where } \phi_i = p_z^i \text{ or } s^i$$

$$\psi_E = \left\{ \begin{array}{l} \frac{1}{2}(p_x^1 - p_x^2 - p_x^3 + p_x^4) \\ \frac{1}{2}(p_y^1 - p_y^2 - p_y^3 + p_y^4) \end{array} \right\} \quad \text{matching } \left\{ \begin{array}{l} d_{z^2} \\ d_{x^2-y^2} \end{array} \right\}$$

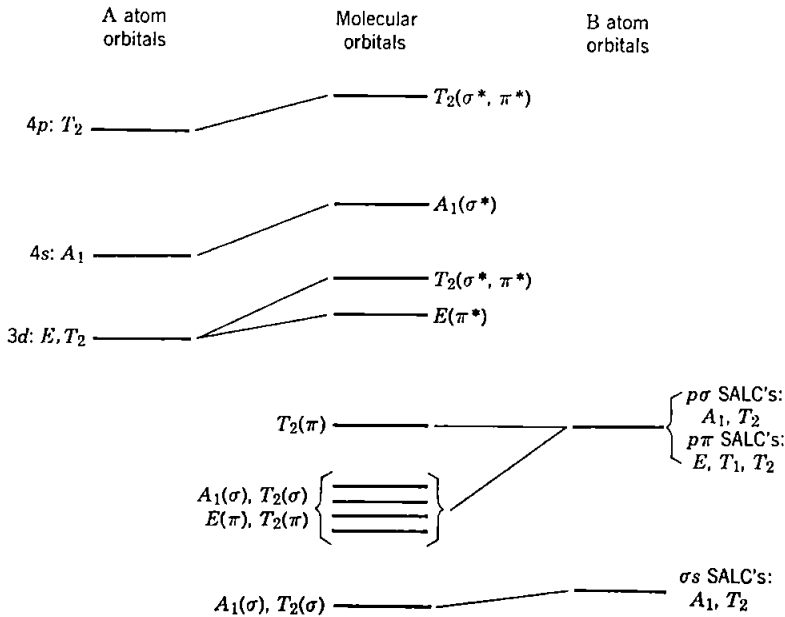
$$\psi_{T_2(\sigma)} = \left\{ \begin{array}{l} \frac{1}{2}(\phi^1 - \phi^2 + \phi^3 - \phi^4) \\ \frac{1}{2}(\phi^1 + \phi^2 - \phi^3 - \phi^4) \\ \frac{1}{2}(\phi^1 - \phi^2 - \phi^3 + \phi^4) \end{array} \right\} \quad \text{matching } \left\{ \begin{array}{l} p_x \\ p_y \\ p_z \end{array} \right\}$$

$$\psi_{T_2(\pi)} = \begin{pmatrix} \frac{1}{4}(p_x^1 + p_x^2 - p_x^3 - p_x^4) \\ + \frac{\sqrt{3}}{4}(-p_y^1 - p_y^2 + p_y^3 + p_y^4) \\ \frac{1}{4}(p_x^1 - p_x^2 + p_x^3 - p_x^4) \\ + \frac{\sqrt{3}}{4}(p_y^1 - p_y^2 + p_y^3 - p_y^4) \\ -\frac{1}{2}(p_x^1 + p_x^2 + p_x^3 + p_x^4) \end{pmatrix} \quad \text{matching} \quad \begin{pmatrix} d_{yz} \\ d_{xz} \\ d_{xy} \end{pmatrix}$$

الخطوة الخامسة : تعود اوربتالات الغلاف التكافؤى للذرة المركزية الى التمثيلات الآتية

$$\begin{aligned} s &: A_1 \\ d_{z^2}, d_{x^2-y^2} &: E \\ p_x, p_y, p_z &: T_2 \\ d_{xy}, d_{xz}, d_{yz} &: T_2 \end{aligned}$$

يعطي الشكل ( 8.15 ) مخطط مستوى الطاقة المعتمد على القياسات النموذجية لأيون  
السلسلة الانتقالية الأولى  $M^{2+}$  وايونات  $Cl^-$



شكل 8.15 مخطط مستوى الطاقة التقريبي لجزيئة أو معقد  $AB_4$  رباعي السطوح، اذ تمثل A ايوناً ثنائياً موجياً  
من السلسلة الانتقالية الاولى وتمثل B ذرات اوكسجين او كلور .

## 8.9 الاوربتالات الجزيئية للمركبات الساندويشية الفلزية :

ينطبق الاصطلاح « المركبات الساندويشية الفلزية » ( metal sandwich compounds ) على المركبات من النوع  $(C_nH_n)_2M$  . مثل  $(C_5H_5)_2Fe$  و  $(C_6H_6)_2Cr$  . حيث تقع الذرة الفلزية بين نظامين حلقيين متوازيين من الهيدروكربونات الدائرية . لكن الاصطلاح يستعمل بمعنى أوسع ليشمل . اضافة لذلك . جميع المركبات التي تحتوي في الأقل على حلقة هيدروكربونية دائرية واحدة .  $C_nH_n$  . مثل  $C_4H_4$  .  $C_5H_5$  .  $C_6H_6$  .  $C_7H_7$  . ترتبط مع الذرة الفلزية بطريقة تقع فيها الذرة الفلزية على طول محور التماثل - مرة للحلقة وهكذا ترتبط بصورة متكافئة بجميع ذرات الكربون في الحلقة .

وهكذا . اضافة الى الجزيئات ذات التماثل العالي المبينة في أعلاه . يشير الاصطلاح ايضا الى مثل هذه المركبات احادية الحلقة مثل  $C_5H_5NiNO$  .  $C_6H_6Cr(CO)_3$  و  $[C_7H_7Mo(CO)_3]^+$  و  $C_5H_5Fe(CO)_2C_2H_5$  وأنظمة حلقية ممزوجة مثل  $(C_5H_5)(C_7H_7)V$  و  $(C_5H_5)(C_6H_6)Mn$  . ينبغي ان يلاحظ ايضا ان هناك مركبات . مثل  $(C_5H_5)_2MoH_2$  لا تكون فيها الحلقات متوازية تماما . ومع ذلك يعتقد ان تأصر فلز-حلقة ما يزال متماثلا حول محور التماثل لكل حلقة . ومن الضروري ان يأخذ التماثل في مثل هذه الحالات المظاهر نفسها كما في الجزيئات الأكثر تماثلا ولكنه لا يمكن بالطبع ان يعامل بالدرجة نفسها من الدقة بالنسبة للتماثل .

لا يتناسب تماماً المركب الساندويشي الفلزي مع الفرضية السابقة للجزيئة من نوع  $AB_n$  . لأن ذرات الليكاند تتداخل بقوة بعضها مع البعض الآخر اضافة الى تداخلها مع الذرة المركزية . من المفضل توسيع الشرح ليشمل هذه الجزيئات لأنها تهىء أمثلة واضحة ومهمة عن كيفية معاملة الوضعية التي تكون فيها الليكاندات في المعقد نوعيات متعددة الذرة مع تجمع داخلي من الاوربتالات الجزيئية يشوش بالتداخل مع الاوربتالات الذرية للذرة المركزية .

باستخدام الفيروسين  $ferrocene, (C_5H_5)_2Fe$  كمثال . يمكن توضيح الفرضيات الأساسية جميعاً لمعالجة الاوربتال الجزيئي للصف الكلي من الجزيئات . وحسب ذلك ، سعامل اولاً الفيروسين بالتفصيل ومن ثم نبين باختصار تطبيق الطريقة على حالات قليلة أخرى .

## الفيروسين ( Ferrocene ) :

ان الطريقة الأساسية تتم في بناء الاتحادات الخطية لجميع اوربتالات  $p\pi$  للحلقتين من  $C_5H_5$  اللتين تعودان الى التمثيلات غير المختزلة لمجموعة النقطة الجزئية  $D_{5d}^*$ . لتصنيف الاوربتالات في الغلاف التكافؤي للذرة الفلزية حسب تماثلها في مجموعة النقطة. ومن ثم دمج اوربتالات الفلز والحلقة الى اوربتالات جزئية للجزئية الكلية. ينتج الاختلاف المهم عما اجري سابقا في معالجة جزئيات  $AB_n$  من التداخل القوي فيما بين الجزئيات المختلفة المحيطة نفسها. وبسبب ذلك. يفضل اولاً ايجاد الاوربتالات الجزئية المحلية وطاقاتها ومن ثم صياغة تداخلات  $A \dots B$  بدلالة الاوربتالات الجزئية المحلية المستحدثة لمجموع ذرات الليكاند - في هذه الحالة. حلقات  $C_5H_5$  - بدلاً من بين  $A$ ، وكل ذرة منفردة من  $B$ .

ولبناء الاتحادات الخطية المناسبة من اوربتالات  $p\pi$ . يمكن استخدام النتائج التي حصلنا عليها لحلقة  $C_5H_5$  الاحادية. وقد تم بناء الاوربتالات الجزئية لمثل هذه الحلقة بواسطة الاتحاد الخطي للاوربتالات الذرية وتحولت بصورة صحيحة بالدورانات التي تعود الى مجموعة  $C_5$  ( انظر : الجدول 7.1 ). وهي تعود الى التماثل  $E_1$  و  $E_2$ . يترتب التجمع من اوربتالات  $p\pi$  العشرة الذي تهيئه اثنتان من هذه الحلقات كما هي عليه في جزئية الفيروسين التي توسع التمثيلات الآتية من  $D_{5d}$  :

$D_{5d}$	$E$	$2C_5$	$2C_5^2$	$5C_2$	$i$	$2S_{10}$	$2S_{10}^3$	$5\sigma_d$
$\Gamma_\pi$	10	0	0	0	0	0	0	2

$$\Gamma_\pi = A_{1g} + A_{2u} + E_{1g} + E_{1u} + E_{2g} + E_{2u}$$

وهكذا. يلاحظ اننا نحتاج في النظام المتكون من حلقتين الى اوربتالين من  $A$  واحد متماثل والآخر مضاد التماثل للانقلاب في المركز. واوربتالين من نوع  $E_1$  واحد متماثل والآخر مضاد التماثل. وأخيراً. واوربتالين من  $E_2$  أحدهما متماثل والآخر مضاد التماثل

من الواضح ان فرق الطاقة بين روتومرات  $(D_{5h})$  staggered و  $(D_{5d})$  eclipsed للفيروسين قليل جداً (اقل اويساوي كيلو سرعة واحدة لكل مول). مع احتمال كون الاخير اكثر استقراراً. ( انظر : [cf. R. K. Bohn and A. Haaland, *J. Organomet. Chem.*, 5, 470 (1966)]

وبعد التماثلان مناسبين بصورة متساوية لشرح الناصر. ونظراً لان جميع المصادر استخدمت  $D_{5d}$ . نأخذ الاختيار نفسه هنا.

للالنقلاب في المركز . ومن السهولة كتابة العلاقات لهذه الاوربتالات باجراء الاتحادات المناسبة للاوربتالات الموجودة بالفعل للحلقات الاحادية . في عمل ذلك . سنشير الى الحلقات والاوربتالات كما هو مبين في الشكل ( 8.16 ) . ومن المهم جداً هنا ملاحظة انه تم اختيار اتجاهات اوربتالات  $p\pi$  بحيث تشير جميع فصوصها الموجبة باتجاه الذرة الفلزية . وهكذا . يكون المحور  $+z$  للحلقة الأولى بالاتجاه المعاكس للمحور  $+z$  للحلقة الثانية .

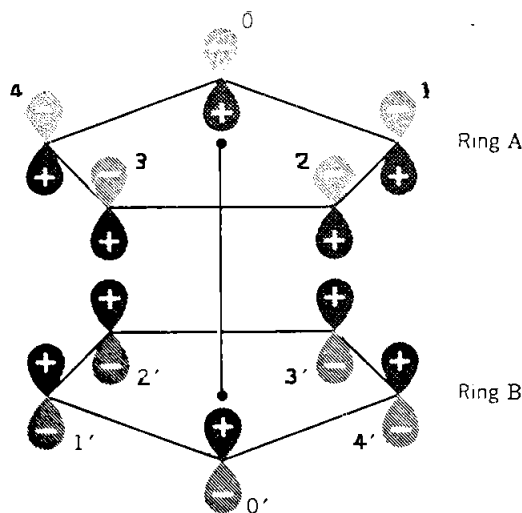
وبالاشارة الى جدول خاصية  $D_{5d}$  . يلاحظ ان اوربتال  $A_{1g}$  يجب ان يكون متماثلاً للانعقاب في مركز التماثل . ويحقق هذا المطلب بالاتحاد الآتي لاوربتالات  $A$  في الحلقتين .

$$\psi(A_{1g}) = \frac{1}{\sqrt{2}} [\psi_1(A) + \psi_2(A)]$$

اذا استخدمت الرموز السفلية 1 و 2 لتشير الى الحلقتين . يمكن ان يلاحظ بسهولة ايضا ان الدالة التي تم الحصول عليها  $\psi(A_{1g})$  تحقق جميع متطلبات التماثلات الأخرى . وللحصول على اوربتال مضاد التماثل للانعقاب في النظام المتكون من حلقتين نأخذ الاتحاد الخطي الآتي :

$$\psi(A_{2u}) = \frac{1}{\sqrt{2}} [\psi_1(A) - \psi_2(A)]$$

مرة أخرى . يبين الاختبار البسيط ان هذا الاوربتال  $\psi(A_{2u})$  . يحقق جميع متطلبات التماثل للتمثيل  $A_{2u}$  .



شكل 8.16 مخطط يبين اوربتالات  $p\pi$  على الحلقتين المستعملة لبناء الاوربتالات الجزيئية لجزيئة bis(cyclopentadienyl)

تستخدم الطريقة نفسها تماماً لاوربتالات  $E_1$  و  $E_2$  . وباختبار الاتحادات القياسية من اوربتالات  $E_1$  و  $E_2$  للحلقات الأحادية للحصول على دوال متماثلة ومضادة التماثل بالنسبة للانقلاب . وخاصة :

$$\begin{aligned} \left\{ \begin{aligned} \psi(E_{1g} a) &= \frac{1}{\sqrt{2}} [\psi_1(E_1 a) + \psi_2(E_1 a)] \\ \psi(E_{1g} b) &= \frac{1}{\sqrt{2}} [\psi_1(E_1 b) + \psi_2(E_1 b)] \\ \psi(E_{1u} a) &= \frac{1}{\sqrt{2}} [\psi_1(E_1 a) - \psi_2(E_1 a)] \\ \psi(E_{1u} b) &= \frac{1}{\sqrt{2}} [\psi_1(E_1 b) - \psi_2(E_1 b)] \\ \psi(E_{2g} a) &= \frac{1}{\sqrt{2}} [\psi_1(E_2 a) + \psi_2(E_2 a)] \\ \psi(E_{2g} b) &= \frac{1}{\sqrt{2}} [\psi_1(E_2 b) + \psi_2(E_2 b)] \\ \psi(E_{2u} a) &= \frac{1}{\sqrt{2}} [\psi_1(E_2 a) - \psi_2(E_2 a)] \\ \psi(E_{2u} b) &= \frac{1}{\sqrt{2}} [\psi_1(E_2 b) - \psi_2(E_2 b)] \end{aligned} \right. \end{aligned}$$

لذرة الحديد الفلزية . تمثل اوربتالات  $3d$  الخمسة واوربتال  $4s$  واوربتالات  $4p$  الثلاثة اوربتالات الغلاف التكافؤي . يمكن التحقق من المميزات التحولية لهذه الاوربتالات في الحال بالبحث في جدول خاصية  $D_{5d}$  . والنتائج كالآتي :

$$\begin{aligned} A_{1g} &: 4s, 3d_{z^2} \\ E_{1g} &: (3d_{xz}, 3d_{yz}) \\ E_{2g} &: (3d_{xy}, 3d_{x^2-y^2}) \\ A_{2u} &: 4p_z \\ E_{1u} &: (4p_x, 4p_y) \end{aligned}$$

وهكذا . يوجد كلياً تسعة عشر اوربتالات بضمنها الانحلالات ، ولكن بسبب مميزاتها التماثلية . كما هو مبين في الفقرة 7.1 . ليس من الضروري حل المحددة الزمنية  $19 \times 19$  . وبدلاً من ذلك ، نحصل على المحددات الصغيرة الاتية :

واحدة  $3 \times 3$  للاوربتالات الجزئية  $A_{1g}$  .



اثنان  $2 \times 2$  للاوربتالات الجزيئية  $E_{1g}$  ( لهما الجذور نفسها )  
اثنان  $2 \times 2$  للاوربتالات الجزيئية  $E_{2g}$  ( لهما الجذور نفسها )  
واحدة  $2 \times 2$  للاوربتالات الجزيئية  $A_{2u}$  .  
اثنان  $2 \times 2$  للاوربتالات الجزيئية  $E_{1u}$  ( لهما الجذور نفسها ) .

تعد اوربتالات  $E_{2u}$  الجزيئية على الحلقة هي نفسها اوربتالات  $E_{2u}$  الجزيئية للجزيئة الكلية لانه لا توجد اوربتالات فلزية من نوع  $E_{2u}$  لتتداخل معها .

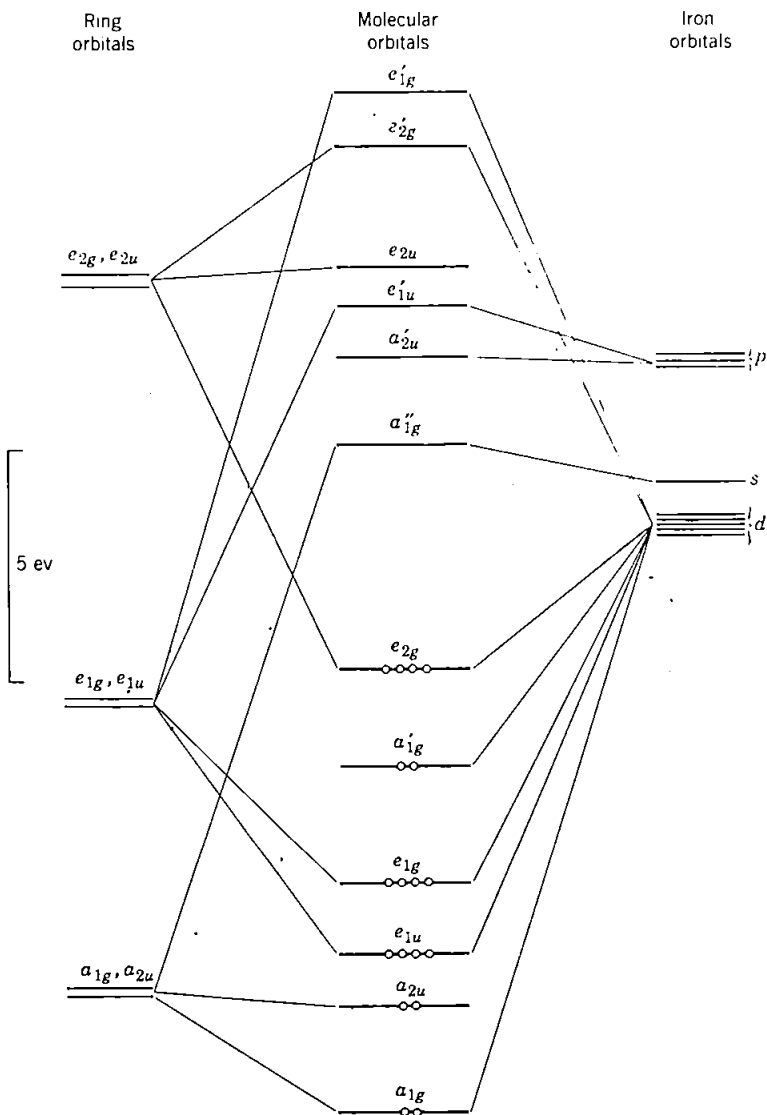
تختزل المسألة الان الى مسألة تعيين عناصر المصفوفة .

سوف لانشرح تفاصيل هذه الطريقة . لان القائمة في الملحق IX تبين العديد من هذه الحسابات . يبين الشكل 8.17 مخطط مستوى الطاقة للفيروسين الناتج بأحدى هذه الطرق .

لقد عينا سابقاً طاقات اوربتالات الحلقة بنسبة بعضها الى البعض الاخر حسب تقرب هوكيل بوحدات  $\beta$  (جدول 7.1 ) : وكما هو موضح في الملحق IV .  
نختار هنا القيمة « الطيفية » من  $\beta = 60$  كيلوسعرة / مول . للاستخدام في بناء مخطط مستوى الطاقة . والابعد من ذلك . مادامت الحلقات منفصلة بمقدار 4 انكسروم في الجزيئة . فالافتراض المعقول واضح في انه لا يوجد تداخل مباشر ذواهمية بينها : وهكذا .  
تؤخذ اوربتالات  $g$  و  $u$  ذات التماثل الدوراني نفسه على ان لها الطاقة نفسها

وبلاحظ ان هناك تسعة اوربتالات تآصرية : اكثر واقل . تلك التي تمتليء بالالكترونات الثمانية عشر الناتجة في انظمة  $\pi$  للحلقات وفي اوربتالات الغلاف التكافؤي للذرات الفلزية . يتغير الترتيب المضبوط للمستويات في بعض النواحي اعتماداً على الطرق الحسابية والتقريبات المستعملة في تعيين عناصر المصفوفة . للمركبات  $(C_5H_5)_2M$  ، الاخرى ، يمكن الحصول على مخططات مستوى الطاقة التي لها المظاهر الوصفية نفسها ،

لكن الترتيب النسبي للاوربتالات الجزيئية التآصرية الاقل استقراراً يكون معرضاً للتغير بسبب التغير لكل من الطاقات النسبية لاوربتالات الفلز واللكاند والقدرات النسبية لطاقات التداخل المختلفة . نتيجة لذلك ، يجب الحذر عند محاولة التعيين من المخطط المبني بصورة خاصة لمركب  $(C_5H_5)_2M$  البنية الالكترونية لمركب اخر يحتوي على فلز مختلف .



شكل 8.17 مخطط مستوى الطاقة للفيروسين . طاقات الاوربنال الجزيئي هي الطاقات المحسوبة من قبل Shustorovich و Dyatkina باستخدام طريقة المجال الذاتي self-consistent field procedure تعد مواقع اوربنالات الحلقة وذرة الحديد تقريبا .

## ثنائي بنزين كروم ( *Dibenzenechromium* ) :

إذا افترض ان هذه الجزيئة تتكون من حلقتي بنزين موضوعتين على كل جهة من ذرة الكروم بحيث يكون مستوَاهما متوازيين ومحاور  $C_6$  على استقامة واحدة . وقد يكون التماثل الجزيئي  $D_{6d}$  او  $D_{6h}$  معتمداً على كون الحلقات staggered او eclipsed . تبين دراسة الاشعة السينية للمركب المتبلور ان ذرة الكروم تقع في مركز الانقلاب بحيث تكون . في الحالة البلورية في الاقل . مجموعة النقطة الجزيئية  $D_{6h}$  . وهناك اثبات من اطياف الاشعة تحت الحمراء واطياف رامان في كون امتلاك الجزيئة تماثل  $D_{6h}$  في المحلول .

وبافتراض تماثل  $D_{6h}$  يمكن بسهولة تطوير نظام تآصر الاوربتال الجزيئي بصورة مشابهة لما هو مبين في اعلاه للفيروسين . مرة اخرى . نبدأ باوربتالات  $\pi$  , LCAO-MO . للحلقة الاحادية ومن ثم دمجها للحصول على الاوربتالات التماثلية المناسبة للجزيئة الكلية . وباستخدام اوربتالات  $p\pi$  الاثني عشر للكربون قاعدة لتمثيل مجموعة  $D_{6h}$  . وتحويل ذلك الى التمثيلات غير المختزلة . نجد ان الاوربتالات التماثلية يجب ان تعود الى التمثيلات غير المختزلة الاتية :

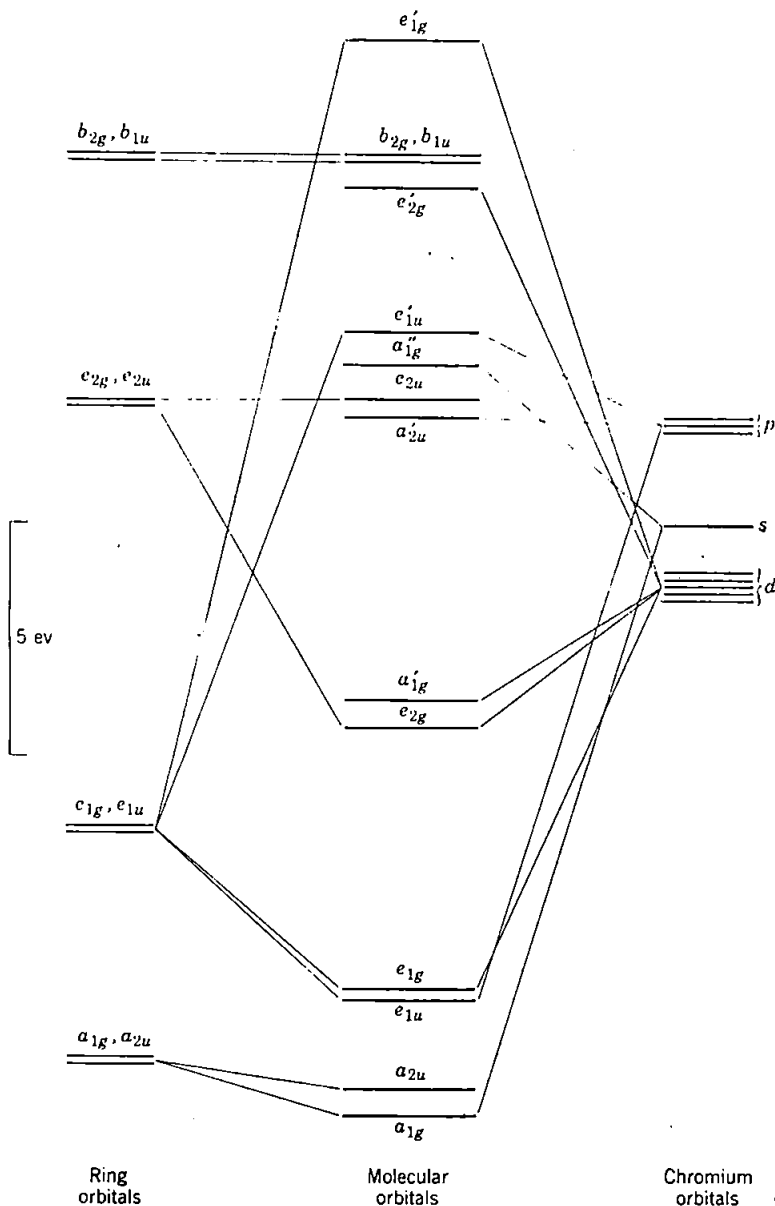
$$A_{1g}, A_{2u}, B_{2g}, B_{1u}, E_{1g}, E_{1u}, E_{2g}, E_{2u}$$

و يدمج اوربتالات  $E_2, A, B, E_1$  للحلقات الاحادية الى اتحادات تماثلية ومضادة التماثل بالنسبة للانقلاب . نحصل بسهولة على علاقات الاوربتالات التماثلية ذات الانواع المطلوبة والطاقات النسبية لهذه الاوربتالات التماثلية بوحداث  $\beta$  ( مرة اخرى ، باستخدام القيمة الطيفية ) هي الطاقات نفسها التي تم حسابها للبنزين ( الفقرة 7.3 ) . نجد للذرة الفلزية من جدول الخاصية لمجموعة  $D_{6h}$  ان اوربتالات الغلاف التكافؤي تعود الى التمثيلات غير المختزلة كالاتي :

$$\begin{aligned} A_{1g}: & s, d_{z^2} \\ E_{1g}: & (d_{xz}, d_{yz}) \\ E_{2g}: & (d_{xy}, d_{x^2-y^2}) \\ A_{2u}: & p_z \\ E_{1u}: & (p_x, p_y) \end{aligned}$$

يبين الشكل 8.18 مخطط مستوى الطاقة لثنائي بنزين كروم . اذ يلاحظ كيفية تشابه مخطط الاوربتال الجزيئي هذا مع مخطط الفيروسين . وليس ذلك مدهشاً من وجهة نظر ان الاختلاف الوصفي بين النظامين يبدو في وجود اوربتالات عالية الطاقة

ذات تماثل  $B$  في البنزين . حيث لا تشترك في تداخلات حلقة - فلز لان الفلز لا يمتلك اوربتالات الغلاف التكافؤي ب تماثل  $B$  .



شكل 8.18 مخطط مستوى الطاقة لثنائي بنزين كروم . تعد مواقع اوربتالات الحلقة والكروم في هذا المخطط تقريبيه .

## سايكلوبنتادانييل منغنيز ثلاثي الكاربونيل :

### *Cyclopentadienylmanganese Tricarbonyl*

تهبىء هذه الجزيئة مثلاً مهماً من النوع الذي يكون فيه التماثل الجزيئي الكلي او الحقيقي واطناً جداً لكن التآصر في قسم من الجزيئة قد يعامل ، وصفاً على الاقل ، بدلالة التماثلات الموضعية العالية نسبياً . في هذه الحالة ، قد يؤخذ القسم  $(C_5H_5)Mn$  من الجزيئة بأعتباره متملكاً تماثل  $C_{5v}$  ويؤخذ القسم  $Mn(CO)_3$  بكونه متملكاً تماثل  $C_{3v}$  ، علماً بان الجزيئة الكلية لايمكن ان تأخذ أكثر من تماثل  $C_s$  ، ويحدث ذلك لترتين معينين من حلقة  $C_5H_5$  نسبة الى مجموعة  $Mn(CO)_3$

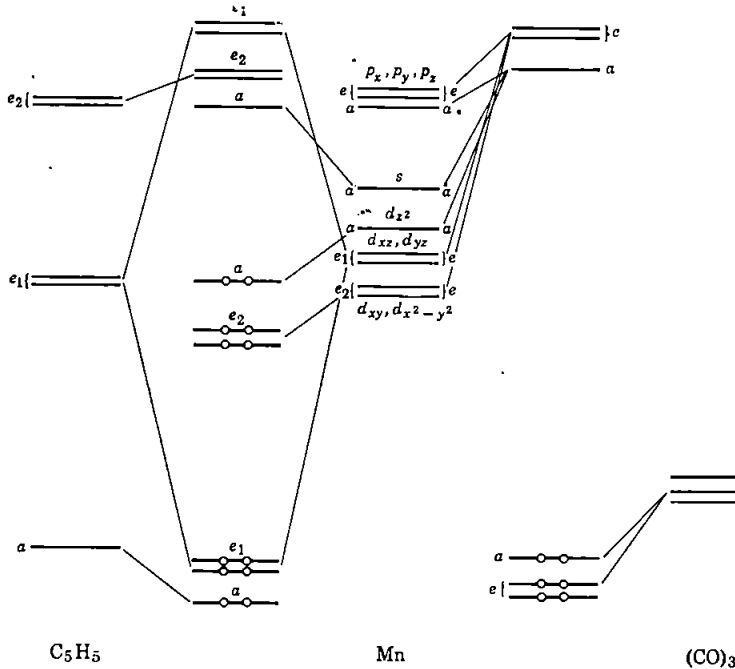
وفي معاملة التآصر في  $(C_5H_5)Mn$  و  $Mn(CO)_3$  بصورة منفصلة ، كل واحد بدلالة تماثله الموضعي النموذجي ، يفترض ، *inter alia* ، ان الانحلالات المسموحة في تماثل  $C_{5v}$  لا تنقسم الى حد كبير بوجود تماثل  $C_{3v}$  في القسم الاخر من الجزيئة وبالعكس . ويسبب اشكال اوربتالات  $d$  الخاصة من المحتمل ان يكون لمثل هذه الفرضية بعض الصحة في هذه الحالة . ولكن لا يؤخذ ذلك على انه صحيح دائماً .

يبين الشكل ( 8.19 ) رسماً تخطيطياً لمستوى طاقة الجزيئة

$(C_5H_5)Mn(CO)_3$  ، اذ تبين في المركز اوربتالات الغلاف التكافؤي للمغنيز ، حيث أنها معنونة على جهة اليمين مع تماثلها في  $C_3$  وعلى جهة اليسار مع تماثلاتها في  $C_5$  . والى جهة اليسار القصوى توجد اوربتالات  $\pi$  الجزيئية لحلقة  $C_5H_5$  ، معنونة مع تماثلاتها في  $C_5$  ومع طاقة اوربتالات  $e_1$  موضوعة على المستوى نفسه تقريباً مثل اوربتالات  $d$  للمغنيز . وتبين على جهة اليمين القصوى مستويات طاقة اوربتالات  $\sigma$  لمجاميع الكاربونيل الثلاثة ، مع رموز التماثل المتناسبة مع  $C_3$

يتم الحصول على هذه الرموز بأخذ تجمع اوربتالات  $\sigma$  الثلاثة على ذرات الكاربون قاعدة لتمثيل مجموعة  $C_3$  وتفكيك التمثيل الى التمثيلات غير المختزلة المكونة له . وقد افترض ان طاقة هذه الاوربتالات التماثلية المشتقة من اوربتالات  $\sigma$  في الكاربون هي نفسها تقريباً مثل طاقة اوربتالات  $a$  في  $C_5H_5$  . لم يعط اي تفسير لتداخل الفلز مع اوربتالات  $\pi$  لمجاميع الكاربونيل ، اذ يمكن اجراء ذلك بايجاد التمثيلات الموسعة بواسطة ستة من اوربتالات  $\pi$  ومن ثم السماح لها بالتداخل مع اوربتالات الفلز من انواع التماثل نفسه .

ومع انه يؤكد من الترددات التذبذبية لمجاميع الكربونيل في هذه الجزيئة على أهمية تداخلات M—C من نوع  $\pi$  ، فقد اخترنا اهمالها هنا ، لأنه يمكن تعيينها بصورة اولية لأن شمولها في مخطط مستوى الطاقة يجعله محدوداً .



شكل 8.19 رسم تخطيطي لمستوى طاقة الاوربتال الجزيئي في  $(C_5H_5)Mn(CO)_3$  .

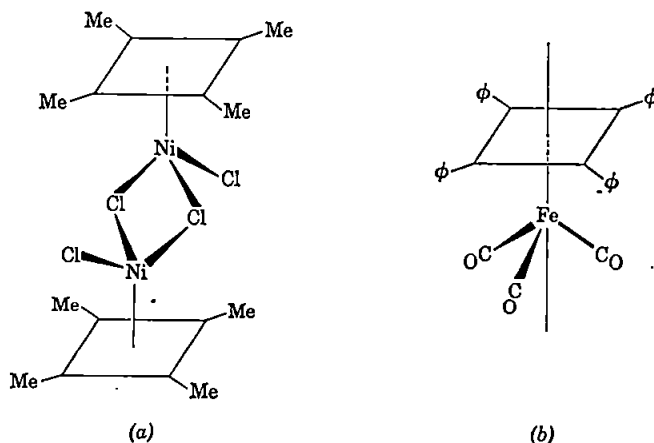
والتبرير الوحيد لرسم مخطط كلي مثل هذا الشكل كونه مساعداً في الحسابات ، اذ يسهل المخطط ملاحظة كيفية تداخل اوربتالات المكونات المختلفة في الجزيئة لأعطاء تجمع مقنع من الاوربتالات الجزيئية التآصرة أفضل من امكانية البحث في قائمة من هذه المكونات . فثلاً ، ان اشكال اوربتالات  $e_1$  للفلز ،  $d_{xz}$  و  $d_{yz}$  ، يمكنها التداخل مع اوربتالات  $e_1$  للحلقة ويجب ان يكون هذا التداخل اساسياً ولهذا يظهر المخطط تداخلاً كبيراً لهذه الاوربتالات . ومن ناحية أخرى ، لا تكون اوربتالات  $e_2$  الفلزية موجهة بقوة في اتجاه اوربتالات  $e_2$  للحلقة والاختلاف بالطاقة يكون أكبر ، أولاً ، ولهذا يتوقع تداخلاً ضعيفاً جداً ، كما بينا ذلك .

## مركبات البيوتاديين الحلقي الساندويشية :

### Cyclobutadiene Sandwich Compounds

كما بينا سابقا ( الجدول 17 ) ، يمتلك البيوتاديين الحلقي ذو الحلقة المربعة الكهرونيين مزدوجين يشغلان أوربتالات  $E$  وليست هناك محصلة طاقة استقرار غير متمركزة . لهذا فان  $C_4H_4$  لا يوجد على شكل جزيئة متميزة بهذا التناسق الهندسي . على اية حال ، قد ينتج عن امكانية التداخل بين اوربتالات  $E$  لمربع  $C_4H_4$  وأوربتالات  $E$  للذرة الفلزية استقرار الترتيب المربعي بتكوين آصرة  $M-C_4H_4$  غير متمركزة قوية ، وقد استنتج النظريون ذلك في سنة 1956\* . وقد افترض جزء من هذه الفكرة قبل حدوث ذروة تداخلات  $E-E$  في استقرار أواصر  $M-C_5H_5$  .

ومنذ سنة 1956 تم تحضير عدد من معقدات البيوتاديين الحلقي المفترضة ، وعدد منها ، مثل  $(C_6H_5C)_4Fe(CO)_3$  و  $[(CH_3C)_4NiCl_2]_2$  ، مبين في الشكل 8.20 ، فقد وضح من دراسات الاشعة السينية أنها حقيقية ذات تماثل  $C_{4v}$  الموضعي في الاقسام  $M(RC)_4$  من الجزئيات .

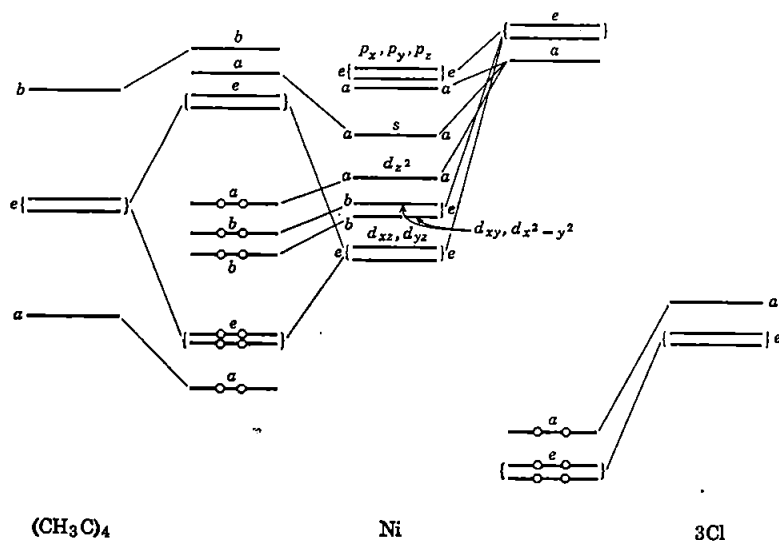


شكل 8.20 (a) بنية رباعية مثل بيوتاديين الحلقي ثنائي نيكل (II) كلوريد الدايمر و (b) بنية رباعية فيل بيوتاديين الحلقي ثنائي حديد ثلاثي كاربونيل .  
ص ٣٦٦

\* H. C. Longuet-Higgins and L. E. Orgel, *J. Chem. Soc.*, 1969 (1956).

وفي حالة مركب النيكل ، ترتبط كل ذرة نيكل مع ذرتي كلور حيث تربطان ذرتي النيكل جسرياً وكذلك مع ذرة أخرى غير جسرية . تكوّن ذرات الكلور الثلاث هذه ترتيباً مثلثياً تقريبا ويمكن تصوّر البنية بالتفكير في ذرة النيكل على أنها تأخذ شكل الساندويش بين مستويات متوازية من حلقة  $C_4$  ومثلث  $Cl_3$  ، وتمتلك الحلقة والمثلث محاور رباعية وثلاثية المرة على استقامة واحدة تمر خلال ذرة النيكل . وبصورة متشابهة ، في مركب الحديد ، يكون الجزء  $Fe(CO)_3$  تقريبا في الأقل على شكل هرم مثلثي مع محوره ثلاثي المرة على استقامة واحدة مع المحور رباعي المرة لحلقة البيوتا داين الحلقي .

وهكذا كما في جزيئة  $(C_5H_5)Mn(CO)_3$  ، لا يوجد محاور تماثلية حقيقية في هذه الجزيئات ، ولكن ، تقريبا ، يمكن التفكير بدلالة التماثل الموضعي للقسمين . في الشكل ( 8.21 ) تظهر في المركز اوربتالات الذرة الفلزية المعطى تماثلها على جهة اليمين في  $C_3$  ويوجد على اليسار تماثلها في  $C_4$  . ويلاحظ ان الاوربتالات الفلزية متوفرة لتكوين أوامر  $\sigma$  مع ذرات الكلور الثلاث او مع مجاميع الكاربونيل ، وتترك اوربتالات  $e$  التي يمكن ان تتداخل مع اوربتالات  $e$  لحلقة البيوتا داين الحلقي لتعطي تأصر فلز-حلقة ولا تترك الكترولونات غير مشتركة .



شكل 8.21 رسم مخطط مستوى الطاقة للتأصر مع ذرة نيكل واحدة في المركب الدايمر  $[(CH_3C)_4NiCl_2]_2$



## تمارين

- 8.1. لنأخذ جزيئة  $AB_6$  ذات بنية المشور المثلي . اذا كانت اوربتالات  $d$  و  $s, p$  متوفرة على الذرة  $A$  ، ما مخطط التهجين الممكن لأواصر  $\sigma$  وأواصر  $\pi$  ؟ .
- 8.2. أي من اوربتالات  $d, s, p$  للذرة المركزية يمكن استعماله لتكوين اوربتالات مهجنة من نوع  $\sigma$  في النوعية  $AB_8$  التي تمتلك بنية معكوس المشور المربع square antiprism
- 8.3. اشرح التحليل الوصفي المتوقع في  $C_4H_6Fe(CO)_3$  ، اذ ان  $C_4H_6$  يمثل ثلاثي مثليين ميثان ،  $(CH_2)_3C$  ، مع تماثل ذاتي ثلاثي المرة .
- 8.4. التحليل التماثلي اللازم لوضع المعادلة الزمنية المجزأة . لحساب الاوربتال الجزيئي على الجزيئات او المعقدات الآتية :
- $Re_2Cl_8^{2-}$  ،  $PtCl_4^{2-}$  ،  $PF_5$



## الفصل التاسع

### نظرية المجال الليكاندي ( Ligand Field Theory )

#### 9.1 ملاحظة تمهيدية :

للاختصار يعطى هذا الفصل ببساطة عنواناً بشكل نظرية المجال الليكاندي . وعلى اية حال ، يعدّ العديد من القواعد التي سنطورها جزءاً من نظرية المجال البلوري ( crystal field theory ) ونظرية الاوربتال الجزيئي لمعقدات الفلزات الانتقالية كما هي عليه في نظرية المجال الليكاندي . وفي الحقيقة ، تكون العلاقة بين النظريات الثلاث قريبة جداً ، ولذلك من المفيد البدء باعطاء نبذة تاريخية موجزة عن طبيعة هذه النظريات .

يعود بدء النظريات الثلاث الى سنة 1929 حين نشر هانز بيث ( Hans Bethe ) بحثه الكلاسيكي المعنون انقسام الحدود في البلورات ( "Splitting of Terms in Crystals" ) \* . وفي الحقيقة ، هناك قسمان كاملان منفصلان لبحث بيث : يهتم الاول بالنتائج الوصفية لتماثل المجاميع المحيطة بالايون الموجب في الشبكة البلورية ( crystal lattice ) . بصورة عامة ، بين بيث في هذا القسم ان الحالات الناتجة عن الترتيب الالكتروني المعين للايون التي تكون منحلة حين يكون الايون حراً من التأثيرات المشوشة يجب ان تنجزأ الى اثنتين او اكثر من الحالات غير المتكافئة عند ادخال الايون في الشبكة . وقد بين كيف يمكن استخدام طرق نظرية المجموعة لايجاد الحالات التي تنتج عند ادخال ايون لاي ترتيب الكتروني معين في محيط بلوري ذي تماثل محدد .

---

\* H. Bethe, *Ann. Physik*, 3, 133-206 (1929)

توفر الترجمة الانكليزية لهذا البحث في :

from Consultants Bureau Enterprises, Inc., 227 W. 17 Street, New York, N.Y. 10011

يصف القسم الثاني من بحث بيث الطريقة التي يمكن بواسطتها حساب سعة الانفصامات في حالات الايون الحرفافتراض ان تأثير المجاميع المحيطة على هذه الانفصامات يحدث عن قوى الكترولستاتيكية نقية . تفضي هذه الفرضية الى ان جميع التداخلات بين الايون والمجاميع المحيطة به تداخلات الكترولستاتيكية بين شحنات نقطة ( point charges ) هي المظهر المحدد لنظرية المجال البلوري . وينتج عن ذلك

ان معاملة جميع الالكترولونات في اوربتالات الايون الفلزي للايون الحرفتبقى في اوربتالات 100 اوربتالات الايون الفلزي ..

لقد اشار فان فليك ( Van Vleck ) اولا الى ان الجزء التماثلي لتقريب بيث يبقى صحيحاً اذا تغير الجزء الحسامي من التقريب الالكترولستاتيكي النقي الى آخريقبل بوجود بعض التآصر الكيمياوي بين الايون الفلزي ومجاوراته . واذا فعلنا ذلك ، فان الاوربتالات التي يجب ان نتعامل معها لا تبقى بعد ذلك اوربتالات فلزية نقية لكنها تكون جزئياً اوربتالات فلزية . يعني هذا ، انه لا يمكن كتابة علاقات الطاقة البسيطة نفسها بعد ذلك ، لان الاوربتالات المشتركة لا تبقى بسيطة . وعملياً ، اذا كان تداخل اواصر فلز - ليكاند قليلاً نسبياً ، فان الطاقات المعطاة بالمعادلات متطابقة بالشكل مع المعادلات المشتقة من نظرية المجال البلوري . تسمى نظرية المجال البلوري المحسنة هذه التي تقبل بوجود بعض التداخل التساهمي اضافة الى التداخل الالكترولستاتيكي بين الايون ومجاوراته بنظرية المجال الليكاندي .

اشار فان فليك ايضا ان انه حتى في الحالة التي يكون فيها التآصر التساهمي عالياً [ كما في  $Ni(CO)_4$  او  $[Fe(CN)_6]^{4-}$  ] ، تلك التي تفضل معاملتها باستخدام نظرية الاوربتال الجزيئي تبقى المميزات التماثلية والمتطلبات نفسها تماماً كما هي لنموذج المجال البلوري . ونموذج المجال الليكاندي .

اما الحصول على فهم جيد لاي من هذه النظريات ، فان الاعتبارات التماثلية نفسها تصبح ضرورية كبداية لها .

## 9.2 البنيات الالكترونية للذرات والايونات الحرة :

نحاول في هذا الفصل بيان الطريقة التي يستنتج بواسطتها تماثل المجاميع الكيمياوية المحيطة بالايون وتأثير هذا المحيط على مستويات طاقته وفي نظريتي المجال البلوري والمجال الليكاندي نرغب في الغالب الى تقرير ان تأثير المحيط بشكل تشويشاً بسيطاً لحالات

الايون الحر. ولفائدة القارئ غير المطلع على المظاهر العامة لبنيات الايونات والذرات الالكترونية. يعطى هذا الموضوع بصورة مختصرة في هذه الفقرة.

### الدوال الموجية واعداد الكم للالكترون المنفرد :

يمكن كتابة الدالة الموجية  $\Psi$  للالكترون المفرد في ذرة الهيدروجين ، مثلاً ، بشكل ناتج لاربعة عوامل ، هي الدالة نصف القطرية ( radial function  $R(r)$  ) ، التي تعتمد على المسافة نصف القطرية  $r$  عن النواة . ودالتان زاويتان  $\Theta(\theta)$  و  $\Phi(\phi)$  تعتمدان على الزاوية  $\theta$  والزاوية  $\phi$  ( شكل 8.1 ) ، والدالة البرمية spin function  $\psi_s$  ، التي لا تعتمد على الاحداثيات الفراغية  $r$  ،  $\theta$  ،  $\phi$  . وهكذا ، نكتب :

$$\Psi = R(r) \cdot \Theta(\theta) \cdot \Phi(\phi) \cdot \psi_s \quad (9.2-1)$$

لهذه الدالة الموجية الكلية ولكل من عواملها اعتماد الحدود على بعض الكميات المسماة اعداد الكم ( quantum numbers ) ، التي يوجد منها اربعة :  $n, l, m, s$

ياخذ عدد الكم الاساس  $n$  جميع القيم الصحيحة من 1 الى ما لانهاية ، وهو يعين طبيعة الجزء نصف القطري  $R(r)$  ، من الدالة الموجية وحدها .

يحدث عدد الكم  $l$  في العامل  $\Theta(\theta)$  من الدالة الموجية ، ويمكن التفكيكه بانه يمثل العزم الزاوي للالكترون ، بوحدات  $h/2\pi$  ، بسبب حركته الاوربتالية ، وسيسمى عددكم العزم الاوربتالي \*.

وقد ياخذ جميع القيم  $0, 1, 2, \dots, n-1$  ، اذ تمثل  $n$  عدد الكم الاساس . وهكذا ، توجد في الغلاف الاساس الاول دوال موجية تأخذ  $l=0$  ، وتوجد في الغلاف الثاني دوال موجية تأخذ فيها  $l=0$  صفراً ، وهكذا . ولاسباب تاريخية ، تعطى الرموز الحرفية للاوربتالات حسب قيمة  $l$  ، كما هو مبين في النسق الانسي :

$l=0$	1	2	3	4	5	6	...
s	p	d	f	g	h	i	...

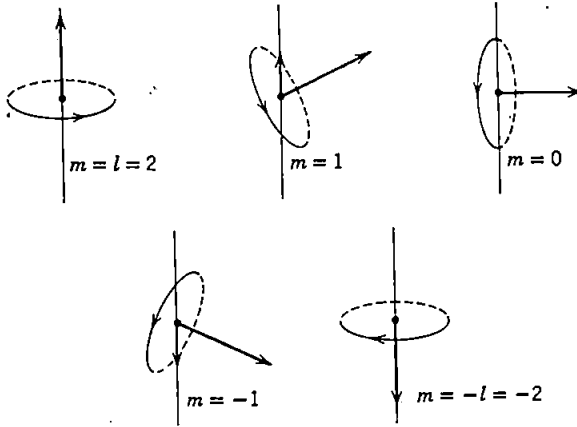
الرمز الخرفسي

واذا مضينا في اخذ المنظر الكلاسيكي للالكترون على شكل جسيمة مشحونة متميزة له عزم زاوي يعود الى حركته الاوربتالية ، وجب الاستنتاج ايضاً انه بسبب شحنته يتولد

\*. للدقة ، لا يعد  $l(h/2\pi)$  العزم الزاوي الاوربتالي الكلي وانما  $\sqrt{l(l+1)}(h/2\pi)$  ، بيد اننا لن نعنى بهذه

عن حركته الاوربتالية مزدوج قطبي مغناطيسي ( magnetic dipole ) . يكون الوجه الممثل لهذا المزدوج القطبي المغناطيسي على استقامة واحدة مع الوجه الممثل لعزمه الزاوي ( كلاهما عموديان على مستوى المدار ) ، وتناسب قيمة هذا المزدوج القطبي المغناطيسي الاوربتالي ،  $\mu_l$  ، تناسباً مباشراً مع العزم الزاوي .

يحدث عدد الكم  $m$  في كل من القسمين  $\Phi(\phi) \Theta(\theta)$  من الدالة الموجية ، وهو يشير الى انحراف مستوي الحركة الاوربتالية بالنسبة للاتجاه المرجع . ويمكن ان ياخذ جميع القيم الصحيحة من  $l$  الى  $-l$  ، او  $2l + 1$  من القيم كما يمكن توضيح علاقته مع انحراف المستوي الاوربتالي الى حد بعيد : كالآتي : اذا كان المستوي عموديا على الاتجاه المرجع ، فان طول مسقط الموجه الذي يمثل  $l$  على الخط المرجع يساوي عدديا الى  $l$  . وتحدث زاوية الانحراف الكبيرة التالية التي يسمح بها ميكانيك الكم بحيث يكون طول المسقط مساويا  $l - 1$  والآخرى بحيث يكون طول المسقط مساويا  $l - 2$  ، وهكذا ، حتى الوصول الى القيمة  $-l$  . وببساطة ، يمثل عدد الكم  $m$  طول المسقط  $l$  على الخط المرجع . وتوضح الوضعية للحالة حين  $l = 2$  في المخطط في ادناه .



لقيمة  $n$  المعينة  $l = 0$  صفر هناك اوربتال واحد ممكن ، وخاصة الاوربتال حين  $m = 0$  صفر. وهكذا : يوجد اوربتال  $s$  واحد لكل غلاف كم اساس . ولقيمة  $n$  المعينة  $l = 1$  هناك ثلاث قيم ممكنة من  $m$  ، لذلك يمتلك كل غلاف اساس ثلاثة اوربتالات مختلفة من  $p$  . وبصورة متشابهة يتكون اوربتال  $d$  من خمسة تجمعات واوربتالات  $f$  من سبعة تجمعات ، وهكذا . تكون طاقة الاوربتال في غياب القوة الخازجية غير المعتمدة على قيمة  $m$  ، ولذلك ، يكون لجميع اوربتالات  $np$  الثلاثة ولجميع اوربتالات  $nd$  الخمسة وغيرها ، الطاقة نفسها .

يمثل عددكم البرم الالكتروني  $s$  العدد الذي تعتمد عليه  $\psi_s$  ، وقد يأخذ القيم  $+\frac{1}{2}$  او  $-\frac{1}{2}$  فقط . ويمكن تفسيره كلا سيكياً بشكل قياس العزم الزاوي البرمي للالكترون ، اي انه قياس العزم الزاوي الذي يعود الى دوران الالكترون حول محوره . يمكن التفكير بالالكترون الذي يمتلك بخذ ذاته عزماً زاوياً برمياً مساوياً  $\frac{1}{2}(h/2\pi)^*$

ومن اعتبار ان ذلك يمكن ان يترتب بالنسبة للاتجاه المرجع بحيث ينتج مكونات من  $+\frac{1}{2}$  ,  $-\frac{1}{2}$  على طول الاتجاه المرجع . مرة اخرى . على اية حال . في اطار هذه الصورة الكلاسيكية . يجب ان نتوقع ايضاً انه عند تدوير جسم مشحون ينتج مزدوج قطبي مغناطيسي . وهكذا . يصاحب كل الكترون مزدوجاً قطبياً مغناطيسياً برمياً .  $\mu_s$  . يعتمد اتجاهه على  $s$  .

ومع ان اعداد الكم الاربعة هذه تكون دائماً كافية لتعيين حالة الالكترون كلياً . هناك عددكم آخر .  $j$  . يعد مفيداً في تفسير طاقة الحالة .. تعطي  $j$  . بوحدات  $h/2\pi$  : العزم الزاوي الكلي للالكترون . وهو مجموع موجه للعزم الزاوي الاوربتالي والعزم البرمي . يتطلب ميكانيك الكم امكانية جعل مجموع الموجة بطرق معينة . قد تكون قيمة  $j$   $l + \frac{1}{2}$  او  $l - \frac{1}{2}$  . لحد الآن ، كما اعتبرنا الدالة الموجية البرمية .  $\psi_s$  ، غير معتمدة كلياً على الحالة الموجية الاوربتالية ،  $R(r)\Theta(\theta)\Phi(\phi)$  ، فان لهاتين الحاليتين من  $j$  الطاقة نفسها

في الحقيقة . يتم التداخل بين العزوم المغناطيسية البرمية والاوربتالية بحيث تكون الحالة ذات  $j = l - \frac{1}{2}$  أوطاً طاقة من الحالة ذات  $j = l + \frac{1}{2}$  . ويعد ذلك متوقعاً كلاسيكياً لان في حالة  $j = l - \frac{1}{2}$  تكون العزوم البرمية والاوربتالية متعاكسة . في ذرة الهيدروجين وفي جميع الايونات شبيهة الهيدروجين وفي جميع الذرات والايونات ذات الالكترون الواحد خارج الغلاف المغلق ، يكون الانفصام بسبب هذه الظاهرة للازدواج البرمي - الاوربتالي ( spin-orbit coupling ) صغيراً جداً مقارنة بطاقة الفرق بين الاوربتالات المختلفة بقيم  $l$  . وهكذا ، يعد تأثير الازدواج البرمي - الاوربتالي في مثل هذه الحالات تشويشاً بسيطاً لنموذج مستوى الطاقة الذي قستنتج اساساً بواسطة قيم  $n$  و  $l$  فقط .

\* . مرة اخرى ، للدقة يمثل العزم الزاوي البرمي العلاقة  $\sqrt{\frac{1}{2}(1+1)}(h/2\pi)$

## اعداد الكم لذرات متعددة الالكترون :

مع ان هناك حالات عامة مختلفة تأتي تحت هذا العنوان ، نحتاج الى أخذ حالة واحدة : وهي ان معظم الالكترونات في الذرة او الايون تكون في اغلفة مغلقة والاخرى في الغلاف المملوء جزئياً نفسه . تكون الاغلفة المغلقة متماثلة كروياً والتأثير الوحيد لها على الالكترونات الاخرى يبدو في تقليل قوة التجاذب الجزيئي لهذه الالكترونات . وهذا يعني ان الدالة الموجية للالكترون الواحد في الغلاف المملوء جزئياً الحاوي على الكترون منفرد واحد يأخذ الدوال الزاوية نفسها ،  $\Theta(0)$  و  $\Phi(\phi)$  ، كما لو كان الالكترون الوحيد في الذرة ، لكن الدالة نصف القطرية تختلف حسب الشحنة النووية المؤثرة التي تشعر بها .

وللتقريب الأولي ، يمكن ان يعين كل من الالكترونات العديدة في مثل هذا الغلاف المملوء جزئياً تجمعه الخاص من اعداد الكم الالكترون الواحد  $n, l, m$  و  $s$  . على أية حال ، هناك دائماً تداخلات قوية بين هذه الالكترونات تجعل من هذا التقريب غير معقول . وبصورة عامة ، ليس من السهل وصف طبيعة هذه التداخلات ولكن سلوك الذرات الحقيقية يقرب غالباً من وضعية محددة تسمى  $L-S$  أو ازدواج روسل - ساندرز (Russell-Saunders coupling)

في ازدواج  $L-S$  اورو سل - ساندرز ، يستخدم عدد الكم  $L$  الذي يعطي العزم الزاوي الاوربتيالي الكلي لجميع الالكترونات ، وعدد الكم  $S$  الذي يعطي العزم الزاوي البرمي الكلي لجميع الالكترونات . لاحظ هنا اننا نستخدم حروفاً كبيرة لاعداد الكم المميزة للترتيب الكلي بعكس استخدام حروف الحالة الأوطأ لاعداد الكم الالكترونات المنفردة . وباجراء هذا العمل ابعد يتم تعيين الرموز الحرفية للحالات ذات قيم  $L$  المختلفة ، وهكذا ، يوجد النسق الآتي المشابه تماماً لنسق الالكترونات المنفردة :

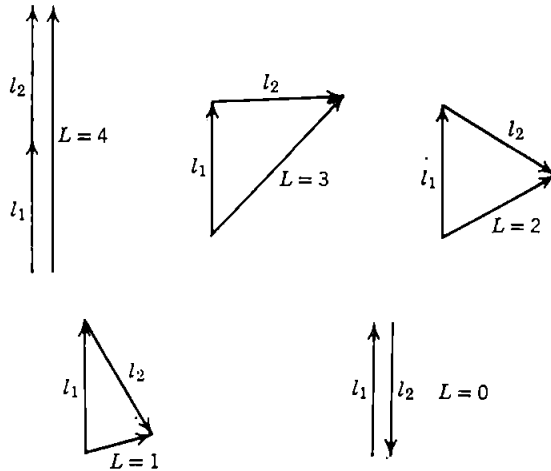
$$L = 0 \quad 1 \quad 2 \quad 3 \quad 4 \quad 5 \quad 6 \quad \dots$$

الرمز الحرفي :  $S \quad P \quad D \quad F \quad G \quad H \quad I \quad \dots$

يفترض في نسق ازدواج روسل - ساندرز ان العزوم الزاوية للالكترونات المنفردة يزدوج بعضها مع البعض الآخر ويزدوج برمها أيضا ليعطي ، على التوالي ، قيم  $S$  و  $L$  للترتيب . لنأخذ ، مثلاً ، ذرة تمتلك ، خارج أغلفتها المغلقة ، الكترون  $3d$  والكترون  $4d$  ، لكل من هذين الالكترونين قيمة  $l$  تساوي 2 وقيمة  $s$  تساوي  $\frac{1}{2}$  . والآن يمكن دمج موجهي  $l$  ليعطيا مجاميع موجه صحيحة ، كما هو مبين في الشكل ( 9.1 ) ، اذ تشير  $l_1$  الى الكترون  $3d$  و  $l_2$  الى الكترون  $4d$  ، او بالعكس .



وهكذا . تكون قيم  $L = 0, 1, 2, 3, 4$  ممكنة ولهذا يرمز للحالات  $S, P, D, F$  و  $G$  التي قد تنتج من الكترونات  $d$  غير المتكافئة . ونعني بكلمة « غير متكافئة » اختلاف الغلاف الاساس الذي يعودان اليه . بصورة متشابهة . قد تتحد موجهاً  $s$  لتعطي قيم  $S$  المساوية 1 أو صفراً . ولما كانت الالكترونات تختلف في عدد كم الاساس . قد تتحد أية قيمة من  $L$  مع أية قيمة  $S$  بدون الشذوذ عن قاعدة الاستثناء . وهكذا . يوجد كلياً عشر حالات . أو كما تسمى حدود ( terms ) . التي قد تنتج عند وجود الكترونات من  $d$  لكنهما في أغلفة أساسية مختلفة .



شكل 9.1 مجاميع الموجة الصحيحة،  $L$  ، للموجهين  $l_1$  و  $l_2$  ، طول كل منهما 2

في حالة الالكترون المنفرد ، يكون العزم الزاوي الكلي ،  $j$  ، هو مجموع الموجه لكل من  $l$  و  $s$  . توجد امكانيتان ، وخاصة ،  $j = l + s = l + \frac{1}{2}$  و  $j = l - s = l - \frac{1}{2}$  وبصورة اكثر عموماً ، قد ، ياخذ العزم الزاوي الكلي المشار له  $J$  للترتيب المتعدد الالكترون جميع القيم  $L+S-1, |L-S|, L+S, L+S-1, \dots, L+S-2$  او جميعها سوية  $2S+1$  من القيم المختلفة . يسمى العدد  $2S+1$  مضاعف الحد ( multiplicity of a term ) ويوضع بشكل رقم علوي الى جهة اليسار لرمز الحد . وكما في حالة الالكترون المنفرد ،

تختلف الحالات ذات القيم نفسها من  $L$  و  $S$  . ولكنها تختلف بقيم  $J$  ، بعض الشيء بالطاقة . اذا كانت هذه الاختلافات بقيم  $J$  مهمة يجب تعيينها ، انما يتم ذلك بوضع قيمة  $J$  على شكل رقم سفلي الى جهة اليمين من رمز الحد . وهكذا ، تكون جميع الحدود المختلفة ، بضمنها الحدود المختلفة بقيم  $J$  ، للترتيب  $ndmd$  ، كالآتي :

$$\begin{array}{ccccc}
^1S_0 & ^1P_1 & ^1D_2 & ^1F_3 & ^1G_4 \\
^3S_1 & ^3P_0 & ^3D_1 & ^3F_2 & ^3G_3 \\
& ^3P_1 & ^3D_2 & ^3F_3 & ^3G_4 \\
& ^3P_2 & ^3D_3 & ^3F_4 & ^3G_5
\end{array}$$

لحالة  $^3S$  لا يمكن ادراك الخاصية الثلاثية ، حين  $L=0$  فان  $J$  تساوي  $S$  . وليس هناك قيمة محدودة من  $L$  التي يمكن ان تتحد معها  $S$  بصورة موجهة .

لاحظنا الان كيف يمكن لالكترينين من نوع  $d$  في اغلفة اساسية مختلفة الازدواج لاعطاء حدود في مخطط ازدواج  $L-S$  اوروسل - ساندرز ، لنعد الى المسألة المباشرة اكثر عن نوعية الحدود الناتجة عند ازدواج الكترونان من نوع  $d$  يعودان الى الغلاف الاساس نفسه . تستخدم هنا طرق مطولة لكنها مباشرة للتأكد من عدم مخالفة قاعدة الاستثناء . لانه لا يمكن منع ذلك بالاعتماد على قيم  $n$  . لقد لوحظ ان الحالات الاتية لترتيب  $d^2$  تنتج :

$$^1S_0 \quad ^3P_{0,1,2} \quad ^1D_2 \quad ^3F_{2,3,4} \quad ^1G_4$$

ويمكن ان يعد مخطط ازدواج  $L-S$  هذا تقريباً مفيداً حين تختلف مكونات الحد المضاعف ، اي الحالات ذات قيم  $S$  و  $L$  نفسها لكنها تختلف بقيم  $J$  ، بالطاقة في كمية صغيرة مقارنة للفرق بين حد مضاعف واحد وآخر . ومن بين العناصر الانتقالية التي نرغب الى تطبيق نظرية المجال الليكاندي عليها ، يعمل مخطط ازدواج  $L-S$  بشكل جيد لعدة اغراض لا يوانات عناصر السلسلتين الانتقالتين الاولى والثانية ، ولا يعد ذلك تقريباً جيداً للسلسلة الانتقالية الثالثة ، علماً بأنه يمكن ان يعمل بشكل نقطة بدء لمعالجات اكثر دقة . وبصورة عامة ، تضمحل الدقة في تقرب ازدواج  $L-S$  تدريجياً مع زيادة الاعداد الذرية ، وليس هناك اية فائدة منه لعناصر الاكثينات .

وللسهولة ، يبين الجدول ( 9.1 ) الحالات الناتجة من ازدواج روسل - ساندرز لجميع ترتيبات  $d^n$  . وللتطبيق الكمي لنظرية المجال الليكاندي ، يجب الا نعرف ، طبيعة الحالات فحسب وانما طاقاتها النسبية ايضاً في الايون المعين . ولعدد كبير من

تعال هذه الاعتبارات في عدة كتب عن البنية الالكترونية ، انظر مثلاً ،

H. E. White's *Introduction to Atomic Spectra*, McGraw-Hill, New York, 1934, Sections 12.1 and 13.11.

الايونات ذات الفائدة المعينة تعرف هذه الطاقات من القياسات التجريبية . والجدولة ،  
 تمثل هذه القيم هي : C. E. Moore's "Atomic Energy Levels."\*

**جدول 9.1 - حالات انظمة في ازدواج روسل - ساندرز.**

<sup>1</sup>		<sup>2</sup> (D)							
<sup>2</sup>	<sup>1</sup> (S, D, G)		<sup>3</sup> (P, F)						
<sup>3</sup>		<sup>2</sup> (D)		<sup>2</sup> (P, D, F, G, H)		<sup>4</sup> (P, F)			
<sup>4</sup>	<sup>1</sup> (S, D, G)		<sup>3</sup> (P, F)	<sup>1</sup> (S, D, F, G, I)		<sup>3</sup> (P, D, F, G, H)		<sup>5</sup> (D)	
<sup>5</sup>		<sup>2</sup> (D)		<sup>2</sup> (P, D, F, G, H)		<sup>4</sup> (P, F)	<sup>2</sup> (S, D, F, G, I)	<sup>4</sup> (D, G)	<sup>6</sup> (S)
<sup>6</sup>	Same as d <sup>4</sup>								
<sup>7</sup>	Same as d <sup>3</sup>								
<sup>8</sup>	Same as d <sup>2</sup>								
<sup>9</sup>	Same as d <sup>1</sup>								
<sup>10</sup>	<sup>1</sup> (S)								

### 9.3 انقسام المستويات والحدود في المحيط الكيميائي :

يمكن استعمال التجمع من دوال  $d$  الموجية الخمس قاعدة لتمثيل مجموعة النقطة للمحيط المعين وبذلك تستنتج الطريقة التي تنقسم بواسطتها اوربنتالات  $d$  بتأثير هذا المحيط ، لناخذ محيط ثماني السطوح للتوضيح الاول . لايجاد التمثيل الذي تتكون قاعدته من تجمع دوال  $d$  الموجية ، يجب أن نجد أولاً عناصر المصفوفات التي تعبر عن التأثير لكل تجمع من الدوال الموجية لكل واحدة من عمليات التماثل في المجموعة ؛ ثم تكون خاصيات هذه المصفوفات خاصيات التمثيل الذي نبحث عنه .

ومع ان التماثل الكامل لثمانى السطوح هو  $O_h$  ، يمكننا الحصول على جميع المعلومات اللازمة عن اوربิทัลات  $d$  باستخدام المجموعة الثانوية الدورانية  $O$  فقط لانه يمكن الحصول على  $O_h$  من  $O$  باضافة عامل الانقلاب  $i$  . من ناحية اخرى ، نحن نعرف ان اوربิทัลات  $d$  تكون زوجية بالنسبة للانقلاب ، ولذلك فان عمليات  $C$  الدورانية فقط تعطى المعلومات الجديدة .

\* *Circular 467*, National Bureau of Standards, for sale by the Superintendent of Documents, U.S. Government Printing Office, Washington 25, D. C., Volume I, Hydrogen-Vanadium; Volume II, Chromium-Niobium; Volume III, Molybdenum-Lanthanum and Hafnium-Actinium.

نفترض ان لكل من الدوال الموجية لتجمع اوربتالات  $d$  الشكل العام المبين بمعادلة (9.2-1) . ونفترض ايضاً أن الدالة البرمية  $\psi_s$  . مستقلة تماماً عن الدوال الاوربتالية ولن نهتم بها اكثر من ذلك في الوقت الحاضر . ولما كانت الدالة نصف القطرية  $R(r)$  . لا تشتمل على متغيرات اتجاهية . اصبحت ثابتة بالنسبة لجميع العمليات في مجموعة النقطة ولا نحتاج الى الاهتمام بها أبعد من ذلك . وتعتمد الدالة  $\Theta(\theta)$  على الزاوية  $\theta$  فقط . ولهذا . اذا اجريت جميع الدورانات حول المحور الذي تقاس منه  $\theta$  (المحور  $z$  في الشكل 8.1) ، فإن  $\Theta(\theta)$  لا تتغير ايضاً . وهكذا عند اختيار محور الدوران دائماً بهذه الطريقة (او بمعنى آخر دائماً يحدد الاوربتال كميّاً حول محور الدوران) . تتغير الدالة  $\Phi(\phi)$  فقط بالدورانات . والشكل الواضح من الدالة  $\Phi(\phi)$  بعيداً عن ثابت القياس . هو

$$\Phi(\phi) = e^{im\phi} \quad (9.3-1)$$

وتكون اوربتالات  $d$  هي التي تأخذ فيها  $m$  القيم  $0, 1, -1, \dots, l, l-1, \dots, 1, -1, \dots$  وخاصة  $2, 1, 0, -1, -2$  .

اذا اخذنا الدالة  $e^{im\phi}$  ودورناها بزاوية مقدارها  $\alpha$  فانها تصبح بشكل  $e^{im(\phi+\alpha)}$  وهكذا ، يمكن بسهولة ملاحظة ان التجمع من دوال  $\Phi(\phi)$  الموجية  $I$  يصبح  $II$  بالدوران بمقدار  $\alpha$

$$\begin{array}{ccc} \begin{bmatrix} e^{2i\phi} \\ e^{i\phi} \\ e^0 \\ e^{-i\phi} \\ e^{-2i\phi} \end{bmatrix} & \xrightarrow{\text{rotation by } \alpha} & \begin{bmatrix} e^{2i(\phi+\alpha)} \\ e^{i(\phi+\alpha)} \\ e^0 \\ e^{-i(\phi+\alpha)} \\ e^{-2i(\phi+\alpha)} \end{bmatrix} \\ I & & II \end{array}$$

والمصفوفة الضرورية لاعطاء هذا التحول هي :

$$\begin{bmatrix} e^{2i\alpha} & 0 & 0 & 0 & 0 \\ 0 & e^{i\alpha} & 0 & 0 & 0 \\ 0 & 0 & e^0 & 0 & 0 \\ 0 & 0 & 0 & e^{-i\alpha} & 0 \\ 0 & 0 & 0 & 0 & e^{-2i\alpha} \end{bmatrix}$$

تعد هذه المصفوفة خماسية الابعاد خاصة للتجمع من دوال  $d$  وهي من الواضح في

التجمع  $(2l+1)$  مرة للذوال التي سنحصل عليها ( $l=0$ ): صفر لمستوى  $s$  ,  $l$  لمستوى  $p$  و  $3$  لمستوى  $f$  وهكذا).

$$\begin{bmatrix} e^{lia} & 0 & \dots & \cdot & 0 \\ \cdot & e^{(l-1)ia} & \dots & \cdot & \cdot \\ \cdot & \cdot & \dots & \cdot & \cdot \\ \cdot & \cdot & \dots & \cdot & \cdot \\ \cdot & \cdot & \dots & e^{(1-l)ia} & 0 \\ 0 & 0 & \dots & \cdot & e^{-lia} \end{bmatrix}$$

ويمكن بيان أن مجموع العناصر القطرية ،  $\chi(\alpha)$  هو كالآتي \*

$$\chi(\alpha) = \frac{\sin(l + \frac{1}{2})\alpha}{\sin \alpha/2} \quad (\alpha \neq 0) \quad (9.3-2)$$

والآن حصلنا على الصيغة الضرورية لايجاد خاصيات التمثيل التي نبحث عنها . لنعمل على ايجاد ذلك .  
للدوران ثنائي المرة ،  $\alpha = \pi$  ، ولذلك :

$$\chi(C_2) = \frac{\sin 5\pi/2}{\sin \pi/2} = \frac{1}{1} = 1$$

بصورة متشابهة يكون الدوران ثلاثي ورباعي المرة كالآتي :

$$\chi(C_3) = \frac{\sin 5\pi/3}{\sin \pi/3} = \frac{-\sin \pi/3}{\sin \pi/3} = -1$$

$$\chi(C_4) = \frac{\sin 5\pi/4}{\sin \pi/4} = -1$$

لا يمكن تطبيق الصيغة العامة في اعلاه اذ كان  $\alpha=0$  صفر ، ولكن من الواضح أن كل عنصر قطري في هذه الحالة يساوي الى واحد وتكون الخاصية ، في الحالة العامة ، مساوية  $2l+1$  في المثال الحالي  $\chi(E) = 5$  . وبالإشارة الى جدول خاصية مجموعة  $O$  وباستخدام الطرق المطورة في الفصل الرابع ، يلاحظ بسهولة أن التمثيل الذي تم اشتقاقه يختزل الى  $E + T_2$  ونحصل في مجموعة  $O_h$  ، لأن دوال  $d$  الموجية تتضمن  $g$  في ميزتها الانقلابية :

$$\Gamma_d = E_g + T_{2g}$$

\* لن يعطى الجواب ذلك هنا ، لكنه يقترح للتمرين المفيد . وقد جمعت الكميات بشكل متوالية هندسية .

وهكذا ، بينا أن التجمع من دوال  $d$  الموجية الخمس المنحلة في الذرة او الايون الحر ( او ، بدقة اكثر ، تحت ظروف التماثل الكروي ) لاتبقي منحلة عند وضع الذرة او الايون في محيط ذي تماثل  $O_h$  ، اذ تنقسم الدوال الموجية الى تجمع ثلاثي منحل ،  $T_{2g}$  ، وتجمع ثنائي منحل ،  $E_g$  .

## جدول 9.2 انقسام المستويات احادية الالكترن في محيط ثماني السطوح .

TYPE OF LEVEL	$l$	$\chi(E)$	$\chi(C_2)$	$\chi(C_3)$	$\chi(C_4)$	IRREDUCIBLE REPRESENTATIONS SPANNED
$s$	0	1	1	1	1	$A_{1g}$
$p$	1	3	-1	0	1	$T_{1u}$
$d$	2	5	1	-1	-1	$E_g + T_{2g}$
$f$	3	7	-1	1	-1	$A_{2u} + T_{1u} + T_{2u}$
$g$	4	9	1	0	1	$A_{1g} + E_g + T_{1g} + T_{2g}$
$h$	5	11	-1	-1	1	$E_u + 2T_{1u} + T_{2u}$
$i$	6	13	1	1	-1	$A_{1g} + A_{2g} + E_g + T_{1g} + 2T_{2g}$

من السهولة تطبيق المعالجة نفسها على الالكترونات في انواع اخرى من الاوربتالات غير اوربتالات  $d$  ، اذ يبين الجدول 9.2 النتائج التي تم الحصول عليها . ويلاحظ ان اوربتال  $s$  متماثل كلياً في محيط ثماني السطوح ، وبقي التجمع من اوربتالات  $p$  بدون انقسام ، يتحول بشكل  $t_{1u}$  ويمكن الحصول على هذا الاستنتاج نفسه من جدول خاصة  $O_h$  حيث يلاحظ أن  $(x, y, z)$  يكون القاعدة لتمثيل  $t_{1u}$  في  $O_h$  . تنقسم جميع الاوربتالات ذات القيم العالية من عدد الكم  $l$  الى اثنين او اكثر من التجمعات ، ويجب أن يكون ذلك صحيحاً لأن مجموعة  $O_h$  يستحيل أن تسحق لاية حالة أن تكون اكثر من ثلاثية المرة منحلة . بطريقة متشابهة ، يمكن ايجاد انقسام التجمعات المختلفة من الاوربتالات في محيطات ذات تماثلات اخرى غير تلك التي

لوحظت في المعقدات ، مثل  $T_d, D_{4h}, D_{2d}$  و  $C_{2v}$  . ولأي نوع من التماثل قد يصادف . ومن الطرق الاخرى للحصول على هذه المعلومات استعمال النتائج التي حصلنا عليها لحالة ثماني السطوح بربطها مع جدول العلاقة النسبية المعطى في الملحق III B . يعطي الجدول 9.3 نتائج بعض مجاميع النقطة ذات الاهمية .

### جدول 9.3 انفصام المستويات احادية الالكترون في التماثلات المختلفة .

SYMMETRY OF

TYPE OF LEVEL	$O_h$	$T_d$
$s$	$a_{1g}$	$a_1$
$p$	$t_{1u}$	$t_2$
$d$	$e_g + t_{2g}$	$e + t_2$
$f$	$a_{2u} + t_{1u} + t_{2u}$	$a_2 + t_1 + t_2$
$g$	$a_{1g} + e_g + t_{1g} + t_{2g}$	$a_1 + e + t_1 + t_2$
$h$	$e_u + 2t_{1u} + t_{2u}$	$e + t_1 + 2t_2$
$i$	$a_{1g} + a_{2g} + e_g + t_{1g} + 2t_{2g}$	$a_1 + a_2 + e + t_1 + 2t_2$

ENVIRONMENT

$D_{4h}$	$D_3$	$D_{2d}$
$a_{1g}$	$a_1$	$a_1$
$a_{2u} + e_u$	$a_2 + e$	$b_2 + e$
$a_{1g} + b_{1g} + b_{2g} + e_g$	$a_1 + 2e$	$a_1 + b_1 + b_2 + e$
$a_{2u} + b_{1u} + b_{2u} + 2e_u$	$a_1 + 2a_2 + 2e$	$a_1 + a_2 + b_2 + 2e$
$2a_{1g} + a_{2g} + b_{1g} + b_{2g} + 2e_g$	$2a_1 + a_2 + 3e$	$2a_1 + a_2 + b_1 + b_2 + 2e$
$a_{1u} + 2a_{2u} + b_{1u} + b_{2u} + 3e_u$	$a_1 + 2a_2 + 4e$	$a_1 + a_2 + b_1 + 2b_2 + 3e$
$2a_{1g} + a_{2g} + 2b_{1g} + 2b_{2g} + 3e_g$	$3a_1 + 2a_2 + 4e$	$2a_1 + a_2 + 2b_1 + 2b_2 + 3e$

تنطبق النتائج التي حصلنا عليها حتى الآن للالكترونات المنفردة في انواع مختلفة من الاوربتالات على سلوك الحدود الناتجة لمجاميع من الالكترونات ايضاً . فمثلاً ، كما لالكترون  $d$  المنفرد في الذرة الحرة دالة موجية تعود الى تجمع الانحلال خماسي المرة المطابق للقيم الخمس التي تأخذها  $m$  في العامل  $\Phi(\phi)$  للدالة الموجية ، وهكذا ، فان لحالة  $D$  الناتجة من أية مجموعة من الالكترونات الانحلال خماسي المرة المتشابه كلياً بسبب القيم الخمس التي قد يأخذها عدد الكم  $M$  . فضلاً عن ذلك ، يكون انفصام حد  $D$  تماماً مثل انفصام تجمع اوربتالات  $d$  احادية الالكترون نفسه . ويحدث ذلك لكون عامل  $\Phi(\phi)$  للدالة الموجية لحد  $D$  الذي هو  $e^{im\phi}$  في تشابه تام مع عامل  $e^{im\phi} \Phi(\phi)$  ، في الدالة الموجية لالكترون  $d$  المنفرد . وتوجد العلاقة نفسها بين اوربتالات  $f$  وحالات  $F$  وبين اوربتالات  $p$  وحالات  $P$  ، وهكذا . وعليه ، تنطبق

جميع النتائج المعطاة في الجدول 9.2 لانقسام التجمعات المختلفة من الاوربتالات احادية الالكترون على الانقسام المشابه لحدود روسل - ساندرز.

استعملنا في الجدول 9.3 حروفاً صغيرة لتمثيل حالات الالكترون المفرد في المحيطات مختلفة التماثلات ، اذ يتطابق ذلك مع استعمال الحروف الصغيرة  $s, p, d, f, \dots$  لتمثيل الحالات في الذرة الحرة . بصورة متشابهة ، سنستعمل حروفاً كبيرة لتمثيل الحالات التي ينقسم اليها حدود المحيط في الايون الحر . وعلى سبيل المثال ، تنقسم الحالة  $F$  للايون الحرالى حالات  $A_2, T_1$  و  $T_2$  عند وضع الايون في مركز محيط رباعي السطوح.

في الجدول 9.3 تتحكم القواعد الآتية في استخدام الرموز السفلية  $g$  او  $u$ . اذا لم تمتلك مجموعة النقطة للمحيط مركزاً للتماثل فلن تستخدم رموز سفلية ، لانه ليس

لها معنى . وعند امتلاك المحيط لمركز تماثلي ، يتم ايجاد الرموز السفلية من نوع الاوربتال فجميع الاوربتالات الذرية التي يكون عدد كمها  $l$  زوجياً ( $s, d, g, \dots$ ) تكون متماثلة المركز centrosymmetric ولهذا تعطى الخاصية  $g$  ، وجميع الاوربتالات الذرية التي تكون قيمة  $l$  لها فردية ( $p, f, h, \dots$ ) تعد مضادة التماثل antisymmetric بالنسبة للانعكاس ولهذا تأخذ خاصية  $u$  . في استعمال الجدول 9.3 لانقسامات الحد ، تستعمل القواعد الآتية . مرة اخرى ، اذا لم يمتلك المحيط مركزاً للتماثل فلا تنطبق الرموز السفلية  $g$  و  $u$ . ولجميع النقطة التي تمتلك مركزاً قد تشير اليه عملية الانعكاس ، يتم ايجاد خاصية  $g$  او  $u$  من طبيعة الدوال الموجية احادية الالكترون ، للالكترونات المفردة ، التي تكون الترتيب المشتق منه الحد . وسنهتم فقط بالحدود المشتقة من ترتيبات  $d^n$  التي تعطي جميعها حالات  $g$  في مجاميع النقطة التي تمتلك مركزاً تماثلياً .

والنقطة الاخرى التي ينبغي ذكرها بالنسبة لانقسام حدود الايون الحرفي المحيطات الكيميائية وتعلق بمضاعف البرم ، عدم تداخل المحيط الكيميائي مباشرة مع البرم الالكتروني ، وهكذا ، فان لجميع الحالات التي ينقسم اليها الحد المعين مضاعف البرم نفسه كما للحد الأم .

لتوضيح انقسام حدود  $d^n$  ، يبين الجدول في ادناه الحالات لايون  $d^2$  في العديد من مجاميع النقطة ، وقد اعطيت حدود الايون الحرسابقاً .



FREE- ION TERMS	STATES IN POINT GROUPS		
	$O_h$	$T_d$	$D_{4h}$
$^1S$	$^1A_{1g}$	$^1A_1$	$^1A_{1g}$
$^1G$	$^1A_{1g}$ $^1T_{2g}$	$^1A_1$ $^1T_2$	$2^1A_{1g}$ $^1B_{2g}$
	$^1E_g$	$^1E$	$^1A_{2g}$ $2^1E_g$
	$^1T_{1g}$	$^1T_1$	$^1B_{1g}$
$^3P$	$^3T_{1g}$	$^3T_1$	$^3A_{2g}$
			$^3E_g$
$^1D$	$^1E_g$	$^1E$	$^1A_{1g}$ $^1E_g$
	$^1T_{2g}$	$^1T_2$	$^1B_{1g}$
			$^1B_{2g}$
$^3F$	$^3A_{2g}$	$^3A_2$	$^3A_{2g}$ $2^3E_g$
	$^3T_{1g}$	$^3T_1$	$^3B_{1g}$
	$^3T_{2g}$	$^3T_2$	$^3B_{2g}$

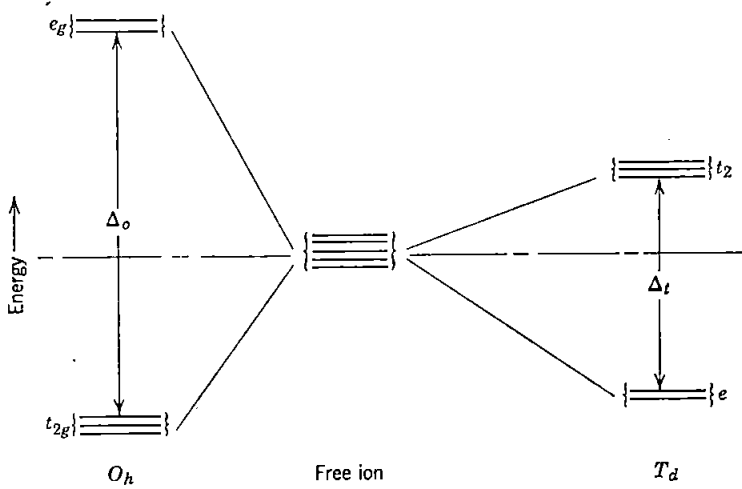
#### 9.4 بناء مخططات مستوى الطاقة :

لاحظنا في الفقرة 9.3 ان جميع حدود الايون الحر ، التي لها  $L > 1$  ، تنقسم بالمحيطات الكيميائية ذات تماثل  $O_h$  ،  $T_d$  او تماثلات اوطأ باثنتين او اكثر من الحالات التي نعون حسب تمثيل مجموعة النقطة التي تصف مميزاتها التحولية . نعود الآن الى التساؤل عن ماهية الطاقات النسبية لهذه الحالات وكيفية اعتمادها على قوة التداخل الكيميائي للايون مع المجاميع المحيطة به . من الواضح امكان حساب هذه الطاقات مباشرة بوضع وحل المعادلات الزمنية اللازمة . كذلك يمكن الحصول على قدر كبير من المعلومات عن الطاقات ، وخاصة الطاقات النسبية ، باستخدام المناقشة المعتمدة على المميزات التماثلية للحالات ، وهذا هو موضوع هذه الفقرة .

بالطبع ، من مناقشات التماثل وحدها ، لا يمكن الحصول على معلومات كمية عن الطاقات . تحتاج الطرق التي سنصفها الى جانب واحد من المعلومات الكمية ، الذي يتم الحصول عليه بالحساب فقط ، وسنبين في الفقرة 9.5 كيفية الحصول عليها ، ولكن في الوقت الحاضر نقبل بها بدون اثبات ونستمر لبناء مخططات مستوى الطاقة .

سيوضح في الفقرة 9.5 ان الطاقات النسبية للتجمعات الثنائية والثلاثية المنحلة من اوربتالات  $d$  التي ينقسم اليها التجمع من اوربتالات  $d$  الخمسة في محيط ثماني اورباعي

السطوح وهي كما هو مبين في الشكل 9.2 وهكذا عند وجود الكترون منفرد من نوع  $d$  في ايون في محيط ثماني السطوح يشغل أحد اوربتالات  $t_{2g}$  والطاقة اللازمة لنقله الى اوربتال  $e_g$  هي  $\Delta_0$  وللايون نفسه في محيط رباعي السطوح ، يشغل الالكترون اوربتال  $e$  وتمثل  $\Delta_t$  الطاقة اللازمة لنقله الى اوربتال  $t_2$



شكل 9.2 مخطط بين الطاقات النسبية لاوربتالات  $e$  و  $t_2$  الناتجة عن انفصام تجمع اوربتالات  $d$  الخمسة في محيطات ثماني ورباعي السطوح .

يبين مخطط مستوى الطاقة الذي نقوم ببنائه كيفية اعتماد الطاقات للحالات المختلفة التي تنقسم اليها حدود الايون الحر على قوة تداخل الايون مع محيطه . ويمكن أخذ المسافة الفاصلة بين التجمعين من الاوربتالات التي تنقسم اليها المجموعة من اوربتالات  $d$  الخمسة قياساً لهذا التداخل . وهكذا ، يمتلك المخطط قدرة  $\Delta_0$  او  $\Delta_t$  بشكل الاحداثي الافقي والطاقة بشكل الاحداثي العمودي . وفي أقصى اليسار حيث تكون  $\Delta_0$  او  $\Delta_t$  صفرًا ، توجد طاقات حد الايون الحر ، وفي جهة اليمين من المخطط توجد طاقات الحالات التي تحدث حين ينتج عن التداخل انفصال كبير بين اوربتالات  $t_2$  و  $e$  بحيث تصبح الطاقات التي تعود الى التداخلات الداخلية بين الالكترونات مهمة ، بالمقارنة .

نوضح الآن طريقة بناء مخطط مستوى الطاقة بمعاملة الحالة الخاصة لايون  $d^2$  في محيط ثماني السطوح . لهذا الايون تكون حدود الايون الحر ، حسب الزيادة في الطاقة ، كالآتي :

$$^3F \quad ^1D \quad ^3P \quad ^1G \quad ^1S$$

وفي حدود الانفصام الكبير جداً لاوربتالات  $d$  ، تكون الترتيبات الثلاثة الآتية ممكنة حسب الزيادة في الطاقة .

$$t_{2g}^2 \quad t_{2g}e_g \quad e_g^2$$

يعد استخدام الرمز هنا هو نفسه لترتيبات الذرة الحرة . وهكذا ، تكون (1) الترتيب الذي يكون فيه كلا الالكترونين في اوربتالات  $t_{2g}^2$  ; (2) الترتيب الذي يكون فيه احد الالكترونات في اوربتال  $t_{2g}$  والآخر في اوربتال  $e_g$  ; (3) ترتيب الطاقة العليا  $e_g^2$  يكون فيه كلا الالكترونين في اوربتالات  $e_g$  . والزيادة في الطاقة من احد هذه الترتيبات الى الترتيب الاعلى التالي هي  $\Delta_0$

لنأخذ الآن بنظر الاعتبار ما يحدث عندما يبدأ تداخل المحيط القوي مع الايون بالتناقص ، بحيث تبدأ الالكترونات بالشعور بوجود بعضها مع البعض الآخر ، اذ تبدأ بالازدواج بطرق معينة لتعطي تجمعا من الحالات للترتيب الكلي . ويمكن ايجاد المميزات التماثلية لهذه الحالات بأخذ النواتج المباشرة لتمثيلات الالكترونات المنفردة وهكذا . نأخذ للترتيب  $t_{2g}^2$  الناتج المباشر  $t_{2g} \times t_{2g}$  ومن ثم تفكيكه الى  $A_{1g} + E_g + T_{1g} + T_{2g}$  وبصورة متشابهة ، يعطي الناتج المباشر  $t_{2g} \times e_g$  الحالات  $T_{1g} + T_{2g}$  ويعطي الناتج المباشر  $e_g^2$  الحالات  $A_{1g} + A_{2g} + E_g$  وهذه هي تماثلات حالات الاوربتال الناتجة عن تداخل الالكترونات . وعلى أية حال ، مانزال نحتاج الى ايجاد مضاعفات برم هذه الحالات . وبوجود الكترونين - كما هو واضح - يجب أن تكون احادية او ثنائية ، ويجب العناية لملاحظة أية تحديدات توضع على المضاعفات حسب قاعدة الاستثناء .

نشرح فيما بعد من هذا الفصل طريقة دقيقة وعامة لايجاد مضاعفات حالات المجال القوي ، ولكننا في هذه الحالة ، نعمل حالة  $d^2$  بطريقة اقل دقة لكنها تعليمية لنأخذ اولاً الترتيب  $t_{2g}^2$  . يمكن اعتبار مستويات  $t_{2g}$  تجمعا من ستة صناديق ، كما هو مبين في ادناه :

$$\left. \begin{array}{l} s = \frac{1}{2} \\ s = -\frac{1}{2} \end{array} \right\} \begin{array}{|c|c|c|} \hline & & \\ \hline & & \\ \hline \end{array} \quad \left. \begin{array}{l} \text{Spin degeneracy} = 2 \\ \text{Orbital degeneracy} = 3 \end{array} \right\}$$

يعطى عدد الطرق التي يشغل فيها الالكترونات هذه الصناديق الستة بالعلاقة  $(6 \cdot 5)/2$  اذ يمثل الرقم 2 في المقام عدم التمييز بين الالكترونات . وهكذا ، يكون الانحلال الكلي لترتيب  $t_{2g}^2$  مساوياً 15 . والآن ، مع تناقص المجال ، ينتج انفصال الحالات الاوربتالية  $T_{2g}, A_{1g}, E_g, T_{1g}$  . ويجب ان يبقى الانحلال الكلي 15 . وهكذا ، اذا كتبنا

$$t_{2g} \times t_{2g} \rightarrow {}^a A_{1g} + {}^b E_g + {}^c T_{1g} + {}^d T_{2g}$$

يمكن القول ان الانحلال الكلي يساوي 15 بكتابة

$$1 \cdot a + 2 \cdot b + 3 \cdot c + 3 \cdot d = 15$$

اذ يجب أن يساوي كل من  $a, b, c$  و  $d$  واحداً او ثلاثة ومن اليسير ملاحظة أنه بهذا التحديد تكون للمعادلة ثلاثة حلول فقط :

	$a$	$b$	$c$	$d$
I	1	1	1	3
II	1	1	3	1
III	3	3	1	1

بصورة متشابهة يوجد الكترونان لترتيب  $e_g^2$  يجب وضعهما في اربعة صناديق متكافئة ، ويمكن اجراء ذلك بعدد  $(4 \cdot 3)/2 = 6$  من الطرق المميزة . وهكذا يمكن ان

$$e_g \times e_g \rightarrow {}^a A_{1g} + {}^b A_{2g} + {}^c E_g$$

$$1 \cdot a + 1 \cdot b + 2 \cdot c = 6$$

حيث يوجد حلان فقط :

	$a$	$b$	$c$
I	1	3	1
II	3	1	1

والآن ، للترتيب  $t_{2g}e_g$  يمكن وضع الكترون واحد في صندوق من الصناديق الستة على حين يوضع الالكترون الثاني منفرداً في صندوق من الصناديق الاربعة ليعطي

مجموع 24 ترتيباً ممكناً . يلاحظ ايضاً عدم امكانية وضع الالكترونين في الصندوق نفسه ، ولهذا ، يكون البرم لجميع الترتيبات مزدوج او غير مزدوج . وهكذا ، قد تكون الحالتان  $T_{1g}$  و  $T_{2g}$  المشتقتان من ترتيب  $t_{2g}e_g$  ثلاثيتين واحاديتين . وبذلك نحصل على الجواب الفريد بان الترتيب  $t_{2g}e_g$  يعطي  ${}^1T_{1g}, {}^3T_{1g}, {}^1T_{2g}$  و  ${}^3T_{2g}$

والانحلال الكلي ، 24 ، لهذه الحالات الأربع في توافق مع حسابنا لعدد الترتيبات في الصناديق

يمكن الان ايجاد اي من العينات الممكنة للمضاعفات في ترتيبات  $f_{2g}^2$  و  $e_g^2$  صحيحة بالمضي في ربط الحالات على جهتي الشكل . ولاجراء ذلك ، نستعمل قاعدتين ، لن نبرهن اي منهما ، لكن كليهما مهمتان ومن السهل تذكرهما . بالمرور من التداخل الضعيف الى التداخل القوي مع المحيط ، لانتغير الخواص التماثلية للنظام بأية طريقة ، وهكذا ، يجب ان يوجد العدد نفسه من الحالات لكل نوع خلال ذلك ، ويجب قبول هذه القاعدة ، كما لو كانت بديهية :

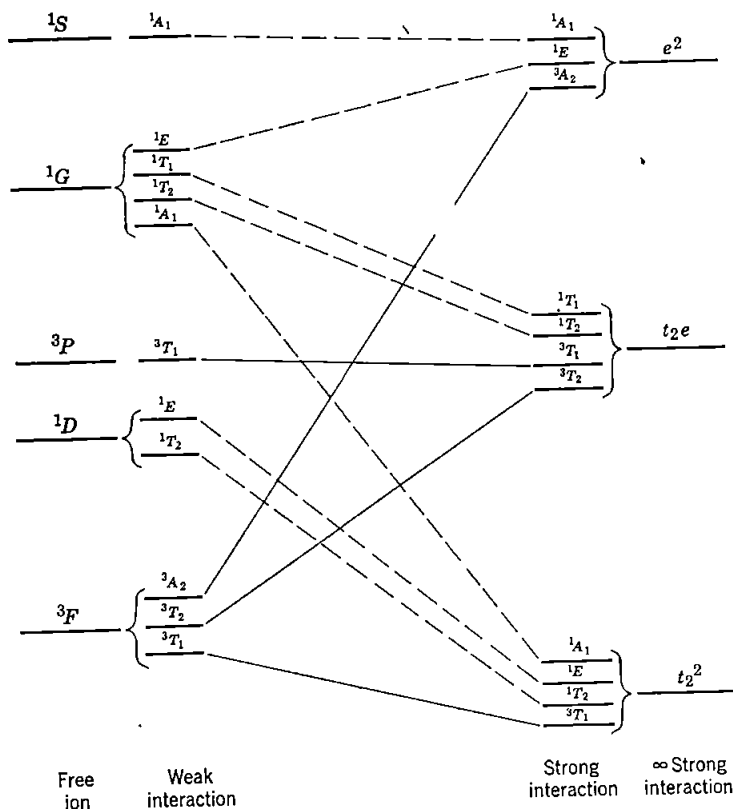
يجب ان يوجد تطابق واحد الى - واحد بين الحالات عند النهايتين القصوين من الاحداثي الافقي .

والقاعدة الثانية التي استعملت سابقاً في بناء المخططات الرابطة لقواعد Woodward-Hoffman التي يعود منشؤها الى ظاهرة تداخل الترتيب ( الفقرة 7.6 ) تسمى قاعدة عدم التقاطع ( non-crossing rule ) :

« مع تغير قوة التداخل ، لا يمكن للحالات ذات انحلال البرم والتماثل نفسه ان تتقاطع » .

يبين الشكل 9.3 على اقصى اليسار حالات الايون الحر . ويبين مباشرة الى جهة اليمين الحالات التي تنقسم اليها حالات الايون الحر هذه تحت تأثير محيط ثماني السطوح .

تعرف هنا مضاعفات البرم لجميع الحالات . ويوجد في اقصى اليمين الحالات (الافتراضية) في حالة التداخل القوي مع المحيط الى ما لا نهاية ، على يسارها مباشرة الحالات المتميزة التي بينا وجودها في حالة التداخل القوي جداً ، لكنه ليس قويا الى ما لا نهاية . ولاجل ان تتحول كل حالة في جهة اليسار الى حالة من النوع نفسه في جهة اليمين بدون التناقض مع قاعدة عدم التقاطع ، ترسم الخطوط الرابطة بالطريقة المبينة وحدها . ويمكن تلخيص طريقة عمل ذلك واختصارها .



شكل 9.3 مخطط العلاقة النسبية لأيون  $d^2$  في محيط ثماني السطح . جميع الحالات والاوربتالات من نوع  $g$  ولهذا فقد أهمل هذا الرمز السفلي .

يلاحظ ان هناك حالات  $1A_{1g}$  على جهة اليسار وليست حالات  $3A_{1g}$  ، وهكذا ، فان كلتا حالتى  $A_{1g}$  على جهة اليمين يجب ان تكونا احاديتين . يعمل ذلك في الحال على استقرار مضاعفات هذه الحالات القادمة من ترتيب  $e_g^2$  ويستبعد الامكانية الثالثة لترتيب  $t_{2g}^2$  . والآن ، يلاحظ وجود حالتان من  $3T_{1g}$  على جهة اليسار ، يجب ان ترتبط الحالة العليا الى حالة  $3T_{1g}$  القادمة من الترتيب  $t_{2g}e_g$  . هناك حالة واحدة من  $T_{1g}$  تحت هذه الحالة ، وهي الحالة القادمة من  $t_{2g}^2$  ، ولهذا يجب ان تكون هذه الحالة ثلاثية مما يعمل على استقرار تعيينات مضاعفات البرم للحالات القادمة من ترتيب  $t_{2g}^2$  . يمكن الآن رسم الروابط الباقية حسب قاعدة عدم التقاطع .

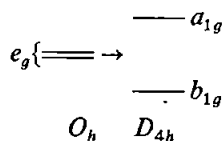
يسمى المخطط الكامل ، في الغالب ، بمخطط العلاقة النسبية *correlation*

diagram . وهو يبين كيف ان مستويات الطاقة في الايون تسلك بشكل دالة قوة .  
التداخل الكيميائي مع محيط ثماني السطوح المتماثل .

### طرق تناقص التماثل Method of Descending Symmetry

عملنا في الصفحات السابقة على بناء مخطط الارتباط الكامل لايون  $d^2$  في تماثل  $O_h$  . ولعمل ذلك دخلنا في مسألة ايجاد مضاعفات البرم لحالات الاوربتال كما لو كانت ناتجة من التداخلات الالكترونية البينية في الترتيبين  $e_g^2$  و  $t_{2g}^2$  ، وتمكنا من الحصول على الحل باستخدام طريقه محوره نوعاً ما للحالات المطلوبة لتكون الحالات الضرورية للارتباط مع تجمع حالات المجال الضعيف . تعد مثل هذه الطريقة غير عملية في الحالات الاكثر تعقيداً . لكن هناك طريقة مباشرة وعامة تعود الى بيث تسمى طريقة تناقص التماثل التي تعطي دائماً المعلومات اللازمة . سنوضح هذه الطريقة بعد تطبيقها في حالة  $d^2$  ، وينبغي ان نتضح بعد ذلك كيفية استخدام الطريقة نفسها في اية حالة .

لنبدأ بترتيب  $e_g^2$  . لقد بينا ان هذا الترتيب يجب ان ينتقل الى الحالات  $A_{1g}$  ,  $A_{2g}$  و  $E_g$  مع بدء تأثير التداخلات الالكترونية . لنفترض انه أخذنا محيط الايون ، الذي هو تماثل  $O_h$  وخففنا هذا التماثل الى  $D_{4h}$  ، مثل اخذ زوج الليكاندات في موقع ترانز لمعقد  $MX_6$  ثماني السطوح وحركناهما بعيداً الى مسافة اكبر من الليكاندات الاربعة الاخرى . بذلك يزال انحلال اوربتالات  $e_g$  احادية الالكترون وكما يتضح من جدول العلاقة النسبية في الملحق IIIB ، نحصل على مستويين غير منحلين ذوي تماثل  $a_{1g}$  و  $b_{1g}$



والان يكون عدد الطرق التي يمكن بواسطتها وضع الالكترونين في المستويين  $a_{1g}^2$  و  $b_{1g}^2$  ، كالاتي :

	الناتج المباشر	مضاعفات البرم الممكنة
$a_{1g}^2$	$A_{1g}$	$^1A_{1g}$
$a_{1g}b_{1g}$	$B_{1g}$	$^1B_{1g}, ^3B_{1g}$
$b_{1g}^2$	$A_{1g}$	$^1A_{1g}$

من الواضح ان قاعدة الاستثناء تحتاج الى ان تكون حالات  $A_{1g}$  الناتجة من الترتيبين  $a_{1g}$  و  $b_{1g}$  احادية . اي يجب ان يكون برم الالكترونات مختلفاً . للترتيب  $a_{1g}$  ,  $b_{1g}$  . ولما كان للالكترونين حالات اوربتال مختلفة ، ليس هناك تحديد لبرمها وتكون الحالتان الناتجتان مسموحتين . ينبغي ان يلاحظ ان العدد الكلي لترتيبات الالكترونات في الصناديق الاربعة من نوع  $e_g$  كان ستة ومايزال العدد الكلي ستة في التماثل  $D_{4h}$  . كما ينبغي ان يكون .

والآن . تماماً كما ينتقل الكترون المستوى  $e_g$  الاحادي في تماثل  $O_h$  الى المستويين  $a_{1g}$  و  $b_{1g}$  عند خفض التماثل الى  $D_{4h}$  . بحيث ان الحالات المشتقة من ترتيب  $e_g^2$  في تماثل  $O_h$  . وهي  $A_{1g}$  ,  $A_{2g}$  و  $E_g$  . يجب ان تنتقل الى الحالات المناسبة لتماثل  $D_{4h}$  . وبين البحث في جدول العلاقة النسبية ان العلاقات هي :

$$\begin{array}{l} O_h \quad D_{4h} \\ A_{1g} \rightarrow A_{1g} \\ A_{2g} \rightarrow B_{1g} \\ E_g \rightarrow \begin{cases} A_{1g} \\ B_{1g} \end{cases} \end{array}$$

ولا يمكن لخفض التماثل ان تغير انحلالات البرم . لذلك . اذا كانت حالة  $A_{1g}$  في  $O_h$  احادية . فان حالة  $A_{1g}$  المطابقة في  $D_{4h}$  يجب ان تكون احادية ايضاً . وهلم جرا . والابعد من ذلك . مهما كان المضاعف لحالة  $E_g$  في  $O_h$  فان كلاً من حالتي  $A_{1g}$  و  $B_{1g}$  الناتجتين منها بخفض التماثل الى  $D_{4h}$  يجب ان يكون لهما مضاعف البرم نفسه . ولما كانت حالات  $A_{1g}$  الوحيدة المتوفرة في  $D_{4h}$  هي  $^1A_{1g}$  ، وجب ان تكون العلاقة النسبية بين حالات  $O_h$  وحالات  $D_{4h}$  خلال المضاعفات البرمية الميمنة في ادناه :

$$\begin{array}{l} O_h \quad D_{4h} \\ ^1A_{1g} \rightarrow ^1A_{1g} \\ ^3A_{2g} \rightarrow ^3B_{1g} \\ ^1E_g \rightarrow \begin{cases} ^1A_{1g} \\ ^1B_{1g} \end{cases} \end{array}$$

يثبت ذلك مضاعفات الحالات في  $O_h$  ويعطي ، بالطبع ، التعيينات نفسها لمضاعفات البرم التي تم اشتقاقها سابقاً .



لنستمر الآن الى الحالات الناتجة من الترتيب  $t_{2g}^2$  . وهي  
 $A_{1g} + E_g + T_{1g} + T_{2g}$  . لقد وجدنا سابقاً امكانية التعيينات الثلاثة  
 للمضاعفات ، التي تتوافق مع الانحلال الكلي (15) لترتيب  $t_{2g}^2$  . التي يجب ان  
 تبقى . وتعد هذه الحالات مرة اخرى في الجدول الآتي مرجعاً مناسباً .

$t_{2g} \times t_{2g} =$	$A_{1g}$	$E_g$	$T_{1g}$	$T_{2g}$
تعيينات مضاعف	1	1	1	3
البرم الممكن	1	1	3	1
	3	3	1	1
التمثيلات المطابقة	$A_g$	$A_g$	$A_g$	$A_g$
		$B_g$	$B_g$	$A_g$
في $C_{2h}$			$B_g$	$B_g$

والآن ، من الضروري النظر الى المجموعة الثانوية من  $O_h$  بحيث ينتقل كل من  
 التمثيلات  $A_{1g}, E_g, T_{1g}$  و  $T_{2g}$  من  $O_h$  الى تمثيل مختلف احادي البعد  
 او مجموعة تمثيلات احادية البعد من المجموعة الثانوية . واذا لم تكن جميعها مختلفة  
 يستحيل الحصول على نتائج كاملة وواضحة . يبين البحث في جدول العلاقة النسبية  
 لتمثيل  $O_h$  في الملحق IIIB ان المجاميع الثانوية  $C_{2v}$  و  $C_{2h}$  تكون مقنعة . نستعمل  
 $C_{2h}$  هنا ، وقد يتدرب القاريء على تطبيق الطريقة باستعمال  $C_{2v}$  للتحقق من النتائج .  
 بينا في الجدول السابق تحت كل من تمثيلات  $O_h$  تمثيلات  $C_{2h}$  المطابقة لها مثل  
 ماهي عليه في جدول العلاقة النسبية . ولما كان  $t_{2g}$  في  $O_h$  ينتقل الى  $a_g + a_g + b_g$  في  
 $C_{2h}$  ، فان الناتج المباشر  $t_{2g} \times t_{2g}$  ينتقل الى مجموع النواتج المباشرة الستة من  
 $a_g + a_g + b_g$  ، وهي :

$$\begin{aligned}
 a_g \times a_g &= A_g \\
 a_g \times a_g &= A_g \\
 a_g \times b_g &= B_g \\
 a_g \times a_g &= A_g \\
 a_g \times b_g &= B_g \\
 b_g \times b_g &= A_g
 \end{aligned}$$

يمثل اول هذه النواتج اشغال احد اوربتالات  $a_g$  بكلا الالكترونين وهكذا يجب  
 ان تكون احادية ،  $^1A_g$  . ويمثل الثاني وضع كل الكترون في اوربتال  $a_g$  مختلف  
 ولهذا يمكن ان يعطي لكليهما حالات احادية وثلاثية  $^1A_g + ^3A_g$  . كذلك تمثل  
 الثالثة والخامسة وضع الالكترونات في اوربتالات مختلفة ، وتعيان حالات ثلاثية

واحادية . مثل  $2^1B_g + 2^3B_g$  وتمثل الرابعة والسادسة وضع الالكترونين في الاوربتال نفسه . وتعطيان حالات احادية فقط .  $2^1A_g$  . والخلاصة . يعطي الناتج المباشر الذي ينتقل الى  $(a_g + a_g + b_g) \times (a_g + a_g + b_g)$  في  $C_{2h}$  الحالات الآتية في  $C_{2h}$

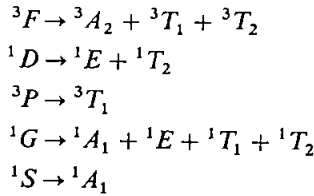
$4^1A_g + 3^1A_g + 2^1B_g + 2^3B_g$   
 قد يلاحظ أن مجموع الانحلالات  $4(1 \times 1) + (3 \times 1) + 2(1 \times 1) + 2(3 \times 1)$  يساوي 15 . كما يجب أن يكون اذا لم يحدث خطأ ما .

والآن يمكن الحصول على النتيجة المطلوبة كما يمكن في الحال اجراء تعيين فريد للمضاعفات بالنسبة للحالات المبينة في الجزء السفلي من الجدول بملاحظة ان هناك حالة  $3^1A_g$  فقط وحالتين من  $3^1B_g$  . لذلك يجب تعيينها الى حالات  $A_g$  واثنين من  $B_g$  الناتجة من  $T_{1g}$  . لا ثبات ان حالة  $T_{1g}$  ثلاثية البرم ، ولهذا ، تكون جميع الحالات  $A_{1g}$  ،  $E_g$  و  $T_{2g}$  احادية البرم .

### مخططات مستوى الطاقة في محيطات رباعي السطوح :

يمكن بناء مخططات مستوى الطاقة للايونات في محيطات رباعي السطوح بالطرق نفسها المبينة في الشرح السابق لحالة ثماني السطوح . سنشرح باختصار الطريقة لحالة  $d^2$  .

للحصول على الجهة اليسرى ( التداخل الضعيف ) نبحث عن كل من حدود الايون الحرفي الجدول 9.3 ونجد هذه الحدود تنقسم كالآتي :



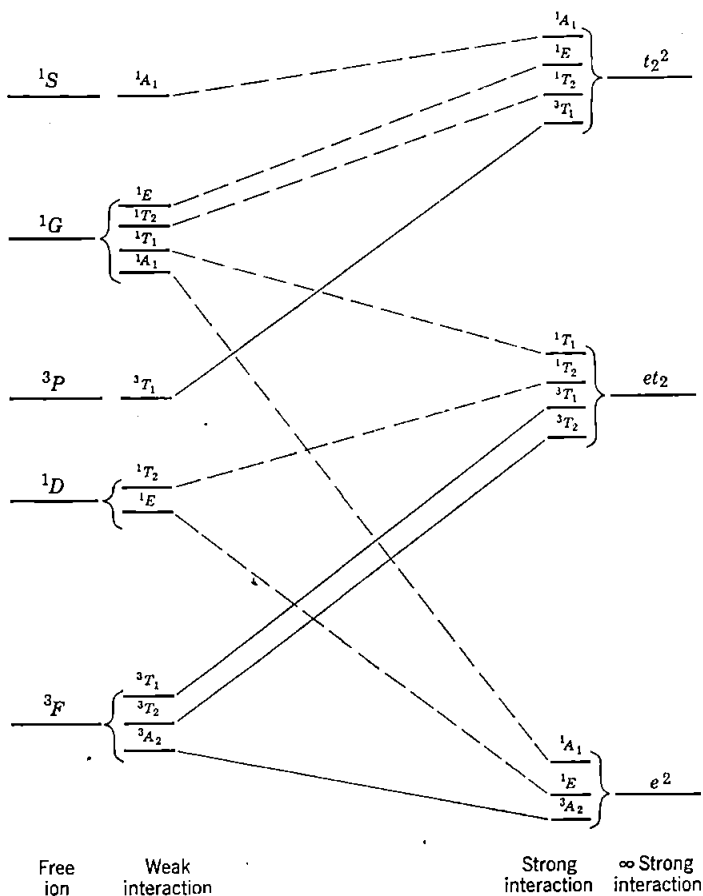
نركز اهتمامنا الآن على جهة اليمين ( التداخل القوي ) من المخطط ، يلاحظ في الشكل 9.2 ان اوربتالات  $e$  احادية الالكترون اكثر استقراراً ( بمقدار  $\Delta_e$  ) من اوربتالات  $t_2$  احادية الالكترون . لذلك ، تكون الترتيبات الثلاثة تحت تأثير التداخل القوي مع محيط رباعي السطوح كالآتي ، حسب الزيادة في الطاقة ،  $e^2, et_2, t_2^2$  . وبأخذ تمثيلات الناتج المباشر لهذه الترتيبات والحصول على التمثيلات غير المختزلة المتوافقة ، يلاحظ أن الازدواج مايين الالكترونات يؤدي الى ظهور الحالات الآتية :

$$e^2 \rightarrow A_1 + A_2 + E$$

$$et_2 \rightarrow T_1 + T_2$$

$$t_2^2 \rightarrow A_1 + E + T_1 + T_2$$

يمكن الآن تعيين مضاعف البرم الصحيح 1 أو 3، لكل من هذه الحالات بالطرق نفسها المبينة بالتفصيل لحالة ثماني السطوح ومن ثم ربط الحالات على جهتي المخطط للحصول على مخطط العلاقة النسبية الكامل المبين في الشكل 9.4.



شكل 9.4 مخطط العلاقة النسبية لايون  $d^2$  في محيط رباعي السطوح.

## الفجوة الشكلية ( The Hole Formalism ) :

يمكن تطبيق الطرق المبينة في اعلاه لعمل مخططات العلاقة النسبية لايونات  $d^2$  في محيطات ثماني ورباعي السطوح على جميع ترتيبات  $d^n$  من  $2 \leq n \leq 9$ . على أية حال ، يزداد الجهد المبذول بصورة سريعة غير اعتيادية مع زيادة عدد الالكترونات . ولكن هناك عدة انواع من العلاقات التي تسهل امكانية الحصول على مخططات معينة من اخرى يمكن بناؤها بسهولة اكثر .

تعد الفجوة الشكلية احدى هذه الانواع من العلاقات . حسب هذه العلاقة ، التي تكون دقيقة ، يسلك ترتيب  $d^{10-n}$  لجميع النقاط على طول الاحداثي الافقي من مخطط مستوى الطاقة بالطريقة نفسها مثل ترتيب  $d^n$  ، باستثناء اخذ جميع طاقات التداخل مع المحيط اشارة متعاكسة . والطريقة الفيزيائية للنظر الى المسألة بالقول ان عدد  $n$  من الفجوات في غلاف  $d$  قد تعامل بشكل عدد  $n$  من البوزيترونات ( positron ) يسلك العدد  $n$  من البوزيترونات ، في أثناء تداخل بعضها مع البعض الاخر بشكل العدد  $n$  من الالكترونات نفسه . وحين يحاول المحيط التنافر مع الالكترون يعمل بالقوة نفسها على جذب بوزيترون . والعكس هو الصحيح .

وتلاحظ نتائج هذه العلاقة بسهولة بأخذ الجهة اليمنى من مخططات العلاقة النسبية بنظر الاعتبار . يحتوي الترتيب لعدد  $n$  من الالكترونات في محيط ثماني السطوح على اكبر عدد ممكن من الالكترونات في اوربتالات  $t_2$  التي تكون اكثر استقراراً ، في حين يكون مثل هذا الترتيب لعدد  $n$  من البوزيترونات اقل استقراراً . وعلى العموم ، تنعكس الحالات الموجودة في أقصى اليمين من المخطط لترتيب  $d^n$  ( في محيطات ثماني او رباعي السطوح ) لترتيب  $d^{10-n}$  المطابق . ولما كان ترتيب الطاقة للحالات الناتجة من حدود الايون الحر لترتيب  $d^n$  يتبع ترتيب الطاقة حيث يتم التحول الى ترتيبات  $e^p t_2^q$  المختلفة على اليمين ، يتبع انعكاس نماذج الانقسام لحدود الايون الحرفي نظام  $d^n$  الى نظام  $d^{10-n}$  المماثل لها .

وعلى سبيل المثال ، نحصل على مخطط العلاقة النسبية لنظام  $d^0$  في مجال ثماني السطوح من الشكل ( 9.3 ) على عكس الترتيب العمودي لترتيبات  $t_2^2, e t_2, e^2$  ومن ثم إعادة رسم الخطوط الرابطة .

## العلاقات الأكثر عموماً :

يعد الوصف المعطى في اعلاه للحصول على مخطط العلاقة النسبية لترتيب  $d^8$  في محيط ثماني السطوح من مخطط ترتيب  $d^2$  في محيط ثماني السطوح هو تماماً الوصف نفسه الذي يستعمل للحصول على مخطط أيون  $d^2$  في محيط رباعي السطوح من مخطط أيون  $d^2$  في محيط ثماني السطوح. ويتغير المحيط من ثماني الى رباعي السطوح تنعكس طاقات اوربتالات  $e$  و  $t_2$  وكذلك يفعل ، التغير من عدد  $n$  من الالكترونات الى عدد  $n$  من البوزيترونات بينما يترك تماثل المحيط نفسه.

ويمكن كتابة القاعدة الآتية العامة ، اذ يستعمل الرمز  $d^n(\text{oct})$  ليعني ترتيب مستوى الطاقة لنظام  $d^n$  في مجال ثماني السطوح ، مع الرموز الاخرى ذات المعاني المتشابهة

$$d^n(\text{oct}) \equiv d^{10-n}(\text{tetr}) \quad \text{هو معكوس} \quad d^n(\text{tetr}) \equiv d^{10-n}(\text{oct})$$

وللحالات الثماني عشرة الممكنة ،  $d^1 - d^9$  ، في محيطات رباعي وثمانى السطوح ، يمكن الحصول على مخططات العلاقة النسبية بتوضيح مخططات الحالات البسيطة الآتية :

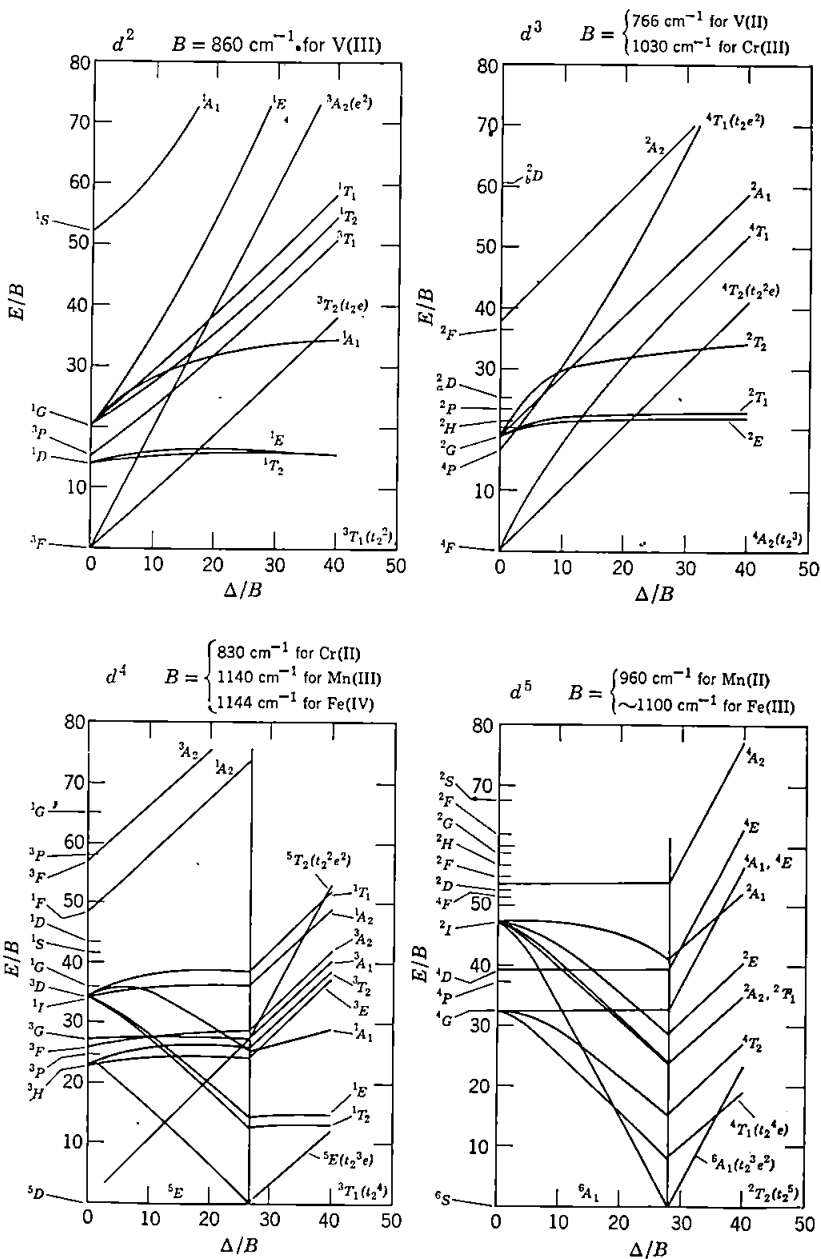
$$d^1(\text{oct}) \quad d^2(\text{oct}) \quad d^3(\text{oct}) \quad d^4(\text{oct}) \quad d^5(\text{oct})$$

تعد حالة  $d^5$  خاصة في كون جميع المخططات الاربعة ذات العلاقة هنا متشابهة

وبالتبع يكون لكل من  $d^n$  و  $d^{10-n}$  الترتيب نفسه حين  $n = 5$  و  $d^5(\text{oct}) \equiv d^5(\text{tetr})$

يبين الشكل 9.5 مخططات مستوى الطاقة لجميع ترتيبات  $d^n$  في محيطات ثماني السطوح ، ولقد رسمت هذه المخططات بطريقة تحتاج الى بعض التعليق وعوضاً عن استخدام وحدات مطلقة لمقاييس الاحداثى العمودي والاحداثى الافقى ، التي تحدد تطبيق كل مخطط لحالة واحدة بحيث تتوافق المسافات الفاصلة بين حدود الايون الحر.

والحدود في المخطط ، وتعد وحدة الطاقة الحد  $B$  للتناظر ما بين الالكترونات. وعلى كل مخطط تعطى قيم  $B$  للايونات الحرة الشائعة لترتيبات  $d^n$  و  $d^{10-n}$  المتطابقة. إضافة الى ذلك ، رسمت المخططات بحيث أخذت طاقة حالة الاستقرار بمقدار صفر لجميع قيم  $\Delta_0$ . وفي الحالات التي تتغير فيها حالة الاستقرار توجد تغيرات حادة في منحدرات جميع الخطوط. ويجب التأكيد على ان هذه الانواع تعد اصطناعية للمخططات ولا تمثل انقطاعات حقيقية في طاقات الحالات



شكل 9.5 مخططات مستوى الطاقة لتربيات  $d^2$ - $d^8$  في تماثل ثماني السطوح .  
[after Tanabe and Sugano, *J. Phys. Soc. Japan*, 9, 752 (1954)]



## مخططات مستوى الطاقة للتماثلات الواطئة :

اخذنا لحد الآن الوضعيات الشائعة للتماثل العالي جداً . وقد لاحظنا أن اوربتالات  $d$  لتماثل ثماني ورباعي السطوح تنقسم الى تجمعين ، ولهذا تتطلب حداً واحداً ،  $\Delta_0$  أو  $\Delta_t$  ، لوصف نموذج الطاقة وفي الحالات التي يكون فيها التماثل عالياً وعدد الحدود الحرة صغيراً ، تكون دراسات التماثل ، كما لاحظنا ، تعليمية بدرجة عالية . وحين يكون التماثل واطئاً ، فإن هناك انفصامات وحدوداً أكثر ولهذا قد يكون التعلم قليلاً من دراسات التماثل لوحدها بالنسبة لترتيب المستويات النسبي . ولذلك ، تصبح دراسات التماثل اقل فائدة بحد ذاتها ومن الضروري وضع معادلات الحساب البسيطة والملائمة أكثر . وبالنسبة لتفسير قياسات الشدة الطيفية وخاصة استقطاب حزم الامتصاص تبقى دراسات التماثل النقي مفيدة للغاية ، كما سيلاحظ في الفقرة ( 9.6 ) .

يعد  $D_{4h}$  أحد التماثلات الواطئة شائعة الحدوث في المركبات التناسقية ، وهو مجموعة النقطة للذرات المحيطة التي تتداخل مباشرة مع الدرة الفلزية في معقدات المربع المستوي ومعقدات ثماني السطوح التي تكون منحرفة بالاستطالة ( elongation ) او الانكماش ( compression ) على طول أحد المحاور رباعية المرة ولمعقدات ثماني السطوح ثنائية التعويض في مواقع ترانز ( trans-disubstituted ) مثل  $trans-[Co(NH_3)_4Cl_2]^+$  سنشرح مجموعة النقطة هذه مثلاً على توضيح الطبيعة العامة للمشاكل الناتجة حين يكون التماثل واطئاً من التماثل المكعبي .

كما بين الجدول (9-3) ، تكون اوربتالات  $d$  القاعدة لتمثيل مجموعة  $D_{4h}$  التي تحتوي على التمثيلات غير المختزلة  $A_{1g}, B_{1g}, B_{2g}$  و  $E_g$  بالاشارة الى جدول خاصة  $D_{4h}$  ، يمكن الحصول على معلومات نوعية أكثر في ان اوربتالات  $d$  تتطابق مع هذه التمثيلات بالطريقة الآتية :

$$A_{1g} : d_{z^2}$$

$$B_{1g} : d_{x^2-y^2}$$

$$B_{2g} : d_{xy}$$

$$E_g : d_{xz}, d_{yz}$$

ولما كانت هناك اربعة نوعيات مختلفة من الاوربتالات ، نحتاج الآن الى ثلاثة حدود لتعيين الاختلافات بالطاقة بينها يجب ان تكون القيم النسبية لهذه الحدود معروفة



لايجاد الطاقات النسبية للأنواع الأربعة من الأوربتالات ، بحيث يوجد في الأقل عددان حقيقيان ونسبة اثنين من الحدود الى الثالث ، ومن المحتمل ، وجوب معرفتها قبل امكانية بناء اي نوع من مخططات مستوى الطاقة . وحين يكون الانحراف عن تماثل ثماني السطوح التام قليلاً ، يمكن افتراض ان مستويات  $a_{1g}$  و  $b_{1g}$  الناتجة من انقسام مستويات  $e_g$  في  $O_h$  تكون منفصلة بطاقة تقارن بقدرتها مع الطاقة الفاصلة لمستويات  $b_{2g}$  و  $e_g$  الناتجة من مستويات  $t_{2g}$  في  $O_h$  ، وان كلتا هاتين الطائفتين تكونان صغيرتين نسبة الى الاختلاف بالطاقة  $\Delta_0$  ، الموجود اصلاً بين مستويات  $e_g$  و  $t_{2g}$  في محيط ثماني السطوح . ومع ذلك ، يبقى التساؤل عن الطاقات النسبية بين  $a_{1g}$  ضد  $b_{1g}$  و  $b_{2g}$  ضد  $e_g$  .

### علاقة مخططات مستوى الطاقة مع خواص المعقدات المغناطيسية والطيفية :

من بين التطبيقات المهمة لمخططات مستوى الطاقة من النوع الذي تم شرحه : استعمالها في تفسير الخواص الطيفية والمغناطيسية للمعقدات ومركبات العناصر الانتقالية الأخرى . وللشرح المفصل لهذه التطبيقات يشار للقارئ الى عدد من الكتب التي تتعامل بصورة اوسع مع نظرية المجال البلكانيدي<sup>٥</sup> ، ومن المناسب هنا اعطاء تفسير موجز لذلك .

تعود الاطراف المرئية وفوق البنفسجية القريبة لأيونات الفلزات الانتقالية في المحيطات الكيماوية الى الانتقالات من حالات استقرارها الى حالات تهيج مختلفة . كما هو مبين في مخططات مستوى الطاقة في الشكل ( 9.5 ) . وكما سيشرح شرحاً مفصلاً في الفقرة ( 9.6 ) . تعد هذه الانتقالات اسماً ممنوعة حسب قواعد الاختيار بالتقريب الأول لكنها تظهر بصورة ضعيفة بسبب مخالفة هذه القواعد في التقريبات الأعلى . تكون الانتقالات الى حالات التهيج ذات مضاعف البرم نفسه مثل حالة الاستقرار  $10^2$  مرة اقوى من الانتقالات الى حالات مختلفة بعدد كم البرم . كما هو متوقع . وهكذا . تسبب الانتقالات الممنوعة برمياً ( spin-forbidden transitions ) ظهور حزم امتصاص ضعيفة جداً بحيث تصعب ملاحظتها في القياسات الاعتيادية .

وبالبحث في مخططات مستوى الطاقة يلاحظ نوع الطيف الذي ينبغي ان يأخذه الايون في المحيط المعين . فمثلاً ، يلاحظ من الشكل ( 9.3 ) ان ايون  $d^2$  في معقد

٥ . انظر القائمة في الملحق IX .

ثمانى السطوح ، مثل  $[V(H_2O)_6]^{3+}$  ، ينبغي ان يمتلك ثلاثة انتقالات مسموحة برمياً ، من حالة الاستقرار  ${}^3T_1$  الى الحالات العليا  ${}^3T_2$  ،  ${}^3T_1$  و  ${}^3A_2$  . وقد وجدت تجريبياً حزمًا امتصاص عند 17,000  $\text{سم}^{-1}$  و 24,000  $\text{سم}^{-1}$  اذ يمكن تنسيبهما الى الانتقالات  ${}^3T_1 \rightarrow {}^3T_2$  و  ${}^3T_1 \rightarrow {}^3T_1$  اذا أخذت  $\Delta_0$  مساوية الى 21,500  $\text{سم}^{-1}$  تقريباً . يتوقع ان يكون انتقال  ${}^3T_1 \rightarrow {}^3A_2$  عند طاقة اعلى لهذه القيمة من  $\Delta_0$  ولم يلاحظ بصورة اكيدة .

ومثال آخر ، نأخذ بنظر الاعتبار نظام  $d^7$  لأيون  $\text{Co(II)}$  في محيط رباعي السطوح ، مثل  $[\text{CoCl}_4]^{2-}$  . يكون مخطط مستوى الطاقة هو نفسه كما لأيون  $d^3$  في معقد ثمانى السطوح ، ونلاحظ من الشكل ( 9.5 ) توقع ثلاث حزم مسموحة برمياً ، مرة اخرى ، لوحظت حزمتان فقط عند 5500  $\text{سم}^{-1}$  و 14,700  $\text{سم}^{-1}$  . يتبع من مخطط مستوى الطاقة ان هذه الحزم يجب ان تعين الى انتقالات  ${}^4A_2 \rightarrow {}^4T_1(F)$  و  ${}^4A_2 \rightarrow {}^4T_1(P)$  ومن ثم يفترض ان الانتقال  ${}^4A_2 \rightarrow {}^4T_2$  يجب ان يقع فى المدى 3000-3500  $\text{سم}^{-1}$  .

وقد لوحظ مثل هذا الانتقال في عدد آخر قليل من المعقدات رباعية السطوح لكنه ضعيف جداً ، وسيشرح سبب الضعف في الفقرة ( 9.6 ) . ومما ينبغي ان يلاحظ هنا كون  $\Delta_0$  فى حدود 3000-3500  $\text{سم}^{-1}$  فقط ، مقارنة مع القيمة 21,500  $\text{سم}^{-1}$  تقريباً للمعقد  $[V(H_2O)_6]^{3+}$  التي وجدت سابقاً . يعود هذا الفرق الكبير الى اتحاد تأثيرين :

اولهما للأيون الفلزي المعنى والليكاندات ، تكون  $\Delta_0$  لمعقد  $MX_6$  ثمانى السطوح تقريباً ضعف  $\Delta_0$  لمعقد  $MX_4$  رباعي السطوح . والثاني ، لمعقدات ثمانى السطوح ، تؤدي الزيادة بوحدة واحدة لعدد اكسدة الفلز الى زيادة  $\Delta_0$  بعامل مقداره 1.5 الى 2.0 .

وقدر ما يهيم الخواص المغناطيسية ، تهيم مخططات مستوى الطاقة توضيحاً سهلاً للطريقة التي يستنتج بها التماثل وقوة التداخل مع المحيط مضاعفات البرم للايونات الفلزية في مركباتها . تظهر ، اساساً ، وضعيتان مختلفتان :

نوضح احدهما بحالات ثمانى السطوح  $d^1$  ،  $d^2$  ،  $d^3$  ،  $d^8$  و  $d^9$  ، تشتق حالة الاستقرار من الحد الاوطأ للأيون الحر لجميع قيم حدود  $\Delta_0$  ، التي تكون كبيرة . ونظراً لوجوب كون عدد الالكترونات غير المزدوجة هو نفسه كما للأيون الحر ، قد يتداخل الأيون بقوة مع محيطه . وفي حالات اخرى ، خاصة  $d^4$  ،  $d^5$  ،  $d^6$  و  $d^7$  ، تشتق حالة الاستقرار من

حد الايون الحر الواطيء للحصول على قيمة حرجة من  $\Delta_0$  ، تنخفض بعدها حالة مضاعف البرم الواطيء الناتجة من حد الايون الحر العالي تحتها ولهذا تصبح حالة استقرار .

ومن هنا ، يمكن الافتراض لهذه الانظمة ان في المعقدات والمركبات الاخرى التي يكون فيها تأثير تشويش المحيط ، مقاساً بواسطة  $\Delta_0$  ، ضعيفاً ، يكون عدد الالكترونات غير المزدوجة اعلى ما يمكن ، في حين يوجد اقل عدد من الالكترونات غير المزدوجة ( اثنان او اربعة اقل ) للمركبات التي يكون فيها تأثير تشويش المحيط قوياً جداً ، اكبر من القيمة الحرجة من  $\Delta_0$  ، وقد وجدت مثل هذه الفرضيات في توافق جيد مع الملاحظات التجريبية . ومع انه يمكن وضع فرضيات مشابهة لانظمة  $d^n$  المختلفة في محيطات رباعي السطوح ، فانها تكون ذات قيمة عملية قليلة اذ لا تزيد قيمة  $\Delta_0$  عن القيمة الحرجة مطلقاً في انظمة رباعي السطوح الحقيقية ، ولهذا تعرف جميع معقدات رباعي السطوح بأن لها اعلى مضاعف برم ممكن .

والطريقة الاخرى لتقديرها اذا كان الايون  $d^n$  المعين في محيط ثماني السطوح مضاعف برم ممكن واحد او اكثر ، ومهما كانت هذه المضاعفات ، فهي بسيطة جداً لا تحتاج الاشارة الى اي من مخططات مستوى طاقة المعروفة ، وفي الحقيقة ،

لا تحتاج حتى لاستعمال الورق والقلم . نأخذ بنظر الاعتبار التجمع من اوربتالات  $d$  احادية الالكترون التي تنقسم ، كما هو مبين في الشكل ( 9.2 ) ، الى التجمع الثانوي من اوربتالات  $t_{2g}$  الموائمة والتجمع الثانوي من اوربتالات  $e_g$  العالية . عند محاولة وضع الكترون في هذا التجمع من اوربتالات  $d$  ، يجب ان يؤخذ بنظر الاعتبار حدان للطاقة . اذا دخل الالكترون في التجمع الثانوي  $t_{2g}$  فانه يكون اكثر استقراراً بمقدار  $\Delta_0$  مما لو دخل في التجمع الثانوي  $e_g$  . ولغرض دخول التجمع الثانوي  $t_{2g}$  يجب ان يدخل في اوربتال مشغول سابقاً بالكترون واحد ، وتنتج عن ذلك طاقة تنافرية تسمى طاقة الازدواج ( pairing energy ) ،  $P$  . واذا كانت طاقة الازدواج هذه اكبر من  $\Delta_0$  ، فان الالكترون يدخل في اوربتال  $e_g$  بالرغم من حقيقة كون ذلك يستهلك طاقة مقدارها  $\Delta_0$  ، وهكذا ، يمكن حساب قيمة  $\Delta_0$  الحرجة ( تقريباً ) بانها مساوية لطاقة الازدواج  $P$  . ويمكن حساب الطاقة الاخيرة من القيم الطيفية للايون الحر .

بتذكر هذه الاعتبارات ، يمكن عمل التحديدات الاتية عن توزيع الكترونات  $d$  لترتيبات  $d^n$  المختلفة في محيطات ثماني السطوح . لحالات  $d^1, d^2, d^3$  ، يمكن

للالكترونات ان تدخل اوربتالات  $t_{2g}$  بدون الحاجة الى الاشغال المزدوج لاي اوربتال .  
لذلك فان لهذه الايونات واحد واثنين وثلاثة الكترونات غير مزدوجة . على التوالي .  
بمس النظر عن قيمة  $\Delta_0$  . ولايونات  $d^9, d^8$  تحتاج جميع الترتيبات الممكنة الى الاشغال  
المزدوج للاوربتال الثالث والرابع . على التوالي . وتكون ترتيبات الطاقة الواطئة دائماً هي  
 $t_{2g}^6 e_g^2$  و  $t_{2g}^6 e_g^3$  مع الاشغال الكامل لاوربتالات  $t_{2g}$  بغض النظر عن قيمة  $\Delta_0$  .  
وهكذا . يجب ان تمتلك حالات استقرار الايونات  $d^9, d^8, d^7, d^6, d^5, d^4, d^3, d^2, d^1, d^0$  في  
محيطات ثماني السطوح اعلى عدد من الالكترونات غير المزدوجة بغض النظر عن قيمة  
 $\Delta_0$  . وللايونات  $d^7, d^6, d^5, d^4, d^3$  . يعتمد التوزيع الالكتروني على قيمة  $\Delta_0$  مقارنة  
مع  $P$  . كما هو مبين في الجدول الاتي . تمثل الاعداد بين الاقواس اعداد الالكترونات  
غير المزدوجة .

CONFIGURATION	$\Delta_0 < P$	$\Delta_0 > P$
$d^4$	$t_{2g}^3 e_g^1 (4)$	$t_{2g}^4 (2)$
$d^5$	$t_{2g}^3 e_g^2 (5)$	$t_{2g}^5 (1)$
$d^6$	$t_{2g}^4 e_g^2 (4)$	$t_{2g}^6 (0)$
$d^7$	$t_{2g}^5 e_g^2 (3)$	$t_{2g}^6 e_g^1 (1)$

وقد يلاحظ ان جميع هذه النتائج في توافق مع الاستنتاجات التي يمكن الحصول  
عليها من مخططات مستوى الطاقة لشكل 9.5.

## 9.5 تقدير طاقات الاوربتال :

بعد التقييم العددي لطاقات الاوربتالات والحالات اساساً مسألة وضع حسابات  
ميكانيكية كمية . وكما ذكرنا في الفصل الاول لا يعد ميكانيك الكم موضوع هذا الكتاب .  
وفي الحقيقة . حاولنا بصورة عامة . تجنب المعالجة التفصيلية لهذه الطرق في حل  
المعادلة الموجية . وقد تم التأكيد على الخواص التي تمتلكها الدوال الموجية لاسباب تماثلية  
كلياً بغض النظر عن الشكل التحليلي الواضح . على اية حال . يعد هذا الشرح للنواحي  
التمثيلية من نظرية المجال الليكاندي زائفاً غير مقنع بدون بعض الشرح المختصر للنماذج  
المختلفة التي قد تستعمل لعمل الحسابات . ولبيان طبيعة التداخل بين الايون الفلزي  
ومحيطه الكيميائي .

سيكون شرحنا هنا للطرق الحسابية سطحيًا ويهدف الى بيان المظاهر الفيزيائية  
لنماذج . للمعالجة الكاملة لهذا الموضوع مع الاشارة الى المصادر الاصلية . وللشرح

الابعد لتفسير السلوك الكيميائي لمركبات الفلزات الانتقالية بدلالة نظرية المجال الليكاندي  
بشارللقاريء الى البحوث المنشورة الموضوع في الملحق IX .

كما لاحظنا في الفقرة 9.1 . هناك ثلاث نظريات متقاربة للبنيات الالكترونية  
في معقدات الفلزات الانتقالية . تعطي جميعها استخداما واضحا للنواحي النظرية من  
المسألة لكنها تستعمل نماذج فيزيائياً مختلفة من التداخل بين الايون ومحيطاته كقاعدة  
للحسابات . والنظريات الثلاث التي يجب تذكرها . هي : نظريات المجال البلوري  
والمجال الليكاندي والاوربیتال الجزئي . وهناك ايضا نظرية أصرة التكافؤ . التي لاستعمل  
التمائل كثيراً . لكنها الى ذلك في توافق جيد مع المتطلبات التماثلية الضرورية للمسألة .  
نبين الان باختصار معالمات المجال البلوري والمجال الليكاندي ونعلق على علاقتهما  
بنظرية الاوربیتال الجزئي .

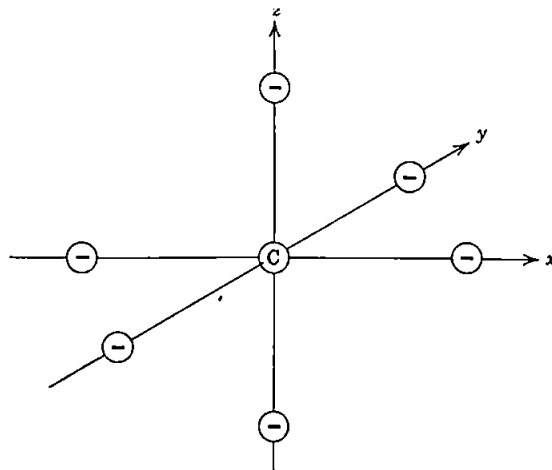
### نظرية المجال البلوري :

بعد هذا النموذج للمعقد او الملح المتبلور للايون الفلزي في المركب مثل الهاليد  
او الاوكسيد من النوع الالكتروستاتيكي . شحنة النقطة ( point charge ) او مزدوج  
النقطة القطبي point 'dipole . تعامل الليكاندات او مجاورات الايون الفلزي  
على انها شحنات نقطة عديمة البنية والاوربیتالات حيث تهىء المجال الالكتروستاتيكي .  
ومن ثم يدرس تأثير هذا المجال في الكترونات اوربیتالات  $d$  للايون الفلزي .

لقد بينت نظرية المجموعة وحدها ان الكترون  $d$  الاحادي في الايون الذي يمثل مركز  
ثمانى السطوح قد يكون في احدى حالتين : في الاولى . يأخذ كلتا الدالتين الموجبتين او  
الاتحاد الخطي لكتيهما . حيث تهينان معاً القاعدة لتمثيل  $E_g$  في مجموعة  $O_h$  . وفي  
الحالة الثانية قد يأخذ احدى الدوال الموجية الثلاث او الاتحاد الخطي لها . اذ يهىء هذا  
التجمع من الدوال الثلاث القاعدة لتمثيل  $T_{2g}$  في مجموعة  $O_h$  . اذا اشرنا الى جدول  
خاصية مجموعة  $O_h$  لاحظنا ان الدوال الموجية  $d_{x^2-y^2}$  و  $d_{z^2}$  تكون القاعدة  
لتمثيل  $E_g$  . لذلك قد تؤخذ هذه الدوال على انها الاوربیتالات التي يشغلها الكترون  $e_g$  .  
بصورة متشابهة . قد يفترض ان الكترون  $t_{2g}$  يشغل احد الاوربیتالات  $d_{yz}$  ,  $d_{xz}$  .  
 $d_{xy}$  لان هذه الاوربیتالات تكون القاعدة لتمثيل  $T_{2g}$  في المجموعة . نبين الان كيفية  
تعيين طاقات الالكترونيات في هذه الاوربیتالات حسب النموذج الالكتروستاتيكي  
لنظرية المجال البلوري .

يفترض ان لكل واحد من الليكاندات الستة ايونا سالبا مثل  $F^-$ ,  $Cl^-$ ,  $O^{2-}$ , ... او جزيئة ثنائية القطب مثل  $N^{\delta-}-H_3^{\delta+}$ ,  $O^{\delta-}-H_2^{\delta+}$ , ... تكون نهايته السالبة قريبة من الايون الموجب. وفي كلتا الحالتين ، يمكن النظر الى محيط الايون الموجب كما هو مبين في الشكل 9.6 بالنسبة للتجمع المعين من المحاور الديكارتية. وقبل دراسة كيفية حساب القيمة الحقيقية للفرق بالطاقة بين حالتي  $e_g$  ،  $t_{2g}$  لالكترون  $d$  ، اعتمادا على النموذج الالكتروستاتيكي ، نأخذ اولاً السؤال الوصفي البسيط : اية حالة  $e_g$  او  $t_{2g}$  تكون اكثر استقراراً ؟

تدل نظرية المجموعة ان لكل من اوربتالي  $e_g$  الطاقة نفسها وان لاوربتالات  $t_{2g}$  الثلاثة الطاقة نفسها ايضاً. لذلك نحتاج الى مقارنة احد اوربتالات  $e_g$  بأي من اوربتالات  $t_{2g}$  للحصول على الجواب. لنختار الاوربتالين  $d_{x^2-y^2}$  و  $d_{xy}$  لهذه المقارنة. يبين الشكل 9.7 اشكال هذه الاوربتالات ، ويحاول الرسم ان يبين الجزء الاكبر ، مثل 90 من الكثافة الالكترونية للسطوح المغلقة. ولما كانت لالكترون شحنة سالبة وكان الليكاند سالبا او يظهر هكذا لالكترون ، اتضح انه بسبب قوى التنافر الالكتروستاتيكية يكون الالكترون اكثر استقراراً في اوربتال  $d_{xy}$  مما في اوربتال  $d_{x^2-y^2}$  ويكون تداخل الشحنة الالكترونية مع شحنات الليكاندات الواقعة على طول المحور  $z$  هو نفسه في كل حالة ، لكن من الثابت ان الشحنة الالكترونية تكون مركزة اكثر في منطقة الليكاندات السالبة الاخرى في اوربتال  $d_{x^2-y^2}$  مما هي عليه في اوربتال  $d_{xy}$ . وهكذا ، يصبح معروفاً وصفاً ، بقدر ما يعد النموذج الالكتروستاتيكي تمثيلاً صادقاً للوضعية الصحيحة ان اوربتالات  $e_g$  اعلى طاقة من اوربتالات  $t_{2g}$ .



شكل 9.6 المحيط الالكتروستاتيكي للايون الموجب ، C ، محاطاً بشكل ثنائي السطوح من قبل الايونات السالبة او المزدوجات القطبية :

من السهولة ان نلاحظ صحة نتيجة نظرية المجموعة في وجوب أخذ جميع الاوربتالات  $d_{xy}$ ,  $d_{xz}$ , and  $d_{yz}$  الطاقة نفسها ، يتشابه كل من هذه الاوربتالات بالشكل مع الاثنين الآخرين ويختلف في المستوي الذي تقع فيه اعلى قيمة له . وليس واضحاً كون اوربتالات  $d_{z^2}$  و  $d_{x^2-y^2}$  لهما الطاقة نفسها ، ومن السهولة الحصول على هذا التساوي باستخدام التعليل الاتي : يعرف من الميكانيك الموجي انه يمكن ايجاد خمسة حلول خطية مستقلة للمعادلة الموجية للقيمة نفسها من عدد الكم  $n (\geq 3)$  وللقيمة  $l = 2$ . وعلى اية حال ، يمكن كتابة عدد لانهائي من الحلول بصورة مبدئية ومن ثم اختيار اية خمسة اتحادات خطية مستقلة نرغب فيها ( انظر : الفقرة 5.1 ) . وبحسب ذلك ، لناخذ بنظر الاعتبار الدوال الستة الاتية للجزء الزاوي من اوربتالات  $nd$  :

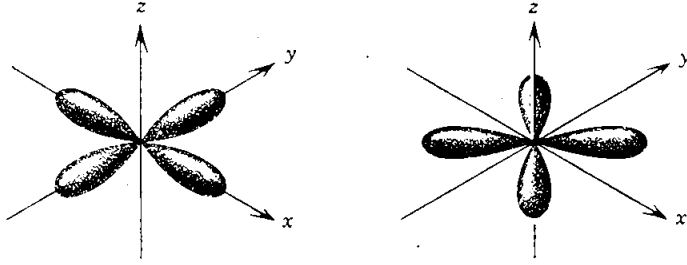
$$\begin{aligned}\psi'_1 &\approx xy & \psi'_4 &\approx x^2 - y^2 \\ \psi'_2 &\approx yz & \psi'_5 &\approx z^2 - y^2 \\ \psi'_3 &\approx xz & \psi'_6 &\approx z^2 - x^2\end{aligned}$$

من بين هذه الدوال الست يختار عادة التجمع الاتي من الاوربتالات الخمسة

$$\begin{aligned}\psi_1 &= \psi'_1 \approx xy \\ \psi_2 &= \psi'_2 \approx yz \\ \psi_3 &= \psi'_3 \approx xz \\ \psi_4 &= \psi'_4 \approx x^2 - y^2 \\ \psi_5 &= \frac{1}{\sqrt{2}} (\psi'_5 + \psi'_6) \approx 2z^2 - x^2 - y^2 \approx z^2\end{aligned}$$

وهكذا ، يلاحظ ان اوربتال  $d_{z^2}$  يمكن ان يعد اتحاداً خطياً قياسياً للاوربتالين  $d_{z^2-x^2}$  ،  $d_{z^2-y^2}$  . ومن الواضح الان ان الاوربتالات  $d_{z^2-x^2}$  ،  $d_{z^2-y^2}$  و  $d_{z^2}$  جميعها ذات طاقات متساوية في مجال ثماني السطوح ، وكما هومبين في الفقرة 94

فان لاي اتحاد خطي لدالتين موجيتين منحلتي الطاقة نفسها مثل مكوناته . وهكذا ، يمكن ان نلاحظ بالتعليل الهندسي ان الاوربتالين  $d_{x^2-y^2}$  و  $d_{z^2}$  يكونان منحلين في مجال ثماني السطوح ، بالرغم من حقيقة انهما قد لا يظهران متكافئين .

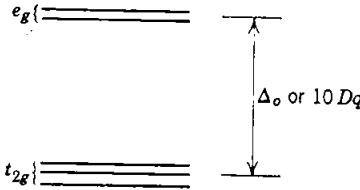


$$d_{x^2-y^2} (e_g)$$

$$d_{xy} (t_{2g})$$

شكل 9.7 مخطط بين اوربتالات  $d_{x^2-y^2}$  و  $d_{xy}$  المثلين لاوربتالات  $e_g$  ،  $t_{2g}$  . نسبة الى المحاور الاحداثية .

واعتماداً على الشرح السابق . يمكن رسم مخطط مستوى طاقة بسيط . والشكل 9.8 يبين الطاقات النسبية لاوربتالات  $e_g$  و  $t_{2g}$  . ومن المعروف ان مستويات  $e_g$  اعلى طاقة من مستويات  $t_{2g}$  . وقد اشرنا الى سعة الاختلاف بالرمز  $\Delta_0$  او  $10Dq$  . وهي الرموز المستخدمة بصورة شائعة في المصادر .



شكل 9.8 انفصام اوربتالات  $d$  في المجال البلوري لثماني السطوح .

يمكن الان ان نأخذ بنظر الاعتبار ما اذا كان ممكناً حساب قيمة  $\Delta_0$  باستخدام النموذج الالكتروستاتيكي . لعمل ذلك نأخذ ليكاندات سالبة كشحنات نقطة وليكاندات ثنائية القطب كمزدوجات نقطة قطبية . وللاخير يجب ايضاً ان نعين القيمة المؤثرة لعزم المزدوج القطبي المساوي للعزم البارامغناطيسي زائداً العزم المستحدث من الشحنات الموجبة للايون الفلزي . واخيراً ، نحتاج الى بعض المعلومات عن مسافة فلز- ليكانسد والدالة الموجية نصف القطرية المناسبة لالكترون  $d$  . ومن ثم يصبح بالامكان اجراء حساب المسافة الفاصلة بين  $e_g$ - $t_{2g}$  ، وقد اجريت مثل هذه الحسابات في عدد من الحالات . ولليكاندات ثنائية القطب ، من الضروري افتراض قيم غير حقيقية لعزوم المزدوج القطبي الفعالة للحصول على القيم الصحيحة من  $\Delta_0$  . ولليكاندات الايونية ، يعطي



النموذج نتائج ذات ترتيب صحيح بالنسبة للسعة لكنها ليست أفضل من ذلك . وعلى اية حال . من المعروف ان هذا النموذج الالكتروستاتيكي النقي بسيط جداً ولا يمكن ان يعد صحيحاً . لانه تعين في جميع الحالات قيمة  $\Delta_0$  من التداخلات غير التداخلات الالكتروستاتيكية النقية .

ومن المفضل ان تعد  $\Delta_0$  حداً ظاهرياً يجب ايجاده بالتجربة بدلا من حسابه من القواعد الاولى باستخدام نموذج المجال البلوري .

ينبغي ان تلاحظ ناحية اخرى من انقسام اوربتالات  $d$  احادية الالكترون في مجال ثماني السطوح . لنفترض اننا اخذنا تجربة *Gedanken* الآتية . نحيط الذرة او الايون بغلاف كروي مركز ذي شحنة سالبة موزعة بصورة منتظمة . ويكون عدد وحدات الشحنة الكلية  $6q$  . يمتلك التجمع من الكترونات  $d$  العشرة في هذا الايون الطاقة  $E_s$  التي تكون اعلى من الطاقة  $E^0$  في الايون الحر بسبب قوى التنافر بين الالكترونات والغلاف الخارجي للشحنة السالبة . ولما كان توزيع الشحنة كروياً ، كانت لالكترونات  $d$  جميعاً الطاقة نفسها . لنفترض الان اعادة توزيع الشحنة الكلية على هذا الغلاف الكروي . انها تتحرك على سطح الكرة وحده ، بحيث يمكن وضع ست شحنات نقطة كل منها ذات سعة عدد  $q$  من الوحدات على القمم الست لثماني السطوح .

لا يتمكن هذا التوزيع الجديد من تغيير طاقة ترتيب  $d^n$  بشكل كلي ، ومع ذلك نعرف الان ان هناك ستة الكترونات في اوربتالات  $t_{2g}$  واربعة في اوربتالات  $e_g$  وان هذه الاوربتالات تختلف بطاقة مقدارها  $\Delta_0$  . وتوضح هذه العلاقات في الشكل 9.9 . ولكي تكون الطاقة الكلية لترتيب  $d^{10}$  في مجال ثماني السطوح هي نفسها في المجال الكروي ، يجب ان تصح المعادلات الآتية :

$$6(E_s - B) + 4(E_s + A) = 10E_s$$

$$A + B = \Delta_0$$

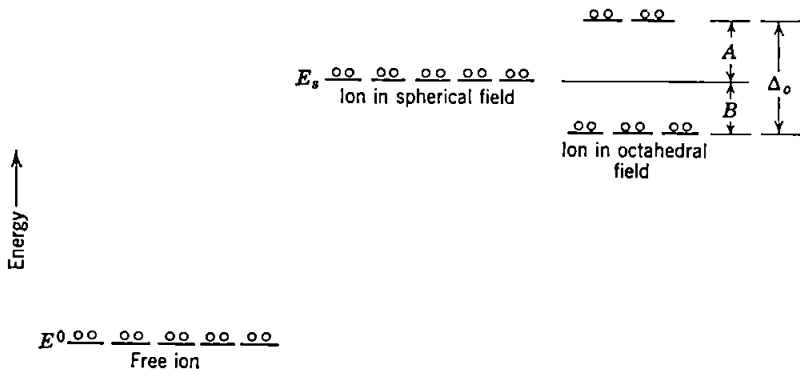
وبالحل : نحصل على :

$$3B = 2A$$

لذلك

$$A = \frac{2}{3}\Delta_0$$

$$B = \frac{4}{3}\Delta_0$$



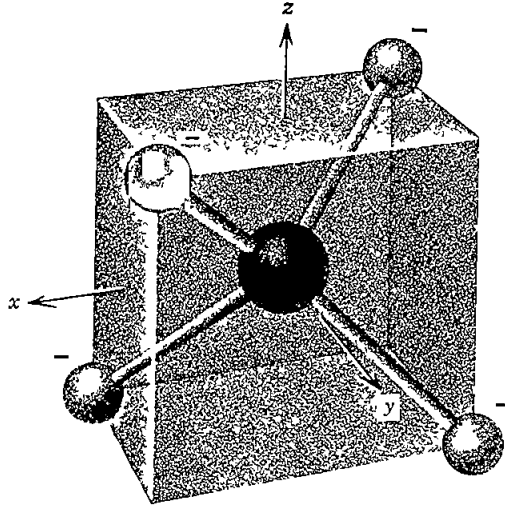
شكل 9.9 مخطط للطاقة بين كيفية تأثير طاقات الإلكترونات في ترتيب  $d^{10}$  بالمجالات الإلكترونية استاتيكية الكروية وثمانية السطوح .

ينبغي ان نلاحظ ان الانفصام ،  $\Delta_0$  ، يكون عادة برتبة 1-3 إلكترون فولت ، على حين يكون ارتفاع التجمع من اوربتالات  $d$  كلها برتبة 20-40 إلكترون فولت . وهكذا ، يجب التذكروا ان نظرتي المجال البلوري والمجال الليكاندي تركزان الاهتمام على ناحية واحدة صغيرة نسبياً من الطاقة الكلية لتكوين المعقد .

يمكن اشتقاق نموذج الانفصام لـ  $d$  إلكترونات في المجال الإلكتروني استاتيكي لأربعة أيونات سالبة او اربعة مزدوجات قطبية مرتبة حوله على شكل رباعي السطوح بتعليل متشابه لما هو مبين في اعلاه . تدل نظرية المجموعة ان حالة الانحلال خماسي المرة لـ  $d$  إلكترونات في الايون الحر تنقسم الى حالتين ، احدهما انحلال ثنائي المرة ،  $E$  ، والآخرا انحلال ثلاثي المرة ،  $T_2$  . وبالإشارة الى جدول الخاصية لمجموعة  $T_d$  يتضح ان الحالة الاولى تتكون من اوربتالين  $d_{z^2}$  و  $d_{x^2-y^2}$  والاتحاد الخطي المبين في اعلاه ، وتتكون حالة  $T_2$  من ثلاثة اوربتالات  $d_{xy}$ ،  $d_{xz}$ ، and  $d_{yz}$  او الاتحاد الخطي لها .

ولإيجاد الطاقات النسبية لاوربتالات  $e$  و  $t_2$  ، لنضع معقداً رباعي السطوح في تجمع من المحاور الاحداثية ، كما هو مبين في الشكل 9.10 . مرة اخرى ، يمكن اجراء مقارنة بين أحد اوربتالات  $e$  وواحد من اوربتالات  $t_2$  ، ومن المحتمل ان افضل اختيار لملاحظة الطاقات الإلكترونية استاتيكية النسبية هو ، مرة اخرى الزوج من الاوربتالين  $d_{xy}$  و  $d_{x^2-y^2}$  . يكون الاختلاف هنا اقل كثيراً مما هو عليه في حالة ثماني السطوح ، لكنه يمكن ان يلاحظ وصفاً ان الإلكترون في اوربتال  $d_{xy}$  يمتلك طاقة جهد اعلى من الإلكترون في اوربتال  $d_{x^2-y^2}$  . اذا اشرنا الى الفرق بالطاقة بين اوربتالات  $e$  و  $t_2$  بالرمز  $\Delta_t$  ، امكن استعمال مناقشة مشابهة تماماً للمناقشة المستعملة

في حالة ثماني السطوح اذ تبين ان طاقات اوربتالات  $t_2$  و  $e$  نسبة الى طاقاتها في الغلاف الكروي للشحنة الكلية نفسها يكون كما هو مبين في الشكل 92



شكل 910 المحيط الالكتروستاتيكي للايون الموح المحاط بترتيب رباعي السطوح من الايونات السالبة او المردوحات القطبية

من المفيد ملاحظة انه عند كتابة العلاقات التفصيلية لكل من  $\Delta_0$  و  $\Delta_t$  حسب تقريب المجال البلوري الالكتروستاتيكي النقي يتضح ان هاتين الكميتين للشحنات المتساوية ومسافات فلز - ليكاند المتساوية تكون في حدود النسبة

$$\Delta_t/\Delta_0 = \frac{4}{9}$$

وحتى لو كانت القيم المطلقة المحسوبة حسب هذا النموذج ، كما لوحظ سابقاً - غير صحيحة كلياً ، لاصبحت النسبة في توافق تقريبي مع التجربة

### نظرية المجال الليكاندي :

تعد هذه النظرية تطوراً لنظرية المجال البلوري حيث حذفت فرضية كون الغلاف المملوء جزئياً بالالكترونات يتألف من اوربتالات  $d$  النقية . وعوضاً عن ذلك ، افترض وجود التداخل بين اوربتالات  $d$  للفلز واوربتالات ذرات الليكاند

هناك اثباتات مختلفة تشير الى انه حتى في المعقدات حيث يتوقع ان يكون الارتباط ايونياً كما في معقدات سداسي الفلور مثل  $\text{CoF}_6^{3-}$  والايونات المائية مثل  $[\text{Fe}(\text{H}_2\text{O})_6]^{2+}$  يحدث التداخل بين اوربتالات الفلز والليكاند ، الى درجة بسيطة لكنها مهمة . وهكذا ،

توجد اثباتات مباشرة من دراسات ESR و NMR هي ان للكثافة البرمية لالكترونات  $d$  قيمة محدودة عند النوى في جزيئات الليكاند. ويحدث في الحقيقة عدم تمركز الالكترن في اوربتالات الليكاند. وتبين الحسابات العددية من هذه القيم ان الوقت الذي يقضيه الكترون  $d$  في اوربتالات ذرة الليكاند في النوعيات مثل  $\text{IrCl}_6^{2-}$  ( في  $\text{MnF}_2$  )  $\text{MnF}_6^{4-}$  يقرب من النسبة  $2-5$  / لكل ذرة ليكاند. يستنتج من ذلك ان لاوربتالات  $d$  نسبة  $10 \pm 80\%$  من خاصية  $d$  و  $10-30\%$  من خاصية اوربتال الليكاند.

وتتفق مع هذه الملاحظات حقيقة ان طاقات التنافر ما بين الالكترونات في المعقدات . التي تكون مسؤولة عن الفرق بالطاقة بين الحدود المختلفة لترتيب  $d^n$  ، انما هي بنسبة  $70\%$  من قيمتها في الايونات الحرة .

وتظهر نتيجتان عمليتان من معرفة وجود التداخل بين اوربتالات الفلز والليكاند : اولاهما ، استبعاد اي امل في اجراء حسابات تسبق انقسام الاوربتالات حسب النموذج الالكتروستاتيكي باستخدام دوال  $d$  الموجية النقية . وتبقى العلاقات الالكتروستاتيكية لطاقات اوربتالات  $d$  صحيحة في شكلها العام . لكن حدود المجال البلوري وشحنة او المزدوج القطبي لليكاند والمسافة بين الفلز والليكاند والجزء نصف القطري من الدوال الموجية لاوربتالات  $d$  تفقد الآن اهميتها الفيزيائية الكلية ويجب ان تعد دوال معدلة الحدود .

والثانية تبدو في بناء مخططات مستوى الطاقة لترتيب  $d^n$  حيث يجب ترك المسافات الفاصلة بين الحدود المختلفة للايون الحردوال لتعديل حدود التنافر ما بين الالكترونات . بدلا من وضعها بشكل قيم الايون الحر . وتفسر مخططات مستوى الطاقة العملية . كالمخططات المبينة في الشكل 9.5 . بجعل المسافات الفاصلة لحد الايون الحر مساوية  $75\%$  من المسافات الملاحظة طيفياً للايونات الحرة الغازية .

### مقارنة مع نظرية الاوربتال الجزيئي :

يبين البحث في الشكلين ( 8.13 ) و ( 8.15 ) لمخططات مستوى طاقة الاوربتال الجزيئي لمعقدات ثماني ورباعي السطوح ، على التوالي . ان نظرية المجال البلوري او المجال الليكاندي مناسبة لمعالجة بنية المعقد الالكترونية ومناسبة للصورة الكاملة التي تعطيها معالجة الاوربتال الجزيئي . وتسمى اوربتالات ( $d$  لايون الفلز) الاسهام الكبير في اوربتالات  $e_g$  و  $t_{2g}$  ( ثماني السطوح أو  $e_g$  و  $t_{2g}$  ) رباعي السطوح ( الواقعة في مراكز

النسخة العربية التي بين ايدينا تنقصها الصفحات  
من 321 الى 336  
لذلك استعضنا عنها بادخال الصفحات المقابلة  
من الاصل الانجليزي

### Comparison with Molecular Orbital Theory

Inspection of Figures 8.14 and 8.11, the MO energy level diagrams for octahedral and tetrahedral complexes, respectively, shows how the crystal field or ligand field treatment of the electronic structure of a complex fits into the complete picture which an MO treatment provides. The  $d$  orbitals of the metal ion provide the major contribution to the  $e_g$  and  $t_{2g}$  (octahedral) or  $e$  and  $t_2$  (tetrahedral) orbitals lying in the center of the diagrams. Moreover, all MOs lower in energy than these are filled with electrons that originate in ligand orbitals, and indeed the MOs in which these "ligand" electrons now reside are made up mainly of the original ligand orbitals. The  $e$  and  $t_2$  orbitals contain the electrons that were originally in the pure  $d$  orbitals of the uncomplexed metal ion.

The crystal and ligand field theories were developed to deal with only those properties of the complexes that are derived directly from the set of electrons originally occupying the  $d$  orbitals of the metal ion. Since these orbitals are the principal parents of the  $e$  and  $t_2$  MOs of the complex it is not unreasonable to treat the latter as though they were nothing more than split (crystal field theory) or split and somewhat diluted (ligand field theory) metal  $d$  orbitals. It is clear, however, that such a view can be only an approximation—indeed, a fairly ruthless one. Yet, with judicious empirical choice of one or more

disposable parameters (the splitting energy, at least, and perhaps also the interelectronic repulsion energy and the spin-orbit coupling constant) the approximation has great practical utility for certain purposes. Specifically, it is rather good for fitting electronic spectra when only “*d-d*” transitions are involved and for interpreting magnetic behavior when the unpaired electrons occupy only “*d*” orbitals. The crystal and ligand field theories are, however, formalisms and cannot ever give complete and literal descriptions of the entire electronic structures of complexes.

## 9.6 SELECTION RULES AND POLARIZATIONS

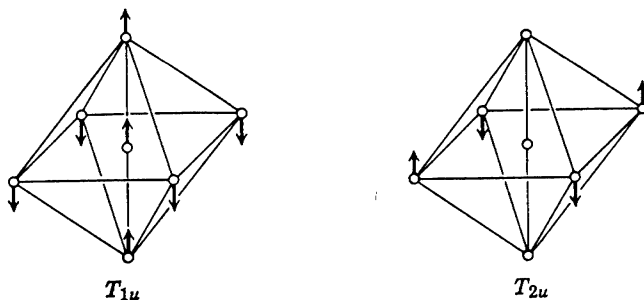
In Section 5.3 the general symmetry restrictions on transitions occurring by dipolar interaction with electromagnetic radiation were discussed. Here they will be invoked with particular reference to electronic transitions on metal ions in ligand fields.

### Centrosymmetric Complexes, Vibronic Coupling

In a complex that possesses a center of symmetry, all states arising from a  $d^n$  configuration have the *g* character inherent in the *d* orbitals. Since the dipole moment vectors belong to odd representations, all of the integrals such as  $\int \psi'_g x \psi_g d\tau$  are identically zero because the direct product of two *g* functions can never span any *u* representations. On this basis alone, we would predict that transitions between the various states arising from  $d^n$  configurations in octahedral environments would have zero absorption intensity. In fact, these transitions do take place but the absorption bands are only  $\sim 10^{-3}$  times the intensity expected for symmetry allowed electronic transitions. Thus the prediction we have made is substantially correct, but at the same time there is obviously some intensity giving mechanism that has been overlooked.

It is generally accepted, following Van Vleck, that this mechanism is one called vibronic coupling—that is, a coupling of *vibrational* and *electronic* wave functions. In a qualitative sense we may say that some of the vibrations of the complex distort the octahedron in such a way that the center of symmetry is destroyed as the vibration takes place. The states of the  $d^n$  configuration then no longer retain rigorously their *g* character, and the transitions become “slightly allowed.” Figure 9.11 shows the approximate nature of several of the modes of vibration of an octahedron which do destroy the symmetry center.

This phenomenon of vibronic coupling can be treated very effectively by using group theoretical methods. As will be shown in Chapter 10, the vibrational wave function of a molecule can be written as the product of wave functions for individual modes of vibration called *normal modes*, of which there will be  $3n - 6$  for a nonlinear, *n*-atomic molecule. That is, we can



**Figure 9.11** Two of the normal vibrations of an octahedral  $AB_6$  molecule in which the displacements of the atoms destroy the center of symmetry. Another type of  $T_{1u}$  vibration, not shown here, has the same property.

express the complete vibrational wave function,  $\psi_v$ , as a product of  $3n - 6$  functions each pertaining to one of the normal modes, namely,

$$\psi_v = \prod_{i=1}^{3n-6} \psi_i$$

It is further shown in Chapter 10 that, when each of the normal modes is in its ground state, each of the  $\psi_i$  is totally symmetric and hence  $\psi_v$  is totally symmetric. If one of the normal modes is excited by one quantum number, the corresponding  $\psi_i$  may then belong to one of the irreducible representations other than the totally symmetric one, say  $\Gamma_i$ , and thus the entire vibrational wave function  $\psi_v$  will belong to the representation  $\Gamma_i$ . Simple methods for finding the representations to which the first excited states of the normal modes belong are explained in Chapter 10. In this section we will quote without proof results obtained by these methods.

To a first approximation, and usually a rather good one, the complete wave function  $\Psi$  for a molecule can be written as a product of an electronic wave function  $\psi_e$ , a vibrational wave function  $\psi_v$ , and a rotational wave function  $\psi_r$ :

$$\Psi = \psi_e \psi_v \psi_r$$

It is then assumed that none of these factors of the complete wave function are interdependent, so that instead of having to solve one large wave equation

$$\mathcal{H}\Psi = E\Psi$$

it is possible to solve three simpler ones:

$$\mathcal{H}\psi_e = E_e\psi_e$$

$$\mathcal{H}\psi_v = E_v\psi_v$$

$$\mathcal{H}\psi_r = E_r\psi_r$$

and write the total energy as a simple sum of the electronic, vibrational, and rotational energies, namely,

$$E = E_e + E_v + E_r$$

This is, of course, only an approximation. Although it works well for many purposes, one of its limitations is that it cannot explain the low but nonzero intensity of the transitions between states of  $d^n$  configurations in centrosymmetric environments as we have shown above.

The way out of the difficulty is to drop the assumption that  $\psi_e$  and  $\psi_v$  are entirely independent, though retaining the approximation that  $\psi_r$  can be treated as independent of these other two. Thus it is not the values of integrals like

$$\int \psi'_e x \psi_e d\tau$$

which we must consider, but rather the values of the integrals

$$\int (\psi'_e \psi'_v) x (\psi_e \psi_v) d\tau$$

It is easy to show by symmetry arguments that the latter do not in general vanish. First, we note that, if we assume that in the lower state,  $\psi_e \psi_v$ , the molecule is in its vibrational ground state,  $\psi_v$  is totally symmetric and we can ignore it. Our problem then is to decide whether there are any vibrational wave functions belonging to representations such that, although the direct product representation of  $\psi'_e x \psi_e$  does not contain the totally symmetric representation, the direct product representation of  $\psi'_e \psi'_v x \psi_e$  does. Whenever this is so the transition will be vibronically allowed. According to the results of Section 5.2, the integral will be nonzero if there is any normal mode of vibration whose first excited state,  $\psi'_v$ , belongs to one of the representations spanned by  $\psi'_e x \psi_e$ .

In order to show how this is done let us take a simple example. For the ion  $[\text{Co}(\text{NH}_3)_6]^{3+}$ , the ground state  $\psi_e$  transforms as  ${}^1A_{1g}$ . There are two excited states with the same spin ( $S = 0$ ), which belong to the representations  $T_{1g}$  and  $T_{2g}$ . In the group  $O_h$  the coordinates  $x, y, z$  jointly form a basis for the  $T_{1u}$  representation. Thus, for the  ${}^1A_{1g} \rightarrow {}^1T_{1g}$  transition the direct product representation of  $\psi'_e(x, y, z)\psi_e$  is given by

$$\begin{aligned}\Gamma[\psi'_e(x, y, z)\psi_e] &= T_{1g} \times T_{1u} \times A_{1g} \\ &= T_{1g} \times T_{1u}\end{aligned}$$

This can be reduced to

$$A_{1u} + E_u + T_{1u} + T_{2u}$$



Thus, if there are any normal vibrations whose first excited states belong to any of these representations, there will be nonvanishing intensity integrals. By the methods of Chapter 10 it is easily found that the symmetries of the normal modes of an octahedral  $AB_6$  molecule are

$$A_{1g}, E_g, 2T_{1u}, T_{2g}, T_{2u}$$

Thus, while the pure electronic transition  ${}^1A_{1g} \rightarrow {}^1T_{1g}$  is not allowed, all the transitions in which there is simultaneous excitation of a vibration of  $T_{1u}$  or  $T_{2u}$  symmetry are allowed.

Similarly, for an  ${}^1A_{1g} \rightarrow {}^1T_{2g}$  transition, we find

$$\begin{aligned}\Gamma[\psi'_e(x, y, z)\psi_e] &= T_{2g} \times T_{1u} \times A_{1g} \\ &= T_{2g} \times T_{1u} \\ &= A_{2u} + E_u + T_{1u} + T_{2u}\end{aligned}$$

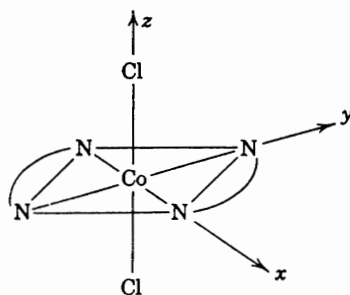
Thus the  ${}^1A_{1g} \rightarrow {}^1T_{2g}$  transition can also occur so long as there is simultaneous excitation of a  $T_{1u}$  or  $T_{2u}$  vibration.

### Vibronic Polarization

For an octahedral complex we see that the direction of vibration of the electric vector of the light makes no difference, for the directions  $x$ ,  $y$ , and  $z$  are equivalent in the sense that they are interchangeable by the symmetry operations of the molecule. However, in less symmetrical complexes in which  $x$ ,  $y$ , and  $z$  do not all belong to the same representation, we encounter the phenomenon of *polarization*.

Let us suppose that we place a polarizing prism between the light source and the sample. If the sample is a single crystal in which all of the molecules have the same orientation relative to the crystallographic axes, we can so orient the crystal that the direction of the electric vector of the light will correspond to the  $x$ ,  $y$ , or  $z$  direction in a coordinate system for the molecule. It is then possible that some transition may occur for only one or two of these orientations but not for all three.

As an example, let us consider a *trans*-substituted octahedral complex such as *trans*-dichlorobisethylenediaminecobalt(III), which is pictured in Figure 9.12 with a set of coordinate axes. Although the symmetry is no longer cubic, there is still a center of inversion so that  $d-d$  transitions can have nonzero intensity only if there is vibronic coupling. Since it is only vibrations in the part of the molecule including and immediately surrounding the cobalt ion which would be expected to have any appreciable interaction with the electronic wave functions of the metal ion, we shall restrict attention to the normal vibrations of a *trans*-[CoCl<sub>2</sub>N<sub>4</sub>] group, which has local symmetry  $D_{4h}$ . The



**Figure 9.12** A sketch of the *trans*-dichlorobisethylenediaminecobalt(III) ion showing a set of reference axes.

methods of Chapter 10 will tell us that for such a group the first excited states of the normal modes have the following symmetries:

$$2A_{1g}, B_{1g}, B_{2g}, E_g, 2A_{2u}, B_{1u}, 3E_u$$

For the *trans*-dichloro complex the ground state will be a  ${}^1A_{1g}$  state, as in a strictly octahedral complex, but the excited singlet states  ${}^1T_{1g}$  and  ${}^1T_{2g}$  will be split as follows (cf. the correlation table, Appendix IIB):

$$T_{1g} : A_{2g} + E_g$$

$$T_{2g} : B_{2g} + E_g$$

Thus the possible transitions from the ground state to excited states will be of the following types so far as the symmetry of the electronic states is concerned:

$$1. A_{1g} \rightarrow A_{2g}$$

$$2. A_{1g} \rightarrow B_{2g}$$

$$3. A_{1g} \rightarrow E_g$$

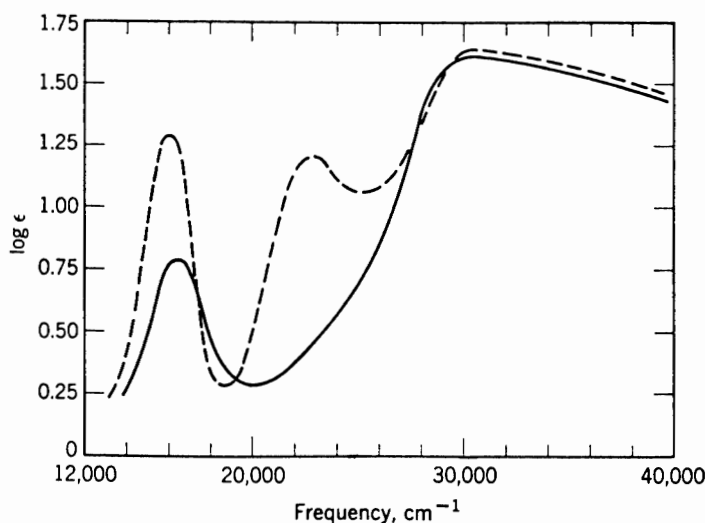
For these transitions we obtain the following results for the representations of the purely electronic dipole integrals:

	$A_{1g} \rightarrow A_{2g}$	$A_{1g} \rightarrow B_{2g}$	$A_{1g} \rightarrow E_g$
$\int \psi'_e z \psi_e d\tau$	$A_{1u}$	$B_{1u}$	$E_u$
$\int \psi'_e(x, y) \psi_e d\tau$	$E_u$	$E_u$	$A_{1u} + A_{2u} + B_{1u} + B_{2u}$

Comparing these results with the list of the symmetries of the first excited states of the normal vibrations, we can immediately write the following predictions for the polarizations of the transitions:

Transition	Polarization with Vibronic Coupling	
	<i>z</i>	( <i>x</i> , <i>y</i> )
$A_{1g} \rightarrow A_{2g}$	Forbidden	Allowed
$A_{1g} \rightarrow B_{2g}$	Allowed	Allowed
$A_{1g} \rightarrow E_g$	Allowed	Allowed

These results have actually been used to analyze experimental data. Figure 9.13 shows the experimental observations of Yamada et al.\* on *trans*-[Co(en)<sub>2</sub>Cl<sub>2</sub>]Cl·HCl·2H<sub>2</sub>O. It can be seen that there are three regions of absorption. From ~27,000 to ~40,000 cm<sup>-1</sup> the absorption exhibits no significant polarization. At ~22,000 cm<sup>-1</sup> there is a strongly polarized band that is absent for light parallel to *z* but present for light perpendicular to *z*, while at ~16,000 cm<sup>-1</sup> there is a band that shows some difference in intensity for the two directions of polarization but is clearly present in both. The results of the above analysis permit a simple interpretation of these observations.



**Figure 9.13** Dichroism of *trans*-[Co(en)<sub>2</sub>Cl<sub>2</sub>]<sup>+</sup> after the results of Yamada et al. on *trans*-[Co(en)<sub>2</sub>Cl<sub>2</sub>]Cl·HCl·2H<sub>2</sub>O. The full line shows the spectrum with light polarized parallel (or nearly parallel) to the Cl—Co—Cl axis, and the dashed line shows the spectrum with light polarized perpendicular to the Cl—Co—Cl axis.

\* S. Yamada et al., *Bull. Chem. Soc. Jpn.*, **25**, 127 (1952); **28**, 222 (1955).

The bands at  $\sim 16,000$  and  $\sim 22,000$   $\text{cm}^{-1}$  are assigned, respectively, to transitions to the  $E_g$  and  $A_{2g}$  components of the  $T_{1g}$  state existing in  $O_h$  symmetry, since an  $A_{1g} \rightarrow E_g$  transition is vibronically allowed for both directions, but an  $A_{1g} \rightarrow A_{2g}$  transition is vibronically forbidden for  $z$  polarization. The broad absorption above  $\sim 27,000$   $\text{cm}^{-1}$  may be assigned to the unresolved transitions from the  $A_{1g}$  ground state to the  $E_g$  and  $B_{2g}$  states coming from the  $T_{2g}$  state for  $O_h$  symmetry. An interpretation along these lines was first given by Ballhausen and Moffitt,\* who also showed that independent calculations and experimental evidence would lead to the expectation that the order of the excited levels should be as postulated in order to explain the polarization data.

### Noncentrosymmetric Complexes

When the complex lacks a center of symmetry even in its equilibrium configuration, the “ $d$ - $d$ ” transitions become allowed as simple changes in the electronic wave functions. The breadth of the absorption bands shows that the electronic transitions are still accompanied by vibrational changes, but these vibrational changes are not in themselves essential to the occurrence of the transition. It is believed that the way in which the noncentrosymmetric ligand field alters the  $d$  wave function so that the states of the “ $d^n$ ” configuration no longer have rigorous  $g$  character is by making possible the mixing of  $d$  and  $p$  orbitals. We have already shown on page 211 that in a tetrahedral field the  $p$  orbitals and the  $d_{xy}$ ,  $d_{xz}$ , and  $d_{yz}$  orbitals belong to the same ( $T_2$ ) representation, and that to some finite degree each of the two sets of  $T_2$  orbitals which will be found among the orbitals arising from the valence shell atomic orbitals of a transition metal atom must have both  $p$  and  $d$  character. Then, if two different electronic states of the “ $d^n$ ” configuration of a metal ion contain different amounts of  $p$  character, a transition from one to the other will be to a certain extent a  $d \rightarrow p$  or  $p \rightarrow d$  transition, which is highly allowed even in the free atom since the  $d$  orbitals are even to inversion and the  $p$  orbitals odd. The exact extent to which this mixing occurs and the resulting intensity of the transition must, of course, be computed using explicit wave functions, but symmetry considerations alone can tell us whether it is possible for a particular transition to acquire any intensity at all in this way.

As a first illustration let us consider the optical transitions in a tetrahedral complex of Co(II). The ground state belongs to the  $A_2$  representation of the tetrahedral point group  $T_d$ , and there are two excited states of  $T_1$  symmetry and one of  $T_2$  symmetry. The character table for  $T_d$  tells us that the coordinates  $x$ ,  $y$ , and  $z$  form a basis for the  $T_2$  representation. For the  $A_2 \rightarrow T_1$  transitions we then see that the intensity integral will span the representations in the direct product of  $A_2 \times T_1 \times T_2$ , and this reduces as follows:

$$A_2 \times T_1 \times T_2 = A_1 + E + T_1 + T_2$$

\* C. J. Ballhausen and W. Moffitt, *J. Inorg. Nucl. Chem.*, **3**, 178 (1956).

Since the  $A_1$  representation is present, it follows that these transitions are allowed by the symmetry of the purely electronic wave functions. For the  $A_2 \rightarrow T_2$  transition we must consider the direct product  $A_2 \times T_2 \times T_2$ , which reduces as follows:

$$A_2 \times T_2 \times T_2 = A_2 + E + T_1 + T_2$$

We see that the  $A_2 \rightarrow T_2$  transition is not allowed by the symmetry of the pure electronic wave functions and that whatever intensity it may have must be attributed to vibronic interaction. In agreement with this prediction, it has been found that the  $A_2 \rightarrow T_2$  transition is observed but with an intensity 10 to 100 times smaller than the intensities of the  $A_2 \rightarrow T_1$  transitions in the systems [e.g., Co(II) in ZnO] that have been studied.

### Polarization of Electronically Allowed Transitions

Just as with vibronically allowed transitions, in symmetry groups in which all Cartesian axes are not equivalent (noncubic groups), it is found that, in general, transitions will be allowed only for certain orientations of the electric vector of the incident light. One class of compounds in which this phenomenon has been studied both theoretically and experimentally consists of trischelate compounds such as tris(acetylacetonato)M(III) and tris(oxalato)M(III) complexes. In these complexes the six ligand atoms form an approximately octahedral array but the true molecular symmetry is only  $D_3$ . Since there is no center of symmetry in these molecules, the pure electronic selection rules might be expected to be dominant.

For the tris(oxalato)Cr(III) ion,  $[\text{Cr}(\text{C}_2\text{O}_4)_3]^{3-}$ , the electronic states are those into which the states of a complex of  $O_h$  symmetry are reduced when the symmetry is reduced to  $D_3$ . From the correlation table (Appendix IIB) we see that the correlation of the  $O_h$  and  $D_3$  states is as follows:

$O_h$	$D_3$
$A_{2g}$	$A_2$ (ground state)
$T_{1g}$	$A_2 + E$
$T_{2g}$	$A_1 + E$

Thus in  $D_3$  symmetry we want to know the polarizations of the following types of transitions:  $A_2 \rightarrow A_1$ ,  $A_2 \rightarrow A_2$ , and  $A_2 \rightarrow E$ . Noting in the character table for  $D_3$  that  $z$  belongs to the  $A_2$  representation and  $(x, y)$  to the  $E$  representation, we obtain the following results for the irreducible representations spanned by the dipole integrals for each of these transitions:

	$A_2 \rightarrow A_1$	$A_2 \rightarrow A_2$	$A_2 \rightarrow E$
$\int \psi'_e z \psi_e d\tau$	$A_1$	$A_2$	$E$
$\int \psi'_e(x, y) \psi_e d\tau$	$E$	$E$	$A_1 + A_2 + E$

Thus the selection rules are

Transition	Polarization of Incident Radiation	
	$z$	$(x, y)$
$A_2 \rightarrow A_1$	Allowed	Forbidden
$A_2 \rightarrow A_2$	Forbidden	Forbidden
$A_2 \rightarrow E$	Forbidden	Allowed

It can be seen that these are very powerful selection rules indeed. On the other hand, we might have assumed that the symmetry of the environment of the metal ion could have been adequately approximated by considering only the six coordinated oxygen atoms. In this case, the symmetry would be  $D_{3d}$ , in which there is a center of inversion and the transitions would be governed by vibronic selection rules. When these are worked out, it is found that all of the transitions are vibronically permitted. Thus, experimental study of the polarizations should provide clear-cut evidence as to the correct effective symmetry and selection rules. Such a study has been reported\* and shows conclusively that the selection rules followed are those given above for pure electronic transitions in  $D_3$  symmetry.

## 9.7 DOUBLE GROUPS

In Section 9.3 we showed that for an orbital or state wave function having angular momentum quantum number  $l$  (or  $L$ ) the character of the representation for which this forms a basis, under a symmetry operation that consists of rotation by an angle  $\alpha$ , is given by

$$\chi(\alpha) = \frac{\sin(l + \frac{1}{2})\alpha}{\sin \alpha/2} \quad (9.3-2)$$

\* T. S. Piper and R. L. Carlin, *J. Chem. Phys.*, **35**, 1809 (1961). These authors also give selection rules and experimental data for the oxalato complexes of the trivalent ions of Ti, V, Mn, Fe, and Co.

We then applied this formula to various types of single-electron wave functions, for example  $s$ ,  $p$ ,  $d$ ,  $f$ ,  $g$ , and to wave functions for various Russell–Saunders terms characterized by integral values of the quantum number  $L$ .

There are, however, many cases of interest in which we may want to determine the splitting of a state that is well characterized by its total angular momentum,  $J$ . This will in fact be the only thing of importance in the very heavy elements, for example, the rare earth ions, where states of particular  $L$  cannot be used since the various free-ion states of different  $J$  are already separated by much greater energies than the crystal field splitting energies.

Now  $J = L + S$ , and for ions with an odd number of electrons  $S$  and hence  $J$  must be half-integral numbers. For states in which  $J$  is an integer, the characters can be obtained by using the above formula with  $l$  replaced by  $J$ . However, when  $J$  is half-integral a difficulty arises. We know that a rotation by  $2\pi$  is an identity operation and therefore it should be true that

$$\chi(\alpha) = \chi(\alpha + 2\pi)$$

It can easily be seen that this is true when  $L$  or  $J$  is an integer. However, when  $J$  is half-integral we have

$$\begin{aligned}\chi(\alpha + 2\pi) &= \frac{\sin(J + \frac{1}{2})(\alpha + 2\pi)}{\sin(\alpha + 2\pi)/2} = \frac{\sin[(J + \frac{1}{2})\alpha + 2\pi]}{\sin[\alpha/2 + \pi]} \\ &= \frac{\sin(J + \frac{1}{2})\alpha}{-\sin \alpha/2} \\ &= -\chi(\alpha)\end{aligned}$$

Since the characters of a representation must be uniquely defined, we see that those we would obtain by the above procedure when  $J$  is half-integral cannot belong to true representations.

A simple device for avoiding this difficulty was proposed by Bethe. We introduce the fiction (mathematically possible but not physically significant) that rotation by  $2\pi$  be treated as a symmetry operation but not as an identity operation. We must then expand any ordinary rotation group by taking the product of this new operation, which we shall call  $R$ , with all of the existing rotations. The new group will therefore contain twice as many operations and more classes and representations (though not twice as many) than the simple rotation group with which we start. This new group is called a *double group*.

In working out the various products  $C_n^m R$  and  $RC_n^m$ , we first note that two rotations about the same axis commute so that  $C_n^m R = RC_n^m$ . If  $n = 2$  we have  $RC_2$ , which is a special case since

$$\chi(\pi) = \chi(3\pi) = 0$$

For rotation by any other angle, namely,  $m2\pi/n$ , it is not difficult to show that the following equality holds generally:

$$\chi(m2\pi/n + 2\pi) = \chi[(n - m)2\pi/n]$$

In order to evaluate the characters of  $E$  and  $R$ , that is  $\chi(0)$  and  $\chi(2\pi)$ , we must evaluate the limit of an indeterminate form, for as  $\alpha \rightarrow 0$  or  $\alpha \rightarrow 2\pi$ ,

$$\frac{\sin (J + \frac{1}{2})\alpha}{\sin \alpha/2} \rightarrow \frac{0}{0}$$

This may easily be done by using l'Hôpital's rule, and the results are

$$\begin{aligned} \chi(0) &= 2J + 1 \\ \chi(2\pi) &= \begin{cases} 2J + 1 & \text{when } J \text{ is an integer} \\ -(2J + 1) & \text{when } J \text{ is a half-integer} \end{cases} \end{aligned}$$

After we have worked out the characters for all of the new operations,  $C_n^m R$ , of the double group, we will then collect them into classes, using the same rule as for simple groups, namely, that all operations having the same characters are in the same class. Thus in general we shall find the following classes in double rotation groups:

1.  $E$
2.  $R$
3.  $C_2$  and  $C_2 R$
4.  $C_n$  and  $C_n^{n-1} R$
5.  $C_n^m$  and  $C_n^{n-m} R$

We can then determine the number and dimensions of the irreducible representations by using the familiar rules that there are as many irreducible representations as there are classes and that the sum of the squares of the dimensions of the irreducible representations must equal the group order.

In order to illustrate this procedure let us consider the group  $D_4$  and the corresponding double group  $D_4'$ . The 8 operations of  $D_4$  are  $E$ ,  $C_4$ ,  $C_4^3$ ,  $C_2$ ,  $2C_2'$ ,  $2C_2''$ . According to the general results given above, the 16 operations of  $D_4'$  may be arranged into the following classes:

$$\begin{array}{cccccc} E & R & C_4 & C_4^3 & C_2 & 2C_2' & 2C_2'' \\ & & C_4^3 R & C_4 R & C_2 R & 2C_2' R & 2C_2'' R \end{array}$$

Since there are 7 classes, there must be seven irreducible representations,



and their orders,  $l_i$ , must satisfy the equation

$$l_1^2 + l_2^2 + l_3^2 + l_4^2 + l_5^2 + l_6^2 + l_7^2 = 16$$

It is easy to convince oneself that the only combination of positive integers satisfying this equation is 1, 1, 1, 1, 2, 2, 2. Thus there are four one-dimensional and three two-dimensional irreducible representations of the double group  $D_4'$ .

Double groups are of greatest importance for transition metal complexes. In Appendix V we give the character tables for the double groups  $D_4'$  and  $O'$  corresponding to the simple rotation groups  $D_4$  and  $O$ . Several features of these tables should be noted. First, there are two systems for labeling the representations. One is an adaptation of the Mulliken system for simple groups, in which we use primed Mulliken symbols. The other is Bethe's original system, in which we use a serially indexed set of  $\Gamma_i$ 's. Second, it will be noted that among the representations of the double groups are all the representations of the simple group. Whenever we form a representation using a wave function having an integral value of angular momentum,  $l$ ,  $L$ ,  $S$ , or  $J$ , it will either be one of these representations or it will be reducible to a sum of only these representations. In other words, when the angular momentum quantum number used is integral, we have no need of the double group. However, when the angular momentum quantum number,  $s$ ,  $S$ , or  $J$ , is half-integral, we will obtain one of the new representations not occurring in the simple group, or a representation that can be reduced to a sum containing only these new irreducible representations. It will be noted that all of these new representations have an even order, 2, 4, and so on. Thus all wave functions of a system must be at least twofold degenerate. This is a manifestation of Kramer's theorem that in the absence of an external magnetic field the spin degeneracy of a system having an odd number of electrons must always persist even when the low symmetry of the environment lifts all other degeneracies.

The direct products of representations of double groups can be taken in the usual way and reduced to sums of irreducible representations.

In order to illustrate the utility of double groups let us consider several examples. Suppose that we have an ion with one  $d$  electron in a planar complex. Real examples of this case are represented by complexes of Cu(II) and Ag(II) (where we virtually have one positron, but this behaves as one electron except in the signs of the energies). In each case there will be two states with  $J$  values  $l \pm \frac{1}{2} = 2 \pm \frac{1}{2}$ , namely,  $J = \frac{3}{2}$  and  $J = \frac{5}{2}$ . Using 9.3-2, we find that these form bases for the following representations:

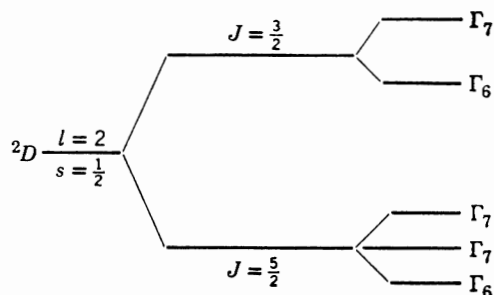
$D_4'$	$E$	$R$	$2C_4$	$2C_4R$	$2C_2$	$4C_2'$	$4C_2''$
$\Gamma_{3/2}$	4	-4	0	0	0	0	0
$\Gamma_{5/2}$	6	-6	$-\sqrt{2}$	$\sqrt{2}$	0	0	0

These can be reduced in the standard way, giving

$$\Gamma_{3/2} = \Gamma_6 + \Gamma_7$$

$$\Gamma_{5/2} = \Gamma_6 + 2\Gamma_7$$

The procedure we have used would be particularly appropriate in the case of Ag(II), where the two  $J$  states are already well separated in the free ion because of a very large spin-orbit coupling. An energy level diagram of the following sort could then be drawn:



This illustrates how the two  $J$  states would be further split by an environment of  $D_{4h}$  symmetry.

If the spin-orbit coupling is relatively small, we might wish to consider first the splitting of the  $^2D$  state by the environment and then the further splitting of the resulting states by spin-orbit coupling. To do this we first use the  $D_{4h}$  character table to find that the  $^2D$  state splits into  $A_{1g}$ ,  $B_{1g}$ ,  $B_{2g}$ , and  $E_g$ . These representations in  $D_{4h}$  can easily be seen to correspond to  $A_1$ ,  $B_1$ ,  $B_2$ , and  $E$  in  $D_4$ , and to  $\Gamma_1$ ,  $\Gamma_3$ ,  $\Gamma_4$ , and  $\Gamma_5$  in  $D'_4$ . This analysis has dealt with the orbital part of the wave function (see Section 9.2, especially 9.2-1). For the spin part,  $\psi_s$  in 9.2-1, we find the representation for which the spin angular momentum,  $s = \frac{1}{2}$ , forms a basis in the double group  $D'_4$ . Using the formulas given above, we easily obtain

$D'_4$	$E$	$R$	$2C_4$	$2C_4R$	$2C_2$	$4C'_2$	$4C''_2$
$\Gamma_{1/2}$	2	-2	$\sqrt{2}$	$-\sqrt{2}$	0	0	0

Thus

$$\Gamma_{1/2} = \Gamma_6$$

Now, to find the representation of a wave function that is a product of two other functions we must obtain the representation of the direct product of the two functions. The characters of this representation are the products of

the characters of the representations of the two functions. Thus, using the character table for  $D_4'$ , we obtain the results

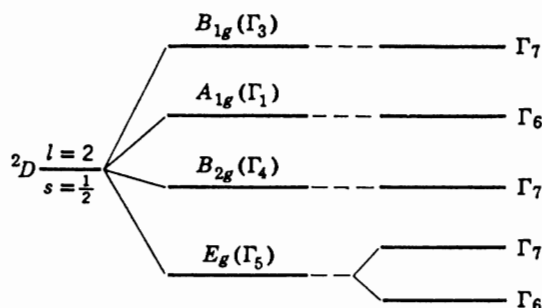
$$\Gamma_1 \times \Gamma_6 = \Gamma_6$$

$$\Gamma_3 \times \Gamma_6 = \Gamma_7$$

$$\Gamma_4 \times \Gamma_6 = \Gamma_7$$

$$\Gamma_5 \times \Gamma_6 = \Gamma_6 + \Gamma_7$$


Of course the final results are the same as those previously obtained. The manner in which we obtain them is unimportant so far as pure symmetry considerations are concerned. Normally, however, we would choose the first method in a case where we expected the splitting between the free-ion states with  $J = \frac{3}{2}$  and  $J = \frac{5}{2}$  to be greater than the further splittings caused by the environments, and the second method when we expected the splitting of the Russell–Saunders term,  $^2D$ , by the environment to be much larger than the splittings resulting from spin-orbit coupling. In the latter case our energy level diagram for one electron might look somewhat as follows:



In this example the relative order of the orbitals is somewhat arbitrary. Only by solving an appropriate wave equation could the actual order be determined in a particular case, but the result would have to correspond with this diagram in regard to the types and the number of each type of wave functions obtained.

## EXERCISES

- 9.1 Use the subgroup  $C_{2v}$  in the method of descending symmetry to verify the correlation of Figure 9.3.
- 9.2 Select an appropriate subgroup of  $T_d$  and verify Figure 9.4 by the method of descending symmetry.

- 9.3** The selection and polarization rules for magnetic dipole-allowed transitions are given by a set of integrals of the type 5.3-3 in which the transition moment operators have the same symmetry properties as the rotations,  $R_x$ ,  $R_y$ ,  $R_z$ . The magnetic dipole mechanism is weaker by several orders of magnitude than the electronic dipole one, but in centrosymmetric situations, where  $d-d$  transitions are not electric dipole allowed, magnetic dipole and vibronic mechanisms both need to be considered to explain the weak bands. Work out the magnetic dipole polarizations for *trans*-[Coen<sub>2</sub>Cl<sub>2</sub>]<sup>+</sup>. Are they consistent with the observations or not? 
- 
- 9.4** How will the  $d$  orbitals split in a trigonal bipyramidal environment? Using a crystal field (pure point charge) model, determine what the relative energies of the orbitals will be.
- 9.5** If an octahedron is distorted by stretching it along one threefold axis, it becomes a trigonal antiprism with  $D_{3d}$  symmetry. The  $d$  orbital splitting pattern becomes  $(d_{xz}, d_{yz})$   $\Delta E_1$  above  $d_{z^2}$ , and  $d_{z^2}$   $\Delta E_2$  above  $(d_{xy}, d_{x^2-y^2})$ . We now choose the  $z$  axis to coincide with the  $C_3$  and  $S_6$  axes of the trigonal antiprism. Assume that  $\Delta E_1 = 3\Delta E_2$  and work out the complete weak-field/strong-field correlation diagram.

- 9.4 كيف تنقسم اوربتالات  $d$  في محيط ثنائي الهرم المثلي ؟ جد باستخدام نموذج المجال البلوري ( شحنة النقطة النقي ) الطاقات النسبية للاوربتالات .
- 9.5 افترض انه في مخطط مستوى الطاقة الذي تم الحصول عليه في التمرين 9.4 تفصل اوربتالات  $d'$  و  $e'$  بمسافة اكبر ثلاثة اضعاف من انفصال اوربتالات  $e'$  و  $e''$  . جد مخطط العلاقة النسبية للمجال الضعيف الى المجال القوي لحالة ايون  $d^2$  في محيط ثنائي الهرم المثلي .



## الفصل العاشر

### Molecular Vibrations

### التذبذبات الجزيئية

#### 10.1 ملاحظات تمهيدية :

تمتلك الجزيئة ثلاث طاقات داخلية ، هي ، حسب ترتيب التناقص الاعتباري لقيمها : الطاقات الالكترونية والتذبذبية والدورانية . وقد تعاملنا في الفصول السابقة مع استخدام الخواص التماثلية لفهم الحالات الالكترونية للأنواع المختلفة من الجزيئات . ولا تمتلك حالات الطاقة الدورانية خواصا تماثلية ذات أهمية في العمليات الكيميائية الاعتيادية ولا نهما بصورة مباشرة في هذا الكتاب . لذلك سنعنى بموضوع التذبذبات الجزيئية التي ستطبق عليها مناقشات التماثل تطبيقا مفيدا .

تعاني كل جزيئة ، عند جميع درجات الحرارة حتى الصفر المطلق ، حركات تذبذبية مستمرة ، اي ، حركات تتغير فيها المسافات والزوايا الداخلية دوريا بدون حدوث اية محصلة انتقال لمركز كتلة الجزيئة او اعطاء اية محصلة عزم زاوي ( حركة دورانية ) للجزيئة .

وبالطبع ، قد تنتقل الجزيئة وتدور اذا كانت حرة خلال الفراغ ، وقد يقل اهتمامنا بهذه الحركات بافتراض ان وضعنا هو مركز جاذبية الجزيئة واننا ننتقل وتدور معها ، ولهذا فهي لا تظهر لنا بانها تنتقل وتدور ، بيد ان اهتمامنا يركز على التذبذبات الداخلية .

وعلى الرغم من ان النظرة السريعة للجزيئة المتذبذبة قد تقترح عشوائية الحركة التذبذبية ، يظهر الفحص الدقيق والتحليل المناسب نظاما اساسا بسيطا . ونوضح في هذا الفصل الاساس لهذه البساطة . ونطور ايضا طرق عملية تمكن من اجراء تحليل للحركات الجزيئية جميعها تلك التي يسمح بها التماثل وحده .

#### 10.2 تماثل التذبذبات الاعتيادية :

تكون الحركات الداخلية المعقدة ، عشوائية ، غير دورية لتذبذب الجزيئة ، وهي نتيجة لتطابق موقع عدد بسيط نسبيا من الحركات التذبذبية المعروفة بالتذبذبات الاعتيادية *normal vibrations* او الاشكال الاعتيادية من التذبذب

*normal modes of vibration*

في الجزيئة . ولكل من هذه الحركات تردده الثابت . وحين يتطابق عدد كبير منها يجب ان تكون الحركة الناتجة دورية ايضا ، لكن قد يكون لها دورة طويلة يصعب ادراكها .

السؤال الاول الذي سيؤخذ بنظر الاعتبار بصدد الأشكال الاعتيادية ، هو عدد اية جزيئة معينة . وهو سؤال سهل جدا وقد يكون الجواب معروفاً بالفعل لعدد من القراء . قد تتحرك الذرة التي تمتلك ثلاث درجات من الحركة الحرة من الموقع الأصلي بالاتجاه  $x$  المستقل عن اية ازاحة قد تحدث اولاً تحدث في الاتجاه  $y$  أو  $z$  ، وفي الاتجاه  $y$  غير المعتمد فيما اذا تحركت او لم تتحرك في الاتجاه  $x$  او  $z$  ، وهلم جرا . وفي الجزيئة التي تتكون من عدد  $n$  من الذرات يوجد عدد  $3n$  درجة من الحرية .

نفترض ان جميع الذرات  $n$  تتحرك في آن واحد بالكمية نفسها بالاتجاه  $x$  ، اذ يعمل ذلك على ازاحة مركز الكتلة للجزيئة الكلية بالاتجاه  $x$  دون أن يسبب تغيير ابعاد الجزيئة الداخلية ، ويعطى الشرح نفسه للحركات المشابهة بالاتجاهين  $y$  و  $z$  . من بين درجات الحرية  $3n$  للجزيئة ، نجد ثلاثة تذبذبات غير أصلية وانما هي انتقالات فقط وبصورة متشابهة ، لا تكون الحركات المتوافقة تذبذبات لجميع الذرات في الطرق الداخلية حول المحاور  $x, y$  و  $z$  لكنها تكون عوضاً عن ذلك دورانات جزيئية . وهكذا ، من بين درجات الحركة الحرة  $3n$  ، يبقى  $3n - 5$  وحده ليتحد في حركات تذبذبية أصلية .

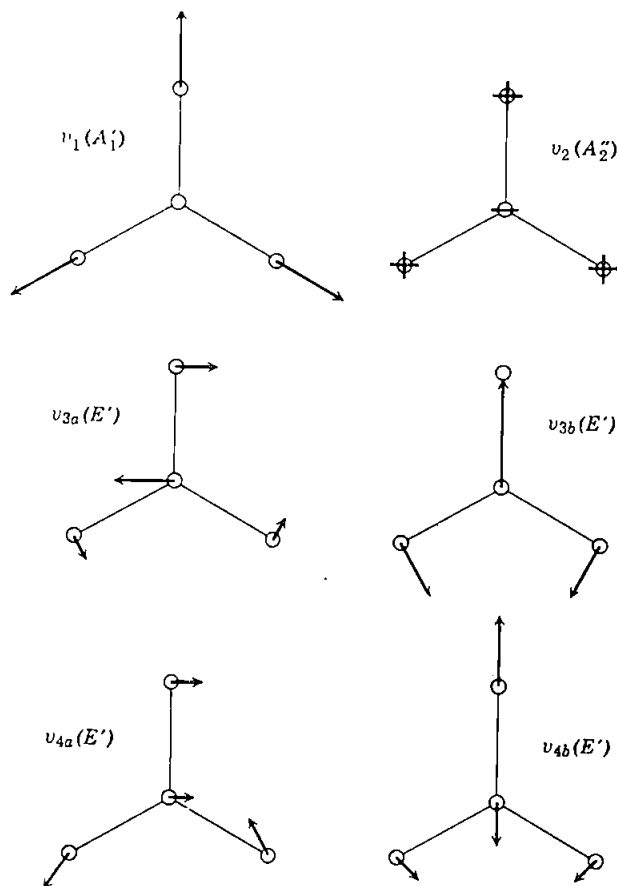
نعطي هنا ملاحظة عن الحالة الخاصة للجزيئة الخطية . في هذا المثال ، قد يحدث دوران الجزيئة حول كل واحد من المحورين العموديين على المحور الجزيئي ، لكنه لا يمكن حدوث دوران النوى حول المحور الجزيئي نفسه لان جميع النوى تقع على هذا المحور . ولهذا ، تمتلك الجزيئة الخطية ذات العدد  $n$  من الذرات عدد  $3n - 5$  من الاشكال الاعتيادية .

لننظر الان الى الاشكال الاعتيادية من التذبذب في جزيئة بسيطة قدر الامكان ، ومع ذلك نبسط جميع المظاهر العامة التي تصادف اعتيادياً ، اذ يخدم ايون  $\text{CO}_3^{2-}$  المستوي هذا الغرض . وفي نوعية رباعية الذرة غير خطية ، يجب ان يمتلك  $6 = 6 - 3(4)$  من الاشكال الاعتيادية ، وبين الشكل 10.1 هذه التذبذبات . وفي كل رسم يبين طول

السهم نسبة الى سهم آخر في الرسم نفسه الكمية التي تزاوح بها الذرة المرتبط بها عند اية



لحظة نسبة الى الازاحة الآتية للذرة المرتبط بها السهم الآخر . وتعد اطوال الاسهم  
نسبة الى المسافات ما بين الذرات. في الرسوم مبالغاً فيها .



شكل 10.1 الأشكال الاعتيادية الستة للتذبذب في ايون الكربونات .

ومن الملاحظ في حالة ايون الكربونات الخاصة ، المستعمل للتوضيح ، ان للاشكال  
الاعتيادية ميزتين مهمتين :

- 1 يمثل كل من الموجات اذاحة ذرية فجائية قد تعد نتيجة لتجميع من ثلاثة موجات  
اساس .
2. يكون كل من الاشكال الاعتيادية القاعدة « تعود » الى او التمثيل غير المختزل في  
الجزئية .

لنأخذُ أولاً الطرق التي يمكن بها اعتبار موجّهات الازاحة في الاشكال الاعتيادية نتائج لتجمع الموجّهات الاساس . هناك عدة طرق لاختيار التجمع من الموجّهات الاساس ، بيد أن اثنتين منهما ذواتا أهمية . في الطريقة الاولى ، يتم ربط نظام احداثي منفصل بكل ذرة ، مع كون الذرة في المركز وجميع محاور  $x$  و  $y$  و  $z$  متوازية وتشير الى الاتجاه نفسه ( الشكل 10.3 ) ويوضع في كل نظام احداثي صغير وحدة موجّهات على طول المحاور  $x$ ،  $y$  و  $z$  . والآن ، يمثل الموجه ازاحة الذرة المعنية ، الذرة في التسلسل  $i$  وقديعبر عنه بشكل المجموع الموجه لموجّهات الازاحة الديكارتية لهذه الذرة ،  $x_i$ ،  $y_i$  و  $z_i$  . وقد تسمى هذه العملية تحليل الازاحة العامة الى ازاحات ديكارتية . وقد يلاحظ انه يمكن تحليل الحركات الانتقالية الثلاث والحركات الدورانية الثلاث ( او اثنتين ) الى مجاميع موجهة من الازاحات الديكارتية .

وقد تمثل جميع الدرجات  $3n$  من الحرية الحركية للجزئته باتحادات مناسبة من الازاحات الديكارتية  $3n$  .

وتتمثل الطريقة المهمة الثانية لتحليل موجّهات الازاحة للاشكال الاعتيادية باستعمال الموجّهات الاساس ذات العلاقة بالاحداثيات الداخلية في الجزئته ، اي المسافات ما بين الذرات ، وزوايا الآصرة . وليست ثمة طريقة فريدة لعمل ذلك ، لكن المعتاد ، أن يتم أولاً اختيار التغيرات في المسافات ما بين الذرات بين الذرات المتآصرة ومن ثم التغيرات العديدة في زاوية الآصرة ( يجب الحذر في ان تكون تلك التي تم اختيارها جميعاً مستقلة )

الضرورية لتهىء التجمع من  $6 - 3n$  من موجّهات الازاحة الداخلية . فمثلاً ، نحتاج في حالة ايون الكربونات ستة موجّهات ازاحة داخلية لتمثل الاشكال الاعتيادية الستة نختار أولاً التغيرات في مسافات C-O الثلاث ، ومن ثم نختار التغيرات في اثنتين من زوايا OCO الثلاث . وقد يكون الاختيار السادس هو التغير في زاوية OCO الباقية او التغير في الزاوية بين محور آصرة C-O والمستوي الجزيئي .

لنأخذ الآن الميزة المهمة الثانية للاشكال الاعتيادية ، وخاصة ، تماثلها . ومن مقارنة الرسوم في الشكل 10.1 وجدول الخاصية لمجموعة  $D_{3h}$  ، التي يعود اليها ايون الكربونات ، يلاحظ ان كل شكل اعتيادي ( او زوج من الاشكال الاعتيادية ) يتحول من خاصيات التمثيل التي يعود اليها ، اذ تلاحظ هذه التمثيلات

بين الاقواس في الشكل 10.1 . ومن الواضح ان تجمع الموجّهات المتمثلة بالرمز  $\nu_1$  تتحول الى نفسها بجميع العمليات ، لذلك فهي تعود الى تمثيل  $A'_1$  . كذلك من الواضح

بصورة متساوية ان التجمع من الموجّهات الممثّلة بالرمز  $v_2$  تتحول الى نفسها بالعمليات  $E, C_3$  و  $\sigma_v$  ، لكن الى نفسها السالبة بالعمليات  $C_2, S_3$  و  $\sigma_h$  . وهكذا ، يعود هذا الشكل الى تمثيل  $A_2'$  كما هو مبين في الشكل 10.1 .

يكون الشكلان  $v_{3a}$  و  $v_{3b}$  معاً القاعدة للتمثيل  $E'$  لمجموعة  $D_{3h}$  . من الواضح ان العملية المتطابقة تحول كل مكون الى نفسه كما تتطلب الخاصية 2 . ويمكن التعبير عن ذلك كالآتي :

$$E(v_{3a}) = v_{3a} + 0v_{3b}$$

$$E(v_{3b}) = 0v_{3a} + v_{3b}$$

وتكون مصفوفة المعاملات على الجهة اليمنى لهذا التجمع من المعادلات كالآتي :

$$\begin{bmatrix} 1 & 0 \\ 0 & 1 \end{bmatrix}$$

وهي بالطبع مصفوفة وحدة ثنائية البعد ذات الخاصية 2 . وتأثير الدوران ثلاثي المرة على  $v_{3a}$  او  $v_{3b}$  لتحويل الشكل الى اتحاد خطي لكل من  $v_{3a}$  و  $v_{3b}$  . ويوضح الشكل 10.2 ذلك لحالة الدوران باتجاه عقرب الساعة من  $v_{3a}$  بمقدار  $2\pi/3$  . يعطي الشكل المعنون  $v'_{3a}$  . وبين الجزء السفلي من الشكل 10.2 بالتفصيل كيف أن كلا من موجّهات الازاحة في  $v'_{3a}$  هو مجموع موجه من  $-\frac{1}{2}v_{3a}$  و  $\frac{1}{2}v_{3b}$  ، وهكذا ، يمكن كتابة

$$C_3(v_{3a}) = -\frac{1}{2}v_{3a} + \frac{1}{2}v_{3b}$$

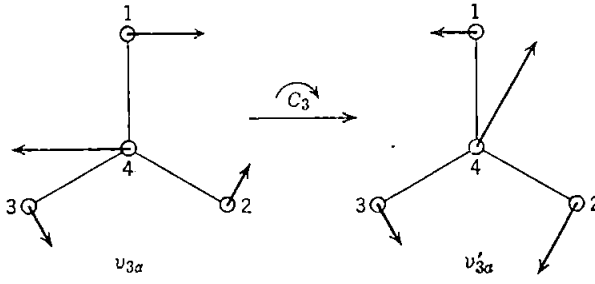
ويمكن ان نبين بصورة متشابهة ان تطبيق الدوران باتجاه عقرب الساعة بمقدار  $2\pi/3$  على  $v_{3b}$  يعطي شكلاً يعبر عنه بالاتحاد الخطي الاتي من  $v_{3a}$  و  $v_{3b}$

$$C_3(v_{3b}) = -\frac{1}{2}v_{3a} - \frac{1}{2}v_{3b}$$

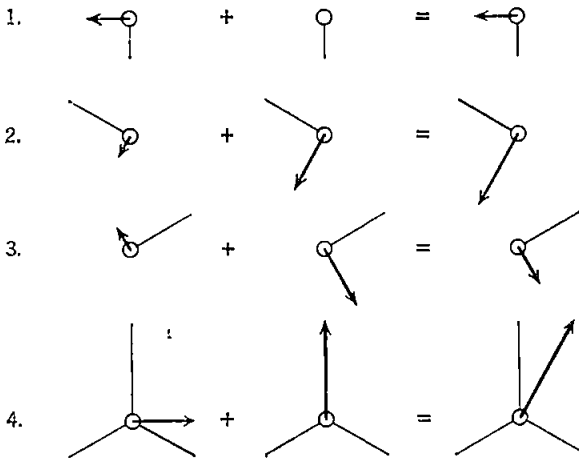
والآن ، تكون مصفوفة المعاملات لهذين التحويلين كالآتي :

$$\begin{bmatrix} -\frac{1}{2} & \frac{1}{2} \\ -\frac{1}{2} & -\frac{1}{2} \end{bmatrix}$$

وخاصيتها هي -1 كما هو مطلوب من جدول الخاصية .



$$-\frac{1}{2}(v_{3a}) + \frac{1}{2}(v_{3b}) = v'_{3a}$$



شكل 10.2 مخطط الموجة يبين كيف ان الدوران الثلاثي المرة يحول  $v_{3a}$  الى  $v'_{3a}$  وكيف ان الاخير هو اتحاد خطي من  $v_{3a}$  و  $v_{3b}$  وبالتحديد  $v_{3a} = -\frac{1}{2}v_{3a} + \frac{1}{2}v_{3b}$

ومن السهولة بمكان ملاحظة ان العملية  $C_2$  تحول  $v_{3a}$  الى نفسه السالبة و  $v_{3b}$  الى نفسه . وهكذا ، فالمصفوفة التي يتم الحصول عليها تمتلك فقط العناصر القطرية 1 و 1 والخاصية 0 كما هو مطلوب من جدول الخاصية . ومن السهولة . بصورة متساوية . ملاحظة ان  $\sigma_h$  يحول كل مكون من  $v_3$  الى نفسه بحيث تمتلك مصفوفة التحول العناصر القطرية 1 و 1 . ولهذا ، الخاصية 2 . ويمكن اعطاء تغليل مشابهه للعملية الباقية المطبقة على  $v_{3a}$  و  $v_{3b}$  وكذلك لتطبيق جميع العمليات في المجموعة على  $v_{4a}$  و  $v_{4b}$  . وقد نجد انها تحقق متطلبات خواص التمثيل  $E'$  في كل ناحية

### 10.3 إيجاد انواع التماثل للاشكال الاعتيادية :

يؤدي المظهران المميزان للاشكال الاعتيادية من التذبذب . اللذان سلف شرحهما في اعلاه . الى الطريقة البسيطة والمباشرة لايجاد عدد الاشكال الاعتيادية من التذبذب لاية جزئية تعود الى التمثيلات غير المختزلة لمجموعة النقطة في الجزئية . يمكن الحصول على هذه المعلومات كلها من معرفة التماثل الجزئي ولا يحتاج الى اية معرفة . او يهيء المعلومات بحد ذاته . التي تخص الترددات او الاشكال التفصيلية للاشكال الاعتيادية . وفي حالة ايون الكربونات وضحنا بالتفصيل كيف ان للاشكال الاعتيادية من التذبذب الحقيقي تماثلاً يتطابق مع واحدة اخرى من التمثيلات غير المختزلة في الجزئية وهذا صحيح لكل جزئية . لكن لن نعطي الاثبات هنا .

ويصح القول ايضاً ان التذبذبات غير الحقيقية والحركات الانتقالية والدورانية تتحول حسب التمثيلات غير المختزلة لمجموعة النقطة الجزئية . وضافة الى ذلك . يمكن التعبير عن التجمع الكلي للاشكال الاعتيادية  $3n$  بشكل دوال التجمع من الازاحات الديكارتية  $3n$  . كما هو مبين في الفقرة السابقة . ومن الثابت ايضاً امكان استعمال موجهاً الازاحة الديكارتية  $3n$  بشكل القاعدة للتمثيل المختزل في مجموعة التماثل الجزئية . ويحوي هذا التمثيل ( او كما يقال احياناً : يتسع ) التجمع من التمثيلات غير المختزلة التي تعود اليها جميع الاشكال الاعتيادية الحقيقية وغير حقيقية .

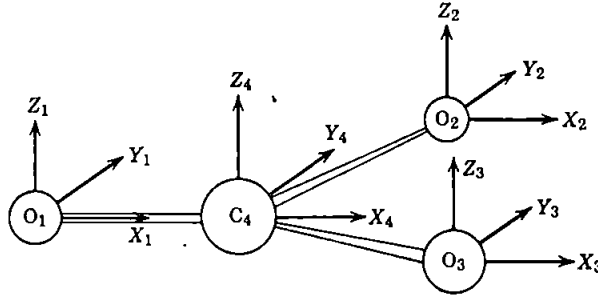
سنوضح ذلك الان باستخدام مثال ايون الكربونات . وهناك عدد من الامثلة الاخرى في الفقرة ( 10.7 ) . ويجب في الخطوة الاولى ايجاد المجموعة التماثلية التي تعود اليها الجزئية . كما هو مبين في الفصل الثالث . وخاصة الفقرة ( 3.13 ) . نجد ان ايون الكربونات يعود الى مجموعة  $D_{3h}$  . وبين الشكل ( 10.3 ) ايون الكربونات مع تجمعات موجهاً الازاحة الديكارتية المرتبطة بكل ذرة . وهناك بالطبع  $3n = 12$  في جميعها . ولهذا يكون بعد التمثيل مساوياً 12 .

---

قد يوجد الاثبات الدقيق . الذي يشتمل على شرح كمي اكثر لميكانيكيات التذبذبات الاعتيادية واستخدام العلاقات الحركية الواضحة والطاقت الكامنة . في الكتب الاكثر تخصصاً مثل :

Molecular Vibrations by E. B. Wilson

J. C. Decius, and P. C. Cross, McGraw-Hill, New York, 1955.



شكل 10.3 التجمع  $3n = 12$  من موجات الازاحة الديكارتية المستعمل في ايجاد التمثيل المختزل الموسع للتمثيل غير المختزل للاشكال الاعتيادية في ايون الكربونات .

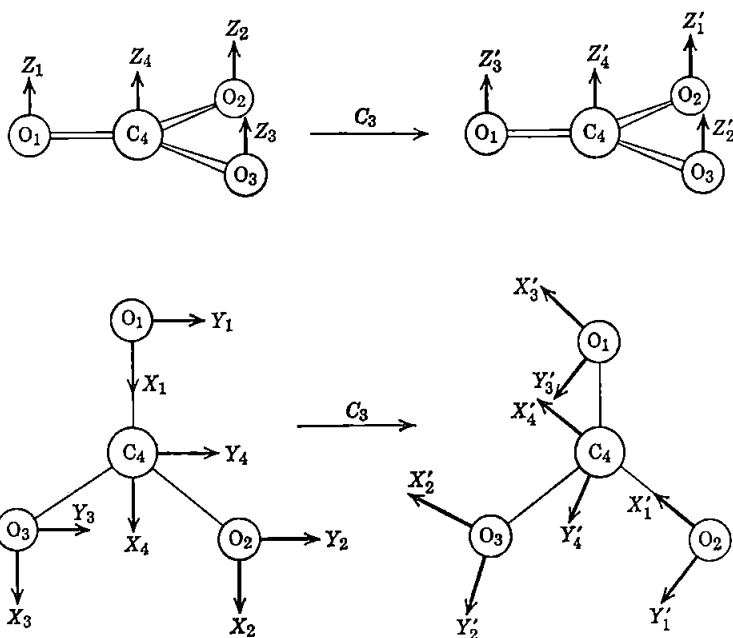
نعود الآن الى جدول الخاصية لمجموعة  $D_{3h}$  . من الطبيعي ان العملية الاولى هي العملية المتطابقة التي حين تطبيق على تجمع من الموجات يبقى كل واحد في موضعه ، اي يبقى متطابقاً مع نفسه ، ويمكن التعبير عن ذلك كما هو مبين في الشكل ( 10.4 )  
يفترض ان العملية التماثلية تنطبق على التجمع من الموجات وحده ، تحركها وتترك النوى نفسها ثابتة . وهكذا ، يمكن تعيين او عنونة كل موجه قبل العملية بتعيين اتجاهه وعدد الذرات المرتبطة به ، مثل  $X_1$  او  $Z_4$  . يستعمل الرمز الاول نفسه للموجه نفسه بعد اجراء العملية التماثلية ، فيما اذا تحرك الموجه في اتجاه ما او لم يتحرك .

	$X_1$	$Y_1$	$Z_1$	$X_2$	$Y_2$	$Z_2$	$X_3$	$Y_3$	$Z_3$	$X_4$	$Y_4$	$Z_4$
$X'_1$	1	0	0	0	0	0	0	0	0	0	0	0
$Y'_1$	0	1	0	0	0	0	0	0	0	0	0	0
$Z'_1$	0	0	1	0	0	0	0	0	0	0	0	0
$X'_2$	0	0	0	1	0	0	0	0	0	0	0	0
$Y'_2$	0	0	0	0	1	0	0	0	0	0	0	0
$Z'_2$	0	0	0	0	0	1	0	0	0	0	0	0
$X'_3$	0	0	0	0	0	0	1	0	0	0	0	0
$Y'_3$	0	0	0	0	0	0	0	1	0	0	0	0
$Z'_3$	0	0	0	0	0	0	0	0	1	0	0	0
$X'_4$	0	0	0	0	0	0	0	0	0	1	0	0
$Y'_4$	0	0	0	0	0	0	0	0	0	0	1	0
$Z'_4$	0	0	0	0	0	0	0	0	0	0	0	1

شكل 10.4! تعبير المصفوفة لتأثير العملية المتطابقة على التجمع من احدالات الازاحة الديكارتية ( شكل 10.3 )  
لايون الكربونات .

يعطي العمود الى جهة اليسار في الشكل ( 10.4 ) الموجات بعد تطبيق العملية التماثلية ، ويعطي الصف الأفقي العلوي التجمع الاصلي . يهدف الشكل ( 10.4 ) والاشكال

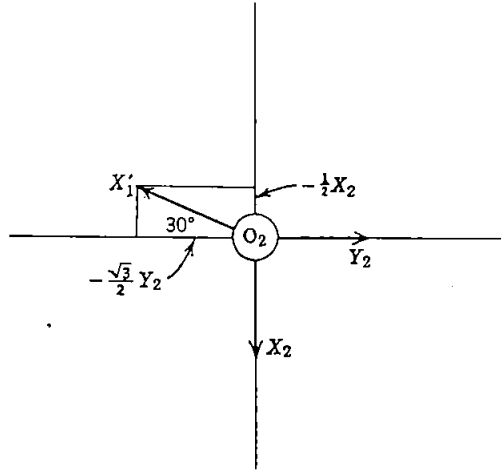
المشابهة لاية عملية تماثلية الى التعبير عن مكونات الموجهات الاولى بدلالة الموجهات في التجمع الاصلي غير الاول . وتعد النتائج في هذه الحالة بسيطة : يكون كل موجه اولي متطابقاً مع شبيهه غير الاول . ويمثل الترتيب المربعي من الاعداد : الذي يتم الحصول عليه هكذا ، مصفوفة تصف تأثير العملية التماثلية على التجمع من الموجهات : وتكون خاصيتها هي الخاصية المطابقة للعملية المعنية في التمثيل المختزل الذي نبحث عنه . وهكذا توجد للعملية المتطابقة هنا خاصية من 12 .



شكل 10.5 مخططات تبين تأثير الدوران ثلاثي المرة على التجمع من موجات الازاحة الديكارتية

والآن نطبق الدوران ثلاثي المرة على التجمع من موجات الازاحة الديكارتية ، يبين الشكل ( 10.5 ) نتائج ذلك . مرة اخرى : نرغب في بناء المصفوفة التي تعبر عن هذه النتائج . ان الطريقة بسيطة ومملة لكنها لا تحتاج الى اكثر من حساب المثلثات البسيطة

فمثلا ، كما يبين الشكل ( 10.6 ) ، يمكن التعبير عن  $X'_1$  بشكل  $(\sqrt{3}/2)Y_2 - \frac{1}{2}X_2$  وقد ادخلت هذه النتيجة في الصف الاول من المصفوفة ، الشكل ( 10.7 )



شكل 10.6 مخطط يبين تحليل موجة الازاحة  $X'_1$  الى مكوناته  $X_2$  و  $Y_2$ .

ينبغي على القارئ الايلاقي صعوبة ما في التحقق من النتائج الاخرى التي ادخلت في الشكل 10.7 . تأخذ خاصية هذه المصفوفة القيمة صفراً .

	$X_1$	$Y_1$	$Z_1$	$X_2$	$Y_2$	$Z_2$	$X_3$	$Y_3$	$Z_3$	$X_4$	$Y_4$	$Z_4$
$X'_1$	0	0	0	$-\frac{1}{2}$	$-\sqrt{\frac{3}{2}}$	0	0	0	0	0	0	0
$Y'_1$	0	0	0	$\sqrt{\frac{3}{2}}$	$-\frac{1}{2}$	0	0	0	0	0	0	0
$Z'_1$	0	0	0	0	0	1	0	0	0	0	0	0
$X'_2$	0	0	0	0	0	0	$-\frac{1}{2}$	$-\sqrt{\frac{3}{2}}$	0	0	0	0
$Y'_2$	0	0	0	0	0	0	$\sqrt{\frac{3}{2}}$	$-\frac{1}{2}$	0	0	0	0
$Z'_2$	0	0	0	0	0	0	0	0	1	0	0	0
$X'_3$	$-\frac{1}{2}$	$-\sqrt{\frac{3}{2}}$	0	0	0	0	0	0	0	0	0	0
$Y'_3$	$\sqrt{\frac{3}{2}}$	$-\frac{1}{2}$	0	0	0	0	0	0	0	0	0	0
$Z'_3$	0	0	1	0	0	0	0	0	0	0	0	0
$X'_4$	0	0	0	0	0	0	0	0	0	$-\frac{1}{2}$	$-\sqrt{\frac{3}{2}}$	0
$Y'_4$	0	0	0	0	0	0	0	0	0	$\sqrt{\frac{3}{2}}$	$-\frac{1}{2}$	0
$Z'_4$	0	0	0	0	0	0	0	0	0	0	0	1

شكل 10.7 المصفوفة التي تعبر عن تأثير عملية  $C_3$  على التجمع من احداثيات الازاحة الديكارتية لايون الكاربونات .

قبل المضي في البحث ، ينبغي ان نلاحظ طريقة اختصار العمل . تريح العملية  $C_3$  جميع الموجهات المرتبطة اصلاً بالذرة 1 الى الذرة 2 . وهكذا ، عند كتابة المكونات  $X'_1, Y'_1$  و  $Z'_1$  ، نجد انها تأتي كلياً من التجمع  $X_2, Y_2, Z_2$  فاذا كان ذلك صحيحاً ، تكون جميع العناصر القطرية في الصفوف الثلاثة الاولى صفراً . ولما



كانت جميع الموجهات الموجودة اصلاً على الذرة 2 تدور الى الذرة 3 . لن توجد عناصر قطرية لاتساوي صفراً في الصفوف الثلاثة التالية . وللسبب نفسه . لا يوجد عنصر ما في الصفوف الثلاثة التالية ، ايضاً . ان الموجهات  $X_4$  ,  $Y_4$  ,  $Z_4$  التي تمتزج خلال العملية  $C_3$  ، لاتزاح الى ذرة مختلفة تعطي عناصر قطرية غير الصفر . وهكذا يمكن ايجاد خاصية المصفوفة  $C_3$  باهمال جميع الموجهات التي تزاوح من ذرة الى اخرى عند دوران الجزيئة وتؤخذ بنظر الاعتبار الموجهات التي تبقى مرتبطة بالذرة نفسها . لذلك سنتقرب من المسألة بهذه الطريقة .

	$X_1$	$Y_1$	$Z_1$	$X_4$	$Y_4$	$Z_4$
$X'_1$	1	0	0			
$Y'_1$	0	-1	0			
$Z'_1$	0	0	-1			
$X'_4$				1	0	0
$Y'_4$				0	-1	0
$Z'_4$				0	0	-1

شكل 10.8 المصفوفة المختصرة للعملية  $C_2$  على موجات الازاحة الديكارتية لايون الكربونات .

عندما تعرض الجزيئة لدوران ثنائي المرة تلاحظ ازاحة الموجهات على ذرتي الاوكسجين ، لنقل الرقم 2 والرقم 3 ، وهكذا ، يصبح معروفاً ان هذه الموجهات لاتسهم بخاصية المصفوفة . ولكل من الذرتين الاخرين  $O_1$  و  $C_4$  ، تتحول الموجهات  $Z$  الى نفسها السالبة وتتحول اثنان من موجات  $Y$  الى نفسيهما السالبتين ، على حين تبقى موجات  $X$  بدون تغير . يبين الشكل 10.8 هذه النتائج على شكل مصفوفة مختصرة حيث تعطى فيها العناصر التي تعود الى الموجهات على الذرتين 1 و 4 . ويلاحظ ان قيمة الخاصية هي -2 .

قد يتم ايجاد خاصية المصفوفة المطابقة للعملية  $\sigma_h$  بدون كتابة اي جزء من المصفوفة الكاملة نفسها ، ويلاحظ ان هذه العملية لاتعمل على ازاحة اي من الموجهات من ذرة الى أخرى ، لذلك لا يمكن اهمال تجمع ما من الموجهات بصورة جماعية . يلاحظ ايضاً ان كل تجمع من الموجهات يتأثر بالعملية  $\sigma_h$  بالطريقة نفسها تماماً . ومهما كان الاسهام بالخاصية من قبل احد التجمعات الاربعة فقد يضرب ببساطة بالعدد 4 للحصول على القيمة الكلية للخاصية . وفي أي تجمع واحد تحول  $\sigma_h$  موجات  $X$  و  $Y$  الى نفسها وموجه  $Z$  الى نفسه السالبة . وهكذا ، تكون المصفوفة الثانوية لهذا التجمع من الموجات مصفوفة قطرية مع العناصر 1, 1, -1 ، وعليه تأخذ الخاصية القيمة 1 . وتكون قيمة خاصية المصفوفة الكلية المطابقة لعملية  $\sigma_h$  هي 4 .

تزيح العملية  $S_3$  جميع الموجهات على ذرات الاوكسجين ولهذا يصبح معروفاً  
امكانية اهمال هذه الموجهات التسعة. ويمكن ايجاد تأثير  $S_3$  على موجهات ذرة الكربون  
سريعاً بالاستعانة بتأثير  $C_3$  على التجمع نفسه ، كما هو مبين في الجزء السفلي على

يمين الشكل ( 10.7 ) . ونظراً لان  $S_3$  هي ببساطة  $C_3$  متبعة بالعملية  $\sigma_h$  ، فان  
تأثيرها على  $X_4$  و  $Y_4$  هو نفسه كما لتأثير  $C_3$  . وفي حين لا تؤثر  $C_3$  على  $Z_4$  ، تحوله  
 $S_3$  الى نفسه السالبة ، ومن هنا ، تعمل  $S_3$  على موجهات الاراحة لذرة الكربون مسببة  
ظهور العناصر الآتية على طول قطر المصفوفة :  $-\frac{1}{2}$  ،  $-\frac{1}{2}$  ،  $-1$  ، ولهذا تكون  
خاصية المصفوفة الكلية 2 - .

وأخيراً ، يجب ان تؤخذ العملية  $\sigma_v$  بنظر الاعتبار . لنختار المستوي المار خلال  $O_1$  و  
 $C_4$  ، يمكن اهمال الموجهات على الذرتين 2 و 3 التي تمتزج بالانعكاس خلال هذا  
المستوي . وبالبحت يتضح ان  $X_1, Z_1, X_4$  و  $Z_4$  تتحول الى نفسها في حين تتحول  
 $Y_1$  و  $Y_4$  الى نفسها السالبة بانعكاس هذه التجمعات من الموجهات خلال  $\sigma_v$  التي تم  
اعتبارها . وهكذا ، تكون العناصر القطرية الناتجة هي  $-1, 1, 1, 1, 1, -1$  ، وتأخذ  
خاصية المصفوفة الكلية المطابقة لعملية  $\sigma$  القيمة 2 .

اعدنا في الشكل ( 10.9 ) اعطاء جدول الخاصية للمجموعة  $D_{3h}$  وألحقت به  
التائج التي تم الحصول عليها لخصائص عمليات التمثيل المختزل التي تكون قاعدتها  
احداثيات الاراحة الديكارتية الاثنتي عشرة . ويمكن اختزال ذلك بالطرق المبينة في  
الفقرة ( 4.3 ) لتعطي النتيجة الآتية :

$$\Gamma_t = A'_1 + A'_2 + 3E' + 2A''_2 + E''$$

$D_{3h}$	$E$	$2C_3$	$3C_2$	$\sigma_h$	$2S_3$	$3\sigma_v$		
$A'_1$	1	1	1	1	1	1	$R_z$ (x, y)	$x^2 + y^2, z^2$
$A'_2$	1	1	-1	1	1	-1		
$E'$	2	-1	0	2	-1	0		$(x^2 - y^2, xy)$
$A''_1$	1	1	1	-1	-1	-1	$z$ ( $R_x, R_y$ )	
$A''_2$	1	1	-1	-1	-1	1		
$E''$	2	-1	0	-2	1	0		$(xz, yz)$
$\Gamma_t$	12	0	-2	4	-2	2		

شكل 10.9 جدول الخاصية لمجموعة  $D_{3h}$  مع خصائص التمثيلات الناتجة عن احداثيات الاراحة الديكارتية  
الاثنتي عشرة الملحقة .

من المعروف ان من بين الاشكال الاعتيادية الاثني عشرسة فقط تذبذبات حقيقية وثلاثة انتقالية والثلاثة الاخرى دورانية ، ويمكن بسهولة تحديد الاشكال غير الحقيقية من القائمة في اعلاه بالاشارة الى المعلومات على جهة اليمين من جدول الخاصة . يجب ان تعود الحركات الانتقالية الى التمثيلات نفسها كما تفعل الاحداثيات  $x, y, z$  ، وهكذا ، نهمل من القائمة أحد نوعيات  $E'$  و  $A_2''$  . يلاحظ ان الدوران حول المحور  $z$  هو حركة لها تماثل  $A_2'$  وان الدورانين حول المحورين  $x$  و  $y$  هما زوج منحل لهما تماثل  $E''$  ، لذلك نهمل  $A_2'$  و  $E''$  من القائمة . وعليه ، تترك القائمة الآتية من التمثيلات التي تعود اليها الاشكال الاعتيادية الحقيقية الستة في الجزئية :

$$\Gamma_g = A_1' + 2E' + A_2''$$

وهذه النتائج هي بالطبع في توافق مع المعلومات المعطاة في الشكل 10.1.

ونختتم هذه الفقرة بتلخيص الطريقة المطورة ومعنى النتائج التي تعطيها . ولايجاد عدد الاشكال الاعتيادية الحقيقية من التذبذب في الجزئية التي تعود الى كل تمثيل غير مختزل لمجموعة التماثل الجزئية ، ينبغي تكوين التمثيل المختزل الذي ينتج بتطبيق عمليات المجموعة ( في الحقيقة ، عملية واحدة من كل صنف ) على التجمع من موجهاات الازاحة الديكارتية . يعطي ذلك بصورة مباشرة انواع التماثل لكل من الاشكال الحقيقية وغير الحقيقية ، ومن هذه القائمة تزال الاشكال الانتقالية والدورانية في الحال باستخدام المعلومات الواضحة في جدول الخاصة . تبسط عملية ايجاد خاصيات التمثيل المختزل بدرجة كبيرة من معرفة ان أيا من الموجهاات المزاخة الى ذرات مختلفة بعملية التماثل لا يعطي اي اسهام بقيمة خاصة المصفوفة المطابقة لهذه العملية . والنتيجة الاخيرة قائمة من التمثيلات غير المختزلة لمجموعة التماثل الجزئية بحيث ان مجموع الابعاد يساوي عدد الاشكال الداخلية او الحقيقية من التذبذب في الجزئية . وهناك شكل اعتيادي حقيقي يمتلك تماثلا يتطابق مع كل من التمثيلات غير المختزلة في القائمة .

10.4 اسهامات الاحداثيات الداخلية المعينة في الاشكال الاعتيادية :

لاحظنا في الفقرة 10.3 انه يمكن التعبير عن الاشكال الاعتيادية ليس فقط بشكل دوال ، اي حواصل جمع الموجه ، لتجمع موجهاات الازاحة الديكارتية وانما بشكل دوال لتجمع موجهاات الازاحة الداخلية . لقد لاحظنا كيف يستفاد من العلاقة الاولى في ايجاد العدد الكلي من الاشكال الاعتيادية لكل نوع تماثل ، وتستخدم العلاقة الثانية

بدرجة رئيسة للحصول على المعلومات عن كيفية اسهام امتداد الاواصر وانحناء زوايا الاواصر في الاشكال الاعتيادية حسب انواع تماثلها . والآن ، يظهر البحث في الشكل 10.1 . ان تذبذب  $A_1'$  يشتمل على امتداد اواصر C-O في حين يشتمل تذبذب  $A_2''$  على انحناء او تشويش الجزيئة خارج مستوي الاتزان . ومن الواضح ان تذبذبات  $E'$  ليست بهذه النقاوة . اذ ان كليهما يشتملان على امتداد C=O وتشويش زوايا OCO داخل المستوي . ويمكن ان نسأل : هل يمكن استنتاج هذه الحقائق من دراسات التماثل وحده بدون معرفة الاشكال الحقيقية للاشكال الاعتيادية ؟ الجواب على هذا التساؤل ايجابي . وغرضنا في هذه الفقرة توضيح كيفية الحصول على مثل هذه المعلومات .

لفترض انه اخترنا تجمعاً من ثلاث احداثيات ازاحة داخلية لامتدادات اواصر C-O الثلاث لتستعمل للتمثيل ثلاثي البعد في المجموعة التماثلية . وتشتمل التمثيلات غير المختزلة الموسعة بواسطة هذا التمثيل على التمثيلات التي تعود الى الاشكال الاعتيادية المشتملة على امتداد C=O . يتضح من الشكل 10.1 ان الجواب يكون  $A_1' + E'$  . لنستمر بحسب الطريقة المبينة ولنلاحظ ما اذا يمكن الحصول على هذا التمثيل . في عمل ذلك تستعمل الطريقة المختصرة المطورة في اعلاه للتعامل مع موجهاات الازاحة الديكارتية . اذ لايسهم اي موجه يزاح الى موقع مختلف بالعملية التماثلية المعنية في قيمة خاصية المصفوفة المطابقة .

تؤثر عمليات التماثل المختلفة على تجمع امتدادات C=O بالطريقة نفسها التي تؤثر بها على تجمع اواصر C-O نفسها . ويتذكر ذلك ، يمكن ايجاد الخاصيات المطلوبة بسرعة كالآتي : تساوي الخاصية للعملية  $F$  الى 3 لان كل آصرة C-O تتحول الى

نفسها ، والشيء نفسه صحيح بالنسبة للعملية  $\sigma_h$  . وتكون خاصيات العمليتين  $C_3$  و  $S_3$  مساوية صفراً لان اواصر C-O جميعاً تزاح بهذه العمليات . وتمتلك العمليتان  $C_2$  و  $\sigma_v$  خاصيات مساوية 1 لان كلا منها تحول احدى اواصر C-O الى نفسها لكنهما تعملان على تبادل الاثنين الاخرين . يتمثل التجمع من الخاصيات ، المبينة بالترتيب نفسه كما للعمليات التماثلية في أعلى جدول خاصية  $D_{3h}$  ، كالآتي :

3 0 1 3 0 1 ، ويختزل التمثيل الى  $A_1 + E$  ، كما ينبغي بحسب الشرح السابق . وهكذا بينا ان الاشكال الاعتيادية من انواع التماثل  $A_1$  و  $E'$  يجب ان تشتمل على درجة ما من امتداد C=O . ولما كان هناك شكل واحد من  $A_1'$  ، امكن القول : هذا الشكل يشتمل كلياً على امتداد C=O .

وفي تجمع ثان لاحداثيات الازاحة الداخلية . يمكن اختيار الزيادة او التناقص فسي  
زوايا OCO الثلاث . قبل استعمال هذا التجمع لتكوين التمثيل الذي يدل على  
الاحداثيات الاعتيادية المشتملة على انحناء OCO داخل المستوي . يجب الحذر في

ملاحظة ان الاحداثيات جميعاً في التجمع غير مستقلة . واذا ازدادت الاواصر الثلاث  
بالكمية نفسها ، في الوقت نفسه ، تأخذ الحركة تماثل  $A'_1$  . ومن الواضح انه يسحيل  
توسع الزوايا الثلاث في ان واحد خلال المستوي ، وهكذا ، فان تمثيل  $A'_1$  الذي سنجده  
عند اختزال التمثيل سيهمل لانه زائف .

ان مسألة التمثيل الزائف هذه ، او كما تسمى الاحداثيات الفائضة ، تنتج دائماً  
عند وجود تجمعات من الزوايا تكون مجموعة متقاربة ، كما في الحالة التي اخذت بنظر  
الاعتبار قبل قليل ، في الجزئيات الحلقية المستوية وفي ثلاث ابعاد ايضاً (مثل جزئيات  
رباعي وثمانى السطوح) ، وستوضح هذه النقطة في الامثلة المشروحة في الفقرة ( 10.7 ) .  
يمكن اعادة معرفة الاحداثيات الفائضة بدون صعوبة ، مع انه قد تظهر احياناً بعض  
المشاكل .

يتأثر التجمع الثلاثي المتزايد في زوايا OCO الثلاث بعمليات التماثل بالطريقة  
نفسها مثل الزوايا الثلاث نفسها ، لذلك يمكن استخدام الزوايا في ايجاد الخاصيات .  
تحول العملية  $E$  كل زاوية الى نفسها لتعطي الخاصية  $3$  لهذه العملية . وكذلك  
تفعل العملية  $\sigma_h$  . ونظراً لان العمليتين  $C_3$  و  $S_3$  تربح الزوايا جميعها . لذا فان لهذه  
العمليات الخاصيات صفر .

وتترك كل من العمليتين  $C_2$  و  $\sigma_v$  زاوية واحدة غير مزاحة لكنهما تعملان على  
تبادل الزاويتين الاخرتين ، لذلك تمتلك الخاصيات

1 بكون التجمع الكامل من الخاصيات ، مرة اخرى حسب ترتيب عمليات التماثل  
المبينة . كالآتي :  $1 \ 0 \ 1 \ 3 \ 0 \ 3$  يختزل هذا التمثيل الى  $A'_1 + E'$  وباهمال  $A'_1$   
للسبب الموضح في اعلاه ، نحصل على النتيجة في كون زوايا OCO داخل المستوي  
تسهم في تدبذبات تماثل  $E'$  ويتضح ان هذه النتيجة في توافق مع الطبيعة الحقيقية  
للاشكال الاعتيادية ، كما هو مبين في الشكل 10.1 .

ونظراً لبقاء نوع واحد من الاحداثيات الداخلية ، وهو ، تغيرات الزوايا بين اواصر  
C-O ومستوي الايون ، و شكل اعتيادي واحد فقط غير محسوب ، يستتج طبعاً

ان هذا الشكل الباقي من تماثل  $A_2''$  يجب ان يتكون كلياً من انحناء خارج المستوي للايون ، اذ يعد ذلك صحيحاً ، بالطبع ، وعلى اية حال ، يمكن اعطاء تحليل ايجابي اكثر لتوضيح المسألة . من الثابت ان الاشكال الاعتيادية تشتمل على امتداد C—O

وانحناء زاوية OCO داخل المستوي ، وان لكليهما يجب ان تكون هذه الاشكال متماثلة نسبة للانعكاس خلال مستوي الجزيئة . تقع جميع الموجهات المستعملة لتشير الى هذه الازاحات لمثل هذه التذبذبات في المستوي ولا يمكن ان تتأثر بالانعكاس خلال المستوي الواقعة فيه . ونظراً لوجوب كون التماثل لشكل  $A_2''$  مضاداً للتماثل بالنسبة للعملية  $\sigma_h$  ، حسب جدول الخاصية ، فقد يلاحظ ان شكل  $A_2''$  لا يشتمل على امتداد C—O او OCO انحناء داخل المستوي بدون معرفة التذبذبات التي تشتمل على مثل هذه الازاحات الداخلية . والابعد من ذلك ، يتضح ان التذبذب الوحيد الذي تكون فيه الازاحات جميعاً عمودية على المستوي الجزيئي يمكن ان يعود الى تمثيل

#### 10.5 كيفية حساب ثوابت القوة : طريقة مصفوفة F و G .

طورت الطرق الوصفية لتحليل مسألة التذبذبات الجزيئية ، اي طرق ايجاد عدد الاشكال الاعتيادية لكل نوع تماثل الناتجة في الجزيئة الكلية وفي كل تجمع من الاحداثيات الداخلية المتكافئة هناك ايضاً مسألة كمية عن كيفية ارتباط ترددات هذه التذبذبات ، التي يمكن الحصول عليها بالتجربة ، مع كتل الذرات وزوايا واطوال الاصرة والاكثر اهمية ثوابت قوة الاواصر الاحادية والزوايا مابين الاواصر . سنبين في هذه الفقرة كيفية وضع المعادلات التي تعبر عن هذه العلاقات ، مع التوسع في استعمال التماثل تبسيطاً للعمل عند كل مرحلة .

ستبنى لهذا الغرض طريقة ولسون لمصفوفات F و G\* ، بدون اثبات لصحتها . لقد جمعت العلاقات اللازمة جميعاً في المعادلة السائدة .

$$|FG - E\lambda| = 0 \quad (10.5-1)$$

اذا تمثل  $F, G, E$  مصفوفات وتمثل الجهة اليسرى جميعها من المعادلة محددة . وتعد F مصفوفة ثوابت القوة وهكذا تجلب الطاقات الكامنة للتذبذب الى المعادلة . و G

للتوضيح الكامل لهذه الطريقة ، انظر :

مصفوفة تشتمل على الكتل والعلاقات الفراغية المعنية للذرات وهكذا تجلب الطاقات الحركية الى المعادلة . و  $E$  وحدة مصفوفة ، وتعرف  $\lambda$  التي تجلب التردد  $\nu$  ، الى المعادلة ، كالاتي :

$$\lambda = 4\pi^2 c^2 \nu^2 \quad (10.5-2)$$

اذا عبر عن الكتل الذرية في عناصر مصفوفة  $G$  بوحدات الكتلة الذرية بدلاً من الغرامات وعبر عن الترددات بوحدات  $\text{سم}^{-1}$  ، قد تكتب المعادلة ( 10.5-2 ) كالاتي :

$$\lambda = 5.8890 \times 10^{-2} \nu^2$$

تصبح صحة المعادلة ( 10.5-1 ) ملموسة بمقارنتها مع المعادلة التي تم الحصول عليها بمعاملة الجزيئة ثنائية الذرة ،  $AB$  ، على شكل تذبذب توافقي ( harmonic oscillator ) :

$$f \cdot \mu^{-1} - \lambda = 0 \quad (10.5-3)$$

حيث تعرف  $\lambda$  كما في أعلاه و  $f$  ثابت القوة و هي الكتلة المصححة [ اي  $M_A M_B (M_A + M_B)$  ] . من الثابت ان المعادلة ( 10.5-3 ) هي الحالة الحدية لمعادلة مصفوفة  $F-G$  حين تكون مصفوفات  $F, G$  و  $E$  احادية البعد حالما تعرف عناصر مصفوفات  $F$  و  $G$  للجزيئة المعنية ، يمكن كتابة المعادلة المحددة ( 10.5-1 ) بصورة واضحة ، وهذه هي المعادلة الزمنية للمسألة التذبذبية المشابهة لمعادلة الطاقة الزمنية التي تم اختبارها سابقاً عند شرح نظرية LCAO-MO

في الفصل السابع . وباستخدام ترددات معروفة ، يمكن تطبيق المعادلة الزمنية لحساب ثوابت القوة او ، الاستفادة من ثوابت القوة ، لحساب ترددات الاشكال الاعتيادية . وعلى اية حالة ، للجزيئة غير الخطية المتكونة من عدد  $N$  من الذرات تشتمل هذه المعادلة على عدد  $3N \times 3N$  من المحددات ، مكافئة لمعادلة متعددة الحدود من الرتبة  $N$

فيها ستة جذور فقط تساوي صفراً . ومن الواضح والمفيد بعد ذلك القدرة على تجزئة هذه المعادلة بحيث تنتج عدة معادلات محددة أصغر يمكن حلها بدلاً من معادلة واحدة كبيرة . ان الفائدة الكبيرة لطريقة مصفوفة  $F$  و  $G$  تكمن في اعطاء المعنى المناسب والمنسق لتطبيق الخواص التماثلية للجزيئات والحصول على أعلى تجزئة للمعادلة الزمنية .

## الاحداثيات التماثلية :

لاستعمال طريقة مصفوفة F-G والحصول على اكبر فائدة ، من الضروري أولاً وضع الاتحادات الخطية للاحداثيات الداخلية التي تهىء العدد المناسب من الدوال وتحولاتها حسب كل من التمثيلات غير المختزلة الموسعة بمقدار  $3N - 6$  من الاشكال

الاعتيادية للتذبذب الحقيقي . ولعمل ذلك ، تستخدم الطرق المبينة في الفقرتين ( 10.3 ) و ( 10.4 ) للحصول على القائمة الكاملة من التمثيلات غير المختزلة المشتركة والاحداثيات الداخلية المساهمة في كل منها . ثم باستخدام التجمع من الاحداثيات الداخلية دوال أساس ، يتم وضع SALC's بتطبيق طريقة عامل الاسقاط المطورة في الفصل السادس ، وينبغي أن يجعل SALC's قياسياً .

من المفضل أن توضح تفاصيل طريقة مصفوفة FG باعطاء مثال بسيط . مثل جزيرة الماء التي تعود الى مجموعة النقطة  $C_{2v}$  . تعطي موجهاً الازاحة الديكارتيّة التسعة . ثلاثة على كل ذرة ، العلاقة الآتية :

	E	$C_2$	$\sigma_v(xz)$	$\sigma_v(yz)$
$\Gamma$	9	-1	3	1

حيث تم وضع الجزيرة في المستوي  $xz$  . وتختزل هذه الى :

$$\Gamma = 3A_1 + A_2 + 3B_1 + 2B_2$$

يمكن في الحال ان نبين من جدول الخاصية ان الانتقالات والدورانات تحسب مع  $A_1 + A_2 + 2B_1 + 2B_2$  . وهكذا ، توسع التذبذبات الداخلية الحقيقية الثلاثة التمثيلات غير المختزلة  $2A_1 + B_1$  .

بازاحات الاحداثيات الداخلية لجزيرة الماء ، تصبح مسافتا O—H ( $d_1$  و  $d_2$ ) وزاوية HOH ( $\Delta\theta$ ) القواعد للتمثيلات غير المختزلة الآتية :

$$\Delta d_1, \Delta d_2: A_1 + B_1$$

$$\Delta\theta: A_1$$

تعد كتابة الاحداثيات التماثلية على شكل SALC's للاحداثيات الداخلية سهلة جداً في هذه الحالة ، اذ ان  $\Delta\theta$  نفسها هي الاحداثي التماثلي  $A_1$  . وتطبيق عوامل الاسقاط على التجمع  $\Delta d_1, \Delta d_2$  ، نحصل على :



$$\begin{aligned}\hat{P}^{A_1} \Delta d_1 &\approx (1)\hat{E} \Delta d_1 + (1)\hat{C}_2 \Delta d_1 + (1)\hat{\sigma}_v \Delta d_1 + (1)\hat{\sigma}_v \Delta d_1 \\ &= \Delta d_1 + \Delta d_2 + \Delta d_1 + \Delta d_2 \\ &\approx \Delta d_1 + \Delta d_2.\end{aligned}$$

$$\begin{aligned}\hat{P}^{B_1} \Delta d_1 &\approx (1)\hat{E} \Delta d_1 + (-1)\hat{C}_2 \Delta d_1 + (1)\hat{\sigma}_v \Delta d_1 + (-1)\hat{\sigma}_v \Delta d_1 \\ &= \Delta d_1 - \Delta d_2 + \Delta d_1 - \Delta d_2 \\ &\approx \Delta d_1 - \Delta d_2\end{aligned}$$

يعد  $1/\sqrt{2}$  عامل التعديل لكل منها ، بافتراض ان  $\Delta d_1$  و  $\Delta d_2$  تكونان تجمعاً متعامداً (  $\Delta d_i \cdot \Delta d_j = \delta_{ij}$  ) . وهكذا ، يكون التجمع الكامل من الاحداثيات التماثلية للتذبذبات كالاتي :

$$\begin{aligned}A_1 \begin{cases} S_1 = \Delta\theta \\ S_2 = \frac{1}{\sqrt{2}}(\Delta d_1 + \Delta d_2) \end{cases} \quad (10.5-4) \\ B_1 \quad S_3 = \frac{1}{\sqrt{2}}(\Delta d_1 - \Delta d_2)\end{aligned}$$

### مصفوفة F :

يفترض تذبذب النوى بصورة توافقية . ويمكن كتابة الطاقة الكامنة  $V$  للجزئية .

$$2V = \sum_{i,k} f_{ik} s_i s_k \quad \text{كالاتي :} \quad (10.5-5)$$

اذ يمثل  $s_i$  و  $s_k$  التغيرات في الاحداثيات الداخلية ،  $f_{ik} = f_{ki}$  ويمتد المجموع على جميع قيم  $i$  و  $k$  . ويمثل الرمز مثل  $f_{ii} s_i^2$  الطاقة الكامنة لامتداد اصرة معينة او انحناء زاوية معينة ، في حين تمثل الرموز العرضية طاقات التداخل بين مثل هذه البسوكات تسمى  $f_{ik}$ 's ثوابت القوة .

توجد للجزئية الماء ثلاثة احداثيات داخلية ولهذا تسعة ثوابت قوة ، والطريقة المنتظمة لبيانها تتم بعمل ترتيب مربع تعنون فيه الصفوف والاعمدة بالازاحات الداخلية . وهكذا ، نحصل على مصفوفة  $f$  ، وهي مصفوفة  $f_{ik}$ 's ، لاحظ ان هذه المصفوفة متماثلة حول محورها القطري بسبب  $f_{ik} = f_{ki}$  . للجزئية الماء تكون مصفوفة  $f$  كالاتي :

	$\Delta d_1$	$\Delta d_2$	$\Delta \theta$
$\Delta d_1$	$f_d$	$f_{dd}$	$f_{d\theta}$
$\Delta d_2$	$f_{dd}$	$f_d$	$f_{d\theta}$
$\Delta \theta$	$f_{d\theta}$	$f_{d\theta}$	$f_\theta$

اذ تمثل  $f_d$  ثابت القوة لامتداد اصرة O-H و  $f_\theta$  ثابت قوة انحناء زاوية HOH و  $f_{dd}$  و  $f_{d\theta}$  هما ثابتا قوة التداخل بين اصرة ممتدة واحدة مع اخرى ومع انحناء الزاوية ، على التوالي . وهذا يكافئ كتابة الشكل المناسب لمعادلة 10.5-5 كالآتي :

$$2V = f_d(\Delta d_1)^2 + f_d(\Delta d_2)^2 + f_\theta(\Delta \theta)^2 + 2f_{dd}(\Delta d_1 \Delta d_2) + 2f_{d\theta}(\Delta d_1 \Delta \theta) + 2f_{d\theta}(\Delta d_2 \Delta \theta) \quad (10.5-6)$$

كذلك يمكن التعبير عن الطاقة الكامنة بدلالة الاحداثيات التماثلية . نكتب المعادلة

$$10.5-7 \quad \text{بدلاً من المعادلة 10.5-5} : \\ 2V = \sum_{j,l} F_{jl} S_j S_l \quad (10.5-7)$$

تمثل  $F_{jl}$  مرة اخرى ثوابت قوة لكنها تعود الى التذبذبات التي تم وصفها بالاحداثيات التماثلية  $S_j, S_l$  الخ . من وجهة النظر الفيزيائية ، ان  $f_{ik}$  هو الذي يهمنا ، في حين يهمل  $F_{jl}$  والاحداثيات التماثلية المصاحبة ، رياضياً ، الطريقة البسيطة للحسابات بسبب التجزئة التماثلية للمعادلة الزمنية . من الواضح انه اذا امكن التعبير عن  $F_{jl}$ 's بدلالة  $f_{ik}$ 's فاننا نحصل على الوضعية المناسبة ، وتبين الدراسات الالية كيفية عمل ذلك .

يمكن التعبير عن كل من المعادلتين للطاقة الكامنة ، 10.5-5 و 10.5-7 بالمصفوفة الآتية :

$$2V = s'fs \quad (10.5-6a)$$

$$2V = S'FS \quad (10.5-7a)$$

بكتابة  $s_i$ 's على شكل عمود مصفوفة ( موجه ) s ، و  $S_j$ 's على شكل عمود مصفوفة S ، وأخذ s و S على شكل صف المصفوفات المطابقة . يوضح ذلك لجريئة الماء ، كالآتي :

$$\begin{aligned}
& (\Delta d_1 \ \Delta d_2 \ \Delta \theta) \begin{bmatrix} f_d & f_{dd} & f_{d\theta} \\ f_{dd} & f_d & f_{d\theta} \\ f_{d\theta} & f_{d\theta} & f_{\theta\theta} \end{bmatrix} \begin{bmatrix} \Delta d_1 \\ \Delta d_2 \\ \Delta \theta \end{bmatrix} \\
& = (\Delta d_1 \ \Delta d_2 \ \Delta \theta) \begin{bmatrix} f_d \Delta d_1 + f_{dd} \Delta d_2 + f_{d\theta} \Delta \theta \\ f_{dd} \Delta d_1 + f_d \Delta d_2 + f_{d\theta} \Delta \theta \\ f_{d\theta} \Delta d_1 + f_{d\theta} \Delta d_2 + f_{\theta} \Delta \theta \end{bmatrix} \\
& = f_d(\Delta d_1 \ \Delta d_1) + f_{dd}(\Delta d_2 \ \Delta d_1) + f_{d\theta}(\Delta \theta \Delta d_1) \\
& \quad + f_{dd}(\Delta d_1 \ \Delta d_2) + \dots + \dots f_{\theta}(\Delta \theta \ \Delta \theta) \\
& = f_d(\Delta d_1)^2 + f_d(\Delta d_2)^2 + f_{\theta}(\Delta \theta)^2 + 2f_{dd}(\Delta d_1 \ \Delta d_2) + 2f_{d\theta}(\Delta d_1 \ \Delta \theta) \\
& \quad + 2f_{d\theta}(\Delta d_2 \ \Delta \theta)
\end{aligned}$$

وهي مكافئة ، كما هو مبين ، للمعادلة 10.5-6

من الممكن أيضاً كتابة العلاقة بين الاحداثيات الداخلية والاحداثيات التماثلية ،  
10.5-4 ، على شكل مصفوفة :

$$S = Us \quad (10.5-8)$$

اذ تمثل المصفوفة U كالآتي :

$$\begin{matrix} & \Delta d_1 & \Delta d_2 & \Delta \theta \\ \begin{matrix} S_1 \\ S_2 \\ S_3 \end{matrix} & \begin{bmatrix} 0 & 0 & 1 \\ 1/\sqrt{2} & 1/\sqrt{2} & 0 \\ 1/\sqrt{2} & -1/\sqrt{2} & 0 \end{bmatrix} \end{matrix}$$

يعد مقلوب مصفوفة U ببساطة البديل U ، لان U نصف تحولات خطية متعامدة  
وهكذا ، قد تكتب المعادلة 10.5-8 كالآتي :

$$s = U^{-1}S = U'S \quad (10.5-8a)$$

وكذلك هناك

$$s = (U S) = S'U \quad (10.5-9)$$

يمكن الان مساواة الجهة اليمنى من المعادلتين 10.5-6a و 10.5-7a  
تطبيق العلاقتين 10.5-8 و 10.5-9

$$s'fs = S'FS$$

$$(S'U) f(U'S) = S'FS$$

$$S'(U f U')S = S'FS$$

$$U f U = F$$

وهكذا نحصل على معادلة مصفوفة بسيطة لتحويل مصفوفة  $f$  الى المصفوفة  $F$  .  
لنطبق ذلك على جزيئة الماء :

$$F = UfU'$$

$$= \begin{bmatrix} 0 & 0 & 1 \\ 1/\sqrt{2} & 1/\sqrt{2} & 0 \\ 1/\sqrt{2} & -1/\sqrt{2} & 0 \end{bmatrix} \begin{bmatrix} f_d & f_{dd} & f_{d\theta} \\ f_{dd} & f_d & f_{d\theta} \\ f_{d\theta} & f_{d\theta} & f_\theta \end{bmatrix} \begin{bmatrix} 0 & 1/\sqrt{2} & 1/\sqrt{2} \\ 0 & 1/\sqrt{2} & -1/\sqrt{2} \\ 1 & 0 & 0 \end{bmatrix}$$

$$= \begin{bmatrix} 0 & 0 & 1 \\ 1/\sqrt{2} & 1/\sqrt{2} & 0 \\ 1/\sqrt{2} & -1/\sqrt{2} & 0 \end{bmatrix} \begin{bmatrix} f_{d\theta} & 1/\sqrt{2}(f_d + f_{dd}) & 1/\sqrt{2}(f_d - f_{dd}) \\ f_{d\theta} & 1/\sqrt{2}(f_{dd} + f_d) & 1/\sqrt{2}(f_{dd} - f_d) \\ f_\theta & 2/\sqrt{2}(f_{d\theta}) & 0 \end{bmatrix}$$

$$= \begin{bmatrix} f_\theta & \sqrt{2}f_{d\theta} & 0 \\ \sqrt{2}f_{d\theta} & f_d + f_{dd} & 0 \\ 0 & 0 & f_d - f_{dd} \end{bmatrix}$$

يلاحظ ان مصفوفة  $F$  مجزأة تماثلها الى  $2 \times 2$  من التجمعات لاثنين من تذبذبات  $A_1$  ومتجمع احادي البعد لتذبذب  $B_1$  الاحادي ويعبر عن كل عنصر فيها بشكل اتحاد ثوابت القوة الداخلية المختلفة .  
 $f_d, f_\theta, f_{dd}, f_{d\theta}$

مصفوفة  $G$  :

يمكن وضع مصفوفة  $G$  بطريقة شكلية مشابهة للطريقة المستعملة في حالة مصفوفة  $F$  . وهكذا . بصورة عامة . نحصل على

$$G = UgU' \quad (10.5-11)$$

وتكون المعادلة الواضحة لجزيئة الماء كالآتي :

$$G = \begin{bmatrix} 0 & 0 & 1 \\ 1/\sqrt{2} & 1/\sqrt{2} & 0 \\ 1/\sqrt{2} & -1/\sqrt{2} & 0 \end{bmatrix} \begin{bmatrix} g_{11} & g_{12} & g_{13} \\ g_{12} & g_{22} & g_{23} \\ g_{13} & g_{23} & g_{33} \end{bmatrix} \begin{bmatrix} 0 & 1/\sqrt{2} & 1/\sqrt{2} \\ 0 & 1/\sqrt{2} & -1/\sqrt{2} \\ 1 & 0 & 0 \end{bmatrix}$$

حيث اعطيت عناصر مصفوفة  $g$  رموزاً عامة باستثناء  $g_{21}$  المستبدل بالرموز  $g_{12}, g_{31}$  واستبدل  $g_{13}$  و  $g_{32}$  بالرمز  $g_{23}$  بسبب حاجة المصفوفة العامة في كونها متماثلة حول محورها القطري . كذلك يمكن اجراء التعويضات

$$g_{11} = g_{22}, \quad g_{13} = g_{23}$$

وبسبب كون الاحداثيين الداخليين 1 و 2 متكافئين ( $\Delta d_1, \Delta d_2$ ) . مع هذه التعويضات الاخرى تكون نتيجة ضرب المصفوفة . كالآتي :

$$G = \begin{bmatrix} g_{33} & \sqrt{2}g_{13} & 0 \\ \sqrt{2}g_{13} & g_{11} + g_{12} & 0 \\ 0 & 0 & g_{11} - g_{12} \end{bmatrix}$$

يبقى الان للأخذ بنظر الاعتبار كيفية التعبير عن  $g_{ij}$ 's بدلالة الكتل الذرية والابعاد في الجزئية . ان الطريقة المتبعة . مع انها ليست صعبة لكنها مملة بالتأكيد . موضحة في كتاب Wilson . Decius و Cross . وكتب متخصصة اخرى . اذ يمكن جدولة الطرق المستعملة بصورة اكثر شيوعاً بشكل علاقات عامة قد تدخل فيها الحدود المعينة لأية جزئية . ويعطي الملحق VIII هذه الجدولة وطرق استعمالها . لقد وجد ان :

$$g_{11} = \mu_H + \mu_O$$

$$g_{12} = \mu_O \cos \theta$$

$$g_{13} = -(\mu_O/r) \sin \theta$$

$$g_{33} = 2(\mu_H + \mu_O - \mu_O \cos \theta)/r^2$$

اذ ان  $\mu_H$  = معكوس ( reciprocal ) كتلة الذرة H . - - - الخ تصبح بعد ذلك مصفوفة G . التي تجزأ تماثلياً بالتشابه مع مصفوفة F . كالآتي :

$$\begin{bmatrix} 2(\mu_H + \mu_O - \mu_O \cos \theta)/r^2 & -(\sqrt{2}\mu_O/r) \sin \theta & 0 \\ -(\sqrt{2}\mu_O/r) \sin \theta & \mu_H + \mu_O(1 + \cos \theta) & 0 \\ 0 & 0 & \mu_H + \mu_O(1 - \cos \theta) \end{bmatrix}$$

عندما تُعرف او تُعين حدود البنية الجزئية . قد تختزل هذه المصفوفة الى تجمع من الاعداد . وهكذا . نحصل على المصفوفة الاتية لجزئية الماء . باستخدام  $\theta = 104^\circ 31'$  و  $r = 0.9580$  انكستروم :

$$G = \begin{bmatrix} 2.332 & -0.0893 & 0 \\ -0.0893 & 1.0390 & 0 \\ 0 & 0 & 1.0702 \end{bmatrix}$$

وبشأن جزئية الماء . تم حل مسألة التعبير عن العلاقة بين ترددات الاشكال الاساسية وتجمع ثوابت القوة بطريقة اعطت معادلات بسيطة كما يسمح لها التماثل ان تكون . في

هذه الحالة ، تجزأ المعادلة الزمنية الى معادلة واحدة من الرتبة الثانية لتذبذبات  $A_1$  ومعادلة واحدة من الرتبة الاولى لتذبذب  $B_1$  الاحادي. يتمثل الشكل الواضح لهذه المعادلات المنفصلة كالآتي :

$$A_1: \begin{bmatrix} f_\theta & \sqrt{2}f_{d\theta} \\ \sqrt{2}f_{d\theta} & f_d + f_{dd} \end{bmatrix} \begin{bmatrix} 2.332 & -0.0893 \\ -0.0893 & 1.0390 \end{bmatrix} - \begin{bmatrix} \lambda & 0 \\ 0 & \lambda \end{bmatrix} = 0$$

$$B_1: 1.0702(f_d - f_{dd}) = \lambda$$

هذه هي نهاية التحليل التماثلي ، ومن ثم تصبح المسألة حسابية وتحتاج الى استعمال الحاسبة الالكترونية .

لاتعد المسألة الحسابية موضوعاً مناسباً للشرح هنا ، لكن بعض الملاحظات القليلة عنها قد تكون مناسبة . من المفيد عملياً حساب ثوابت القوة من الترددات الملاحظة ، ولكن ، بصورة عامة ، لايمكن الحصول على العلاقات التحليلية لثوابت القوة كدوال واضحة للترددات والحدود الهندسية . والطريقة الفعالة لحساب ثوابت القوة من الترددات تتم باستعمال طريقة التكرار ، التي تجرى باستخدام الحاسبة الالكترونية .

ولعمل ذلك ، يتبقى تجمع مبدئي لثوابت قوة مفترضة بتقريبات متعاقبة حتى يتم الحصول على التجمع الذي يعطي الترددات المحسوبة في توافق جيد مع الترددات الملاحظة .

تكمن المشكلة الاضافية في حساب ثوابت القوة في ان - تمثل جزئية الماء الحالة الجالية التي تمت معاملتها هنا - مجال القوة الذي يشتمل على ثوابت التداخل الاساس ، اضافة الى ثوابت الامتداد والانحناء ، يمتلك ثوابت اكرينبي حسابها مما يوجد للترددات الاساسية من اكرالطرق العملية العامة التي تتماشى مع هذه المشكلة قياس الترددات في الجزئيات المعوضة نظائرياً ، اذ تهىء بذلك تجمعات جديدة من

المعادلات المشتملة على ترددات مختلفة وبعض عناصر مصفوفة  $G$  المختلفة ، وثوابت القوة نفسها . للجزئيات الخفيفة التي يمكن ان تلاحظ في الطور الغازي ، تهىء تأثيرات الانحراف من المركز ( centrifugal distortion ) مصدراً آخر لقيم ثوابت القوة .

## 10.6 قواعد الاختيار لانتقالات التذبذبات الاساسية :

يمكن كتابة الدوال الموجية للاشكال الاعتيادية بأبسط الطرق الممكنة باستعمال الاحداثيات الاعتيادية على شكل متغيرات ( variables ) . وكما هو مبين في معظم كتب ميكانيك الكم الاولي . تمتلك هذه الدوال الموجية . بافتراض كون التذبذبات متوافقة ( تمثل الطاقة الكامنة دالة مربع احداثي الازاحة فقط ) . الشكل الآتي :

$$\psi_i(n) = N_i e^{-(\alpha_i/2)\xi_i^2} H_n(\sqrt{\alpha_i} \xi_i) \quad (10.6-1)$$

اذ يمثل  $N_i$  ثابت التعديل .  $\alpha_i = 2\pi v_i/h$  ( تمثل  $v_i$  تردد الشكل الاعتيادي في التسلسل  $i$  ) ويمثل  $H_n$  متعدد حدود هيرمت ذو الرتبة  $n$  وتمثل  $\xi_i$  التسلسل للاحداثي الاعتيادي معبراً عنه بشكل SALC لاحداثيات الازاحة الداخلية ، ويمثل العدد  $n$  عدد الكم التذبذي . يكون صفراً في حالة الاستقرار و 1 في حالة التهيج الاولي . وهكذا . تكون الحدود المتعددة الاولي لهيرمت :  $H_n(x)$  . كالآتي :

$$\begin{aligned} H_0(x) &= 1 & H_1(x) &= 2x \\ H_2(x) &= 4x^2 - 2 & H_3(x) &= 8x^3 - 12x \end{aligned} \quad (10.6-2)$$

وكما هو مبين في الفقرة (1-5) ينبغي ان تكون الدوال الموجية القواعد لتمثيلات المجموعة التماثلية غير المختزلة في الجزئية . ويصح الشيء نفسه . بالطبع . لجميع انواع الدوال الموجية . التذبذبية والدورانية والالكترونية . وغيرها . لنلاحظ الان التمثيلات التي تنتج عن الدوال الموجية التذبذبية للاشكال الاعتيادية . ويادخل  $H_0(\sqrt{\alpha_i} \xi_i)$

$$\psi_i(0) = N_i e^{-(\alpha_i/2)\xi_i^2} \quad (10.6-1) \text{ نحصل على :}$$

وحين تمثل  $\xi_i$  تذبذبا غير منحل ، تعمل جميع عمليات التماثل على تغييره الى  $\pm 1$  في نفسه ، ومن هنا لا تتغير  $\xi_i^2$  في العمليات التماثلية جميعاً . وهكذا ، لا تتغير  $\psi_i(0)$  تحت العمليات التماثلية جميعها وتكون القاعدة للتمثيل المتماثل كلياً في المجموعة واذا كانت  $\xi_i$  احداثياً اعتيادياً يصف أحد تجمعات التذبذبات المنحلة ، فان أية عملية تماثلية تغيره الى  $\pm 1$  في نفسه أو الى اتحاد خطي لجميع اعضاء التجمع ( انظر :

الفقرة 10.2). لنفترض ان  $\xi_a$  و  $\xi_b$  هما احداثيان تذبذبيان لزوج من التذبذبات المنحلة وان عملية تماثلية ما  $R$  . تعمل على  $\xi_a$  ولها التأثير :

$$\hat{R}\xi_a = \xi'_a = r_a \xi_a + r_b \xi_b$$

فاذا جعل كل من  $\xi_a$  و  $\xi_b$  معدلاً ، تكون  $r_a$  و  $r_b$  بحيث انه يجب جعل  $\xi'_a$  معدلة ايضاً . ومن ثم نحصل . لكون الاحداثيات الاعتيادية متعامدة ومعدلة ، على :

$$\xi_a^2 = 1, \quad \xi_b^2 = 1.$$

وهكذا . لا تتغير  $\psi_i(0)$  بالنسبة لجميع العمليات التماثلية ، في الحالة المعدلة ايضاً . لذلك . يمكن ان نعرف القواعد المهمة الآتية :

تكون جميع الدوال الموجية للتذبذبات الاعتيادية في حالات استقرارها ، قواعد للتمثيل التماثل كلياً لمجموعة النقطة في الجزئية .  $\psi_i(0)$

ولحالات التذبذب المهيجة ،  $\psi_i(n)$  . تكون الدوال الموجية ناتج الدالة الاسية نفسها مثل حالة الاستقرار التي لوحظت دائماً متماثلة كلياً ، ومتعدد حدود هيرمت في التسلسل  $n$  . لذلك تمتلك  $\psi_i(n)$  تماثل متعدد حدود هيرمت في التسلسل  $n$  .

ولحالة التهيج الاولى . نجد بعد ذلك ان للدالة الموجية .  $\psi_i(1)$  . التماثل نفسه كما للدالة  $\xi_i$  : ولحالة التهيج الثانية تماثل  $\xi_i^2$  . وهذا يعني انها متماثلة كلياً .

لنأخذ جزئية ذات العدد  $k$  من الاشكال الاعتيادية للتذبذب . تكون لكل شكل من هذه الاشكال ، في اي وقت ، حالة كم معينة ؛ والدالة الموجية للشكل في التسلسل  $i$  في حالة التسلسل  $n$  هي  $\psi_i(n_i)$  . وقد يستعمل للدالة الموجية التذبذبية الجزئية الكلية ،  $\psi_0$  ، ناتج الدالة  $\psi_i(n_i)$  لان المتغيرات في كل من  $\xi_i$  تكون غير معتمدة خطياً . وهكذا ، يمكن كتابة :

$$\psi_0 = \psi_1(n_1) \cdot \psi_2(n_2) \cdot \psi_3(n_3) \cdot \dots \cdot \psi_k(n_k) \quad (10.6-3)$$

وعندما يساوي كل من  $n_i$  صفراً ، تكون الجزئية في حالة استقرارها التذبذبية . فاذا امتصت اشعة يتهيج بها الشكل الاعتيادي في التسلسل  $i$  الى حالة ذات  $n_i = 1$  في حين تبقى الاشكال الاعتيادية الباقية  $k - 1$  في حالاتها الواطئة ( $n = 0$ ) ، يقال انه حدث للجزئية انتقال اساس للتذبذب الاعتيادي في التسلسل  $i$  . وتسمى انتقالات  $k$  المختلفة لهذا النوع بالاساسات ( fundamental ) للجزئية .



ولما كانت الانتقالات الأساس تعطي عموماً حزم امتصاص تحت الحمراء (infrared absorption bands) وخطوط رامان (Raman lines) التي تكون أكثر شدة في الأقل بدرجة واحدة من السعة أكثر من أي نوع آخر من الانتقال<sup>٥</sup> . وهي ذات أهمية أكبر لكننا سنتعامل هنا مع الأساسات . ويمكن الحصول على قواعد الاختيار للأنواع الأخرى من الانتقال بمناقشات من النوع الذي سيستعمل . لكن القاري يجب أن يكون حذراً من ناحية الأشكال المنحلة حيث تظهر في الغالب تعقيدات صعبة<sup>٦</sup> .

وللانتقال الأساس للشكل الاعتيادي في التسلسل  $r$  . يمكن أن نكتب

$$\prod_i \psi_i(0) \rightarrow \psi_r(1) \prod_{i \neq r} \psi_i(0)$$

و باختصار الدوال الموجية التذبذبية الجزيئية الكلية في حالتها الاستقرار والتهيج بالرموز  $\psi_v^0$  و  $\psi_v^j$  ، على التوالي . يصبح بالإمكان كتابة :

$$\psi_v^0 \rightarrow \psi_v^j$$

لحدوث الانتقال الأساس بامتصاص الأشعة ثنائية القطب تحت الحمراء ( انظر الفقرة 5.3 ) من الضروري أن يكون واحد أو أكثر من التكاملات الآتية لا يساوي صفراً .

$$\int \psi_v^0 x \psi_v^j d\tau$$

$$\int \psi_v^0 y \psi_v^j d\tau$$

$$\int \psi_v^0 z \psi_v^j d\tau$$

إذا تهيجت جزيئة واحدة لوحدها بصورة ثنائية ، يسمى هذا الانتقال بالحزمة التوافقية الأولى *first overtone* للأساس ؛ وإذا تهيج شكل واحد لوحده بصورة ثلاثية ، يسمى ذلك بالحزمة التوافقية الثلاثية ، وهكذا . وتسمى الانتقالات التي تهيج فيها اثنان أو أكثر من الأشكال في آن واحد ( بوحدة واحدة أو أكثر لكل منها ) بالنغمات المتحدة ( *combination tones* ) وإذا امتلكت الجزيئة مبدئياً واحداً أو أكثر من الأساسات في حالة التهيج (  $n > 0$  ) ، تسمى أية انتقالات تحدث لها بالانتقالات الحارة ( *hot transitions* ) .

للتفصيلات بالنسبة لقواعد الاختيار للأنواع الأخرى من الانتقالات ينبغي الاستعانة بكتاب

Molecular vibration by Wilson , Decius & Cross

وخاصة الصفحات 151 - 155 ، حيث تعامل التعقيدات الناتجة بسبب الانحلال

يشير  $x, y, z$  في هذه التكاملات الى ترتيب الموجه الكهربائي المتذبذب للاشعة نسبة الى النظام الاحداثي الديكارتي الثابت في الجزيرة .

والان . باستعمال النتائج المبينة في الفقرة ( 5.3 ) ، من السهولة بمكان ايجاد ما اذا كانت هذه التكاملات تختفي أولاً . لما كانت  $\psi_v^0$  تعود الى التمثيل المتماثل كلياً ، وجب ان تعود الاحداثيات  $x, y, z$  الى التمثيل نفسه لاجل ان يحتوي ناتجها المباشر على التماثل المتماثل كلياً . على حين قد يحتوي التمثيل المعطى بالتكامل الكلي ، على التمثيل المتماثل كلياً . ونظراً لوجوب امتلاك  $\psi_r(1)$  التماثل نفسه مثل الاحداثي الاعتيادي  $r_j$  في التسلسل  $z$  ، ونظراً لان جميع الدوال الموجية الاخرى  $\psi_r(0)$  متماثلة كلياً . تعود  $\psi_v^j$  الى التمثيل نفسه مثل الشكل الاعتيادي الذي يحدث له الانتقال الاساس .

وهكذا نحصل على القاعدة الاتية البسيطة جداً لنشاط الاساسات في امتصاص الاشعة تحت الحمراء :

يكون الاساس من نوع تحت الحمراء نشطاً ( اي انه يعطي حزمة امتصاص ) اذا كان الشكل الاعتيادي المهيج يعود الى التمثيل نفسه لاحداثي واحد او عدة احداثيات ديكارتية .

وبالطبع . تبين جداول الخاصية التمثيلات التي تعود اليها الاحداثيات الديكارتية ، وهكذا يمكن استنتاج هذه القاعدة بكل سهولة .

ولانتشار رامان ( Raman scattering ) . من الضروري ان يكون احد ، التكاملات من النوع  $\int \psi_v^0 P \psi_v^j dt$  لايساوي صفراً تمثل  $P$  في هذه التكاملات احدى الدوال الرباعية للاحداثيات الديكارتية ، مثل  $x^2, y^2, z^2, xy, yz, zx$  . جميعها مبنية ( ببساطة او بشكل متحد مثل  $x^2 - y^2$  ) مقابل التمثيلات التي تنتجها في جداول الخاصية . تعد  $P$ 's هذه مكونات لشدة الاستقطاب ، ويعني احتياج كون التكاملات في اعلاه لاتساوي صفراً فيزيائياً وجوب وجود تغير في استقطاب الجزيرة عند حدوث الانتقال . وللسبب نفسه تماماً كما هو مستعمل في اعلاه بالنسبة لامتصاص الاشعة تحت الحمراء ، نحصل على القاعدة البسيطة الاتية لنشاط رامان بالنسبة للاساسات .

يكون الانتقال الاساس رامان نشطاً ( يعطي ازاحة رامان ) اذا كان الشكل الاعتيادي المشترك يعود الى التمثيل نفسه مثل واحد او اكثر من مكونات شدة الاستقطاب في الجزيئة .

ويمكن توضيح هذه القواعد باستخدام ايون الكربونات. يلاحظ في جدول خاصة  $D_{3h}$  ان  $(x, y)$  يكون القاعدة لتمثيل  $E'$  و  $z$  لتمثيل  $A_2''$  . ويلاحظ فسي مكونات شدة الاستقطاب أن واحداً او اكثر منها يعود الى التمثيلات  $A_1', E', E''$  وهكذا ، نحصل على قواعد الاختيار الآتية لاية جزيئة ذات تماثل  $D_{3h}$  .

$A_1', E''$  : رامان نشط فقط

$A_2''$  : تحت الحمراء نشط فقط

$E'$  : رامان وتحت الحمراء نشط

وفي حالة ايون الكربونات الخاصة :

$v_1(A_1')$  : رامان فقط

$v_2(A_2'')$  : تحت الحمراء فقط

$v_3(E'), v_4(E)$  : رامان وتحت الحمراء

10.7 أمثلة توضيحية :

جزيئة  $AB_3$  الهرمية :

يستعمل هذا النوع من الجزيئات لتوضيح جميع الطرق والتقنيات التي شرحت فيما سبق من هذا الفصل ، بضمنها وضع المعادلة الزمنية التذبذبية بطريقة مصفوفة  $F-G$  .

الانواع التماثلية للاشكال الاعتيادية : يوجد لهذه الجزيئة غير الخطية رباعية الذرة  $6 - 3(4) = 6$  من التذبذبات الداخلية الحقيقية . وباستعمال التجمع من احداثيات الازاحة الديكارتية الثلاثة على كل ذرة ، نحصل على التمثيل الآتي لمجموعة  $C_{3v}$

$C_{3v}$	$E$	$2C_3$	$3\sigma_v$
$\Gamma$	12	0	2

اذ يمكن اختزاله لاعطاء

$$\Gamma = 3A_1 + A_2 + 4E$$

يبين جدول خاصية  $C_{3v}$  ان الانتقالات تعزى  $A_1 + E$  وتفسر الدورانات  $A_2 + E$  .  
وتترك للتذبذبات الداخلية الحقيقية .

$$2A_1 + 2E$$

قواعد الاختيار :

يبين جدول الخاصية ان تذبذبات  $A_1$  و  $E$  تكون تحت الحمراء ورامان نشطة  
وهكذا . ينبغي على جميع الاشكال الاساسية الاربعة لمثل هذه الجزيئة ان تلاحظ في  
اطياف تحت الحمراء ورامان .

اسهامات الاحداثي الداخلي :

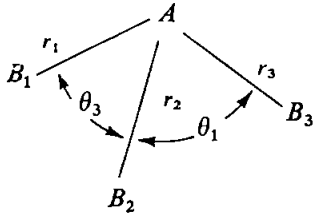
قد تعين طبيعة التذبذبات . بدلالة تغيرات الاحداثيات الداخلية ، باستعما' ثلاثة  
اطوال اصرة A-B وثلاث زوايا ABA على شكل احداثيات داخلية وفي هذه  
الحالة لا يتم الحصول على نتائج زائفة او فائضة ، لان جميع هذه الاحداثيات الداخلية  
الستة قد تتغير بصورة مستقلة . ومن السهولة ايجاد كون التمثيل  $\Gamma_{AB}$  المعطى بواسطة  
اطوال الآصرة والتمثيل  $\Gamma_s$  المعطى بواسطة زوايا الآصرة . كالآتي :

$C_{3v}$	$E$	$2C_3$	$3\sigma_v$
$\Gamma_{AB}$	3	0	1
$\Gamma_s$	3	0	1

يتشابه التمثيلان ويختزل كل منهما الى  $A_1 + E$  . لذلك يتبع ان كلا من الاشكال  
الاعتيادية  $A_1$  يشتمل على كل من امتداد الاصرة وتشويهات زوايا الآصرة ، فضلاً عن  
اشكال  $E$  .

مصفوفات F و G :

يبين المخطط في ادناه الاحداثيات الداخلية . لقد تم سابقاً في الفقرة 6.3  
اشتقاق SALC's التي تكون الاحداثيات الداخلية لجزيئة  $AB_3$  ، ويعاد اعطاؤها  
هنا :



$$A_1 \left\{ \begin{aligned} S_1 &= \frac{1}{\sqrt{3}} (\Delta r_1 + \Delta r_2 + \Delta r_3) \\ S_2 &= \frac{1}{\sqrt{3}} (\Delta \theta_1 + \Delta \theta_2 + \Delta \theta_3) \end{aligned} \right.$$

$$E \left\{ \begin{aligned} S_{3a} &= \frac{1}{\sqrt{6}} (2\Delta r_1 - \Delta r_2 - \Delta r_3) \\ S_{3b} &= \frac{1}{\sqrt{2}} (\Delta r_2 - \Delta r_3) \\ S_{4a} &= \frac{1}{\sqrt{6}} (2\Delta \theta_1 - \Delta \theta_2 - \Delta \theta_3) \\ S_{4b} &= \frac{1}{\sqrt{2}} (\Delta \theta_2 - \Delta \theta_3) \end{aligned} \right.$$

ينبغي ان يلاحظ انه قد تم عنونة احداثيات الازاحة ومن ثم دمجها في الاحداثيات التماثلية من نوع  $A_1$  بطريقة خاصة. وقد رتب الزوايا بحيث ان  $\theta_i$  يقابل  $r_i$ . يؤكد ذلك ان  $\theta_i$  والتغير فيها  $\Delta \theta_i$ ، ترتبط بعناصر التماثل الجزئية بالطريقة نفسها مثل  $r_i$  و  $\Delta r_i$ . من ثم، عندما تكتب SALC's، تشغل  $\Delta \theta_i$  و  $\Delta r_i$  مواقع مطابقة في العلاقات. ومالم يجر ذلك، تكون التجزئة التماثلية عديمة الفائدة.

يمكن الآن كتابة مصفوفة U. وفي عمل ذلك، توضع الانواع المطابقة لاحداثيات E التماثلية  $S_{3a}, S_{4a}$  و  $S_{3b}, S_{4b}$ ، في الصفوف المتعاقبة. وتكون مصفوفة U كالآتي:

	$r_1$	$r_2$	$r_3$	$\theta_1$	$\theta_2$	$\theta_3$
$S_1$	$1/\sqrt{3}$	$1/\sqrt{3}$	$1/\sqrt{3}$	0	0	0
$S_2$	0	0	0	$1/\sqrt{3}$	$1/\sqrt{3}$	$1/\sqrt{3}$
$S_{3a}$	$2/\sqrt{6}$	$-1/\sqrt{6}$	$-1/\sqrt{6}$	0	0	0
$S_{4a}$	0	0	0	$2/\sqrt{6}$	$-1/\sqrt{6}$	$-1/\sqrt{6}$
$S_{3b}$	0	$1/\sqrt{2}$	$-1/\sqrt{2}$	0	0	0
$S_{4b}$	0	0	0	0	$1/\sqrt{2}$	$-1/\sqrt{2}$

وتكون مصفوفة U التي تبينها في هذا التوضيح كالآتي:

	$\Delta r_1$	$\Delta r_2$	$\Delta r_3$	$\Delta \theta_1$	$\Delta \theta_2$	$\Delta \theta_3$
$\Delta r_1$	$f_r$	$f_{rr'}$	$f_{rr'}$	0	$f_{r\theta}$	$f_{r\theta}$
$\Delta r_2$	$f_{rr'}$	$f_r$	$f_{rr'}$	$f_{r\theta}$	0	$f_{r\theta}$
$\Delta r_3$	$f_{rr'}$	$f_{rr'}$	$f_r$	$f_{\theta\theta}$	$f_{r\theta}$	0
$\Delta \theta_1$	0	$f_{r\theta}$	$f_{r\theta}$	$f_\theta$	0	0
$\Delta \theta_2$	$f_{r\theta}$	0	$f_{r\theta}$	0	$f_\theta$	0
$\Delta \theta_3$	$f_{r\theta}$	$f_{r\theta}$	0	0	0	$f_\theta$

قد يلاحظ ان مصفوفة  $f$  الكاملة ( اي المصفوفة غير المحتوية على اصفار ) تمتلك ستة ثوابت قوة مختلفة :  $f_r, f_{rr'}, f_\theta, f_{r\theta}, f_{r\theta'}, f_{\theta\theta'}$  . يشير الثابتان الاخيران للذان حذفاً الى التداخل بين  $\Delta r_i$  و  $\Delta \theta_i$  ( التداخل بين امتداد الآصرة وتشويه الزاوية التي لاتعود اليها الآصرة ) والتداخل بين زاويتين مشوهتين ، على التوالي . ونظراً لوجود اربعة ترددات اساسية فقط ، يستحيل الحل بالنسبة لجميع ثوابت القوة الستة باستعمال قيم نوعية نظرية واحدة فقط . وفي هذه الحالة ، يوجد ثابتا قوة يظهران بأنهما صغيران وأقل اهمية من الثوابت الاخرى ، وقد أهملنا من البداية ، وهكذا ، يصبح من المحتمل توفر القيم التجريبية الكافية لثوابت القوة الباقية .

وباستخدام مصفوفتي  $U$  و  $f$  المبينتين في أعلاه . نجد

$$F = UfU' = \left[ \begin{array}{cc|cc|cc} f_r + 2f_{rr'} & 2f_{r\theta} & 0 & 0 & 0 & 0 \\ 2f_{r\theta} & f_\theta & 0 & 0 & 0 & 0 \\ \hline 0 & 0 & f_r - f_{rr'} & -f_{r\theta} & 0 & 0 \\ 0 & 0 & -f_{r\theta} & f_\theta & 0 & 0 \\ \hline 0 & 0 & 0 & 0 & f_r - f_{rr'} & -f_{r\theta} \\ 0 & 0 & 0 & 0 & -f_{r\theta} & f_\theta \end{array} \right]$$

المتجمع الاول ، في اعلى اليسار يمثل شكلي  $A_1$  ، ويمثل المتجمعان الباقيان المتشابهان مكونات  $a$  و  $b$  لاشكال  $E$  ، وهكذا . تحدث التجزئة الى معادلتين من الرتبة الثانية كما هو متوقع . واذا لم يتم اختيار وترتيب الاحداثيات الداخلية والاحداثيات التماثلية (SALC's) بحيث تتوافق تجمعات  $\Delta r_i$  و  $\Delta \theta_i$  بصورة صحيحة ، كما هو مبين سابقاً ، فان تجزئة متجمع  $E$   $4 \times 4$  الى متجمعين متشابهين  $2 \times 2$  لا يكمل .

واخيراً ، يجب وضع مصفوفة  $G$  . وباستخدام الترقيم المعرف في الشكل AVIII.1 من الملحق واهمال العناصر التي ترتبط تماثلياً حول المحور القطري مع العناصر المعطاة . تكتب مصفوفة  $g$  كالآتي :

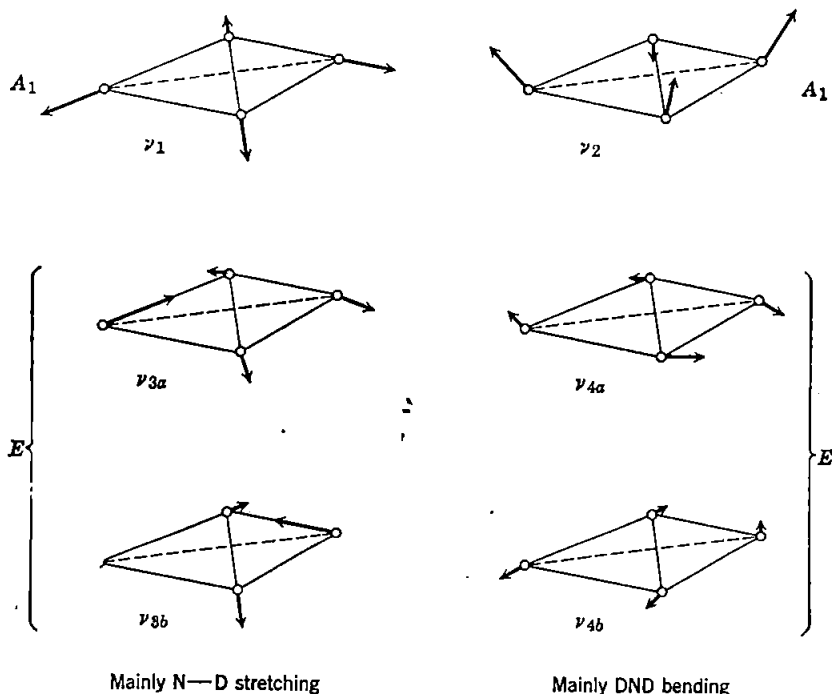
	$r_1$	$r_2$	$r_3$	$\theta_1$	$\theta_2$	$\theta_3$
$r_1$	$g_{rr}^2$	$g_{rr'}^1$	$g_{rr'}^1$	$g_{r\theta}^1(2)$	$g_{r\theta}^2$	$g_{r\theta}^2$
$r_2$		$g_{rr}^2$	$g_{rr'}^1$	$g_{r\theta}^2$	$g_{r\theta}^1(2)$	$g_{r\theta}^2$
$r_3$			$g_{rr}^2$	$g_{r\theta}^2$	$g_{r\theta}^2$	$g_{r\theta}^1(2)$
$\theta_1$				$g_{\theta\theta}^3$	$g_{\theta\theta}^2(1)$	$g_{\theta\theta}^2(1)$
$\theta_2$					$g_{\theta\theta}^3$	$g_{\theta\theta}^2(1)$
$\theta_3$						$g_{\theta\theta}^3$

من هذه المصفوفة نحصل على :

$$G = U_g U' = \begin{bmatrix} g_{rr}^2 + 2g_{rr'}^1 & g_{r\theta}^1(2) + 2g_{r\theta}^2 & 0 & 0 & 0 \\ 0 & 0 & g_{\theta\theta}^3 + 2g_{\theta\theta}^2(1) & 0 & 0 \\ 0 & 0 & 0 & g_{rr}^2 - g_{rr'}^1 & g_{r\theta}^1(2) - 2g_{r\theta}^2 \\ 0 & 0 & 0 & g_{r\theta}^1(2) - 2g_{r\theta}^2 & g_{\theta\theta}^3 - 2g_{\theta\theta}^2(1) \\ 0 & 0 & 0 & 0 & 0 \end{bmatrix}$$

مستأدوفت اللومبى

يمكن الان دمج مصفوفات  $F$  و  $G$  لتعطي معادلتين ثنائيتي البعد : واحدة لاشكال  $A_1$  والاخرى لاشكال  $E$ . ولتوضيح ما تشابه هذه الاشكال في الحالة الحقيقية ، فانها مرسومة لجزئته  $ND_3$  في الشكل 10.10 . تعتمد هذه الرسوم على الحسابات ( انظر Wilson ، Decius و Cross للتفصيل ) التجريبية للترددات الملاحظة . تستخدم الجزئته  $ND_3$  بدلاً من  $NH_3$  لكون اعتماد الكتلة المعكوس للقدرات التي تكون الموجات على ذرة النتروجين في الامونيا صغيرة وغير عملية مقارنة بالموجات على ذرات الهيدروجين .



شكل 10-10 التذبذبات الاعتيادية لجزئته  $ND_3$  .

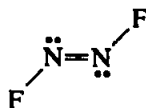
مما ينبغي ملاحظته ان واحداً لكل من اشكال  $A_1$  و  $E$  يشتمل على امتداد الآصرة النقي تقريباً ، على حين يشتمل كل من الاشكال الاخرى على انحناء الزاوية النقي تقريباً . تعد مثل هذه الوضعية شائعة وتجعل من السهل اعطاء تفسير وصفي للترددات الملاحظة حين تغير الجزئيات او اجزاء من الجزئيات ( مثل  $CH_3$  او  $CF_3$  ) محيطها الكيميائي . يجب التأكيد على ان حدوث مثل هذه الانفصالات المناسبة نتيجة للقيم الخاصة للكتل وثوابت القوة ، وعموماً ليس من الضرورة وجود مثل هذا الانفصال « لاشكال الامتداد »



« واشكال الانحناء » . وفي الغالب ، تشتمل الاشكال الاعتيادية على مزيج معقد لعدة احداثيات داخلية ، ففي هذه الحالة ، يكون الشرح البسيط للامتدادات والانحناءات النقية مربكاً تماماً .

:  $Trans-N_2F_2$

تمتلك هذه الجزيئة البنية غير الخطية المستوية الآتية :



وتعود الى مجموعة النقطة  $C_{2h}$  . ولما كانت جزيئة غير خطية رباعية الذرة ، باتت لها  $3(4) - 6 = 6$  درجة من الحرية الداخلية .

يعطي التجمع من موجهاات الازاحة الديكارتية الاثني عشر للجزيئة الكلية التمثيل المختزل الآتي :

$C_{2h}$	$E$	$C_2$	$i$	$\sigma_h$
$\Gamma$	12	0	0	4

اذ يمكن ان يختزل بالطريقة الآتية

$$\Gamma = 4A_g + 2B_g + 2A_u + 4B_u$$

يبين البحث في جدول الخاصية ان الانتقال والدوران يوسع التمثيلات  $A_g + 2B_g + 2A_u + 4B_u$  . او يحذف ذلك من العدد الكلي المكون  $\Gamma$  ، تبقى القائمة الآتية من التمثيلات الموصلة بواسطة التذبذبات الاعتيادية الحقيقية :

$$3A_g + A_u + 2B_u$$

يتم الحصول على قواعد اختيار اساسات هذه الاشكال ، في الحال ، من الاعمدة على جهة اليمين لجدول الخاصية ، وهي

تحت الحمراء نشط :  $A_u, B_u$

رامان نشط :  $A_g$

يمكن تعيين طبيعة هذه التذبذبات الستة بدلالة الاسهامات التي يعملها كل منها بواسطة الاحداثيات الداخلية المختلفة .

يلاحظ أولاً وجوب اشتمال تذبذبات  $A_g$  و  $B_u$  على الحركات فقط خلال المستوي الجزيئي . لكون خاصيات تمثيلات  $A_g$  و  $B_u$  لعملية  $\sigma_h$  موجبة . ويشتمل تذبذب  $A_u$  على تشويه خارج المستوي لكون خاصية  $A_u$  لعملية  $\sigma_h$  سالبة . وهكذا . يمكن وصف الشكل الاعتيادي لتمثيل  $A_u$  بأنه تشويه خارج المستوي . ولمعاملة التذبذبات الخمسة الباقية داخل المستوي نحتاج الى تجمع من خمسة احداثيات داخلية يتم اختيارها بحيث قد تحدث التغيرات فيها كلياً خلال المستوي الجزيئي . يتكون التجمع المناسب الذي يعود الى التآصر في الجزيئة من مسافتي N—F وزاويتين من NNF ومسافة N=N .

لقد وجد ان مسافتي N—F تكونان القاعدة للتمثيل  $\Gamma_{NF}$  والزاويتان من NNF للتمثيل  $\Gamma_{NNF}$  ومسافة N=N للتمثيل  $\Gamma_{NN}$  . التي يعطى كل منها في ادناه :

$C_{2h}$	$E$	$C_2$	$i$	$\sigma_h$
$\Gamma_{NF}$	2	0	0	2
$\Gamma_{NNF}$	2	0	0	2
$\Gamma_{NN}$	1	1	1	1

ومن ثم يسهل بيان ان :

$$\Gamma_{NF} = A_g + B_u$$

$$\Gamma_{NNF} = A_g + B_u$$

$$\Gamma_{NN} = A_g$$

لذلك يتبع كون تذبذبات رامان النشطة الثلاثة ( $A_g$ ) مركبة من امتداد N—F المتماثل وانحناء NNF المتماثل وامتداد N=N المتماثل ، وتعتمد كل من الكميات النسبية المشتركة في كل شكل اعتيادي على القيم الحقيقية لثوابت القوة وعلى الكتل الذرية . وبصورة متشابهة ، يشتمل تذبذبا  $B_u$  في المنطقة تحت الحمراء على امتداد N—F غير المتماثل وانحناء زاوية NNF . مرة اخرى ، تعتمد نسبة كل من هذه التذبذبات في الاشكال الاعتيادية على ثوابت القوة والكتل الذرية .

جزيئات رباعي السطوح ، مثل الميثان :

تمتلك مثل هذه الجزيئات تماثل  $T_d$  . وكنوعية خماسية الذرة غير خطية لها  $9 = 3(5) - 6$  درجة من الحرية الداخلية .

يكون التجمع من موجّهات الازاحة الديكارتية الخمس عشرة القاعدة للتمثيل  
الاتي :

$T_d$	$E$	$8C_3$	$3C_2$	$6S_4$	$6\sigma_d$
$\Gamma$	15	0	-1	-1	3

الذي يختزل كالاتي :

$$\Gamma = A_1 + E + T_1 + 3T_2$$

يبين جدول الخاصية ان الدورانات تتحول بشكل  $T_1$  والانتقالات بشكل  $T_2$  : لذلك  
تكون انواع تماثل التذبذبات الحقيقية . كالاتي

$$A_1, E, 2T_2$$

كذلك يبين جدول الخاصية كون نشاطات هذه الاساسات كالاتي :

رامان فقط :  $E$  و  $A_1$

تحت الحمراء ورامان :  $T_2$

ولايجاد اسهامات الاحداثيات الداخلية واطوال آصرة C-H وزوايا HCH لهذه  
الاشكال التذبذبية . يستخدم اولا تجمع من اربع اطوال لآصرة C-H قاعدة للتمثيل .  
وصولا الى  $\Gamma_{CH}$  المبين في ادناه

$T_d$	$E$	$8C_3$	$3C_2$	$6S_4$	$6\sigma_d$
$\Gamma_{CH}$	4	1	0	0	2
$\Gamma_{HCH}$	6	0	2	0	2

وفد وجد ان ذلك يختزل بسهولة كالاتي :

$$\Gamma_{CH} = A_1 + T_2$$

بصورة متشابهة . يمكن استخدام الزوايا الست ما بين الاواصر لاعطاء التمثيل والحصول  
على  $\Gamma_{HCH}$  . الذي يختزل كالاتي :

$$\Gamma_{HCH} = A_1 + E + T_2$$

ينبغي ان يلاحظ ان الابعاد الكلية لهذين التمثيلين . عشرة . هو عدد فيه زيادة عن العدد الصحيح . وخاصة . ان هناك تمثيلا اضافيا من  $A_1$  . ومن السهولة ايجاد ان التمثيل الزائف او الفائض هو الذي يوجد في  $\Gamma_{\text{HCH}}$  . ومع انه يمكن لجميع مسافات C—H الاربع التغير بصورة مستقلة . يستحيل لجميع الزوايا الستة التغير بهذه الطريقة . فاذا تم تغيير خمس منها اختياريا . فان تغير السادسة يثبت اوتوماتيكيا . ولتذبذب  $A_1$  . ينبغي على جميع الزوايا الست التغير بالطريقة نفسها وفي الوقت نفسه ( اي ان جميعها تزداد او تقل ) . ومن الواضح ان ذلك مستحيل . لذلك . نحصل على النتائج في ان تذبذب  $A_1$  لجزيئة الميثان يتكون بصورة نقية من امتداد C—H وتكون تذبذب  $E$  بصورة نقية من تشويها زوايا HCH . على حين يسهم كل من امتداد الآصرة وانحناء الزاوية في كل من التذبذبات الاعتيادية لتمثال  $T_2$  .

الجزيئات ثمانية السطوح ، مثل  $SF_6$  :

تعود مثل هذه الجزيئات الى مجموعة النقطة  $O_h$  . وتمتلك  $15 = 6 - 3(7)$  درجة من الحرية الداخلية . وتعطي موجهاات الازاحة الديكارتية التمثيل  $\Gamma$  المبين في الجدول في ادناه :

$O_h$	$E$	$8C_3$	$6C_2$	$6C_4$	$3C_2(=C_4^2)$	$i$	$6S_4$	$8S_6$	$3\sigma_h$	$6\sigma_d$
$\Gamma$	21	0	-1	3	-3	-3	-1	0	5	3
$\Gamma_{SF}$	6	0	0	2	2	0	0	0	4	2
$\Gamma_{FSF}$	12	0	2	0	0	0	0	0	4	2

يختزل التمثيل كالاتي :

$$\Gamma = A_{1g} + E_g + T_{1g} + 3T_{1u} + T_{2g} + T_{2u}$$

يبين جدول الخاصية ان الدورانات والانتقالات تعود ، على التوالي . الى تمثيلات  $T_{1g}$  و  $T_{1u}$  . وبعد حذف هذه التمثيلات . نحصل على القائمة الاتية من الاشكال الاعتيادية الحقيقية . مجمعة بحسب نشاطات اساساتها :

تحت الحمراء نشط :  $2T_{1u}$

رامان نشط :  $A_{1g}, E_g, T_{2g}$

غير نشط :  $T_{2u}$

نصادف هنا لأول مرة حدوث التذبذب الاعتيادي غير النشط كليا بشكل اساس لانعد هذه الظاهرة شائعة لكنها تصادف احيانا في الجزيئات المتماثلة نسبيا

لقد اعطينا ايضا في الجدول في اعلاه التمثيلات الناتجة عن التجمع من اواصر S-F الست .  $\Gamma_{SF}$  . والتجمع من زوايا FSF الاثني عشر .  $\Gamma_{FSF}$  . يمكن اختزال هذه التمثيلات كالآتي :

$$\Gamma_{SF} = A_{1g} + E_g + T_{1u}$$

$$\Gamma_{FSF} = A_{1g} + E_g + T_{2g} + T_{1u} + T_{2u}$$

من الواضح هنا وجود بعض التمثيلات الفائضة . ولما كانت احداثيات S-F مستقلة كلياً . وجب أن يكون الفائض كلياً في  $\Gamma_{FSF}$  ( انظر الشرح السابق لجزئة الميثان ) . وبمقارنة العدد الكلي من  $\Gamma_{SF}$  و  $\Gamma_{FSF}$  مع القائمة الصحيحة للاشكال الداخلية الحقيقية . يلاحظ ان تمثيلات  $A_{1g}$  و  $E_g$  الموجودة في  $\Gamma_{FSF}$  هي التمثيلات الزائدة . وهكذا . يستنتج ان كلا من شكلي  $T_{1u}$  يشتمل على اتحاد امتداد الاصرة وتشوه الزاوية . ويشتمل كل من اشكال  $A_{1g}$  و  $E_g$  على امتداد الاصرة فقط وتشتمل اشكال  $T_{2g}$  و  $T_{2u}$  تشوه الزاوية فقط .

## 10.8 بعض التأثيرات الخاصة المهمة :

### قاعدة الاستثناء *The Exclusion Rule*

لنأخذ بنظر الاعتبار جزئية تمتلك مركزاً تماثلها . فعند قلب الاحداثيات الديكارتية x او y خلال هذا المركز . يتحول الى نفسه السالبة . لذلك فان جميع التمثيلات الناتجة عن x . y او z او اي تجمع منها يجب ان يعود الى التمثيل " . ومن ناحية اخرى . لا يغير الناتج الثنائي لاثنتين من الاحداثيات الديكارتية ، مثل xy او  $z^2$  . الاشارة الى الانقلاب لان كل احداثي يغير الاشارة بصورة منفصلة و  $-1 \times -1 = 1$  . لذلك يتبع ان جميع النواتج الثنائية ، التي تمثل مكونات شدة الاستقطاب . تعود الى تمثيلات g .

من هذه القواعد التي يمكن التحقق منها بالبحث في جداول الخاصية ، يستنتج ان في الجزئيات مركزية التماثل يمكن ان تكون اساسات الاشكال التي تعود الى تمثيلات g رامان نشطة وان اساسات الاشكال التي تعود الى تمثيلات " تحت الحمراء نشطة . كذلك يتضح وجوب صحة الشيء نفسه للانتقالات الاخرى اضافة الى الاساسات . لان السبب عام تماماً .

وتعرف الطريقة الاخرى لبيان هذه النتيجة بما يسمى قاعدة الاستثناء . التي تعرف بالشكل الآتي :

« ليس في الجزيئة مركزية التماثل تذبذب نشط من نوع راما وتحت الحمراء ولا يوجد تذبذب نشط من نوع تحت الحمراء ورامان »

يشار للقاريء الى الفقرة السابقة للملاحظة هذه القاعدة مبسطة بالتالين  $trans-N_2F_2$  و  $SF_6$ .

## ريزونانس فيرمي *Fermi Resonance*

تتعامل المعادلة الزمنية التذبذبية كما توضع عادة ( مثل طريقة مصفوفة  $F-G$  ) مع الاشكال الاساسية للتذبذب فقط . يتحكم بالعدد  $n$  من الاشكال الاساسية ذات التماثل المعين البعد  $n \times n$  من العوامل المتجمعة المناسبة لمصفوفات  $F$  و  $G$  . وحين تكون  $n \geq 2$  تعتمد ترددات الاشكال المختلفة داخليا على درجة تعين بواسطة عناصر المصفوفة خارج المحور القطري . لاناخذ المعادلة الزمنية الاعتيادية بنظر الاعتبار الحزم التوافقية او الاتحادات ولهذا تهمل اي تأثير لها على الاساسات . يكون هذا التقريب في معظم الحالات مقنعا جدا ، لكن هناك بعض الامثلة للتداخل القوي بين الحزمة التوافقية او الاتحاد مع الاساس ، اذ يحدث ذلك عندما يعطي تهيجان حالات بالتماثل نفسه . وتسمى ظاهرة التداخل ريزونانس فيرمي لان Enrico Fermi اول من عرفها ووضحها في الطيف التذبذبي لثنائي اوكسيد الكربون .

بعد ريزونانس فيرمي مثالا خاصا للظاهرة العامة المسماة تداخل الترتيب التي تسم شرحها سابقا مع الاطيف الالكترونية ( الفقرة 168 ) . وفي الحالة الاخيرة يعطي كل من الترتيبين الالكترونيين المهيجين المختلفين حالات تمتزج وتداخل بعضها مع البعض الآخر لتعطي حالتين حقيقيتين تشتمل كل منهما على اسهامات من كلا الترتيبين الالكترونيين . كذلك ، تكون طاقات الحالتين الحقيقيتين منفصلتين اكثر من الطاقات المحسوبة لكل من الترتيبات النقية . سنلاحظ الآن ان النوع نفسه من التداخل يشترك في ريزونانس فيرمي .

نفترض ان الترددات  $\nu_i$  و  $\nu_j$  و  $\nu_k$  للانتقالات التذبذبية الاساسية الثلاثة ترتبط كالاتي :

$$\nu_i + \nu_j \approx \nu_k$$

وتماثل حالة التهيج الثنائية

$$\Psi_{ij} = \psi_i(1)\psi_j(1) \prod_{l \neq i,j} \psi_l(0)$$

هو نفسه مثل حالة التهيج الاحادية .

$$\Psi_k = \psi_k(1) \prod_{l \neq k} \psi_l(0)$$

يصبح ذلك صحيحاً حين يجتوي تمثيل الناتج المباشر للاشكال الاعتيادية في التسلسل  $i$  و  $j$  على التمثيل غير المختزل الذي يكون الشكل الاعتيادي قاعدته في التسلسل  $k$  . ومن ثم ، تتداخل حالتا التهيج هذه بطريقة يمكن تمثيلها بالنوع الاعتيادي من المعادلة الزمنية :

$$\begin{vmatrix} (v_i + v_j) - v & W_{ij,k} \\ W_{ij,k} & v_k - v \end{vmatrix} = 0.$$

اذ تمثل الجذور  $v$  الترددات الحقيقية ، وتعطى سعة التداخلات بالعلاقة الآتية :

$$W_{ij,k} = \int \Psi_{ij} W \Psi_k d\tau$$

لا يمتلك عامل التداخل  $W$  ، قيمة الصفري لان التذبذبات غير متناسقة . وهي ايضاً متماثلة كلياً ، ولهذا السبب يجب ان تعود الحالتان  $\psi_{ij}$  و  $\psi_k$  ، الى التمثيل نفسه ليأخذ التكامل قيمة دقيقة .

من الواضح ان احد جذور المعادلة الزمنية يكون اكبر من  $(v_i + v_j)$  او  $v_k$  والاخر اقل منهما . وهذه نتيجة واضحة لطبيعة المعادلة الرباعية الممثلة بشكل المحددة . يجب البدء بالقيم القريبة من  $(v_i + v_j)$  و  $v_k$  ، وكلما كانت الجذور حقيقية انحرفت عن هذه القيم . وهكذا ، فان احد تأثيرات ريزونانس فيرمي واضحة في ازاحة الترددات المتوقعين بعيداً عن بعضهما .

كذلك ، لريزونانس فيرمي تأثير على شدة الانتقالات . تمتلك الانتقالات التوافقية او المتحدة اقل من عشر شدة الانتقالات الاساس ، ولهذا ، يؤدي التداخل بين  $\Psi_{ij}$  و  $\Psi_k$  الذي يؤثر في الطاقات الحقيقية الى دوال موجية جديدة تعد اتحادات خطية لهاتين الدالتين ، كما هو مبين ، بصورة عامة للمعادلات الزمنية في الفقرة 7.1 . وهكذا ، سنصف حالة التهيج الحقيقية ذات الطاقة القريبة من  $(v_i + v_j)$  بالدالة الموجية الآتية :

$$\Psi'_{ij} = N(\Psi_{ij} + x\Psi_k)$$

اذ يمثل  $N$  عامل التعديل و  $x \leq 1$  . في حين توصف حالة التهيج الحقيقية التي تكون طاقتها قريبة من  $\nu_k$  بالدالة الموجية الآتية :

$$\Psi'_k = N(\Psi_k + x\Psi_{ij})$$

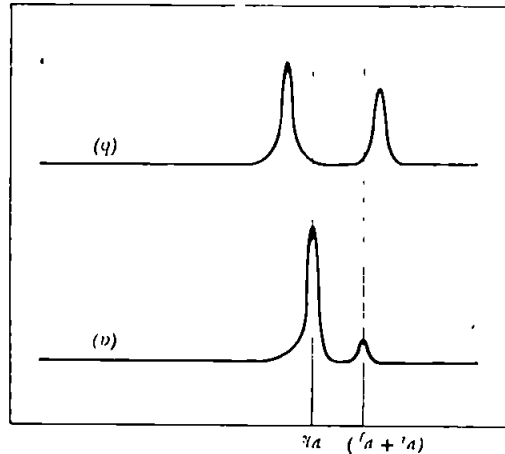
ولهذا . مع ان الانتقال من حالة الاستقرار  $\psi_0$  الى  $\psi_{ij}$  . يتطلب شدة واطنة ، تناسب مع التكامل الصغير .

$$\int \Psi_0(x, y, z) \Psi_{ij} d\tau$$

وتمتلك حالة التهيج الحقيقية  $\Psi'_{ij}$  . شدة تناسب مع

$$\int \Psi_0(x, y, z) \Psi_{ij} d\tau + x \int \Psi_0(x, y, z) \Psi_k d\tau$$

اذ يجب ان يكون التكامل الثاني كبيراً لكون الانتقال  $\Psi_0 \rightarrow \Psi_k$  شديداً . يأخذ الانتقال التوافقي الضعيف الشدة من الانتقال الاساس القوي لانه قريب منه ويمتلك حالة تهيج لها التماثل نفسه . وكلما كانت طاقات  $(\nu_i + \nu_j)$  و  $\nu_k$  متقاربة ازداد ميل الشدة الكلية للاشتراك بالتساوي بينهما . بين الشكل 10.11 هذه الوضعية بصورة تخطيطية .



شكل 10.11 (a) الطيف المتوقع للاتحاد  $(\nu_i + \nu_j)$  والاساس  $\nu_k$  في غياب ريزونانس فيرمي .  
(b) الطيف الحقيقي عند انحراف الحزمتين واشتراكهما بالشدة نتيجة لريزونانس فيرمي

في الحالة الحقيقية لجزيئة ثنائي اوكسيد الكربون ، التي تهيج مثلاً جيداً ، تمتلك الانتقالات الاساسية الثلاثة الترددات 667 و 1300 و 2350 سم . تمتلك الحزمة



التوافقية الاولى للتذبذب 667 ، ثنائية الانحلال ، التردد 1334 سم القريب جداً من تردد الاساس عند 1300 سم . والآن يمكن ان نبين ان حالة التهيج للاساس 1300 سم وأحد مكونات التمثيل الناتج عن حالة التهيج المتمثلة بالحزمة التوافقية للتذبذب 667 سم تعود الى التمثيل نفسه للمجموعة  $D_{\infty h}$  ، ولهذا يحدث ريزونانس فيرمي . وهكذا ، تلاحظ في طيف رامان لثنائي لوكسيد الكاربون حزمتان قويتان عند 1285 و 1388 سم بدلاً من حزمة واحدة عند 1300 سم تقريباً .

يعمل هذا المثال ايضاً على تأكيد حدوث ريزونانس فيرمي في اطياف رامان اضافة الى الاطياف تحت الحمراء ، وكذلك ، لأجل التحديد ، تكتب في الحال تكاملات الشدة السابقة بشكل مناسب للنشاط الكهربائي ثنائي القطب في المنطقة تحت الحمراء . لقد شخص ريزونانس فيرمي بوضوح في جزئيات اخرى مختلفة حللت بدقة ، مثل  $CCl_4$  و  $C_6H_6$  و  $CHCl_3$  ، وهومن دون شك يحدث غالباً في الجزئيات المعقدة جداً حيث تكون الفرصة كبيرة للتطابق المتقارب لواحد من الاتحادات العديدة لاشكال التردد الواطيء مع احد اساسات التردد ذات التماثل المناسب ، مع ذلك ، ينبغي ان يلاحظ ان البحوث تنشر بسرعة وان التحليلات التذبذبية الاصطناعية للجزئيات المعقدة تظهر اتجاهاً دينياً لتطبيق « ريزونانس فيرمي » ، للتهرب من الصعوبات وعدم التطابق ، بدون وجود الاثبات الكافي .

### تأثيرات الحالة الصلبة :

تعرض تذبذبات الجزئية الاحادية في الحالة الغازية لتحديدات التماثل فقط اعتماداً على تماثل النقطة فيها ، وقد اهتم هذا الفصل لحد الآن ، كلياً ، بشروط التماثل من ذلك النوع . واذ تستقر الجزئية في البلورة تتعرض ، اساساً ، لتحديدات التماثل الناتجة عن محيطها البلوري . وللتعامل الكلي بدقة ، لايمكن معاملة الجزئية على شكل كمية منفردة : وبدلاً من ذلك يجب تحليل الترتيب الكلي للجزئيات . وعلى اية حال ، يستحيل مثل هذا التقريب الدقيق لاسباب عملية ويصبح غير ضروري في معظم الاغراض ولهذا تجرى التقريبات بصورة معتدلة . يستخدم في الغالب مستويان من التقريب : (1) تقريب التماثل الجاني ، و (2) تقريب المجال الرابط ( يسمى احياناً

مجموعة العامل ، factor group ) . اما اولهما فبسيط الى درجة كبيرة ويكون في الغالب كافياً . ويفشل هذا التقريب في بعض الحالات ولهذا يجب تطبيق معالجة المجال الرابط سيوضح ويفسر الآن كل من هذين التقريبين .

يفترض هذا التقريب ان التفاصيل الديناميكية لطبيعة التداخلات بين جزيئة واحدة والجزيئات المحيطة بها يمكن اهمالها . وتعامل الجزيئات المحيطة على شكل محيط ساكن يتميز بتماثله الملائم ، كما يلاحظ للجزيئة التي تشغل جانباً فيه .

وعلى العموم ، تمتلك الشبكة البلورية عناصر تماثلية مختلفة بعضها عن النوع نفسه الموجود في الجزيئات ، اي انها تنتج عمليات تماثلية لا تسبب انتقال مركز كتلة الجسم المطبقة عليه . وهكذا ، قد تكون النقطة المعنية في البلورة مركزاً للانقلاب ، فقد تقع على محور مناسب او غير مناسب او انها تقع في مستوي الانعكاس . بالطبع ، قد يتقاطع العديد من عناصر التماثل هذه عند نقطة واحدة في الشبكة البلورية ، ويكون التجمع من جميع العمليات التي تمكنها عناصر التماثل من التقاطع عند مثل هذه النقطة في البلورة مجموعة

النقطة التي يمكن ان تستخدم لتعيين التماثل الجانبي للجزيئة الواقع مركز كتلتها عند هذه النقطة . في البلورة الصلدة المرتبة ، يستحيل ان يكون التماثل الجانبي بهذا الشكل بحيث يحتوي على عناصر تماثل لا تعود الى الجزيئة الحرة\* ، وبصورة عامة ، لا يكون التماثل الجانبي اوطاً من التماثل الجزيئي . بمعنى آخر ، من بين عدد عناصر التماثل الموجودة في الجزيئة الحرة ، يتطابق بعض منها مع عناصر التماثل في الشبكة . ولان عدد عناصر التماثل للجزيئة الحرة التي لا تتطابق مع عناصر التماثل الملائمة لمحيط بلورتها جزءاً من التماثل الجانبي . وكقاعدة ، تفقد البلورة عناصر التماثل هذه عند دخولها

البلورة ويجب معاملة سلوكها التذبذبي بدلالة التماثل الجانبي . بصورة عامة ، تكون مجموعة النقطة للتماثل الجانبي مجموعة ثانوية لمجموعة النقطة الجزيئية مع ان ، المجموعتين تكونان احياناً متشابهتين ( مثل ايون  $(\text{SiF}_6)^{2-}$  في الشكل المكعبي للمركب  $(\text{K}_2\text{SiF}_6)$  ) .

هناك بعض الاستثناءات الظاهرة ، ففي هاليدات الامونيوم التي تمتلك شبكة الملح الصخري ، تقع ايونات الامونيوم التي لا تمتلك مراكز تماثلية عند نقاط الشبكة حيث تصبح مراكز للانقلاب لعدم وجود ايونات الامونيوم . واعتماداً على الهاليد المعين ودرجة الحرارة ، تكون ايونات الامونيوم حرة الدوران ، بحيث يكون تماثل معدل الوقت مركزياً ، او لايونات امونيوم اخرى تقع عند جهات مختلفة ترتيبات مختلفة بحيث ، علماً بان اية جهة معينة ليست مركزية التماثل ، تظهر البلورة ككل بانها مركزية التماثل ستأخذ بنظر الاعتبار في هذا الشرح المختصر الحالات التي تكون فيها البلورة منظمة ولا تحتوي جزيئات دورانية .

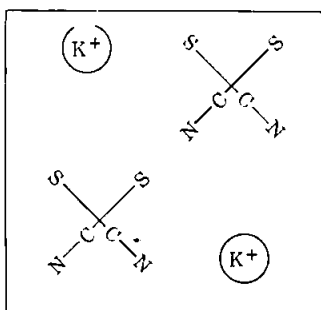
في حالات عديدة ، تشغل الجزيئات في البلورة ما يسمى بالموقع العام في وحدة الخلية ( unit cell ) . وهذا هو الموقع الذي لا تمر من خلاله عناصر التماثل غير الانتقالية . يكون التماثل الجانبي للجزيئة في الموقع العام هو  $C_1$  ( اي لاشيء ) وتختفي جميع قواعد الاختبار والانحلال للجزئية تحت تماثلها الذاتي .

ينبغي ان يلاحظ ان الدرجة التي يتحرف اليها الطيف التذبذبي للجزيئة في الجانب ذي التماثل الواطيء بصورة ملاحظة عن سلوك الجزيئة الحرة المعتمد على القوة التي تتداخل بها مع محيطاتها في البلورة . ولا يمكن ان تدل دراسات التماثل لوحدها عن اي شيء حول ذلك ، وتغير درجة الانحراف من حالة الى اخرى . وتعطي بعض الامثلة التي ستؤخذ بنظر الاعتبار قليلا من التوضيح لمقدار مثل هذه التأثيرات في هذه الحالات النموذجية .

وصفياً ، تكون تأثيرات التماثل الجانبي الواطيء على نوعين عامين : (1) تغيرات في قواعد الاختيار ، و (2) انفصام الانحلال . قد يكون التذبذب غير المنحل غير نشط في التماثل العالي للجزيئة الحرة لكنه نشط في واحد او اكثر من المجاميع الثانوية للجزيئة نفسها . فمثلاً ، لا يكون شكل  $A_1'$  لايون الكاربونات ( امتداد  $C-O$  التماثل كلياً ، الشكل 10.1 ) من نوع نشط تحت الحمراء تحت تماثل  $D_{3h}$  الكامل لايون . يوجد المركب  $CaCO_3$  على شكلين بلورين مختلفين . الكالسيت calcite والاركونيت aragonite . في اولهما ، يكون التماثل الجانبي لايون الكاربونات هو  $D_3$  ، وفي الثاني  $C_s$  . يتضح من الاشارة الى جداول خاصيات هاتين المجموعتين ان الشكل التماثل في  $D_3$  ما يزال من نوع تحت الحمراء غير نشط ، في حين تكون التذبذبات المتماثلة في  $C_s$  من نوع تحت الحمراء نشطة . وبعد شكل امتداد  $C-O$  التماثل في توافق مع هذه التوقعات ( يعرف من طيف رامان لمحاليل الكاربونات ) وهو يلاحظ في الكالسيت لكنه يظهر ضعيفاً في الاركونيت .

كذلك ، توضح اشكال الكاربونات بصورة جيدة تأثير التماثل الجانبي الواطيء في انفصام الانحلال . يرتبط تمثيل  $E'$  في مجموعة  $D_{3h}$  مع تمثيل  $D_3$  في  $E$  ، لذلك ، يلاحظ في الكالسيت كل من  $\nu_3$  و  $\nu_4$  ( الشكل 10.1 ) على شكل حزم منفردة ولا يوجد في مجموعة  $C_s$  تمثيلات ذات رتبة اكبر من 1 ، وهذا يعني ان التذبذبات المنحلة في ايون الكاربونات يجب ان تنقسم بواسطة التماثل الجانبي لمجموعة  $C_s$  في الاركونيت . وما يزال  $\nu_3$  يلاحظ على شكل حزمة منفردة ، ليشير الى كون قيمة الانفصام صغيرة جداً لتسمح بالتحليل او ان لذلك المكون شدة واطئة جداً ، لكن  $\nu_4$  ينقسم بصورة مميزة الى حزمتين منفصلتين بمقدار  $14 \text{ سم}^{-1}$  .

وهذا مثال آخر لتأثير التماثل الجانبي الواطيء في انفصام الانحلال . نأخذ بنظر الاعتبار ايون الثايوسيانات في  $\text{KNCS}$  يعد ايون  $\text{SCN}^-$  خطياً ويمتلك في غياب التأثيرات المربكة بصورة أحد أشكاله الاعتيادية تذبذب انحناء منحل ثنائي . يوجد الانحلال في الايون المنعزل لان انحناء الجزيئة في اي مستو معين يحتوي على المحور الجزيئي مكافئ للانحناء في المستوي العمودي على المستوي الاول . على اية حال ، اذا كان التماثل الجانبي للايون في البلورة بحيث يكون هذان المستويان غير متكافئين . فليس من الضروري لترددات الانحناء في المستويين ان تكون متساوية . في الشكل ( 10.12 ) الذي يبين بنية  $\text{KNCS}$  . يمكن ان يلاحظ ان المستويات الموازية لمستوي الرسم غير مكافئة للمستويات العمودية على الرسم . في حين يعطي تذبذب الانحناء حزمة منفردة عند 470 سم<sup>-1</sup> في طيف الاشعة تحت الحمراء لايون  $\text{NCS}^-$  في المحلول . فان للمركب  $\text{KNCS}$  البلوري حزمتي امتصاص عند 470 و 484 سم<sup>-1</sup>.

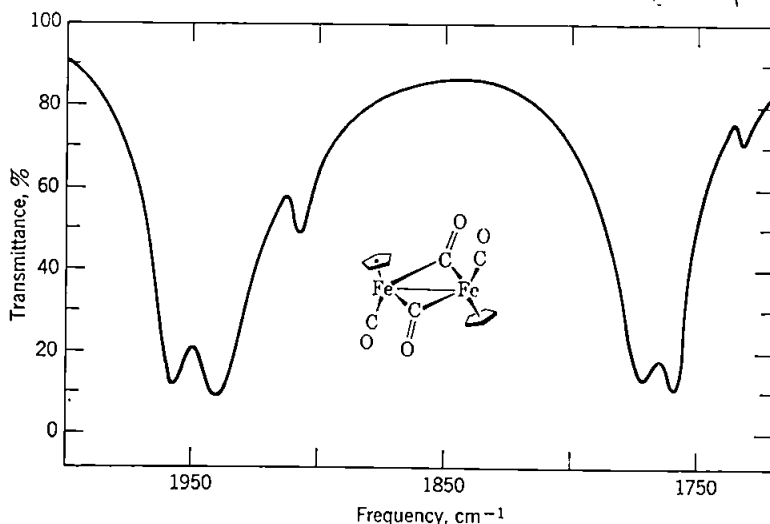


شكل 10.12 مخطط لوحدة خلية  $\text{KNCS}$  .

### تقريب المجال الرابط :

يستحيل في بعض الحالات توضيح الملاحظات التجريبية بدلالة تقريب التماثل الجانبي حيث تعامل محيطات الجزيئة المعينة بشكل ساكن يهيء الشكل المتبلور من ايسومر ترانز للمركب  $[(\text{C}_5\text{H}_5)\text{Fe}(\text{CO})_2]_2$  مثلاً واضحاً لذلك ، وهو يمتلك بنية مركزية التماثل . ويبين الشكل ( 10.13 ) طيف الاشعة تحت الحمراء لهذا المركب . تمتلك جزيئة ترانز هناك ايسومرات  $\text{C}_{2h}$  ( ايضاً ) تماثل  $\text{C}_{2h}$  الملائم عند اهمال الترتيب الدوراني لحلقات  $\text{C}_5\text{H}_5$  محاور  $\text{C}_5$  . ومع هذا الشكل المركزي للتماثل يتضح بصورة مباشرة ان اشكال امتد  $\text{C}-\text{O}$  الوحيدة من نوع تحت الحمراء نشطة ، تلك الناتجة من تذبذبات الازدواج مضاد التماثل للزوج النهائي والزوج الجسري .

تقع كل جزيئة في الحالة البلورية من  $trans-[(C_5H_5)Fe(CO)_2]_2$  على مركز تماثل بلوري ، ويكون التماثل الجانبي  $C_i$  . وينبغي في هذا التماثل الجانبي ان يبقى صحيحاً امكانية تصنيف جميع التذبذبات في الجزيئة بدقة على شكل تماثل ومضاد التماثل بالنسبة للانقلاب وان التذبذبات مضادة التماثل هي التي تكون تحت الحمراء نشطة . لذلك بحسب تقرب التماثل الجانبي ، ينبغي ان يلاحظ في الطيف البلوري تذبذبا امتداد  $C-O$  مضادا التماثل . وكما يبين الشكل ( 10.13 ) ، تلاحظ اربع حزم امتداد لمجموعة  $C-O$  .



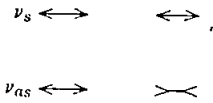
شكل 10.13 البنية وطيف الاشعة تحت الحمراء للايسومر  $trans-[C_5H_5Fe(CO)_2]_2$  ( الحزمتان الضعيفتان تابعتان لمجموعة  $^{13}CO$  ) .

يمكن توضيح ذلك بمعالجة التجمع الكلي من الجزيئات في وحدة الخلية (اثنان في هذه الحالة) على شكل وحدة التذبذب المعرض للتحددات التماثلية والناج من تماثل وحدة الخلية الكلي . وهكذا ، نحصل على مجموع من ثماني اواصر متذبذبة ، اربع جسرية واربع نهائية ، مرتبة في اربعة ازواج ، يرتبط اعضاء كل زوج بمركز التماثل الواقع بين الجزيئات . ويعطي كل زوج من المتذبذبات المرتبطة مركزياً شكل مزدوج متمثل ومضاد التماثل ، يكون الشكل مضاد التماثل تحت الحمراء نشطاً ، يوضح ذلك تخطيطاً لمجاميع  $CO$  الجسرية في الشكل 10.14 . يوجد خلال كل جزيئة اشكال متماثلة ومضادة التماثل  $\nu_s, \nu_{as}, \nu'_s, \nu'_{as}$  اذ يمكن ان مزدوج بعد ذلك كالاتي :

$$\left. \begin{matrix} \nu_s + \nu_s' \\ \nu_{as} + \nu_{as}' \end{matrix} \right\} \text{متماثل}$$

$$\left. \begin{matrix} \nu_s - \nu_s' \\ \nu_{as} - \nu_{as}' \end{matrix} \right\} \text{مضاد التماثل}$$

تعد هذه الطريقة للتعبير عن الاشكال الكلية للزوج من الوحدات الجزيئية تقريبية ويفترض ان الازدواج الجزيئي الداخلي اكثر من الازدواج الجزيئي الخارجي. يعتمد الاختلاف في التردد بين الشكليين مضادي التماثل الناتجين في الزوج من الجزيئات على ثوابت قوة كل من التداخل الجزيئي الداخلي والخارجي intra- and intermolecular من الواضح ان التفاصيل الجبرية معقدة قليلاً ، لكن فكرة الازدواج الجزيئي الداخلي المعرضة لتحديدات التماثل والمعتمدة على تماثل وحدة الخلية الكلية بسيطة وقوية. ان هذا التماثل المحدد للارتباط الجزيئي الداخلي في الاشكال التذبذبية الجزيئية هو الذي يسبب انفصامات المجال الرابط .



شكل 10.14 فوق : زوجان لمجاميع CO المركزية يرتبط كلاهما خلال كل زوج وبين الاطوار تشير الى مركز الانقلاب. تحت : اشكال التذبذب التماثل ومضاد التماثل خلال كل زوج .

من المحتمل جداً فشل طريقة التماثل الجانبي في مثل هذه الحالة التي تم شرحها ، اذ تحتوي البلورة على جزيئات متعادلة تقع بالقرب من بعضها وتحتوي على متذبذبات عالية النشاط ثنائية القطب ( تعد مجاميع CO من بين اقوى المتذبذبات النشطة ثنائية

القطب ٢). تكون الايونات متعددة الذرات في البلورات العديدة من  $\text{CaCO}_3$  والمركبات الايونية الاخرى منفصلة بعضها عن البعض الاخر بادخال الايونات المضادة ، ولما كانت تأثيرات المجال الرابط تعتمد على تداخلات مزدوج قطبي - مزدوج قطبي ، التي تتغير مع  $r^{-3}$  . تمثل  $r$  المسافة الفاصلة بين المزدوجات القطبية . فمن المعقول اهمال تلك التأثيرات التي تكون بمقدار  $10^{-1}$  سم تقريباً للجزيئات المتجاورة ، وحيث يكون الانفصال بمقدار 2-3 مرة اكبر :

$$\text{سم}^{-1} = 0.7 = 10/15 \text{ cm}^{-1} = 10 \times 2.5^{-3} \text{ سم}^{-1} , \text{ لوحظت بصورة عامة}$$

تأثيرات المجال الرابط في مركبات الكاربونيل الفلزية المتبلورة \* .

يعد الشرح السابق لتأثيرات المجال الرابط اصطناعياً جداً ، من الناحية الرياضية . وتحتاج المعالجة الاكثر دقة بعض الشرح للمجاميع الفراغية ، التي لم تشرح في هذا الكتاب وينبغي للقاريء المهتم بالتفصيل الابعث مراجعة بحث Vetter و Hornig المبين في الملحق IX .

## تمارين

- 10.1 اكتب الاحداثيات الداخلية للتذبذبات الخمسة داخل المستوي للجزيئة  $trans-N_2F_2$  وبين بناء مصفوفات  $F$  و  $G$ .
- 10.2 يعدّ البنزين مثلاً جيداً للجزيئة المهمة ذات التماثل العالي نسبياً ( $D_{6h}$ ).  
(a) جد انواع التماثل للتذبذبات الحقيقية. (b) جد نشاطات كل نوع من التذبذب. (ج) صنف جميع التذبذبات داخل المستوي فيما اذا اشتملت على امتداد  $C-H$  او امتداد  $C-C$  وانحناء الزاوية. (د) التذبذبات المشتملة على انحناء الزاوية خارج المستوي؟ (هـ) اشتق العلاقات القياسية للاحداثيات التماثلية في الاخير.
- 10.3 جد اطياف امتداد  $C=O$  المتوقعة في المنطقة تحت الحمراء ورامان لجزيئات سزوترانز  $X_2M(CO)_4$  و اشرح امكانية التمييز بين الايسومرين بواسطة اطياف تحت الحمراء لوحدها ورامان لوحدها وبواسطة كليهما.



القسم الثالث

الملاحق



## I الملحق

### مجاميع النقطة البلورية ، المساقط المجسمة والترقيم العالمي Crystallographic Point Groups, Stereographic Projections, and International (Hermann-Maguin) Notation

#### مجاميع النقطة البلورية الاثنان والثلاثون :

يمكن ان نبين ان الشبكات الانتهائية . حيث يكرر الترتيب بصورة لانتهائية بالانتقالات . تحتوي على المحاور الدورانية المناسبة الاتية :  $C_1, C_2, C_3, C_4, C_6$  ويمكن لمثل هذا الترتيب ان يمتلك مركزا للانتقال وبين البحث المنظم ان هناك 32 اتحادا متميزا لهذه المحاور . اذ تؤدي الى 32 مجموعة نقطة بلورية مبينة في الجدول AI.1 الذي يعطي في العمود الثاني الترقيم Schoenflies المستعمل في هذا الكتاب .

#### جدول AI.1 مجاميع النقطة الاثنان والثلاثون .

NUMBER	SCHOENFLIES SYMBOL	INTERNATIONAL SYMBOL	CRYSTAL SYSTEM
1	$C_1$	1	Triclinic
2	$C_2$	$\bar{1}$	
3	$C_3$	$m$	
4	$C_2$	2	Monoclinic
5	$C_{2h}$	$2/m$	
6	$C_{2v}$	$mm$	
7	$D_2$	222	Orthorhombic
8	$D_{2h}$	$mmm$	
9	$C_4$	4	Tetragonal
10	$S_4$	$\bar{4}$	
11	$C_{4h}$	$4/m$	
12	$C_{4v}$	$4mm$	
13	$D_{2d}$	$\bar{4}2m$	
14	$D_4$	$422$	
15	$D_{4h}$	$4/mmm$	

16	$C_3$	3	Rhombohedral
17	$S_6$	$\bar{3}$	
18	$C_{3v}$	$3m$	
19	$D_3$	32	
20	$D_{3d}$	$\bar{3}m$	
21	$C_{3h}$	$\bar{6}$	Hexagonal
22	$C_6$	6	
23	$C_{6h}$	$6/m$	
24	$D_{3h}$	$\bar{6}m2$	
25	$C_{6v}$	$6mm$	
26	$D_6$	622	
27	$D_{6h}$	$6/mmm$	
28	$T$	23	Cubic
29	$T_h$	$m\bar{3}$	
30	$T_d$	$\bar{4}3m$	
31	O	432	
32	$O_h$	$m\bar{3}m$	

### التقييم العالمي :

في نظام Schoenflies ، يمثل الدوران غير المناسب دوران - انعكاس ، اما في النظام العالمي الذي استعمله الباحثين في موضوع التبلور فان الدوران غير المناسب هو دوران - انقلاب .

يستخدم النظام العالمي الاعداد 1, 2, 3, 4, 6 لتمثيل محاور الدوران المناسبة ،  $C_1, C_2, C_3, C_4, C_6$  على التوالي ، وتوضع شارحة فوق العدد لتشير الى الدوران غير المناسب . وهكذا ، يوجد  $\bar{1}, \bar{2}, \bar{3}, \bar{4}, \bar{6}$  . ومن الواضح  $\bar{I} \equiv i$  ، مركز الانقلاب البسيط ، و  $\bar{2} = C_2 \times i = C_2 \times C_2 = \sigma_h$  . والارقام الاخرى المكافئة لعناصر تماثل Schoenflies ، كالآتي :

$$\bar{3} = S_6, \quad \bar{4} = S_4, \quad \bar{6} = S_3$$

واخيراً ، يستخدم النظام العالمي الرمز  $m$  ليمثل المستوي المرآتي . فعند وجود مستوي مرآتي ،  $m$  ، ومحور مناسب ،  $X$  ، هناك امكانيتان : (1) المستوي يحتوي على المحور : نكتب  $Xm$  . (2) المستوي المرآتي عمودي على المحور :

نكتب  $X/m$  .

يهدف التقييم العالمي ليكون مجعماً وغير فائض قدر الامكان . وفي معظم الحالات ، يكتب اقل عدد لازم من عناصر التماثل لتعيين مجموعة النقطة بصورة كاملة . فمثلاً ، يشار الى مجموعة  $C_{3v}$  ، التي تحتاج الى وجود محور ثلاثي المرة (3) وثلاثة مستويات تماثل عمودية ، بالرمز  $3m$  فمن غير الضروري الاشارة بوضوح الى وجود الاثنين الآخرين من المستويات المرآتية . كذلك تكتب مجموعة  $D_{2h}$  بشكل  $mmm$  . ومن الضروري ان يوجد على طول خط التقاطع لكل زوج من المستويات محور ثنائي المرة ، ويكون الرمز الكامل كالآتي :  $2/m, 2/m, 2/m$  ، لكن ذلك فائضاً ويبسط الى الرمز غير الفائض  $mmm$  . وفي حالتي  $C_{4v}$  و  $C_{6v}$  . يكون الرمز ان الاعتبار ان  $4mm$  و  $6mm$  فائضين في كون ان وجود مستو مرآتي واحد يتضمن وجود التجمع الكلي من المستويات الاربعة او الستة . وعلى اية حال ، يكرر الرمز  $m$  بسبب وجود نوعين من المستويات ( انظر : الفقرة 3.7 ) . ينتج عنهما عمليات تقع في اصناف مختلفة .

توجد حالتان يحتمل ان يكون التقييم العالمي فيهما غير مقنع كلياً . وهما مجاميع  $T$  و  $D_3$  ، المشار اليها بالاعداد 23 و 32 ، على التوالي . يعطي الجدول AI.1 الرموز العالمية لكل من المجاميع التماثلية البلورية الاثنتين والثلاثين .

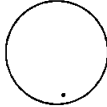
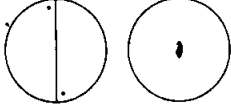
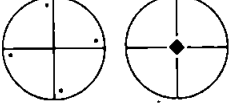
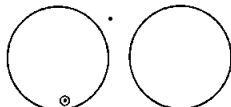
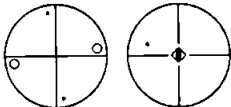
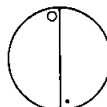
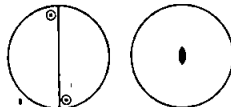
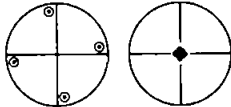
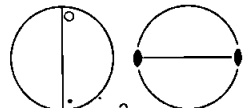
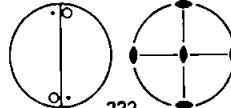

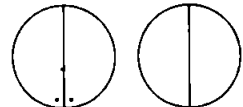
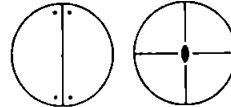
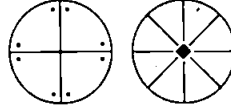
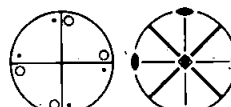
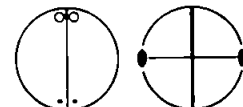
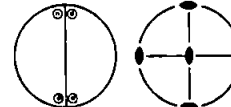
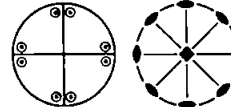
### المساقط المجسمة :

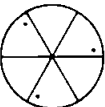
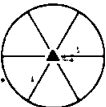
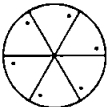
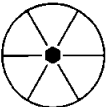
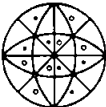

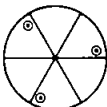
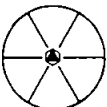
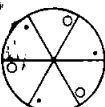
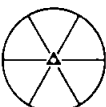
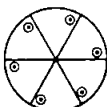
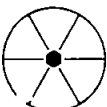

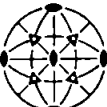
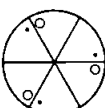

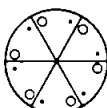

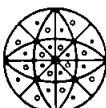

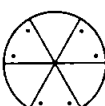

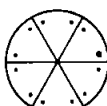
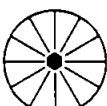
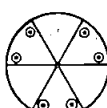
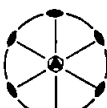
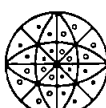

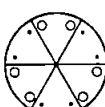



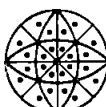

بعد استعمال المسقط المجسم من الطرق المناسبة لتصوير التماثل الممثل بمجموعة النقطة ( اية مجموعة ، فيما اذا كانت من المجاميع البلورية الاثنتين والثلاثين او غير ذلك ) . تطبق هذه المساقط ، بصورة رئيسة على المجاميع البلورية ، وبين الجدول AI.2 هذه المساقط للحالات الاثنتين والثلاثين .

تمثل قواعد بناء هذه المساقط بالنقاط الآتية .

- 1 . يتم تخيل نقاط مرتبة على كرة . تقطع الكرة مستوياً افقياً ( الورقة ) لتحدد دائرة يكون المحور الاساس عمودياً عليها . باستثناء الحالتين البسيطتين (1 و 1) تستخدم مثل هاتين الكرتين : واحدة لتبين عناصر التماثل نفسها والاخرى لتبين ترتيب النقاط على الكرة يتم الحصول عليها بشكل عمليات تماثلية تحيط نقطة بدائية ، عامة كلياً .

جدول A1.2 - المساقط المجسمة للمجاميع النقطية البلورية الاثنتين والثلاثين .

	Triclinic	Monoclinic (1st setting)	Tetragonal
X	 1	 2	 4
$\bar{X}$ (even)	—	 $m(=\bar{2})$	 $\bar{4}$
$\bar{X}$ (even) plus center and $\bar{X}$ (odd)	 1	 $2/m$	 $4/m$
	Monoclinic (2nd setting)	Orthorhombic	
X2	 2	 $222$	 $422$
$Xm$	 $m$	 $mm2$	 $4mm$
$\bar{X}2$ (even) or $\bar{X}m$ (even)	—	—	 $\bar{4}2m$
$X2$ or $Xm$ plus center and $\bar{X}m$ (odd)	 $2/m$	 $mmm$	 $4/mmm$

Trigonal	Hexagonal	Cubic	
  3	  6	  23	X
—	  $\bar{6}$	—	$\bar{X}$ (even)
  $\bar{3}$	  6/m	  m3	X (even) plus center and $\bar{X}$ (odd)
  32	  622	  432	X2
  3m	  6mm	—	Xm
—	  $\bar{6}m2$	  $\bar{4}3m$	$\bar{X}2$ (even) or $\bar{X}m$ (even)
  $\bar{3}m$	  6/mmm	  m3m	X2 or Xm plus center and $\bar{X}m$ (odd)

- 2 . يشار الى النقاط بالدوائر المظلمة كلياً حين تقع على شبه الكرة العلوي وبالدوائر غير المظلمة حين تقع على شبه الكرة السفلي . وتعني الدوائر المظلمة داخل الدوائر غير المظلمة ان هناك نقطتين تقعان على الخط العمودي نفسه .
- 3 . تمثل مستويات التماثل العمودية بالخطوط المستقيمة المقاطعة للدائرة قطعاً . وتمثل المستويات المنحرفة ( توجد في المجاميع المكعبة وحدها ) بشكل خطوط منحنية هني مساقط خطوط تقاطعها مع سطح الكرة . واذا وجدت المستويات الافقية فلا تشمل مباشرة : لكن وجودها يكون معروفاً لظهور جميع النقاط على الكرة بشكل دوائر مظلمة داخل دوائر مفتوحة .
- 4 . تمثل المحاور المناسبة وغير المناسبة بالرموز الآتية :



يظهر رمز كل محور في الدائرة حين تكون نقاط تقاطع مع الكرة التي مسقطها على المستوي الافقي .



## الملحق II

### توسع المحددات ومعكوس المصفوفة توسيع وتقييم المحددات :

تمثل المحددة ترتيباً مربعياً لأعداد. يسمى عدد الصفوف او الاعمدة برتبة ،  $n$  ،  
المحددة ، ويحتوي عدد كلي من العناصر  $n^2$  .

تختلف المحددة عن المصفوفة في كونها كمية اتجاهية ، تعطى قيمتها بمجموع العدد  
 $n$ ! من النواتج المختلفة الحاوي كل منها على  $n$  من العناصر المختارة بحيث يمثل كل  
صف وكل عمود مرة واحدة ، ويسمى مجموع هذه النواتج بتوسع المحددة . من السهل  
بيان ان هناك عدد  $n$  من هذه النواتج . ولتكوين احدها ، نختار عنصراً من الصف الاول  
اذ يمكن ان يجرى ذلك بعدد  $n$  من الطرق . ولا يمكن اختيار عنصر من الصف الثاني  
من العمود الذي يعود اليه العنصر من الصف الاول ، ولهذا الاختيار ، هناك  $n-1$  من  
الامكانيات .

ويمكن بعد ذلك اختيار عنصر من الصف الثالث بعدد  $n-2$  من الطرق ، وهكذا .  
ولهذا يوجد  $n! = 1 \cdot 2 \cdot 3 \cdot \dots \cdot (n-3) \cdot (n-2) \cdot (n-1) \cdot n$  من الطرق المختلفة لتكوين الناتج .

اضافة لما تقدم ، يعطى كل ناتج اشارة + أو - ، اذ يعين اختيار الاشارة كالاتي :  
تكتب جميع العوامل بطريقة بحيث تكون اسس الصف ( او العمود ) متسلسلة وبحسب  
عدد المواقع المتقابلة ( تبادل المتجاورات ) اللازمة لوضع أسس العمود ( او الصف ) في  
ترتيب متسلسل . اذا كان هذا العدد زوجياً ، تكون الاشارة + واذا كان فردياً فان الاشارة  
- . لنأخذ الناتج الاتي الذي يمكن الحصول عليه من محددة من الرتبة الثالثة .

$$a_{31}a_{23}a_{12}$$

ويكتابة اسس الصف بالتسلسل ، يصبح

$$a_{12}a_{23}a_{31}$$

لوضع اسس العمود بالترتيب المتسلسل ينبغي اجراء تبادلين متعاقبين للعوامل  
المتجاورة .

$$a_{12}a_{23}a_{31} \longrightarrow a_{12}a_{31}a_{23}$$

$$a_{12}a_{31}a_{23} \longrightarrow a_{31}a_{12}a_{23}$$

لذلك يعطى هذا الناتج اشارة موجبة .

تعطى قيمة المحددة ،  $|A|$  ، ذات الرتبة 2 ، كالآتي :

$$a_{11}a_{22} - a_{12}a_{21}$$

والمحددة ذات الرتبة الثالثة كالآتي :

$$a_{11}a_{22}a_{33} + a_{12}a_{23}a_{31} + a_{13}a_{21}a_{32} - a_{11}a_{23}a_{32} - a_{12}a_{21}a_{33} - a_{13}a_{22}a_{31}$$

يمكن بسهولة تذكر نتائج هاتين الحالتين اللتين تحدثان غالباً . يتم الحصول على الحدود الموجبة باختيار العناصر على طول الخطوط القطرية المارة من اعلى اليسار الى اسفل اليمين ، وتمثل الحدود السالبة نواتج العناصر على الخطوط المارة من اعلى اليمين الى اسفل اليسار . وللمحددات ذات الرتبة الرابعة والرتب الاعلى يزيد عدد النواتج 24 حين  $n=4$  على العدد الذي يحسب بهذه الطريقة 8 حين  $n=4$  . و يحتاج الى جهد اكبر لكتابة التوسيع الكامل للمحددة .

يمكن تقييم المحددات ذات الرتبة  $\geq 4$  بصورة مناسبة بطريقة التجزئة الى العوامل وبين البحث في قائمة من ستة نواتج يمثل مجموعها الجبري محددة من الرتبة الثالثة يمكن اعادتها كالآتي :

$$a_{11}(a_{22}a_{33} - a_{23}a_{32}) + a_{12}(a_{23}a_{31} - a_{21}a_{33}) + a_{13}(a_{21}a_{32} - a_{22}a_{31})$$

يمثل كل من الحدود بين الاقواس الشكل الموسع للمحددة انجز من عناصر المحددة الاصلية التي تبقى بعد استبعاد العناصر التي تعود الى الصف والعمود للعنصر في مقدمة القوس . تعطى اشارة موجبة اذا كان مجموع اسس العنصر قبله زوجياً و اشارة سالبة اذا كان مجموع هذه الاسس فردياً . تسمى الحدود بين الاقواس العوامل المحللة للعناصر في مقدمة الاقواس . وهكذا ، تلاحظ امكانية تقييم المحددة من الرتبة الثالثة بايجاد مجموع النواتج لكل عنصر في الصف الاول مع عامله المحلل .

يبين الانعكاس البسيط امكانية ترتيب الحدود الستة في التوسيع بحيث تأخذ

مجموع النواتج لاي صنف او عمود مع عواملها المخللة . فمثلاً . باختيار العمود الثاني .  
يمكن كتابة :

$$a_{12}(a_{23}a_{31} - a_{21}a_{33}) + a_{22}(a_{11}a_{33} - a_{13}a_{31}) + a_{32}(a_{13}a_{21} - a_{11}a_{23})$$

وليس من الصعب ملاحظة امكانية اجراء العملية المشابهة للمحددة من اية رتبة . وهكذا  
بأستعمال  $A^{ij}$  ليمثل عامل تحليل  $a_{ij}$  ، يمكن كتابة

$$|A| = \sum_i a_{ij} A^{ij} = \sum_j a_{ij} A^{ij}$$

(for any j)                      (for any i)

والميزة المهمة الاخرى لاية محددة هي اذا كان اي صفين او عمودين متشابهين فان  
قيمة المحددة تساوي صفراً . ويمكن اثبات ذلك بسهولة : لنفترض ان الصفين في  
التسلسل  $r$   $p$  متشابهان ، فلأني حد في التوسيع مثل

$$a_{11}a_{m2}a_{n3} \cdots a_{pi}a_{rj} \cdots$$

يجب ان يوجد حد مشابه اخر باستثناء احتوائه على  $a_{pi}$  و  $a_{rj}$  . لنفترض ان اسس العمود  
مرتبة بالتسلسل في الحد المبين في اعلاه ، اي  $p > r$  ، ونحتاج الى عدد  $x$  من المواقع  
المتقابلة لوضع أسس الصف في ترتيب متسلسل . فاذا اجري العدد  $x$  نفسه من المواقع  
المتقابلة على الحد

$$a_{11}a_{m2}a_{n3} \cdots a_{ri}a_{pj} \cdots$$

فما يزال ضرورياً عمل العدد  $2(p-r-1)+1$  من المواقع المتقابلة الاضافية  
لوضع  $a_{pj}$  و  $a_{ri}$  في موقعيهما المناسبين ، ليصبح  $x+2(p-r-1)+1$  من المواقع المتقابلة  
في جميعه وهكذا ، اذا كان  $x$  زوجياً ، وجب ان يكون  $x+2(p-r-1)+1$  فرد باً ،  
وبالعكس . لذلك يتبع ازالة جميع الحدود في التوسيع بطريقة زوجية . ومن الواضح  
انه يمكن اعطاء مناقشة مشابهة اذا افترضنا عمودين متشابهين .

### : The Adjoint Matrix المصفوفة المجاورة

قبل تعريف المصفوفة المجاورة ينبغي تعريف بديل المصفوفة . وهذه هي المصفوفة  
التي تمثل اعمدها الصفوف ، وبالعكس ، للمصفوفة الاصلية . يمثل بديل المصفوفة  
بالرمز  $[a_{ji}]$  . والان تعرف المصفوفة المجاورة للمصفوفة  $[a_{ij}]$   
كالاتي :

$$\text{Adjoint of } [a_{ij}] = [A^{ji}]$$

اي انه يعامل ترتيب العناصر المكون  $[a_{ij}]$  بشكل محددة ، ويكتب عامل التحليل ،  $A^{ij}$  ، لكل عنصر في موقع العنصر الذي يعطي المصفوفة  $[A^{ij}]$  ومن ثم عمل البديل  $[A^{ij}]$  . ويرمز للمصفوفة المجاورة للمصفوفة  $\mathcal{A}$  بالرمز  $\mathcal{A}$ .

عقلوب المصفوفة :

يكون المقلوب  $\mathcal{A}^{-1}$  للمصفوفة  $\mathcal{A}$  ، بالتعريف ، مثل

$$\mathcal{A} \mathcal{A}^{-1} = \mathcal{A}^{-1} \mathcal{A} = \mathcal{I}$$

لننظر الان الى الناتج  $\mathcal{A} \mathcal{A}$  للمصفوفة المربعة من الرتبة الثالثة ، وهو :

$$\mathcal{A} \mathcal{A} = \begin{bmatrix} a_{11} & a_{12} & a_{13} \\ a_{21} & a_{22} & a_{23} \\ a_{31} & a_{32} & a_{33} \end{bmatrix} \begin{bmatrix} A^{11} & A^{21} & A^{31} \\ A^{12} & A^{22} & A^{32} \\ A^{13} & A^{23} & A^{33} \end{bmatrix}$$

$$= \begin{bmatrix} a_{11}A^{11} + a_{12}A^{12} + a_{13}A^{13} & a_{11}A^{21} + a_{12}A^{22} + a_{13}A^{23} & a_{11}A^{31} + a_{12}A^{32} + a_{13}A^{33} \\ a_{21}A^{11} + a_{22}A^{12} + a_{23}A^{13} & a_{21}A^{21} + a_{22}A^{22} + a_{23}A^{23} & a_{21}A^{31} + a_{22}A^{32} + a_{23}A^{33} \\ a_{31}A^{11} + a_{32}A^{12} + a_{33}A^{13} & a_{31}A^{21} + a_{32}A^{22} + a_{33}A^{23} & a_{31}A^{31} + a_{32}A^{32} + a_{33}A^{33} \end{bmatrix}$$

يلاحظ ان كل عنصر قطري يمثل توسعاً للمحددة  $|A|$  بدلالة الصف وعوامل تحلله. ومن ناحية اخرى، كل عنصر غير قطري يمثل مجموع نواتج عناصر الصف المعين ، مثل الصف في التسلسل  $i$  ، مع عوامل تحليل عناصر صف اخر ، مثل الصف في التسلسل  $j$  وبعد مثل هذا المجموع توسعاً في عناصر صف التسلسل  $i$  مع عوامل تحليلها للمحددة

التي تكون فيها عناصر تسلسل الصفين  $i$  و  $j$  متشابهين. ونظرا لاننا لاحظنا سابقا ان قيمة مثل هذه المحددة يجب ان تساوي صفراً. فان جميع العناصر غير القطرية للناتج  $\mathcal{A} \mathcal{A}$  تساوي صفراً. ومن السهل ايضاً ملاحظة ان  $\mathcal{A} \mathcal{A} = \mathcal{A} \mathcal{A}$  ، وهكذا ، نحصل على النتيجة الاتية :

$$\begin{aligned}
 \mathcal{A}\mathcal{A} &= \mathcal{A}\mathcal{A} = \begin{bmatrix} |A| & 0 & 0 & 0 & \cdots & 0 \\ 0 & |A| & 0 & 0 & \cdots & 0 \\ \vdots & \vdots & \vdots & \vdots & \ddots & \vdots \\ 0 & \cdot & \cdot & \cdot & \cdot & |A| \end{bmatrix} \\
 &= |A| \begin{bmatrix} 1 & 0 & 0 & 0 & \cdots & 0 \\ 0 & 1 & 0 & 0 & \cdots & 0 \\ \vdots & \vdots & \vdots & \vdots & \ddots & \vdots \\ 0 & \cdot & \cdot & \cdot & \cdot & 1 \end{bmatrix} \\
 &= |A|\delta
 \end{aligned}$$

والان بالاشارة الى تعريف  $\mathcal{A}^{-1}$  . يلاحظ ان

$$\mathcal{A}^{-1} = \frac{\mathcal{A}}{|A|}$$

اي ان كل عنصر في  $\mathcal{A}^{-1}$  هو عنصر في  $\mathcal{A}$  مقسوماً على  $|A|$  . ولما كان التقسيم على صفر غير محدد فان المصفوفات التي لا تكون محدداً لها المطابقة مساوية لصفر يكون لها مقلوبات يقال للمصفوفة  $\mathcal{A}$  حيث ان  $|A| = 0$  صفرأً بانها احادية ( *singular* ) ( ليس لها مقلوب ) . في حين يقال للمصفوفات التي لا تساوي محدداً لها المطابقة صفرأً بالمصفوفات غير الاحادية ( *nonsingular* ) وتوجد المصفوفات غير الاحادية في تمثيلات المجموعة .

ان حل بعض الامثلة . التي يمكن ان يجربها القاريء . يساعد في تطوير الفهم العملي لهذه النتائج .

### III الملحق

#### A. جداول الخاصة للمجاميع التماثلية المهمة كيميائياً

##### 1. The Nonaxial Groups

$C_1$	$E$
$A$	1

$C_s$	$E$	$\sigma_h$			$C_i$	$E$	$i$		
$A'$	1	1	$x, y, R_z$	$x^2, y^2, z^2, xy$	$A_g$	1	1	$R_x, R_y, R_z$	$x^2, y^2, z^2, xy, xz, yz$
$A''$	1	-1	$z, R_x, R_y$	$yz, xz$	$A_u$	1	-1	$x, y, z$	

##### 2. The $C_n$ Groups

$C_2$	$E$	$C_2$		
$A$	1	1	$z, R_z$	$x^2, y^2, z^2, xy$
$B$	1	-1	$x, y, R_x, R_y$	$yz, xz$

$C_3$	$E$	$C_3$	$C_3^2$		$\varepsilon = \exp(2\pi i/3)$
$A$	1	1	1	$z, R_z$	$x^2 + y^2, z^2$
$E$	$\begin{Bmatrix} 1 & \varepsilon & \varepsilon^* \\ 1 & \varepsilon^* & \varepsilon \end{Bmatrix}$			$(x, y)(R_x, R_y)$	$(x^2 - y^2, xy)(yz, xz)$

\* Appendix IIIA is presented in two places: (1) here, in its proper location in the sequel. e of appendices, and (2) as a separate section in a pocket inside the back cover.

The  $C_n$  Groups (continued)

$C_4$	$E$	$C_4$	$C_2$	$C_4^3$		
$A$	1	1	1	1	$z, R_z$	$x^2 + y^2, z^2$
$B$	1	-1	1	-1		$x^2 - y^2, xy$
$E$	$\begin{Bmatrix} 1 & i & -1 & -i \\ 1 & -i & -1 & i \end{Bmatrix}$				$(x, y)(R_x, R_y)$	$(yz, xz)$

$C_5$	$E$	$C_5$	$C_5^2$	$C_5^3$	$C_5^4$		$\varepsilon = \exp(2\pi i/5)$
$A$	1	1	1	1	1	$z, R_z$	$x^2 + y^2, z^2$
$E_1$	$\begin{Bmatrix} 1 & \varepsilon & \varepsilon^2 & \varepsilon^{2*} & \varepsilon^* \\ 1 & \varepsilon^* & \varepsilon^{2*} & \varepsilon^2 & \varepsilon \end{Bmatrix}$					$(x, y)(R_x, R_y)$	$(yz, xz)$
$E_2$	$\begin{Bmatrix} 1 & \varepsilon^2 & \varepsilon^* & \varepsilon & \varepsilon^{2*} \\ 1 & \varepsilon^{2*} & \varepsilon & \varepsilon^* & \varepsilon^2 \end{Bmatrix}$						$(x^2 - y^2, xy)$

$C_6$	$E$	$C_6$	$C_3$	$C_2$	$C_3^2$	$C_6^5$		$\varepsilon = \exp(2\pi i/6)$
$A$	1	1	1	1	1	1	$z, R_z$	$x^2 + y^2, z^2$
$B$	1	-1	1	-1	1	-1		
$E_1$	$\begin{Bmatrix} 1 & \varepsilon & -\varepsilon^* & -1 & -\varepsilon & \varepsilon^* \\ 1 & \varepsilon^* & -\varepsilon & -1 & -\varepsilon^* & \varepsilon \end{Bmatrix}$						$(x, y)$ $(R_x, R_y)$	$(xz, yz)$
$E_2$	$\begin{Bmatrix} 1 & -\varepsilon^* & -\varepsilon & 1 & -\varepsilon^* & -\varepsilon \\ 1 & -\varepsilon & -\varepsilon^* & 1 & -\varepsilon & -\varepsilon^* \end{Bmatrix}$							$(x^2 - y^2, xy)$

$C_7$	$E$	$C_7$	$C_7^2$	$C_7^3$	$C_7^4$	$C_7^5$	$C_7^6$		$\varepsilon = \exp(2\pi i/7)$
$A$	1	1	1	1	1	1	1	$z, R_z$	$x^2 + y^2, z^2$
$E_1$	$\begin{Bmatrix} 1 & \varepsilon & \varepsilon^2 & \varepsilon^3 & \varepsilon^{3*} & \varepsilon^{2*} & \varepsilon^* \\ 1 & \varepsilon^* & \varepsilon^{2*} & \varepsilon^{3*} & \varepsilon^3 & \varepsilon^2 & \varepsilon \end{Bmatrix}$							$(x, y)$ $(R_x, R_y)$	$(xz, yz)$
$E_2$	$\begin{Bmatrix} 1 & \varepsilon^2 & \varepsilon^{3*} & \varepsilon^* & \varepsilon & \varepsilon^3 & \varepsilon^{2*} \\ 1 & \varepsilon^{2*} & \varepsilon^3 & \varepsilon & \varepsilon^* & \varepsilon^{3*} & \varepsilon^2 \end{Bmatrix}$								$(x^2 - y^2, xy)$
$E_3$	$\begin{Bmatrix} 1 & \varepsilon^3 & \varepsilon^* & \varepsilon^2 & \varepsilon^{2*} & \varepsilon & \varepsilon^{3*} \\ 1 & \varepsilon^{3*} & \varepsilon & \varepsilon^{2*} & \varepsilon^2 & \varepsilon^* & \varepsilon^3 \end{Bmatrix}$								

$C_8$	$E$	$C_8$	$C_4$	$C_2$	$C_4^3$	$C_8^3$	$C_8^5$	$C_8^7$		$\varepsilon = \exp(2\pi i/8)$
$A$	1	1	1	1	1	1	1	1	$z, R_z$	$x^2 + y^2, z^2$
$B$	1	-1	1	1	1	-1	-1	-1		
$E_1$	$\begin{Bmatrix} 1 & \varepsilon & i & -1 & -i & -\varepsilon^* & -\varepsilon & \varepsilon^* \\ 1 & \varepsilon^* & -i & -1 & i & -\varepsilon & -\varepsilon^* & \varepsilon \end{Bmatrix}$								$(x, y)$ $(R_x, R_y)$	$(xz, yz)$
$E_2$	$\begin{Bmatrix} 1 & i & -1 & 1 & -1 & -i & i & -i \\ 1 & -i & -1 & 1 & -1 & i & -i & i \end{Bmatrix}$									$(x^2 - y^2, xy)$
$E_3$	$\begin{Bmatrix} 1 & -\varepsilon & i & -1 & -i & \varepsilon^* & \varepsilon & -\varepsilon^* \\ 1 & -\varepsilon^* & -i & -1 & i & \varepsilon & \varepsilon^* & -\varepsilon \end{Bmatrix}$									

### 3. The $D_n$ Groups

$D_2$	$E$	$C_2(z)$	$C_2(y)$	$C_2(x)$		
$A$	1	1	1	1		$x^2, y^2, z^2$
$B_1$	1	1	-1	-1	$z, R_z$	$xy$
$B_2$	1	-1	1	-1	$y, R_y$	$xz$
$B_3$	1	-1	-1	1	$x, R_x$	$yz$

$D_3$	$E$	$2C_3$	$3C_2$		
$A_1$	1	1	1		$x^2 + y^2, z^2$
$A_2$	1	1	-1	$z, R_z$	
$E$	2	-1	0	$(x, y)(R_x, R_y)$	$(x^2 - y^2, xy)(xz, yz)$

$D_4$	$E$	$2C_4$	$C_2(=C_4^2)$	$2C_2'$	$2C_2''$		
$A_1$	1	1	1	1	1		$x^2 + y^2, z^2$
$A_2$	1	1	1	-1	-1	$z, R_z$	
$B_1$	1	-1	1	1	-1		$x^2 - y^2$
$B_2$	1	-1	1	-1	1		$xy$
$E$	2	0	-2	0	0	$(x, y)(R_x, R_y)$	$(xz, yz)$

$D_5$	$E$	$2C_5$	$2C_5^2$	$5C_2$		
$A_1$	1	1	1	1		$x^2 + y^2, z^2$
$A_2$	1	1	1	-1	$z, R_z$	
$E_1$	2	$2 \cos 72^\circ$	$2 \cos 144^\circ$	0	$(x, y)(R_x, R_y)$	$(xz, yz)$
$E_2$	2	$2 \cos 144^\circ$	$2 \cos 72^\circ$	0		$(x^2 - y^2, xy)$

$D_6$	$E$	$2C_6$	$2C_3$	$C_2$	$3C_2'$	$3C_2''$		
$A_1$	1	1	1	1	1	1		$x^2 + y^2, z^2$
$A_2$	1	1	1	1	-1	-1	$z, R_z$	
$B_1$	1	-1	1	-1	1	-1		
$B_2$	1	-1	1	-1	-1	1		
$E_1$	2	1	-1	-2	0	0	$(x, y)(R_x, R_y)$	$(xz, yz)$
$E_2$	2	-1	-1	2	0	0		$(x^2 - y^2, xy)$



#### 4. The $C_{nv}$ Groups

$C_{2v}$	$E$	$C_2$	$\sigma_v(xz)$	$\sigma'_v(yz)$		
$A_1$	1	1	1	1	$z$	$x^2, y^2, z^2$
$A_2$	1	1	-1	-1	$R_z$	$xy$
$B_1$	1	-1	1	-1	$x, R_y$	$xz$
$B_2$	1	-1	-1	1	$y, R_x$	$yz$

$C_{3v}$	$E$	$2C_3$	$3\sigma_v$		
$A_1$	1	1	1	$z$	$x^2 + y^2, z^2$
$A_2$	1	1	-1	$R_z$	
$E$	2	-1	0	$(x, y)(R_x, R_y)$	$(x^2 - y^2, xy)(xz, yz)$

$C_{4v}$	$E$	$2C_4$	$C_2$	$2\sigma_v$	$2\sigma_d$		
$A_1$	1	1	1	1	1	$z$	$x^2 + y^2, z^2$
$A_2$	1	1	1	-1	-1	$R_z$	
$B_1$	1	-1	1	1	-1		$x^2 - y^2$
$B_2$	1	-1	1	-1	1		$xy$
$E$	2	0	-2	0	0	$(x, y)(R_x, R_y)$	$(xz, yz)$

$C_{5v}$	$E$	$2C_5$	$2C_5^2$	$5\sigma_v$		
$A_1$	1	1	1	1	$z$	$x^2 + y^2, z^2$
$A_2$	1	1	1	-1	$R_z$	
$E_1$	2	$2 \cos 72^\circ$	$2 \cos 144^\circ$	0	$(x, y)(R_x, R_y)$	$(xz, yz)$
$E_2$	2	$2 \cos 144^\circ$	$2 \cos 72^\circ$	0		$(x^2 - y^2, xy)$

$C_{6v}$	$E$	$2C_6$	$2C_3$	$C_2$	$3\sigma_v$	$3\sigma_d$		
$A_1$	1	1	1	1	1	1	$z$	$x^2 + y^2, z^2$
$A_2$	1	1	1	1	-1	-1	$R_z$	
$B_1$	1	-1	1	-1	1	-1		
$B_2$	1	-1	1	-1	-1	1		
$E_1$	2	1	-1	-2	0	0	$(x, y)(R_x, R_y)$	$(xz, yz)$
$E_2$	2	-1	-1	2	0	0		$(x^2 - y^2, xy)$

## 5. The $C_{nh}$ Groups

$C_{2h}$	$E$	$C_2$	$i$	$\sigma_h$		
$A_g$	1	1	1	1	$R_z$	$x^2, y^2, z^2, xy$
$B_g$	1	-1	1	-1	$R_x, R_y$	$xz, yz$
$A_u$	1	1	-1	-1	$z$	
$B_u$	1	-1	-1	1	$x, y$	

$C_{3h}$	$E$	$C_3$	$C_3^2$	$\sigma_h$	$S_3$	$S_3^5$		$\varepsilon = \exp(2\pi i/3)$
$A'$	1	1	1	1	1	1	$R_z$	$x^2 + y^2, z^2$
$E'$	$\begin{Bmatrix} 1 & \varepsilon^* & \varepsilon^* \\ 1 & \varepsilon^* & \varepsilon \end{Bmatrix}$	$\begin{Bmatrix} \varepsilon^* & \\ \varepsilon & \end{Bmatrix}$	$\begin{Bmatrix} \varepsilon^* & \\ \varepsilon & \end{Bmatrix}$	1	$\begin{Bmatrix} \varepsilon^* & \\ \varepsilon & \end{Bmatrix}$	$\begin{Bmatrix} \varepsilon^* & \\ \varepsilon & \end{Bmatrix}$	$(x, y)$	$(x^2 - y^2, xy)$
$A''$	1	1	1	-1	-1	-1	$z$	
$E''$	$\begin{Bmatrix} 1 & \varepsilon & \varepsilon \\ 1 & \varepsilon^* & \varepsilon^* \end{Bmatrix}$	$\begin{Bmatrix} \varepsilon^* & \\ \varepsilon & \end{Bmatrix}$	$\begin{Bmatrix} \varepsilon^* & \\ \varepsilon & \end{Bmatrix}$	-1	$\begin{Bmatrix} \varepsilon & \\ \varepsilon^* & \end{Bmatrix}$	$\begin{Bmatrix} \varepsilon & \\ \varepsilon^* & \end{Bmatrix}$	$(R_x, R_y)$	$(xz, yz)$

$C_{4h}$	$E$	$C_4$	$C_2$	$C_4^3$	$i$	$S_4^3$	$\sigma_h$	$S_4$		
$A_g$	1	1	1	1	1	1	1	1	$R_z$	$x^2 + y^2, z^2$
$B_g$	1	-1	1	-1	1	-1	1	-1		$x^2 - y^2, xy$
$E_g$	$\begin{Bmatrix} 1 & i \\ 1 & -i \end{Bmatrix}$	$\begin{Bmatrix} i & -1 \\ -i & -1 \end{Bmatrix}$	$\begin{Bmatrix} -1 & -i \\ -i & i \end{Bmatrix}$	$\begin{Bmatrix} -i & 1 \\ i & 1 \end{Bmatrix}$	$\begin{Bmatrix} 1 & -i \\ -i & -1 \end{Bmatrix}$	$\begin{Bmatrix} i & -1 \\ -i & -1 \end{Bmatrix}$	$\begin{Bmatrix} -1 & -i \\ -1 & i \end{Bmatrix}$	$\begin{Bmatrix} -i & 1 \\ i & 1 \end{Bmatrix}$	$(R_x, R_y)$	$(xz, yz)$
$A_u$	1	1	1	1	-1	-1	-1	-1	$z$	
$B_u$	1	-1	1	-1	-1	1	-1	1		
$E_u$	$\begin{Bmatrix} 1 & i \\ 1 & -i \end{Bmatrix}$	$\begin{Bmatrix} i & -1 \\ -i & -1 \end{Bmatrix}$	$\begin{Bmatrix} -1 & -i \\ -i & i \end{Bmatrix}$	$\begin{Bmatrix} -i & 1 \\ i & 1 \end{Bmatrix}$	$\begin{Bmatrix} 1 & -i \\ -i & -1 \end{Bmatrix}$	$\begin{Bmatrix} i & -1 \\ -i & -1 \end{Bmatrix}$	$\begin{Bmatrix} -1 & -i \\ -1 & i \end{Bmatrix}$	$\begin{Bmatrix} -i & 1 \\ i & 1 \end{Bmatrix}$	$(x, y)$	

$C_{Sh}$	$E$	$C_5$	$C_5^2$	$C_5^3$	$C_5^4$	$\sigma_h$	$S_5$	$S_5^7$	$S_5^3$	$S_5^9$		$\varepsilon = \exp(2\pi i/5)$
$A'$	1	1	1	1	1	1	1	1	1	1	$R_z$	$x^2 + y^2, z^2$
$E_1'$	$\left\{ \begin{array}{l} 1 \\ 1 \end{array} \right.$	$\left\{ \begin{array}{l} \varepsilon \\ \varepsilon^* \end{array} \right.$	$\left\{ \begin{array}{l} \varepsilon^2 \\ \varepsilon^{2*} \end{array} \right.$	$\left\{ \begin{array}{l} \varepsilon^{2*} \\ \varepsilon^2 \end{array} \right.$	$\left\{ \begin{array}{l} \varepsilon^* \\ \varepsilon \end{array} \right.$	1	$\left\{ \begin{array}{l} \varepsilon \\ \varepsilon^* \end{array} \right.$	$\left\{ \begin{array}{l} \varepsilon^2 \\ \varepsilon^{2*} \end{array} \right.$	$\left\{ \begin{array}{l} \varepsilon^{2*} \\ \varepsilon^2 \end{array} \right.$	$\left\{ \begin{array}{l} \varepsilon^* \\ \varepsilon \end{array} \right.$	$(x, y)$	
$E_2'$	$\left\{ \begin{array}{l} 1 \\ 1 \end{array} \right.$	$\left\{ \begin{array}{l} \varepsilon^2 \\ \varepsilon^{2*} \end{array} \right.$	$\left\{ \begin{array}{l} \varepsilon^* \\ \varepsilon \end{array} \right.$	$\left\{ \begin{array}{l} \varepsilon \\ \varepsilon^{2*} \end{array} \right.$	$\left\{ \begin{array}{l} \varepsilon^{2*} \\ \varepsilon^2 \end{array} \right.$	1	$\left\{ \begin{array}{l} \varepsilon^2 \\ \varepsilon \end{array} \right.$	$\left\{ \begin{array}{l} \varepsilon^* \\ \varepsilon^* \end{array} \right.$	$\left\{ \begin{array}{l} \varepsilon \\ \varepsilon^2 \end{array} \right.$	$\left\{ \begin{array}{l} \varepsilon^{2*} \\ \varepsilon^2 \end{array} \right.$		$(x^2 - y^2, xy)$
$A''$	1	1	1	1	1	-1	-1	-1	-1	-1	$z$	
$E_1''$	$\left\{ \begin{array}{l} 1 \\ 1 \end{array} \right.$	$\left\{ \begin{array}{l} \varepsilon \\ \varepsilon^* \end{array} \right.$	$\left\{ \begin{array}{l} \varepsilon^2 \\ \varepsilon^{2*} \end{array} \right.$	$\left\{ \begin{array}{l} \varepsilon^{2*} \\ \varepsilon^2 \end{array} \right.$	$\left\{ \begin{array}{l} \varepsilon^* \\ \varepsilon \end{array} \right.$	-1	$\left\{ \begin{array}{l} -\varepsilon \\ -\varepsilon^* \end{array} \right.$	$\left\{ \begin{array}{l} -\varepsilon^2 \\ -\varepsilon^{2*} \end{array} \right.$	$\left\{ \begin{array}{l} -\varepsilon^{2*} \\ -\varepsilon^2 \end{array} \right.$	$\left\{ \begin{array}{l} -\varepsilon^* \\ -\varepsilon \end{array} \right.$	$(R_x, R_y)$	$(xz, yz)$
$E_2''$	$\left\{ \begin{array}{l} 1 \\ 1 \end{array} \right.$	$\left\{ \begin{array}{l} \varepsilon^2 \\ \varepsilon^{2*} \end{array} \right.$	$\left\{ \begin{array}{l} \varepsilon^* \\ \varepsilon \end{array} \right.$	$\left\{ \begin{array}{l} \varepsilon \\ \varepsilon^{2*} \end{array} \right.$	$\left\{ \begin{array}{l} \varepsilon^{2*} \\ \varepsilon^2 \end{array} \right.$	-1	$\left\{ \begin{array}{l} -\varepsilon^2 \\ -\varepsilon \end{array} \right.$	$\left\{ \begin{array}{l} -\varepsilon^* \\ -\varepsilon^* \end{array} \right.$	$\left\{ \begin{array}{l} -\varepsilon \\ -\varepsilon^2 \end{array} \right.$	$\left\{ \begin{array}{l} -\varepsilon^{2*} \\ -\varepsilon^2 \end{array} \right.$		

$C_{6h}$	$E$	$C_6$	$C_3$	$C_2$	$C_3^2$	$C_6^5$	$i$	$S_3^5$	$S_6^5$	$\sigma_h$	$S_6$	$S_3$		$\varepsilon = \exp(2\pi i/6)$
$A_g$	1	1	1	1	1	1	1	1	1	1	1	1	$R_z$	$x^2 + y^2, z^2$
$B_g$	1	-1	1	-1	1	-1	1	-1	1	-1	1	-1		
$E_{1g}$	1	$\varepsilon$	$-\varepsilon^*$	-1	$-\varepsilon$	$\varepsilon^*$	1	$\varepsilon$	$-\varepsilon^*$	-1	$-\varepsilon$	$\varepsilon^*$	$(R_x, R_y)$	$(xz, yz)$
	1	$\varepsilon^*$	$-\varepsilon$	-1	$-\varepsilon^*$	$\varepsilon$	1	$\varepsilon^*$	$-\varepsilon$	-1	$-\varepsilon^*$	$\varepsilon$		
$E_{2g}$	1	$-\varepsilon^*$	$-\varepsilon$	1	$-\varepsilon^*$	$-\varepsilon$	1	$-\varepsilon^*$	$-\varepsilon$	1	$-\varepsilon^*$	$-\varepsilon$		$(x^2 - y^2, xy)$
	1	$-\varepsilon$	$-\varepsilon^*$	1	$-\varepsilon$	$-\varepsilon^*$	1	$-\varepsilon$	$-\varepsilon^*$	1	$-\varepsilon$	$-\varepsilon^*$		
$A_u$	1	1	1	1	1	1	-1	-1	-1	-1	-1	-1	$z$	
$B_u$	1	-1	1	-1	1	-1	-1	1	-1	1	-1	1		
$E_{1u}$	1	$\varepsilon$	$-\varepsilon^*$	-1	$-\varepsilon$	$\varepsilon^*$	-1	$-\varepsilon$	$\varepsilon^*$	1	$\varepsilon$	$-\varepsilon^*$	$(x, y)$	
	1	$\varepsilon^*$	$-\varepsilon$	-1	$-\varepsilon^*$	$\varepsilon$	-1	$-\varepsilon^*$	$\varepsilon$	1	$\varepsilon^*$	$-\varepsilon$		
$E_{2u}$	1	$-\varepsilon^*$	$-\varepsilon$	1	$-\varepsilon^*$	$-\varepsilon$	-1	$\varepsilon^*$	$\varepsilon$	-1	$\varepsilon^*$	$\varepsilon$		
	1	$-\varepsilon$	$-\varepsilon^*$	1	$-\varepsilon$	$-\varepsilon^*$	-1	$\varepsilon$	$\varepsilon^*$	-1	$\varepsilon$	$\varepsilon^*$		

## 6. The $D_{nh}$ Groups

$D_{2h}$	$E$	$C_2(z)$	$C_2(y)$	$C_2(x)$	$i$	$\sigma(xy)$	$\sigma(xz)$	$\sigma(yz)$		
$A_g$	1	1	1	1	1	1	1	1	$R_z$	$x^2, y^2, z^2$
$B_{1g}$	1	1	-1	-1	1	1	-1	-1		$xy$
$B_{2g}$	1	-1	1	-1	1	-1	1	-1		$xz$
$B_{3g}$	1	-1	-1	1	1	-1	-1	1		$yz$
$A_u$	1	1	1	1	-1	-1	-1	-1	$R_x$	
$B_{1u}$	1	1	-1	-1	-1	-1	1	1		$z$
$B_{2u}$	1	-1	1	-1	-1	1	-1	1		$y$
$B_{3u}$	1	-1	-1	1	-1	1	1	-1		$x$

$D_{3h}$	$E$	$2C_3$	$3C_2$	$\sigma_h$	$2S_3$	$3\sigma_v$		
$A_1'$	1	1	1	1	1	1	$R_z$	$x^2 + y^2, z^2$
$A_2'$	1	1	-1	1	1	-1		
$E'$	2	-1	0	2	-1	0	$(x, y)$	$(x^2 - y^2, xy)$
$A_1''$	1	1	1	-1	-1	-1	$z$	
$A_2''$	1	1	-1	-1	-1	1		
$E''$	2	-1	0	-2	1	0	$(R_x, R_y)$	$(xz, yz)$

$D_{4h}$	$E$	$2C_4$	$C_2$	$2C_2'$	$2C_2''$	$i$	$2S_4$	$\sigma_h$	$2\sigma_v$	$2\sigma_d$		
$A_{1g}$	1	1	1	1	1	1	1	1	1	1	$R_z$	$x^2 + y^2, z^2$
$A_{2g}$	1	1	1	-1	-1	1	1	1	-1	-1		
$B_{1g}$	1	-1	1	1	-1	1	-1	1	1	-1		$x^2 - y^2$
$B_{2g}$	1	-1	1	-1	1	1	-1	1	-1	1		$xy$
$E_g$	2	0	-2	0	0	2	0	-2	0	0	$(R_x, R_y)$	$(xz, yz)$
$A_{1u}$	1	1	1	1	1	-1	-1	-1	-1	-1	$z$	
$A_{2u}$	1	1	1	-1	-1	-1	-1	-1	1	1		
$B_{1u}$	1	-1	1	1	-1	-1	1	-1	-1	1		
$B_{2u}$	1	-1	1	-1	1	-1	1	-1	1	-1		
$E_u$	2	0	-2	0	0	-2	0	2	0	0	$(x, y)$	

$D_{5h}$	$E$	$2C_5$	$2C_5^2$	$5C_2$	$\sigma_h$	$2S_5$	$2S_5^3$	$5\sigma_v$		
$A_1'$	1	1	1	1	1	1	1	1	$R_z$	$x^2 + y^2, z^2$
$A_2'$	1	1	1	-1	1	1	1	-1		
$E_1'$	2	$2 \cos 72^\circ$	$2 \cos 144^\circ$	0	2	$2 \cos 72^\circ$	$2 \cos 144^\circ$	0		$(x, y)$
$E_2'$	2	$2 \cos 144^\circ$	$2 \cos 72^\circ$	0	2	$2 \cos 144^\circ$	$2 \cos 72^\circ$	0		$(x^2 - y^2, xy)$
$A_1''$	1	1	1	1	-1	-1	-1	-1	$z$	
$A_2''$	1	1	1	-1	-1	-1	-1	1		
$E_1''$	2	$2 \cos 72^\circ$	$2 \cos 144^\circ$	0	-2	$-2 \cos 72^\circ$	$-2 \cos 144^\circ$	0		$(R_x, R_y)$
$E_2''$	2	$2 \cos 144^\circ$	$2 \cos 72^\circ$	0	-2	$-2 \cos 144^\circ$	$-2 \cos 72^\circ$	0		$(xz, yz)$

$D_{6h}$	$E$	$2C_6$	$2C_3$	$C_2$	$3C_2'$	$3C_2''$	$i$	$2S_3$	$2S_6$	$\sigma_h$	$3\sigma_d$	$3\sigma_v$		
$A_{1g}$	1	1	1	1	1	1	1	1	1	1	1	1	$R_z$	$x^2 + y^2, z^2$
$A_{2g}$	1	1	1	1	-1	-1	1	1	1	1	-1	-1		
$B_{1g}$	1	-1	1	-1	1	-1	1	-1	1	-1	1	-1		
$B_{2g}$	1	-1	1	-1	-1	1	1	-1	1	-1	-1	1		
$E_{1g}$	2	1	-1	-2	0	0	2	1	-1	-2	0	0	$(R_x, R_y)$	$(xz, yz)$
$E_{2g}$	2	-1	-1	2	0	0	2	-1	-1	2	0	0		$(x^2 - y^2, xy)$
$A_{1u}$	1	1	1	1	1	1	-1	-1	-1	-1	-1	-1		
$A_{2u}$	1	1	1	1	-1	-1	-1	-1	-1	-1	1	1		
$B_{1u}$	1	-1	1	-1	1	-1	-1	1	-1	1	-1	1	$z$	
$B_{2u}$	1	-1	1	-1	-1	1	-1	1	-1	1	1	-1		
$E_{1u}$	2	1	-1	-2	0	0	-2	-1	1	2	0	0		$(x, y)$
$E_{2u}$	2	-1	-1	2	0	0	-2	1	1	-2	0	0		

$D_{8h}$	$E$	$2C_8$	$2C_8^3$	$2C_4$	$C_2$	$4C_2'$	$4C_2''$	$i$	$2S_8$	$2S_8^3$	$2S_4$	$\sigma_h$	$4\sigma_d$	$4\sigma_v$		
$A_{1g}$	1	1	1	1	1	1	1	1	1	1	1	1	1	1	$R_z$	$x^2 + y^2, z^2$
$A_{2g}$	1	1	1	1	1	-1	-1	1	1	1	1	1	-1	-1		
$B_{1g}$	1	-1	-1	1	1	1	-1	1	-1	-1	1	1	1	-1		
$B_{2g}$	1	-1	-1	1	1	-1	1	1	-1	-1	1	1	-1	1		
$E_{1g}$	2	$\sqrt{2}$	$-\sqrt{2}$	0	-2	0	0	2	$\sqrt{2}$	$-\sqrt{2}$	0	-2	0	0	$(R_x, R_y)$	$(xz, yz)$ $(x^2 - y^2, xy)$
$E_{2g}$	2	0	0	-2	2	0	0	2	0	0	-2	2	0	0		
$E_{3g}$	2	$-\sqrt{2}$	$\sqrt{2}$	0	-2	0	0	2	$-\sqrt{2}$	$\sqrt{2}$	0	-2	0	0		
$A_{1u}$	1	1	1	1	1	1	1	-1	-1	-1	-1	-1	-1	-1	$z$	
$A_{2u}$	1	1	1	1	1	-1	-1	-1	-1	-1	-1	-1	-1	-1		
$B_{1u}$	1	-1	-1	1	1	1	-1	-1	1	1	-1	-1	-1	-1		
$B_{2u}$	1	-1	-1	1	1	-1	1	-1	1	1	-1	-1	-1	-1		
$E_{1u}$	2	$\sqrt{2}$	$-\sqrt{2}$	0	-2	0	0	-2	$-\sqrt{2}$	$\sqrt{2}$	0	2	0	0	$(x, y)$	
$E_{2u}$	2	0	0	-2	2	0	0	-2	0	0	2	-2	0	0		
$E_{3u}$	2	$-\sqrt{2}$	$\sqrt{2}$	0	-2	0	0	-2	$\sqrt{2}$	$-\sqrt{2}$	0	2	0	0		

## 7. The $D_{nd}$ Groups

$D_{2d}$	$E$	$2S_4$	$C_2$	$2C_2'$	$2\sigma_d$		
$A_1$	1	1	1	1	1	$R_z$	$x^2 + y^2, z^2$
$A_2$	1	1	1	-1	-1		
$B_1$	1	-1	1	1	-1		
$B_2$	1	-1	1	-1	1		
$E$	2	0	-2	0	0	$(x, y);$ $(R_x, R_y)$	$xy$ $(xz, yz)$

$D_{3d}$	$E$	$2C_3$	$3C_2$	$i$	$2S_6$	$3\sigma_d$		
$A_{1g}$	1	1	1	1	1	1	$R_z$ $(R_x, R_y)$	$x^2 + y^2, z^2$ $(x^2 - y^2, xy),$ $(xz, yz)$
$A_{2g}$	1	1	-1	1	1	-1		
$E_g$	2	-1	0	2	-1	0		
$A_{1u}$	1	1	1	-1	-1	-1		
$A_{2u}$	1	1	-1	-1	-1	1	$z$ $(x, y)$	
$E_u$	2	-1	0	-2	1	0		

$D_{4d}$	$E$	$2S_8$	$2C_4$	$2S_8^3$	$C_2$	$4C_2'$	$4\sigma_d$		
$A_1$	1	1	1	1	1	1	1	$R_z$	$x^2 + y^2, z^2$
$A_2$	1	1	1	1	1	-1	-1		
$B_1$	1	-1	1	-1	1	1	-1		
$B_2$	1	-1	1	-1	1	-1	1		
$E_1$	2	$\sqrt{2}$	0	$-\sqrt{2}$	-2	0	0	$(x, y)$	$(x^2 - y^2, xy)$
$E_2$	2	0	-2	0	2	0	0		
$E_3$	2	$-\sqrt{2}$	0	$\sqrt{2}$	-2	0	0	$(R_x, R_y)$	$(xz, yz)$

$D_{5d}$	$E$	$2C_5$	$2C_5^2$	$5C_2$	$i$	$2S_{10}^3$	$2S_{10}$	$5\sigma_d$		
$A_{1g}$	1	1	1	1	1	1	1	1	$R_z$ $(R_x, R_y)$	$x^2 + y^2, z^2$ $(xz, yz)$ $(x^2 - y^2, xy)$
$A_{2g}$	1	1	1	-1	1	1	1	-1		
$E_{1g}$	2	$2 \cos 72^\circ$	$2 \cos 144^\circ$	0	2	$2 \cos 72^\circ$	$2 \cos 144^\circ$	0		
$E_{2g}$	2	$2 \cos 144^\circ$	$2 \cos 72^\circ$	0	2	$2 \cos 144^\circ$	$2 \cos 72^\circ$	0		
$A_{1u}$	1	1	1	1	-1	-1	-1	-1	$z$ $(x, y)$	
$A_{2u}$	1	1	1	-1	-1	-1	-1	1		
$E_{1u}$	2	$2 \cos 72^\circ$	$2 \cos 144^\circ$	0	-2	$-2 \cos 72^\circ$	$-2 \cos 144^\circ$	0		
$E_{2u}$	2	$2 \cos 144^\circ$	$2 \cos 72^\circ$	0	-2	$-2 \cos 144^\circ$	$-2 \cos 72^\circ$	0		

# 7. The $D_n$ Groups (Continued).

$D_{nd}$	$E$	$2S_{12}$	$2C_6$	$2S_4$	$2C_3$	$2S_{12}^5$	$C_2$	$6C_2'$	$6\sigma_d$		
$A_1$	1	1	1	1	1	1	1	1	1	$R_z$	$x^2 + y^2, z^2$
$A_2$	1	1	1	1	1	1	1	1	1		
$B_1$	1	1	1	1	1	1	1	1	1	$z$	
$B_2$	1	1	1	1	1	1	1	1	1		
$E_1$	2	$\sqrt{3}$	1	0	1	$\sqrt{3}$	2	0	0	$(x, y)$	$(x^2 - y^2, xy)$
$E_2$	2	1	1	2	1	1	2	0	0		
$E_3$	2	0	2	0	2	0	2	0	0		
$E_4$	2	1	1	2	1	1	2	0	0		
$E_5$	2	$\sqrt{3}$	1	0	1	$\sqrt{3}$	-2	0	0	$(R_x, R_y)$	$(xz, yz)$

# 8. The $S_n$ Groups

$S_4$	$E$	$S_4$	$C_2$	$S_4^3$		
$A$	1	1	1	1	$R_z$	$x^2 + y^2, z^2$
$B$	1	-1	1	-1	$z$	$x^2 - y^2, xy$
$E$	$\begin{Bmatrix} 1 & i & -1 & -i \\ 1 & -i & -1 & i \end{Bmatrix}$				$(x, y); (R_x, R_y)$	$(xz, yz)$

$S_6$	$E$	$C_3$	$C_3^2$	$i$	$S_6^5$	$S_6$		$\varepsilon = \exp(2\pi i/3)$
$A_g$	1	1	1	1	1	1	$R_z$	$x^2 + y^2, z^2$
$E_g$	$\begin{Bmatrix} 1 & \varepsilon & \varepsilon^* & 1 & \varepsilon & \varepsilon^* \\ 1 & \varepsilon^* & \varepsilon & 1 & \varepsilon^* & \varepsilon \end{Bmatrix}$						$(R_x, R_y)$	$(x^2 - y^2, xy);$ $(xz, yz)$
$A_u$	1	1	1	-1	-1	-1	$z$	
$E_u$	$\begin{Bmatrix} 1 & \varepsilon & \varepsilon^* & -1 & -\varepsilon & -\varepsilon^* \\ 1 & \varepsilon^* & \varepsilon & -1 & -\varepsilon^* & -\varepsilon \end{Bmatrix}$						$(x, y)$	

$S_8$	$E$	$S_8$	$C_4$	$S_8^3$	$C_2$	$S_8^5$	$C_4^3$	$S_8^7$		$\varepsilon = \exp(2\pi i/8)$
$A$	1	1	1	1	1	1	1	1	$R_z$	$x^2 + y^2, z^2$
$B$	1	-1	1	-1	1	-1	1	-1	$z$	
$E_1$	$\begin{Bmatrix} 1 & \varepsilon & i & -\varepsilon^* & -1 & -\varepsilon & -i & \varepsilon^* \\ 1 & \varepsilon^* & -i & -\varepsilon & -1 & -\varepsilon^* & i & \varepsilon \end{Bmatrix}$								$(x, y);$ $(R_x, R_y)$	
$E_2$	$\begin{Bmatrix} 1 & i & -1 & -i & 1 & i & -1 & -i \\ 1 & -i & -1 & i & 1 & -i & -1 & i \end{Bmatrix}$									$(x^2 - y^2, xy)$
$E_3$	$\begin{Bmatrix} 1 & -\varepsilon^* & -i & \varepsilon & -1 & \varepsilon^* & i & -\varepsilon \\ 1 & -\varepsilon & i & \varepsilon^* & -1 & \varepsilon & -i & -\varepsilon^* \end{Bmatrix}$									$(xz, yz)$

# 9. The Cubic Groups

$T$	$E$	$4C_3$	$4C_3^2$	$3C_2$		$\varepsilon = \exp(2\pi i/3)$
$A$	1	1	1	1		$x^2 + y^2 + z^2$
$E$	$\begin{Bmatrix} 1 & \varepsilon & \varepsilon^* & 1 \\ 1 & \varepsilon^* & \varepsilon & 1 \end{Bmatrix}$					$(2z^2 - x^2 - y^2,$ $x^2 - y^2)$
$T$	3	0	0	-1	$(R_x, R_y, R_z); (x, y, z)$	$(xy, xz, yz)$

# 9. The Cubic Groups (Continued).

$T_h$	$E$	$4C_3$	$4C_3^2$	$3C_2$	$i$	$4S_6$	$4S_6^5$	$3\sigma_h$	$r = \exp(2\pi i/3)$	
$A_g$	1	1	1	1	1	1	1	1	$x^2 + y^2 + z^2$	
$A_u$	1	1	1	1	-1	-1	-1	-1		
$E_g$	$\begin{Bmatrix} 1 & \varepsilon & \varepsilon^* \\ 1 & \varepsilon^* & \varepsilon \end{Bmatrix}$	$\begin{Bmatrix} \varepsilon & 1 \\ \varepsilon^* & 1 \end{Bmatrix}$	$\begin{Bmatrix} 1 & 1 \\ 1 & 1 \end{Bmatrix}$	$\begin{Bmatrix} 1 & 1 \\ 1 & 1 \end{Bmatrix}$	$\begin{Bmatrix} 1 & \varepsilon^* \\ 1 & \varepsilon \end{Bmatrix}$	$\begin{Bmatrix} \varepsilon & 1 \\ \varepsilon^* & 1 \end{Bmatrix}$	$\begin{Bmatrix} 1 & 1 \\ 1 & 1 \end{Bmatrix}$	$\begin{Bmatrix} 1 & 1 \\ 1 & 1 \end{Bmatrix}$	$\begin{Bmatrix} 2x^2 - x^2 - y^2, \\ x^2 - y^2 \end{Bmatrix}$	
$E_u$	$\begin{Bmatrix} 1 & \varepsilon & \varepsilon^* \\ 1 & \varepsilon^* & \varepsilon \end{Bmatrix}$	$\begin{Bmatrix} \varepsilon & 1 \\ \varepsilon^* & 1 \end{Bmatrix}$	$\begin{Bmatrix} 1 & 1 \\ 1 & 1 \end{Bmatrix}$	$\begin{Bmatrix} 1 & 1 \\ 1 & 1 \end{Bmatrix}$	$\begin{Bmatrix} -\varepsilon & 1 \\ -\varepsilon^* & 1 \end{Bmatrix}$	$\begin{Bmatrix} -\varepsilon & 1 \\ -\varepsilon^* & 1 \end{Bmatrix}$	$\begin{Bmatrix} 1 & 1 \\ 1 & 1 \end{Bmatrix}$	$\begin{Bmatrix} 1 & 1 \\ 1 & 1 \end{Bmatrix}$		
$T_g$	$\begin{Bmatrix} 3 & 0 & 0 \\ 3 & 0 & 0 \end{Bmatrix}$	$\begin{Bmatrix} 0 & -1 \\ 0 & -1 \end{Bmatrix}$	$\begin{Bmatrix} -1 & 1 \\ -1 & 1 \end{Bmatrix}$	$\begin{Bmatrix} 3 & 0 \\ 3 & 0 \end{Bmatrix}$	$\begin{Bmatrix} 0 & 0 \\ 0 & 0 \end{Bmatrix}$	$\begin{Bmatrix} 0 & 0 \\ 0 & 0 \end{Bmatrix}$	$\begin{Bmatrix} 0 & 0 \\ 0 & 0 \end{Bmatrix}$	$\begin{Bmatrix} 0 & 0 \\ 0 & 0 \end{Bmatrix}$	$(R_x, R_y, R_z)$	
$T_u$	$\begin{Bmatrix} 3 & 0 & 0 \\ 3 & 0 & 0 \end{Bmatrix}$	$\begin{Bmatrix} 0 & -1 \\ 0 & -1 \end{Bmatrix}$	$\begin{Bmatrix} -1 & 1 \\ -1 & 1 \end{Bmatrix}$	$\begin{Bmatrix} 3 & 0 \\ 3 & 0 \end{Bmatrix}$	$\begin{Bmatrix} 0 & 0 \\ 0 & 0 \end{Bmatrix}$	$\begin{Bmatrix} 0 & 0 \\ 0 & 0 \end{Bmatrix}$	$\begin{Bmatrix} 0 & 0 \\ 0 & 0 \end{Bmatrix}$	$\begin{Bmatrix} 0 & 0 \\ 0 & 0 \end{Bmatrix}$	$(x, y, z)$	
$T_d$	$E$	$8C_3$	$3C_2$	$6S_4$	$6\sigma_d$					
$A_1$	1	1	1	1	1					
$A_2$	1	1	1	-1	-1					
$E$	2	-1	2	0	0					
$T_1$	3	0	-1	1	-1	$(R_x, R_y, R_z)$				
$T_2$	3	0	-1	-1	1	$(x, y, z)$				
$O$	$E$	$6C_4$	$3C_2(=C_4^2)$	$8C_3$	$6C_2$					
$A_1$	1	1	1	1	1					
$A_2$	1	-1	1	1	-1					
$E$	2	0	2	-1	0					
$T_1$	3	1	-1	0	-1	$(R_x, R_y, R_z); (x, y, z)$				
$T_2$	3	-1	-1	0	1	$(xy, xz, yz)$				
$O_h$	$E$	$8C_3$	$6C_2$	$6C_4$	$3C_2(=C_4^2)$	$i$	$6S_4$	$8S_6$	$3\sigma_h$	$6\sigma_d$
$A_{1g}$	1	1	1	1	1	1	1	1	1	1
$A_{2g}$	1	1	-1	-1	1	1	-1	1	1	-1
$E_g$	2	-1	0	0	2	2	0	-1	2	0
$T_{1g}$	3	0	-1	1	-1	3	1	0	-1	-1
$T_{2g}$	3	0	1	-1	-1	3	-1	0	-1	1
$A_{1u}$	1	1	1	1	1	-1	-1	-1	-1	-1
$A_{2u}$	1	1	-1	-1	1	-1	1	-1	-1	1
$E_u$	2	-1	0	0	2	-2	0	1	-2	0
$T_{1u}$	3	0	-1	1	-1	-3	-1	0	1	1
$T_{2u}$	3	0	1	-1	-1	-3	1	0	1	-1

# 10. The Groups $C_{\infty v}$ and $D_{\infty h}$ for Linear Molecules

$C_{\infty v}$	$E$	$2C_{\infty}^{\phi}$	$\dots$	$\infty\sigma_v$		
$A_1 \equiv \Sigma^+$	1	1	$\dots$	1	$z$	$x^2 + y^2, z^2$
$A_2 \equiv \Sigma^-$	1	1	$\dots$	-1	$R_z$	
$E_1 \equiv \Pi$	2	$2 \cos \Phi$	$\dots$	0	$(x, y); (R_x, R_y)$	$(xz, yz)$
$E_2 \equiv \Delta$	2	$2 \cos 2\Phi$	$\dots$	0		$(x^2 - y^2, xy)$
$E_3 \equiv \Phi$	2	$2 \cos 3\Phi$	$\dots$	0		
$\dots$	$\dots$	$\dots$	$\dots$	$\dots$		

$D_{\infty h}$	$E$	$2C_{\infty}^{\phi}$	$\dots$	$\infty\sigma_v$	$i$	$2S_{\infty}^{\phi}$	$\dots$	$\infty C_2$	
$\Sigma_g^+$	1	1	$\dots$	1	1	1	$\dots$	1	$R_z$ $(R_x, R_y)$
$\Sigma_g^-$	1	1	$\dots$	-1	1	1	$\dots$	-1	
$\Pi_g$	2	$2 \cos \Phi$	$\dots$	0	2	$-2 \cos \Phi$	$\dots$	0	
$\Delta_g$	2	$2 \cos 2\Phi$	$\dots$	0	2	$2 \cos 2\Phi$	$\dots$	0	
$\dots$	$\dots$	$\dots$	$\dots$	$\dots$	$\dots$	$\dots$	$\dots$	$\dots$	
$\Sigma_u^+$	1	1	$\dots$	1	-1	-1	$\dots$	-1	$z$ $(x, y)$
$\Sigma_u^-$	1	1	$\dots$	-1	-1	-1	$\dots$	1	
$\Pi_u$	2	$2 \cos \Phi$	$\dots$	0	-2	$2 \cos \Phi$	$\dots$	0	
$\Delta_u$	2	$2 \cos 2\Phi$	$\dots$	0	-2	$-2 \cos 2\Phi$	$\dots$	0	
$\dots$	$\dots$	$\dots$	$\dots$	$\dots$	$\dots$	$\dots$	$\dots$	$\dots$	

# 11. The Icosahedral Groups\*

$I_h$	$E$	$12C_5$	$12C_5^2$	$20C_3$	$15C_2$	$i$	$125_{10}$	$125_{10}^3$	$20S_6$	$15\sigma$		
$A_g$	1	1	1	1	1	1	1	1	1	1	$(R_x, R_y, R_z)$	$x^2 + y^2 + z^2$
$T_g$	3	$\frac{1}{2}(1 + \sqrt{5})$	$\frac{1}{2}(1 - \sqrt{5})$	0	-1	3	$\frac{1}{2}(1 - \sqrt{5})$	$\frac{1}{2}(1 + \sqrt{5})$	0	-1		
$T_g$	3	$\frac{1}{2}(1 - \sqrt{5})$	$\frac{1}{2}(1 + \sqrt{5})$	0	-1	3	$\frac{1}{2}(1 + \sqrt{5})$	$\frac{1}{2}(1 - \sqrt{5})$	0	-1		
$G_g$	4	-1	-1	1	0	4	-1	-1	1	0		$(2z^2 - x^2 - y^2,$
$H_g$	5	0	0	-1	1	5	0	0	-1	1		$x^2 - y^2,$
												$xy, yz, zx)$
$A_u$	1	1	1	1	1	-1	-1	-1	-1	-1		
$T_{1u}$	3	$\frac{1}{2}(1 + \sqrt{5})$	$\frac{1}{2}(1 - \sqrt{5})$	0	-1	-3	$-\frac{1}{2}(1 - \sqrt{5})$	$-\frac{1}{2}(1 + \sqrt{5})$	0	1	$(x, y, z)$	
$T_{2u}$	3	$\frac{1}{2}(1 - \sqrt{5})$	$\frac{1}{2}(1 + \sqrt{5})$	0	-1	-3	$-\frac{1}{2}(1 + \sqrt{5})$	$-\frac{1}{2}(1 - \sqrt{5})$	0	1		
$G_u$	4	-1	-1	1	0	-4	1	1	-1	0		
$H_u$	5	0	0	-1	1	-5	0	0	1	-1		

\* For the pure rotation group  $I$ , the outlined section in the upper left is the character table; the  $g$  subscripts should, of course, be dropped and  $(x, y, z)$  assigned to the  $T_1$  representation.

## B : جدول العلاقة النسبية لمجموعة $O_h$

يبين هذا الجدول كيفية تغير تمثيلات مجموعة  $O_h$  او تفككها الى مجاميعها الثانوية عند تغير او انخفاض التماثل . ويعطي هذا الجدول التمثيلات المستعملة للتعامل مع التماثلات الاكثر شيوعاً في المعقدات . وتوجد المجموعة الكاملة من جداول العلاقة

النسبية في الجدول X-14 في كتاب

*Molecular Vibrations* by E. B. Wilson, Jr., J. C. Decius, and P. C. Cross, McGraw-Hill, New York, 1955.

$O_h$	$O$	$T_d$	$D_{4h}$	$D_{2d}$	$C_{4v}$	$C_{2v}$	$D_{3d}$	$D_3$	$C_{2h}$
$A_{1g}$	$A_1$	$A_1$	$A_{1g}$	$A_1$	$A_1$	$A_1$	$A_{1g}$	$A_1$	$A_g$
$A_{2g}$	$A_2$	$A_2$	$B_{1g}$	$B_1$	$B_1$	$A_2$	$A_{2g}$	$A_2$	$B_g$
$E_g$	$E$	$E$	$A_{1g} + B_{1g}$	$A_1 + B_1$	$A_1 + B_1$	$A_1 + A_2$	$E_g$	$E$	$A_g + B_g$
$T_{1g}$	$T_1$	$T_1$	$A_{2g} + E_g$	$A_2 + E$	$A_2 + E$	$A_2 + B_1 + B_2$	$A_{2g} + E_g$	$A_2 + E$	$A_g + 2B_g$
$T_{2g}$	$T_2$	$T_2$	$B_{2g} + E_g$	$B_2 + E$	$B_2 + E$	$A_1 + B_1 + B_2$	$A_{1g} + E_g$	$A_1 + E$	$2A_g + B_g$
$A_{1u}$	$A_1$	$A_2$	$A_{1u}$	$B_1$	$A_2$	$A_2$	$A_{1u}$	$A_1$	$A_u$
$A_{2u}$	$A_2$	$A_1$	$B_{1u}$	$A_1$	$B_2$	$A_1$	$A_{2u}$	$A_2$	$B_u$
$E_u$	$E$	$E$	$A_{1u} + B_{1u}$	$A_1 + B_1$	$A_2 + B_2$	$A_1 + A_2$	$E_u$	$E$	$A_u + B_u$
$T_{1u}$	$T_1$	$T_2$	$A_{2u} + E_u$	$B_2 + E$	$A_1 + E$	$A_1 + B_1 + B_2$	$A_{2u} + E_u$	$A_2 + E$	$A_u + 2B_u$
$T_{2u}$	$T_2$	$T_1$	$B_{2u} + E_u$	$A_2 + E$	$B_1 + E$	$A_2 + B_1 + B_2$	$A_{1u} + E_u$	$A_1 + E$	$2A_u + B_u$



## الملحق IV

### تحذير بالنسبة لتكامل الريزونانس

بيننا في الفقرة 137-139، مباشرة وبوضوح . طريقة لتعيين تكامل  $\beta$  . يشتمل ذلك على حساب مايسمى بطاقة الريزونانس التجريبية للبنزين ، المعرفة بشكل الاختلاف بالطاقة بين البنزين الحقيقي وبنزين كيكيولا ، لمضاعف  $\beta$  . تستخدم هذه الطريقة بدرجة واسعة وهي في الاقل صحيحة مبدئياً . كما يتضح من حقيقة اعطائها قيمة  $\beta$  نفسها في الجزيئات المختلفة . يعطي الجدول الآتي بعض النتائج التي توضح هذه النقطة .

جدول طاقات الريزونانس التجريبية وقيمة  $\beta$  المشتقة .

المركب	كيلو سرعة لكل مول	طاقة الريزونانس النظرية طاقة الريزونانس الملاحظة	
		$\beta$ - تقريب هوكيل	$\beta$ - تقريب هوكيل
البنزين	36	$2\beta$	18
ثنائي الفينيل	70-80	$4.38\beta$	$\sim 17$
النفثالين	75-80	$3.68\beta$	$\sim 21$
الانثراسين	105-116	$5.32\beta$	$\sim 20$
الفينانثرين	110-125	$5.45\beta$	$\sim 21$

### طاقة الريزونانس العمودية :

في العملية التي تم شرحها ، في أعلاه ، لم نأخذ بنظر الاعتبار الطاقة غير المتمركزة فحسب وانما أخذنا ايضاً الطاقة اللازمة لامتداد وانكماش او اصر كاربون - كاربون في بنزين كيكيولا من الاطوال 1.54 و 1.34 انكستروم الى الطول الشائع 1.39 انكستروم الموجود في البنزين الحقيقي . وهكذا ، تعود طاقة الريزونانس التجريبية ،  $R_{exp}$  ، الى الطاقة غير المتمركزة الحقيقية ، او طاقة الريزونانس العمودية \* ،  $R_v$  ، وتدمج

يستخدم الاصطلاح عمودي بالنسبة للمخطط الذي ترسم فيه الطاقة على الاحداثي العمودي ضد المسافات الفاصلة ما بين النوى على الاحداثي الافقي - وهكذا ، اذا كانت المسافات ما بين النوى متساوية في الحالة الفرضية للجزيئة غير الريزونانسية وال حالة الحقيقية الريزونانسية ، فان التغير في الطاقة يكون تغيراً عمودياً على الرسم .

طاقات امتداد الآصرة وانكماش الآصرة والتغيرات الأخرى ( مثل قوى التنافر بين الذرات غير المرتبطة ) التي يشار إليها بالرمز  $E_C$  ، بالمعادلة الآتية :

$$R_{\text{exp}} = R_v + E_C$$

والآن يمكن المناقشة في انطباق حسابات الاوربتال الجزيئي على  $R_v$  ولتعيين  $\beta$  يجب مساواة مضاعف  $\beta$  . المعطى بالنظرية : الى  $R_v$  وليس الى  $R_{\text{exp}}$  . ولاجراء ذلك يجب حساب  $E_C$  . لقد حسبت  $E_C$  للبتزين<sup>++</sup> وهي تساوي 37 - كيلوسعرة لكل مول .

وبحسب منها ان  $R_v = 36 + 37 = 73$  كيلوسعرة لكل مول . يجب ان تساوي  $\beta$  37 كيلوسعرة لكل مول تقريباً . اضعف القيمة تقريباً المستعملة في حسابات طاقات الازوتوانس التجريبية . وهكذا . لتعيين المسافات الحقيقية الفاصلة بين مستويات الطاقة في الجزيئة الحقيقية . ينبغي ان تكون هذه القيمة الكبيرة من  $\beta$  اكثر قرباً للصحة .

-  $\beta$  ، الطيفية :

ومما ينبغي ملاحظته ان فرضية هوكيل للتداخل المهمل بين اوربتالات  $p\pi$  المتجاورة تبدو غير محتملة فيزيائياً . لان مثل هذا التداخل ضروري اذ يسمح بتكوين الاوربتالات الجزيئية متعددة المركز . وقد درس هذه النقطة بالتفصيل كل من مليكان وريكي وبراون<sup>\*</sup> . ونلخص هنا شرحهم .

بدون الفرضية في كون جميع  $S_{ij} = \delta_{ij}$  . تأخذ المعادلات الزمنية الشكل (a) بدلاً من (b) التي استخدمت في تقرب هوكيل :

$$(a) \begin{vmatrix} H_{11} - E & H_{12} - ES_{12} \\ H_{21} - ES_{21} & H_{22} - E \end{vmatrix} = 0$$

$$(b) \begin{vmatrix} H_{11} - E & H_{12} \\ H_{21} & H_{22} - E \end{vmatrix} = 0$$

وهكذا ، تكون قيمة  $\beta$  الصحيحة غير  $H_{12} = H_{21}$  لكن  $H_{12} - ES_{12}$   $= H_{21} - ES_{21}$  . ويمكن بيان ان قيمة  $E$  ( لتشير الى الصفر الحقيقي من الطاقة ، وهي

++ R. S. Mulliken and R. G. Parr, *J. Chem. Phys.*, 19, 1271 (1951)

† R. S. Mulliken, C. A. Rieke, and W. G. Brown, *J. Am. Chem. Soc.*, 63, 41 (1941).

طاقة الالكترن حين ينفصل كلياً عن الجزئية ( هي 50 الكترن فولت تقريباً )  $I$  الكترن فولت  $= 23$  كيلوسعة لكل مول ) . والأبعد من ذلك . يجب ان يأخذ  $S_{12}$  القيمة بين 0.2 و 0.3 بحيث يكون  $ES_{12}$  بين 10 و 115 الكترن فولت . وقد لاحظ مليكان ومساعدوه ان التكامل  $H_{12}$  ينبغي ان يكون بهذه السعة تقريباً . اذ تتوافق مع حقيقة كون  $\beta$   $1-2$  الكترن فولت . اي فرق قليل بين العددين الكبيرين . لذلك من الغريب ان تبقى  $\beta$  ثابتة من جزئية الى اخرى . لان التغيرات البسيطة نسبياً في  $H_{12}$  او  $ES_{12}$  قد تسبب تغيرات كبيرة في  $\beta$  . وعلى اية حال . لوحظ هذا التقريب الثابت مبدئياً .

من ناحية اخرى . ينبغي ألا نكون مندهشين جداً اذا لم تتفق قيم  $\beta$  المشتقة من الانواع المختلفة من القياسات . وفي الحقيقة هذه هي الحالة . لاحظنا في اعلاه انه تم الحصول على  $\beta$  من طاقة الريزونانس العمودية للبنزين . وهي 37 كيلوسعة لكل مول تقريباً . بينما بين بلات\* لاول مرة ان الطاقة الكلية المناسبة للبنزين والهيدروكربونات المشبعة الاخرى يتم الحصول عليها حسب تقريب هوكيل بأخذ  $\beta$  تساوي 55-60 كيلو سعة لكل مول . لقد تم تبني هذه القيمة العالية بدرجة واسعة لتعيين الاختلافات الحقيقية بالطاقات بين الاوربتالات الجزئية . وهي تعرف بقيمة  $\beta$  الطيفية .

---

\* J. R. Platt, *J. Chem. Phys.*, 15, 419 (1947).

## V الملحق

### اشكال اوربتالات $f$ :

عند حل المعادلة الموجية للذرة الشبيهة بالهيدروجين بالطريقة الأكثر مباشرة للاوربتالات حين يساوي عددكم العزم الزاوي  $l$  الى 3. تم الحصول على النتائج الآتية للاجزاء الزاوية النقية (اي باهمال جميع العوامل العددية) :

$$\begin{array}{ll} \psi_0: (5 \cos^3 \theta - 3 \cos \theta) & m_l = 0 \\ \psi_{\pm 1}: \sin \theta (5 \cos^2 \theta - 1) e^{\pm i\phi} & m_l = \pm 1 \\ \psi_{\pm 2}: (\sin^2 \theta \cos \theta) e^{\pm 2i\phi} & m_l = \pm 2 \\ \psi_{\pm 3}: (\sin^3 \theta) e^{\pm 3i\phi} & m_l = \pm 3 \end{array}$$

تتجمع الدوال السبع في تجمعات لها مساقط العزم الزاوي الاوربتالي على المحور  $z$ .  $0, \pm 1, \pm 2, \pm 3$ . تعد كل واحدة من الدوال في الأزواج مع  $\pm 2, \pm 1 = m_l$   $\pm 3$  معقداً. كما هو مبين في اعلاه. لكن بأخذ الاتحادات الخطية لكل زوج. مثل

$$\frac{1}{\sqrt{2}}(\psi_{+3} + \psi_{-3}) \quad \text{and} \quad \frac{1}{i\sqrt{2}}(\psi_{+3} - \psi_{-3})$$

تُحذف الاجزاء التخيلية. وبهذه الطريقة يتم الحصول على الاوربتالات السبعة القياسية الحقيقية المبينة في الجدول AV.1. كما هو مبين في الجدول. تعد اوربتالات  $f$  ذات شكل يناسب مسألة شمولها فقط لمحور تماثلي واحد عالي الرتبة.

فمثلاً. في معاملة مركبات بس (ثمانى ترايين الحلقي) الفلزية. اذ ان مجموعة النقطة هي  $D_{8h}$ . يلاحظ ان الاوربتالات متجمعة بالفعل في تجمعات تعود الى التمثيلات  $A_{2u}, E_{1u}, E_{2u}, E_{3u}$  وعلى اية حال. للمسائل التي تشتمل على التماثل المكعبي.

تكون الدوال المعطاة في الجدول AV.1 غير مناسبة الاستعمال لانها لا تكون مباشرة تجمعات ثلاثية منحلة بالرغم من حقيقة ان التجمع الكلي لدوال  $f$  يوسع التمثيلات  $A_{2u}, T_{1u}, T_{2u}$  في مجموعة  $O_h$ .

## جدول AV.1

TRUE POLYNOMIAL	SIMPLIFIED POLYNOMIAL	NORMALIZING FACTOR	ANGULAR FUNCTION
$z(5z^2 - 3r^2)$	$z^3$	$\frac{\sqrt{7/\pi}}{4}$	$5 \cos^3 \theta - 3 \cos \theta$
$x(5z^2 - r^2)$	$xz^2$	$\frac{\sqrt{42/\pi}}{8}$	$\sin \theta (5 \cos^2 \theta - 1) \cos \phi$
$y(5z^2 - r^2)$	$yz^2$	$\frac{\sqrt{42/\pi}}{8}$	$\sin \theta (5 \cos^2 \theta - 1) \sin \phi$
$z(xy)$		$\frac{\sqrt{105/\pi}}{4}$	$\sin^2 \theta \cos \theta \sin 2\phi$
$z(x^2 - y^2)$		$\frac{\sqrt{105/\pi}}{4}$	$\sin^2 \theta \cos \theta \cos 2\phi$
$x(x^2 - 3y^2)$		$\frac{\sqrt{70/\pi}}{8}$	$\sin^3 \theta \cos 3\phi$
$y(3x^2 - y^2)$		$\frac{\sqrt{70/\pi}}{8}$	$\sin^3 \theta \sin 3\phi$

يمكن الحصول على تجمع من الدوال المفيدة لمسائل التماثل المكعبي بأخذ  
الاتحادات الخطية الآتية من تلك في الجدول AV.1

$$A_{2u}: J_{xyz} = J_{xyz} \text{ (as before)}$$

$$F_{1u}: \begin{cases} f_{x^3} = -\frac{1}{4}[\sqrt{6} f_{xz^2} - \sqrt{10} f_{x(x^2 - 3y^2)}] \\ f_{y^3} = -\frac{1}{4}[\sqrt{6} f_{yz^2} + \sqrt{10} f_{y(3x^2 - y^2)}] \\ f_{z^3} = f_{z^3} \text{ (as before)} \end{cases}$$

$$T_{2u}: \begin{cases} f_{z(x^2 - y^2)} = f_{z(x^2 - y^2)} \text{ (as before)} \\ f_{x(z^2 - y^2)} = \frac{1}{4}[\sqrt{10} f_{xz^2} + \sqrt{6} f_{x(x^2 - 3y^2)}] \\ f_{y(z^2 - x^2)} = \frac{1}{4}[\sqrt{10} f_{yz^2} - \sqrt{6} f_{y(3x^2 - y^2)}] \end{cases}$$

وهذه هي الدوال التي اعطيت في الجدول 8.1

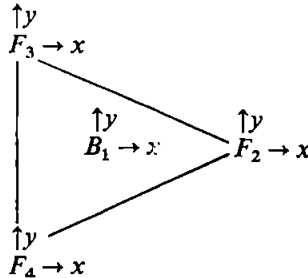
## الملحق VI

توضيح شبه اولي لحساب الاوربتال الجزيئي :  $BF_3$  باستعمال طريقة هوكيل الموسعة\* .

استعملت في الفقرة 8.6 مناقشات التماثل لوضع المعادلة الزمنية المجزأة لجزيئة  $BF_3$  ( او اية جزيئة مشابهة من نوع  $AB_3$  ذات تماثل  $D_{3h}$  ) . وقد استعمل تجمع اساس من 16 اوربتالاً ذرياً . يتكون من الاوربتالات  $2s, 2p_x, 2p_y$  و  $2p_z$  . لكل ذرة . ويعطي هذا الملحق توضيحاً للحسابات الحقيقية . تنجرى بواسطة الحاسبات الالكترونية حسب مايسمى بطريقة هوكيل الموسعة . التي تم الحصول منها على مخطط مستوى الطاقة الاوربتالي المبين في الشكل 8.11 .

وعند وضع المعادلة الزمنية . في الشرح المقدم سابقاً رتب النظام الاحداثي الموضعي على كل ذرة فلور مع محور  $x$  باتجاه ذرة  $B$  ومحور  $z$  عمودي على المستوي الجزيئي . لقد اجري ذلك للتبسيط . لان الاوربتالات  $p_x, p_y$  و  $p_z$  على كل ذرة فلور تنقسم مباشرة الى التجمعات  $p\sigma, p\pi$  و  $\perp p\pi$  .

وللاغراض الحسابية ، من المناسب استعمال الاحداثيات  $x$  و  $y$  المبينة في ادناه مع احداثيات  $z$  العمودية على المستوي الجزيئي ، كالسابق .



لاحظ ان الذرات مرقمة الان بالتسلسل من 1 الى 4 بحيث يتطابق  $F_n$  القديم مع  $F_{n-1}$  . تعود الاحداثيات الجديدة الى الاحداثيات القديمة بمصفوفات ثنائية البعد بسيطة ، مثل

$$\begin{bmatrix} F_{2x}^{new} \\ F_{2y}^{new} \end{bmatrix} = \begin{bmatrix} -1 & 0 \\ 0 & 1 \end{bmatrix} \begin{bmatrix} F_{1x}^{old} \\ F_{1y}^{old} \end{bmatrix}$$

لم يهمل ، بالطريقة المستعملة هنا ، التداخل بين الاوربتالات الذرية في حساب معاملات التعديل في SALC's . لذلك هناك SALC من نوع A ، مثل

$$\psi = N(F_{2s}^{(2)} + F_{2s}^{(3)} + F_{2s}^{(4)})$$

ليس لها  $N = 1/\sqrt{3}$  ، لكن بدلا من ذلك

$$N = (3 + 6S)^{-1/2}$$

اذ يمثل S تكامل التداخل بين اوربتالات s على ذرات الفلور المختلفة . وقد وجد هذا التكامل بانه يساوي 0.014 ( انظر الجدول AVI.1 ) ولذلك  $N = 0.568$  بدلا من  $3^{-1/2} = 0.577$  ، ومن الواضح ان هذا الاختلاف صغير جداً ويمكن اهماله . لكن جعل الدوال الموجية للاوربتالات الجزيئية الحقيقية قياسية يجب ان يشتمل على التداخل ايضا . لذلك فانه في الغالب مهم لاشتراك التداخلات الكبيرة بين الاوربتالات على الذرات المرتبطة . لهذا السبب فان مجموع مربعات المعاملات في الاوربتالات الجزيئية ، كما هو مبين في الجدول AVI.3 ، لاتساوي وحدة واحدة وهي في الحقيقة تتمثل بالكميات

$$\sum_{i,j} c_i S_{ij} c_j$$

وهو يساوي وحدة واحدة . والمجموع

$$\sum_{i,j} c_i c_j$$

اقل من واحد للاوربتالات التآصيرية واكبر من واحد للاوربتالات مضادة التآصر ، كما يمكن للقارئ ان يتحقق .

كذلك لا يهمل التداخل بين الذرات غير المتآصرة في اثناء حساب طاقات SALC's وهكذا ، فان SALC

$$\psi = 0.568 (F_{2s}^{(2)} + F_{2s}^{(3)} + F_{2s}^{(4)})$$

جدول *AVI.1* - مصفوفة تداخل الاوربتال الذري \*

		$2s$				$2p_x$				$2p_y$				$2p_z$			
		$B_1$	$F_2$	$F_3$	$F_4$	$B_1$	$F_2$	$F_3$	$F_4$	$B_1$	$F_2$	$F_3$	$F_4$	$B_1$	$F_2$	$F_3$	$F_4$
$2s$	$B_1$	1.000	0.355	0.355	0.355		0.226	0.113	0.113			0.196	0.196				
	$F_2$		1.000	0.014	0.014	0.479	0.018	0.018	0.018			0.010	0.010				
	$F_3$			1.000	0.014	0.240	0.018			0.415	0.010		0.020				
	$F_4$				1.000	0.240	0.018			0.415	0.010	0.020					
$2p_x$	$B_1$					1.000	0.248	0.084	0.084			0.192	0.192				
	$F_2$						1.000	0.021	0.021			0.014	0.014				
	$F_3$							1.000	0.004	0.192	0.014						
	$F_4$								1.000	0.192	0.014						
$2p_y$	$B_1$									1.000	0.195	0.138	0.138				
	$F_2$										1.000	0.004	0.004				
	$F_3$											1.000	0.029				
	$F_4$												1.000				
$2p_z$	$B_1$													1.000	0.195	0.195	0.195
	$F_2$														1.000	0.004	0.004
	$F_3$															1.000	0.004
	$F_4$																1.000

تمثل الفراغات عدم التداخل : تكون المصفوفة الكاملة متماثلة حول المحور القطري الاساس . تشير الخطوط الى القيمة السالبة .

محسب يوسف الدويهي



لا يعين تماماً طاقة اوربتال  $F_{2s}$  الاحادي ، بدلا من ذلك يحسب التداخل بين اوربتالات  $F_{2s}$  الثلاثة بأستخدام طريقة مشابهة لما سيشرح الآن للعناصر خارج المحور القطري ، ويضاف ( جبرياً ) الى طاقة الاوربتال الاحادي .

تحسب العناصر خارج المحور القطري باستعمال العلاقة الآتية :

$$H_{ij} = 1.75 \left( \frac{H_{ii} + H_{jj}}{2} \right) S_{ij}$$

يمثل  $H_{ii}$  و  $H_{jj}$  العناصر القطرية - 1.75 ثابت تناسب مصححاً مبدئياً ( تستخدم أحياناً قيمة قريبة من 2 ) ويمثل  $S_{ij}$  تكامل التداخل بين SALC's المتداخلة ( بضمنها الحالة الخاصة يكون فيها احد SALC اوربتالاً ذرباً على الذرة المركزية ) ومن الواضح ان  $S_{ij}$  هذه هي مجموع التداخلات بين أزواج من الاوربتالات الذرية . ويمكن التعبير عنها بسهولة بأستخدام علاقات SALC's

يتضح في الحال من الشرح السابق ان الخطوات الاولى في حساب مثل ذلك هي اختيار تجمع اساس من الاوربتالات والمسافات ما بين الذرات في الجزئية وطاقات الاوربتال الذرية . في هذه الحالة . تكون هذه الاختيارات كالآتي :

طاقات الاوربتال ( الكترون فولت )

	B	F
2s	-15.2	-40.0
2p	-8.5	-18.1

المسافات ما بين الذرات ( انكستروم )

B - F	1.300
F ... F	2.252

الاوربتالات الذرية ( نوع سلاتر )

$$\phi = N \cdot A \cdot r \cdot e^{-\mu r}$$

اذ تمثل  $N$  عامل التعديل و  $A$  زاوية اعتماد الدالة الموجية و  $r$  نصف القطر بالوحدات الذرية ( وحدة ذرية = 0.5292 Å انكستروم ) و  $\mu$  هو الحد الذي وصفت قيمته بطريقة الطاقة المناسبة من النوع الذي اجراه اولاً سلاتر . في هذه الحالة نحصل على

$$\mu_{2s, 2p}(B) = 1.300$$

$$\mu_{2s, 2p}(F) = 2.425$$

جدول AVI.2 - طاقات الاوربتالات الجزيئية احادية الالكترون ( الكترون فولت ) .

$1a_1'$	-41.489
$1e'$	-39.662
$2a_1'$	-19.112
$1a_1''$	-18.474
$2e'$	-18.467
$e''$	-18.043
$a_2'$	-17.814
$3e'$	-17.736
$2a_2''$	-5.713
$3a_1'$	21.084
$4e'$	23.640

جدول AVI.3 - الاوربتالات الجزيئية \*

	$2s$				$2p_x$				$2p_y$				$2p_z$			
	$B_1$	$F_2$	$F_3$	$F_4$	$B_1$	$F_2$	$F_3$	$F_4$	$B_1$	$F_2$	$F_3$	$F_4$	$B_1$	$F_2$	$F_3$	$F_4$
$1a_1$	0.145	0.516	0.516	0.516	0.000	0.010	0.005	0.005	0.000	0.000	0.009	0.009				
$1e'$	0.000	0.795	0.398	0.398	0.055	0.018	0.004	0.004	0.000	0.000	0.008	0.008				
	0.000	0.000	0.688	0.688	0.000	0.000	0.008	0.008	0.055	0.001	0.013	0.013				
$2a_1'$	0.152	0.097	0.097	0.097	0.000	0.530	0.265	0.265	0.000	0.000	0.459	0.459				
$1a_2'$													0.152	0.540	0.540	0.540
$2e'$	0.000	0.051	0.026	0.026	0.081	0.430	0.385	0.385	0.000	0.000	0.470	0.470				
	0.000	0.000	0.044	0.044	0.000	0.000	0.470	0.470	0.081	0.656	0.158	0.158				
$e''$													0.000	0.818	0.409	0.409
													0.000	0.000	0.709	0.709
$a_2'$	0.000	0.000	0.000	0.000	0.000	0.000	0.505	0.505	0.000	0.583	0.292	0.292				
	0.000	0.003	0.002	0.002	0.062	0.674	0.520	0.520	0.000	0.000	0.089	0.089				
$3e'$	0.000	0.000	0.003	0.003	0.000	0.000	0.089	0.089	0.062	0.469	0.623	0.623				
$2a_2'$													1.051	0.285	0.285	0.285
$3a_1'$	1.396	0.525	0.525	0.525	0.000	0.349	0.175	0.175	0.000	0.000	0.302	0.302				
	0.000	0.720	0.360	0.360	1.409	0.422	0.098	0.098	0.000	0.000	0.301	0.301				
$4e'$	0.000	0.000	0.623	0.623	0.000	0.000	0.301	0.301	1.409	0.272	0.249	0.249				

\* Blanks indicate coefficients which are identically zero. Bars denote negative values.

تشير المحلات الفارغة الى المعاملات التي تساوي صفراً . وتشير الخطوط الى القيم السالبة .

والمرحلة التالية من العمل هي حساب مصفوفة التداخل - ترتيب لجميع تداخلات الاوربتالات الذرية المميزة  $(16^2 + 16)/2 = 136$  . يبين الجدول AVI.1 مصفوفة التداخل لهذه المسألة .

ومن الممكن الآن حساب قيم عناصر المصفوفة جميعها ومن ثم تحليل المعادلات الزمنية لهذه الطاقات . اذ يبين الجدول AVI.2 هذه الطاقات ، عددياً . كما انها مبينة بالرسم في الشكل 8.11 ووجود هذه الطاقات . يمكن حساب معاملات الاوربتالات الذرية في كل اوربتال جزيئي . وهي مبينة في الجدول AVI.3

#### جدول AVI.4 - توزيع الشحنة المحسوب في $BF_3$

	F	B	
اوربتالات $\sigma$	-0.787	+2.362	
اوربتالات $\pi$	+0.047	-0.142	
المحصلة	-0.740	+2.220	

يعمل برنامج الحاسبة المستعمل على حساب نتيجة اضافية ، مما يمكن الحصول عليها من معاملات الاوربتال الجزيئي . وهي توزيع الشحنة ، اذ يعطي ذلك اولاً على كل اوربتال بواسطة الاوربتال الاساس ومن ثم لكل ذرة بشكل كلي . يبين الجدول AVI.4 بعض انتائج للجزيئة  $BF_3$  . ومن المعروف جيداً ان انفصال الشحنة او قطبية الآصرة مبالغ بها كثيراً في الحساب من هذا النوع ، خاصة لان طاقات الاوربتال الذرية الاولى المستعملة متفاوتة جداً . في حين تكون طاقات الاوربتالات الذرية صحيحة تقريباً للذرات المنعزلة . وهناك تأثيرات اختراق مابين الذرات في الجزيئة تعمل على تقليل الاختلافات . وهكذا . يهدف تقليل قابلية الالكترونات الى ان تكون مركزة في اوربتالات الفلور لهذه الحالة .

## الملحق VII

### جداول الخاصية لبعض المجموعات المزدوجة

$D'_4$		$E$	$R$	$C_4$ $C_4^3 R$	$C_4^3$ $C_4 R$	$C_2$ $C_2 R$	$2C'_2$ $2C'_2 R$	$2C''_2$ $2C''_2 R$
$\Gamma_1$	$A'_1$	1	1	1	1	1	1	1
$\Gamma_2$	$A'_2$	1	1	1	1	1	-1	-1
$\Gamma_3$	$B'_1$	1	1	-1	-1	1	1	-1
$\Gamma_4$	$B'_2$	1	1	-1	-1	1	-1	1
$\Gamma_5$	$E'_1$	2	2	0	0	-2	0	0
$\Gamma_6$	$E'_2$	2	-2	$\sqrt{2}$	$-\sqrt{2}$	0	0	0
$\Gamma_7$	$E'_3$	2	-2	$-\sqrt{2}$	$\sqrt{2}$	0	0	0

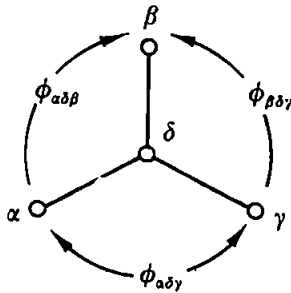
$O'$		$E$	$R$	$4C_3$ $4C_3^2 R$	$4C_3^2$ $4C_3 R$	$3C_2$ $3C_2 R$	$3C_4$ $3C_4^3 R$	$3C_4^3$ $3C_4 R$	$6C'_2$ $6C'_2 R$
$\Gamma_1$	$A'_1$	1	1	1	1	1	1	1	1
$\Gamma_2$	$A'_2$	1	1	1	1	1	-1	-1	-1
$\Gamma_3$	$E'_1$	2	2	-1	-1	2	0	0	0
$\Gamma_4$	$T'_1$	3	3	0	0	-1	1	1	-1
$\Gamma_5$	$T'_2$	3	3	0	0	-1	-1	-1	1
$\Gamma_6$	$E'_2$	2	-2	1	-1	0	$\sqrt{2}$	$-\sqrt{2}$	0
$\Gamma_7$	$E'_3$	2	-2	1	-1	0	$-\sqrt{2}$	$\sqrt{2}$	0
$\Gamma_8$	$G'$	4	-4	-1	1	0	0	0	0

## VIII الملحق

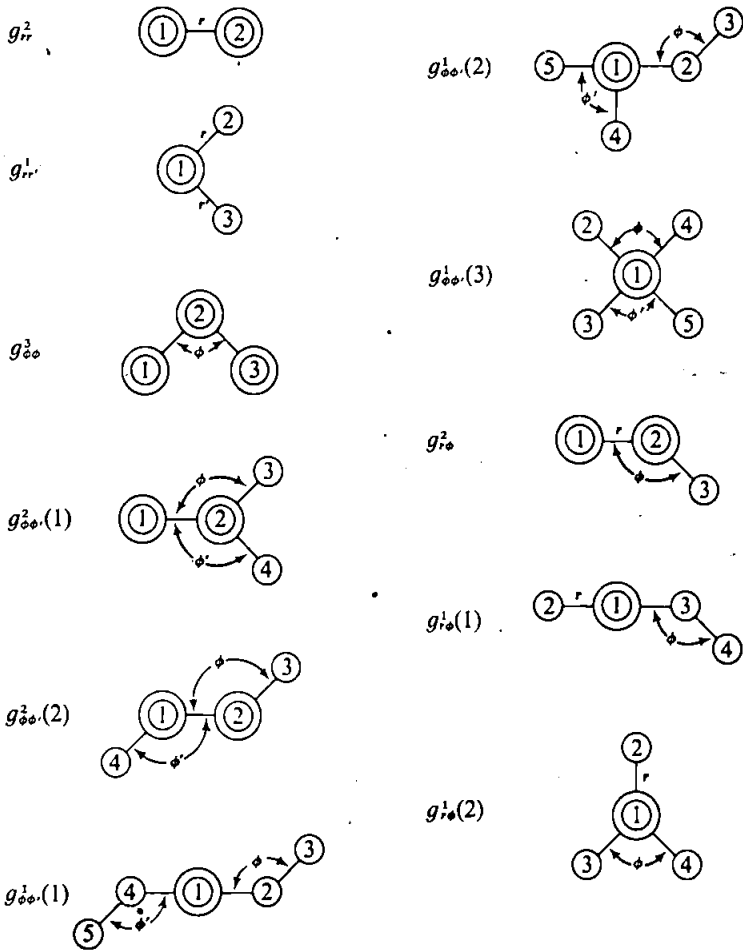
### عناصر مصفوفة $g$ .

يشخص كل عنصر في مصفوفة  $g$  برمزین سفلیین یعینان أنواع الاحداثیات الداخلية المشتركة ، باستخدام  $r$  للمسافات ما بین الذرات و  $\phi$  للزوايا . وهكذا . توجد ثلاثة اصناف رئيسة لعناصر مصفوفة  $g$  :  $g_{rr}, g_{\phi\phi}, g_{r\phi}$  . وتظهر في كل من هذه الاصناف اصناف ثانوية تعتمد على عدد الذرات المشتركة بالاحداثیات الداخلية . ويشخص الرمز العلوي هذا العدد من الذرات المشتركة . فمثلاً . يمثل  $g_{r\phi}^2$  عنصر مصفوفة يشتمل على آصرة .  $r$  . وزاوية .  $\phi$  . مع ذرتين مشتركين . والذرتان المشتركان هما اللتان تكونان الآصرة .  $r$  . وجهة واحدة من الزاوية . حتى هذا الترقيم ليس واضحاً كلياً . ويجب تمييزه . يبين الشكل AVIII.1 الرموز التي تمثل الحالة المعالجة هنا . وفي هذه المخططات . تمثل الذرات المشتركة بكلاً الاحداثيين بالدوائر الثنائية .

ومن الضروري في بعض صيغ عناصر مصفوفة  $g$  استعمال أنواع من الزوايا ثنائية السطوح . اضافة الى  $\phi$  و  $r$  . وتوجد في علاقتي  $g_{\phi\phi}^2(1)$  و  $g_{r\phi}^1(2)$  زوايا ثنائية السطوح يشار اليها  $\psi_{\alpha\beta\gamma}$  . في حين يشار للزوايا ثنائية السطوح الموجودة في علاقات  $g_{\phi\phi}^2(2)$  و  $g_{\phi\phi}^1(1)$  و  $g_{r\phi}^1(2)$  بالرمز  $\tau$  . تعرف زوايا ثنائية السطوح من نوع  $\psi$  بالمخطط الآتي :



$$\cos \psi_{\alpha\beta\gamma} = \frac{\cos \phi_{\alpha\delta\gamma} - \cos \phi_{\alpha\delta\beta} \cos \phi_{\beta\delta\gamma}}{\sin \phi_{\alpha\delta\beta} \sin \phi_{\beta\delta\gamma}}$$



الشكل AVIII.1 - مخططات تبين كيفية تحديد عناصر مصفوفة  $G$  الشائعة .

تعرف زوايا ثنائية السطوح من نوع  $\tau$  بأنها الزاوية بين المستويات المتكونة عن الذرات 1, 2, 3 ، و 2, 3, 4 حين ترتبط الذرات 1, 2, 3, 4 في التسلسل . وعند اشتراك اثنين من هذه المستويات ، مثل  $g_{\phi\phi}^2(2)$  و  $g_{r\phi}^1(1)$  تشير  $\tau$  بدون رموز سفلية الى الزاوية ثنائية السطوح المفردة . في الحالتين الاخرين ، تشير الرموز السفلية الى ان الذرة الاولى في التجمع تحدد المستوي الاول ، وتحدد الذرة الاخيرة المستوي الثاني . فمثلا ، في  $g_{\phi\phi}^2(1)$  ، تشير  $\tau_{25}$  الى ان الزاوية بين المستويات تحدد بالتداخل الذري الثلاثي 2, 1, 4 و 1, 4, 5 ، ومن الضروري وجود اصطلاحات الاشارة لزوايا  $\tau$  . تكون هذه الزوايا محددة بالمعدل  $-\pi < \tau \leq \pi$  و  $\tau_{14}$  موجبة اذا كانت ، عند

النظر الى الذرات على طول الاصرة 2, 3. مع 2 قرب الناظر ، الزاوية من المسقط  
 1, 2، على المسقط 3, 4 مقاسة باتجاه عقرب الساعة .

في العلاقات الانية تمثل  $\mu_i$  متبادل كتلة ( بالوحدات الذرية ) الذرة في التسلسل  
 $i$  وتمثل  $\rho_{ij}$  متبادل المسافة بين الذرات في التسلسل  $i$  و  $j$  .

$$g_{rr}^2 \quad \mu_1 + \mu_2$$

$$g_{rr}^1 \quad \mu_1 \cos \phi$$

$$g_{\phi\phi}^3 \quad \rho_{12}^2 \mu_1 + \rho_{23}^2 \mu_3 + (\rho_{12}^2 + \rho_{23}^2 - 2\rho_{12} \rho_{23} \cos \phi) \mu_2$$

$$g_{\phi\phi}^2(1) \quad (\rho_{12}^2 \cos \psi_{314}) \mu_1 + [(\rho_{12} - \rho_{23} \cos \phi_{123} - \rho_{24} \cos \phi_{124}) \rho_{12} \cos \psi_{314} + (\sin \phi_{123} \sin \phi_{124} \sin^2 \psi_{314} + \cos \phi_{324} \cos \psi_{314}) \rho_{23} \rho_{24}] \mu_2$$

$$g_{\phi\phi}^2(2) \quad -\rho_{12} \cos \tau [(\rho_{12} - \rho_{14} \cos \phi_1) \mu_1 + (\rho_{12} - \rho_{23} \cos \phi_2) \mu_2]$$

$$g_{\phi\phi}^1(1) \quad -\rho_{12} \rho_{14} (\sin \tau_{25} \sin \tau_{34} + \cos \tau_{25} \cos \tau_{34} \cos \phi_1) \mu_1$$

$$g_{\phi\phi}^1(2) \quad \frac{\rho_{12} \mu_1}{\sin \phi_{415}} [(\sin \phi_{214} \cos \phi_{415} \cos \tau_{34} - \sin \phi_{215} \cos \tau_{35}) \rho_{14} + (\sin \phi_{215} \cos \phi_{415} \cos \tau_{35} - \sin \phi_{214} \cos \tau_{34}) \rho_{15}]$$

$$g_{\phi\phi}^1(3) \quad \frac{\mu_1}{\sin \phi_{214} \sin \phi_{315}} [(\cos \phi_{415} - \cos \phi_{314} \cos \phi_{315} - \cos \phi_{214} \cos \phi_{215} + \cos \phi_{213} \cos \phi_{214} \cos \phi_{315}) \rho_{12} \rho_{13} + (\cos \phi_{413} - \cos \phi_{514} \cos \phi_{513} - \cos \phi_{214} \cos \phi_{213} + \cos \phi_{215} \cos \phi_{214} \cos \phi_{513}) \rho_{12} \rho_{15} + (\cos \phi_{215} - \cos \phi_{312} \cos \phi_{315} - \cos \phi_{412} \cos \phi_{415} + \cos \phi_{413} \cos \phi_{412} \cos \phi_{315}) \rho_{14} \rho_{13} + (\cos \phi_{213} - \cos \phi_{512} \cos \phi_{513} - \cos \phi_{412} \cos \phi_{413} + \cos \phi_{415} \cos \phi_{412} \cos \phi_{513}) \rho_{14} \rho_{15}]$$

$$g_{r\phi}^2 \quad -\rho_{23} \mu_2 \sin \phi$$

$$g_{r\phi}^1(1) \quad \rho_{13} \mu_1 \sin \phi_1 \cos \tau$$

$$g_{r\phi}^1 \quad -(\rho_{13} \sin \phi_{213} \cos \psi_{234} + \rho_{14} \sin \phi_{214} \cos \psi_{243}) \mu_1$$

## الملحق IX

### المراجع

نقدم هنا قائمة بالمراجع الكاملة اكثر والتي تعطي معالجة متقدمة اكثر للمواضيع المبينة في هذا الكتاب .  
نعطي اولاً المراجع للنظرية الاساس مناسبة لجميع الفصول في القسم الاول ومن ثم المصادر المناسبة لكل من مناطق التطبيق المبينة في القسم الثاني مبينة بصورة مستقلة لكل فصل .

### النظرية الاساس

تقدم مجموعة من الكتب عن ميكانيك الكم القواعد الاساس المناسبة للمسائل الكيميائية . يهمل العديد منها الاساس الجيد للاستمرار في دراسة هذا الكتاب . ومن غير الضروري الالمام بجميع المادة في الكتب الاكثر تقدماً . ولعل الكتاب الاخير يهمل افضل معالجة .

*Valence*, by C. A. Coulson, Oxford University Press, Fair Lawn, N.J., 2nd Ed., 1961.

*Introduction to Quantum Mechanics*, by L. Pauling and E. B. Wilson, McGraw-Hill Book Company, New York, 1935.

*Quantum Chemistry*, by H. Eyring, J. Walter, and G. E. Kimball, John Wiley & Sons, New York, 1947.

*Quantum Chemistry*, by W. Kauzman, Academic Press, New York, 1957.

*Valence Theory*, 2nd Ed., by J. N. Murrell, S. F. A. Kettle, and J. M. Tedder, John Wiley & Sons, New York, 1970.

Many books cover the application of group theory to quantum mechanics at a more advanced and sophisticated level than this one, and the aspiring theoretician will find it necessary to consult some of these. A few of the best are listed below:

*Group Theory and Its Physical Applications*, by L. M. Falicov, The University of Chicago Press, Chicago, 1966.

*Group Theory and Its Applications to Physical Problems*, by H. Hamermesh, Addison-Wesley Publishing Company, Reading, Mass., 1962.



*Group Theory and Quantum Mechanics*, by M. Tinkham, McGraw-Hill Book Company, New York, 1964.

*Group Theory*, by E. P. Wigner, Academic Press, New York, 1960.

*Symmetry: An Introduction to Group Theory and Its Applications*, by R. McWeeny, Pergamon Press, London, 1963.

## الفصل السابع

توجد المعلومات المفصلة عن التقريبات المختلفة ، اضافة الى تقريبات هوكيل ، للجزيئات العضوية والجزيئات العضوية غير المتجانسة وعلى تطبيقات هذه الحسابات في المصادر الاتية :

*Molecular Orbital Theory for Organic Chemists*, by A. Streitwieser, Jr., John Wiley & Sons, New York, 1961.

*The Molecular Orbital Theory of Organic Chemistry*, by M. J. S. Dewar, McGraw-Hill Book Company, New York, 1969.

*Approximate Molecular Orbital Theory*, J. A. Pople and D. L. Beveredge, McGraw-Hill Book Company, New York, 1970.

*The Molecular Orbital Theory of Conjugated Systems*, by L. Salem, W. A. Benjamin, New York, 1966.

*The Theory of the Electronic Spectra of Organic Molecules*, by J. N. Murrell, Methuen and Company, London, 1963.

وتوجد جدولة نتائج حسابات هوكيل لانظمة  $\pi$  للجزيئات العضوية العديدة في المصدر الاتي :

*Dictionary of  $\pi$ -Electron Calculations*, by C. A. Coulson and A. Streitwieser, Jr., W. H. Freeman and Company, San Francisco, 1965.

يتوفر الان تفسير التماثل المعتمد على قواعد الاختيار لتكوين الحلقات واعادة الترتيب والتفاعلات الاخرى التي نشرها اولاً Woodward و Hoffmann في *Angewandte Chemie* بشكل الكتاب الاتي :

*Conservation of Orbital Symmetry*, by R. B. Woodward and R. Hoffmann, Academic Press, New York, 1970.

## الفصل الثامن .

من المقالات والبحوث التي تتعامل مع النواحي الكمية لحسابات الاوربتال الجزيئي لجزيئات  $AB_n$  (بضمنها الجزيئات المقترحة في التمرين 8.4 كمسائل للتدريب ) هي :

H. B. Gray and C. J. Ballhausen, *J. Am. Chem. Soc.*, **85**, 260 (1963) (square  $MX_4^{n-}$  complexes).

C. J. Ballhausen and H. B. Gray, *Inorg. Chem.*, **1**, 111 (1962)  $[VO(H_2O)_5]^{2+}$ .

R. S. Berry, M. Tamres, C. J. Ballhausen, and H. Johnson, *Acta Chem. Scand.*, **22**, 231 (1968) ( $AB_5$  molecules).

R. F. Fenske, *Inorg. Chem.*, **4**, 33 (1965) (the  $TiF_6^{3-}$  ion).

L. L. Lohr and W. N. Lipscomb, *Inorg. Chem.*, **2**, 911 (1963) (An approach to Jahn-Teller effects via semiempirical MO theory).

وهناك مصادر عديدة منشورة عن حسابات الاوربتال الجزيئي للبنات الالكترونية  
للجزيئات  $(C_6H_6)_2Cr$  و  $(C_5H_5)_2M$  :

R. D. Fischer, *Theoret. Chim. Acta*, **1**, 418 (1963).

E. M. Shustorovitch and M. E. Dyatkina, *Dokl. Akad. Nauk. SSSR*, **128**, 1234 (1959); *J. Strukt. Chem. (USSR)*, **1**, 98 (1960).

J. P. Dahl and C. J. Ballhausen, *Kong. Danske Vidensk. Selsk., Mat. Fys. Medd.*, **33**, No. 5 (1961).

J. H. Schachtschneider, R. Prins, and P. Ros, *Inorg. Chim. Acta*, **1**, 462 (1967).

M. F. Rettig and R. S. Drago, *J. Am. Chem. Soc.*, **91**, 3432 (1969).

وقد نشرت معالجة الاوربتال الجزيئي للمركب  $C_6H_6Cr(CO)_3$  :

D. G. Carroll and S. P. McGlynn, *Inorg. Chem.*, **7**, 1285 (1968).

## الفصل التاسع .

من افضل الكتب العامة للكيميائيين هي :

*Introduction to Ligand Field Theory*, by C. J. Ballhausen, McGraw-Hill Book Company, New York, 1962.

*Introduction to Ligand Fields*, by B. N. Figgis, John Wiley & Sons, London, 1966.

*Basic Principles of Ligand Field Theory*, by H. L. Schlafer and G. Glieman, John Wiley & Sons-Interscience Publishers, New York, 1969.

والمعالجة الاكثر تطوراً هي :

*The Theory of Transition Metal Ions*, by J. S. Griffith, Cambridge University Press, 1961.

## الفصل العاشر .

من الكتب الجيدة لنظرية الجزيئات المنفردة هو :

*Molecular Vibrations*, by E. B. Wilson, Jr., J. C. Decius, and P. C. Cross, McGraw-Hill Book Company, New York, 1955.

وهناك كتابان اخران يفسران القيم النظرية والتجريبية :

*Infrared and Raman Spectra*, by G. Herzberg, D. Van Nostrand Co., Princeton, N.J., 1959.

*Infrared Spectra of Inorganic and Coordination Compounds*, 2nd Ed., by K. Nakamoto, John Wiley & Sons, New York, 1970.

ويغطي تأثير المحيط البلوري اللطيف التذبذبي للجزيئة بصورة جيدة في :

W. Vedder and D. F. Hornig in *Advances in Spectroscopy*, Vol. II, H. W. Thompson, Ed., Interscience Publishers, New York, 1961, p. 189.

## Appendix III\*

### A. Character Tables for Chemically Important Symmetry Groups

#### 1. The Nonaxial Groups

$C_1$	$E$
$A$	1

$C_s$	$E$	$\sigma_h$			$C_i$	$E$	$i$		
$A'$	1	1	$x, y, R_z$	$x^2, y^2, z^2, xy$	$A_g$	1	1	$R_x, R_y, R_z$	$x^2, y^2, z^2, xy, xz, yz$
$A''$	1	-1	$z, R_x, R_y$	$yz, xz$	$A_u$	1	-1	$x, y, z$	

#### 2. The $C_n$ Groups

$C_2$	$E$	$C_2$		
$A$	1	1	$z, R_z$	$x^2, y^2, z^2, xy$
$B$	1	-1	$x, y, R_x, R_y$	$yz, xz$

$C_3$	$E$	$C_3$	$C_3^2$		$\varepsilon = \exp(2\pi i/3)$
$A$	1	1	1	$z, R_z$	$x^2 + y^2, z^2$
$E$	$\begin{Bmatrix} 1 & \varepsilon & \varepsilon^* \\ 1 & \varepsilon^* & \varepsilon \end{Bmatrix}$			$(x, y)(R_x, R_y)$	$(x^2 - y^2, xy)(yz, xz)$

## 2 Appendix III

### The $C_n$ Groups (continued)

$C_4$	$E$	$C_4$	$C_2$	$C_4^3$		
$A$	1	1	1	1	$z, R_z$	$x^2 + y^2, z^2$
$B$	1	-1	1	-1		$x^2 - y^2, xy$
$E$	$\begin{Bmatrix} 1 & i & -1 & -i \\ 1 & -i & -1 & i \end{Bmatrix}$				$(x, y)(R_x, R_y)$	$(yz, xz)$

$C_5$	$E$	$C_5$	$C_5^2$	$C_5^3$	$C_5^4$		$\varepsilon = \exp(2\pi i/5)$
$A$	1	1	1	1	1	$z, R_z$	$x^2 + y^2, z^2$
$E_1$	$\begin{Bmatrix} 1 & \varepsilon & \varepsilon^2 & \varepsilon^{2*} & \varepsilon^* \\ 1 & \varepsilon^* & \varepsilon^{2*} & \varepsilon^2 & \varepsilon \end{Bmatrix}$					$(x, y)(R_x, R_y)$	$(yz, xz)$
$E_2$	$\begin{Bmatrix} 1 & \varepsilon^2 & \varepsilon^* & \varepsilon & \varepsilon^{2*} \\ 1 & \varepsilon^{2*} & \varepsilon & \varepsilon^* & \varepsilon^2 \end{Bmatrix}$						$(x^2 - y^2, xy)$

$C_6$	$E$	$C_6$	$C_3$	$C_2$	$C_3^2$	$C_6^5$		$\varepsilon = \exp(2\pi i/6)$
$A$	1	1	1	1	1	1	$z, R_z$	$x^2 + y^2, z^2$
$B$	1	-1	1	-1	1	-1		
$E_1$	$\begin{Bmatrix} 1 & \varepsilon & -\varepsilon^* & -1 & -\varepsilon & \varepsilon^* \\ 1 & \varepsilon^* & -\varepsilon & -1 & -\varepsilon^* & \varepsilon \end{Bmatrix}$						$(x, y)$ $(R_x, R_y)$	$(xz, yz)$
$E_2$	$\begin{Bmatrix} 1 & -\varepsilon^* & -\varepsilon & 1 & -\varepsilon^* & -\varepsilon \\ 1 & -\varepsilon & -\varepsilon^* & 1 & -\varepsilon & -\varepsilon^* \end{Bmatrix}$							$(x^2 - y^2, xy)$

$C_7$	$E$	$C_7$	$C_7^2$	$C_7^3$	$C_7^4$	$C_7^5$	$C_7^6$		$\varepsilon = \exp(2\pi i/7)$
$A$	1	1	1	1	1	1	1	$z, R_z$	$x^2 + y^2, z^2$
$E_1$	$\begin{Bmatrix} 1 & \varepsilon & \varepsilon^2 & \varepsilon^3 & \varepsilon^{3*} & \varepsilon^{2*} & \varepsilon^* \\ 1 & \varepsilon^* & \varepsilon^{2*} & \varepsilon^{3*} & \varepsilon^3 & \varepsilon^2 & \varepsilon \end{Bmatrix}$							$(x, y)$ $(R_x, R_y)$	$(xz, yz)$
$E_2$	$\begin{Bmatrix} 1 & \varepsilon^2 & \varepsilon^{3*} & \varepsilon^* & \varepsilon & \varepsilon^3 & \varepsilon^{2*} \\ 1 & \varepsilon^{2*} & \varepsilon^3 & \varepsilon & \varepsilon^* & \varepsilon^{3*} & \varepsilon^2 \end{Bmatrix}$								$(x^2 - y^2, xy)$
$E_3$	$\begin{Bmatrix} 1 & \varepsilon^3 & \varepsilon^* & \varepsilon^2 & \varepsilon^{2*} & \varepsilon & \varepsilon^{3*} \\ 1 & \varepsilon^{3*} & \varepsilon & \varepsilon^{2*} & \varepsilon^2 & \varepsilon^* & \varepsilon^3 \end{Bmatrix}$								

$C_8$	$E$	$C_8$	$C_4$	$C_2$	$C_4^3$	$C_8^3$	$C_8^5$	$C_8^7$		$\varepsilon = \exp(2\pi i/8)$
$A$	1	1	1	1	1	1	1	1	$z, R_z$	$x^2 + y^2, z^2$
$B$	1	-1	1	1	1	-1	-1	-1		
$E_1$	$\begin{Bmatrix} 1 & \varepsilon & i & -1 & -i & -\varepsilon^* & -\varepsilon & \varepsilon^* \\ 1 & \varepsilon^* & -i & -1 & i & -\varepsilon & -\varepsilon^* & \varepsilon \end{Bmatrix}$								$(x, y)$ $(R_x, R_y)$	$(xz, yz)$
$E_2$	$\begin{Bmatrix} 1 & i & -1 & 1 & -1 & -i & i & -i \\ 1 & -i & -1 & 1 & -1 & i & -i & i \end{Bmatrix}$									
$E_3$	$\begin{Bmatrix} 1 & -\varepsilon & i & -1 & -i & \varepsilon^* & \varepsilon & -\varepsilon^* \\ 1 & -\varepsilon^* & -i & -1 & i & \varepsilon & \varepsilon^* & -\varepsilon \end{Bmatrix}$									$(x^2 - y^2, xy)$

3. The  $D_n$  Groups

$D_2$	$E$	$C_2(z)$	$C_2(y)$	$C_2(x)$		
$A$	1	1	1	1		$x^2, y^2, z^2$
$B_1$	1	1	-1	-1	$z, R_z$	$xy$
$B_2$	1	-1	1	-1	$y, R_y$	$xz$
$B_3$	1	-1	-1	1	$x, R_x$	$yz$

$D_3$	$E$	$2C_3$	$3C_2$		
$A_1$	1	1	1		$x^2 + y^2, z^2$
$A_2$	1	1	-1	$z, R_z$	
$E$	2	-1	0	$(x, y)(R_x, R_y)$	$(x^2 - y^2, xy)(xz, yz)$

$D_4$	$E$	$2C_4$	$C_2(=C_4^2)$	$2C_2'$	$2C_2''$		
$A_1$	1	1	1	1	1		$x^2 + y^2, z^2$
$A_2$	1	1	1	-1	-1	$z, R_z$	
$B_1$	1	-1	1	1	-1		$x^2 - y^2$
$B_2$	1	-1	1	-1	1		$xy$
$E$	2	0	-2	0	0	$(x, y)(R_x, R_y)$	$(xz, yz)$

$D_5$	$E$	$2C_5$	$2C_5^2$	$5C_2$		
$A_1$	1	1	1	1		$x^2 + y^2, z^2$
$A_2$	1	1	1	-1	$z, R_z$	
$E_1$	2	$2 \cos 72^\circ$	$2 \cos 144^\circ$	0	$(x, y)(R_x, R_y)$	$(xz, yz)$
$E_2$	2	$2 \cos 144^\circ$	$2 \cos 72^\circ$	0		$(x^2 - y^2, xy)$

$D_6$	$E$	$2C_6$	$2C_3$	$C_2$	$3C_2'$	$3C_2''$		
$A_1$	1	1	1	1	1	1		$x^2 + y^2, z^2$
$A_2$	1	1	1	1	-1	-1	$z, R_z$	
$B_1$	1	-1	1	-1	1	-1		
$B_2$	1	-1	1	-1	-1	1		
$E_1$	2	1	-1	-2	0	0	$(x, y)(R_x, R_y)$	$(xz, yz)$
$E_2$	2	-1	-1	2	0	0		$(x^2 - y^2, xy)$

#### 4 Appendix III

##### 4. The $C_{nv}$ Groups

$C_{2v}$	$E$	$C_2$	$\sigma_v(xz)$	$\sigma'_v(yz)$		
$A_1$	1	1	1	1	$z$	$x^2, y^2, z^2$
$A_2$	1	1	-1	-1	$R_z$	$xy$
$B_1$	1	-1	1	-1	$x, R_y$	$xz$
$B_2$	1	-1	-1	1	$y, R_x$	$yz$

$C_{3v}$	$E$	$2C_3$	$3\sigma_v$		
$A_1$	1	1	1	$z$	$x^2 + y^2, z^2$
$A_2$	1	1	-1	$R_z$	
$E$	2	-1	0	$(x, y)(R_x, R_y)$	$(x^2 - y^2, xy)(xz, yz)$

$C_{4v}$	$E$	$2C_4$	$C_2$	$2\sigma_v$	$2\sigma_d$		
$A_1$	1	1	1	1	1	$z$	$x^2 + y^2, z^2$
$A_2$	1	1	1	-1	-1	$R_z$	
$B_1$	1	-1	1	1	-1		$x^2 - y^2$
$B_2$	1	-1	1	-1	1		$xy$
$E$	2	0	-2	0	0	$(x, y)(R_x, R_y)$	$(xz, yz)$

$C_{5v}$	$E$	$2C_5$	$2C_5^2$	$5\sigma_v$		
$A_1$	1	1	1	1	$z$	$x^2 + y^2, z^2$
$A_2$	1	1	1	-1	$R_z$	
$E_1$	2	$2 \cos 72^\circ$	$2 \cos 144^\circ$	0	$(x, y)(R_x, R_y)$	$(xz, yz)$
$E_2$	2	$2 \cos 144^\circ$	$2 \cos 72^\circ$	0		$(x^2 - y^2, xy)$

$C_{6v}$	$E$	$2C_6$	$2C_3$	$C_2$	$3\sigma_v$	$3\sigma_d$		
$A_1$	1	1	1	1	1	1	$z$	$x^2 + y^2, z^2$
$A_2$	1	1	1	1	-1	-1	$R_z$	
$B_1$	1	-1	1	-1	1	-1		
$B_2$	1	-1	1	-1	-1	1		
$E_1$	2	1	-1	-2	0	0	$(x, y)(R_x, R_y)$	$(xz, yz)$
$E_2$	2	-1	-1	2	0	0		$(x^2 - y^2, xy)$

## 5. The $C_{nh}$ Groups

$C_{2h}$	$E$	$C_2$	$i$	$\sigma_h$		
$A_g$	1	1	1	1	$R_z$	$x^2, y^2, z^2, xy$
$B_g$	1	-1	1	-1	$R_x, R_y$	$xz, yz$
$A_u$	1	1	-1	-1	$z$	
$B_u$	1	-1	-1	1	$x, y'$	

$C_{3h}$	$E$	$C_3$	$C_3^2$	$\sigma_h$	$S_3$	$S_3^5$		$\varepsilon = \exp(2\pi i/3)$
$A'$	1	1	1	1	1	1	$R_z$	$x^2 + y^2, z^2$
$E'$	$\begin{Bmatrix} 1 & \varepsilon & \varepsilon^* \\ 1 & \varepsilon^* & \varepsilon \end{Bmatrix}$	$\begin{Bmatrix} \varepsilon & & \\ & \varepsilon & \\ & & \varepsilon^* \end{Bmatrix}$	$\begin{Bmatrix} \varepsilon^* & & \\ & \varepsilon^* & \\ & & \varepsilon \end{Bmatrix}$	$\begin{Bmatrix} 1 & & \\ & 1 & \\ & & 1 \end{Bmatrix}$	$\begin{Bmatrix} \varepsilon & & \\ & \varepsilon^* & \\ & & \varepsilon \end{Bmatrix}$	$\begin{Bmatrix} \varepsilon^* & & \\ & \varepsilon^* & \\ & & \varepsilon \end{Bmatrix}$	$(x, y)$	$(x^2 - y^2, xy)$
$A''$	1	1	1	-1	-1	-1	$z$	
$E''$	$\begin{Bmatrix} 1 & \varepsilon & \varepsilon^* \\ 1 & \varepsilon^* & \varepsilon \end{Bmatrix}$	$\begin{Bmatrix} \varepsilon & & \\ & \varepsilon & \\ & & \varepsilon^* \end{Bmatrix}$	$\begin{Bmatrix} \varepsilon^* & & \\ & \varepsilon^* & \\ & & \varepsilon \end{Bmatrix}$	$\begin{Bmatrix} -1 & & \\ & -1 & \\ & & -1 \end{Bmatrix}$	$\begin{Bmatrix} \varepsilon & & \\ & \varepsilon^* & \\ & & \varepsilon \end{Bmatrix}$	$\begin{Bmatrix} \varepsilon^* & & \\ & \varepsilon^* & \\ & & \varepsilon \end{Bmatrix}$	$(R_x, R_y)$	$(xz, yz)$

$C_{4h}$	$E$	$C_4$	$C_2$	$C_4^3$	$i$	$S_4^3$	$\sigma_h$	$S_4$		
$A_g$	1	1	1	1	1	1	1	1	$R_z$	$x^2 + y^2, z^2$
$B_g$	1	-1	1	-1	1	-1	1	-1		$x^2 - y^2, xy$
$E_g$	$\begin{Bmatrix} 1 & i & -1 & -i & 1 & i & -1 & -i \end{Bmatrix}$								$(R_x, R_y)$	$(xz, yz)$
$A_u$	1	1	1	1	-1	-1	-1	-1	$z$	
$B_u$	1	-1	1	-1	-1	1	1	1		
$E_u$	$\begin{Bmatrix} 1 & i & -1 & -i & -1 & i & 1 & i \end{Bmatrix}$								$(x, y)$	

$C_{5h}$	$E$	$C_5$	$C_5^2$	$C_5^3$	$C_5^4$	$\sigma_h$	$S_5$	$S_5^7$	$S_5^3$	$S_5^9$		$\varepsilon = \exp(2\pi i/5)$
$A'$	1	1	1	1	1	1	1	1	1	1	$R_z$	$x^2 + y^2, z^2$
$E_1'$	1	$\varepsilon$	$\varepsilon^2$	$\varepsilon^{2*}$	$\varepsilon^*$	1	$\varepsilon$	$\varepsilon^2$	$\varepsilon^{2*}$	$\varepsilon^*$	$(x, y)$	
$E_2'$	1	$\varepsilon^2$	$\varepsilon^*$	$\varepsilon$	$\varepsilon^{2*}$	1	$\varepsilon^2$	$\varepsilon^*$	$\varepsilon$	$\varepsilon^{2*}$		$(x^2 - y^2, xy)$
$A''$	1	1	1	1	1	1	1	1	1	1	$z$	
$E_1''$	1	$\varepsilon$	$\varepsilon^2$	$\varepsilon^{2*}$	$\varepsilon^*$	-1	$-\varepsilon$	$-\varepsilon^2$	$-\varepsilon^{2*}$	$-\varepsilon^*$	$(R_x, R_y)$	$(xz, yz)$
$E_2''$	1	$\varepsilon^2$	$\varepsilon^*$	$\varepsilon$	$\varepsilon^{2*}$	-1	$-\varepsilon^2$	$-\varepsilon^*$	$-\varepsilon$	$-\varepsilon^{2*}$		

$C_{6h}$	$E$	$C_6$	$C_3$	$C_2$	$C_3^2$	$C_6^5$	$i$	$S_3^5$	$S_6^5$	$\sigma_h$	$S_6$	$S_3$		$\varepsilon = \exp(2\pi i/6)$
$A_g$	1	1	1	1	1	1	1	1	1	1	1	1	$R_z$	$x^2 + y^2, z^2$
$B_g$	1	-1	1	-1	1	-1	1	-1	1	-1	1	-1		
$E_{1g}$	$\begin{Bmatrix} 1 & e & -e^* & -1 & -e & e^* \\ 1 & e^* & -e & -1 & -e^* & e \end{Bmatrix}$						1	$\varepsilon$	$-\varepsilon^*$	-1	-e	$\varepsilon^*$	$(R_x, R_y)$	$(xz, yz)$
$E_{2g}$	$\begin{Bmatrix} 1 & -e^* & -\varepsilon & 1 & -e^* & -\varepsilon \\ 1 & -e & -e^* & 1 & -e & -e^* \end{Bmatrix}$						1	$-\varepsilon^*$	$-\varepsilon$	1	$-\varepsilon^*$	$-\varepsilon$		$(x^2 - y^2, xy)$
$A_u$	1	1	1	1	1	1	-1	-1	-1	-1	-1	-1	$z$	
$B_u$	1	-1	1	-1	1	-1	-1	1	-1	1	-1	1		
$E_{1u}$	$\begin{Bmatrix} 1 & e & -e^* & -1 & -e & e^* \\ 1 & e^* & -e & -1 & -e^* & e \end{Bmatrix}$						-1	$-\varepsilon$	$e^*$	1	$\varepsilon$	$-e^*$	$(x, y)$	
$E_{2u}$	$\begin{Bmatrix} 1 & -e^* & -\varepsilon & 1 & -e^* & -\varepsilon \\ 1 & -e & -e^* & 1 & -e & -e^* \end{Bmatrix}$						-1	$\varepsilon^*$	$\varepsilon$	-1	$e^*$	$\varepsilon$		

6. The  $D_{nh}$  Groups

$D_{2h}$	$E$	$C_2(z)$	$C_2(y)$	$C_2(x)$	$i$	$\sigma(xy)$	$\sigma(xz)$	$\sigma(yz)$		
$A_g$	1	1	1	1	1	1	1	1	$R_z$	$x^2, y^2, z^2$
$B_{1g}$	1	1	-1	-1	1	1	-1	-1	$R_y$	$xy$
$B_{2g}$	1	-1	1	-1	1	-1	1	-1	$R_x$	$xz$
$B_{3g}$	1	-1	-1	1	1	-1	-1	1		$yz$
$A_u$	1	1	1	1	-1	-1	-1	-1		
$B_{1u}$	1	1	-1	-1	-1	-1	1	1	$z$	
$B_{2u}$	1	-1	1	-1	-1	1	-1	1	$y$	
$B_{3u}$	1	-1	-1	1	-1	1	1	-1	$x$	

$D_{3h}$	$E$	$2C_3$	$3C_2$	$\sigma_h$	$2S_3$	$3\sigma_v$		
$A_1'$	1	1	1	1	1	1	$R_z$	$x^2 + y^2, z^2$
$A_2'$	1	1	-1	1	1	-1	$(x, y)$	$(x^2 - y^2, xy)$
$E'$	2	-1	0	2	-1	0		
$A_1''$	1	1	1	-1	-1	-1	$z$	
$A_2''$	1	1	-1	-1	-1	1	$(R_x, R_y)$	$(xz, yz)$
$E''$	2	-1	0	-2	1	0		

$D_{4h}$	$E$	$2C_4$	$C_2$	$2C_2'$	$2C_2''$	$i$	$2S_4$	$\sigma_h$	$2\sigma_v$	$2\sigma_d$		
$A_{1g}$	1	1	1	1	1	1	1	1	1	1	$R_z$	$x^2 + y^2, z^2$
$A_{2g}$	1	1	1	-1	-1	1	1	1	-1	-1		
$B_{1g}$	1	-1	1	1	-1	1	-1	1	1	-1		$x^2 - y^2$
$B_{2g}$	1	-1	1	-1	1	1	-1	1	-1	1		$xy$
$E_g$	2	0	-2	0	0	2	0	-2	0	0	$(R_x, R_y)$	$(xz, yz)$
$A_{1u}$	1	1	1	1	1	-1	-1	-1	-1	-1		
$A_{2u}$	1	1	1	-1	-1	-1	-1	-1	1	1	$z$	
$B_{1u}$	1	-1	1	1	-1	-1	1	-1	-1	1		
$B_{2u}$	1	-1	1	-1	1	-1	1	-1	1	-1		
$E_u$	2	0	-2	0	0	-2	0	2	0	0	$(x, y)$	

$D_{5h}$	$E$	$2C_5$	$2C_5^2$	$5C_2$	$\sigma_h$	$2S_5$	$2S_5^3$	$5\sigma_v$		
$A_1'$	1	1	1	1	1	1	1	1	$R_z$	$x^2 + y^2, z^2$
$A_2'$	1	1	1	-1	1	1	1	-1	$(x, y)$	
$E_1'$	2	$2 \cos 72^\circ$	$2 \cos 144^\circ$	0	2	$2 \cos 72^\circ$	$2 \cos 144^\circ$	0		$(x^2 - y^2, xy)$
$E_2'$	2	$2 \cos 144^\circ$	$2 \cos 72^\circ$	0	2	$2 \cos 144^\circ$	$2 \cos 72^\circ$	0		
$A_1''$	1	1	1	1	-1	-1	-1	-1		
$A_2''$	1	1	1	-1	-1	-1	-1	1	$z$	
$E_1''$	2	$2 \cos 72^\circ$	$2 \cos 144^\circ$	0	-2	$-2 \cos 72^\circ$	$-2 \cos 144^\circ$	0	$(R_x, R_y)$	$(xz, yz)$
$E_2''$	2	$2 \cos 144^\circ$	$2 \cos 72^\circ$	0	-2	$-2 \cos 144^\circ$	$-2 \cos 72^\circ$	0		

$D_{6h}$	$E$	$2C_6$	$2C_3$	$C_2$	$3C_2'$	$3C_2''$	$i$	$2S_3$	$2S_6$	$\sigma_h$	$3\sigma_d$	$3\sigma_v$		
$A_{1g}$	1	1	1	1	1	1	1	1	1	1	1	1	$R_z$	$x^2 + y^2, z^2$
$A_{2g}$	1	1	1	1	-1	-1	1	1	1	1	-1	-1		
$B_{1g}$	1	-1	1	1	-1	-1	1	-1	1	1	1	-1		
$B_{2g}$	1	-1	1	-1	-1	1	1	-1	1	1	-1	1		
$E_{1g}$	2	1	-1	-2	0	0	2	1	-1	-2	0	0	$(R_x, R_y)$	$(xz, yz)$
$E_{2g}$	2	-1	-1	2	0	0	2	-1	-1	2	0	0		$(x^2 - y^2, xy)$
$A_{1u}$	1	1	1	1	1	1	-1	-1	-1	-1	-1	-1		
$A_{2u}$	1	1	1	1	-1	-1	-1	-1	-1	-1	1	1	$z$	
$B_{1u}$	1	-1	1	-1	1	-1	-1	1	-1	1	1	-1		
$B_{2u}$	1	-1	1	-1	-1	1	-1	1	-1	1	-1	-1		
$E_{1u}$	2	1	-1	-2	0	0	-2	-1	1	2	0	0	$(x, y)$	
$E_{2u}$	2	-1	-1	2	0	0	-2	1	1	-2	0	0		



$D_{8h}$	$E$	$2C_8$	$2C_8^3$	$2C_4$	$C_2$	$4C_2'$	$4C_2''$	$i$	$2S_8$	$2S_8^3$	$2S_4$	$\sigma_h$	$4\sigma_d$	$4\sigma_v$		
$A_{1g}$	1	1	1	1	1	1	1	1	1	1	1	1	1	1	$R_z$	$x^2 + y^2, z^2$
$A_{2g}$	1	1	1	1	1	-1	-1	1	1	1	1	1	-1	-1		
$B_{1g}$	1	-1	-1	1	1	1	-1	1	-1	-1	1	1	1	-1		
$B_{2g}$	1	-1	-1	1	1	-1	1	1	-1	-1	1	1	-1	1		
$E_{1g}$	2	$\sqrt{2}$	$-\sqrt{2}$	0	-2	0	0	2	$\sqrt{2}$	$-\sqrt{2}$	0	-2	0	0	$(R_x, R_y)$	$(xz, yz)$ $(x^2 - y^2, xy)$
$E_{2g}$	2	0	0	-2	2	0	0	2	0	0	-2	2	0	0		
$E_{3g}$	2	$-\sqrt{2}$	$\sqrt{2}$	0	-2	0	0	2	$-\sqrt{2}$	$\sqrt{2}$	0	-2	0	0		
$A_{1u}$	1	1	1	1	1	1	1	-1	-1	-1	-1	-1	-1	-1	$z$	$(x, y)$
$A_{2u}$	1	1	1	1	1	-1	-1	-1	-1	-1	-1	-1	-1	-1		
$B_{1u}$	1	-1	-1	1	1	1	-1	-1	1	1	-1	-1	-1	-1		
$B_{2u}$	1	-1	-1	1	1	-1	1	-1	1	1	-1	-1	-1	-1		
$E_{1u}$	2	$\sqrt{2}$	$-\sqrt{2}$	0	-2	0	0	-2	$-\sqrt{2}$	$\sqrt{2}$	0	2	0	0	$(x, y)$	$(x, y)$
$E_{2u}$	2	0	0	-2	2	0	0	-2	0	0	2	-2	0	0		
$E_{3u}$	2	$-\sqrt{2}$	$\sqrt{2}$	0	-2	0	0	-2	$\sqrt{2}$	$-\sqrt{2}$	0	2	0	0		

 7. The  $D_{nd}$  Groups

$D_{2d}$	$E$	$2S_4$	$C_2$	$2C_2'$	$2\sigma_d$		
$A_1$	1	1	1	1	1	$R_z$	$x^2 + y^2, z^2$
$A_2$	1	1	1	-1	-1		
$B_1$	1	-1	1	1	-1		
$B_2$	1	-1	1	-1	1		
$E$	2	0	-2	0	0	$z$ $(x, y);$ $(R_x, R_y)$	$xy$ $(xz, yz)$

$D_{3d}$	$E$	$2C_3$	$3C_2$	$i$	$2S_6$	$3\sigma_d$		
$A_{1g}$	1	1	1	1	1	1	$R_z$ $(R_x, R_y)$	$x^2 + y^2, z^2$ $(x^2 - y^2, xy),$ $(xz, yz)$
$A_{2g}$	1	1	-1	1	1	-1		
$E_g$	2	-1	0	2	-1	0		
$A_{1u}$	1	1	1	-1	-1	-1		
$A_{2u}$	1	1	-1	-1	-1	1	$z$ $(x, y)$	$(x, y)$
$E_u$	2	-1	0	-2	1	0		

$D_{4d}$	$E$	$2S_8$	$2C_4$	$2S_8^3$	$C_2$	$4C_2'$	$4\sigma_d$		
$A_1$	1	1	1	1	1	1	1	$R_z$	$x^2 + y^2, z^2$
$A_2$	1	1	1	1	1	-1	-1		
$B_1$	1	-1	1	-1	1	1	-1		
$B_2$	1	-1	1	-1	1	-1	1		
$E_1$	2	$\sqrt{2}$	0	$-\sqrt{2}$	-2	0	0	$z$ $(x, y)$	$(x^2 - y^2, xy)$
$E_2$	2	0	-2	0	2	0	0		
$E_3$	2	$-\sqrt{2}$	0	$\sqrt{2}$	-2	0	0	$(R_x, R_y)$	$(xz, yz)$

$D_{5d}$	$E$	$2C_5$	$2C_5^2$	$5C_2$	$i$	$2S_{10}^3$	$2S_{10}$	$5\sigma_d$		
$A_{1g}$	1	1	1	1	1	1	1	1	$R_z$ $(R_x, R_y)$	$x^2 + y^2, z^2$ $(xz, yz)$ $(x^2 - y^2, xy)$
$A_{2g}$	1	1	1	-1	1	1	1	-1		
$E_{1g}$	2	$2 \cos 72^\circ$	$2 \cos 144^\circ$	0	2	$2 \cos 72^\circ$	$2 \cos 144^\circ$	0		
$E_{2g}$	2	$2 \cos 144^\circ$	$2 \cos 72^\circ$	0	2	$2 \cos 144^\circ$	$2 \cos 72^\circ$	0		
$A_{1u}$	1	1	1	1	-1	-1	-1	-1	$z$ $(x, y)$	$(x, y)$
$A_{2u}$	1	1	1	-1	-1	-1	-1	1		
$E_{1u}$	2	$2 \cos 72^\circ$	$2 \cos 144^\circ$	0	-2	$-2 \cos 72^\circ$	$-2 \cos 144^\circ$	0		
$E_{2u}$	2	$2 \cos 144^\circ$	$2 \cos 72^\circ$	0	-2	$-2 \cos 144^\circ$	$-2 \cos 72^\circ$	0		

## 8 Appendix III

### 7. The $D_{nd}$ Groups (Continued).

$D_{6d}$	$E$	$2S_{12}$	$2C_6$	$2S_4$	$2C_3$	$2S_{12}^5$	$C_2$	$6C_2'$	$6\sigma_d$		
$A_1$	1	1	1	1	1	1	1	1	1	$R_z$	$x^2 + y^2, z^2$
$A_2$	1	1	1	1	1	1	1	-1	-1		
$B_1$	1	-1	1	-1	1	-1	1	1	-1	$z$	
$B_2$	1	-1	1	-1	1	-1	1	-1	1	$(x, y)$	$(x^2 - y^2, xy)$
$E_1$	2	$\sqrt{3}$	1	0	-1	$-\sqrt{3}$	-2	0	0		
$E_2$	2	1	-1	-2	-1	1	2	0	0		
$E_3$	2	0	-2	0	2	0	-2	0	0		
$E_4$	2	-1	-1	2	-1	-1	2	0	0		
$E_5$	2	$-\sqrt{3}$	1	0	-1	$\sqrt{3}$	-2	0	0	$(R_x, R_y)$	$(xz, yz)$

### 8. The $S_n$ Groups

$S_4$	$E$	$S_4$	$C_2$	$S_4^3$		
$A$	1	1	1	1	$R_z$	$x^2 + y^2, z^2$
$B$	1	-1	1	-1	$z$	$x^2 - y^2, xy$
$E$	$\begin{Bmatrix} 1 & i & -1 & -i \\ 1 & -i & -1 & i \end{Bmatrix}$				$(x, y); (R_x, R_y)$	$(xz, yz)$

$S_6$	$E$	$C_3$	$C_3^2$	$i$	$S_6^5$	$S_6$		$\varepsilon = \exp(2\pi i/3)$
$A_g$	1	1	1	1	1	1	$R_z$	$x^2 + y^2, z^2$
$E_g$	$\begin{Bmatrix} 1 & \varepsilon & \varepsilon^* & 1 & \varepsilon & \varepsilon^* \\ 1 & \varepsilon^* & \varepsilon & 1 & \varepsilon^* & \varepsilon \end{Bmatrix}$						$(R_x, R_y)$	$(x^2 - y^2, xy);$ $(xz, yz)$
$A_u$	1	1	1	-1	-1	-1	$z$	
$E_u$	$\begin{Bmatrix} 1 & \varepsilon & \varepsilon^* & -1 & -\varepsilon & -\varepsilon^* \\ 1 & \varepsilon^* & \varepsilon & -1 & -\varepsilon^* & -\varepsilon \end{Bmatrix}$						$(x, y)$	

$S_8$	$E$	$S_8$	$C_4$	$S_8^3$	$C_2$	$S_8^5$	$C_4^3$	$S_8^7$		$\varepsilon = \exp(2\pi i/8)$
$A$	1	1	1	1	1	1	1	1	$R_z$	$x^2 + y^2, z^2$
$B$	1	-1	1	-1	1	-1	1	-1	$z$	
$E_1$	$\begin{Bmatrix} 1 & \varepsilon & i & -\varepsilon^* & -1 & -\varepsilon & -i & \varepsilon^* \\ 1 & \varepsilon^* & -i & -\varepsilon & -1 & -\varepsilon^* & i & \varepsilon \end{Bmatrix}$								$(x, y);$ $(R_x, R_y)$	
$E_2$	$\begin{Bmatrix} 1 & i & -1 & -i & 1 & i & -1 & -i \\ 1 & -i & -1 & i & 1 & -i & -1 & i \end{Bmatrix}$									$(x^2 - y^2, xy)$
$E_3$	$\begin{Bmatrix} 1 & -\varepsilon^* & -i & \varepsilon & -1 & \varepsilon^* & i & -\varepsilon \\ 1 & -\varepsilon & i & \varepsilon^* & -1 & \varepsilon & -i & -\varepsilon^* \end{Bmatrix}$									$(xz, yz)$

### 9. The Cubic Groups

$T$	$E$	$4C_3$	$4C_3^2$	$3C_2$		$\varepsilon = \exp(2\pi i/3)$
$A$	1	1	1	1		$x^2 + y^2 + z^2$
$E$	$\begin{Bmatrix} 1 & \varepsilon & \varepsilon^* & 1 \\ 1 & \varepsilon^* & \varepsilon & 1 \end{Bmatrix}$					$(2z^2 - x^2 - y^2,$ $x^2 - y^2)$
$T$	3	0	0	-1	$(R_x, R_y, R_z); (x, y, z)$	$(xz, yz)$

## 9. The Cubic Groups (Continued).

$T_h$	$E$	$4C_3$	$4C_3^2$	$3C_2$	$i$	$4S_6$	$4S_6^5$	$3\sigma_h$	$\varepsilon = \exp(2\pi i/3)$	
$A_g$	1	1	1	1	1	1	1	1	$x^2 + y^2 + z^2$	
$A_u$	1	1	1	1	-1	-1	-1	-1		
$E_g$	$\begin{Bmatrix} 1 & \varepsilon & \varepsilon^* \\ 1 & \varepsilon^* & \varepsilon \end{Bmatrix}$	$\begin{Bmatrix} \varepsilon & 1 \\ \varepsilon^* & 1 \end{Bmatrix}$	$\begin{Bmatrix} 1 & 1 \\ 1 & 1 \end{Bmatrix}$	$\begin{Bmatrix} 1 & 1 \\ 1 & 1 \end{Bmatrix}$	$\begin{Bmatrix} 1 & \varepsilon \\ 1 & \varepsilon^* \end{Bmatrix}$	$\begin{Bmatrix} \varepsilon & \varepsilon^* \\ \varepsilon^* & \varepsilon \end{Bmatrix}$	$\begin{Bmatrix} 1 & 1 \\ 1 & 1 \end{Bmatrix}$	$\begin{Bmatrix} 1 & 1 \\ 1 & 1 \end{Bmatrix}$	$\begin{Bmatrix} 2z^2 - x^2 - y^2, \\ x^2 - y^2 \end{Bmatrix}$	
$E_u$	$\begin{Bmatrix} 1 & \varepsilon & \varepsilon^* \\ 1 & \varepsilon^* & \varepsilon \end{Bmatrix}$	$\begin{Bmatrix} \varepsilon & 1 \\ \varepsilon^* & 1 \end{Bmatrix}$	$\begin{Bmatrix} 1 & 1 \\ 1 & 1 \end{Bmatrix}$	$\begin{Bmatrix} 1 & -1 \\ 1 & -1 \end{Bmatrix}$	$\begin{Bmatrix} -\varepsilon & -\varepsilon^* \\ -\varepsilon^* & -\varepsilon \end{Bmatrix}$	$\begin{Bmatrix} \varepsilon & \varepsilon^* \\ \varepsilon^* & \varepsilon \end{Bmatrix}$	$\begin{Bmatrix} 1 & 1 \\ 1 & 1 \end{Bmatrix}$	$\begin{Bmatrix} 1 & 1 \\ 1 & 1 \end{Bmatrix}$		
$T_g$	3	0	0	-1	1	0	0	-1	$(R_x, R_y, R_z)$	
$T_u$	3	0	0	-1	-1	0	0	1	$(x, y, z)$	
$T_d$	$E$	$8C_3$	$3C_2$	$6S_4$	$6\sigma_d$					
$A_1$	1	1	1	1	1					
$A_2$	1	1	1	-1	-1					
$E$	2	-1	2	0	0					
$T_1$	3	0	-1	1	-1	$(R_x, R_y, R_z)$				
$T_2$	3	0	-1	-1	1	$(x, y, z)$	$(xy, xz, yz)$			
$O$	$E$	$6C_4$	$3C_2(=C_4^2)$	$8C_3$	$6C_2$					
$A_1$	1	1	1	1	1					
$A_2$	1	-1	1	1	-1					
$E$	2	0	2	-1	0					
$T_1$	3	1	-1	0	-1	$(R_x, R_y, R_z); (x, y, z)$				
$T_2$	3	-1	-1	0	1	$(xy, xz, yz)$				
$O_h$	$E$	$8C_3$	$6C_2$	$6C_4$	$3C_2(=C_4^2)$	$i$	$6S_4$	$8S_6$	$3\sigma_h$	$6\sigma_d$
$A_{1g}$	1	1	1	1	1	1	1	1	1	$x^2 + y^2 + z^2$
$A_{2g}$	1	1	-1	-1	1	1	-1	1	1	-1
$E_g$	2	-1	0	0	2	2	0	-1	2	0
$T_{1g}$	3	0	-1	1	-1	3	1	0	-1	-1
$T_{2g}$	3	0	1	-1	-1	3	-1	0	-1	1
$A_{1u}$	1	1	1	1	1	-1	-1	-1	-1	-1
$A_{2u}$	1	1	-1	-1	1	-1	1	-1	-1	1
$E_u$	2	-1	0	0	2	-2	0	1	-2	0
$T_{1u}$	3	0	-1	1	-1	-3	-1	0	1	1
$T_{2u}$	3	0	1	-1	-1	-3	1	0	1	-1

 10. The Groups  $C_{\infty v}$  and  $D_{\infty h}$  for Linear Molecules

$C_{\infty v}$	$E$	$2C_{\infty}^{\Phi}$	$\dots$	$\infty\sigma_v$			
$A_1 \equiv \Sigma^+$	1	1	$\dots$	1	$z$	$x^2 + y^2, z^2$	
$A_2 \equiv \Sigma^-$	1	1	$\dots$	-1	$R_z$		
$E_1 \equiv \Pi$	2	$2 \cos \Phi$	$\dots$	0	$(x, y); (R_x, R_y)$	$(xz, yz)$	
$E_2 \equiv \Delta$	2	$2 \cos 2\Phi$	$\dots$	0		$(x^2 - y^2, xy)$	
$E_3 \equiv \Phi$	2	$2 \cos 3\Phi$	$\dots$	0			
$\dots$	$\dots$	$\dots$	$\dots$	$\dots$			

$D_{\infty h}$	$E$	$2C_{\infty}^{\Phi}$	$\dots$	$\infty\sigma_v$	$i$	$2S_{\infty}^{\Phi}$	$\dots$	$\infty C_2$		
$\Sigma_g^+$	1	1	$\dots$	1	1	1	$\dots$	1	$x^2 + y^2, z^2$	
$\Sigma_g^-$	1	1	$\dots$	-1	1	1	$\dots$	-1	$R_z$	
$\Pi_g$	2	$2 \cos \Phi$	$\dots$	0	2	$-2 \cos \Phi$	$\dots$	0	$(R_x, R_y)$	$(xz, yz)$
$\Delta_g$	2	$2 \cos 2\Phi$	$\dots$	0	2	$2 \cos 2\Phi$	$\dots$	0		$(x^2 - y^2, xy)$
$\dots$	$\dots$	$\dots$	$\dots$	$\dots$	$\dots$	$\dots$	$\dots$	$\dots$		
$\Sigma_u^+$	1	1	$\dots$	1	-1	-1	$\dots$	-1	$z$	
$\Sigma_u^-$	1	1	$\dots$	-1	-1	-1	$\dots$	1		
$\Pi_u$	2	$2 \cos \Phi$	$\dots$	0	-2	$2 \cos \Phi$	$\dots$	0	$(x, y)$	
$\Delta_u$	2	$2 \cos 2\Phi$	$\dots$	0	-2	$-2 \cos 2\Phi$	$\dots$	0		
$\dots$	$\dots$	$\dots$	$\dots$	$\dots$	$\dots$	$\dots$	$\dots$	$\dots$		

## 11. The Icosahedral Groups\*

$I_h$	$E$	$12C_5$	$12C_5^2$	$20C_3$	$15C_2$	$i$	$12S_{10}$	$12S_{10}^3$	$20S_6$	$15\sigma$		
$A_g$	1	1	1	1	1	1	1	1	1	1	$(R_x, R_y, R_z)$	$x^2 + y^2 + z^2$
$T_{1g}$	3	$\frac{1}{2}(1 + \sqrt{5})$	$\frac{1}{2}(1 - \sqrt{5})$	0	-1	3	$\frac{1}{2}(1 - \sqrt{5})$	$\frac{1}{2}(1 + \sqrt{5})$	0	-1		
$T_{2g}$	3	$\frac{1}{2}(1 - \sqrt{5})$	$\frac{1}{2}(1 + \sqrt{5})$	0	-1	3	$\frac{1}{2}(1 + \sqrt{5})$	$\frac{1}{2}(1 - \sqrt{5})$	0	-1		
$G_g$	4	-1	-1	1	0	4	-1	-1	1	0		$(2z^2 - x^2 - y^2,$
$H_g$	5	0	0	-1	1	5	0	0	-1	1		$x^2 - y^2,$ $xy, yz, zx)$
$A_u$	1	1	1	1	1	-1	-1	-1	-1	-1	$(x, y, z)$	
$T_{1u}$	3	$\frac{1}{2}(1 + \sqrt{5})$	$\frac{1}{2}(1 - \sqrt{5})$	0	-1	-3	$-\frac{1}{2}(1 - \sqrt{5})$	$-\frac{1}{2}(1 + \sqrt{5})$	0	1		
$T_{2u}$	3	$\frac{1}{2}(1 - \sqrt{5})$	$\frac{1}{2}(1 + \sqrt{5})$	0	-1	-3	$-\frac{1}{2}(1 + \sqrt{5})$	$-\frac{1}{2}(1 - \sqrt{5})$	0	1		
$G_u$	4	-1	-1	1	0	-4	1	1	-1	0		
$H_u$	5	0	0	-1	1	-5	0	0	1	-1		

\* For the pure rotation group  $I$ , the outlined section in the upper left is the character table; the  $g$  subscripts should, of course, be dropped and  $(x, y, z)$  assigned to the  $T_1$  representation.

## الفهرس

٧	القسم الاول - الاسس	...
٩	الفصل الاول - تمهيد	
١٣	الفصل الثاني - التعاريف والنظريات في نظرية المجموعة	
١٣	1-2 - الخواص المحددة للمجموعة	...
١٥	2-2 - بعض امثلة المجاميع	...
١٦	جد اول ضرب المجموعة	...
١٧	المجاميع الحلقية	...
١٩	3-2 - المجاميع الثانوية	...
٢١	4-2 - الاصناف	...
٢٣	تمارين	...
٢٥	الفصل الثالث - التماثل الجزئي ومجاميع التماثل	...
٢٥	3-1 - ملاحظات عامة	...
٢٥	2-3 - عناصر وعمليات التماثل	...
٢٦	تعريف عنصر التماثل	...
٢٧	3-3 - مستويات وانعكاسات التماثل	...
٣١	4-3 - مركز الانقلاب	...
٣٢	5-3 - المحاور الحقيقية والدورانات الحقيقية	...
٣٧	6 - المحاور غير الحقيقية والدورانات غير المناسبة	...
٤٠	7-3 - نواتج ضرب عمليات التماثل	...
٤٣	8- - عناصر التماثل المتكافئة والذرات المتكافئة	...
٤٥	9-3 - العلاقات العامة بين عناصر التماثل والعمليات	...
٤٦	10-3 - عناصر التماثل والايسومرية الضوئية	...
٤٨	11-3 - مجاميع النقطة التماثلية	...
٥٤	الجزئيات الخطية	...
٥٤	12-3 - التماثلات في المحاور المضاعفة عالية الرتبة	...
٥٥	الجوامد المثالية الخمسة	...
٦٢	13- - طريقة نظامية لتصنيف التماثل في الجزئيات	...
٦٤	14-3 - امثلة توضيحية	...
٤٤١		

٦٩	...	اصناف عمليات التماثل	3-15 -
٧٤	...	تمارين	
٨١		الفصل الرابع - تمثيلات المجاميع	
٨١	...	بعض خواص المصفوفات والموجهات	4-1 -
٨٣	...	اتحاد المصفوفات	
٨٦	...	خاصيات المصفوفات المقارنة	
٩٣	...	الموجهات ونواتجها غير الاتجاهية	
٩٥	...	تمثيل المجاميع	4-2 -
٩٨	...	« نظرية التعماد العظيمة » ونتائجها	4-3 -
١٠٦	...	جداول الخاصة	4-4 -
١١٣	...	تمارين	
١١٥		الفصل الخامس - نظرية المجموعة وميكانيك الكم	
١١٥	...	الدوال الموجية قواعد للتمثيلات غير المختزلة	5-1 -
١٢٠	...	الضرب المباشر	5-2 -
١٢٤	...	تشخيص عناصر المصفوفة غير المساوية للصفر	5-3 -
١٢٧	...	تمارين	
١٢٩	...	الفصل السادس - التماثل المكيّف للاتحادات الخطية	
١٢٩	...	ملاحظات تمهيدية	6-1 -
١٢٩	...	عوامل الاسقاط	6-2 -
١٣٥	...	بعض التوضيحات	6-3 -
١٤٤	...	تمارين	
١٤٧		الفصل السابع - النواحي التماثلية لنظرية الاوربتال الجزيئي	
١٤٧	...	قواعد عامة	7-1 -
١٤٨	...	تقريب LCAO	
١٥٠	...	تقريب هوكيل	
١٥٢	...	مخططات مستوى الطاقة	
١٥٤	...	التجزئة التماثلية للمعادلات الزمنية	7-2 -
١٥٨	...	الانظمة الحلقية الكاربونية	7-3 -
١٦٣	...	الطاقة غير المتمركزة	
١٧٢	...	قاعدة $2 + 4n$	

١٧٥	7-4	الحالات الأكثر عموماً لتأصر $\pi$ الناتج من MO . LCAO
١٨٢		ثمانى ترايين ثنائى الحلقة
١٨٨	7-5	مثال محلول : النفثالين
١٩٣	7-6	التهيجات الالكترونية فى النفثالين
١٩٥		ترتيبات التهيج المنفرد الواطئة
١٩٦		قواعد الاختيار والاستقطابات
١٩٧		تداخل الترتيب
١٩٨	7-7	التأصر ثلاثى المركز
١٩٩		التأصر ثلاثى المركز المفتوح
٢٠٢		تعميم النتائج
٢٠٦		التأصر ثلاثى المركز المغلق
٢٠٧	7-8	التماثل المعتمد على قواعد الاختيار لتفاعلات تكوين الحلقة
٢٠٩		تكوين دايمر الاثلين
٢١٥		Diels - Alder تفاعل
		تكوين الحلقة بالتفاعل ضمن الجزئية : التحول ما بين بيوتاديين -
٢١٨		بيوتان الحلقي
٢٢٢		تمارين
٢٢٥		الفصل الثامن - الاوربتالات المهجنة والاوربتالات الجزئية للجزئيات من نوع $AB_n$
٢٢٥	8-1	مقدمة
٢٢٥	8-2	الخواص التحولية للاوربتالات الذرية
٢٣١	8-3	خطط التهجين لاوربتالات $\sigma$
٢٣٧	8-4	خطط التهجين لتأصر $\pi$
٢٤٧	8-5	الاوربتالات المهجنة بشكل الاتحادات الخطية للاوربتالات الذرية
٢٥١	8-6	نظرية الاوربتال الجزيئى للجزئيات من نوع $AB_n$
٢٥٦	8-8	العلاقة بين معالجات الاوربتال الجزيئى والتهجين
٢٥٨	8-8	الاوربتالات الجزئية لجزئيات ثمانى ورباعى السطوح المنتظمين
٢٥٩		ثمانى السطوح $AB_6$
٢٦٢		رباعى السطوح $AB_4$

٢٦٥	... ..	الاوربتالات الجزئية للمركبات الساندويشية الفلزية	8-9
٢٦٦	... ..	الفيروسين	
٢٧١	... ..	ثنائي بنزين كروم	
٢٧٣	... ..	سايكلوبنتا داينيل منغنيث ثلاثي الكاربونيل	
٢٧٥	... ..	مركبات البيوتاديين الحلقي الساندويشية	
٢٧٧	... ..	تمارين	
٢٧٩	— —	الفصل التاسع - نظرية المجال الليكاندي	
٢٧٩	... ..	ملاحظات تمهيدية	9-1
٢٨٠	... ..	البنيات الالكترونية للذرات والايونات الحرة	9-2
٢٨٤	... ..	اعداد الكم للذرات متعددة الالكترون	
٢٨٧	... ..	انقسام المستويات والحدود في المحيط الكيميائي	9-3
٢٩٣	... ..	بناء مخططات مستوى الطاقة	9-4
٢٩٩	... ..	طرق تناقص التماثل	
٣٠٥	... ..	العلاقات الاكثر عموماً	
٣٠٨	... ..	مخططات مستوى الطاقة للتماثلات الواطنة	
		علاقة مخططات مستوى الطاقة مع خواص المعقدات المغناطيسية	
٣٠٩	... ..	والطيفية	
٣١٢	... ..	تقدير طاقات الاوربتال	9-5
٣١٣	... ..	نظرية المجال البلوري	
٣١٩	... ..	نظرية المجال الليكاندي	
٣٢٠	... ..	مقارنة مع نظرية الاوربتال الجزئي	
٣٢١	... ..	قواعد الاختيار والاستقطابات	9-6
٣٢١	... ..	المعقدات مركزية التماثل - الازدواج التذبذبي	
٣٢٥	... ..	الاستقطاب التذبذبي	
٣٢٨	... ..	المعقدات غير مركزية التماثل	
٣٢٩	... ..	استقطاب الانتقالات المسموحة الكترونيا	
٣٣٠	... ..	المجاميع المزدوجة	9-7
٣٣٦	... ..	تمارين	
٣٣٩		الفصل العاشر - التذبذبات الجزئية	
٣٣٩	... ..	ملاحظات تمهيدية	10-1



٣٣٩	... .. تماثل التذبذبات الاعتيادية	10-2
٣٤٥	... .. ايجاد انواع التماثل للاشكال الاعتيادية	10-3
٣٥١	... .. اسهامات الاحداثيات الداخلية المعينة في الاشكال الاعتيادية	10-4
٣٥٤	... .. طريقة مصفوفة F و G	10-5
٣٥٦	... .. الاحداثيات التماثلية.	
٣٥٧	... .. مصفوفة F	
٣٦٠	... .. مصفوفة G	
٣٦٣	... .. قواعد الاختيار لانتقالات التذبذبات الاساسية	10-6
٣٦٧	... .. امثلة توضيحية	10-7
٣٦٧	... .. جزيئة AB <sub>3</sub> الهرمية	
٣٧٤	... .. جزيئات رباعي السطوح ، مثل الميثان	
٣٧٦	... .. جزيئات ثمانية السطوح ، مثل SF <sub>6</sub>	
٣٧٧	... .. بعض التأثيرات الخاصة المهمة	10-8
٣٧٧	... .. قاعدة الاستثناء	
٣٧٨	... .. ريزونانس فيرمي	
٣٨١	... .. تأثيرات الحالة الصلبة	
٣٨٢	... .. تقرب التماثل الجانبي	
٣٨٤	... .. تقرب المجال الرابط	
٣٨٨	... .. تمارين	
٣٩١	... .. الملحق I - مجاميع النقطة البلورية ، المساقط المجسمة والترقيم العالمي	
٣٩١	... .. مجاميع النقطة البلورية الاثنان والثلاثون	
٣٩٢	... .. الترقيم العالمي	
٣٩٣	... .. المساقط المجسمة	
٣٩٧	... .. الملحق II - توسع المحددات ومعكوس المصفوفة	
٣٩٧	... .. توسع وتقييم المحددات	
٣٩٩	... .. المصفوفة المجاورة	
٤٠٢	... .. الملحق III - A - جداول الخاصية للمجاميع التماثلية المهمة كيميائيا	
٤١٢	... .. E - جدول العلاقة النسبية لمجموعة O <sub>h</sub>	
٤١٣	... .. الملحق IV - تحذير بالنسبة لتكامل الريزونانس	

٤١٣	طاقة الريزونانس العمودية
٤١٤	B. الطيفية
٤١٦	الملحق V - اشكال اوربتالات
٤١٨	الملحق VI - توضيح شبه اولي لحساب الاوربتال الجزيئي : $BF_3$ باستعمال
	طريقة هوكيل الموسعة
٤٢٤	الملحق VII - جداول الخاصة لبعض المجاميع المزدوجة
٤٢٥	الملحق VIII - عناصر مصفوفة $g$
٤٢٨	الملحق IX - المراجع

هــسـاـبـيـهـ

متاح للتحميل ضمن مجموعة كبيرة من المطبوعات من صفحة

مكتبتي الخاصة

على موقع ارشيف الانترنت

الرابط

[https://archive.org/details/@hassan\\_ibrahem](https://archive.org/details/@hassan_ibrahem)

هـسـى ابرهـمـ الـلـوـسـى

طبع بمطابع حامية الموصل  
مؤسسة مطبعة الجامعة

متاح للتحميل ضمن مجموعة كبيرة من المطبوعات من صفحة

مكتبي الخاصة

على موقع ارشيف الانترنت

الرابط

[https://archive.org/details/@hassan\\_ibrahem](https://archive.org/details/@hassan_ibrahem)

**الدار الدولية للنشر والتوزيع**

8 شارع إبراهيم العرابي - النهضة الجديدة - القاهرة  
ص.ب : 5599 هليوبوليس غرب - القاهرة  
ت : 2972344 / 2957655 فاكس : 2957655 (00202)

صنع بمصانع جامعة الموصل  
مكتبة مطبعة الجامعة